

DIE GESUNDE UND DIE KRANKE WIRBELSAULE IN RÖNTGENBILD UND KLINIK

PATHOLOGISCH ANATOMISCHE UNTERSUCHUNGEN

von

Geh. Med. Rat Prof Dr med. et Dr med. vet. h. c.

GEORG SCHMORL († 1932)

FÜR RÖNTGENKUNDE UND KLINIK BEARBEITET

VON PROF DR MED HABIL

HERBERT JUNGHANNS

OLDENBURG (OLDB.)

VIERTE ERWEITERTE AUFLAGE

MIT 419 ZUM TEIL FARBIGEN ABBILDUNGEN

19



57

GEORG THIEME VERLAG STUTTGART

1. Auflage 1932

2. Auflage 1931

3. Auflage 1953

Französische Übersetzung der 3. Auflage
1956 bei Doin (Paris)

Alle Rechte insbesondere die der Übersetzung in fremde Sprachen, vorbehalten.

© Georg Thieme Verlag, Stuttgart 1953, 1957 Printed in Germany

Druck L. C. Wittich, Darmstadt, Bieckstraße 4.

Vorwort zur 4. Auflage 1957

Obwohl die dritte Auflage rasch vergriffen war und immer wieder Anregungen für eine Neubearbeitung an Verfasser und Verlag herangetragen wurden, ist bis zur Herausgabe dieser vierten Auflage bewußt ein längerer Zeitraum eingeschaltet worden. Abklärung mancher noch offener Fragen, Stellungnahme von Klinikern und Röntgenologen und die Erörterung neuer Gesichtspunkte waren zu erwarten, weil ein von Jahr zu Jahr zunehmendes Interesse an den Veränderungen der Wirbelsäule vorliegt. Das beweisen auch mehrere zwischenzeitlich erschienene Monographien, die sich entweder mit dem Gesamtprobem der Wirbelsäulenerkrankheiten oder mit Teilfragen beschäftigen. Die aus solchen Veröffentlichungen hervorgegangenen Erkenntnisse sowie die dadurch hervorgerufenen weiteren Fragestellungen und die zunehmenden klinischen und röntgenologischen Erfahrungen des Verfassers haben ihren Niederschlag in der vorliegenden vierten Auflage gefunden. Noch immer aber enthält die trotzdem viele ungeklärte Fragen, die nicht nur die klinische Bedeutung der röntgenologischen Diagnostik oder Behandlungsverfahren, sondern gerade auch die pathologisch-anatomische Grundlagenforschung betreffen. Obwohl viele Forscher mit großem Fleiß neben der Vollkommenheit unserer anatomischen und entwicklungsgeschichtlichen Kenntnisse immer tiefer auch in die Pathologie sowie deren röntgenologische Erfassung eingedrungen sind, stellt von Jahr zu Jahr der wirbelsäulenkranke Mensch dem Kliniker und Röntgenologen neue Probleme.

Die durch die Zeitverhältnisse zunehmenden Störungen im vegetativen Nervensystem und nicht ohne Rückwirkung auf Menschen mit kranken oder leistungsschwachen Wirbelsäulen geblieben, und Veränderungen an der Wirbelsäule haben häufig Auswirkungen auf die vegetativen Nerven zur Folge, was bei der engen Nachbarschaft nicht verwunderlich erscheint. Das ist aber noch längst nicht in allen gegenseitigen Beziehungen und den sich ergebenden Folgezuständen zu übersehen. Die Überlastung der Wirbelsäule durch neuzeitliche Verkehrsmittel, Arbeit, Sport, andere Umweltbedingungen oder auch durch körpereigene Faktoren haben die Vielzahl der schweren krankhaften Veränderungen der Wirbelsäule wegen der damit verbundenen kostspieligen Behandlungsverfahren, langen Arbeitsunfähigkeitszeiten und häufiger frühzeitiger Invalidisierungen zu einem ersten sozialen Problem für den Einzelnen und für die Allgemeinheit werden lassen, das früher unbekannt war. In aller Welt haufen sich in den Krankenhäusern und in den Sprechstunden der Ärzte die Kranken mit Wirbelsäuleveränderungen oder wirbelsäulebedingten Krankheitszuständen. Diesen Kranken gelten die Bemühungen um die Erforschung der Wirbelsäuleveränderungen und ihnen dient auch dieses Buch.

Da auch am 14. August 1937 der Todestag von Georg Schmorl zum 20. Male jährt, gibt die neue Auflage Anlaß zu einer Rück Erinnerung auf die großen Fortschritte, die in Erkennung und Behandlung der Wirbelsäuleiden in dieser Zeit gemacht wurden. Sie sind undenkbar ohne den genialen Gedanken Schmorls, die in der morphologischen Forschung damals so vernachlässigte Wirbelsäule ihrem Dornrosenschlaf zu entreißen. Er erweckte damit die in ihr schlummernden Probleme und widmete in einer mehr als fünfjährigen Schaffensperiode die letzte Zeit seines Forscherlebens fast ausschließlich diesen Fragestellungen, bis seinem Forscherdrang im 72. Lebensjahr durch eine tödliche Leberfunktionsstörung ein Ende gesetzt wurde, als er trotz seiner Emeritierung sich noch immer diesem selbstgestellten Forschungsauftrag verpflichtet fühlte und ihm täglich im Sektionsaal und am Mikroskopertisch nachging.

Wie in der vorhergehenden Auflage, so ist auch diesmal wieder ein ausführliches Stichwortverzeichnis angefügt, und bei Belassung der allgemeinen Stoffeinteilung und der grundlegenden Abbildungen sind verschiedene kleine Kapitel eingeschaltet, andere Kapitel wesentlich erweitert und einige Abbildungen ausgewechselt oder neu hinzugefügt worden. Eine sorgfältige Bearbeitung

und Erweiterung hat wiederum das Schrifttumverzeichnis erfahren, das alle wissenschaftlichen Bücher und Arbeiten enthält die im Text Erwähnung finden.

Mit Einfühlungsvermögen und der bekannten erfahrungsreichen Umsicht hat der Verlag Thieme unter Leitung der Herren Dr. h. c. *Hauß* und *Hauß jun.* mit allen Mitarbeitern die Herausgabe der vierten Auflage in dankenswerter Weise gefördert und wiederum größten Wert auf eine vorzügliche Bildwiedergabe gelegt wodurch dem Leser das Verständnis besonders erleichtert ist.

Oldenburg/Oldb. im November 1936

Herbert Junghanns

Vorwort zur 3. Auflage 1953

Daß die zweite Auflage bereits nach einem Jahr restlos vergriffen war beweist wie aufgeschlossen unsere Zeit den Fragestellungen gegenübersteht deren Bearbeitung durch die Forschungen *Schmors* und seiner Schule vor etwa 25 Jahren eingeleitet wurde. Trotz der raschen Folge der Auflagen sind neue Erkenntnisse und Fortschritte auf manchen Teilgebieten zu verzeichnen. Deshalb wurde eine Überarbeitung des ganzen Buches mit Ergänzungen, Einfügung neuer Abschnitte und neuer Bilder nötig. Das betrifft bei den Veränderungen am Knochengewebe besonders die Gruppe der Osteoporosen und bei den Zwischenwirbelscheiben den Abschnitt über Verlagerung von Zwischenwirbelscheibengewebe. Manche andere Abschnitte sind bei Bestehenbleiben der grundsätzlichen Einteilung ebenfalls durch Einfügung der neueren Forschungsergebnisse, klinischen Erfahrungen und des wichtigsten Schrifttums vervollständigt worden.

Verfasser und Verlag war es ganz besonders daran gelegen, durch Hinzufügung eines ausführlich untergliederten Stichwortverzeichnisses die Benutzung des Buches für den Leser als Nachschlagewerk zu erleichtern. Das umfangreiche Schrifttumverzeichnis wurde durch eine große Zahl von Arbeiten erweitert die alle im Text Erwähnung fanden.

Herrn Dr. med. h. c. *Hauß* und seinen Verlagsmitarbeitern spreche ich erneut meinen Dank für die gute Ausstattung und die rasche Fertigstellung dieser dritten Auflage aus, die hoffentlich — ebenso wie die zweite — Freunde im In- und Auslande erwerben wird und die wiederum Erinnerung und Dank an den Vorkämpfer der Wirbelsäulenpathologie meinen hochverehrten Lehrer *Georg Schmors* sein will.

Oldenburg im Januar 1953

Herbert Junghanns

Vorwort zur 2. Auflage 1951

Kriegs- und Nachkriegsschwierigkeiten haben leider die längst notwendige Fertigstellung der zweiten Auflage dieses seit vielen Jahren vergriffenen Buches bis heute unmöglich gemacht. *Schmorl*, der im Vorwort zur ersten Auflage das Buch mit Recht als ein Standardwerk bezeichnete, hat mit seinen Reflexenuntersuchungen der Wirbelsäule seinerzeit die Grundlage zu einer Pathologie der Wirbelsäule gelegt. In den seitdem vergangenen zwei Jahrzehnten ist dieses neu eröffnete Forschungsfeld fleißig bearbeitet worden. Besonders Röntgenologie und Klinik haben ein großes Interesse gezeigt, und es sind aus den rein forschenden und beschreibenden Ergebnissen der pathologischen Anatomie Folgerungen nicht nur für die bessere Erkennung der Krankheitszustände am Lebenden, sondern auch für den Aufbau vorhandener und für die Entwicklung neuer Behandlungsmaßnahmen gezogen worden. Diese wichtigen Tatsachen mußten bei der vorliegenden neuen Auflage berücksichtigt werden, was dem Unterzeichneten, der nach dem 1932 erfolgten Tode *Schmorls* allein die Fortführung des Werkes übernehmen mußte, auch deshalb besonders am Herzen lag, weil er als Kliniker seit mehr als 20 Jahren täglich praktischen Fragen aus diesem Gebiete gegenübersteht.

Um diesem neu erwachten klinischen Interesse gerecht zu werden, wurde der gesamte Text neu gestaltet, die Kapiteinteilung den Erfordernissen angepaßt sowie das entsprechende in- und ausländische Schrifttum verwertet und in einem wesentlich erweiterten Schrifttumverzeichnis aufgeführt. Damit das Buch aber seinen Charakter als Standard- und Nachschlagewerk für die pathologisch-anatomischen Grundlagen der Wirbelsäulenveränderungen nicht verliert, sind die Abbildungen fast hienkenlos aus der ersten Auflage übernommen und durch wichtige Abbildungen ergänzt worden. Dabei wurde wiederum angestrebt, pathologisch-anatomisches Bild und entsprechende Röntgenaufnahmen nebeneinanderzustellen.

Besonderer Wert wurde bei der Neubearbeitung darauf gelegt, neben der reinen Schilderung der pathologisch-anatomischen Grundlagen an entsprechenden Stellen auch auf die Pathologie der Funktion einzugehen, da gerade bei den Veränderungen, die Zwischenwirbelscheibengewebe und Knochengerüst der Wirbelsäule gleichzeitig betreffen, die Stärke und Art der gegenseitigen Beeinflussung dieser beiden wichtigsten Aufbauteile der Wirbelsäule von Belastung und Beweglichkeit abhängig ist. Verschiedene Hinweise auf die Notwendigkeit einer „funktionellen Röntgendiagnostik“ am Lebenden sollen Anregungen für weitere klinische Forschungen geben. Auch wird an vielen Stellen gerade auf die ungeklärten Fragen eingegangen, die durch weitere entwicklungsgeschichtliche und pathologisch-anatomische Untersuchungen und in enger Zusammenarbeit mit den Klinikern erforscht werden müssen. Den vielen Fragen, die sich bei der Begutachtung von Wirbelsäulenschäden und bei der differentialdiagnostischen Abgrenzung der verschiedensten Veränderungen und Krankheiten ergeben, ist ebenfalls in allen einschlägigen Kapiteln Rechnung getragen.

Der zweiten Auflage hat der Verlag Thieme mit allen seinen Mitarbeitern wieder mit größtem Geschick das buchhandlerische Gewand gegeben, und ich möchte nicht veräumen, aus diesem Grunde dem Verlagsinhaber Herrn Dr. med. h. c. *Hawff* meinen besten Dank auszusprechen.

Oldenburg im August 1951

Herbert Junghanns

Vorwort zur 1. Auflage 1932

In dem vorliegenden Werke sind die Ergebnisse der von mir in den letzten Jahren an der Wirbelsäule vorgenommenen pathologisch-anatomischen und röntgenologischen Untersuchungen in gedrängter Form zusammengestellt. Es bezweckt durch Gegenüberstellung der bei der pathologisch-anatomischen und Röntgenuntersuchung erhobenen Befunde die Deutung der von der Wirbelsäule des lebenden Menschen gewonnenen Röntgenbilder zu erleichtern, die Kenntnisse der an der Wirbelsäule ablaufenden pathologisch-anatomischen Vorgänge zu fördern und damit für die Röntgen-diagnostik der Wirbelsäule eine sichere Grundlage zu schaffen.

Die großen Fortschritte, die in neuerer Zeit auf dem Gebiet der Röntgentechnik gemacht worden sind, ermöglichen es, die Wirbelsäule im Röntgenbild klarer und in ihren einzelnen Bestandteilen deutlicher abzubilden, als dies noch vor wenigen Jahren der Fall war. Wenn trotzdem die Deutung der von der Wirbelsäule gewonnenen Röntgenbilder noch immer große Schwierigkeiten bereitet, so ist der Grund einerseits in den anatomischen Verhältnissen der Wirbelsäule, andererseits darin zu suchen, daß es eine spezielle pathologische Anatomie der Wirbelsäule bis vor kurzem noch nicht gab.

Die spezielle pathologische Anatomie anderer Organe und Organsysteme ist dadurch aufgebaut worden, daß letztere bei jeder Leichenöffnung eingehend systematisch untersucht wurden. Solche Untersuchungen sind an der Wirbelsäule bisher in größerem Maßstabe nicht vorgenommen worden. Man beschränkte sich bisher darauf, sie nur in den Fällen, bei denen die klinischen Erscheinungen auf eine Erkrankung hindeuten, zu untersuchen, begnügte sich aber häufig genug damit, nur den jenen Teil einer Untersuchung zu unterziehen, in dem man nach den klinischen Erscheinungen den Sitz der Erkrankung vermutete.

Seit Mitte 1920 werden in meinem Institut systematische Untersuchungen über die an der Wirbelsäule vorkommenden pathologisch-anatomischen Veränderungen in der Weise vorgenommen, daß bei jeder Leichenöffnung die Wirbelsäule nach Besichtigung *in situ* aus der Leiche entfernt und in ihren einzelnen Teilen einer möglichst eingehenden Untersuchung unterzogen wird. Die Zahl der auf diese Weise von mir eigenhändig untersuchten Wirbelsäulen beträgt rund zehntausend. Die große Zahl der angestellten Untersuchungen bürgt dafür, daß die Ergebnisse meiner Untersuchungen sich auf eine gesicherte Grundlage stützen können.

Ich habe bei diesen Untersuchungen eine große Anzahl bisher überhaupt noch nicht oder nur wenig bekannte Veränderungen feststellen und meist auch in ihrem Entwicklungsgang verfolgen können; es ergab sich dabei aber außerdem noch die Tatsache, daß auch die normale Anatomie der Wirbelsäule, besonders im Wachstumsalter, noch nicht so ausgebaut ist, wie man es eigentlich erwarten wollte, und daß manche Einzelheiten, die für die Beurteilung pathologisch-anatomischer Befunde von sehr großer Bedeutung sind, von der normalen Anatomie nicht oder nur wenig berücksichtigt worden sind.

Auf die Methoden, die bei der Zerlegung der aus dem Körper entfernten und bei der näheren Untersuchung der einzelnen Teile angewendet wurden, kann hier nicht eingegangen werden. Nur darauf möchte ich hinweisen, daß je nach Lage des einzelnen Falles, je nach den bei der äußeren Untersuchung erkennbaren Veränderungen und je nach dem Teil der Wirbelsäule, dem wegen einer im Angriff genommenen Sonderuntersuchung besondere Beachtung geschenkt wurde, verschiedene Methoden in Anwendung gezogen wurden. Die Zwischenwirbelscheiben, die für die Funktion der Wirbelsäule und für sehr viele an ihr ablaufende pathologisch-anatomische Veränderungen die allergrößte Bedeutung haben, röntgenologisch aber in ihren Einzelheiten nur schwer zu erfassen sind, können nur im frischen, sei es im frischen oder konservierten Zustand untersucht werden, während

zur Untersuchung des Knochengerstütes auch Mazerationspräparate herangezogen werden müssen da nur an ihnen die durch pathologische Vorgänge gesetzten Veränderungen sicher beurteilt werden können.

Ausgeblig habe ich zur Untersuchung der Wirbelsäulen auch das Röntgenverfahren verwendet da es die Erkennung der an den knöchernen Abschnitten der Wirbelsäule sich abspielenden Veränderungen wenn auch nicht in dem Umfang wie das Mazerationsverfahren ohne Entfernung der Weichteile gestattet. Das ist für wertvolle Präparate die einer mikroskopischen Untersuchung von der selbstverständlich ausgedehnter Gebrauch gemacht worden ist unterzogen worden müssen von besonderer Bedeutung. Die Röntgenuntersuchung hat außerdem noch den Vorteil daß sie es ermöglicht kleinere wenig umfangreiche in der Tiefe der knöchernen Abschnitte oder der Weichteile liegende Veränderungen zu erkennen die sich am Mazerationspräparat dem Nachweis entziehen.

Aber nicht nur pathologisch-anatomische Belange waren für mich für die Herstellung des Röntgenverfahrens zu meinen Untersuchungen maßgebend es leitete mich dabei auch der Gedanke meine Untersuchungen möglichst auch für die praktische Medizin insbesondere für die Röntgenologie die in der Diagnostik der Krankheiten eine so außerordentlich große Bedeutung erlangt hat, nutzbar zu machen. Dieser Gedanke hat mich veranlaßt auch von Präparaten mit eindeutig feststellbaren pathologisch-anatomischen Veränderungen Röntgenbilder anfertigen zu lassen.

Leider kann ich die von mir pathologisch-anatomisch nachgewiesenen Veränderungen nicht in Beziehung zu Erscheinungen setzen, die während des Lebens von klinischer Seite wahrgenommen worden sind. Die Wirbelsäule kann aus technisch klinischen Gründen nicht so genau untersucht werden wie die Organe der drei Körperhöhlen. Auch Röntgenbilder werden von ihr nur dann angefertigt wenn Erscheinungen, die auf eine Erkrankung schließen lassen vorhanden sind. Ich bin in folgedessen auch nicht in der Lage, solche Röntgenbilder pathologisch-anatomisch auszudeuten.

Das von Bohmig angewandte Verfahren, Röntgenbilder der Wirbelsäule von Leichen vor der Vornahme der Sektionen anzufertigen konnte aus anderen Gründen nicht zur Anwendung kommen, würde auch für die Zwecke die wir verfolgten, kaum vorteilhaft gewesen sein.

Um festzustellen wie die bei der pathologisch-anatomischen Untersuchung nachgewiesenen Veränderungen auf dem Röntgenbild zur Abbildung gelangen, mußte ich selbst Röntgenbilder anfertigen lassen, was nur an Wirbelsäulen möglich war die aus dem Körper entfernt und häufig auch schon — meist durch einen sagittal geführten Längsschnitt — zerlegt waren. Auf solchen Röntgenbildern erscheinen die — sei es durch Erkrankungen, sei es durch anderweitige Einwirkungen hervorgerufenen — Veränderungen, wenn auch nicht grundsätzlich so doch in manchen Einzelheiten anders als auf den vom Lebenden hergestellten Röntgenbildern. Die Veränderungen werden klarer und deutlicher abgebildet als auf den vom Lebenden stammenden Aufnahmen, da auf ihnen die durch Weichteile und Überscheidungen hervorgerufenen Verschattungen fehlen. Das mag vielleicht manchem als Nachteil erscheinen, weil es unter Umständen einen Vergleich unserer Bilder mit den vom Lebenden aufgenommenen erschwert für den Zweck dieses Werkes ist es aber als ein Vorteil zu betrachten. Die zumeist klare und deutliche Darstellung die auf unseren Bildern die pathologisch-anatomisch sichergestellten Veränderungen erfahren macht sie in gewisser Hinsicht zu Standardbildern, die zur Ausdeutung von schwer deutbaren vom Lebenden gewonnenen Röntgenbildern nutzbringend herangezogen werden können. Sie zeigen ferner die Grenzen denen was man unter den günstigsten Aufnahmebedingungen von der jetzt üblichen Röntgentechnik für die Abbildung pathologisch-anatomischer bzw. anderweiter Veränderungen erwarten kann. Werden sie zusammen mit den Abbildungen der pathologisch-anatomischen Präparate von denen sie hergestellt wurden, betrachtet so sind sie geeignet dem Röntgenologen eine klare Vorstellung von den auf dem Röntgenbild zur Abbildung gekommenen pathologisch-anatomischen Veränderungen zu vermitteln und dadurch seine pathologisch-anatomischen Kenntnisse zu erweitern und zu vertiefen. Dadurch wird aber die Röntgendiagnostik auf eine sichere pathologisch-anatomische Grundlage gestellt und damit der oben angegebene Zweck dieses Werkes erfüllt.

Über einen Teil der bei meinen pathologisch-anatomischen Untersuchungen gewonnenen Ergebnisse ist von mir und meinen Schülern in verschiedenen Arbeiten bereits berichtet worden. Sie sind,

soweit als röntgenologische Bedeutung haben, sämtlich in den Fortschritten auf dem Gebiet der Röntgenstrahlen" erschienen. Herr Prof. Dr. Grasey, der Herausgeber der genannten Zeitschrift, ist in der Erkenntnis der Wichtigkeit meiner Untersuchungen für die Röntgenkunde mit der Anregung an mich herorgetreten, in einem besonderen Werk zusammenfassend über die Ergebnisse meiner Untersuchungen zu berichten. Ich bin seiner Anregung nach Überwindung einiger Bedenken, auf die ich hier nicht eingehen will, gern gefolgt.

Da ich mich als pathologischer Anatom nicht so eingehend mit der Röntgenkunde beschäftigt und das diesbezügliche Schrifttum nicht so genau verfolgt habe wie es mir zur Herausgabe eines sich vorwiegend an die Röntgenologen und die sich mit praktischer Röntgenologie beschäftigenden Kliniker notwendig erscheint, habe ich meinen auf diesem Gebiet erfahrenen Oberarzt Herrn Dr. med. H. Jungmann als Mitarbeiter herangezogen und ihm die Bearbeitung meiner Untersuchungsergebnisse für die Röntgenkunde übertragen. Er ist mehrere Jahre als Hilfsarzt, später als Oberarzt an meinem Institut tätig gewesen, ist mit den Ergebnissen meiner Untersuchungen, an denen er stets teilgenommen hat und mit den Ideen, die mich dabei leiteten, durch die Teilnahme an den täglich im Anschluß an die Wirbelsäulenuntersuchungen sich anschließenden Besprechungen durchaus vertraut.

Die pathologisch-anatomischen Präparate ebenso die von ihnen hergestellten Photographieen wurden sämtlich von mir persönlich angefertigt. Die Röntgenbilder wurden im allgemeinen Röntgenlaboratorium des Friedrichstädter Krankenhauses aufgenommen. Meinem Leiter Herrn Prof. Dr. Arasperger möchte ich an dieser Stelle meinen ergebensten Dank dafür aussprechen, daß er das Laboratorium für pathologisch-anatomische Zwecke zur Verfügung stellte.

Am Schluß möchte ich nicht verfehlen, dem Verlag von Georg Thieme und dessen Inhaber Herrn Dr. Hauff unseren tiefgefühlten Dank dafür abzustatten, daß er die Herausgabe dieses Werkes in dieser wirtschaftlich so schweren Zeit übernommen und es in so glänzender Weise ausgestattet hat.

Dresden im März 1937

Dr. Schmorl

Inhaltsverzeichnis

Vorwort zur 4. Auflage 1937	III
Vorwort zur 3. Auflage 1933	IV
Vorwort zur 2. Auflage 1931	V
Vorwort zur 1. Auflage 1922	VII
I. Wachstum und normaler Aufbau der Wirbelsäule	1
A. Allgemeines	1
B. Wirbelkörper	1
C. Wirbelbögen, Wirbelbogenfortsätze, kleine Wirbelgelenke \ Endknochenkerne	11
D. Zwischenwirbelscheiben	13
E. Bänder	19
F. Zwischenwirbelscheiben (Zwischenwirbelsäule)	20
G. Wachstumsbeschleunigung der einzelnen Wirbelsäulenabschnitte	22
H. Die Wirbelsäule des Erwachsenen als Ganzes	23
J. Die "Bewegungselemente" der Wirbelsäule	24
II. Die Fehlbildungen der Wirbelsäule	27
A. Embryonalentwicklung	27
B. Fehlbildungen der Wirbelkörper-Randabscheiben-Reihe (Wirbelkörperreihe)	28
1. Allgemeines	28
2. Angeborene Blockwirbel	29
3. Wirbelkörperverwachsung in der Pfaffenbahn (sagittale Wirbelkörperverwachsung)	31
4. Elongierte Halbwirbel	32
5. Halbwirbel durch hemimetamer Segmentverschiebung	33
6a. Ausbleibende Wirbelkörperverknöcherung	34
6b. Fehlende Wirbelkörperanlage	34
7. Rückwärts liegende (dorsale) und vorwärts liegende (ventrale) Halbwirbel	35
8. Frontale Wirbelkörperverwachsung	37
9. Fehlbildungen der Chorda dorsalis und der Zwischenwirbelscheiben	38
C. Fehlbildungen der Wirbelbogenreihe	40
1. Allgemeines	40
2. Dornfortsatzfehler	41
3. Fehlbildungen der Wirbelbogenfugen (Spondylolyse, Spondylolethrese)	43
4. Fugenbildungen in der Wirbelbogenwurzel	51
5. Fugenbildungen zwischen Wirbelbogen und Wirbelkörper	51
6. Teilweises oder vollkommene Fehlen des Wirbelbogens	52
7. Angeborene Verwachsungen von Wirbelbögen	53
8. Fehlbildungen der Wirbelbogenfortsätze	53
9. Nichtverwachsung der Endknochenkerne (Apophysen) mit den Wirbelbogenfortsätzen	53
D. Die Wirbelsäulenvariationen	56
1. Allgemeines	56
2. Variationen am Übergang zwischen Hinterba- pelbein und Halswirbelsäule	57
3. Variationen am Übergang zwischen Hals- und Brustwirbelsäule	57
4. Variationen am Übergang zwischen Brust- und Lendenwirbelsäule	58
5. Variationen am Übergang von der Lendenwirbelsäule zum Kreuzbein (Lumbosakrale Übergangs- wirbel)	59
6a. Pseudosakralisationen (sogenannte lumbosakrale Übergangswirbel)	59
6b. Verknöcherung der Ligamenta sacrospinale und sacrotuberale	66
6c. Variationen am Übergang vom Kreuzbein zum Steißbein	67
E. Zusammengesetzte Wirbelsäulenfehlbildungen	67
1. Allgemeines	67
2. Klippel Feil Syndrom (Kurzha- ls)	69

	Seite
III. Die krankhaften Veränderungen am Knochengestüst der Wirbelsäule	
A. Einleitung	71
B. Gruppe der Osteoporosen (Knochenatrophie)	71
1 Allgemeines	71
2 Senile Osteoporose	73
3 Präsenile Osteoporose	80
4 Osteoporose bei Jugendlichen (Fischwirbelkrankheit)	81
5 Osteoporose durch Marasmus (Eiweißmangel)	81
6 Rachitis und Osteomalazie	81
7 Hungerosteopathie und Sprue	83
8. Seltene porotische Osteopathien	83
C. Osteodystrophiegruppe	84
1 Osteodystrophie (Ostitis) deformans Paget	84
2. Osteodystrophia fibrosa generalisata Recklinghausen	87
3. Osteodystrophia fibrosa localisata	90
4. Fibrose Dystrophie	91
5. Sclerotische Knochen dystrophie	91
D. Verschiedene seltene Erkrankungen im Knochengestüst	93
1 Lipidosen (Xanthomatosen, Lipidzellengranulomatosen)	93
2. Marmor-Knochenkrankheit Adlers-Schlesberg	93
3 Osteopetritis	94
4. Mikroosteitis	94
5. Hyperostoses generalisata	94
6. Myositis ossificans progressiva	94
7. Akromegalie und Osteoarthropathie	94
8. Kretinismus	95
E. Gruppe der „Fischwirbel“	95
1 Chondrodystrophie (A. chondroplasia)	95
2 Platyspondylia generalisata	95
3 Osteoporosis imperfecta und Osteopathia thyroidea	95
4. Vertebra plana osteonecrotica	96
F. Wirbelsäulen-entzündungen bei Erkrankungen des hämatopoetischen und lymphatischen Apparates und bei Vergiftungen	98
1 Osteopathie bei Blutkrankheiten	98
2. Lymphogranulomatose	98
3. Plasmocytom (Myelom, Ketteneische Krankheit)	98
4. Osteosklerose bei Vergiftungen	100
G. Eilenbeinwurm	100
H. Verletzungen der Wirbelkörper	101
1 Häufigkeit und Formen der Wirbelbrüche und Wirbelverrenkungen	101
2. Wirbelbrüche nach leichten Traumen	110
3. Wirbelbrüche durch Muskelzug (Muskelkrämpfe)	111
4. Verspäteter Wirbelkörperkompressionsbruch nach Trauma („Käseweiche Krankheit“)	112
5. Brüche der Wirbelkörperkanäle und Verletzungen der Radikeln	113
6. Lösung der Knorpelplatten	113
J. Verletzungen der Wirbelbogenreihe	116
1 Brüche der Wirbelbogen und der Gelenkfortsätze	116
2. Dornfortsatz brüche	117
3. Querfortsatzbrüche	118
4. Verrenkungen der Wirbelbogengelenke	118
K. Infektionen	118
1 T. bacillares	119
2 Osteomyelitis und Spondylitis infectiosa	123
3. Spondylitis arthralgia	124
4. Echinokokkus	127
5. Aktinomykose	128
L. Tumoren	128
1 Angiome	128
2 Osteome und Osteochondrome	131
3. Lipome (Fettmarkherde)	132
4. Rarermesitumoren, Sarkome, Chordome, Amyloidtumoren	132
5. Häufigkeit und Röntgenbild der Tumormetastasen	133

M. Veränderungen der Wirbelsäule und bogen durch außerhalb gelegene krankhafte Vorgänge	131
1 Anheftung durch Geschwulst	139
— Anheftung durch Aneurysmen	140
2 Bandscheibengeschwulst	140
4 Erweiterung des Wirbelskanal	141
N. Dornfortsätze	141
O. Wirbelbogengelenke (kleine Wirbelgelenke)	141
P. Zwischenwirbelscheiben	14
Q. Kreuz Darmbelaugung und Beckenring	140
IV. Die krankhaften Veränderungen der Zwischenwirbelscheiben	140
A. Allgemeines	140
B. Formänderungen	151
1 Hohe Zwischenwirbelscheiben	151
— Niedrige Zwischenwirbelscheiben	152
C. Verlagerungen von Zwischenwirbelscheibengewebe	154
1 „Schmorle'sche Knötchen“ in den Wirbelsäulen	154
— „Schmorle'sche Knötchen“ im Wirbelskanal (Bandscheibenvorfall II nach hinten)	162
2 Verlagerungen von Zwischenwirbelscheibengewebe nach vorn und seitlich („Abtrennungen von Wirbelsäulenknäulen“)	174
4 Die klinische Bedeutung der Verlagerungen von Zwischenwirbelscheibengewebe	176
D. Degenerationen	18
1 Chondros intervertebralis (Austrocknungen, Spaltbildungen, Farbstoffeinklagerungen)	18
2 Zermürbungen (Osteochondrosis intervertebralis)	189
3 Verkalkungen	191
E. Einlagerungen anderer Gewebearten	193
1 Fibröses Gewebe	193
— Blutgefäße	193
2 Knochengewebe	193
F. Traumen	195
1 Verletzungen der Zwischenwirbelscheiben (ohne Wirbelkörperbruch)	195
2 Verhalten der Zwischenwirbelscheiben bei Wirbelsäulenbrüchen, Wirbelbogenbrüchen und Wirbelsäulenluxationen	201
3 Amstellungsvergängen der Bandscheiben erletzungen und ihre Folgen	203
4 Verenger und anschließende Heilung von Bandscheibenverletzungen und ihre Folgen	206
5 „Schmorle'sche Knötchen“ und Trauma	208
G. Infektionen	209
1 Primäre Infektionen der Zwischenwirbelscheiben	209
2 Verhalten der Zwischenwirbelscheiben bei Wirbelkörperinfektionen	210
3 Abszessgeschwulste	12
H. Tumoren	14
V. Die Spinalis deformans	15
A. Allgemeines	213
B. Histogenese	15
C. Entstehungsmomente	216
D. Anatomisches und röntgenologisches Bild	19
E. Randwulste anderer Entstehung	223
F. Randwulst im Wirbelskanal	224
G. Differentialdiagnose	224
H. Spinalis deformans und Trauma	223
VI. Die krankhaften Veränderungen der Wirbelsäulenkrümmungen	224
A. Kyphosen	224
1 Angeborene Kyphosen	224
— Adoleszentenkyphose	224
3 Die Alterskyphose	226
4 Kyphosen durch Trauma, Infektionen und Tumoren	240
5 Kyphosen anderer Entstehung	242

	Seite
B. Lordosen	244
C. Skoliosen	245
1. Vorbanerkrankungen	43
2. Angeborene Skoliosen	245
3. Erworbene Skoliosen	245
D. Geradhaltungen	248
E. Lenden Kreuzbein Winkel	250
1. Winkel des Promontorkorns und Lenden Kreuzbein-Winkel	250
2. Ursachen der Winkelverschiedenheiten	251
3. Kreuzschmerzen und Winkelverschiedenheiten	252
4. Klinische Diagnose	253
5. Winkelveränderungen bei Spondylolisthese und Sacrum seutum	253
VII Die krankhaften Veränderungen der Wirbelsäulenbeweglichkeit	254
A. Allgemeines	254
B. Ungenauigkeit der Beweglichkeit	254
C. Versteifungen	255
1. Knochen Versteifungen	255
2. Das Spinal arthrit is ankylopoetica	256
3. Fibrose Versteifungen	260
VIII Wirbelschiebungen und Wirbelgleiten	261
A. Allgemeines	261
B. Wirbelgleiten (Spondylolisthese) durch nichtangeborene Veränderungen im Kreuzbuegelenkstock	262
C. Wirbelverschiebung nach vorn (Pseudospondylolisthese)	263
D. Wirbelverschiebungen nach hinten	264
E. Wirbelverschiebungen nach der Seite („Drehgleiten“)	26
IX. Die Lenden Kreuzbein Gegend	269
Kehrlittum	271
Stichwort-Verzeichnis	274

I Wachstum und normaler Aufbau der Wirbelsäule

A Allgemeines

Kliniker und Röntgenologen, die sich mit Erkennung und Behandlung von Wirbelsäulenerkrankungen beschäftigen, werden nur dann zu einem wirklichen Verständnis für das krankhafte Geschehen an den Bauteilen der Wirbelsäule kommen, wenn sie über deren normalen Aufbau und über die zahlreichen, während des Wachstums regelmäßig eintretenden Entwicklungszustände genau unterrichtet sind. Um das Grundlagen zu einem solchen Verständnis zu schaffen, soll zunächst auf die wichtigsten anatomischen Tatsachen eingegangen werden. Dabei ist es erforderlich, den Entwicklungsgang kurz zu streifen und auch manches, was sich im einzelnen dem röntgenologischen Nachweis am Lebenden entzieht, genauer zu beschreiben, besonders, weil die gebräuchlichen Lehr- und Handbücher der normalen Anatomie auch heute noch den Aufschlußsuchenden in Bezug auf zahlreiche Einzelheiten häufig im Stich lassen. Die Nachschlagewerke des klinischen und röntgenologischen Schrifttums weisen in dieser Beziehung nicht nur große Lücken auf, sondern es sind von früher her manche fehlerhafte Vorstellungen über das Wesen einzelner Erkrankungen und über das pathologische Geschehen bei manchen Krankheiten und Verletzungen von Buch zu Buch weiter getragen worden und haben so im übrigen Schrifttum oft kritiklos Eingang und Verbreitung gefunden. Das trifft vor allem auf die für die allermeisten Wirbelsäulenleiden so wichtigen Entwicklungsvorgänge im Bereich der Wirbelkörperbandscheibengrenze zu, worauf wir später im einzelnen zurück kommen.

Über die Lagebeziehungen der einzelnen Wirbelteile zueinander und deren Röntgenprojektionen in den verschiedenen üblichen Aufnahmerrichtungen geben die meisten entsprechenden klinischen Lehrbücher ausreichend Aufschluß (*Grashey, Köhler, Loeckl, Schulz, Simons u. a.*). Neben den verschiedenen Formen der Wirbelkörper und der Lagebeziehungen ihrer Fortsätze und kleinen Wirbelgelenke zur Projektion der Wirbelkörper sind in diesen Lehrbüchern auch die Technik und Aufnahmerrichtungen für die ordnungsgemäße Röntgenuntersuchung der Wirbelsäule beschrieben. Aus diesen Gründen sollen derartige röntgenologische Einzelheiten für unsere weiteren Beschreibungen als bekannt vorausgesetzt werden.

Die Entwicklungsgeschichte der Wirbelsäule und die vergleichende Embryologie bringen für die Erkennung der Fehlbildungen wichtige Unterlagen und deshalb werden die wesentlichen, zum Verständnis erforderlichen Tatsachen darüber bei der Besprechung der einzelnen Fehlbildungsformen erwähnt (Kap. II). Eine genaue Abhandlung über die Wirbelsäulenenwicklung im vorknorpeligen und knorpeligen Zustand würde bei Beschreibung des normalen Wirbelsäulenaufbaus aber zu weit von den praktischen Erfordernissen abführen. Wir beginnen daher mit der Schilderung der Verknöcherungsvorgänge mit deren Eintreten die Wirbelsäule zuerst im Röntgenbild erfassbar wird. Frühere Entwicklungsvorgänge berühren wir zwischendurch nur kurz, soweit dies zur näheren Erläuterung erforderlich erscheint. Wer weitere Aufschlüsse darüber sucht, findet sie in den Lehrbüchern von *Bardeen, Brass, Broman, Rabl u. a.*

B. Wirbelkörper

Im Wirbelkörper treten die ersten röntgenologisch darstellbaren Verknöcherungsvorgänge im 3. Embryonalmonat auf und zwar finden sie sich zuerst in den unteren Brust- und oberen Lendenwirbelkörpern (*Alexander, Böhmig, Broman, Hartmann, Jomala, Veroli, Schaffer, Schulz und Töndary, Teil u. a.*). Von hier aus schreitet die Verknöcherung an der Wirbelkörperreihe nach kopfwärts und langsame steifwärts fort. Am Ende des 4. Monats sind Knochenkerne in allen Wirbelkörpern angelegt. (Die Verknöcherungsvorgänge in den Wirbelbögen laufen in anderer Weise ab

und werden später geschildert.) Beim Neugeborenen erscheinen die Wirbelkörperknochenkerne in der seitlichen Röntgenaufnahme eiförmig und ihre mittlere Höhe entspricht ungefähr der der Zwischenwirbelsäule (Abb. 1). Vorn und hinten lassen sie geringe, in den einzelnen Fällen etwas verschieden tief ausgeprägte Einbuchtungen erkennen, während sie in der Mitte von einer hori-

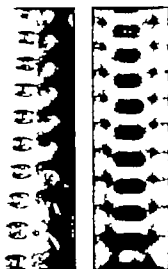


Abb. 1 (links). (Seitliche Röntgenaufnahme der Wirbelsäule eines neugeborenen Mädchens.) Eiförmige Wirbelkörper. Höhe bikonkave Zwischenwirbelscheiben. Die Zwischenknorpel (zwischen Wirbelbogen und Körper) sind als breite Zwischenräume sichtbar. Die waagrecht durch die Wirbelkörper laufenden Aufhellungstreifen entsprechen den Gefäßkanälen.

Abb. 2 (rechts). (Röntgenaufnahme der Wirbelsäule eines neugeborenen Mädchens. Sagittaler Strahlengang.) Die gleiche Wirbelsäule wie Abb. 1, vorher. Relativ große Höhe der Zwischenwirbelscheiben gegenüber der der Wirbelkörper. Die Gefäßkanäle liegen als kleine teilweise doppelt Aufhellungen in der Mitte der Wirbelkörper.

von Injektionspräparaten gemacht. Er fand an jedem Wirbelkörper 15 bis 18 Arteriae nutritiae mit zahlreichen Anastomosen innerhalb des Wirbelkörpers. Weitere Berichte darüber stammen von *Wagener* und *Pendergrass*.

Bei der weiteren Größenzunahme der Wirbelkörper treten im Seitenbild stufenförmige Ausparungen an den vorderen Ecken auf, die die gleiche Bohrendenke geben wie der Zwischenwirbelsäule (Abb. 7, 8). In Aufnahmen mit sagittalem Strahlengang kann man an den seitlichen Wirbelkörpercken oben und unten breißen auch solche stufenförmige Ausparungen sehen, die aber wesentlich niedriger sind als die im Seitenbild sichtbaren Ausparungen an den vorderen Ecken. Es handelt sich also um eine ringförmige den ganzen Wirbelkörper umlagernde Ausparung, die vorn tiefer ist als seitlich und hinten. Der Ausparungsring ist mit Knorpel gefüllt, der sog. „knorpeligen Randleiste“ über die wir später ausführlicher berichten (Abb. 22). Dieser Zustand bleibt etwa bis zum 7. Lebensjahre bestehen.

zontalen, streifigen Aufhellung durchzogen werden. Sowohl die Einkerbungen als auch die Aufhellungstreifen sind von den horizontal durch den Knochenkern laufenden Gefäßkanälen hervorgerufen. Jeder Wirbelkörperknochenkern ist von dem des Wirbelbogens noch durch einen ziemlich breiten strahlendurchlässigen Streifen (sog. „Wirbelbogeneiphyse“) getrennt, der Knorpel enthält und am besten als „Zwischenknorpel“ bezeichnet wird (Abb. 1, 4, 5, 6). Das knorpelige Gerüst der Wirbelsäule ist in diesem Entwicklungsstadium dem Knochengerüst gegenüber noch reichlich ausgebildet, wie aus den hohen Zwischenwirbelsäulen geschlossen werden kann.

In der weiteren Entwicklung nähern sich die Wirbelkörper im seitlichen Röntgenbild betrachtet allmählich der Rechteckform, die noch immer den durch die Gefäßkanäle hervorgerufenen Aufhellungstreifen zeigt und vorn ein wenig bogig eingeschnitten ist. Die Höhe der Wirbelkörper nimmt jedoch im Verhältnis zu der der Zwischenwirbelscheiben deutlich zu (Abb. 4).

Röntgenaufnahmen von vorn zeigen beim Neugeborenen ein breites Oval des Wirbelkörperkerns (Abb. 2). Bisher beobachtet man an der oberen und unteren Fläche dieses Ovals eine kleine Eindellung, so daß der Knochenkern einer legenden 8 ähnelt (Abb. 3). Allmählich nähert sich der Wirbelkörperknochenkern auch in der Aufnahme von vorn her einem Rechteck.

Die Gefäßkanäle sind bei Kindern nicht nur im Seitenbild (Abb. 1), sondern auch in der Aufnahme von vorn als kleine Aufhellungen in der Mitte des Wirbelkörperkerns sichtbar (Abb. 2 und 3). Mit Zunahme des Alters lassen sie sich allerdings meist in der Aufnahme mit ventrodorsalem Strahlengang nicht mehr darstellen. Im seitlichen Röntgenbild verschwindet der durch die Gefäßkanäle hervorgerufene Aufhellungstreifen bis zum völligen Abschluß des Wachstums normalerweise vollkommen, da er von der dichter werdenden Spöngiosa überdeckt wird. Nur selten sind auch noch beim Erwachsenen an einzelnen oder mehreren Wirbelkörpern Gefäßkanäle im Seitenbild sichtbar (*Hahn, Hansen, Meyer und Siegel* u. a.). Dies darf dann nicht zu der irrthümlichen Diagnose eines Wirbelbruchs verleiten. Eingehende Untersuchungen über die Blutversorgung der Wirbelsäule hat *Zolotachin* an Hand

In diesem Entwicklungsstand hat ein mazerierter und aus der Wirbelsäule herausgehobter Wirbelkörper ein eigenartiges Aussehen (Abb. 10). Die Ober- und Unterflächen (Deck- und Grundplatten) bestehen aus einer feinhöckerigen, dünnen Knochenplatte. In der man, besonders an den Randteilen, deutlich eine feine siebartige Durchlöcherung erkennt. An der Grenze zwischen mittlerem und hinterem Drittel liegt eine Zone verschiedener Größe, die aus einer etwas dichteren Knochenplatte mit weniger Lücken besteht. Diese Verstärkungsstelle heißt „Druckaufnahmeplatte“ weil ihrer druckverteilende Gallertkern der Zwischenwirbelscheibe anliegt.

Nach den Rändern, besonders nach vorn zu, zeigt jede Wirbelkörperoberfläche radial verlaufende leistenartige Vorsprünge, die auf die Seitenflächen des Wirbelkörpers übergreifen, so daß die Wirbelkörpermänder dadurch ein gezähntes Aussehen erhalten (Abb. 9). Diese Vorsprünge zwischen denen sich entsprechende flache Rinnen befinden, erstrecken sich vom Rand aus 7–11 mm weit gegen die Mitte der Wirbelkörperoberfläche zu, indem sie allmählich an Breite und Höhe abnehmen. Auch an den hinteren Abschnitten nach dem Wirbelkanal zu finden sich 3–7 solche allerdings nur kurze Leisten und Rinnen. Die Zahl der Furchen am Rand der Wirbelkörperoberflächen schwankt in weiten Grenzen. An den vorderen Abschnitten der Wirbelkörpergrundplatten konnten im 16. Lebensjahre mindestens 2 (Sakralwirbel) im Höchstfälle 17 (12. Brustwirbel) und an der Wirbelkörperdeckplatte mindestens 4 (Sakralwirbel), im Höchstfälle 16 (12. Brustwirbel) gezählt werden. Vorn sind die Riffelungen stets am tiefsten ausgeprägt. Nach den seitlichen Abschnitten zu werden sie weniger tief und lang. Man erkennt sie besonders gut von

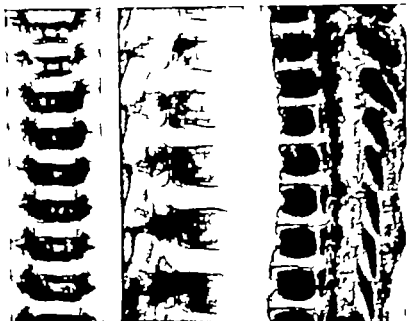
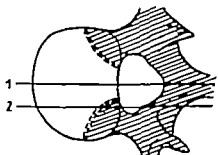


Abb. 3 (links). (Röntgenaufnahme der Wirbelsäule eines 3 Wochen alten Kindes. Sagittaler Strahlengang.) Leicht asymmetrisch in Kopfstrahlrichtung ein gedellte Wirbelkörper.

Abb. 4 (Mitte). (Seitliche Röntgenaufnahme der Wirbelsäule eines 4-jährigen Kindes.) Die Zwischenwirbelsäule sind im Verhältnis zu den Wirbelkörpern niedriger geworden. Die Wirbelkörper haben mehr Rechteckform angenommen, die Zwischenknorpel (zwischen Wirbelkörpern und -bögen) sind als schmale Fugen zu erkennen.

Abb. 5 (rechts). (Lichtbild der Sagittalschnittfläche der Wirbelsäule eines 3-jährigen Kindes.) Knorpelige „Epiphysealfugen“ (Zwischenknorpel) zwischen Wirbelkörpern und Wirbelbögen sind im unteren Teil deutlich zu sehen, da hier der Schnitt schräg von der Mittellinie abgewichen ist (vgl. Abb. 6).

Abb. 6. (Schematische Zeichnung eines Wirbels. Ansicht von oben.) Die im Wirbelbogen angelegten Knochenkerne (schraffiert) dienen zur Bildung des Wirbelbogens und der hinteren seitlichen Anteile des Wirbelkörpers. Zwischen den bogenförmigen, gestrichelten Linien liegt der Zwischenknorpel zwischen Wirbelbogen und Wirbelkörper (sogenannte „Wirbelkörperphysen“). 1 gibt die Sagittalebene an, während 2 ungefähr so weit seitlich liegt, wie der Schnitt in den in der vorhergehenden Abbildung unten dargestellten Wirbelkörpern. Ein Schnitt in dieser Ebene trifft also den Wirbelkörperknochenkern, den Zwischenknorpel und den Teil des Wirbelkörpers, der vom Knochenkern des Wirbelbogens gebildet wird.



der Mitte der Brust- bis zur Mitte der Lendenwirbelstufe während sie an den Hals- und den oberen Brustwirbeln oftmals nicht so deutlich ausgeprägt sind. Bereits an den Wirbelkörpern der Neugeborenen ist diese Furchenbildung andeutungsweise zu sehen, sie wird aber erst vom 6. Lebensjahre ab deutlicher und erreicht etwa im 8–10. Lebensjahre ihre größte Ausprägung. Die Furchen bleiben auch nach Anlegung der knöchernen Wirbelkörper-Randleisten, über die wir sogleich eingehender



Abb. 7 (links). (Lichtbild der unteren Hälfte der in der Sagittalebene durchgesägten Wirbelstufe eines 7-jährigen Knaben.) Querschnitt der knorpeligen Randleisten als stufenförmig vorspringende Knorpelfelder an den vorderen Kanten der Wirbelkörper sichtbar. Kleine solche Felder auch an den hinteren Kanten.

Abb. 8 (rechts). (Vertikale Röntgenaufnahme einer Hälfte der in der Sagittalebene durchgesägten Wirbelstufe eines 7-jährigen Mädchens.) Die Zwischenwirbelsäule sind im Verhältnis zur Höhe der Wirbelkörper bedeutend niedriger geworden, zeigen aber vorn nach oben und unten treppenförmig in die Wirbelkörper vorspringende Verbreiterungen. In diesen liegen die mit den knorpeligen Schlußplatten zusammenhängenden knorpeligen Wirbelkörper-Randleisten. Wirbelkörper und Wirbelbogen sind verschmolzen, so daß die Zwischenknorpel nicht mehr zu sehen sind.

Im mazerierten Präparat zeigt weiterhin, daß am Wirbelkörper eigentlich keine festgefügte Rinde schicht vorhanden ist, wie wir sie von den langen Rohrenknochen her kennen. Die Vorderfläche ist porig und enthält zahlreiche größere Löcher — Gefäßtrittsstellen — die häufig in regelmäßigen Zwischenräumen entlang der bogenförmigen Linie am oberen und unteren Wirbelkörper-Rand angeordnet sind. Doch haben diese anatomischen Feinheiten nicht so große praktische Bedeutung. Es soll nur nebenbei bemerkt werden, daß die vom Zustand beim Erwachsenen abweichende Gestalt der jugendlichen Wirbelkörper wichtig für die Altersbestimmungen von Wirbeln ist. Dies kann mitunter für den Gerichtsmediziner von Bedeutung sein (*Merkel*).

Auf der Wirbelkörperoberfläche liegt zwischen Wirbelkörper und Bandscheibengewebe eingefügt aber fest mit der Bandscheibe verbunden, eine aus hyalinem Knorpel bestehende Schicht (knorpelige Schlußplatte der Bandscheibe, plattzellige Schicht), die wie der überhängende Rand eines Konservendeckels (krempeartig) in die Ausparung am Wirbelkörper-Rand auf die Vorder-

berichten werden, bestehen und dienen zu deren richtiger Verzahnung. Da sie aber weiter nach der Mitte der Wirbelkörperoberflächen zu entwickelt sind als die schmale knöchernen Randleiste, sind sie nach deren Bildung fast stets noch zu sehen (Abb. 11). Erst nach Abschluß des Wachstums, also jenseits des 21–23. Lebensjahres, glätten sich die restlichen Riffelungen, und die Oberfläche eines erwachsenen Wirbelkörpers (Abb. 20) hat dann ein ganz anderes Aussehen als die des jugendlichen (Abb. 10). Besonders bemerkenswert ist noch, daß die Durchlöcherung der Schlußplatte des Wirbelkörpers beim Erwachsenen viel größerer geworden ist.

Betrachtet man einen mazerierten Wirbelkörper eines jugendlichen von vorn (Abb. 9), so erkennt man, wie die eben besprochenen feinen Riffelungen auch in den bereits geschilderten, und im seitlichen Röntgenbild (Abb. 8) gut sichtbaren Ausparungsring an den Wirbelkörperkanten übergreifen. Dadurch erhält fast das ganze obere und untere Drittel der Wirbelkörper Vorderflächen ein geriffeltes Aussehen. Eine genaue Betrachtung der Wirbelkörper-Vorderflächen

Abb. 9 (oben) (Lichtbild der markierten Wirbelstule eines 6-jährigen Mädchens, Ansicht von oben.) Gut sichtbare Riffelung der Wirbelkörperoberfläche, die sich auch einige Millimeter auf die Wirbelkörperaußenflächen erstreckt. Die in den geriffelten, stufenförmig zurückgespringenden Rändern der Wirbelkörper liegenden knorpeligen Randleisten sind durch die Markierung zerstört. Die größeren Poren in den Wirbelkörperaußenflächen sind Gef. Eintrittswellen.

Abb. 10 (Mitte) (Lichtbild eines markierten Wirbelkörpers eines 10-jährigen Knaben von oben her gesehen.) Die Wirbelkörperoberfläche zeigt an den Rändern eine feinporeige Beschaffenheit. In der Mitte ist sie etwas dichter. Entlang dem Wirbelkörpertrand ist sehr deutlich eine Riffelung zu sehen, deren Höcker und Furchen sich einige Millimeter nach der Mitte der Wirbelkörperoberfläche zu fortsetzen. Die auf der Wirbelkörperoberfläche nahe der Bogenwurzel sichtbaren, wenig tiefen, bogenförmigen Einkerbungen zeigen die Lage des Zwischenknorpels (Bogenepiphyse) an (vgl. Abb. 6 und 61).

Abb. 11 (unten) (Lichtbild einiger Wirbelkörperoberflächen von 17-jährigen Jungmännern.) Die knöchernen Randleisten liegen den Rändern der durchlöcherichten Scheibplatten der Wirbelkörper als geschlossene Ringe auf. Vorn sind sie etwas breiter als seitlich und hinten. Die 8. Ringe Teile der Wirbelkörperoberflächen lassen noch Andeutungen der radialen Riffelungen erkennen, die unter den auf gelagerten knöchernen Randleisten verschwinden.



Abb. 9

seiten- und Hinterflächen des Wirbelkörpers übergreift. Sie ist an den Rändern des Wirbelkörpers innig mit den bereits besprochenen Lesten und Rinnen verzahnt, was erstens zur festeren Verbindung zwischen beiden und zweitens zur Oberflächenvergrößerung und damit zur besseren Ernährung beiträgt. An der knochenwärts gerichteten Oberfläche dieser Knorpelschicht findet das Längenwachstum des Wirbelkörpers statt. Man kann hier im mikroskopischen Bild die Sanken- oder Palisadenstellung der Knorpelzellen nachweisen, ebenso wie an den Wachstumsstellen der langen Röhrenknochen.

Der krepserartige Fortsatz, der sich von der Knorpelschicht aus in den Ausparungsring der Wirbelkörperkante hineinlegt und den man als knorpelige Wirbelkörperkandleiste (oder als knorpelige Randleistenanlage) bezeichnen kann, erscheint auf dem Saggittalschnitt als kleines, in die Wirbelkörperkante eingeschnittenes Knorpelfeld (Abb. 7). Im seitlichen Röntgenbild ist in diesem Entwicklungsstadium eine stufenförmige Ausparung sichtbar (Abb. 8). In den Knorpelringen treten bei Mädchen zwischen dem 6. und 8. Lebensjahr und bei Knaben zwischen dem 7. und 9. Lebensjahr kleine Kalkherde auf, die allmählich durch Gefäßsprossung verknochen (Schmorl).

Sie lassen sich schon in diesem Alter in guten seitlichen Röntgenbildern vom Lebenden darstellen. Im allgemeinen wird in Lehrbüchern das Auftreten des Knochenkernes der Randleisten fälschlicherweise in ein späteres Lebensalter verlegt. Harrenstein fand im Schrifttum darüber Angaben, die zwischen dem 11. und 21. Lebensjahr schwankten. Die ersten Verkalkungsherde werden jeweils in den Vertiefungen der oberen Riffelung und von Schmorl ausführlich beschriebenen Riffelung beobachtet. Allmählich verschmelzen die zerstreuten Knochenanlagen innerhalb der knorpeligen Randleiste miteinander und bilden die „knöcherne Randleiste“ (Abb. 11–21).



Abb. 10

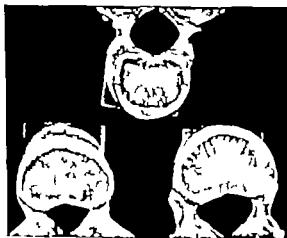


Abb. 11



Abb. 12. (Lichtbild der markierten Wirbelsäule eines 23-jährigen Mannes. Ansicht von oben.) Die knöchernen Wirbelkörperendleisten sind durch eine feine bogige Linie vom Wirbelkörper abgegrenzt.

und schematische Darstellung in Abb. 22), die zunächst noch durch eine Knorpelfuge vom Wirbelkörper selbst getrennt ist (Abb. 13, 14). Die Verschmelzung der einzelnen Knochenherde zur geschlossenen Randleiste ist etwa im 12. Lebensjahre vollendet. Die Kalkablagerungen und die allmählichen Verknöcherungen treten nicht an allen knorpeligen Randleisten derselben Wirbelsäule auf. Auch im selben Wirbelkörper kann die kopfwärts liegende Randleiste bereits ausgedehnte Verknöcherungen zeigen, während die steilwärts liegende noch rein knorpelig ist, oder umgekehrt. Wenn im Röntgenbild derartige unregelmäßige Randleistenverknöcherungen zur Beobachtung gelangen, darf also nicht ohne weiteres auf eine mangelhafte Anlage geschlossen werden. Der Fall von *Landmann* (etwa 6 Jahre altes, imbezilles Mädchen mit Lues congenita und bereits vollkommen ausgebildeten knöchernen Wirbelkörperendleisten) steht vereinzelt da. Die Breite des knöchernen Randleistenringes ist in den einzelnen Wirbelsäulen abschnittsweise verschieden. Genaue Messungen und Durchschnittszahlen finden sich bei *Vidaar*.

In diesem Entwicklungsstadium zeigt eine seitliche Röntgenaufnahme in den in die vorderen oberen und unteren Wirbelkörperkanten einspringenden Absätzen die kleinen Knocheninseln (Abb. 14) die einen feinen Fortsatz nach hinten ausenden, der die strichförmige Projektion der ringförmigen knöchernen Randleiste darstellt. Solche Knocheninseln sind in klinischen Röntgenaufnahmen fälschlicherweise



Abb. 13



Abb. 14



Abb. 15



Abb. 16

Abb. 13. (Lichtbild der linken Hälfte der in der Sagittalebene durchgetragenen Wirbelsäule eines 16-jährigen Junglings.) In den vorderen Wirbelkörperkanten sind die kleinen, dreieckigen, durch feine Knorpelzonen vom Wirbelkörper noch getrennten Sagittalschmitt der Randleisten („Wirbelkörperperiphyse“) deutlich zu sehen.

Abb. 14. (Seitliche Röntgenaufnahme der Wirbelsäule eines 10-jährigen Mädchens.) Anlagen der knöchernen Randleisten in den stufenförmigen Ausparungen an den vorderen Wirbelkörperkanten. Sie haben je einen dünnen Fortsatz nach hinten, der die Projektion der ringförmigen Verknöcherung in der knorpeligen Randleiste darstellt. Die sich allmählich zur ringförmigen knöchernen Randleiste („Wirbelkörperperiphyse“) umbildet.

Abb. 15. (Röntgenaufnahme der Wirbelsäule eines 8-jährigen Mädchens. Sagittale Strahlung.) Den oberen und unteren Wirbelkörperlängsachsen liegen die dünnen, strichförmigen, mehrfach unterbrochenen Projektionen der in beginnender Verknöcherung begriffenen Wirbelkörperendleisten auf.

Abb. 16. (Röntgenaufnahme einer seitlichen der in der Sagittallinie von der Wirbelsäule eines 9-jährigen Kindes abgetrennten Reihe.) Die in den Zwischenwirbelsäulen oben und unten nahe der Wirbelkörperbegrenzung ein gelegenen feinen, teilweise unterbrochenen Striche sind die P der in beginnender Verknöcherung begriffenen ringförmigen.

als tuberkulöse Sequester gedeutet worden (*Lehrbecker*) was bereits *Harrenstein* richtiggestellt hat. Die Röntgenaufnahme einer von der Wirbelsäule seitlich durch senkrechten Schnitt abgetrennten Scheibe läßt die knöchernen Randleisten als *feine* der Oberfläche parallel laufende Striche erkennen (Abb 16). Der Schnitt wurde in diesem Fall so weit seitlich gelegt, daß der stufenförmige Absatz, der nur am vorderen Umfange der Kante besonders tief ist, nicht mit in den Schnitt fiel.

Vom 14. oder 15. Lebensjahre an beginnt die Verschmelzung der knöchernen Randleiste mit dem Wirbelkörper dadurch, daß sich zwischen beiden wieder an verschiedenen Stellen gleichzeitig einsetzend knöcherne Brücken bilden, durch die allmählich der letzte Rest der knorpeligen Randleiste verschwindet. Die Verschmelzung zwischen Randleisten und Wirbelkörpern erfolgt nicht gleichzeitig an allen Wirbeln. Am spätesten findet sie an den Lendenwirbeln statt. Die Abb 17 zeigt die knöcherne Verschmelzung bereits an einigen der dreieckigen Knochenfelder der während andere noch deutlich vom Wirbelkörper getrennt sind. Da bei dieser Abbildung der Schnitt im unteren Teil etwas seitlich von der Mittelebene abgewichen ist, sind hier Bilder entstanden, die der Abb 16 entsprechen. Am 2. Kreuzbeinwirbel sowie am 4. und 3. Lendenwirbel sind auch an den hinteren Wirbelkörperkanten die kleinen dreieckigen Knochenfelder der Randleiste zu sehen. Wenn man von einer Wirbelsäule in diesem Entwicklungsstadium eine Röntgenaufnahme mit sagittalem Strahlengang anfertigt, lassen sich die Projektionen der knöchernen, in Verschmelzung mit den Wirbelkörpern befindlichen Randleisten als deutlich abgesetzte dunkle strichförmige Schatten erkennen, die den Wirbelkörperoberflächen aufliegen (Abb 18). Auch Aufnahmen von der Seite her ergeben in diesem Alter ähnliche Bilder (Abb 19).

Mazerationspräparate zeigen in diesem Entwicklungsstadium in der Ansicht von vorn (Abb 12) daß die beim kindlichen Wirbel vorhandenen stufenförmigen Ausparungen jetzt mit einem knöchernen Ring ausgefüllt sind, der sich besonders schön in der Aufsicht auf die Grund- oder Deckplatten darstellen läßt (Abb 11). Man erkennt die auf dem Rand der siebartig durchlöcherten knöchernen Schlußplatte des Wirbelkörpers aufliegende Randleiste. Sie ist in ihrem vorderen Teil etwas breiter als seitlich und hinten umgibt aber den Wirbelkörperrand als völlig geschlossener Ring mit dichter Knochenoberfläche. Auf der durchlöcherten Schlußplatte des Wirbelkörpers liegt, soweit sie nicht von der Randleiste bedeckt wird, die sog. knorpelige Schlußplatte die in den Präparaten der Abb 11 und 20 durch das Mazerationsverfahren vernichtet worden ist.

Bei schrägem Strahlengang durch den die Wirbelkörperoberflächen als flache Ellipsen abgebildet werden, können in manchen Fällen die Randleisten deutlich zur Darstellung kommen. Abb 21 läßt knapp 1 cm hinter dem vorderen Wirbelkörperrand auf den als elliptische Flächen sichtbaren Wirbelkörperoberflächen bogenförmige Verschattungen erkennen, welche die hinteren Ränder



Abb 17 (Röntgenaufnahme einer in der Mittellinie aus der Wirbelsäule eines 15-jährigen Mädchens herausgezogenen Bohrer). Der Querschnitt der knöchernen Randleisten an den vorderen und hinteren Kanten der Wirbelkörper in beginnender Verschmelzung mit den Wirbelkörpern. Im unteren Teil ist die Scheibe etwas von der Mittellinie abgewichen, und man erkennt die als schmale Knochenzonen dem Wirbelkörperoberflächen aufliegenden seitlichen Randleistenschnitte.

der bereits mit dem Wirbelkörper völlig verschmolzenen knöchernen Randleisten darstellen, die an dieser Stelle treppenförmig auf die durchlöchernte Schlußplatte des Wirbels abfallen. Ähnliche Verhältnisse bekommt man auch im klinischen Röntgenbild zu sehen (Steiner 1929). Bei sorgfältiger Betrachtung findet man daselbst regelmäßige Bild an mehreren benachbarten Wirbeln, so daß eine Verwechslung mit pathologischen Vorgängen in der Wirbelkörper-Randleiste vermieden werden kann.



Abb. 18



Abb. 19



Abb. 20



Abb. 21

Abb. 20 (unten links). (Lichtbild eines von oben her gewaschenen mazerierten Wirbelkörpers eines Erwachsenen.) Die Mitt der knöchernen Schlußplatte des Wirbelkörpers ziemlich dicht, nur mit wenigen Poren. Nach den Rändern zu zahlreichere und dichtestehende große Poren. Die knöchernen Randleiste umgibt als schmaler Ring mit dichter Knochenoberfläche den Rand der knöchernen Schlußplatte. Die beim Jugendlichen sichtbare Ritzung (Abb. 10 und 11) ist verschwunden.

Abb. 21 (unten rechts). (Seitliche Röntgenaufnahme der Brustwirbelsäule einer 28-jährigen Frau. Schräger Strahlengang.) Etwa 1 cm hinter den vorderen Wirbelkörperkanten sind auf den elliptisch projizierten Wirbelkörperoberflächen bogenförmige Schatten zu sehen, die den hinteren Begrenzungen der knöchernen Randleisten entsprechen. An dieser Stelle fallen die etwas erhabenen Randleisten treppenförmig auf die stark durchlöchernte knöchernen Schlußplatten der Wirbelkörper ab.

Wir haben die Bildung (Schema in Abb. 22) und röntgenologische Darstellung der ringförmigen Wirbelkörper-Randleiste etwas ausführlicher behandelt, weil deren genaue Kenntnis für das Verstehen der krankhaften Vorgänge an der Wirbelkörper-Bandscheibengrenze von Wichtigkeit ist. Bisher war für die knöchernen Wirbelkörper-Randleiste der Name „Wirbelkörper-epiphyse“ gebräuchlich. Schmorl wies jedoch nach, daß diese „Wirbelkörper-epiphyse“ den Epiphysen der langen Röhrenknochen nicht völlig gleichzustellen ist, da sie nach der Band-

Abb. 18 (oben links). (Röntgenaufnahme der Brustwirbelsäule eines 18-jährigen Mädchens. Sagittaler Strahlengang.) Die Projektionen der ringförmigen Wirbelkörper-Randleisten bedecken als regelmäßig breite dunkle Ringe die Wirbelkörperoberflächen. Die Zwischenwirbelsäule sind verhältnismäßig niedriger gegenüber den hohen Wirbelkörpern. Bei älteren Menschen ist die Schattendichte der Randleisten geringer.

Abb. 19 (oben rechts). (Seitliche Röntgenaufnahme einer Hälfte der in der Sagittalebene durchstrahlten Wirbelsäule eines 17-jährigen Mädchens.) Die ungebildeten Wirbelkörper-Randleisten haben die Höhe der Zwischenwirbelsäule wesentlich verringert. An den vorderen Wirbelkörperkanten gibt die Spengloss der Wirbelkörper in die der Randleisten über. Hier hat eine vollkommen knöcherne Vereinigung zwischen Randleiste und Wirbelkörper stattgefunden.

scheibenwärts gerichteten Seite keine Wachstumsschicht trägt (vgl. auch *Wählig, Luecke*). Wenn man die knöcherne Wirbelkörperendleiste bei entwicklungsgeschichtlicher Betrachtung auch als rudimentäre Wirbelkörperepiphyse bezeichnen kann, so ist es doch für das Verständnis des anatomischen Aufbaus und der im Röntgenbild sichtbaren Verhältnisse besser, den Namen „Wirbelkörperepiphyse“ mindestens für die mit dem Wirbelkörper verschmolzenen Epiphysen“ zu vermeiden und durch die Bezeichnung „Wirbelkörperendleiste“ zu ersetzen. Dieser Name hat außerdem noch den Vorteil, stets an die ringförmige Ausbildung der Randleiste zu erinnern. In zahlreichen Lehrbüchern und Arbeiten wird aber trotzdem von den Epiphysenscheiben, platten oder scheibenförmigen Epiphysen des Wirbelkörpers gesprochen (*Köhler, Ruckenstein, Janke u. a.*). *Bruce* schreibt z. B. daß die Wirbelkörperepiphysen vom 12. Lebensjahre an als platte Knochenstellen verknöchern. Ebenso spricht *Haselkrunder* in seiner Monographie über das Knochenystem im Kindesalter von scheibenförmigen Wirbelkörperepiphysen und bringt eine Abbildung davon. Solche Anschauungen können zu großen Irrtümern Anlaß geben. Bearbeiter, die diese Bezeichnung gebrauchen, sind geneigt, auch Störungen, die sich in der Mitte der Wirbelkörperbandscheibengrenze abspielen, als Epiphysenstörungen oder Epiphysenkrankungen zu bezeichnen, was nach unseren Schilderungen den Tatsachen nicht entspricht. Bei Säugetieren — mit Ausnahme der Menschenaffen (Gorilla und Orang Utan) — sind stets scheibenförmige Epiphysen auf den Wirbelkörperendflächen vorhanden. Diese zeigen aber auch keine Wachstumszonen nach der Bandscheibe zu. Leider ist im tiermedizinischen Schrifttum diesen Gebilden noch nicht die nötige Beachtung geschenkt worden. Bei zwei Orang Utans und einem Gorilla, deren Leichenöffnungen wir in Dresden vorgenommen haben, fanden sich ringförmige Epiphysen, die allerdings wesentlich breiter waren als beim Menschen. Einige Untersuchungsergebnisse über derartige Befunde an Tierwirbelkörperepiphysen sind in einer Arbeit von *Bondie* aus dem Schmorl'schen Institut mitgeteilt worden. Sie regen hoffentlich zu weiteren Forschungen in der vergleichenden Anatomie an, denn genaueres Wissen darüber würde sicher auch noch manche Aufklärung über die menschliche Anatomie und Pathologie dieser Gebilde bringen.

Gestern sieht die Wirbelkörperendleiste in Zusammenhang mit der Knorpelplatte. In Epiphysen, da er an der bandscheibenwärts liegenden Seite der Randleiste Wachstumsknoorpel gefunden hat. Diese Angaben bedürfen weiterer anatomischer Nachprüfungen. Bzw. geht in einer ausführlichen Arbeit unter Heranziehung des Schrifttums und eigener Röntgenbilder auf die Frage der Verknöcherung im Wirbelkörper ein, und kommt zu dem Ergebnis, daß Knorpelplatte und „Randleiste“ zusammengehören und als Verknöcherungskern (Epiphyse) des Wirbelkörpers (Diaphyse) aufzufassen sind, während Schmorl die Knorpelplatte der Bandscheibe

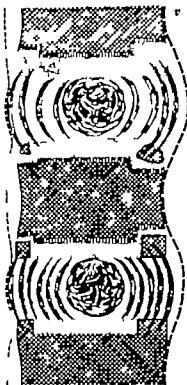


Abb. 22. (Schematische Zeichnung eines Wirbelkorpers-Sagittalschnittes zur Darstellung der Entwicklung der knorpeligen und knöchernen Wirbelkörperendleiste v = ventral, d = dorsal.) In der oberen dargestellten Zwischenwirbelscheibe liegt kopfwärts die Knorpelplatte (punktiert), die die knöcherne Wirbelkörpergrundplatte ganz bedeckt und kranienartig in den Wirbelkörperrand hineinragt wie in Abbildung 7 und 8. Stiefwärts zeigt die gleiche Zwischenwirbelscheibe einem späteren Entwicklungsstand, in dem sich Knochenkerne in den knorpeligen Randleisten bilden.

ausgebildet haben wie in Abb. 13 und 14. Diese Knochenkerne sind in der nachfolgenden gelegenen Zwischenwirbelscheibe der oberen Knorpelplatte größer entwickelt (wie in Abb. 17) und die Fasern der Randleistenfasern sind in den Knochenkernen in Form von *Schmorl'schen Fasern* erkannt. Der im Bild ganz unten dargestellte Wirbelkörper trägt an seiner kopfwärts liegenden Deckplatte nur noch in der Mitte die Knorpelplatte (Knorpelanlage), während die knöcherne Randleiste voll mit ihm verschmolzen ist. Das vordere Längsband liegt der Wirbelkörperendleiste und -seitenwand nur in der Ausdehnung auf, in der im frühen Entwicklungsstadium keine Randleiste bestand. Es hebt sich an der Grenze zwischen früherer knorpeliger Randleiste und Wirbelkörperendleiste ab, überbrückt den ganzen Zwischenwirbelscheibenraum, um sich am nächsten Wirbel mit wieder in der Randleistenwand anzusetzen. Das hintere Längsband überspringt die Wirbelkörperendleiste und setzt sich an der Rückwand der Zwischenwirbelscheibe an.

schebe zugeordnet. Nach unseren heutigen Kenntnissen ist dieser Zwiespalt in der Auffassung lediglich ein Streich um Worte. In den echten Gelenken unseres Körpers ist es üblich, den Gelenkkörper als Rest der knorpeligen Epiphyse zu bezeichnen (*Ruge* führt dafür den sehr anschaulichen Namen „Chondrophysen oder Knorpelanlagenrest“ ein). Zwischen den Wirbelkörpern liegt aber kein echtes Gelenk, sondern die Zwischenwirbelscheibe, die nach Abschluß der Entwicklung noch sehr enge Beziehungen zur Knorpelplatte und zur knöchernen Wirbelscheibe perrandiert (*Scherpe*sche Faser) hat. Außerdem ist die Knorpelplatte auf der Wirbelkörperoberfläche nur „aufgeklippt“ (S. 15), mit dem Bandscheibengewebe aber durch allmählichen geweblichen Übergang verbunden. Es ist hier im Gegensatz zu den echten Gelenken keine strenge anatomische Trennung zwischen Gelenkspalt und knorpeligem Gelenküberzug aufgetreten. Die Verbindung der Wirbelkörper durch die Zwischenwirbelscheiben entspricht — wie *Ruge* bestätigt — der Vorstufe zur Entwicklung eines Gelenkes. Wenn *Schäfer* und seine Schule die Knorpelplatten zur Zwischenwirbelscheibe rechnen, so hat das außer den oben angeführten, aus dem anatomischen Aufbau entnommenen Gründen noch den Zweck, das Verständnis für die krankhaften Geschehnisse an der Wirbelkörperbandscheibengrenze zu erhöhen. IF *Heber* schließt sich dieser Auffassung an. Bandscheibengewebe und Knorpelplatte sind, fest miteinander zusammenhängend, die beweglichen, elastischen und druckordnenden Abschnitt der Wirbelkörperbandscheibenreihe und damit eine physiologische Einheit gegenüber den zwischen geschalteten starren knöchernen Wirbelkörpern. Diese Tatsache sollten wir für alle Erörterungen im Auge behalten und für praktisch klinische Zwecke weiterhin im Sinne der *Schäfer*schen Schule die früher stiefmütterlich behandelte Zwischenwirbelscheibe in die Mitte unserer Betrachtungen stellen.

Für die röntgenologische Darstellung der Wirbelkörper ist der Aufbau der Spongiosa von besonderer Wichtigkeit, weil von ihm die Schattendichte der Wirbelkörper abhängt. Die meist gebräuchliche Bezeichnung „Spongiosabälkchen“ ist nicht ganz richtig, denn die Spongiosa der Wirbelkörper setzt sich ebenso wie die der anderen Knochen weniger aus Bälkchen, als vielmehr aus dünnen Knochenplatten zusammen, die sich gegenseitig durchschneiden und zahlreiche runde bis viereckige Löcher verschiedener Größe enthalten (Abb. 23). Im Wirbelkörper ist die Hauptrichtung dieser Platten Kopf-Steißwärts. Dies läßt sich auch aus Röntgenbildern ablesen, denn in der wägbigen Struktur innerhalb der Wirbelkörper erkennt man eine Betonung der in Kopf-Steiß-Richtung verlaufenden Schattenzüge (Abb. 4, 8, 10, 17, 19, 21). Eine gewisse Verschiedenheit in der Verlaufsrichtung der Knochenplatten ist in den einzelnen Wirbelkörperabschnitten je nach der Hauptbelastungsrichtung gegeben. Bei krankhaften Ver-

legungen und Versteifungen ändert sich die Richtung und Anzahl der Knochenplatten beträchtlich im Sinne des neuentstandenen Belastungsdruckes.

Einer bisweilen beobachteten Besonderheit im Aufbau der Wirbelkörperspongiosa müssen noch einige Zellen gewidmet werden. Nicht selten zeigt das Röntgenbild von Wirbelkörpern knapp innerhalb der Deck- und Grundplatten ein deutliches, diesen Platten parallelaufendes, meist in der Mitte besonders starkes, strichförmiges Schattenband (Abb. 24). Auch in der oben besprochenen Abbildung des regelrechten Spongiosagerüsts (Abb. 23) ist ein solcher Spongiosastrich sichtbar. Eine besondere Bedeutung scheint diesen verdoppelten Schlußplatten oder „Endplatten“ nicht zuzukommen. *Böttig* beschreibt, daß sie bei jüngeren Leuten meist nur an der Grundplatte der Wirbelkörper, bei älteren Leuten aber an den Grund- und Deckplatten zugleich vorkommen sollen.

Auch *Überwath*, *Lyon* und anderen sind derartige Schlußplattenverdoppelungen aufgefallen. Es ist noch fraglich, ob doppelte Schlußplatten in den Wirbelkörpern in ähnlicher Weise zu erklären sind wie die Querstreifungen in der Nähe der Gelenkenden von langen Röhrenknochen, die



Abb. 23. (Leichtbild der Sagittalschnittfläche eines mazerierten Lendenwirbelkörperstückes. Schwache Vergrößerung.) Blick in das normale Spongiosagerüst. Die Spongiosa ist aus sich kreuzenden, durchlocherten Platten zusammengewirrt. Unterhalb der Wirbelkörperdeckplatte ein parallelaufendes Verstärkungsband (vgl. Abb. 24).

nach rachitischen Störungen der Ernährung oder der inneren Sekretion und ähnlichen, den Kalkstoffwechsel zeitweilig störenden Vorgängen entstehen.

Die Halswirbelkörper weichen in ihrer Form etwas vom übrigen Wirbeltyp ab. Die 5 unteren Halswirbel tragen rechts und links oben eine schräg aufsteigende Knochenleiste, den *Processus uncinatus* (Sichelfortsatz), auch *Processus uncinatus* genannt. Da durch sind sie sattelartig oder schaufelförmig gestaltet. Die Tiefe der Sattelbildung nimmt allmählich von oben nach unten zu ab. Entwicklungsgeschichtlich gehört der *Processus uncinatus* der Bogenwurzel an (*Luschka*). Im Bereiche der *Processus uncinatus* besteht eine gelenkartige Verbindung zwischen den seitlichen Halswirbelkörpern, dem das *Uncovertebralgelenk* (*Hemiarthrosis intervertebralis lateralis* nach *Luschka*). In der immer wie der auftauchenden Zweifelsfrage darüber, ob es sich hier um echte Gelenke oder erst allmählich auftretende Spaltbildungen im Zwischenwirbelscheibengewebe handelt, stellt *Töndury* auf Grund seiner Untersuchungen fest, daß es sich nicht um Gelenkverbindungen, sondern um degenerativ entstandene Spalten handelt, in die manchmal fetthaltige Bindegewebsklappen hineinragen. Bisweilen setzen sich die Spaltbildungen durch das Zwischenwirbelscheibengewebe bogenförmig fort, vereinigen sich von rechts und links her und teilen dadurch die Bandscheibe in eine kopfwärts und eine steißwärts liegende Hälfte. Dem *Processus uncinatus* kommt eine große Bedeutung deshalb zu, weil enge Lagebeziehungen zwischen ihm, dem Bandscheibengewebe, dem Zwischenwirbelloch und der *Arteria vertebralis* bestehen (Kap. III P. 8 I¹ Abb. 2⁴).

Besonderheiten bieten noch die Kopfgelenke (*Fick*) zwischen Hinterhaupt, erstem und zweitem Halswirbel (Kap. I J. S. 26). Auf Einzelheiten der Entwicklung, Form und Gelenkverbindung der oberen beiden Halswirbel kann hier verzichtet werden. Sie sind in den Lehrbüchern der Anatomie enthalten und auch von *Erner* zu sammentfassend beschrieben. Ihre genaue Röntgenuntersuchung bereitet Schwierigkeiten, die nur mit ausgefeilter Aufnahmetechnik überwunden werden können (*Brocher Gutmann Sandler* u. a.), wofür oft Schichtbilduntersuchungen unerlässlich sind (*Fischelick*).



Abb. 24. (Seitliche Röntgenaufnahme der Lendenwirbelsäule eines 34-jährigen Mannes. Nadel in der 1. Lendenbandscheibe.) An den oberen und unteren Wirbelkörpergrundflächen stark schattengebende doppelte etwas ausgebogene Begrenzungslinien.

C. Wirbelbögen, Wirbelbogenfortsätze, Wirbelbogengelenke (kleine Wirbelgelenke) und Nebenknochenkerne

Unabhängig von der Verknöcherung der Wirbelsäule geht die der Wirbelbögen und ihrer Fortsätze vor sich. Nach den neuen Untersuchungen von *Töndury* bilden sich in den Wirbelbögen keine eigentlichen enchondral liegenden Knochenkerne, sondern die Verknöcherung beginnt in jeder Wirbelbogenhälfte vom Perichondrium aus. Bereits am Ende des 2. Embryonalmonats zeigt sich Knochenbildung im Wirbelbogen des Atlas. Allmählich schreitet die Verknöcherung steißwärts fort und hat im 4. Embryonalmonat bereits alle Wirbelbögen erfaßt. Durch allmähliche Vergrößerung ergreift die in jeder rechten und linken Bogenhälfte entstehende Verknöcherung den ganzen knorpelig vorgebildeten Wirbelbogen. Durch diese von beiden Seiten kommenden Verknöcherungsvorgänge bildet sich (im Verlaufe des 1. Lebensjahres) der knöcherne Dornfortsatz, der keinen eigenen Knochenkern besitzt, dem aber knöcherne Apophysen aufsitzen (Abb. 23) (wobei später berichtet wird). (Im Atlas und Kreuzbein verzögert sich der endgültige knöcherne Anschluß des Wirbelbogens am Dornfortsatz oft bis ins 4., manchmal bis ins 6. Lebensjahr.) Auch in den anderen Wirbelbogenfortsätzen (Gelenk- und Querfortsätze) wird kein eigener Knochenkern angelegt. Sie erhalten ihre Verknöcherung durch zapfenförmige, von den Wirbelbogenknochen ausgehende Knochenausläufer. Die perichondral beginnende Wirbelbogenverknöcherung setzt sich jederseits nach vorn zu in die

Wirbelbogenwurzel bis zur sogenannten „Bogenepiphyse“ fort. Der hier liegende „Zwischknorpel“ besteht beim Neugeborenen noch breit und auch im Röntgenbild deutlich nachweisbar (Abb. 1). Diese Knorpelfuge zwischen Wirbelkörper und Wirbelbogenwurzel (Intermediärknorpel Zwischenknorpel) die oft als Wirbelbogenepiphyse bezeichnet wird liegt ziemlich weit im Wirbelkörper (Abb. 5 6 10). Dadurch sind Bogen und Körper besonders fest miteinander verankert, und die Wirbelbogenwurzeln bilden jeweils ein beträchtliches Stück vom seitlich hinteren Teil des endgültigen Wirbelkörpers. Die knöcherne Vereinigung zwischen Wirbelbogenwurzel und Wirbelkörper findet im 3–6 Lebensjahr statt. Doch kann man ausnahmsweise Reste des Zwischenknorpels im anatomischen Präparat noch bis zum 14 Lebensjahr und länger nachweisen.

Der Wirbelbogen umschließt reichlich $\frac{2}{3}$ der Wandung des Wirbelloches. Das restliche vordere $\frac{1}{3}$ wird von der Hinter



Abb. 23 (links). (Röntgenaufnahme der Lendenwirbelsäule eines 2-jährigen Mannes.) Den Dornfortsätzen liegen lappenförmige Apophysen auf, die bereits beginnen, sich mit den Querfortsätzen knöchern zu vereinigen. Kleiner solche Apophysen, die aber noch getrennt sind, liegen an den Spitzen der Querfortsätze (Pfeile).



Abb. 26 (rechts). (Lichtbild eines Frontaldurchschnittes durch Gelenke zwischen Atlas und Epistropheus.) Beiderseits ragten von den Gelenkflächen der kleinen nach unten gerichtete Polster zwischen die Gelenkflächen. (Präparat und Lichtbild von Dr. Essminger Augsburg.)

fläche des Wirbelkörpers gebildet. Auf diese in der normalen Anatomie allgemein bekannten Tatsachen wollen wir aber nicht weiter eingehen. Auch sollen hier keine näheren Beschreibungen der verschiedenen Fortsätze des Wirbelkörpers (Gelenkfortsätze Querfortsätze Dornfortsätze) gegeben werden. Über ihre Gestalt und Projektion im Röntgenbild ist Hinreichendes in den bekannten Lehrbüchern enthalten.

Die Wirbelbogengelenke, die auch „kleine Wirbelgelenke“ genannt werden, sollte man keinesfalls als „Zwischenwirbelgelenke“ bezeichnen, weil diese Namensgebung oft für die Zwischenwirbelscheiben benutzt wird. Die Wirbelbogengelenke bestehen zwischen je 2 Wirbeln rechts und links durch die korrespondierend aufeinander austretenden oberen bzw. unteren Gelenkfortsätze der Wirbelbögen. Man kann sie als verknüpfte Scharngelenke bezeichnen. Sie lassen sich im Röntgenbild nur dann gut darstellen, wenn der Strahlengang genau ihren Gelenkflächen parallel läuft. Im allgemeinen ist dies eindeutig bei seitlichen Aufnahmen nur im Brustteil zu erreichen. Man sieht dann einen feinen, schräg von vorn-oben nach hinten-unten verlaufenden Gelenkspalt. Im Halssteil der Wirbelsäule sind die Gelenkflächen der kleinen Gelenke so gestellt, daß bei den gewöhnlichen Aufnahmeorientierungen der Strahlengang schräg zum Gelenkspalt läuft, der sich infolgedessen nicht darstellen läßt. Auch an der Lendenwirbelsäule trifft dies teilweise zu. Über die besondere Aufnahmetechnik ist in den üblichen Röntgenlehrbüchern Näheres enthalten (Schrifttum bei Fick Goldthwait Gault, Lange u. a.) Durch häufige Anwendung der Schichtaufnahmetechnik läßt sich beim Lebenden noch mancher bessere Einblick gewinnen.

In den letzten Jahren haben die Menisclen in den Wirbelbogengelenken zunehmend an Bedeutung gewonnen. Sie sind schon länger bekannt (*Schmiede und Santo Tondury*) in jüngster Zeit erhalten sie aber eine eingehende Beschreibung durch *Freminger* (Abb. 26) der sie im Buch von *Zuckerkandl* mit vielen Abbildungen darstellt. Sie gehen von der weiten Gelenkkapsel der Wirbelbogengelenke aus und scheiben sich, ähnlich wie die in den Fingergelenken und anderen Körperstellen bekannten Menisclen zwischen die Gelenkflächen. Außer diesen derbfaserigen Gelenkzwischen-scheiben finden sich noch Fettgewebepolster, die den freien Raum zwischen Kapselansatz und Gelenk ausfüllen. Auch zwischen Hinterhaupt und Atlas ebenso wie zwischen 1. und 2. Halswirbel fand *Freminger* solche „Einschiebungen“, deren Bedeutung später abgehandelt wird (Kap. III O).

Sehr wichtig für die röntgenologische Differentialdiagnose sind die bisher wenig beachteten Nebenknochenkerne (Apophysen), die sich während des Wachstumsalters (11–14 Lebensjahr) an den Spitzen der Wirbelbogenfortsätze ausbilden. Sie entstehen als kleine Knochenkerne in den knorpeligen Spitzen der einzelnen Wirbelbogenfortsätze und liegen den Knochenkernen der Wirbelbogenfortsätze kappenförmig auf (Abb. 25). Zunächst sind sie durch eine Knorpelschicht von den Spitzen der knöchernen Wirbelbogenfortsätze getrennt. Allmählich verschwindet die Knorpelschicht und die Nebenknochenkerne verschmelzen knöchern mit den Wirbelbogenfortsätzen. Dieser Vorgang ist ungefähr mit dem Abschluß des Wirbelsäulenzwachstums (13 Lebensjahr) beendet. Die Zeit und Reihenfolge der Entstehung ist noch unregelmäßiger als bei den knöchernen Wirbelkörpermandleiten. Besonders unbeständig und unregelmäßig bilden sich die Nebenknochenkerne an den Spitzen der Gelenkfortsätze (S. 8.). An den Spitzen der Proc. mamillares der Lendenwirbelsäule kommen ebenfalls Nebenknochenkerne in unregelmäßiger Ausbildung vor. Auch entlang der Seitenmassen des Kreuzbeins, die entwicklungsgeschichtlich den Querfortsätzen der Kreuzbeinwirbel gleichzusetzen sind, entstehen im Wachstumsalter schmale, scheibenförmige Nebenknochenkerne. Seiten liegen sie jederseits der Kreuzbeinseitenmasse in ganzer Länge als einheitliche schmale Knochenplatten auf, meist sind sie in mehrere Einzelstücke aufgeteilt (*Gurandi*), das eine für die Facies auricularis, das andere für den kaudalen Teil der Seitenmasse. An den Dornfortsatzspitzen der Halswirbel hegen als Besonderheit meist zwei Nebenknochenkerne, wodurch gespaltene Dornfortsatzspitzen entstehen.

D. Zwischenwirbelscheiben

Von Form und Zustand der Zwischenwirbelscheiben (Bandscheiben) hängt die Beweglichkeit und vor allem die Leistungsfähigkeit der Wirbelsäule wesentlich ab. Deshalb erscheint als Grundlage für das Verständnis der krankhaften Vorgänge eine genauere Beschreibung des normalen Aufbaues notwendig. Dabei sollen die im Schrifttum oft angewandten Bezeichnungen „schmale“ oder „breite“ Zwischenwirbelscheiben nicht gebraucht werden, weil derartige Bezeichnungen, bezogen auf den aufrecht stehenden Menschen, Verschiedenheiten in waagerechter Ausdehnung meinen, während wir es hier mit Unterschieden in der senkrechten Richtung zu tun haben. Wir sprechen besser von „hohen“ bzw. „niedrigen“ Zwischenwirbelscheiben oder Zwischenwirbelräumen. Der früher vielerorts gebrauchte Name „Zwischenwirbelspalt“ ist mit Recht in letzter Zeit aus dem Schriftgebrauch verschwunden, denn er bringt zu sehr die gedankliche Verbindung mit Gelenkkapsel der wirklich ein echter „Spalt“ ist, was aber für den mit Bandscheibengewebe ausgefüllten Zwischenwirbelraum oder Bandscheibenraum keineswegs zutrifft. Die Durchführung klarer Bezeichnungen wird immer ins Bewußtsein rufen, daß die im Schrifttum erwähnten „breiten Zwischenwirbelscheiben“ in Wirklichkeit einen hohen Zwischenwirbelraum mit ihrem hochdifferenzierten und physiologisch wichtigen Gewebe ausfüllen.

Im Verlauf des Wachstums ist in den einzelnen Altersstufen der Zwischenwirbelraum sehr verschieden hoch, was auch im Röntgenbild deutlich in Erscheinung tritt. Während beim Neugeborenen die Zwischenwirbelräume und die Wirbelkörperknochenkerne ungefähr gleich hoch sind, wie bereits erwähnt wurde (Abb. 1) zeigen Bilder aus späteren Lebensaltern allmähliche Abnahme der Zwischenwirbelräume zugunsten des Wirbelkörperknochenkerns. Bei Abschluß des Wachstums weist die Zwischenwirbelscheibe durchschnittlich nur etwa noch $\frac{1}{3}$ der Höhe des benachbarten Wirbelkörpers auf (Abb. 10). Dabei spielt die vom bereits beschriebene Ausbildung der knöchernen Wirbelkörpermandleiten eine gewisse Rolle, da diese als leicht erhabener Ring dem Wirbelkörpermandle aufsteht und so besonders in der Röntgenprojektion die Zwischenwirbelraumhöhe etwas vermindert.

Eingehende Messungen von *Fick*, *Jakobi*, *Schröder*, *Strasser*, *W. Weber* u. a. haben gezeigt, daß die Zwischenwirbelscheiben nicht in allen Wirbelsäulentellen gleich hoch sind. Die einzelnen Zwischenwirbelscheiben haben auch Unterschiede zwischen vorderer und hinterer Höhe, die besonders im Lenden teil beträchtlich sein können und mit den Wirbelsäulenkrümmungen zusammenhängen (Kap. I G).

Im Röntgenbild ist von einer normalen Zwischenwirbelscheibe nur ein gleichmäßiger wenig dichter durch den oben und unten anliegenden Wirbelkörper scharf abgegrenzter Schatten festzuhalten. Trotz dieser geringen Darstellungsmöglichkeit im Röntgenbild, auf die der Kliniker angewiesen ist, soll im folgenden an Hand von Abbildungen auf die anatomischen Grundlagen des Zwischenwirbelscheibenbaues näher eingegangen werden, weil diese Kenntnisse für das Verständnis der später zu besprechenden krankhaften Vorgänge und deren im Röntgenbild sichtbaren Auswirkungen unerlässlich sind.

Beim Abschluß des Embryonallebens bestehen die Zwischenwirbelscheiben im wesentlichen aus hyalinem Knorpel, der den etwa in der Mitte des Zwischenwirbelscheiben liegenden Chordarest („Intervertebrale Chordaanschwellung“) den späteren Gallertkern, umschließt. Nur die äußersten Schichten des Zwischenwirbelscheibengewebes haben nach *Broms* bereits im knorpeligen Zustand der Wirbelsäulenentwicklung eine gut erkennbare Faserbildung. Überwiegend dem gegenüber, daß sich die Umwandlung des hyalinen Knorpels der embryonalen Zwischenwirbelscheibe in den endgültigen Fasernknorpel von der Umgebung des Gallertkerns aus nach der Peripherie fortschreitend ausbildet. Das blieb nicht unwidersprochen und neuerdings (*Prader*, *Töndury*) ist der Beweis erbracht, daß die Faserstrukturen in den äußersten Randschichten des Faserrings schon in frühen embryonalen Entwicklungsstufen entstehen und so ihre spätere funktionelle Beanspruchung vorbereiten. *Hirak* und *Schäfer* kommen durch histologische Untersuchungen zu dem Ergebnis, daß der Faserring seine endgültige Form und Dicke durch interstitielles und appositionelles Wachstum von seiten der Wirbelsäulen-Längsbänder erhält, die eine Art Perichondrium der Zwischenwirbelscheiben darstellen. Die entwicklungsgeschichtliche Bedeutung der Chorda dorsalis ist in vielen älteren Bearbeitungen nachzukommen (*Darby*, *Prosper*, *Kölliker*, *Leak*, *Musat*, *Williams*).

Nach den Forschungsergebnissen *Bäckers* bringt eine in frühen Entwicklungsstadien einwirkende Hypoxämie erhebliche Störungen in der Chordaeentwicklung mit sich. Es ist noch ungeklärt, wie weit dadurch die regelrechte Anbildung des Zwischenwirbelscheibengewebes gestört werden kann (vgl. Kap. II B 1, II B 9, IV B 1).

Durch die fortschreitenden Differenzierungen, die der zunehmenden Wirbelsäulenbelastung des Kleinkindes parallel gehen, entstehen in den ersten Lebensjahren die vier bleibenden Bestandteile jeder Zwischenwirbelscheibe: Gallertkern (Nucleus pulposus), Faserring (Anulus lamellosus oder fibrosus) und die oben und unten den angrenzenden Wirbelkörpern aufliegenden beiden Knorpelplatten. Gleichzeitig mit diesen Gewebedifferenzierungen geht eine langsame Rückbildung der im Embryonalzustand in den Zwischenwirbelscheiben vorhandenen Blutgefäße einher. Bis zum Abschluß des Wachstums (etwa im 25. Lebensjahr) sind alle Blutgefäße, die von den Wirbelkörperknochenkernen her in den Zwischenwirbelknorpel eingedrungen waren (axiale Blutgefäße und Randgefäße), wieder verschwunden. Die dabei an einzelnen Stellen in den Knorpelplatten zurückbleibenden „Gefäßnarben“ haben für krankhafte Vorgänge eine große Bedeutung, auf die wir später noch mehrfach zurückkommen. Einzelheiten über die Gefäßversorgung der Zwischenwirbelscheiben *Böttwig-Ferguson* u. a.

Die Knorpelplatten, die beim Abschluß des Wachstums als dünne Platten an der Wirbelkörperbandscheibengrenze liegen, sind in den ersten Lebensjahren wesentlich dicker. Sie stellen den Mutterboden für den wachsenden Wirbelkörper dar, denn hier liegt die endochondrale Wachstumswohle des Wirbelkörperknochenkerns (Knorpelanlagerungs Chondrophyse, S. 10). Wie sich die Knorpelplatten während der Entwicklungsjahre mit einem deckelartigen Rande in die stufenförmigen Ausparungen der Wirbelkörperlender einsetzen, und wie sich in diesen „knorpeligen Randleisten“ allmählich die „knochenen Randleisten“ bilden und fort mit dem Wirbelkörper verschmelzen, ist bereits besprochen (Abb. 7 bis 22). Infolge dieser einschneidenden Entwicklungsvorgänge an der Wirbelkörperbandscheibengrenze und an der Wirbelkörperlender werden bei der voll entwickelten Wirbelsäule die Deck- und Grundplatten der Wirbelkörper nicht mehr in ganzer Ausdehnung von den Knorpelplatten bedeckt. Die Knorpelplatten enden allseitig am inneren Rande der erhabenen

knöchernen Wirbelkörperendleiste und sind gerade so dick, wie die knöchernen Randleiste über die knöchernen Wirbelkörperschlußplatte erhaben ist (Abb. 22.) Auf der Wirbelkörperendfläche (Schlußplatte) sind die Knorpelplatten mit einer Kalkschicht befestigt (*Schmorl*) die die zur Ernährung der Zwischenwirbelscheibe dienenden feinen Poren in der Schlußplatte frei läßt. In den Knorpelplatten des Erwachsenen finden sich eigenartige Lückenbildungen die *Schmorl* als Ossifikationslücken bezeichnete. Es handelt sich um schollige Zerfallherde innerhalb der Wachstumschicht deren Genese und Bedeutung nicht sicher geklärt sind. Sie werden auch von *Schäfer* beschrieben. Die Ossifikationslücken entstehen etwa zu der gleichen Zeit in der die Rückbildung der Blutgefäße einsetzt, sie liegen aber nicht an den Gefäßdurchtrittsstellen. *Schäfer* hält die Ossifikationslücken für zertrümmerte Kalkherde die die Aufgabe haben, die weiche und sehr bewegliche Knorpelwucherungen mit Kalkeinlagerungen zu specken um sie weniger beweglich zu machen.

Der Faserring oder Lamellenring ist der an Masse und Ausdehnung größte Gewebeteil jeder Zwischenwirbelscheibe. Er besteht aus ungefähr ringförmig leichtspiralig verlaufenden Lamellen, die sich aus eng aneinanderliegenden Knorpelfasern zusammensetzen und deren Faserichtung winkelig gegeneinander steht, so daß bei Betrachtung von Schnittflächen, je nach dem Einfall des Lichtes, die benachbarten Lamellen (Spirale und Gegenspirale) ungleichmäßig hell und dunkel aufleuchten (Abb. 27 und 28). Bauchwärts ist der Faserring breit und die einzelnen Lamellenzüge sind kräftig entwickelt, während rückenwärts nur eine schmale Zone des Faserrings vorliegt, in der auch die einzelnen Lamellen feiner sind. Das kommt sowohl in Horizontalschnitten wie auch in Pfeilnachts gerechten Schnitten deutlich zur Darstellung. *Fick* hat den feinen Aufbau eingehend beschrieben und *Schmorl* konnte zwischen den einzelnen Lamellen liegende „Spannfasern“ feststellen. Er wählte diesen Namen deshalb, weil Verworfungen im Lamellenverlauf eintreten, wenn die Spannfasern zerissen oder zerstört sind. *Töndury* konnte Spannfasern nicht feststellen. Nach oben und unten zu ziehen die Fasern der einzelnen Lamellen in die knorpeligen Schlußplatten hinein. Im Bereich der knöchernen Randleiste, wo die Knorpelplatte fehlt, senken sich die Fasern als *Sharpey*-sche Fasern in die knöchernen Randleiste (*Roux Gebhardt Schmorl*). Dadurch kommt eine besonders feste Verbindung zwischen knöcherner Wirbelkörperendleiste und Faserring zustande.

Auf einem Frontalschnitt durch eine Zwischenwirbelscheibe zeichnet sich die bilaterale symmetrische Anordnung der Lamellen deutlich ab. Die verhältnismäßig dicken Lamellenlagen verlaufen

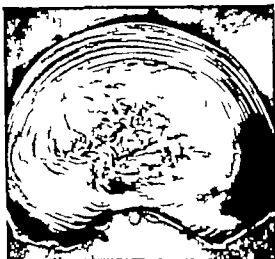


Abb. 27. (Lichtbild der Horizontalschnittfläche einer normalen Zwischenwirbelscheibe.) Deutliche konzentrische Schichtung des Faserrings. Der Gallertkern zeigt infolge der besonderen Färbemethode nach *Schmorl* die zentralen aufgeknauelten Lamellen.



Abb. 28. (Bei schwacher Vergrößerung aufgenommene Horizontalschnittfläche einer normalen Zwischenwirbelscheibe.) Die einzelnen Ringschichten des Faserrings und die sie quer durchlaufenden Spannfasern sind hier besonders schon dargestellt (Färbung nach *Schmorl*).

in einem nach außen zu leicht konvexen Bogen. Einzelne der Spannfasern die senkrecht zum Lamellenverlauf stehen sind deutlich glänzend erkennbar. Auf Schnitten in Pfeilnabtrichtung erscheinen die Lamellenanordnungen meist nicht so symmetrisch, wie eben beschrieben. Hier (Abb. 29) ändern die Lamellen nach der Mitte zu ihre Verlaufsrichtung und auch ihre Dicke. An der



Abb. 29 (Lichtbild der Sagittalschnittfläche durch eine Zwischenwirbelscheibe) Die eigenartige Schichtung des Faserringes vorn und hinten tritt deutlich hervor. Vorn — links im Bild — ist oben und unten der Querschnitt der knöchernen Wirbelkörperendlast zu sehen. Diese ist noch durch eine Knorpelfuge vom Wirbelkörper getrennt.

Zwischenwirbelscheibenabschnitte zusammen. Fick konnte zwischen den Lamellenringen vereinzelte elastische Fasern finden.

Der Gallertkern der Zwischenwirbelscheibe geht aus der intervertebralen Chordaananschwellung hervor, die bei Rückbildung der Chorda im Zwischenwirbelsraum liegen bleibt (Abb. 43). Er besteht bei Neugeborenen in seinen wesentlichen Bestandteilen aus Chordazellen, die aber im Laufe des weiteren Wachstums allmählich immer mehr verschwinden. Übermuth konnte nach Wachstumsabschluß überhaupt keine Chordazellen mehr im Gallertkern entdecken, während von anderer Seite behauptet

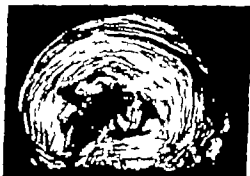


Abb. 30 (links): Abbildung aus Luschka herausgeklappt. Gallertkernzotten, wodurch die Gallertkernhöhle () sichtbar wird.

Abb. 31 (rechts): Lichtbild einer horizontal durchgeschnittenen Zwischenwirbelscheibe. Das feine verzweigte Zottenwerk des Gallertkerns ist herausgebogen, so daß die Ausdehnung der Gallertkernhöhle sichtbar wird.

wird, daß bis ins höchste Alter hinein noch Chordazellen im Gallertkern nachweisbar sind. Schreibe fand in den Bandscheibenresten im Kreuzbinn bis ins 8. Lebensjahrzehnt Chordazellen. Neben den gut erhaltenen blaschenförmigen Chordazellen liegen im Gallertkern während der Wachstumszeit noch netzartig verbundene Stränge aus dicht zusammenliegenden Kernen vom Aussehen der Chordazellkerne (Chordastikulum). Die Maschenräume dieses Netzes werden von einer fädig-schleimigen Grundsubstanz ausgefüllt. Sykes beschreibt ein dreidimensionales Gitter-Gel-System. Die innersten Schichten des Faserringes unterliegen einer allmählichen Einschnelung und bilden sich so ebenfalls

zu schleimig wüßriger Masse um. Dadurch werden die innersten Lamellen pinselförmig aufgefächert und ragen als feine Zotten in einen verzweigten Hohlraum hinein, der mit einer schleimigen, synovialähnlichen Flüssigkeit aufgefüllt ist. Portal hat diesen Hohlraum im Inneren des Gallertkerns erstmalig beschrieben und *Luschie* hat ihn näher untersucht und abgebildet (Abb. 30). Auf Schnitten durch jugendliche Zwischenwirbelscheiben kann man stets ein Vorquellen des stark flüssigkeitshaltigen Gallertkerns feststellen, und es gelingt leicht, die einzelnen Zotten aus der Gallertkernhöhle herauszuheben und so einen unregelmäßig verzweigten Hohlraum darzustellen (Abb. 31). Durch Einspreizung von Flüssigkeiten, die im Röntgenbild Schatten geben, läßt sich die Aus-



Abb. 30.



Abb. 31.

Abb. 32 (oben links). (Kettliche Röntgenaufnahme der Lendenwirbelsäule eines 47-jährigen Mannes. Die Höhlen der Gallertkerne sind mit schattengegebender Flüssigkeit injiziert.) Normale Ausdehnung der schmalen, spaltförmigen, sich wie bechalenartig überdeckenden Hohlräume der Gallertkerne (In den von vorn herkommenden Einstichkanälen der Spinne sind noch geringe Reste der schattengegebenen Flüssigkeit sichtbar.)

Abb. 33 (oben rechts). (Kettliche Röntgenaufnahme der Brustwirbelsäule eines 47-jährigen Mannes. Die Höhlen in den Gallertkernen sind, wie in der vorherigen Abbildung, mit schattengegebender Flüssigkeit injiziert.) Die Ausdehnung und Verzweigung der Gallertkernhöhlen sind im Brustteil flacher formiger als im Lendenteil.

Abb. 34 (unten links). (Kettliche Röntgenaufnahme der unteren Brustwirbelsäule einer 83-jährigen Frau. Die Gallertkernhöhlen sind mit schattengegebender Flüssigkeit injiziert.) Ausdehnung und Anordnung der



Abb. 32.



Abb. 33.

Abb. 34 (unten rechts). (Röntgenaufnahme der Brustwirbelsäule einer 83-jährigen Frau. Regittaler Strahlengang.) Dasselbe Präparat wie Abbildung vorher.

dehnung der Gallertkernhöhlräume besonders schön zeigen (s. Abb. 32–35). Solche Untersuchungen wurden später auch an Lebenden durchgeführt (S. 172).

Der Wassergehalt der Zwischenwirbelscheiben ist mehrfach eingehend untersucht worden, weil er für Gestalt und Funktion der Zwischenwirbelscheiben von großer Wichtigkeit ist. *Keyes* und *Compere* stellen fest, daß die Zwischenwirbelscheiben bei Neugeborenen 88 v. H. beim Zwölfsjährigen 80 v. H. und beim Zweifundelbzigjährigen 70 v. H. Wasser enthalten. *Plöschel* veröffentlichte eingehende Untersuchungen aus dem *Schmorl'schen Institut*, bei denen der Unterschied zwischen dem Wassergehalt des Gallertkerns und dem des Faserrings besonders berücksichtigt ist. Diese Untersuchungen ergaben in den verschiedenen Zwischenwirbelscheiben denselben Wassergehalt gleichen Wassergehalt, soweit es sich um normale Zwischenwirbelscheiben handelt. Der Gallertkern enthält mehr Flüssigkeit als der Faserring. Beim Neugeborenen hat der Faserring 78 v. H. und der Gallertkern 88 v. H. Wasser. Dieser hohe Unterschied von 10 v. H. nimmt im Laufe des Lebens ab. Auch der Gesamtwassergehalt der Zwischenwirbelscheiben vermindert sich mit zunehmendem Alter. Im 3. Lebensjahrzehnt enthält der Faserring etwa 70 v. H. und der Gallertkern 76 v. H. Wasser. Der Faserring behält weiterhin während des ganzen Lebens einen Wassergehalt von etwa 70 v. H., während sich der Wassergehalt im Gallertkern verringert und sich immer mehr dem des Faserrings angleicht. Die Ergebnisse von Untersuchungen über das Wasseraufnahmevermögen (Quellbarkeit) der Zwischenwirbelscheiben in verschiedenen Altersstufen und die dadurch bedingten Elastizitätsänderungen können bei Göcke nachgelesen werden. Den erheblichen Innendruck, der den Zwischenwirbelscheiben besonders infolge des Quellungsdruckes (Sprengkraft) des Gallertkerns innewohnt, hat auch *Pfeffer* gemessen. Besonders interessante Ergebnisse über Widerstandskraft des Zwischenwirbelscheibengewebes hatten die Druckversuche von *Hirach* und *Lockemann*. Auch bei Anwendung hoher Drücke wurden nur geringe Zusammendrückungen gefunden. Bei 100 kg Belastung ergeben gesunde Zwischenwirbelscheiben eine Höhenverminderung von 1,4 mm und eine Breitenvergrößerung von 0,75 mm. Bei degenerierten Bandscheiben betrug die Höhenverminderung 3 mm. Schnellwirkende Stoßkräfte bringen die Bandscheiben zum Oscillieren. Die Zwischenwirbelscheibe hat ein so ausgezeichnetes statisches Anpassungsvermögen, daß in jeder Gleichgewichtslage feinschlägige Belastungen schnelle Formveränderungen erzeugen. Deshalb bezeichnen *Hirach* und *Lockemann* die Zwischenwirbelscheibe als ein dynamisches System, in dem auch „die Masse der Scheibe in ständiger Bewegung befindet“. Da der Körper niemals eine mechanisch-absolute Ruhe einhält, wird auch in den Zwischenwirbelscheiben niemals Ruhe herrschen. „Wir haben es hier mit biomechanischen Erscheinungen oder Spannungsänderungen im Material zu tun, die sich in Bruchteilen von Sekunden abspielen und Folge der physiologischen Eigenschaften des Materials sind.“ Daraus schließen *Hirach* und *Lockemann*, daß die biologischen Erscheinungen in den Zwischenwirbelscheiben durch tägliche schnell wechselnde mechanische Einwirkungen erheblich beeinflußt werden (Kap. IV D 1 und IV F 1).

Neben mechanischen wirken auch chemische Änderungen auf das Gewebe der Bandscheiben ein. So hängt nach *Ott* der Quellungsgrad des Zwischenwirbelscheibengewebes sehr wesentlich von der Hyaluronidase ab, die sogar zur Faserringzerreißung führen kann, wie *Taylor* und *Smart* bei Versuchen mit Bandscheibenpräparaten feststellten.

Charley führt das große Wasseraufnahmevermögen des Bandscheibengewebes auf die hydrophilen Mucopolypeptide zurück, die im Gallertkern vorhanden sind. Weiteres Schrifttum: *Hirach*, *Makowsky*, *Schimmelfeder*, *Virga*.

Die Nervenversorgung der Zwischenwirbelscheiben ist immer noch nicht restlos geklärt. Manche Untersucher (*Hirach* und *Schajowicz*, *Jung* und *Brunschwig*, *Keyes* und *Compere*) konnten weder Nervenfasern noch Nervenendapparate feststellen. *Boofe*, *Spurling* und *Orwath* dagegen fanden 1940 Nerven im Faserring der 4. und 5. Lendenbandscheibe und im hinteren Längsband, und *Jar* handelte es sich um eine rückläufige Nervenversorgung aus der 2. Lumbalnervenwurzel (s. Kap. I J S 26). *Wiberg* hat 1949 und *Kuizendaki* 1950 in den äußersten rückwärtigen Schichten des Faserrings im Lendenbereich Nervenfasern nachgewiesen. Das Vorkommen von Nervenfasern im Inneren der Zwischenwirbelscheibe (sogar im Gallertkern) ist bisher nur von *Trukada* beobachtet worden.

E. Bänder

Der Aufbau des umfangreichen Bandapparates der Wirbelsäule ist aus den normal-anatomischen Lehrbüchern hinreichend bekannt. Eine eingehende Darstellung erübrigt sich deshalb. Nur einige wichtige Hinweise auf Besonderheiten sollen gebracht werden, die zum Verständnis des krankhaften Geschehens an der Wirbelsäule bedeutsam sind.

Das vordere und hintere Längsband der Wirbelkörperreihe sind aus der vorderen und hinteren Membrana intervertebralis hervorgegangen. Die übrigen zahlreichen kleinen Bänder, die sich zwischen den einzelnen Wirbelfortsätzen ausspannen, entwickeln sich aus den Interdorsal- und Interventrallmembranen.

Das vordere Längsband bedeckt die Vorder- und Seitenflächen aller Wirbelkörper und ist aus verschiedenen langen Zügen zusammengesetzt, die von Wirbel zu Wirbel ziehen oder einen oder mehrere Wirbelkörper überspringen. Es ist sehr fest an den Wirbelkörperaußenflächen angeheftet und bildet gleichzeitig das Periost der Wirbelkörper. Im Gegensatz dazu sind die Zwischenwirbelscheiben mit dem vorderen Längsband nur durch lockere Faserzüge verbunden. Die Hauptmasse der Bandszüge hebt sich an der Wirbelkörperaußenfläche an der Stelle ab, an der die knöcherne Randleiste mit dem eigentlichen Wirbelkörper zusammenstößt und setzt sich am nächsten Wirbel erst an der gleichen Stelle wieder an. Die Außenfläche der Zwischenwirbelscheibe und die beiden ihr anliegenden knöchernen Randleisten werden also vom vorderen Längsband übersprungen (Abb. 22). Die Faserzüge des vorderen Längsbands enthalten nur wenige elastische Fasern. Das Band ist an den Stellen besonders dick, an denen es den Wirbelkörperaußenflächen aufliegt. Nach den Angaben von *Bick* hat *Landblom* im vorderen Längsband Endigungen von Schmerznerven gefunden (vgl. Kap. V D).

Das hintere Längsband der Wirbelkörperreihe (Abb. 36 und 37) ist schmaler als das vordere, es ist aber dicker und enthält mehr elastische Fasern (*Fick*). Es ist im Gegensatz zum vorderen Längsband fest an den Zwischenwirbelscheiben angeheftet und überspringt die leicht eingezogenen Hinterflächen der Wirbelkörper. Im Bereich der Bandscheibe ist das hintere Längsband verhältnismäßig breit, es verjüngt sich aber rasch und zieht nur als schmales Band über die leicht ausgehöhlte Wirbelkörperhinterfläche hinweg, um sich erst an der nächsten Zwischenwirbelscheibe wieder fächerförmig zu verbreitern. Zwischen dem hinteren Längsband und der eingezogenen Wirbelkörperhinterfläche liegt ein Venengeflecht, das die Wirbelvenen aufnimmt. Seitlich setzt sich an das hintere Längsband eine dünne Bindegewebsleiste an, die die Langsvenen des Wirbelkanals von der Dura trennt. Außerdem ziehen zwischen dieser Bindegewebsleiste und den Wirbelkörpern noch feine Arterien und zahlreiche Nerven entlang. Diese Nerven macht *Luske* für Schmerzzustände bei Wirbelerkrankungen verantwortlich.

Das vordere und hintere Längsband der Wirbelkörperbandscheibenreihe wirken als Gegenspieler bei Wirbelaugenbewegungen. Nach *Heale* dient das hintere Längsband außerdem noch dazu, das Rückenmark gegen den wechselnden Druck der Venengeflechte zu schützen.

Die übrigen zahlreichen kleineren Bänder der Wirbelsäule, besonders zwischen den einzelnen Fortsätzen der Wirbelbögen, hat *Fick* in seinem Handbuch eingehend beschrieben, so daß darauf verwiesen werden kann. Klinische Erscheinungen verursachen sie meist nur durch krankhafte Verknocherungen, weil sie dann Steifhaltungen der betroffenen Wirbelsäulenteile oder auch Einknügung der Zwischenwirbelscheiben hervorrufen (Kap. III O).

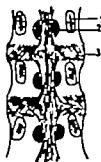


Abb. 36 und 37

Abb. 37 (Lichtbild der von hinten her gesehenen Wirbelkörperreihe nach Abtragung der Bogenrisse an einem jungen Mann.) Das schmale hintere Längsband überbrückt die Wirbelkörper und setzt, sich fächerförmig erweiternd, an den Zwischenwirbelscheiben an. Seitlich des hinteren Längsbands sind in der Mitte der Wirbelkörper die aus Wirbelkörpern hervorgehenden Venenlöcher deutlich sichtbar. — In der Skizze (Abb. 36) sind diese Verhältnisse schematisch wiedergegeben. (1 = Gefäßloch an der Wirbelbogenwurzel, 2 = Gefäßloch an der Wirbelkörperhinterwand, 3 = Zwischenwirbelscheibe)

Bedeutungsvoll sind die *Ligamenta flava*. Sie liegen von vorn her der hinteren knöchernen Wirbelkanalwand auf, sind sehr dehnbar und stützen die Beweglichkeit der kleinen Wirbelgelenke. Ihre auffallend gelbe Farbe erhalten sie durch den hohen Elastizitätsgrad der in einem dichtgefügteten Netz liegenden Fasern (*Hernog*). Im Lendenbereich ist das gelbe Band besonders dick (5–8 mm) und breit entwickelt, zeigt aber eine so große Unterschiedlichkeit, daß die Diagnose einer „Hypertrophie des gelben Bandes“ nur mit Vorsicht gestellt werden sollte (Kap. IV C 2). Eine nähere Beschreibung über die Anatomie und Funktion der gelben Bänder findet sich bei *Junge*.



Abb. 38. (Röntgenaufnahme der Halswirbelsäule einer 80-jährigen Frau. Strahlenweg von seitlich recht vorn.) Normale Größe und Gestalt der Zwischenwirbellocher (Schuhsohlenform). Geringe Spondylose deformans mit Randzacken an den vorderen Wirbelkörperkanten.

sehr ähnlich ist. Genaue Ausführungen über Form und Verlauf der Intervertebralkanäle an der Halswirbelsäule enthält die Arbeit von *Pickler*.

Hier soll eingeschaltet werden, daß wir das Zwischenwirbelloch zwischen *Halswirbelsäule* und *Atlas* im Gegensatz zu *Hyrtl* nicht als erstes Zwischenwirbelloch zählen. Wir halten es vielmehr für besser mit der Zählung bei dem zwischen *Atlas* und *Epistropheus* gelegenen Zwischenwirbelloch zu beginnen. Dann werden bis zum Kreuzbein 24 Zwischenwirbellocher gezählt. Bei dieser Zählung erhält jedes Zwischenwirbelloch die gleiche Zahl wie das Zwischenwirbelsäule, hinter der es liegt, und wie der Wirbelkörper und Wirbelbogen, der an seiner Umrandung den größten Anteil hat.

Im Brustteil ergibt die rein seitliche Aufnahme (mit erhobenen Armen) stets die besten Bilder von den Zwischenwirbellochern, da die Eingangsebene parallel zur Sagittalebene steht. Die Zwischenwirbellocher sind hier eiförmig mit der Achse von hinten-oben nach vorn unten (Abb. 39). Die *Interspace vertebralis superior* die jeweils die untere Umrandung eines Wirbelloches abgibt, ist allerdings im Brustteil wenig gut ausgeprägt, so daß das Zwischenwirbelloch ausschließlich hinter dem Wirbel liegt, dessen Zahl es hat. Das untere Drittel oder die Hälfte wird vom Schatten des Rippenkopfes und

F. Zwischenwirbellocher (Zwischenwirbelkanäle)

Den Zwischenwirbellochern, welche die aus dem Rückenmark kanal austretenden Nerven und auch Gefäße in Form eines kurzen röhrenförmigen Kanals (*Canalis intervertebralis*) umschließen, kommt eine große praktische Bedeutung zu. Leider haben sie früher im Röntgenschrifttum nur wenig Beachtung gefunden, da ihre Darstellung und die Deutung der sich zahlreich über schneidenden Projektionen im Bogenfell der Wirbelsäule auf erhebliche Schwierigkeiten stoßen. Außer an der Halswirbelsäule für die eine Darstellung der Zwischenwirbellocher mit einer von vorn seitlich im schrägen Durchmesser verlaufenden Strahlenrichtung in Frage kommt (*Thomas*) gelingt die Darstellung der *Foramina intervertebralia* im seitlichen Röntgenbild. Jedoch zeigt die Größe und Form der Zwischenwirbellocher in den verschiedenen Abschnitten der Wirbelsäule einige Verschiedenheiten.

Im Halsteil ist besonders zu beachten, daß die Eingangsebene in die Zwischenwirbellocher nicht senkrecht zur Frontalebene steht, sondern etwa in einem Winkel von 30° nach hinten seitlich aus der Sagittalebene herausgedreht ist. Für die Darstellung muß deshalb nach dem bereits erwähnten Vorschlag von *Thomas* ein schräg von vorn kommender Strahlengang gewählt werden (*Baroncy* und *Koppens*). Dann bilden sich die Zwischenwirbellocher mit tropfenförmigen oder schuhsohlenförmigen Umrissen ab. Sie zeigen eine senkrecht stehende Längsachse und sind oben etwas breiter als unten (Abb. 38). Eine gewisse Ausnahme macht nur das 1. Zwischenwirbelloch (zwischen *Atlas* und *Epistropheus*), das eine von vorn nach hinten laufende Längsachse hat und dem *Atlantookipitalloch*

(Abb. 39)

Da in der Lendenwirbelsäule der untere Einschnitt in die Wirbelbogenwurzel (*Incursura vertebralis inferior*) wesentlich tiefer ist als im Brustteil und da auch die Gelenkfortsätze in etwas anderer Richtung von der Bogenwurzel abgehen haben die Zwischenwirbellocher hier eine ohrenmuschelförmige Umrandung (Abb. 40). Das letzte Zwischenwirbelloch (zwischen letztem präsakralen Wirbel und Kreuzbein) zeigt allerdings eine andere Gestalt, da die *Incursura vertebralis superior* des 1. Kreuzbeinbogens nur wenig tief ausgeprägt ist und im Lenden-Kreuzbein-Winkel die Gelenkfortsätze infolge der Abknickung in etwas anderer Richtung abgehen.

Die Formverschiedenheiten der einzelnen Zwischenwirbellocher gehen stets allmählich ineinander über, so daß die an der Grenze der verschiedenen Wirbelsäulen abschneidenden Zwischenwirbellocher nie eine



Abb. 39 (Rechts: Röntgenaufnahme einer Hälfte der in der Sagittalebene durchgezogenen Brustwirbelsäule eines 69-jährigen Mannes. Nadel in der 6. Brustband arbeiten.) Regelmäßige Größe und Umrandung der Zwischenwirbellocher, die im unteren Teil von den Rippen schatten bedeckt werden.



Abb. 40 (Rechts: Röntgenaufnahme der Lendenwirbelsäule eines Mannes im mittleren Alter.) Regelmäßige Form der Zwischenwirbellocher (Ohrenmuschelförmig). Dem letzten präsakralen (24.) Zwischenwirbelloch fehlt immer die typische Ohrenmuschelförmigkeit.

typische Form haben, sondern mehr oder weniger nach der einen oder anderen Seite hin neigen. Besonders der Übergang von der Hals- zur Brustwirbelsäule ist allmählich. Schon vom 5. Zwischenwirbelloch an beginnt eine Drehung der Eingangsfläche von der schrägen in die senkrecht zur Frontalebene verlaufende Stellung. Wegen dieser Einzelheiten wird auf die Arbeit von Thomas verwiesen.

Die alleinige Betrachtung der Knochenumrisse eines Zwischenwirbelloches gibt aber noch keine richtige Vorstellung, da der wirklich freie Raum der Leichtung wesentlich durch Weichteile mit bestimmt wird. Nach rückwärts zu findet eine gewisse Einengung durch die gelben Bänder statt, die den Gelenkspalt des Wirbelbogengelenkes überbrücken (Abb. 41 C). An der vorderen Umrandung

nimmt der seitlich rückwärts gelegene Abschnitt der Bandscheibenrückwand teil. Das gilt vor allem für die Lendenwirbelsäule. Im geringen Umfange auch für die Brust- und Halswirbelsäule. *Laus* hat Form und Inhalt der Zwischenwirbellocher beschrieben, und neuerdings stammt von *Landoldt* eine Schilderung über Entwicklung der Wandung und des Inhaltes der Zwischenwirbellocher. Diese Untersuchungsergebnisse sind für unsere späteren klinischen Betrachtungen (Kap. III P 8 1.0) ebenso wichtig wie die Beschreibungen, die *Dumas* mit *Kalka* und *Kricks* über den Inhalt der Zwischenwirbellocher gegeben haben (S. 146).

G. Wachstumschnelligkeit der einzelnen Wirbelsäulenabschnitte

Das Längenwachstum der freien Wirbelsäule verteilt sich auf 48 Wachstumschichten, da jeder Wirbelkörper am oberen und unteren Ende je eine Wachstumskorpelschicht besitzt. Die Wachstumsenergie der einzelnen Wachstumschichten ist also recht klein, wenn man sie mit der am Oberarmknochen vergleicht, der bei etwa gleicher Länge mit zwei Wachstumskorpelschichten auskommen muß. Die Wachstumsgröße und -schnelligkeit sind in den einzelnen Wirbelsäulenabschnitten verschieden. Das Höhen- und Breitenwachstum der Wirbelkörper ist um so größer, je weiter steilwärts ein Wirbel liegt (*Max*). Die Mitte der Wirbelsäulenlänge liegt bei Neugeborenen im 7. und bei Erwachsenen im 9. Brustwirbelkörper (*Dumas*). *Ravenal*, *Bardeen*, *Frey*, *Langer*, *Moser* u. a. haben über die Wachstumsverhältnisse eingehend berichtet.

Das im Wirbelkanal eingeschlossene Rückenmark bleibt in seinem Wachstum gegenüber der Wirbelsäule schon vom 3. Fetalmonat an etwas zurück, und es kommt daher zum sogenannten *Ascensus medullae spinalis*. Dadurch liegen beim Erwachsenen bekanntlich alle Rückenmarksegmente etwas höher als die entwicklungsgeschichtlich zugehörigen Wirbelsäulenabschnitte.

II. Die Wirbelsäule des Erwachsenen als Ganzes

Die Form der Wirbelsäule ändert sich während der Entwicklungszeit von der einfachen kyphotischen Biegung der gesamten Wirbelsäule des Embryo zu der leicht S-förmigen Biegung beim Erwachsenen mit Kyphose der Brustwirbelsäule und Lordosen an der Halswirbelsäule und der Lendenwirbelsäule, wie wir sie alle kennen. Die Stärke der regelrechten, in der Pfeilnahtebene liegenden Wirbelsäulenausbiegungen schwankt je nach dem Konstitutionstyp in gewissen Grenzen. Bei dieser Formgebung ist sowohl die Gestalt der Wirbelkörper als auch die Gestalt der Zwischenwirbelscheiben wichtig, denn die Ausbiegungen sind durch die Unterschiede in der vorderen und hinteren Höhe der Wirbelkörper und Zwischenwirbelscheiben wesentlich mit bedingt. Im Schrifttum sind darüber eine große Zahl von Messungen enthalten. *Badolin*, *Fick*, *Hirschfeld*, *Horner*, *Jacobi*, *Lucas*, *Paraf*, *Warner*, *Weber* u. a.

Daß außerdem eine gewisse physiologische Skoliose an der Wirbelsäule besteht, ist verschiedentlich behauptet worden. *Farkas* gibt darüber genaue Messungen. Er fand bei 80 v. H. aller Menschen im Bereich der Hals- und oberen Brustwirbelsäule und an der Lendenwirbelsäule eine Ausbiegung nach links, während am unteren Brustwirbelsäulenteil die Gegenkrümmung nach rechts besteht. In den restlichen 20 v. H. waren die Verhältnisse umgekehrt. Die physiologische Seitverbiegung der Wirbelsäule bildet sich erst nach dem 6. Lebensjahre, allmählich mit dem Alter etwas zunehmend, aus. Für die Richtung der Ausbiegung wird die rechtseitig stärker entwickelte Rumpfmuskulatur verantwortlich gemacht.

Neben den Krümmungsverhältnissen an der freien (präsakralen) Wirbelsäule spielen der Winkel am Lenden Kreuzbein Übergang und die Gestalt des Kreuzbeins eine bedeutende Rolle für die Form und die Belastungsfähigkeit der Wirbelsäule. Darüber wird in einem besonderen Abschnitt (Kap. VI E) eingehender berichtet, weil diese Verhältnisse für die Beurteilung von Röntgenbildern und für die Klärung von Schmerzursachen („Kreuzschmerzen“) von Wichtigkeit sind.

Die Beweglichkeit der Wirbelsäule beruht auf der einen Seite auf dem Bewegungsausmaß der kleinen Wirbelgelenke zueinander, und auf der anderen Seite spielen die Zwischenwirbelscheiben dabei eine bedeutende Rolle. Da die Stellung der kleinen Gelenke in den verschiedenen Wirbelsäulenabschnitten große Unterschiede aufweist, ist auch die Bewegungsmöglichkeit und die Richtung

der Beweglichkeit in den einzelnen Wirbelsäulenabschnitten wechselnd. Wenn auch die Beweglichkeit des einzelnen, zu jedem Wirbelkörper gehörenden Gelenkpaars nicht sehr groß ist, so ergibt sich doch durch die Summe der Bewegungsmöglichkeiten in einer größeren Zahl von übereinander liegenden Gelenkpaaren ein beträchtliches Bewegungsausmaß. *Fick, Bruns u. a.* sind den Bewegungsvorgängen an der Wirbelsäule in größeren Untersuchungen nachgegangen, so daß hier auf das einschlägige Schrifttum verwiesen werden kann. In den letzten Jahren ergaben Messungen am Lebenden unter Zuhilfenahme von Röntgenbildern schöne und für klinische Zwecke besonders verwertbare Ergebnisse (*Bakke, Dittmar, Husser, de Stee u. Djinn*). Die Wirbelsäule ist nach allen möglichen Beuge- und Drehbewegungen hin untersucht und nachgemessen worden. *Bakke* der seine am Lebenden gewonnenen Ergebnisse mit den anatomischen Untersuchungen von *Fick* und *Weber* vergleicht, findet beim Lebenden ein wesentlich geringeres Bewegungsausmaß. Die gesamte Beweglichkeit der Wirbelsäule in der Pfeilnahtebene berechnet *Bakke* mit 210° während *Fick* 428° und *Weber* 334° gefunden hatten. Für die seitliche Beweglichkeit der Gesamtwirbelsäule gibt *Bakke* beim Lebenden (Röntgenmessung) $70-80^\circ$ und *Fick* bei Leichenuntersuchungen (nach Entfernung der Rippen) 160° an. Die genannten Forscher haben auch einzelne Wirbelpaare und die verschiedenen Wirbelsäulenabschnitte auf die Bewegungsausmaße untersucht. Es soll auf Wiedergabe dieser großen Zahlenreihen jedoch verzichtet werden. Sie sind in den Originalarbeiten zu finden.

Die wichtige Rolle, die die Zwischenwirbelscheiben für Aufbau und Beweglichkeit der Wirbelsäule spielen, sind häufig Gegenstand von Untersuchungen gewesen. Von besonderer Bedeutung ist dabei das Zusammenspiel von Faserring und Gallertkern (*Dittmar, Göcke, Schröder u. a.*). Der Gallertkern ist als lastauffangender und lastverteilender Abschnitt der Bandscheibe, also als die funktionelle Kraftquelle aufzufassen. Bereits im unbelasteten Zustand übt der Gallertkern infolge der ihm eigenen Sprengkraft eine gewisse Druck- und Zugbelastung des Faserringes aus, da er sich gegen die anliegenden Lamellen des Faserringes preßt. *Schröder* hat diese Verhältnisse bildlich dargestellt. Die Sprengkraft des Gallertkernes hängt von seinem großen Wasseraufnahmevermögen ab. *Erlacher* fand bei Kindern eine Zunahme der Wirbelsäulenhöhe um 2 v. H., wenn alle Faserringe durchtrennt waren, und sich dadurch die Sprengkraft des Gallertkernes ungehemmt in Kopf-Steiß-Richtung auswirken konnte.

Die Zwischenwirbelscheiben haben also nicht allein die Wirkung von elastischen, zwischen die Wirbel eingebauten Puffern, sondern sie dienen ganz wesentlich zur Aufrechterhaltung der Wirbelsäulenstatik. Die Spann-, Zug- und Druckkräfte, die sich aus dem Zusammenspiel zwischen Faserring und Gallertkern ergeben, helfen beim Aufbau und Erhalten der Wirbelsäulenform mit und wirken gleichzeitig unregelmäßigen und übermäßigen Scher- und Zugkräften entgegen, die die Bewegungen der Wirbelsäule mit sich bringen. Diese Tatsache muß man sich stets vor Augen halten, wenn man krankhaftes Geschehen an der Wirbelsäule untersuchen und in seinen Gesamtauswirkungen beurteilen will. Dabei sind für eine genaue Klärung Fernaufnahmen (*Jäger*) oder Röntgenaufnahmen mit Belastung der Wirbelsäule (*Clement, Ingelmark*) bei aufrechter Haltung im Stehen, im Sitzen (*Jordan*) und in Beugestellungen nach verschiedenen Richtungen (*Bowmer, Brett, Baum, Erdmann, Franz, Gillespie, Harner* mit *Schalimetz* und *Snorsson*, *Marderberg, Rauch, Rostock, Solati*) notwendig, weil die üblichen Aufnahmen in Rücken- oder Seitenlage keine genaue Auskunft geben (*Jungmann*).

Die Wirbelsäulen Ganztaufnahmen, für die entsprechende Geräte entwickelt worden sind, haben eine zunehmend größere Bedeutung (*Baumann, Raspe, Sollmann*). Filmaufnahmen der Wirbelsäulenbewegungen, deren Anwendung noch in den Anfängen steckt (*Jankel, Rauch*) werden das Verständnis für Statik und Funktion der Wirbelsäule erweitern. Die Entwicklungen von Sonderaufnahmetechniken wie für das Studium der Kopfgelenke (*Gutmann, Quimann* und *Röller, Sandberg u. a.*) müssen dringend Eingang in die tägliche Arbeit der Röntgenologen ebenso finden wie Feinkontaktaufnahmen (*Übermuth u. a.*).

Auch die Schichtaufnahmetechnik (Tomographie) sollte viel mehr herangezogen werden, wenn es sich um Darstellung von Vörpängen handelt, die infolge ihrer versteckten Lage hinter vielen schattengebenden Körperschichten in der üblichen Aufnahme schlecht zur Darstellung kommen (z. B. kleine Wirbelgelenke, Zwischen gelenkstücke, Zwischenwirbellocher). Bisher wurde über

Schlehtuntersuchungen zur Erkennung von Wirbelsäulenleiden nur wenig berichtet (*Fischelick, Hepp Keller*) wie auch die oben angedeutete „funktionelle Röntgenuntersuchung“ leider noch nicht Allgemeingut der Röntgenologen und Kliniker geworden ist (vgl. a. S. 26 182, 206), während sie von seiten der Chiropraktoren laufend Anwendung findet.

Bedeutungsvoll für alle physiologischen Betrachtungen an der Wirbelsäule ist der Wechsel zwischen starren und elastischen Aufbaugliedern im Bereich der Wirbelkörperbandscheibenreihe. Dadurch wird eine fein abgestimmte Bewegungsmöglichkeit mit größter Festigkeit vereinigt und die schichtweise Einlagerung des beweglich-elastischen Bandscheibengewebes ergibt für Einzelstöße und Dauerbelastungen in der Kopf-Steiß-Richtung eine sich ausgezeichnet abstufoende Pufferwirkung. Gleichzeitig läßt diese Gewebeanordnung eine Verdrehbarkeit der Wirbelsäule zu. Allen abschließenden Kräften, die eine Gefahr für eine derartige geschichtet aufgebaute Säule sein können, wirkt die Faserringkonstruktion und die straffe Verzahnung zwischen Bandscheibengewebe und Wirbelkörperknochen erfolgreich entgegen (durch die *Sharpey*schen Fasern an der Randleiste und die feste Verkitzung zwischen Knorpelplatte und Wirbelkörperoberfläche). Die S-förmige Wirbelsäulenbiegung, die sich mit dem aufrechten Stehen und Gehen allmählich ausbildet, schafft ebenfalls günstige Verhältnisse für das federnde Abfangen von Stößen und Belastungen.

Die Wirbelkörperquerschnitte und Wirbelgewichte nehmen von der Hals- bis zur Lendenwirbelsäule allmählich zu. Vom Wirbel zu Wirbel vergrößert sich dadurch die tragende Fläche. Vergleichend-anatomische Studien zeigen dieses Verhalten nur beim Menschen. Es hängt sicher mit dem aufrechten Gang zusammen. Bei den vierfüßigen Wirbeltieren ist im allgemeinen der Wirbel mit der kleinsten Querschnittsfläche ein Brustwirbel, und sowohl nach kopfwärts als auch nach lumbalwärts vergrößern sich die Wirbelquerschnitte.

Die Wirbelsäule ist auch ein Schutz- und Tragorgan von großer Bedeutung. Das Rückenmark erhält seinen Schutz durch die versteckte Lage im Wirbelkanal. Bauch- und Brusthöhle werden von hinten her durch die Wirbelsäule geschützt, die gleichzeitig vielen inneren Organen als Aufhängebasis dient und an der Formung von Brust und Bauchhöhle maßgeblich beteiligt ist. Die Wirbelsäule trägt letzten Endes auch den Kopf und den Schultergürtel mit den Armen, und sie überträgt deren Gewicht und einen großen Teil des Rumpfgewichtes auf das Becken und die Beine. Sie ist aber nicht nur Träger dieser Gewichte, sondern sie nimmt durch die von ihr ausgehenden oder zu ihr hinstrebbenden Band- und Muskelverbindungen ununterbrochen an der Fortbewegung des Gesamtkörpers ebenso wie an den Bewegungen und Belastungen der Gliedmaßen teil. So ist sie für die gesamte Statik und Bewegung unseres Körpers ein wichtiges und dauernd belastetes Organ von zentraler Lage (Achsenorgan). Dieser Bedeutung entsprechend, wirken sich auch traumatische Geschehnisse und Krankheiten besonders folgenschwer an der Wirbelsäule selbst aus, und Wirbelsäulenveränderungen hinwiederum können erhebliche Nachteile für andere Organe unseres Körpers bringen (z. B. Herzscheiden bei *Kyphoskoliose*) wie aus den weiteren Ausführungen an vielen Stellen hervorgehen wird.

Die ausgedehnte Wirbelsäulenmuskulatur kann im Rahmen unserer Ausführungen nur hier und da gestreift werden. Sie dient nicht allein der gewollten eigentätigen Wirbelsäulenbeweglichkeit, sondern erfüllt sicherlich dauernde Aufgaben zur Aufrechterhaltung der normalen Wirbelsäulenkrümmungen und wirkt auch als Gegenspieler bei den im täglichen Leben immerzu eintretenden passiven, von außen kommenden Bewegungen der Wirbelsäule (bei Stoß Erschütterungen usw.). So ist sie täglich und stündlich in einem Arbeitzustand und ihre dadurch bedingte Ermüdung wirkt sich im Laufe des Lebens ungünstig auf die Aufrechterhaltung normaler Krümmungsverhältnisse der Wirbelsäule aus. Das kann erhebliche Veränderungen an den Aufbautellen der Wirbelsäule selbst und an den von ihr abhängigen Organen mit sich bringen (z. B. *Alterskyphose* Kap. VI A 3).

J Die „Bewegungssegmente“ der Wirbelsäule

Luschka rechnet die Zwischenwirbelscheiben zu den „Halbgelenken“ des menschlichen Körpers. Um den Vergleich weiterzuführen, würde der Gallertkern als Gelenkhöhle, der Faserring als Bandapparat und die kopfwärts und steißwärts anliegenden Knorpelplatten als Gelenkknorpel gelten müssen. Wenn auch das „Halbgelenk Zwischenwirbelscheibe“ nicht nur für die Beweglich-

keit sondern auch für die Hemmung übermäßiger Beweglichkeiten eine große Bedeutung hat wie mehrfach erwähnt wurde so müssen wir für eine allgemeine funktionelle Betrachtung der Wirbelsäulenbeweglichkeit über das Halbgelenk Zwischenwirbelscheibe hinaus die zwischen je zwei Wirbeln liegende Bewegungsmöglichkeit als ein einheitliches Ganzes betrachten. Dafür wurde von *Jungklaus* der Ausdruck „Bewegungselement“ vorgeschlagen (Abb. 41) das infolge der geschichteten Aufbaupfiederung an der Wirbelsäule 23- oder 24mal vorkommt (wobei die beiden obersten Bewegungselemente allerdings keine Zwischenwirbelscheibe besitzen vgl. S. 26). In diesem Segment wirken die vom bereits besprochenen Gefälle zusammen: Halbgelenk Zwischenwirbelscheibe (mit Gallertkern, Faserring und Knorpelplatten) vorderes und hinteres Längsband Wirbelbogen Gelenke und gelbes Band. Dazu gehören noch die in der gleichen Bewegungselemente liegenden Raumanteile des Wirbelkanals des rechten und linken Zwischenwirbelloches die Räume zwischen den über einander liegenden Dornfortsätzen und den Querfortsätzen. Außerdem muß man die zahlreichen Bänder zwischen den einzelnen Wirbelbogenfortsätzen und entsprechende Muskelteile dazu rechnen. Wie sehr alle einzelnen Aufbauteile dieser Einheit „Bewegungselement“ miteinander in Verbindung stehen, wird aus zahlreichen späteren Abschnitten hervorgehen. Je nach Größe der Störung und Bedeutung des betroffenen Gewebanteils wirkt sich ein angeborener oder erworbener Fehler auf die anderen zum Bewegungselement gehörenden Glieder — unter Umständen sogar auf mehrere Segmente — aus.

Wie weit die Bewegungselemente an der Gesamtbeweglichkeit der Wirbelsäule beteiligt sind, ist weiter vorn bei der Beschreibung der Wirbelbogengelenke schon angedeutet. Stark abhängig sind die segmental angeordneten Bewegungsmöglichkeiten außer dem noch von den Verhältnissen der knöchernen Aufbauteile der Wirbelkörper von den Krümmungsverhältnissen und auch von außerhalb der Wirbelsäule liegenden Ursachen für Bewegungseinschränkungen (z. B. Muskelerkrankungen, Brustkorbeinstellungen u. ä.). Damit sind aber noch längst nicht alle an der Beweglichkeit der Wirbelsäule und an der Erhaltung der regelrechten Wirbelsäulenform beteiligten oder von der normalen Funktion der Wirbelsäule abhängigen Elemente aufgezählt. Hierher gehören außer den bereits erwähnten langen Rückenstreckmuskeln noch die Muskelteile des Neopnoas die anderen vom Stamm zu den Gliedmaßen ziehenden Muskeln, die Bauchdeckenmuskeln mit ihrem Banderring und der Brustkorb mit Knochen, Bändern und Muskulatur. Sicherlich spielt auch der Bauchinnendruck die Atmungsgröße der Lungen und der Zug der an der Wirbelsäule aufgehängten inneren Organe eine nicht unwesentliche Rolle. Die Schwere des Kopfes, die Tragfähigkeit des Beckens und der unteren Gliedmaßen bleiben ebenfalls nicht ohne Einfluß auf die Funktion der Wirbelsäule und besonders der Bewegungselemente.

Enge anatomische und funktionelle Beziehungen bestehen zwischen den Aufbauteilen des Bewegungselementes und den beiderseits in jedes Bewegungselement eingeschalteten Zwischenwirbellochern, die eigentlich ein kurzer röhrenförmiger „Zwischenwirbelkanal“ sind. Hier verlaufen

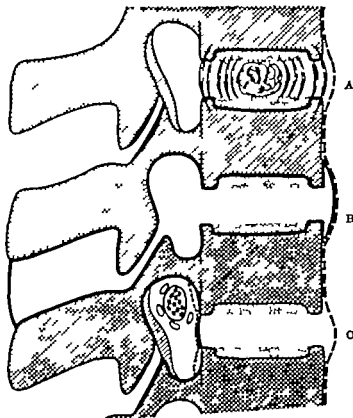


Abb. 41 Schematische Zeichnung des „Halbgelenkes Zwischenwirbelscheibe“ (A) des Bewegungselementes (B) und des Inhaltes des Zwischenwirbelloches (C)

neben den austretenden Gefäßen und Rückenmarkswurzeln auch noch Verbindungsfasern zum Sympathikus, die *Laschke* bereits abbildete. Darüber hinaus beschreibt er den N. sinuvertebralis, der nahe dem Spinalganglion entspringt und einen dünnen sympathischen Faden enthält. Die Knochenwände, die Blutleiter und die Zellgewebstübe im Wirbelkanal werden von ihm versorgt. Neben den Nerven, die im Lendenbereich in die rückwärtigen Zwischenwirbelscheibenteile einstrahlen (Kap. I D S. 18), haben die Verbindungsfasern zum Sympathikus (S. 180) sicherlich eine große Bedeutung für die Klärung mancher Formen von Kreuzschmerzen und für die Zusammenhänge zwischen Wirbel säulenleiden und vegetativen Störungen, (Braun Wüberg) Eingehende weitere anatomische Untersuchungen sind aber noch erforderlich, um die letzte Deutung für die Schmerzleitungsbahnen bei den verschiedenen, durch Zwischenwirbelscheibenveränderungen ausgelassen Formen von Kreuzschmerzen und Lumbago zu geben. Bei Berücksichtigung der engen Lagebeziehungen zwischen den einzelnen Anteilen der Bandscheibenrückwand, den das Zwischenwirbelloch durchziehenden Nerven und den rückwärts davon liegenden kleinen Wirbelgelenken und gelben Bändern wird es verständlich, daß schon sehr geringe Änderungen in der Größe des Zwischenwirbelloches, in der Form der Bandscheibenrückwand, in der Richtung oder Größe der Gelenkfortsatzspitzen und in der Dicke der gelben Bänder oder gar Verschiebungen zwischen den beiden im Bewegungsegment übereinander liegenden Wirbeln die schwersten Auswirkungen auf den Inhalt des Zwischenwirbelloches (besonders auf die Nerven) haben. Darüber wird später ausführlich zu berichten sein.

Infolge der geschilderten großen Bedeutung jedes der 23 oder 24 Bewegungsegmente der Wirbelsäule ist es erforderlich, auch bei der Beurteilung von Röntgenbildern größtes Augenmerk auf diese Verhältnisse zu richten. Je weiter wir von der rein anatomischen Betrachtung zu einer funktionellen Pathologie übergehen, um so bedeutungsvoller wird auch bei der „funktionellen Röntgenuntersuchung“ (S. 24) die genaue Klärung und Beschreibung der Verhältnisse am Bewegungsegment. Gerade hier lassen sich die feinsten Störungen ablesen, und Röntgenaufnahmen mit Belastung der Wirbelsäule und in verschiedenen Krümmungshaltungen bei festgestelltem Becken geben den besten Aufschluß wobei Schleichtaufnahmen (Tomographie) ebenfalls häufige Verwendung finden müssen.

Nach den normal-anatomischen Schilderungen der verschiedenen Aufbautelle der menschlichen Wirbelsäule hat bereits die Betrachtung der Wirbelsäule als Ganzes (S. 22) viele physiologisch-funktionelle Fragen berührt. Bei richtiger Bewertung des Bewegungsegmentes zeigt sich noch deutlicher die Notwendigkeit von der rein anatomischen Betrachtungsweise zur Beschäftigung mit den klinisch wichtigen funktionellen Vorgängen und ihren krankhaften Störungen überzugehen. In den weiteren Kapiteln über die angeborenen und krankhaften Veränderungen an der Wirbelsäule werden wir deshalb auch nicht bei einer Beschreibung der rein pathologisch-anatomisch feststellbaren Veränderungen und ihrer Darstellung im Röntgenbild stehenbleiben dürfen, sondern es wird uns an entsprechenden Stellen auch die für alle klinischen Betrachtungen nicht weniger wichtige Pathologie der Funktion beschäftigen, auf die *Jungblaus* 1890 näher eingegangen ist (Arch. klin. Chir. 267 393). Eine solche Betrachtungsweise trägt für den Kliniker aber erst dann die richtigen Früchte wenn er sich neben der Funktionsprüfung der Wirbelsäule bei der körperlichen Untersuchung und neben den üblichen Röntgenbildern auf eine „Röntgenuntersuchung der Funktion“ (funktionelle Röntgendiagnostik) stützen kann (S. 24, 150 182, 206).

Von den segmentalen Bewegungseinheiten spielen die beiden oberen „Bewegungsegmente“ eine besondere Rolle, weil hier die Bandscheiben fehlen. Diese Bewegungsmöglichkeiten „Hinterhaupt-Atlas“ und „Atlas-Epistropheus“ werden meist unter der Bezeichnung Kopfgelenke zusammengefaßt (vgl. Kap. I B S. 11). Sie haben eine zunehmende Bedeutung, da die Röntgendarstellung (*Gutmann Sandberg*) im Hinblick auf die Möglichkeit von Blockierungen ihrer Bewegung (Kap. III H 1 III J 4, IV C 4) in den letzten Jahren immer mehr verfeinert wurde wobei es wichtig ist, auf Normvarianten zu achten (*Glogowski*). Das Schrifttum über alle hiermit zusammenhängenden, teilweise noch hypothetischen Fragestellungen und über die Möglichkeit chiropraktischer Behandlung ist stark angewachsen. *Brocher Decker* und Mitarbeiter *Exner Glogowski Landemann* und *Kuhlenzahn Matzdorf Shier Sander Bollmann, Zukackwerdt* u. v. a.

II Die Fehlbildungen der Wirbelsäule

A Einteilung

Die große Zahl von Fehlbildungen, die an der Wirbelsäule vorkommen, läßt sich verstehen, wenn man bedenkt, aus wieviel Teilen jeder einzelne Wirbel und schließlich die gesamte Wirbelsäule zusammengesetzt sind und daß alle Einzelteile (Wirbelkörper, Zwischenwirbelscheiben, Wirbelbögen mit Fortsätzen, Rippenanlagen, Nebenknochenkerne) ihren eigenen Entwicklungsgang haben. Die Zeiten der Verknöcherung und Verknöcherung und die Zeiten der Ausbildung zur endgültigen Form sind in den einzelnen Anlageteilen des Wirbelskelettes sehr verschieden. In gewissen Entwicklungszuständen sind manche zunächst verschmolzen (Rippenanlagen und Wirbelbogenfortsätze) und erfahren erst später in einigen Wirbelnabschnitten eine Trennung, während sie in anderen vereint bleiben. Andere Teile wieder werden getrennt angelegt (Wirbelkörper und Wirbelbogen) und gehen bei der weiteren Entwicklung eine knöcherne Verschmelzung ein. Zu alledem kommt noch bei der Bildung der endgültigen Wirbelsegmente aus den Urwirbelsegmenten eine Segmentverschiebung, bei der die beiden Wirbelkörperhälften (rechts und links) selbständig sind. In allen kurz angedeuteten Entwicklungsstufen können einzelne oder mehrfach auftretende Entwicklungsstörungen vorkommen. Mancher Entwicklungsfehler kann wiederum Störungen in der Ausbildung anderer, von ihm abhängiger oder mit ihm funktionell zusammenhängender Teile hervorrufen. Es können verschiedene Ursachen zu gleichen oder zu verschiedenen Zeiten störend in die Entwicklung einzelner Teile der Wirbelsäule eingreifen. So ist leicht verständlich, wenn zahlreiche ausgedehnte

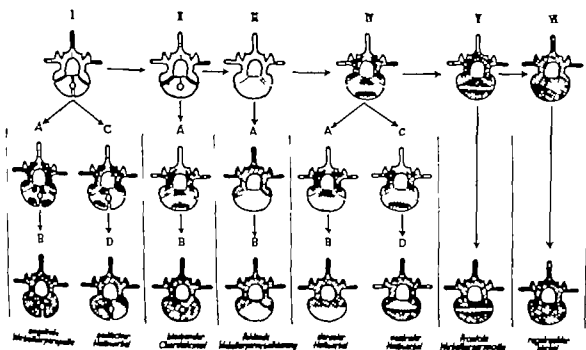


Abb. 42 Schema der regelrechten Wirbelkörperentwicklung (obere Skizzenreihe) und der verschiedenen Wirbelkörperfehlbildungen (mittlere und untere Reihe), die sich aus den Entwicklungszuständen I–V ableiten lassen. Knochengewebe schraffiert. (Nach Jürgens)

Wirbelsäulenfehlbildungen nicht ohne weiteres zu erklären und in ein starres Einteilungsschema einzuordnen sind. Trotzdem ist eine gewisse Gliederung erforderlich um die Fälle des Stoffes zu ordnen, und es wird zum besseren Verständnis der endgültigen Fehlbildungsformen nötig sein, verschiedentlich auf Entwicklungsstufen einzugehen, die im Röntgenbild nicht darstellbar sind. Eine entwicklungsmäßige Ableitung der Wirbelsäulenfehlbildung und Besprechung des zugehörigen Schrifttums findet sich bei Jungklaus „Pathologie der Wirbelsäule“ im Handbuch der speziellen Pathologischen Anatomie, Band XI 4. Teil, S. 216ff und in Arch. orthop. Chir. 38 1 (1937).

Früher hatte Potts zur Erklärung der Wirbelsäulenfehlbildungen seinen „Elementarwirbel“ aufgestellt der von Dietelm unter Berücksichtigung der frontalen Wirbelkörpererspaltung und des Entwicklungsschemas von Jungklaus (Abb. 42) ergänzt wurde. Schüss und Tondary förderten unsere Kenntnisse von der Frühentwicklung der Wirbel. Zahlreiche eingehende histologische Untersuchungen aus allen Entwicklungsstadien der Wirbelsäule und vor allem genaueste makroskopische und mikroskopische Durchforschungen aller nur erreichbaren Fehlbildungen der Wirbelsäule werden aber noch erforderlich sein, um endgültige Klarheit zu schaffen. Gerade dieses Forschungsgebiet ist noch keineswegs ausgeschöpft.

Für die Deutung des Röntgenbildes ist eine eingehende Beschäftigung mit den Wirbelsäulenfehlbildungen dringend nötig, damit Verwechslungen mit erworbenen krankhaften Zuständen vermieden werden können. Die Differentialdiagnose zwischen erworbener und angeborener Wirbelschmelzung zwischen Knochenbruch und angeborener Wirbelkörper oder Wirbelbogenspalte, zwischen angeborenem Fehlen einer Wirbelkörperhälfte und erworbenen krankhaften Knochenstörungen durch Geschwulst oder Infektion sowie viele andere schwierige differentialdiagnostische Fragen können nur auf Grund guter Kenntnisse der Fehlbildungsmöglichkeiten gelöst werden. Das Schrifttum enthält dafür eine große Zahl von Beispielen (Jungklaus, Übermuth, Wernershold, Faustmann) die sich aus jeder Röntgenbildersammlung noch vermehren lassen. Besondere Schwierigkeiten für die Deutung treten auch auf, weil die Fehlbildungen der Wirbelsäule in ihrer Widerstandskraft gegen Belastung und Krankheiten oft so geschwächt sind, daß sie diesen, vor allem in zunehmendem Alter häufiger unterliegen als gesunde Wirbelsäulen (Eliaser, Willich). Dadurch wird die Abgrenzung zwischen Fehlbildung und der hinzugekommenen krankhaften Veränderung sowohl für Begutachtungsaufgaben, als auch für die Behandlung besonders schwierig. Manche Wirbelsäulenfehlbildungen oder deren Folgezustände verändern die Raumverhältnisse des Beckens wesentlich (Spondylolisthese). Deshalb sind sie in der Geburtshilfe bedeutungsvoll (György, Kirschhoff). In vielen Fällen findet der genaue Untersucher neben den Wirbelsäulenfehlbildungen noch angeborene Veränderungen des Urogenitalapparates (Maltz, Verol und Faureo) oder es bestehen Beziehungen zu Darmfehlbildungen (Karmark).

Die übereinanderliegende Reihe der Wirbelkörper und Zwischenwirbelscheiben („Wirbelkörper-Bandscheibenreihe“ oder kurz „Wirbelkörperreihe“) und die „Wirbelbogenreihe“ mit ihren zahlreichen Fortsätzen unterliegen in ihrem Entwicklungsangang verschiedenen Gesetzen und haben daher auch so verschiedenartige Fehlbildungen, daß sie getrennt besprochen werden müssen.

B. Fehlbildungen der Wirbelkörper-Bandscheiben-Reihe (Wirbelkörperreihe)

1. Allgemeines

Bei der übereinanderliegenden Reihe der Wirbelkörper und Bandscheiben spielt entwicklungs-geschichtlich die Chorda dorsalis eine große Rolle. Da sie die Wirbelkörperreihe in Kopf-Steiß-Richtung durchzieht, sind die mit ihrer Entwicklung zusammenhängenden Störungen auch bei der vollentwickelten Wirbelsäule vornehmlich in Kopf-Steiß-Richtung angeordnet (senkrecht gespaltenen Wirbelkörper, Ausbuchtungen der Zwischenwirbelscheiben in Kopf-Steiß-Richtung in der Gallertkerngegend). Der Segmentierungsvorgang der Wirbelsäule geht demgegenüber in einer segment-artig angeordneten Horizontalablenkung vor sich und führt zur Entwicklung der Wirbelkörper und der Zwischenwirbelscheiben. Dabei geht die Chorda dorsalis im Wirbelkörperbereich zugrunde, während sie sich im Gebiet der Zwischenwirbelscheibe als „Intervertebrale Chordaanschwellung“ (Grundlage des Gallertkerns) erhält (Abb. 43). Als dritter Faktor für die Entwicklung der Wirbelkörper

reihe sind noch die Blutgefäße zu nennen, die segmentartig angeordnet von außen her in die Wirbelkörper eindringen und die Verknöcherungsvorgänge maßgebend beeinflussen. Bei der Betrachtung von Entwicklungsstörungen der Wirbelkörperreihe sind demnach die Chorda dorsalis, der horizontale Segmentierungsvorgang und die Blutgefäße zu berücksichtigen, und es ist zu beachten daß sich diese 3 Faktoren einzeln oder in verschiedensten Verflechtungen bei den Fehlbildungen auswirken können.

Nach den Tierversuchen von *Theiler* (Institut Töndury) wird es immer mehr wahrscheinlich daß auch für den Segmentierungsvorgang der haupt sächlichste formgebende Einfluß von der Chorda dorsalis ausgeht und bereits vor dem Stadium der Knochenbildung wirksam wird. *Töndury* faßt die Untersuchungsergebnisse seines Schülers folgendermaßen zusammen:

Die Chorda dorsalis trägt die volle Verantwortung für die normale Gliederung der Wirbelsäulenblasteme. Ohne Chorda unterbleibt die Wirbel säulenbildung ganz, anstelle der Wirbelsäule tritt eine ungeordnete Knorpelmasse. In der einmal gegliederten Wirbelsäulenanlage sind zuerst die druckelastischen Chordazellen und in einem weiter fortgeschrittenen Stadium die Chordasegmente und dann die Gallertkerne verantwortlich für eine normale Bandscheibendifferenzierung. Wird die Chorda sekundär zurückgebildet dann besteht an der Defektstelle eine hyalinknorpelige Intervertebralregion. Ist die Chorda abnorm gelagert dann kann es zu asymmetrischen Störungen der Bandscheibenentwicklung kommen. In allen Fällen entsteht in fortgeschrittenen Stadien Blockwirbelbildung“ (Weiteres Schrifttum *Probst Rathke Seifert*).

Bei der weiteren Erforschung dieser Zusammenhänge wird man die Ergebnisse *Bückers* berücksichtigen müssen. Er fand bei Hypoxämie Störungen in der Chordaentwicklung. Es ist denkbar daß krankhafte Zustände der Mutter Hypoxämie für den wachsenden Embryo und damit entsprechende Fehlbildungen in der Entwicklung der gesamten Wirbelsäule Störungen im ordnungsgemäßen Aufbau der von der Chordaentwicklung abhängigen Zwischenwirbelscheiben und anderes nach sich ziehen (vgl. Kap. I D II B 0 IV D 1).

Die Abb. 42 gibt in schematischen Skizzen die Fehlbildungen der Wirbelkörper wieder wie sie sich aus dem normalen Entwicklungsgang (oberste Skizzenreihe) ableiten lassen. An verschiedenen Stellen der weiteren Ausführungen werden wir auf dieses Fehlbildungsschema zurück kommen.

2. Angeborene Blockwirbel

Die horizontale Segmentachse in der Wirbelkörper Bandscheiben Reihe ist in den Ursegmenten der frühen Entwicklungsstufen der menschlichen Wirbelsäule so angeordnet, daß die spätere Bandscheibe ungefähr das mittlere Drittel des Ursegmentes bildet während das obere und untere Drittel jedes Ursegmentes zu Wirbelkörperteilen werden. Zum Beispiel bilden das untere Drittel des dritten Ursegmentes und das obere Drittel des vierten Ursegmentes zusammen einen späteren Wirbelkörper. Die Blutgefäße ziehen an der Stelle der Abgrenzung der Ursegmente in die Wirbelsäulenanlage hinein, liegen beim endgültigen Wirbelkörper dann

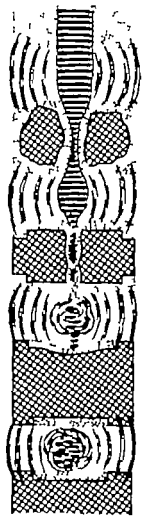


Abb. 42 (Schematische Zeichnung über die Entwicklung der Chorda dorsalis.) Im oberen Teil der Zeichnung durchzieht die Chorda dorsalis (quergestreift, rot), knorpelige Wirbelsäulenanlage (punktiert) und Zwischenwirbelscheibenanlage in der Kopf-Steiß Richtung als geschlossener, runder Stab. Sie wird im Zusammenhang mit der

Knochenkernbildung (schraffiert) im Wirbelkörper eingeeignet, während sie sich im Bereiche der Zwischenwirbelsäulenanlage ausbreitet (intervertebrale Chorda Ausbuchtung). Im Wirbelkörper verschwindet sie schließlich vollständig, hier im Gallertkern der Zwischenwirbelscheibe finden sich weiterhin Chordarückreste (rot). Wenn sich die Durchtrittsstelle der Chorda dorsalis durch die knorpelige Fehlschlußplatte nicht völlig oben schließt, bleibt hier eine „Einbuchtung“ mit verdünnter Knorpelplatte zurück (vgl. Abb. 87 244–247 359).



Abb. 44. (Seitliche Röntgenaufnahme der mittleren Brustwirbelsäule einer 68-jähr. Frau.) Angeborene, völlig knöcherne Verschmelzung des 8. und 9. Brustwirbelkörpers mit Fehlen der 8. Brustbandschleife („Blockwirbel“).



Abb. 45. (Seitliche Röntgenaufnahme einer Hälfte der in der Sagittalebene durchgesägten Halswirbelsäule eines 45-jährigen Mannes.) Angeborene knöcherne Verschmelzung des 2. und 4. Halswirbelkörpers und ihrer Gabeln und Dornfortsätze („Blockwirbel“).

also in der Wirbelkörpermitte, wo sie als Aufhellungsstreifen („Halsweiche Spalten“ S. 2) im Röntgenbild zur Darstellung kommen können (Abb. 1) Fehlbildungen in diesem Segmentierungsvorgang ergeben Unregelmäßigkeiten in der endgültigen Wirbelkörperzahl. Es liegen dann „Blockwirbel“ vor. Im Röntgenbild ist dabei oft ein durchgehendes Knochenbalkchen entwickelt (Abb. 44–45) manchmal sind aber noch Trennungslinien zwischen den Wirbelkörpern sichtbar (Abb. 46) und in diesen Fällen zeigt das anatomische Präparat kleinere oder größere Reste von Bandscheibengewebe eingelagert. Solche Blockwirbelbildungen haben in der Regel die Höhe der Zahl der verschmolzenen Wirbelkörper und der dazwischenliegenden Bandscheiben, so daß oft kein nennenswerter Höhenverlust und auch keine ungewöhnliche Verkrümmung der Wirbelsäule eintritt (Abbildung 45–46). Mit der Verschmelzung größerer Wirbelabschnitte zu einem unbeweglichen knöchernen Stab pflegt allerdings meist eine beträchtliche Höhenverminderung des betroffenen Teiles einherzugehen (Bakke, Bauer, Bülow-Hansen, Walther, Volz, Langhof, Lent, Venustadt, Overton und Charnley, Pax, Radulescu, Rohdanzky, Sorrel, Legend-Lambing und Lebert u. v. a.) Wahrscheinlich wird sie durch das frühzeitige Aussetzen des Wachstums an den verknochnenden Wachstumsschichten der Wirbelkörper bedingt, oder es fehlt die Anlage der Wachstumsschichten.

Baer schlägt zur besseren Abgrenzung vor die angeborenen Wirbelverbindungen als „Anomelien“ und die erworbenen Blockwirbel als „Synostosen“ zu bezeichnen. Nach Dührsen sind die angeborenen Wirbelverbindungen nicht als „Wirbelverschmelzungen“ sondern als „angeborene Differenzierungen“ anzusehen. Demgegenüber kommen Valachi und Fyfecker zu der Ansicht, daß bei vielen angeborenen Blockwirbeln nicht eine mangelnde Differenzierung, sondern langsamer oder rascher Abbau und schließlich Zerstörung der schon differenzierten Zwischenwirbelscheibe vorliegt. Overgaard glaubt, daß regressive Veränderungen der Zwischenwirbelscheiben am Ende der Wachstumszeit Ursache der Blockwirbelbildungen sind, wofür nach seiner Ansicht das beobachtete Fortschreiten im Kindesalter spricht.

Angeborene Blockwirbelbildungen können allein die Wirbelkörper Bandscheiben Reihe betreffen. Meist sind allerdings die dazugehörigen Wirbelbogenstücke auch mit verschmolzen (Brocker) so daß man an einen, die Wirbelkörper und die Wirbelbogenreihe betreffenden Hemmungsvorgang bei der Segmentierung denken muß (Abbildung 45). Es besteht auch die Möglichkeit, daß die Verschmelzung oder — besser gesagt — die ausbleibende Segmentierung ursprünglich nur im Bogenbereich gesessen hat, und daß die dazugehörigen Wirbelkörper erst in zweiter Linie knöchern verschmolzen sind weil das

zwischen ihnen liegende Bandscheibengewebe infolge seiner Untätigkeit einer Verknöcherung anheimfel. In Tierversuchen hat *Hoas* die Wirbelbogen im Sinne der *Alles* Operation verstreift und dadurch Wachstumsbehinderungen der Wirbelkörper Höhenabnahme der Zwischenwirbelscheiben und Veränderungen in den Randleisten erzeugt. Daraus geht also ein wesentlicher Einfluß der Wirbelbogenverschmelzung auf die wachsende Wirbelkörper Bandscheiben Reihe hervor.

An dieser Stelle ist ein kurzer Hinweis auf die Verschmelzung der Wirbelkörper des Kreuzbeins nötig, die im embryonalen Zustande auch als vollkommen getrennte einzelne Wirbelkörper mit zwischenliegenden Bandscheiben angelegt werden. Häufig findet man im späteren Leben noch Reste der Zwischenwirbelscheiben, besonders zwischen den obersten Kreuzbeinwirbeln. *Schrode* hat diese Verhältnisse und die dabei auftretenden Rückbildungsvorgänge geschildert. Auch im Steißbein spielen sich solche Rückbildungsvorgänge ab (*Angerer*). In Röntgenaufnahmen des Kreuz- und Steißbeines sind als Zeichen der Wirbelkörpergrenzen noch Querstreifungen zu sehen (ähnlich wie in Blockwirbeln z. B. Abb. 46). Die Unterscheidung solcher „Zwischenwirbelscheibenreste“ von Bruchlinien ist manchmal nicht leicht. Ausgedehnte Untersuchungen, Röntgenbilder und Schrifttum bei *Grunder*.

2. Wirbelkörpererspaltung in der Pfeilnahtebene (sagittale Wirbelkörperfuge)

Spaltungen einzelner oder mehrerer Wirbelkörper in der Pfeilnahtebene, wodurch zwei seitlich liegende Halbwirbel (Skizze I B in Abb. 4*) entstehen, sind nicht nur bei lebensunfähigen Mißbildungen, sondern auch bei Menschen in höheren Lebensaltern beschrieben worden. Nach *Budde*, *Feller Sternberg* u. a. beruhen sie auf einer Spaltung der Chorda dorsalis in der Pfeilnahtebene. Sie nehmen ihren Ursprung also bereits in sehr frühen Entwicklungsstufen. Daß sie häufig mit gleichzeitig bestehenden Fehlbildungen im Bereich des Darmkanals und des Zentralnervensystems zusammenhängen, ist nachgewiesen (*Budde*, *Chapuis*, *Feller* und *Sternberg Hartmann*, *Kolmer Korff*, *Rotberg* u. a.). Bei hochgradigen Wirbelkörpererspaltungen besteht Lebensunfähigkeit (Abb. 106).

Klimach wichtiger sind diejenigen Fälle, bei denen man nur einzelne, in der Pfeilnahtebene in zwei Hälften geteilte Wirbelkörper findet (von *Assen*, *Blowal*, *Frets*, *Gogoy*, *Hanson*, *Harrenstein*, *Hartmann*, *Kortin*, *Langs*, *W. Müller*, *Osten-Sacken*, *Reisner*, *Sereghy* u. a.). Es handelt sich dabei nicht um einen glattrandigen schmalen sagittalen Spalt im Wirbelkörper, sondern die Wirbelkörpermitte ist in der Kopf-Steiß-Richtung, also an der Chordadurchtrittsstelle im maxillierten Präparat zylindrisch ausgehöhlt (Abb. 47, 48). Von dieser zylindrischen Ausbuchtung aus geht in der Pfeilnahtebene nach vorn und nach hinten ein schmaler mit Knorpelgewebe ausgefüllter Spalt (eine „Fuge“) durch den Wirbelkörper (Skizze I B in Abb. 42). Außerdem sind die oberen und unteren Flächen der gespaltenen Wirbelkörper trichterförmig eingesenkt, und die oben und unten anliegenden Zwischenwirbelscheiben sind durch das zylindrische Loch hindurch verbunden. Bei Röntgenaufnahmen von vorn her ähneln solche Wirbelkörper einem Schmetterling (Abb. 40). Deshalb erhielten sie den Namen „Schmetterlingwirbel“.

Die Schmetterlingwirbel zeichnen sich meist noch dadurch aus, daß ihre beiden Hälften, wahr scheinlich erst infolge der Belastung, etwas auseinandergedrängt werden und dann, von vorn gesehen, beiderseits mit ihren Seitenflächen weiter nach außen stehen als die benachbarten Wirbelkörper (Fall von *Sereghy*). *Hartmann* beschreibt die Wirbelverbreiterung allerdings schon bei Föten. Außer dem kommen häufig dabei Störungen im Höhenwachstum vor, die sich, wohl „3 der Belastung etwas mehr in den vorderen Teilen abspielen, wodurch der gespaltenen



Abb. 46. (Seitliche Röntgenaufnahme einer Hälfte der in der Sagittalebene durchgetragenen Halbwirbelsäule einer 60-jährigen Frau.) Angeborene knöcherne Vereinigung zweier Halbwirbelkörper mit gleichzeitiger Vereinigung der Gelenk- und Dornfortsätze („Blockwirbel“). Die darzwischen liegende Bandscheibe ist nur andeutungsweise durch zwei dicht aneinanderliegende Schattenstriche zu erkennen. Zwischenwirbelloch eingengt.

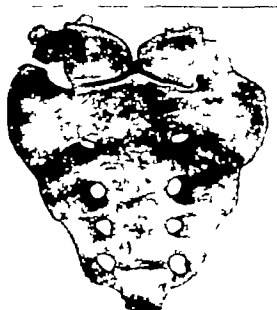


Abb. 47. Wirbelkörperspalte in Pfeilnahtrichtung im letzten Lendenwirbel. „Schmetterlingsbildung“ und knöchernes Verwachsung zwischen linkem Wirbelkörperfortsatz und Kreuzbeinseitenmassen (Übergangswirbel). Die Kreuzbeinbasis zeigt in ihrer Mitt übermäßiges Wachstum („Anpassungswachstum“) in den Wirbelkörperpalt hinein. (Nach Frey)



Abb. 48. Präparat der Abbildung 47 von oben gesehen, die Spaltbildung in Pfeilnahtrichtung mit Ausbuchtung des Chordakanals in beide Wirbelkörperhälften hinein deutlich sichtbar (Abb. 42, Skizze I B) (Nach Frey.)

etwas niedriger ist als hinten. Eine geringe kyphotische Ausbiegung manchmal auch ein deutlicher Gibbus, sind die Folgen der Wachstumsstörungen. Die „angeborene Kyphose“ (W. Müller schlägt die Bezeichnung „angeborener Gibbus“ vor) hat in manchen Fällen ihre Ursache in einem sagittal gespaltenen Wirbelkörper der eben geschilderten Art (von Assen Bauer Gault, Harrenstein W. Müller u. v. a.)

Wirbelkörperspaltungen in der Pfeilnahtebene können auch in Form der Spina bifida anterior mit Ausbuchtungen der Rückenmarkshäute (Meningocele) einhergehen. Die Bildungen führen dann zu ähnlichen Folgezuständen wie die nach hinten zu entwickelte Meningocele. Am häufigsten kommen sie in der Kreuzbeinregion vor (Lusk, Ostas-Sacken u. a.). Kleinere Ausbuchtungen der Rückenmarkshäute in die Kreuzbeinwirbel hinein, die sog. Spina bifida incompleta oder die Kreuzbeinzyste (Kleiser) werden in einem späteren Abschnitt besprochen (S. 43)



Abb. 49. (Abbildung von Scrophi.) „Schmetterlingsform“ des 2. Lendenwirbels. Neben der zentralen Einbuchtung ist die Verkrümmung des Wirbels nach beiden Seiten zu erkennen.

4. Einseitige Halbwirbel

Einseitig (links oder rechts) entwickelte Halbwirbel (Skizze I D in Abb. 42) die einzeln oder zusammen mit ausgedehnten Wirbelsäulenmißbildungen vorkommen können, haben im Schrifttum große Auseinandersetzungen hervorgerufen. In den bisherigen Forschungsergebnissen bleibt die Frage noch ungeklärt, ob bereits die knorpelige Wirbelkörperanlage fehlgebildet war oder ob lediglich

die Verknöcherung einer Wirbelkörperhälfte ausbleibt. Vielleicht spielt auch das Fehlen der Blutgefäßversorgung einer Wirbelkörperhälfte, die dann nicht ordnungsgemäß verknöchern kann, eine gewisse Rolle (Feller und Sternberg, Jungmann, W. Müller, Vaegeli, V. Kues, Rosenburg). Einseitige (links oder rechts entwickelte) knöcherne Halbwirbel bestehen in frühen Entwicklungsstadien stets als rundliche bzw. würfelförmige Knochenkerne. Die zugehörige Wirbelkörperhälfte, in der kein Knochenkern entwickelt ist, wird von Knorpelgewebe eingenommen und ist bereits im Embryonalleben nicht ganz so hoch wie die knöcherne Wirbelkörperhälfte, so daß sich also eine leichte Skoliose der Wirbelsäule findet. Nach der Geburt werden diese angeborenen Skoliosen immer deutlicher und der ursprünglich würfelförmige Knochenkern bildet sich allmählich zu einem keilförmigen Knochenstück aus (Abb. 100), das halbseitig mit seiner Schneide bis zur Pfannenhebene heranreicht oder etwa nach der anderen Seite zu darüber hinausragend entwickelt ist (angeborener halbseitiger Keilwirbel). Das Schrifttum enthält zahlreiche Arbeiten über solche Fälle (Callelli, Fourn, Gonzalez-Aguilar, Haefliger, Knappner, Lohmüller, W. Müller, Vossak, Perrot und Dubouat, Recanale, Sarda, Siciliani, Willich u. v. a.). Soweit es sich dabei um Fehlbildungen von nur einem Wirbel handelt, zeigt das Röntgenbild von vorn her klare und übersichtliche Verhältnisse. Sehr oft überlagern sich aber mehrere verschiedene Mißbildungen zu unübersichtlichen Fehlformen mit skoliotischen und kyphotischen Verkrümmungen (Abb. 106, 108).

3. Halbwirbel durch hemimetamere Segmentverschiebung

Schon mehrfach war die Rede davon, daß in frühen Entwicklungsstadien der Wirbelsäule die linken und rechten Wirbelkörperhälften getrennt sind (S. 31, 32) und daß sich bei Bestehenbleiben dieses früh embryonalen Zustandes sagittal geteilte Wirbelkörper ausbilden (Skizzen I A und B in Abb. 49). Da in den frühen Entwicklungsstadien bei der Umbildung der Urssegmente in die endgültigen Segmente gewisse Verschiebungen (S. 90) eintreten, besteht auch hier eine Fehlbildungsmöglichkeit dadurch, daß die Segmentverschiebung in der linken und rechten Wirbelsäulenhälfte ungleichmäßig abläuft. Diese fehlerhafte Verschiebung von Halbsegmenten breitet sich bisweilen über große Wirbelsäulenabschnitte aus, bisweilen betrifft sie auch nur wenige übereinanderliegende Wirbelkörperanlagen. Lehmann-Facius hat die Bedeutung solcher „hemimetamerer Segmentverschiebungen“ eingehend geschildert. Am oberen und unteren Ende einer Verschiebungsreihe bleibt dann auf jeder Seite ein Halbwirbel übrig (Abb. 50), der sich später zu einem Keilwirbel umbildet, wie wir das im vorherigen Abschnitt von den einseitigen Halbwirbeln bereits beschrieben haben. Feller und Sternberg, W. Müller, Berneskiold u. v. a. haben sich mit dieser Theorie der mehrfachen und alternierend angeordneten Halbwirbel beschäftigt und neue Krankheitsfälle geschildert.

Die ausdenkbaren Möglichkeiten derartiger halbseitiger Segmentverschiebungen und falscher Zusammenlagerung von Segmenten sind groß (W. Müller bringt entsprechende Schemata). Dabei bilden sich stets noch Verschiebungen oder unrichtige knöcherne Verschmelzungen von Rippen und Wirbelbogenstellen. Sehr häufig kommen Blockwirbelbildungen, also Segmentverschmelzungen oder ausgiebige Differenzierungen hinzu. Zahlreiche derartige Mißbildungen sind so unübersichtlich aufgebaut, daß selbst bei sorgfältigster Zahlung der einzelnen Knochenstücke keine befriedigende Zusammenordnung herzustellen ist. Wenn Träger solcher Fehlbildungen lebensfähig sind, stellen sich meist im Laufe des Lebens ausgedehnte Wirbelsäulenverkrümmungen als Folge der Halbwirbelbildungen ein, denn auch bei vollkommen seitengleicher Verschiebung sind die übrig bleibenden alternierenden Halbwirbel nicht immer von der gleichen Größe und oft infolge ihrer Lage in verschiedenen Wirbelsäulenabschnitten anderen Belastungsverhältnissen ausgesetzt, weshalb sie erhebliche Umbildungen im Laufe des Lebens erfahren. Das erschwert die Abgrenzung gegenüber gewaltbedingten Wirbelveränderungen sehr, wie sich bei Begutachtungen häufig zeigt.

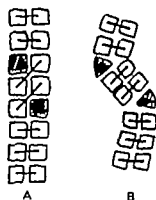


Abb. 50 Schematische Darstellung der hemimetameren Segmentverschiebung (A). Die Halbwirbel scheitern. Die Halbwirbel bilden sich allmählich zu Keilwirbeln aus, so daß eine Skoliose entsteht (B).

6a. Ausbleibende Wirbelkörperverknöcherung

Als seltene Fehlbildung wurde das Ausbleiben der Verknöcherung einer knorpeligen Wirbelkörperanlage beschrieben (Skizze III A in Abb. 42). Verantwortlich dafür ist nach unserer Ansicht das Fehlen von Blutgefäßeinsprossung in die Wirbelkörperanlage.

In der weiteren Entwicklung nach der Geburt stellt sich beim Ausbleiben der Wirbelkörperverknöcherung eine Kyphose oder Gibbushildung („angeborene Kyphose“) an der entsprechenden Stelle ein, weil das Knorpelgewebe der Belastung nicht gewachsen ist. Es ist dabei weiterhin zu beobachten, daß die zu dem nicht verknöcherten Wirbelkörper gehörenden Wirbelbogenwurzeln, die sowieso beiderseits einen seitlich hinten gelegenen Teil des endgültigen Wirbelkörpers bilden (Abb. 10) sich beim weiteren Wachstum über ihren regelrechten Anteil hinaus vergrößern, vor dem Rückenmark zusammenwachsen und so als schmale Knochenspanne die Vorderwand des Wirbelkanals bilden. Dadurch entsteht ein allerdings meist sehr kleiner dorsaler Halbwirbel (Skizze III B in Abb. 42) der allmählich einer keilförmigen Umbildung unterliegt, wie dies von den rückwärts liegenden Halbwirbeln noch besprochen wird. Solche Fälle von angeborenen Kyphosen sind im Schrifttum schon mehrfach erwähnt (*Bauer von Schrick u. a.*)

6b. Fehlende Wirbelkörperanlage

Auf Grund theoretischer Erwägungen glaubt *Patten* an die Möglichkeit des vollständigen Ausbleibens der vorknorpeligen und knorpeligen Anlage von einem oder mehreren Wirbelkörpern trotz vorhandener ordnungsgemäßer Wirbelbogenanlage und Verknöcherung. Diesen Zustand nennt er „Asoma“ hat aber selbst einen derartigen Fall niemals zu Gesicht bekommen. *Diehlkeim* nimmt diese Theorie auf und beschreibt einen zunächst röntgenologisch und später auch pathologisch-anatomisch untersuchten Fall (3½-jähriges Mädchen), bei dem er glaubt das völlige Fehlen der Anlage von 3 Lendenwirbelkörpern bei teilweise vorhandenen Bogen feststellen zu können. Gleichzeitig verweist er auf ähnliche Beobachtungen im Schrifttum von *Braun, Feller* und *Sternberg Jachens u. a.* Das von *Diehlkeim* nachwärts von den vorhandenen und vor dem Wirbelkanal zusammengewachsenen Wirbelbögen (also an der Stelle der fehlenden Wirbelkörper) gefundene „Band-scheibengewebe“ kann nach unserem Erachten aber durchaus auch als Umwandlungsergebnis der knorpelig vorgebildeten, aber nicht verknöcherten Wirbelkörperanlagen durch die 2½-jährige Belastung der Wirbelsäule aufgefaßt werden. Die bisherigen Berichte im Schrifttum sind leider noch zu spärlich, um diese Frage endgültig zu klären.

Bei dem bisher nur in ganz seltenen Ausnahmefällen beschriebenen Fehlen des Zahnfortsatzes des Epistropheus (der entwicklungs-mechanisch als Körper des Atlas aufzufassen ist) steht ebenfalls noch die eindeutige Klärung darüber aus, ob es sich um ein wirkliches Fehlen jeglicher Wirbelkörperanlage oder nur um ausbleibende Verknöcherung bei knorpelig vorgebildetem Wirbelkörper handelt. *Roberts* berichtet über einen 20-jährigen Kranken, bei dem infolge des fehlenden Epistropheuszahnes eine traumatische Verschlebung des Atlas mit Einengung des Wirbelkanals entstand. Einen ähnlichen Fall schildern *Lombard* und *Le Garsel*.

Ageneasie oder Aplasie größerer Wirbelsäulenabschnitte (meist am unteren Körperende) kommen in verschiedenster Ausdehnung vor und betreffen dann im allgemeinen Wirbelkörper und Wirbelbogen, wobei es sich wahrscheinlich um wirkliches Fehlen jeder Wirbelanlage handelt. Fast regelmäßig sind damit ausgedehnte Mißbildungen der Nervenversorgung, des Darmes, des Beckens, der unteren Gliedmaßen (Sirenenbildung) und der Harnorgane vergesellschaftet. Das Fehlen größerer Abschnitte der unteren Wirbelsäule ist mit dem Leben nicht vereinbar (Totgeburten). Zur Röntgen-diagnostik und auch zur Behandlung kommen diejenigen Kranken mit geringeren derartigen Mißbildungen halbseitiger Kreuzbeinmangel mit Beckenverbildung, Kreuzbeinmalen u. ä. Die systematische Einteilung nach genannten entwicklungs-geschichtlichen Gesichtspunkten ist schwierig und oft versucht worden (*Diehlkeim*). Ausführliche Beschreibungen bringt *Pulscher*. Weiteres Schrifttum: *Boos, Cuatrecasas, Feller* und *Sternberg Gantz, Hennis Kienböck* und *Zimmer J. Müller Röcher* und *Roswill, Sinclair Simpson Valentin u. a.*

7 Rückenwärts liegende (dorsale) und bauchwärts liegende (ventrale) Halbwirbel

Im Gegensatz zu der großen Zahl von Fällen mit sagittaler Wirbelkörperfuge und einseitig entwickelten Halbwirbeln, die bisher veröffentlicht sind, ist nur eine kleine Zahl von Fällen im Schrifttum enthalten, bei denen nur die rückenwärts liegende Wirbelkörperhälfte knöchern entwickelt ist (Abb 51) während die nach vorn zu liegenden Teile des gleichen Wirbelkörpers nicht verknöchert sondern durch bandscheibenartiges Gewebe gebildet sind. Sie sind als

„dorsale Halbwirbel (Jungkanns) Hemi-spondylus posterior“ (Bakke) oder „Mikrospondylie (Dreyfus) bezeichnet worden. Die Benennung „Hemi-spondylia sagittale“ von Vossk kann zu Irrtümern Veranlassung geben. Öfter wurden derartige Entwicklungsstörungen auch ohne besondere Namensgebung als Ursache für angeborene Kyphosen veröffentlicht. Schrifttum: *Arzt Bauer Brocker Dreikmann Göb Kienbock Lindemann Schapira v Schrick Wollenberg Zanolli*.

Die Entwicklungsgeschichte der Wirbelsäule zeigt, daß bei Einleitung der Verknöcherungsvorgänge von hinten her und von vorn her Blutgefäße in den knorpelig angelegten Wirbelkörper eindringen, und wie sich so ein bauchwärts und ein rückenwärts liegender Knochenkern ausbildet (Skizze IV in Abb 42). Schanz und Töndury haben diese früher bereits von Schaffer untersuchten Verhältnisse in besonders schönen Abbildungen dargestellt. Der rückenwärts liegende Knochenkern ist von Anfang an größer und verdrängt die Chorda etwas nach vorn zu. Früher wurden die dorsal entwickelten Halbwirbel (Skizze IV B in Abb 42) als unterentwickelte Wirbelkörper aufgefaßt. Nach unserer Meinung liegt die Erklärung nahe, daß bei derartigen Fehlbildungen eine Hemmung der Ausbildung des bauchwärts liegenden Knochenkernes vorliegt, da wahrscheinlich das die Verknöcherung einleitende Blutgefäß nicht vorhanden war oder bei seiner Entwicklung nicht den richtigen Weg in den Wirbelkörper hinein gefunden hat. Durch Fehlen des ventralen Blutgefäßes konnte die Verknöcherung des vorderen Wirbelkörperteiles nicht eintreten, dieser blieb knorpelig und bildete sich unter der Belastung im Zusammenhang mit dem knorpeligen Gewebe der benachbarten Bandscheiben zu Bandscheibengewebe um.

Das Fehlen der Verknöcherung in der bauchwärts liegenden Wirbelkörperhälfte führt allmählich infolge der Belastung zu einer kyphotischen Verkrümmung der Wirbelsäule. Der anfangs würfelförmige rückenwärts liegende Halbwirbel der sich knöchern mit den Wirbelbogenwurzeln beiderseits vereinigt hat, wird durch den Belastungsdruck nach und nach keilförmig umgebildet. Dabei ist auch noch Zunahme der vorderen Wirbelkörperhöhe an den oben und unten angrenzenden Wirbelkörpern



Abb. 51 (Anschnitt aus der seitlichen Röntgenaufnahme der Wirbelsäule eines 15-jährigen Junglings.) 1 Lendenwirbelkörper nur als rückenwärts gelegener Halbwirbel entwickelt. Kyphosenbildung.

zu beobachten (Abb. 52), was als Versuch eines Ausgleichswachstums anzusehen ist. Im Gegensatz zu den seitlich entwickelten Halbwirbeln, die durch zunehmende Keilwirbelbildung eine Skoliose erzeugen, ergeben die dorsalen Halbwirbel Keilform mit nach vorn zu entwickelter Schneide, so daß sich eine mehr und mehr zunehmende Kyphose einstellt (Abb. 53). Das Knorpel bzw. Bandscheibengewebe, das bauchwärts des Keilwirbels liegt, kann dabei vollkommen zugrunde gehen, und die darüber und darunter liegenden Wirbelkörper berühren sich mit den Vorderkanten (Abb. 53). Infolge der Belastung stellt sich noch eine gewisse Rückwärtsverlagerung des Halbwirbels mit Einengung des Wirbelkanals ein.



Abb. 52. (Seltenes Röntgenbild der Wirbelsäule eines 45-jährigen Mannes.) Keilform des 5. Lendenwirbelkörpers, der etwa nach hinten erhoben ist und dessen ventrodorsale Achse nur halb so lang ist als die der angrenzenden Wirbelkörper (Rückenwärts liegender Halbwirbel.) Beträchtliche spitzwinklige Gibbenbildung. Knochenverdichtung und Zackenbildungen an den aufeinanderreibenden Vorderkanten der benachbarten Wirbelkörper.

Als Gegensatz zu dem rückenwärts liegenden Halbwirbel ist auch die Entstehung eines bauchwärts liegenden Halbwirbels möglich (Skizze IV D in Abb. 42) wenn — nach unserer Ansicht — das von rückenwärts eindringende Blutgefäß ausbleibt. Bisher gibt es aber nur einen einzigen derartigen anatomisch untersuchten Mißbildungsfall im Weltachriftum der im Drexler Institut zur Beobachtung kam (Abb. 53 und 54). Auf dem Längsschnitt durch die Wirbelkanäle (Abb. 53) ist deutlich Knorpelgewebe (Reste der Chorda dorsalis?) zu erkennen, was die rückenwärts liegenden Anteile des Wirbelkörpers an

mes ausfüllt und hufeisenförmig die beiden oben und unten angrenzenden Zwischenwirbelscheiben verbindet. Das Röntgenbild (Abb. 54) würde ohne Kenntnis des Präparates große Schwierigkeiten in der Deutung bereiten, es zeigt aber die seitlich knöchern mit dem bauchwärts liegenden Halbwirbel vereinigte Wirbelbogenwurzel (entsprechend der schematischen Skizze IV D der Abb. 42). Im Gegensatz zu dem rückenwärts liegenden Halbwirbel, der eine Kyphose zur Folge haben muß (Abbildung 52) konnte bei unserer Beobachtung des bauchwärts liegenden Halbwirbels regelrechte Wirbelkörperhöhe und damit das Fehlen einer Wirbelkörperverkrümmung festgestellt werden.

Eine beachtenswerte Ergänzung dieser Befunde hat Dietrich mit seiner Beschreibung der sog. teilweisen sagittalen Wirbelkörperapalpie gegeben. Er kommt zu dem Schluß, daß manche Fälle von nur bauchwärts entwickelten Wirbelkörperteilen in Wirklichkeit keine ventralen Halb-

wirbel sind. Nach seiner Ansicht handelt es sich dann um eine nur in der rückenwärtigen Hälfte des Wirbelkörpers bestehende breite Spalte. So erklärt er auch aus Röntgenbildern seiner eigenen Fälle heraus das in unseren Abb. 53 und 54 wiedergegebene Präparat und verweist auf weitere Schrifttumsberichte. Einen nur im nachwärts liegenden Teil eines Wirbelkörpers entwickelten Sagittalspalte beschreibt *Huize*.

3. Frontale Wirbelkörperfuge

Während in frühen Entwicklungsstufen eine deutlich abgrenzbare Scheidewand (Perichordaleptum) in die Pfeilnaht richtung durch den Wirbelkörper hindurchzieht (Skizze I, Abb. 42) ist in frontaler Richtung eine solche Scheidewand nicht sicher anatomisch nachgewiesen. Nur selten wurde früher im Schrifttum von Neugeborenen berichtet, bei denen neben völlig regelrecht ausgebildeten Wirbelkörpern eine Teilung in einen vorderen und einen hinteren Knochenkern aufwies (Skizze V in Abb. 49).

Loosen hat eine Reihe derartiger Röntgenbilder gesehen (Abb. 53) und *Meyer Burgdorff* veröffentlicht zusammen mit *Klose-Gerlich* gleichartige Beobachtungen an Neugeborenen. Nach ihren felngewählten Untersuchungen ist der Spalt mit Knorpelgewebe ausgefüllt, das Wachstumssechlen trägt. Nur in den mittleren Teilen konnten Reste von Chordagewebe nachgewiesen werden. *Kunstason* hat bei 3 Neugeborenen im Röntgenbild frontale Wirbelkörperfuge teils in der Brust und teils in der Lendenwirbelsäule gesehen und beobachtet das Verschwinden dieser frontalen Aufhellungstreifen nach 2–4 Monaten. — Bei solchen Beobachtungen handelt es sich wohl nur um ein etwas verzögertes Durchlaufen eines regelrechten Entwicklungsvorganges (Skizze V, Abb. 4.).

Abb. 53. Seitliche Röntgenaufnahme der Lendenwirbelsäule von Fetten verschiedener Länge (a = 20 b = 23, c = 30 d = 32 und e = 34 cm Kopfmaß Länge). Die Bilder zeigen frontale Wirbelkörperfuge in verschiedener Ausdehnung und in verschiedener Zahl in den Lendenwirbelkörpern (Untersuchungen selbst von *Loosen*).

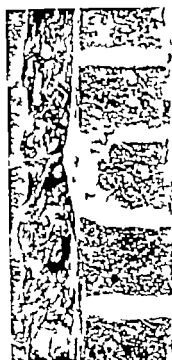


Abb. 53 und 54. (Lichtbild und Röntgenbild der linken Hälfte der in der Sagittalebene durchgezogenen Brustwirbelsäule einer 26-jährigen Frau.) Im hinteren Drittel des 10. Brustwirbels hängen die beiden benachbarten Zwischenwirbelscheiben hufeisenförmig miteinander zusammen.

Mehr weggedrehte und verdrehte U ntersuchungen darüber haben *Schäfer* und *Tschudy* vorgenommen. Sie zeigen in Präparaten und Röntgenbildern, daß je ein bauchwärts und ein rückenwärts angeregter Markraum mit den ersten Knochenbälkchen in Abhängigkeit von den Blutgefäßen auftreten. Da diese beiden Markräume sehr bald knöchern verschmelzen, wollen die Untersucher nicht von zwei, sondern nur von einer Knochenkanalanlage gesprochen haben. Nach unseren früheren Untersuchungen geht diese Verschmelzung aber eben nicht immer rasch vor sich, sondern sie kann verzögert sein, wie oben dargestellt ist, und wir halten deshalb weiterhin an unserer Auffassung von zwei Knochenkanalanlagen (bauchwärts und rückenwärts) fest, weil dadurch gewisse Fehlbildungsformen erklärt werden können, wie unsere schematischen Skizzen in Abb. 43 zeigen (siehe auch Fortschritt Röntgenstr. 66/70 (1943)).

F. H. Ratlike macht es mit seiner Veröffentlichung wahrscheinlich, daß auch beim Erwachsenen in seltenen Fällen frontale Wirbelkörperspalten in Zusammenhang mit einem bleibenden Perichordal zylinder vorkommen und daß so die Möglichkeit einer Aufteilung des Wirbelkörpers in 4 Quadranten gegeben ist.

Zu den gleichen Fragestellungen hat sich *Diehl* ebenfalls auf Grund von Röntgenbildern und entwicklungsgeschichtlichen Überlegungen geäußert. Er nimmt ebenso wie für die frontale Wirbelkörperfüge die Trennung in eine bauchwärts und eine rückenwärts liegende Hälfte schon im knorpeligen Wirbelkörperzustand an. Derartige bauchwärts oder rückenwärts entwickelte Halbwirbelkörper sind beim Segmentierungsvorgang selbständig und können daher Anschluß an den oben oder unten anschließenden Wirbelkörper bekommen, wie *Diehl* aus einem von *Harrousis* mitgeteilten Fall schließt. Die von *Diehl* auf Grund von Überlegungen angegebenen Möglichkeiten eines Vorkommens von diagonal liegenden Wirbelkörperteilen, die man dann jeweils als Viertelwirbelkörper bezeichnen müßte, bedürfen noch der Klärung durch entsprechende anatomische Befunde und insbesondere durch feingewebliche Untersuchungen.

9 Fehlbildungen der Chorda dorsalis und der Zwischenwirbelscheiben

Wirbelkörper und Zwischenwirbelscheiben haben in der Wirbelkörper Bandscheiben Reihe so enge Beziehungen zueinander, daß bei Fehlbildungen eines dieser Teile der andere Teil in Mitleidenschaft gezogen wird. Es ist oft schwer festzustellen, welcher der beiden Teile die ursprüngliche Veränderung zeigt und welcher sich diesen Veränderungen erst in zweiter Linie angepaßt hat. Besonders innig sind die Beziehungen zwischen Wirbelkörper und Bandscheibe noch durch die Chorda, die in der vorknorpeligen und knorpeligen Entwicklungsstufe beide in Kopf-Steiß-Richtung durchzieht und sich später im Wirbelkörper vollkommen zurückbildet, dafür aber in der intervertebralen Chorda anschwellung (Gallertkern der Zwischenwirbelscheibe) lebenslang oder wenigstens während des Wachstumalters in Resten bestehen bleibt (Schema in Abb. 43 auf S. 29).

Die Rückbildungsvorgänge der Chorda dorsalis können in allen Entwicklungsstufen Hemmungen erfahren, die nach endgültigem Abschluß der Wirbelsäulenentwicklung noch nachzuweisen sind. Es kann sich bei einem sonst in allen Teilen wohl ausgebildeten Wirbelkörper mitten durch den Knochen hindurch in einem zylindrischen Hohlraum ein strangförmiger Chordarest von einer Bandscheibe zur anderen ziehen (Abb. 56, 57), wie er in der vorknorpeligen Entwicklungsstufe verlief. Eine solche persistierende Chorda (bleibender Chordakanal) in Skizze II B der Abb. 42) ist bisher in nur wenigen Fällen beobachtet worden (*Maygroe-Schmorl*). Nach den Zwischenwirbelscheiben zu erweitert sich der zylindrische Hohlraum trichterartig, und der Wirbelkörper kann gewisse Wachstumstörungen zeigen. Bei der sagittalen Wirbelkörperspalte hatten wir einen gleichartigen zylindrischen Raum im Wirbelkörper festgestellt, der aber noch mit einer sagittalen Fuge des ganzen Wirbelkörpers vergesellschaftet war (Abb. 47/48).

Chordareste können sich im ausgebildeten Wirbelkörper an den verschiedensten Stellen finden. Sie liegen dann als kugelige, weißliche gallertartig schimmernde, weiche Massen in den Wirbelkörpern rings von Knochengewebe umschlossen. *Schmorl* hat sie bei mikroskopischen Untersuchungen häufig gefunden. Sie müssen als Reste der Chorda aufgefaßt werden, die bei der Weiterentwicklung liegengelassen sind, und dürfen nicht mit solchen Chorda- und Bandscheibenteilen verwechselt werden, die im späteren Leben auf Grund von krankhaften Vorgängen in die Wirbelkörper

oder unter das hintere Längsband eingepreßt worden sind. Über solche Verlagerungen von Bandscheibengewebe und Chordagewebe wird weiter unten noch gesprochen („Schmorle'sche Knötchen“ S. 154 und 166).

Im Zusammenhang mit den Rückbildungsvorgängen der Chorda dorsalis entsteht noch eine Fehlbildung der Zwischenwirbelscheiben, die recht häufig anzutreffen und von großer klinischer Bedeutung



Abb. 56 (links). (Leichtbild der Sagittalschnittfläche der Brustwirbelsäule eines 22-jährigen Mannes.) In der Mitte des 9. Brustwirbelkörpers hängen die beiden benachbarten Zwischenwirbelscheiben an der Stelle des früheren Chordakanal zusammen („persistierender Chordakanal“).

Abb. 57 (Mitte). (Röntgenaufnahme des in der vorhergehenden Abbildung dargestellten Präparates.) Keilform des Wirbels und die in den Wirbelkörper hineingebogenen Grund- und Deckplatten sind deutlich erkennbar.

Abb. 58 (rechts). (Leichtbild der linken Hälfte der in der Sagittalebene durchgesägten Brustwirbelsäule eines 38-jährigen Mannes.) Ausbuchtungen der Zwischenwirbelscheiben im Gallertkerngebiet (Flaschenform der Zwischenwirbelscheiben).

ist. Es sind dies die „Ausbuchtungen der Zwischenwirbelscheiben im Gallertkerngebiet“. Die Zwischenwirbelscheiben buchten sich ober und unterhalb des Gallertkernes napfförmig (trichterförmig) in die benachbarten Wirbelkörperendplatten ein. Das kann an einzelnen Zwischenwirbelscheiben vorkommen, wird aber meist an größeren Wirbelsäulenabschnitten und insbesondere in der unteren Brustwirbelsäule beobachtet (Abb. 58). Diese Ausbuchtungen entstehen dadurch, daß sich die früheren Durchtrittsstellen des Chordakanals in den Wirbelkörperendflächen nicht völlig eben geschlossen haben. In dem gleichen Gebiet liegt auch der Gallertkern mit Resten der Chorda. Die Lagebeziehungen zwischen den Einsenkungen und dem Gallertkern sind für pathologische Veränderungen außerordentlich wichtig und werden später ausführlich erwähnt (z. B. Adoleszentenkyphose Kap. VI A 2 Abb. 368—370). An den Stellen, an denen sich das Bandscheibengewebe in die Einsenkungen auf den Wirbelkörperoberflächen hineinlegt, ist die zwischen Bandscheibengewebe und Wirbelkörperoberfläche eingeschaltete Knorpelplatte verdünnt (Abb. 59), was sie für pathologische Veränderungen gewissermaßen vorbereitet. Wie weit hierfür latente Schäden in Frage kommen, die auf Hypoxämie in der Embryonalzeit (Buckner) zurückgehen, ist noch ungeklärt, bedarf aber weiterer Erforschung (Kap. I D II B 1 II B 0 IV D 1).

Die Ausbuchtungen der Zwischenwirbelscheiben (oder anders ausgedrückt die Einkinkungen der Wirbelkörpergrundplatten und -deckplatten) im Gallertkerngebiet sind röntgenologisch meist gut darstellbar (Abb. 60). Man trifft diese Art Wirbelsäulen nicht allzu selten an. Wir halten es sogar für



Abb. 59 (Sagittalschnitt durch eine Brustbandscheibe mit dem angrenzenden Wirbelkörperenden aus einer kindlichen Wirbelsäule.) Ausbuchtung der Zwischenwirbelscheibe im Gallertkerngebiet nach oben und nach unten. Die knorpelige Schlußplatte ist an diesen Stellen un- erhöht aber dünn (vgl. Abb. 58 ff.). Die noch knorpelige Wirbelkörperwandlinie springt sackenförmig in die vordere Wirbelkörperkass. hinein (vgl. Abb. 7).

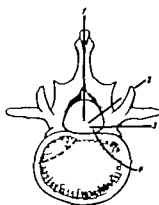


Abb. 60 (links) (Reithlebe Röntgenaufnahme der Wirbelsäule eines 15-jährigen Mädchens.) Die Zwischenwirbelscheiben zeigen nach oben und unten zu in der Gegend des Gallertkerns bogenförmige Ausbuchtungen in die Wirbelkörper hinein, entsprechend der Abbildung 58. An der Stelle dieser Ausbuchtungen durchweicht im embryonalen Leben der Chordakanal die Wirbelsäule

Abb. 61 (Schematische Darstellung eines Lendenwirbelkörpers. Ansicht von oben.) Darstellung der Wirbelbogenfugen 1 sagittale Dornfortsatzfuge 2 Fuge im Zwischenwirbelscheibengelenk (Spondylole Spondylolethema), 3 Fuge in der Wirbelbogenwurzel, 4 Grenze zwischen Wirbelbogenwurzel und Wirbelkörper (vgl. Abbildung 10).

außerordentlich wichtig auf diese Verhältnisse besonders bei Jugendlichen zu achten. Da wir wissen, daß gerade solche Wirbelsäulen zu einer Reihe von noch zu besprechenden krankhaften Veränderungen neigen (Knorpelknoten, Adoleszentenkyphose) sollten solche Menschen durch Aufklärung und Warnung vor übermäßigen Belastungen ihrer Wirbelsäule (übermäßiger Sport, schwere Berufsarbeit, Lastentragen, Motorradfahren usw.) bewahrt werden

C. Fehlbildungen der Wirbelbogenreihe

1. Allgemeines

So wie für die Fehlbildungen der Wirbelkörperreihe die Chorda dorsalis einen formbestimmenden Einfluß hat, wird die Wirbelbogenreihe in ihrer Entwicklung und auch in ihren Fehlbildungen wesentlich vom Neuralrohr bestimmt. *Recklinghausen, Klebs, Mathis, Feller und Sternberg u. v. a.* haben die Beziehungen zwischen Fehlbildungen des Neuralrohrs und des Wirbelbogens eingehend untersucht. Mit den Wirbelbogenaperturen können je nach Weite Ausdehnung und Sitz die verschiedensten Rückenmarksfahlbildungen zusammen vorkommen. Myelocoele, Meningocele, Myelomeningocele, Myelozystocele, Myelozystomeningocele usw. Einteilung sowie Entstehungsursachen und Schrifttum bringt ausführlich *F. A. Hass*.

Bei den Fehlbildungen der Wirbelbogen stehen die Spaltbildungen („Fugen“) in vorderster Linie (Abb. 61). Sie sind wesentlich häufiger als Wirbelkörperfugen. Ausgedehnte Spaltbildungen an den Wirbelbogen können nicht nur wegen der gleichzeitig vorkommenden Rückenmarksfahlbildung mit Verrenkungen, sondern auch wegen der durch die Spaltung bedingten statischen Wirbelsäulenbeschwerden und Wirbelsäulenverkrümmungen große klinische Bedeutung erlangen, während

die geringsten Formen der Wirbelbogenspalten (z. B. einzelne glattrandige schmale Dornfortsätze) lediglich als Nebenbefunde zu betrachten sind. Für die Darstellungen der Wirbelbogenspalten im Röntgenbild genügen die üblichen Aufnahmen in zwei Ebenen oft nicht, sondern besondere Schrägaufnahmen sind erforderlich. Die Differentialdiagnose zwischen angeborenen Fugen oder traumatisch erworbenen Spalten bzw. Ermüdungsbrüchen kann recht große Schwierigkeiten bereiten, auf die in den entsprechenden Abschnitten eingegangen wird.

2. Dornfortsatzfugen

Der Dornfortsatz, der bei der Geburt noch vollkommen knorpelig ist und durch Verschmelzung der beiden knorpeligen Wirbelbogenhälften entsteht, verknöchert im Laufe des 1. Lebensjahres dadurch, daß von beiden Seiten her aus den Wirbelbögen heraus die Knochenkerne in ihn hineinwachsen und durch ihre Vereinigung den knöchernen Dornfortsatz bilden. Beim Au bleiben dieser Vereinigung bleibt zwischen den beiden Wirbelbogenknochenkernen eine mit Knorpel ausgefüllte Fuge bestehen (Spina bifida posterior, Fuge I in Abb. 61). Dies kann in allen Wirbelstulenabschnitten, an einzelnen oder an mehreren übereinanderliegenden Dornfortsätzen vorkommen und ist recht häufig. Bevorzugt sind dabei die Übergangsstellen zwischen den verschiedenen Wirbelstulenabschnitten (Abb. 62).

Im Röntgenbild sind die Dornfortsatzspalten meist gut zu erkennen, wenn die Fuge genau in der Mitte liegt. Bisweilen ist eine Bogenhälfte etwa kümmerlicher ausgebildet, so daß sie die Mittellinie nicht erreicht, während die andere Seite nicht nur den eigentlichen von ihr zu bilden den Knochenanteil am Dornfortsatz ausfüllt, sondern, gleichsam über das Ziel hinauschießend, auch noch ein Stück der anderen Bogenhälfte mit verknöchert hat. Dann liegt die Spaltbildung etwas seitlich der Mittellinie und im Röntgenbild ist sie nicht immer gut sichtbar zu machen. Es kann aber wohl kaum entwicklungsgeschichtlich belegt werden, daß ein solcher etwas seitlich liegender Spalt als eine besondere Spaltbildung aufzufassen ist, wie Willis das tut. Bemerkt werden soll noch, daß die im Dornfortsatz nicht vereinigten Bogenhälften bisweilen etwas gegeneinander verschoben sind. Dadurch steht die Spitze der einen Dornfortsatzhälfte nicht neben, sondern über oder unter der anderen. Das Röntgenbild mit sagittalem Strahlengang läßt solche Verhältnisse gut erkennen (Abb. 63, 64 und Schemata bei Köhler). Die von Heeren beschriebenen „horizontalen Dornfortsatzspalten“ sind wahrscheinlich auch durch das Übereinanderstehen der beiden Spitzen einer linken und rechten Dornfortsatzhälfte zu erklären. Nach Hirtz soll dann infolge der Rechtshändigkeit meist der linke Bogenteil über dem rechten stehen. Die Häufigkeit der Dornfortsatzfugen ist in einzelnen Wirbelkantenabschnitten außerordentlich verschieden.

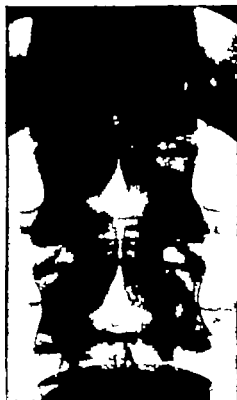


Abb. 62. (Röntgenaufnahme des Obergesamtes der Brustwirbelsäule zur Lendenwirbelsäule eines jugendlichen Mannes.) Fugen in der Pfeilspitzebene der Wirbelbögen des 11. und 12. Brustwirbels und des 1. Lendenwirbels.

Dornfortsatzspalten der H. l. u. bei Säuglingen sind mehrfach beschrieben (Acl y und Collins: *La Double Ombre*, W. Müller: *Arch. u.*). Besonders häufig kommen sie im Atlas vor, vereinzelt in den untersten Halswirbeln. Angel fand bei Reihenuntersuchungen an 3 v. H. aller Fälle Fugen im hinteren Atlasbogen. Von ihm stammt eine genaue Beschreibung dieser Fehlbildungen an Hand von 44 Fällen. Dubreuil-Chamboredi berichtet in der Monographie über den Atlas ebenfalls ausführlich darüber. Arkany, Dine, Faci, Fick, Frei, Hyrtl, Köhler, Reimer, Rosander u. a. haben einzelne Fälle beschrieben. Die große Häufigkeit der Fugen im hinteren Atlasbogen hängt wahrscheinlich auch damit zusammen, daß der Atlasbogen schon bei der regelrechten Entwicklung länger als die

anderen Wirbelbögen knorpelig bleibt. Erst im 4. oder 5. Lebensjahr ist im Allgemeinen seine endgültige Verknöcherung eingetreten. Auch im Epitropheus kommen Dornfortsatzfugen vor (*Gripel, Engelender Treichert*) soll hier nur erwähnt werden. Dessen Fehlbildungen liegen ganz andere entwicklungsgeschichtliche Vorgänge zugrunde, da der vordere Atlasbogen eine eigene sowohl von der Bildung der Wirbelkörper als auch der Wirbelbögen bestehende Entwicklung durchläuft.

In der Brustwirbelsäule kommen Dornfortsatzfugen nur selten vor. Sie sitzen meist am oberen oder unteren Ende der Brustwirbelsäule. Am 1. Brustwirbelkornfortsatz kommen sie von *W. Müller* und von *Schäppeler* und gleichzeitig am 3. und 4. Brustwirbel von *Torbin* und *Jellie* beobachtet werden. Etwas häufiger sind sie an der unteren Brustwirbelsäule (Abb. 63) und an der oberen Lendenwirbelsäule.

Am Übergang der Lendenwirbelsäule zum Kreuzbein und am Kreuzbein selbst sind Dornfortsatzfugen oder breite offene Bogen sehr häufig. Das klinische und röntgenologische Schrifttum der letzten Jahre enthält viele Arbeiten darüber, die sich besonders mit dem Zusammenhang zwischen solchen Befunden und Kreuzschmerzen auseinandersetzen.

Die untersten Lendenwirbelsäulen sind und besonders das Kreuzbein selbst am häufigsten mit solchen Fugen versehen. Die Fugen schließen sich erst vollkommen nach dem Ablauf des 4.—5. Lebensjahres. *Hinze* fand hier Bogenfugen in der frühesten Jugendzeit bei 100 im 5. Lebensjahr bei 81 im 18. Lebensjahr bei 44 und im 50. Lebensjahr bei 10 v. H. aller Menschen. Nach dem 24. Lebensjahre errechnet *Myer* 24 *Gräuber* 16 und *Heise* 23 v. H. Fugen in den Dornfortsätzen am Lenden-Kreuzbein Übergang. *Neubert* gibt für Männer 23 und für Frauen 14 v. H. an. *Löbl* zählte 24 v. H. Fugen im Kreuzbein. Nach der Ansicht



Abb. 63 (links). Lichtbild der markierten Lendenkreuzbeinengegend eines 64-jährigen Mannes. Ansicht von hinten. Spalt im Dornfortsatz des 1. Kreuzbeinwirbels. Die beiden Wirbelbogenhälften sind leicht übereinander verschoben.



Abb. 64 (rechts). Röntgenaufnahme der Lendenkreuzbeinengegend eines 80-jährigen Mannes. Sagittaler Strahlengang. Spina bifida des 5. Lendenwirbelkornfortsatzes mit geringer Verschiebung der beiden Enden übereinander.

von *Wälzle* ist der Dornfortsatz des 1. Kreuzbeinwirbels so oft geseht, daß man dies fast als die Regel annehmen kann. Eine Fuge im Dorn des 5. Lendenwirbels beobachtet er jedoch nur in 1,3 v. H. seiner Fälle (*Löbl* 1,3 *Brennfjord* 6 v. H.) Ein vollkommen offener Hinters neuraler wurde von *Löbl* 3 mal bei 200 Kreuzbeinen, von *H. Myer* in 4, von *Beck* in 3, von *Adelph* in 3 v. H. ihrer Fälle und von *Ryves* 9 mal bei 118 Wirbelsäulen gefunden.

Die Fugenbildungen in den Wirbelbögen der Lenden-Kreuzbein Gegend sind recht häufig und geben meist ohne jede Nervenschädigung oder Fehlbildung des Nervensystems her. *Hinze* hat aus diesem Grunde vorgeschlagen, die üblichen Bezeichnungen Spina bifida oder Spina bifida occulta nicht mehr anzuwenden. Er wählte für diese Formen von offenen Wirbelbögen am Lenden Kreuzbein Übergang den Namen „Fontanelle lumbosacrales“.

Die eigentliche Spina bifida und Spina bifida occulta beider Nervenschädigungen mit einer Wirbelbogenaplasie engverwandelt sind, sollen uns hier nicht weiter beschäftigen. Besondere Behauptungen über den Kreuzbein, Pigmentflecke, narbige Veränderungen oder gar deutlich fühlbare und sichtbare Tumoren können auf eine gleichzeitige Beteiligung des Nervensystems bei vorhandener Wirbelbogenaplasie hindeuten, wie bereits von *Recl. Impheusen* 1858 ausführlich schildert. Esurais, Klumpfüße, tropische neurotische Störungen, Atrophien usw. sind klinische Zeichen, die unter Umständen auf eine Spina bifida mit Wirbelbogenaplasie aufmerksam machen. Erwähnt muß noch werden, daß auch die typischen klinischen und neurologischen Zeichen einer Spina bifida occulta vorhanden sein können, ohne daß Knochenveränderungen (insbesondere Dornfortsatzfugen) nachweisbar sind. Das Röntgenbild allein ist also nicht ausschlaggebend. Neues klinisches Schrifttum bei *Ask. Curtius, Ester de F. yey Jiruel, Kruze Lygret* und *Cohen Bela Lehmann, Lacroix Merts, Obatacker Schindler* und *Hallenbrand* u. a.

Bisweilen findet man vollkommen abgeschlossene Zysten im Kreuzbein (Abb. 65 und 66) die sich zum Teil nach vorn in die Kreuzbeinwirbel zum Teil auch nach hinten zu in die Bogenanteile aus breiten und als *Spina bifida incompleta* bezeichnet werden. Klein hat am Sektionsmaterial des Schweizerischen Instituts 48 derartige Fälle untersucht. Nur selten stehen solche Zysten mit dem Dura-ack in Verbindung, meist sind sie vollkommen in sich abgeschlossene mit Dura ausgekleidete und mit Liquor gefüllte Hohlräume (Schrifttum bei *Kleiner, Barnow* und *Winkler*) durch die bisweilen Nerven hindurchziehen.

3. Seitliche Wirbelbogenfugen (Spondylolyse, Spondylolisthese)

Ebenso wie die Dornfortsatzfugen Hauptbedeutung an dem Lendenkreuzbein Übergang haben, kommen auch die seitlich in der

Mitte der Wirbelbogenhälften sitzenden Fugen (Fuge 2 in Abb. 61) meist in der untersten Lendenwirbelsäule vor. Diese Fuge (Spondylolysis interarticularis) kann jederseits zwischen oberem und unterem Gelenkfortsatz im Zwischenstück (Partio interarticularis) auftreten (Abb. 67). Da durch wird jede Bogenhälfte in einen vorderen oberen Anteil (der aus Bogenwurzel, oberem Gelenkfortsatz und Querfortsatz besteht) und einen hinteren unteren Anteil getrennt (der sich aus dem unteren Gelenkfortsatz und dem hinteren Bogenstück mit dem Dornfortsatz zusammensetzt). Da die Spondylolyse die Ursache für das echte Wirbelgleiten (Spondylolisthese) ist, kommt dieser Fehlbildung eine große Bedeutung zu,



Abb. 63 (links): Lichtbild der Sagittalschnittfläche der Lendenkreuzbeinregion eines 68-jährigen Mannes. Ovale Zyste in Höhe des 1. Kreuzbeinwirbels, die sich in den Wirbelkörper und nach der Hinterwand des Wirbelkanals ausdehnt.

Abb. 64 (rechts): Seitliche Röntgenaufnahme einer Hälfte des in der Sagittalebene durchgesagten Kreuzbeins einer 76-jährigen Frau. Zyste im Bereich des 2. und 3. Kreuzbeinwirbels, die sich nach vorn in den Wirbelkörper hineinwölbt und nach hinten in die Hinterwand des Spinalkanals vorbockt.

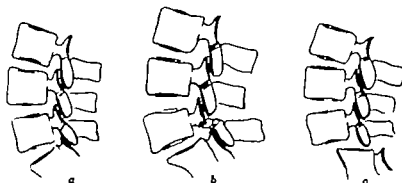


Abb. 67 (Halbbrennstriche Pansen seitlicher Röntgenbilder der Lendenkreuzbeinregion.) a) Normale Lendenkreuzbeinregion. Gleiche Größe des gestrichelten Zwischenstückes an allen Wirbeln. b) Echte Spondylolisthese des 5. Lendenwirbels. Spalt im Zwischenstück ist horizontal gestreckt und verlängert ist. Luxation des 5. Lendenwirbels. Der untere Gelenkfortsatz sitzt der Basis des Kreuzbeins auf. Keine Veränderungen in den Zwischenstückchen.



Abb. 69



Abb. 70.

Abb. 69. (Seitliche Röntgenaufnahme einer Hälfte der in der Sagittalebene durchstrahlten Lendenwirbelsäule eines 22-jährigen Mannes.) Spaltbildung im Zwischenwirbelsack des 3. Lendenwirbels (Spondylolyse). Eine Verschiebung des Wirbelkörpers (Spondylolisthese) ist noch nicht eingetreten.

Abb. 69 (Seitliche Röntgenaufnahme der Lenden Kreuzbeinregion eines 22-jährigen Mannes.) Spaltbildung in den beiden Zwischenwirbelsack des 3. Lendenwirbelbogens mit geringer Verschiebung der zueinandergehörenden Knochentafeln (Spondylolyse).

Abb. 70 (Seitliche Röntgenaufnahme einer Hälfte der in der Sagittalebene durchstrahlten Lendenwirbelsäule eines 60-jährigen Mannes.) Gering klaffende Spaltbildung im Zwischenwirbelsack des 3. Lendenwirbelbogens (Spondylolyse). Spondylolisthese ist nur angedeutet. Bandscheibenraum unter dem Glutwirbel niedrig. Bandscheiben an den zugehörigen Wirbelkörperstrahlen vorn und hinten.



Abb. 69

von gleichzeitigem Vorkommen von Fugen in den Zwischengelenkstrücken und im Dornfortsatz des gleichen Wirbels (*Cherry Diesel Michaelis Panakost Röcker und Roudil, Willis*). Wir haben dies in eigenem Untersuchungsgut ebenfalls mehrfach gesehen. Die Tatsache, daß *Willis* die Spondylolyse 2 mal so häufig bei Wirbelsäulen mit 25 als bei solchen mit 24 präsakralen Wirbeln sah, spricht auch für eine entwicklungsgeschichtlich bedingte Fehlbildung. Außerdem beobachtete *Willis* an der gleichen Stelle an der im Zwischengelenkstrück die Spondylolysefuge sitzt, häufig Gefäßdurchtrittsstellen.

Über die Häufigkeit der Spondylolyse enthält das Schrifttum wechselnde Angaben. *Vaupelbauer* hatte angenommen, daß etwa 5 v. H. aller Skelett „Spalten“ im Zwischengelenkstrück haben. Diese Zahl wird lange

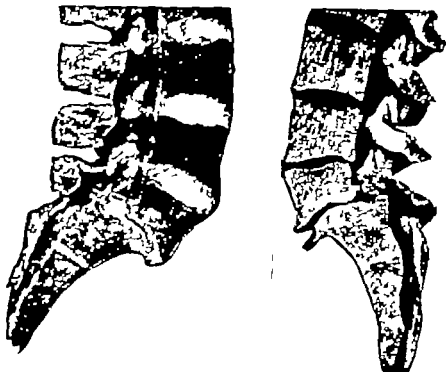


Abb. 71 (links). (Lichtbild der Sagittalschnittfläche der Lendenkreuzbelagegend einer 39-jährigen Frau.) Geringe Spondylolisthese des 5. Lendenwirbelkörpers, der 1,3 cm nach vorn gerückt ist. Sehr niedrige et wa 8-förmig gekrümmte 5. Lendenbandscheibe. Verdichtung der Spongiosa in der Umgebung.

Abb. 72 (rechts). (Lichtbild der Sagittalschnittfläche der markierten Lendenkreuzbelagegend einer 39-jährigen Frau. Rechte Hälfte derselben Wirbelsäule wie Abbildung vorher.) Vergleich des 5. Lendenwirbelkörpers. 8-förmiger sehr niedriger 5. Lendenbandscheibenraum mit Verdichtung der angrenzenden Spongiosa. An der Basis des Sakrum vorn ein kleiner Randwulst. Im Zwischenwirbelstrück des 5. Lendenwirbelkörpers ein schräg von hinten-oben nach vorn-unten verlaufender Spalt.

Zert für zu hoch gehalten. Die neuesten Angaben im Schrifttum nähern sich — bei durchaus dieser Zahl. *Willis* gibt 5–10 v. H. an, und zwar errechnete er bei weißen Männern 6,6 bei weißen Frauen 3,7 bei farbigen Männern 3,3 und bei farbigen Frauen 1,03 v. H. Fugen im Zwischengelenkstrück. Besonders große Rassenverschiedenheiten sieht *Stewart* selbst. Er fand bei weißen Amerikanern in 6,4, bei amerikanischen Negeren in 2,8 bei Bantu in 0,9 und bei Alaska Eskimo in 27,4 v. H. eine Spondylolyse. *Roderer* und *Oberweis* geben demgegenüber nur 2 v. H. Teilungen am Zwischengelenkstrück an. *Campbell* beobachtete bei 200 Wirbelsäulen 5 v. H. doppelseitige Spondylolyse. Die überwiegende Mehrzahl der Zwischengelenkstrückfugen — zwei Drittel oder mehr — kommt im 5. Lendenwirbel vor. Dann folgt der 4. Lendenwirbel mit 15–30 v. H. (*Abraham, Brockhardt, Le Double, Janssens, Lenz, Mellett, Meyer Burgdorf, Meyding, Michaelis, Vaupebauer, Traub, Willis*). Die Beobachtungen an anderen Wirbelbögen, die früher als ganz große Seitenheiten angegeben wurden, sind in der letzten Zeit jedoch auch häufig mitgeteilt. Am 3. Lendenwirbel von *Abraham, Ormsby, Janssens, Meyding, Michaelis, Vaupebauer, Stewart, Willis* am 2. Lendenwirbel von *Brischauer* am 1. Lendenwirbel von *Brock Willis*, 6 mal am 6. Lendenwirbel von *Willis* am 1. Kreuzwirbel von *Sandfort, Keller* und am Hals- und Brustwirbel von *Vaupebauer, Kew, Schiller* u. a. (*Loeb*) bildet den 4. Halswirbel eines Gorilla mit doppelseitiger Spondylolyse ab). Einige Male wurde auch das gleichzeitige Vorkommen an den Bögen von mehreren Wirbeln berichtet. Gleichzeitiges Vorkommen am 4. und 5. Lendenwirbel

beobachteten: *Henrich Campbell, Graham Harbitt, Jungkannus Willis u. Fleischer* fand 1mal gleichzeitig den 2. und 3. Lendenwirbel beteiligt und *Kierulff* teilt mit, daß in seinem Material 90mal je 2 Wirbel und einmal Male sogar 3 Wirbel an einer Wirbelsäule Spondylarthrose zeigten. In den meisten Fällen sind die Fugen doppelseitig entwickelt. Rechter findet sich einseitige Zwischenstückbildungen, die dann meist recht liegen (*Willis*). Dabei kann es zu Drehungen der Wirbelkörper und zu Skoliosen kommen (*Olivier*).

Die frühere Ansicht, daß die Frauen häufiger Träger von Spondylarthrosen seien als die Männer ist durch neuere Arbeiten überholt. Klinische Statistiken weisen wesentlich mehr Männer als Frauen auf (*Willis, Abraham u. a.*) während in pathologisch-anatomischen Statistiken (Übersicht 1) beide Geschlechter ungefähr gleich beteiligt sind. Diese statistischen Verschiedenheiten sind durchaus erklärlich, weil früher nur die Geburtshelfer Interesse an dieser geburtsverengenden Fehlbildung (*Ditttrich und Tappert*) hatten, während jetzt durch die mehr und mehr in den Vordergrund rückenden Begutachtungsfälle bei Krebsschmerzen und Unfallverletzungen Chirurgen, Orthopäden und Röntgenologen häufiger damit zu tun haben.

Die Darstellung der Zwischenstückfuge ist im makroskopischen Präparat leicht im Röntgenbild aber nur durch besondere Schnitzaufnahmen sicher möglich. Auf das Vorhandensein einer Spondylarthrose lenkt die genaue Betrachtung eines Seitenbildes der Wirbelsäule hin, weil hier das Abgleiten des Wirbels nach vorn zu sichtbar wird. In hochgradigen Fällen kann der im Zwischenstück bereits gelöste Körper mit der ganzen darüberliegenden Wirbelsäule bis in das Becken hinein abgleiten. Im allgemeinen ist aber nur ein geringes Vorgehen festzustellen, dessen Stärke man am genauesten an den hinteren Wirbelkörperkanten mißt, da vorn durch Randwülste eine genaue Messung meist verhindert wird (*Jungkannus*). Die Zwischenstückfuge, die unerblickliche Voraussetzung für das Abgleiten ist, sitzt immer an typischer Stelle in jeder Bo-



Abb. 73. (Lichtbild der Sagittalschnittfläche des makroskopischen Lendenkreuzbeinsegmentes eines 60-jährigen Mannes.) Geringe Spondylarthrose des 3. Lendenwirbels mit Vorgehen des Wirbelkörpers um 0,3 cm. Deutlicher Spalt im Zwischenstück mit kleinen Randwülsten an der Vorderfläche der Wirbelkörper, geringer kommissuraler Vorbau an der Basis des Kreuzbeins vorn.

Übersicht 1
Die Anzahl der Fälle von Spondylarthrose und Pseudospondylarthrose am Dreieck des Instituts für Anatomie und Pathologie

Diagnose	Geschlecht	Lendenwirbel			Gesamt
		1	2	3	
Echte Spondylarthrose	Männer	14	6	1	1
	Frauen	14	9	—	23
	zusammen	30	15	1	46
Pseudospondylarthrose	Männer	—	2	1	3
	Frauen	2	7	2	11
	zusammen	2	9	3	14
Summe		33	24	4	60

genhülle kurz hinter der unteren Begrenzung der Gelenkfläche des oberen Gelenkfortsatzes, so daß jedesmal das Zwischenstück durch die in einen kleinen oberen und etwas größeren unteren Teil zerlegt wird (Abb. 68–79). Eine feingewebliche Untersuchung der Zwischenstückfuge einer

spondyliolästhetischen Wirbels deckt deckliegende Bandstränge auf, die sich zwischen den beiden Knochenenden befinden und mit Skarpysechen Fasern tief in die Knochen einstrahlen. Es ist hier also tatsächlich eine „Fuge“ entwickelt, die nur im Röntgenbild „spaltartig“ aussieht. (Um den wirklichen Verhältnissen gerecht zu werden, und um ein besseres Verständnis für die entwicklungsgeschichtlichen und krankhaften Vorgänge zu erreichen, sollte hier ebenso wenig von einem „Zwischengelenkstütskspalt“ gesprochen werden,



Abb. 4 (Rechtsbe Röntgenaufnahme einer Hälfte der in der Kapitalebene durchgezogenen Lendenkreuzbeinverbindung eines 64-jährigen Mannes.) Spondyliolästhetose des 3. Lendenwirbels mit geringer Höhenabnahme und S-förmiger Biegung der 3. Lendenbandscheibe. Das Zwischengelenkstück des 3. Lendenwirbelkörpers (Pfeil) ist auffallend kollier, erdrückt, mit unregelmäßiger Spongiosaschwamm. Anteborn überbrückte Fuge

den, wie der Zwischenwirbelraum als „Zwischenwirbelspalt“ bezeichnet werden darf. Beide im Röntgenbild leer und spaltartig aussehenden Räume sind von hochdifferenziertem Gewebe ausgefüllt und mit einem „Gelenkspalt“ nicht zu vergleichen.) Durch die Belastungen des Lebens können im Gewebe der Zwischengelenkstütskfüge Einrisse und Blutungen auftreten. Verkalkungen und Knocheneinklagerungen und schließlich auch völlige Zermürbungen sind im feingewebigen Bilde nachweisbar. Bisher wurde jedoch nur eine verhältnismäßig geringe Anzahl von Spondyliolästhetosen mikroskopisch untersucht (*Hermes*, *Lock*, *Junghans*, *Meyer*, *Burgdorf*, *Schmoll*, *Willis*).

Die Breite der Zwischengelenkstütskfuge ist sehr verschieden. Im allgemeinen entspricht sie der Größe der Wirbelverchiebung. Oft aber findet man trotz großer Verchiebung des Wirbelkörpers die Fuge ganz eng, und der hintere Anteil des Zwischengelenkstütskes ist der Größe der Wirbelverchiebung entsprechend knöchern verlängert und meist auch etwas horizontal gestellt (Abb. 73, 76). Bei älteren Menschen, bei denen Zerreißen und allmähliche Zermürbungen des Fugengewebes zu stärkerer Beweglichkeit an der Fugenstelle geführt haben, sind Randzacken und auch größere Randwülste die zum Teil den „Spalt“ überbrücken, nicht selten (Abb. 73). Eine vollkommene sekundäre Verknöcherung

des Fugengewebes ist ebenfalls zu beobachten (Abb. 74). Durch einen solchen Vorgang wird jedes weitere Abgleiten verhindert. Wenn das Gewebe der Spondyliolästhetose durch die Belastungen völlig zermürbt und aufgebraucht ist, kann im Zwischengelenkstütsk ein so starkes Abweichen der beiden Knochenenden auftreten, daß diese sich nicht mehr gegenüberstehen (Abb. 79).

Die weiteren Veränderungen, die sich beim Vorgleiten von dem im Zwischengelenkstütsk gelösten Wirbelkörper an der Wirbelsäule einstellen, bilden sich erst in zweiter Linie und sollen hier nur der Vollständigkeit halber kurz gestreift werden. In ihren Auswirkungen verändern sie die Form des „Bewegungssegmentes“ (S. 24) erheblich. Infolge der angeborenen Fugen im Zwischengelenkstütsk entsteht eine Stelle geringerer Widerstandsfähigkeit gegen die täglichen Belastungen, und es können kleine Bewegungen und Zerrungen im Fugenbereich stattfinden, durch die wiederum an der

unter dem betreffenden Wirbel liegenden Zwischenwirbelscheibe Zerrungen hervorgerufen werden. Zunächst sind kleine Einrisse in das Zwischenwirbelscheibengewebe, später aber größere Degenerationserscheinungen und Zerreißungen die Folge. Die zerstörte Bandscheibe kann nun selbst den physiologischen Bewegungen nicht mehr so viel Widerstand entgegensetzen wie früher, als sie voll kommen elastisch war. Das wirkt wieder auf die Fasernzüge der Zwischengelenkstüelkinge zurück.

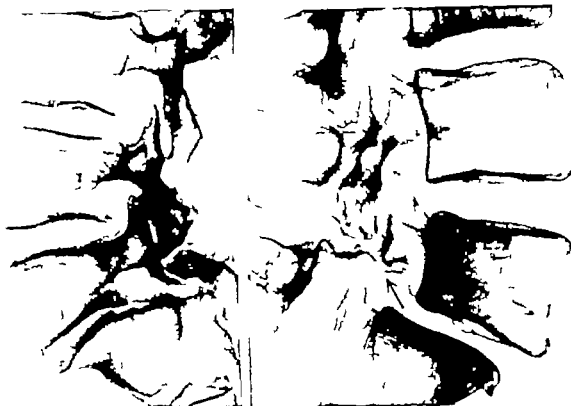


Abb. 73 (links). (Sittliche Röntgenaufnahme einer Hälfte der in der Sagittalebene durchgezogenen Lendenkreuzbein gegen eines 81-jährigen Mannes.) Spondylolisthese des 5. Lendenwirbelkörpers. Das 5. Lendenbandscheibe sehr niedrig, konsolartiger Vorbau des Sakrum. Deutlicher Spalt im Zwischengelenkstück mit großem, nach hinten unten abhebendem Randwulst. Osteoporose.

Abb. 6 (rechts). (Sittliche Röntgenaufnahme einer Hälfte der in der Sagittalebene durchgezogenen Lendenkreuzbein gegen eines 67-jährigen Mannes.) Geringe Spondylolisthese des 5. Lendenwirbel mit Vorgleiten des Wirbelkörpers um 0,8 cm. Schmale Fuge im Zwischengelenkstück knapp unterhalb seines Abganges vom oberen Gelenkfortsatz (Pfeil?). Der hintere Anteil des Zwischengelenkstückes etwas horizontal gestellt und verlängert. Die 5. Lendenbandscheibe zeigt geringe Höhenabnahme. Kleine Randracks an der Kreuzbeinbasis vorn.

und durch dieses Wechselspiel führt jede Bewegung und besonders jede stärkere Beanspruchung ein weiteres Vorrücken des losgelockerten Wirbelkörpers herbei. Wenn die Bandscheibe stark zerstört und dadurch ihre Höhe vermindert ist, so daß sie ihre elastische Pufferwirkung verloren hat, dann bildet sich in der angrenzenden Wirbelspongiosa eine Sklerosierung aus (Abb. 71, 72, 77). Eine weitere Erscheinung, die man bei etwas stärkerer Spondylolisthese des 5. Lendenwirbelkörpers fast nie vermißt, ist der konsolartige Vorbau des Sakrums. Unsere Abb. 71, 73, 75, 76, 77 lassen ihn, verbunden mit überbrückenden Randwülsten, recht deutlich erkennen. Die Basis des Sakrum ist in diesen Fällen vorn um ein beträchtliches Stück vorgebaut. Man kann dies gleichsam als eine Selbstheilung, als eine abfangende Unterstützung des vorgleitenden Wirbelkörpers auffassen. Schließlich können noch Verkürzungen der zerstörten Zwischenwirbelscheibe eintreten (Schwarz). Untersuchungen über die Beziehungen zwischen Bandscheibenveränderungen und Spondylolisthese haben Meyer Burdorff und Sandmann vorgenommen. Nebenbei sei bemerkt, daß starkes Wirbelgleiten



Abb. 77



Abb. 78.

auch neurologische Erscheinungen durch Druck und Zug an den austretenden Nerven hervorrufen kann (Sillens-Smith)

Das Trauma kann, wie bei allen Fehlbildungen, auch beim Vorliegen einer angeborenen Spondylolyse oder Spondylolisthese zu einer Verschlimmerung führen. Die Abgrenzung zwischen Unfallverschlimmerung und schicksalsmäßigem Ablauf des angeborenen Vorkrankes ist immer schwierig (Das Wirbelgleiten durch Trauma und durch nicht angeborene Veränderungen im Zwischengelenkstück und die „Pseudospondylolisthese“ werden in einem besonderen Abschnitt — Kap VIII B und C — besprochen.)

Die Behandlung der Spondylolisthese wird im allgemeinen eine konservative sein. Es gelangen je doch verschiedene Operationsverfahren mit Versteifung der Lendenkreuzbeugegend zur Durchführung wobei zum Teil die Versteifung im Bogenbereich, zum Teil auch von vorn her an oder in den Wirbelkörpern bzw. Zwischenwirbelscheiben angelegt wird *Adkins Basmann, Bonworth Burns Colonna Dandy Danekke Erlicker Fennellow Gill mit Manning und White*

Abb. 77 (oben) (Röntgenaufnahme einer Hälfte der in der Sagittalebene durchstrahlten Lendenkreuzbeugegend einer 40-jährigen Frau.) Echte Spondylolisthese des 5. Lendenwirbels mit deutlicher Fuge im Zwischen-gelenkstück und geringem Vorgleiten des 5. Lendenwirbelkörpers. Der 5. Lendenbogenscheitel sehr niedrig, die angrenzende Spongiosa stark verdichtet. Knochentypischer Vorbau an der Basis des Kreuzbeins.

Abb. 78 (unten) (Röntgenaufnahme einer Hälfte der in der Sagittalebene durchstrahlten Lendenkreuzbeugegend einer 56-jährigen Frau.) Spondylolisthese des 2. Lendenwirbelkörpers mit geringer Höhenabsenkung der darunter liegenden Zwischenwirbelscheibe. Breitklaffende Fuge im zugehörigen Zwischen-gelenkstück. In der Fuge liegen einige kleine spongiöse Knochenstücke. Kleine Randtrichter an der Basis des Kreuzbeins vorn.

Hamberg und Schlüter Henschen Ingrbjørn Junge und Kühl M. Lange Neff Ponconi Ramer Rathele Salmon und Comlades Schüller Taillard Wynn Yoshimine u. v. a. Wenn bei stärkerem Wirbelvorgeiten die klinischen Hauptsymptome in Wurzeldruckschmerzen bestehen, dann ist die Operation von rückwärts her zu empfehlen, um neben einer Spanversteifung auch noch die Nervenwurzeln vom Druck zu befreien.

4. Fugenbildungen in der Wirbelbogenwurzel

Von Hammerbeck werden 2 Wirbel-Ankn mit senkrecht durch die Bogenwurzeln verlaufenden Fugen beschrieben. An der einen Wirbelsäule befinden sich „Spalten“ an beiden Wirbelbogenwurzeln des 4. Lendenwirbels und an der anderen eine rechtseitige Bogenwurzelfuge am 3. Lendenwirbel, die mit einer echten Spondylolyse des linken Zwischenwirbels des gleichen Wirbels und einer doppelseitigen Spondylolyse mit Spondylolisthese des 4. Lendenwirbelbogens vergesellschaftet ist. Durch die doppelseitige Wirbelbogenfuge des ersten Falles war es zu einer Verlängerung der Wirbelbogenwurzel und zu einem geringen Vorschleiben des Wirbelkörpers, nicht aber zu einer echten Spondylolisthese gekommen. Der Wirbelkörper war — im Gegensatz zur Spondylolisthese — gegen beide benachbarten Wirbelkörper vorgeschoben. Bei der feingewebigen Untersuchung deckte Hammerbeck in den „Spalten“ der Wirbelbogenwurzel eine deutliche Syndesmose auf. Als Entstehungsursache für diese faserknorpelige Brückenbildung kommt entweder eine doppelte Knochenkernanlage oder eine Knochenkernspaltung während der Embryonalentwicklung in Frage. Die Entstehung der „Spalten“ im Sinne einer Umbauzone wird von Hammerbeck abgelehnt.



Abb. 79 (Methliche Röntgenaufnahme einer Hälfte der in der Sagittalebene durchgezogenen Lendenkreuzbeugegend eines 44-jährigen Mannes.) Echte Spondylolisthese des 4. Lendenwirbels mit Vorgehen des 4. Lendenwirbelkörpers um 1,0 cm. Die durch die Klammern bezeichneten Knochenflächen müssen zueinandergebracht werden, wenn normale Verhältnisse wiederhergestellt werden sollen. Beträchtliche Höhenabnahme der 4. Lendenbanchelle mit Sklerose der angrenzenden Wirbelkörperpongiosa.

Letztes beschreibt eine Röntgenaufnahme vom Lebenden mit Spaltung in der Bogenwurzel des 4. Lendenwirbels. Seine Erklärung: es handle sich um ein Bestehenbleiben der sog. Wirbelbogenepiphyse (Zwischenknorpel 9. 2 und folgender Abschnitt), scheint uns nicht stichhaltig. Weitere Beobachtungen müssen Klarung bringen.

5. Fugenbildungen zwischen Wirbelbogen und Wirbelkörper

Der an der Vereinigungsstelle vom Wirbelkörper und Wirbelbogen liegende Zwischenknorpel (Abb. 5) verschwindet erst im 3.—4. Lebensjahre, so daß erst dann eine vollkommene knochen Verknüpfung zwischen Wirbelbogenwurzel und Wirbelkörper eintritt. Die Bogenwurzel bildet einen beträchtlichen Teil des endgültigen Wirbelkörpers (Abb. 10. 61). Es liegt auf der Hand, auch an dieser Stelle bestehenbleibende Fugen auf dem Boden einer Hemmungsbildung zu erwarten. Willis gibt in einem Schema auch Spaltbildungen an dieser Stelle an. In seinem Material scheint er sie aber nie gefunden zu haben. Auch in der umfangreichen Wirbelhäutensammlung des Schwabischen Institutes konnten wir niemals Fugen an dieser Stelle bei Erwachsenen an makroserierten Wirbelsäulen fest stellen.

Meyer Burgdorff und Klose-Gertlich berichten über 2 Wirbelsäulen von Neugeborenen, bei denen je an einem Wirbel eine einseitige Spaltbildung zwischen Wirbelkörper und Bogen besteht. Rathke fand bei allgemeiner Störung der Knorpelverknöcherung auch offene Knorpelfugen zwischen Wirbelkörper und Wirbelbogen. Derartige Spalten scheinen also eine große Seltenheit zu sein. Häufig beobachtet man allerdings das Vorhandensein von kleinen Knorpelresten des Zwischenknorpels an ihrer ursprünglichen Stelle. Meist haben sie dann mit der Knorpelplatte der anliegenden Zwischenwirbelscheiben Verbindung und gehen von ihr als kleine Knorpelzapfen in den Wirbelkörper hinein. Bisweilen liegen aber auch Zwischenknorpelreste vollkommen von Knochengewebe umgeben im Wirbelkörper.

6. Teilweises oder vollkommenes Fehlen des Wirbelbogens

Ebenso wie nach Abschluß der Wirbelsäulenvorknöcherung ganze oder halbe Wirbelkörper fehlen können, ist dies auch am Wirbelbogen beschrieben (Düsses Gespel, W. Müller F. W. Rathke, Walter). Es kann auch eine Bogenhälfte sehr verkümmert angelegt sein (Gespel). Die mitgeteilten Befunde darüber sind gering. Deshalb läßt sich auch noch nicht mit Sicherheit aussagen, ob es sich bei solchen Fehlbildungen lediglich um das Ausbleiben der Verknöcherung eines knorpelig gut ausgebildeten Wirbelbogens bzw. einer Wirbelbogenhälfte handelt, oder ob schon bei der Knorpelanlage Fehlbildungen bestanden. Die Klärung dieser Fragen ist nur durch ausgedehnte mikroskopische Untersuchungen zahlreicher Fälle zu erwarten. Wirbelbögen oder Wirbelbogenteile können im Zusammenhang mit fehlenden Wirbelkörperhälften fehlen (Schema von Patti).

Die Klärung im Röntgenbild ist bei den Wirbelbogenfehlbildungen besonders schwierig, da die vielen Überschneidungen oft eine schlechte Übersicht zulassen. Aufnahmen in mehreren Strahlendirectionen sind unerlässlich. Auch Schichtaufnahmen können die Klärung bisweilen fördern.

7. Angeborene Verschmelzungen von Wirbelbögen

Bei der Besprechung von Blockwirbelbildungen wurde schon angedeutet, daß dabei gleichzeitig Verschmelzungen der Wirbelbögen mit vorkommen (Abb. 45). Es fehlt noch die Klärung, ob die Verschmelzung im Bereiche der Wirbelkörperreihe oder die Verschmelzung in der Wirbelbogenreihe in erster Linie vor sich geht und jeweils die Verschmelzung der anderen Reihe erst in zweiter Linie mit sich bringt. Das Klippel-Feil-Symptomenbild, das mit ausgedehnten Verschmelzungen im Bereiche der Wirbelbögen einhergeht, wird in einem späteren Abschnitt behandelt (S. 69). Bei der bemerktameren Segmentverschlebung treten auch stets verschiedenartige Verschmelzungen der Wirbelbögen auf. Die Wirbelbögen oder einzelne Wirbelbogenhälften können auf der einen Seite Anschluß an die verschobenen und auf der anderen Seite Anschluß an die nichtverschobenen Wirbelkörperhälften bekommen, sie können aber auch mit verschoben werden. Wie weit die Wirbelbogenhälften bei diesen Segmentverschlebung selbständig sind, ist durch weitere Prüfung solcher Fälle zu klären. Bei Wirbelbogenverschmelzungen können die zugehörigen Querfortsätze in ihrer ganzen Ausdehnung getrennt bleiben oder mit verschmelzen (Cataldo), was sich im Röntgenbild gut darstellen läßt.

8. Fehlbildungen der Wirbelbogenfortsätze

Die Gelenkfortsätze zeigen in den verschiedenen Wirbelsäulenabschnitten verschiedene Gelenkstellungen (Braxi Fick Kuhn, M. Lange Strasser Shars) die nach bestimmter Gesetzmäßigkeit entsprechend der Bewegungsrichtung angeordnet sind. An den Übergangsteilen zwischen den einzelnen Wirbelsäulenabschnitten ändert sich die Gelenkstellung, indem allmählich von Gelenkpaar zu Gelenkpaar zunehmend Drehungen der Gelenkflächenstellung eintreten. An der Brustwirbelsäule z. B. stehen die Gelenkflächen mehr in frontaler und an der Lendenwirbelsäule mehr in sagittaler Richtung. Von diesen regelrechten Stellungen gibt es Abweichungen infolge angeborener Fehlbildung. Bisweilen findet man an einem Gelenkpaar an Stelle von beiderseits symmetrisch laufenden Gelenkflächen auf der einen Seite eine mehr sagittale und auf der anderen Seite eine mehr horizontale Stellung (Goldman Junghans, v. Lachow, Scherlein). Besonders am Lendenwirbelsäulen-Kreuzbein Übergang sind diese Verhältnisse untersucht worden (Abb. 210). Es fehlen noch

Untersuchungen darüber ob und wie weit dadurch Bewegungsbehinderungen und Schmerzzustände entstehen. Im Röntgenbild darf bei verschiedener Stellung der linken und rechten Gelenkfläche desselben Wirbels nicht ohne weiteres eine krankhafte Ursache (z. B. Infektion) dafür angenommen werden.

Als sehr selten ist das Fehlen eines Gelenkfortsatzes an einer oder an beiden Wirbelbogenhälften zu bezeichnen. W. Müller hat einmal im Röntgenbild das Fehlen beider unterer Gelenkfortsätze des 2. Lendenwirbels festgestellt und Lossa sah ebenfalls im Röntgenbild einen schlecht ausgebildeten Gelenkfortsatz am 5. Lendenwirbel. Über das Fehlen von oberen Gelenkfortsätzen ist bisher noch nichts bekanntgegeben.

Die an den Dornfortsätzen vorkommenden Spaltbildungen wurden bereits beschrieben (S. 41). Ebenso wie bei den Gelenkfortsätzen findet man bisweilen ausgesprochen verkümmerte Dornfortsätze die gegenüber den normal entwickelten Dornfortsätzen den ganz geschlossenen Bögen nur als kleine Höcker aufsitzen (Abb. 80). Solche unterentwickelte Dornfortsätze die klinisch zu fühlen sind und sich im Röntgenbild darstellen lassen, verursachen — ebenso wie schiefstehende Dornfortsätze — Beschwerden, die wahrscheinlich durch unrichtige Belastungen der fehlerhaft ansetzenden Muskeln bedingt sind (Barony und Winkler, Ingher, Tavernier, Schläpfer).

Der Processus accessorius der der Rückseite der Querfortsatzwurzel aufsitzt kann gelegentlich angeboren eine Vergrößerung zeigen und wird dann als Processus styliformis bezeichnet. Während der Processus accessorius selbst höchstens 3–5 mm hoch ist, kommen in 7 v. H. aller Lendenwirbelsäulen Vergrößerungen zu einem Processus styliformis von 1,5 cm Länge vor (Latta) die meist an mehreren Lendenwirbelkörpern gleichzeitig sitzen und fast immer auch doppelte sind (Meyer, Burdorff). Das Kenntnis der Lage und Größe des Processus styliformis ist für Beurteilungen von Röntgenbildern oft von großer Wichtigkeit (Rubachewer, Volkman u. a.).

Knapp rechts vom hinteren Rande der Gelenkfläche des Gelenkfortsatzes sitzt noch ein kleiner Wirbelbogenfortsatz, der Processus mamillaris. Dieser bildet sich aus einer eigenen Apophyse, die im Pubertätsalter knöchern angelegt wird und mit dem oberen Gelenkfortsatz bis zum Wachstumsabschluß verschmilzt (Kap. I C, S. 13). Unregelmäßige Vergrößerungen können auch an diesem kleinen Fortsatz vorkommen und im Röntgenbild zu differentialdiagnostischen Erwägungen Veranlassung geben (Anonzi und Girault).

Die Querfortsätze zeigen, vor allem an den Übergangsteilen der verschiedenen Wirbelsäulenabschnitte, eine große Reihe von angeborenen Fehlbildungen. Sie sind als Variationsbildungen aufzufassen und werden in einem besonderen Abschnitt (Kap. II D) behandelt. Bisweilen kommen Vergrößerungen von Querfortsätzen mitten in einem Wirbelsäulenabschnitt vor (Abb. 81) die ähnlich aussehen wie Querfortsatzvergrößerungen an den Übergangswirbeln und auch gelenkige Verbindungen untereinander eingehen können (Muller, Röckamp). Daß auch an Halswirbeln ausgedehnte Knochenwucherungen von den Wirbelbögen abgehen können, beschreibt v. Untrichter. Über auffallend große Querfortsätze am 2. Halswirbel berichtet Pickles.



Abb. 80 (links) (Röntgenaufnahme der Lendenwirbelsäule eines Jugendlichen.) Am ersten Lendenwirbel fehlt der Dornfortsatz (weißer Pfeil).

Abb. 81 (rechts) (Röntgenaufnahme der Lendenwirbelsäule eines Mannes im mittleren Alter.) Zwischen den Querfortsätzen des 3. und 4. Lendenwirbels ist rechts eine Querfortsatzbrücke ausgebildet.

9 Nichtvereinigung der Nebenknochenkerne (Apophysen) mit den Wirbelbogenfortsätzen

Schon D. S. hat nachgewiesen, daß alle Nebenknochenkerne der Wirbelbogenfortsätze über deren normale Entwicklung vom berührt wurde (Kap. I C, S. 13) über den Wachstumsabschluß hinaus

ohne knöcherne Verbindung mit dem entsprechenden Wirbelbogenfortsatz bleiben und dadurch im Röntgenbild als eigene kleine Knochenstücke erscheinen können.

An den Querfortsätzen fand *Gruber* oft derartig nicht vereinigte Nebenknochenkerne. Der Nebenknochenkern am 1. Brustwirbelquerfortsatz scheint besonders häufig keine knöcherne Verbindung einzugehen (O 7 v H.), was differentialdiagnostisch bei Röntgenuntersuchungen in Erwägung gezogen werden muß. Auch an den Seitenmassen des Kreuzbeins kommt dies vor (*Guérin*).



Abb. 82. (Röntgenaufnahme des Lenden-Kreuzbein-Überganges der Wirbelsäule eines Mannes im mittleren Lebensalter.) Spina bifida des 1. Kreuzbeinwirbelbogens. In dem offengebliebenen Spalt liegt punktförmig der Knochenkern der Dornfortsatzapophyse.

An den Dornfortsätzen finden sich ebenfalls nicht selten freie Nebenknochenkerne, die nach *Guzot* sogar Ursachen für Schmerzen sein können. Eine Verwechslung mit Dornfortsatzbrüchen liegt nahe. Die besondere Eigenart der Nebenknochenkerne der Dornfortsätze besteht darin, daß sie auch bei gespaltenen Dornfortsätzen angelegt werden können, ja, daß sie bisweilen sogar als kleine Knochenkerne mitten in breit klaffenden Dornfortsatzspalten liegen (Abb. 82–84). Am Kreuzbein sind sie des öfteren bei vollkommen offenem Hiatu sacralis angelegt und verschmelzen dann bisweilen untereinander zu einer langen, schmalen Knochenleiste, die längs in dem offenen Hiatu liegt (Abb. 83–86). In einigen Fällen konnten wir beobachten, daß der in einem Spalt des 1. Kreuzbeinwirbelbogens angelegte Nebenknochenkern mit dem darüberliegenden Dornfortsatz des 5. Lendenwirbels eine feste Verbindung durch bindegewebige Verwachsung oder durch vollkommene Verknöcherung eingegangen war. Dadurch entstehen stark vergrößerte und nach unten zu in den Dornfortsatzspalt hineinragende Dornfortsätze (Abb. 87), die schon zu Fehldeutungen Anlaß gegeben haben (*Goljanitzki*).



Abb. 83 (links). Lichtbild der massierten Lendenkreuzbeinverbindung eines älteren Mannes. Ansicht von hinten. Dornfortsatz des 1. Kreuzbeinwirbels gespalten. In dem Spalt liegt ein freies Knochenstück (Apophyse des Dornfortsatzes).



Abb. 84 (rechts). (Röntgenaufnahme des in der vorhergehenden Abbildung dargestellten Präparates. Sagittaler Strahlengang.) Der freie in dem schmalen Spalt des 1. Kreuzbeinwirbelbogens liegende Knochenkern (Apophyse) ist mit einem Pfeil bezeichnet.

Von besonders wichtiger Bedeutung für die Differentialdiagnose im Röntgenbild (Verwechslung mit Abbrüchen!) sind Nebenknochenkerne an den Gelenkfortsatzspitzen (S. 13). Leider sind derartige kleine Knochenstücke bisher von pathologisch-anatomischer Seite noch nicht genau erforscht. *Le Double* erwähnt sie zwar bereits als große Seltenheiten, mikroskopisch wurden sie aber bisher noch nicht untersucht. Im röntgenologischen Schrifttum werden häufig Nebenknochenkerne an den unteren Gelenkfortsätzen im Bereiche der Lendenwirbelsäule abgebil-



Abb. 63 (links oben) (Lichtbild der mazerierten Lendenkreuzbeinengegend eines 82-jährigen Mannes, Ansicht von hinten.) Durch gebender Hiatus sacralis, in dessen mittlerem Teil ein schmales, leistenförmiges Knochenstück liegt, das aus der Verwachsung mehrerer Dornfortsatzapophysen entstanden ist. Ein kleineres Knochenstück liegt auch im Spalt des 1. Kreuzbeindorns und hat sich nach oben zu mit dem 5. Lendenwirbelhorn vereinigt.



Abb. 64 (rechts oben) (Röntgenaufnahme des in der vorhergehenden Abbildung dargestellten Präparates, Sagittaler Strahlengang.) Der Pfeil bezeichnet die Apophyse des 1. Kreuzbeinwirbelhornfortsatzes. Von bis \times liegt in dem offenen Hiatus sacralis eine durch die verwachsenen Dornfortsatzapophysen gebildete Knochenleiste.



Abb. 67 (unten rechts) (Lichtbild einer mazerierten Lendenkreuzbeinengegend, Ansicht von hinten.) Stark nach unten vergrößerter Dornfortsatz des letzten präsakralen Wirbels ragt in die typische Lücke des 1. Sakralwirbels hinein.

det Bakke Blacher Fulton und Kalbfleisch Graessley Iranow und Rotzermel Kobayashi Lang de Marchi Reisser Rendy Weeding Nichols und Shiffert W Müller Girauds Latten Vissler Völler Regensburger u. a. Eine Zusammenstellung über 40 Fälle bringt Farmer Meist werden sie am 2. oder 3. Lendenwirbel gefunden (Abb. 88). Eigenartigerweise sind bisher an oberen Gelenkfortsätzen insgesamt nur 5 solche Nebenknochenkerne von Farmer beschrieben worden. Es besteht noch die Frage, ob solche Knochenkerne regelmäßig auftreten und mit der Gelenkfortsatzspitze verschmelzen, wo die Nebenknochenkerne an den anderen Wirbelbogenfortsätzen, oder ob sie nur als Fehlbildungen vorkommen und dann niemals eine knöcherne Verbindung eingehen. Blacher macht darauf aufmerksam, daß auch Verkalkungen der Gelenkkapseln der Wirbelgelenke differentiell diagnostisch beachtet werden müssen.



Abb. 88. (Ausschnitt aus Röntgenaufnahme der Lendenwirbelsäule eines 31-jährigen Mannes.) Nebenknöchern (Apophyse) an der rechten unteren Gelenkfortsatzspitze des 3. Lendenwirbels. (Seitenverf.)

Bei / aller Wirbelsäulen finden sich Variationen (entweder Vermehrung bzw. Verminderung der gesamten Wirbelzahl oder Vermehrung der Wirbelzahl einzelner Segmente auf Kosten der Nachbarsegmente). E. Fischer stellt sogar nur bei 20 v. H. aller Menschen die als regelrecht geltende Wirbelzahl in jedem Segment fest. Beriberi gibt an, daß 13–16 v. H. aller Menschen Wirbelsäulen mit einer Abweichung aufweisen. Die größte Zahl der Variationen kommt im Lenden-Kreuzbein-Übergang und am Übergang der Brust zur Lendenwirbelsäule vor.

Rosenberg hat aus der Auswertung seiner Variationsformeln sein Schluß auf die phylogenetische Entwicklung gezogen. Er schloß daraus auf ein allmähliches Fortschreiten der Kieferbildung im Kopf, die auf eine in der weiteren Entwicklung des Menschengeschlechtes zunehmende Einbeziehung des letzten Lendenwirbels in das Kreuzbein. Diese Ansichten Rosenbergs sind von anderer Seite nicht geteilt worden (Adolph Slier u. a.). Immerhin geben die Anschauungen neuerer Untersucher jetzt einstimmtig dahin, daß die Wirbelsäulenvariationen keineswegs als Degenerationserscheinungen und auch nicht als wesentliche Fehlbildungen aufzufassen sind (Naegele, H. Frey). Sie sind Ausdruck einer fortschreitenden Umgestaltung unserer Wirbelsäule und dienen der Erhaltung und Förderung lebenswichtiger Formen, die der aufrechten Körperhaltung angepaßt sind. Weiß glaubt, daß der Wechsel in der Höhe der Extremitätenanlage einen formgebenden Einfluß auf die Zahl der präaxialen Wirbel ausübt.

Aus den Untersuchungen von Käfer geht hervor, daß die Variationen der Wirbelsäule nicht für sich allein bestehen, sondern meist zusammen mit gleichartigen Variationen in der Ausbildung des Brustkorbes, der zugehörigen Nerven, der Muskulatur und der Pfingergewebe vorkommen. Die Variationen können kopf- oder steißwärts gerichtet sein, d. h. daß z. B. Lendenwirbel zu Brustwirbeln (kopf- oder steißwärts) oder Lendenwirbel zu Kreuzbeinwirbeln (steißwärts gerichtet) werden. Nach Käfer kommen die kopf- oder steißwärts gerichteten Variationen meist nur an einem oder zwei, selten aber an drei oder vier Grenzgebieten der Wirbelsäule vor, während sich die kopf- oder steißwärts gerichteten Variationen in der Regel an drei oder vier und seltener an zwei oder drei Grenzgebieten einer Wirbelsäule einstellen. Meist sind die Variationen einer Wirbelsäule gleichmäßig gerichtet (entweder kopf- oder steißwärts), wie auch Meiseldi u. a. beobachteten. Die Veränderbarkeit der Variationen ist bereits in größeren Geschlechterkreisen untersucht worden. Dabei fanden sich die kopf- oder steißwärts gerichteten Variationen

D Die Wirbelsäulenvariationen

1 Allgemeines

Die Übergangswirbel zwischen den verschiedenen Wirbelsäulentypen und auch die Wirbelzahl haben für die Röntgenkunde großes Interesse. Viele solcher Übergangsformen bringen schwierige differentiell diagnostische Fragen mit sich. Verwechslung mit Knochenbrüchen, mit Nieren- und Harnleitersteinen, mit verkalkten Mesenterialdrüsen sind vor allem bei Querfortsatzveränderungen am Brust-Lenden-Übergang möglich, und viele ungeklärte Fragen sind hier noch zu lösen.

Daß die im allgemeinen als regelrecht geltende Gesamtwirbelzahl des Menschen und auch die Zahl der Wirbel in den einzelnen Wirbelsäulenabschnitten häufig Änderungen unterworfen ist, war bereits im Mittelalter bekannt. Rosenberg hat in Reihenuntersuchungen die Zahlenverhältnisse eingehend geprüft und Normalformeln und Variationsformeln aufgestellt. Nach H. Frey, Rosenberg und Petersen kommt bei rund 1/3 der Menschen die Normalform (cerv. 1–7, dors. 8–19, lumb. 20–24, sac. 21–26, caud. 30–33) gefunden werden.

stehen rationalem Kinnast gegenüber dem steilwärts gerichteten Die Variationsrichtung (Kopfwärts oder steilwärts) ist daher *P. Fischer II* 12

Wie wir bei der Besprechung der einzelnen Variationsformen noch sehen werden, geht die Form des Wirbelkörpers selbst bei den Variationsbildungen kaum eine Änderung ein, sondern die Variationen drücken sich in Formänderungen im Wirbelbogen und besonders an den Querfortsätzen aus. Vor allen Dingen gestattet uns die Betrachtung derjenigen Querfortsatzteile, die als Rippenhomologe anzusehen sind (Abb. 80) die Erkennung und Einordnung der Wirbelsäulenvariationen. Darüber hinaus ist noch die Form und Stellung der kleinen Wirbelgelenke bei der Klärung der Zugehörigkeit von Wirbeln zu bestimmten Segmenten von Bedeutung (*Scherle*). Häufig sind die Variationsbildungen auch nur an einer Wirbelbogenhälfte entwickelt. Diese Tatsache spricht ebenso wie die halbseitigen Fehlbildungen (Kap. II B 4) für eine gewisse Selbstständigkeit der Wirbelhälften (*Streck*).

2. Variationen am Übergang zwischen Hinterhauptbein und Halswirbelsäule

Bei der ursprünglichen Segmentanlage der Halswirbelsäule bestehen noch 3 Segmente oberhalb des Atlas, die bei der Entwicklung jedoch in das Hinterhauptbein einbezogen werden. Diese Einbeziehung kann in seltenen Fällen auch noch den eigentlichen Atlas betreffen, so daß der Atlas oder auch Teile von ihm, eine angeborene feste knöcherne Verbindung mit dem Hinterhauptbein haben. Dann ist der Epistropheus der erste frei bewegliche Halswirbel. *Le Double* hat derartige Fälle beobachtet und eingehend beschrieben. Er sammelte das gesamte, damals vorliegende Schrifttum.

Auch späterhin sind noch Fälle von Assimilationen des Atlas an das Hinterhauptbein in anatomischen Präparaten beschrieben worden (*Allan, Bruns, Correia, Kollmann, Schiffner* u. a.). Wie weit die am Lebenden beobachteten Fälle (*Bazi, Feil, Ferrari, Griesel* und *Apert, Ross, Schüller* u. a.) tatsächlich angeborene Verknöcherungen zwischen Hinterhauptbein und Atlas darstellen, ist nicht sicher zu entscheiden, da die genaue Röntgendarstellung schwierig ist. Von *Reisner* wird Okzipitalisation des Atlas mit noch weiteren Fehlbildungen am Atlas beschrieben. Daß sich bei den Mißbildungen am Kopf-Hals-Übergang im Laufe des Lebens schwere Krankheitsbilder entwickeln können, beschreiben *Brocher* mit *Morrie* und *Tissot* in einem Krankheitsfall von Dysplasie des Basioccipitals und der Exoccipitalia.

Eine recht seltene und bisher nur an anatomischen Präparaten, aber noch nie am Leben beobachtete Variation am Hinterhaupt-Wirbel-Übergang ist die Manifestation des Okzipitalwirbels über die *Kollmann* berichtet. Es handelt sich dabei um das Auftreten von Knochenvorsprüngen am Hinterhauptbein, die an einen Atlasbogen erinnern.

Weiteres Schrifttum: *Dwyer, Decker* und Mitarbeiter; *Intarjet, Macalister, Regnaud, Solger, Uda* u. a.

3. Variationen am Übergang zwischen Hals- und Brustwirbelsäule

Die häufigsten Übergangswirbel an der Grenze zwischen Hals- und Brustwirbelsäule sind einseitig oder doppelseitig rippentragende Halswirbel.

Nach *Myer, Burdler* haben 0,5–1 v. H. aller Menschen derartige „Halsrippen“. *Fischer* gibt sogar 2,4 v. H. einseitige überschüssige Rippen an. Am 6. und 7. Halswirbel sind sie schon oft beschrieben worden. Selten kommen

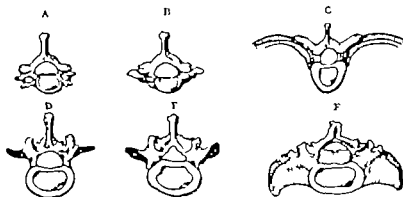


Abb. 80 Halbschematische Darstellung der Rippenanteile bei der Bildung der verschiedenen Wirbelsäulen. Die Rippenanteile sind schraffiert angegeben (A und B Halswirbel, C Brustwirbel, D und E Lendenwirbel, F Kreuzbein) (Nach Dwyer).

als sehr in hoher gelegenen Halswirbel vor (Töller am 8. Halswirbel, Fischel einseitig vom 4. Halswirbel abwärts und Sauerbaki doppelseitig am 4. Halswirbel abwärts). Das Auftreten von Rippengebilden an Halswirbeln hat man auch als Dorsalation des 7. Halswirbels bezeichnet (Hauswirth). Verschiedene Entstehungen der in wechselnder Form und Größe auftretenden Halsrippen stammen von Grütz und Gruber. Für den Anatomen sind Halsrippen nur eine unbedeutende Variante während sich der Kliniker das öfteren mit der Frage beschäftigen muß ob diese Gebilde Beschwerden verursachen können, was bei etwa 8–10 v. H. der Halsrippenträger vorkommen soll (Aggr. fegius, Hauswirth, Meyer Burdorf, F. Patti, Robinson Stone und Ebbel, Serck H. nassau).

Die Halsrippen sind aber nicht immer durchgehend knöchern, sondern es kann von einem kleinen Halsrippenstumpf ein straffer Bindegewebezug weiter nach vorn bis zum Ansatz an das Brustbein ziehen. Dadurch sind Beschwerden wie bei voll ausgebildeter Halsrippe möglich. Bei starken Beschwerden hilft die Entfernung der Halsrippe bzw. des Bindegewebezugs. Die Beziehungen zum Skalenusyndrom und Schrifttum bei Wank.

Neben der Bildung von Halsrippen kommen als weitere Variationen am Hals-Brust Übergang voll ausgebildete rippentragende Brustwirbel vor die ein geschlossenes Foramen transversarium tragen, wie es eigentlich nur die Halswirbel haben sollen.

4. Variationen am Übergang zwischen Brust- und Lendenwirbelsäule

So wie am Hals-Brust Übergang die Halsrippe ist am Brust-Lenden Übergang die Lendenrippe (Abb. 90) die häufigste Variationsbildung. Um diese Variationsbildung von den nicht allzu seltenen Brüchen der Lendenwirbelquerfortsätze unterscheiden zu können, ist eine genaue Erforschung der Lendenrippen angebracht und das klinische Schrifttum beschäftigt sich eingehend damit. Albansen, Andersen, Hayek, Meyer Burdorf, Mainoldi, Scherfles u. a. haben sich bemüht, durch Sammlung und Vergleichen zahlreicher Fälle eine Systematik der vorkommenden Formen zu geben. Nach Meyer Burdorf steht eine thorakale Form, wobei die Rippenanlagen am Lendenwirbel den regelrechten Rippen im Verlauf, Aussehen usw. ähneln und der Querfortsatz nur wenig ausgebildet ist, einer lumbalen Form bei der ein kleiner Rippenstumpf gelenkig mit einem großen Querfortsatz verbunden ist gegenüber. Ähnlich beschreibt Mainoldi den echten Rippenstummel als schlank und zugespitzt mit einem schräg nach unten gerichteten Verlauf während nach seinen Untersuchungen

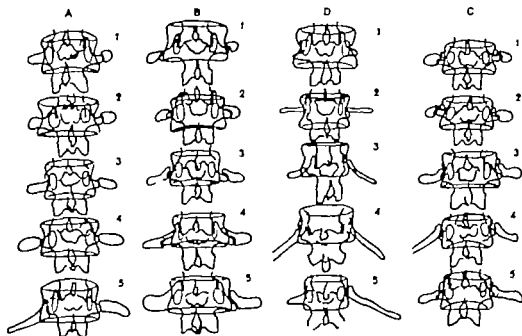


Abb. 90. Die verschiedenen Formen der Lendenrippen nach Scherfles

die Lendenrippen horizontal oder sogar etwas nach oben zu verlaufen oder ein rundes oder ovales Ende haben. *Heus*, *Hagel* und *Schertlein* führen besondere Unterformen ein, die sich in manchen Punkten gegenseitig überkreuzen. *Albanese* trennte von dem Typus lumbalis und thoracalis auch noch eine besondere Form ab und bespricht eine von *Aichel* angegebene Variante. Also diese verschiedenen Variationen können am Übergangswirbel einseitig oder doppelseitig auftreten und es ist nicht selten, daß am gleichen Wirbel auf der einen Seite ein anderer Typ vorkommt als auf der anderen.

Lendenrippen sind wesentlich häufiger. I II beippen. *Hagel* fand sie bei 773 v. II aller Wirbelstufen. Die weitaus häufigste ist die lumbale Form (2. aller Fälle). Wie schon erwähnt, liegt die II. Bedeutung der Lendenrippen für die Röntgenuntersuchung in ihrer differentialdiagnostischen Abgrenzung gegenüber Frakturen der Lendenwirbelquerfortsätze. Vergrößerter Querfortsatz ohne Lendenrippenbildung ist von *Morandi* beschrieben.

Neben dem Auftreten der Lendenrippen kommt als weitere Variation am Brust-Lenden-Übergang eine Stellungänderung der Wirbelbogengelenke vor (s. S. 52). Eigentlich sollen die kleinen Gelenke zwischen 12. Brust- und 1. Lendenwirbel typische Lendenwirbelgelenkstellung haben, während die kleinen Gelenke zwischen 11. und 12. Brustwirbel bei regelrechter Ausbildung Brustwirbelgelenkform zeigen. Diese als Regel geltenden Verhältnisse sind aber sehr schwankend. Der 12. Brustwirbel kann auch nach oben hin Wirbelbogengelenke von Lendengelenkstellung haben, oder er kann typische Brustwirbelgelenke nach dem 1. Lendenwirbel zu tragen. Es kommen auch Verschiedenheiten beim gleichen Gelenkpaar vor, indem eine Seite Brustgelenkstellung und die andere Lendengelenkstellung zeigt. *Schertlein* hat die Häufigkeit dieser einzelnen Variationsstellungen zahlenmäßig festgelegt und fand bei doppelseitigen Lendenrippenbildungen am selben Wirbel auch doppelseitige Lendengelenkstellung.

5a. Variationen am Übergang von der Lendenwirbelsäule zum Kreuzbein (lumbosakrale Übergangswirbel)

Nach der *Rosenbergschen* Zählung ist bei regelrechter Wirbelkörperzahl der 24. Wirbel als der letzte präsakrale Wirbel und der 25. als der erste Kreuzbeinwirbel anzusehen (S. 56). Diese beiden Wirbel zeigen gegenüber den Wirbeln an anderen Übergangsteilen zwischen Wirbelsäulenhabschnitten besonders häufige Variationsbildungen, die im allgemeinen als Sakralisation und Lumbalisation bezeichnet werden. Von Sakralisation spricht man dann, wenn der letzte präsakrale Wirbel in der Ausbildung seiner Wirbelbogengelenke besonders seiner Querfortsätze einseitig oder doppelseitig Angleichungen an die Seitenmassen des Kreuzbeines zeigt oder wenn er ganz in das Kreuzbein einbezogen ist (Verkreuzbeinung). Unter Lumbalisation wird das Heraustreten des 1. Kreuzbeinwirbels aus der Kreuzbeinmasse verstanden, indem sich der Wirbel unter einseitiger oder doppelseitiger mangelhafter Ausbildung seiner Seitenflügel der Form des letzten präsakralen Wirbels angleicht oder vollkommen diese Form annimmt. Es ist nicht möglich, Sakralisation und Lumbalisation zu unterscheiden, wenn man nur den veränderten „Übergangswirbel“ betrachtet, denn bei der „Einbeziehung in das Kreuzbein“ kommen genau die gleichen Zustandsbilder am Übergangswirbel vor wie beim Heraustreten aus dem Kreuzbein. Wenn man genau die kopfwärts oder stellwärts gerichtete Tendenz des sakrolumbalen Übergangswirbels bestimmen will, ist es unerläßlich, die Gesamt Wirbelzahl festzustellen und nach den *Rosenbergschen* Grundsatzen einzurufen. Aber auch dann werden sich noch manche Schwierigkeiten ergeben. Sowohl für pathologisch-anatomische als auch für klinisch-



Abb. 91 Röntgenaufnahme eines beginnenden Übergangswirbels mit linksseitiger Zapfenbildung am Querfortsatz.



Abb. 92. Halbsackiger lumbosakraler Übergangswirbel mit breiter gelenkiger Verbindung links zwischen Seitenmass des Kreuzbeins und Querfortsatz des 5. Lendenwirbels.

Das ist auch sehr vorteilhaft, denn sie zeigen häufig schwer zu entscheidende Zahlenverschiedenheiten durch Angleichung von Steißwirbeln mit Bildung überzähliger Kreuzbeinlöcher oder durch unvollkommene Ausbildung der untersten Kreuzbeinlöcher, denen bisweilen die seitliche Begrenzung fehlt. Wie Pöthl mitteilt, hat Vasuliza 6 Kreuzbeinwirbel als Normalzahl angenommen, weil ihm ein Knochengerüst mit Sakralisation vorgelegen hatte.

Die im Schrifttum niedergelegten Häufigkeit ist statistisch n. über das Vorkommen von lumbosakralen Übergangswirbeln geben ein unübersichtliches Bild. Die Zahlen schwanken zwischen 0,6–28 %. Auch eine Zusammenstellung über die verschiedene Beteiligung einzelner Menschenrassen hat weit auseinandergehende Grenzen.



Abb. 93 (links). (Leichtbild der Lendenkreuzbeinengegend einer mazerierten Wirbelsäule eines 58-jährigen Mannes. Ansicht vom vorn.) Lumbosakrale Übergangsform des letzten präsakralen Wirbels, dessen stark verbreiteter linker Querfortsatz gelenkig mit dem Seitenknäuel des Kreuzbeins verbunden ist. Einige kleine Handwunden an den Lendenwirbeln.



Abb. 94. Lumbosakraler Übergangswirbel mit rechtsseitiger gelenkiger Verbindung und linksseitiger wesentlicher Verbreiterung des Querfortsatzes.

rontgenologische Zwecke genügt es vollkommen, wenn man einen letzten präsakralen Wirbel, der irgendwelche Zeichen einer Angleichsform an Kreuzbeinwirbel erkennen läßt als „lumbosakralen Übergangswirbel“ bezeichnet. Diese Bezeichnung hat den großen Vorteil, daß von der Beachtung der wechselnden Zahl der Kreuzbeinwirbel (Lübke fand, daß sich bei 31 v. H. aller Menschen das Kreuzbein aus sechs vollkommen miteinander verschmolzenen Wirbeln zusammensetzt) völlig abgesehen werden kann, und daß auch Angleichungen von Steißwirbeln an das Kreuzbein unbeachtet bleiben können. Die Zählung der Kreuzbeinlöcher, die man im allgemeinen bei der Entscheidung über das Vorhandensein einer Sakralisation mit heranzieht, kann ebenfalls unterbleiben.

zwischen 0, und 43 v. H. Diese Werte sind deshalb nicht miteinander vergleichbar, weil ihnen ganz verschiedene Untersuchungsarten zugrunde liegen. Es handelt sich teils um Zahlenwerte aus alten Skelettstammungen, teils um Durchleuchten größerer Röntgenbildersammlungen, wobei meist Nierenübersichtsaufnahmen zugrunde gelegt wurden, und nur zum kleinsten Teil um systematische pathologisch-anatomische Reihenuntersuchungen, wie in den Zahlen von Lohd, die am Schweizerischen Institut gewonnen wurden.

Bei dem im Schrifttum veröffentlichten Material befinden sich besonders bei den Berechnungen auf Grund von Röntgenbildern, ist fast nie die Gesamtwirbelzahl bestimmt worden. Deshalb kommt nie mit Sicherheit angegeben werden, ob es sich um eine „Sakralisation“ oder „Lumbalisation“ handelt. Darauf ist es zurückzuführen, daß bei den



Abb. 93 (links). (Lichtbild der mazerierten Lendenkreuzbeinregion eines 38-jährigen Mannes. Ansicht von vorn.) Der kurze Querfortsatz des letzten präsakralen Wirbels hat breite feste knöcherne Verbindung mit dem Kreuzbeinseitenflügel (einseitige vollkommen verknöcherte Sakralisation). Zwischenwirbelscheiben zwischen letztem präsakralen Wirbel und Kreuzbühlbasen sehr niedrig.

Abb. 96 (rechts). (Lichtbild der Lendenkreuzbeinregion der mazerierten Wirbelkette einer 76-jährigen Frau. Ansicht von vorn.) Lumbosakrale Übergangsform des letzten präsakralen Wirbels. Seine Querfortsätze sind ziemlich dick, doch etwas nach oben stehendes Seitenflügel des Kreuzbeins genähert und haben einen zapfenförmigen, kurzen, dicken Fortsatz nach unten zu (Rüppensrudiment), der aber noch keine gabelartige Verbindung mit dem Kreuzbein flügel gefunden hat.

Zählangaben über die verschiedene Häufigkeit dieser beiden Arten von lumbosakralen Übergangswirbeln ein Teil der Bearbeiter mehr Lumbalisationen und ein anderer Teil mehr Sakralisationen aufstellt. Die Angaben über die Verteilung der lumbosakralen Übergangswirbel auf die Geschlechter sind noch nicht einheitlich. *Bl. Hansen* und *Chasing* (Chirurgen) finden mehr Männer und *Merrill* (Frauenarzt) gibt mehr Frauen an.

Von röntgenologischer Seite ist erwähnt worden, diese Schwierigkeiten der genauen Zahlfeststellung der ganzen Wirbelsäule dadurch zu umgehen, daß man für einen Lendenwirbel eine allgemeine Norm aufstellt, die bei der Betrachtung an Röntgenbildern gestattet, mit Sicherheit anzugeben, der wievielte Lendenwirbel vorliegt. *Brennert* behauptet, daß der 2. und 4. Lendenwirbelquerfortsatz in 93,3 v. H. stets eine besondere Gestalt zeigen, so daß man diese beiden Wirbel immer mit Sicherheit erkennen und von da aus abzählen kann, ob ein Übergangswirbel am Lenden Kreuzbein Übergang des 5. Lendenwirbels oder des 1. Sakralwirbels ist. *Helmsch* nimmt den 4. Lendenwirbelquerfortsatz als Richtpunkt. Der 4. Lendenwirbelquerfortsatz ist nach seinen Angaben kürzer und dünner als der 1–3. er endet in einer Spitze (der darüberliegende 3. bildet eine vertikale Grundlinie), er strebt etwas nach aufwärts und am medialen Drittel des unteren Canals ist meist eine linsengroße Vorwölbung sichtbar. Es müssen wohl noch weitere Untersuchungen an einem großen anatomischen Material vorgenommen werden, ehe man diese vereinfachte Zahlform gegenüber der Zählung der gesamten Wirbelsäule als gültig anerkennen kann. *Friedl* hat bei eingehenden Zahlungen die Behauptung von *Brennert* und *Helmsch* nicht bestätigen können.

Daß die Zählangaben über die Häufigkeit der Sakralisation und Lumbalisation so verschieden sind (Überwies 2–5), liegt vor nicht allein daran, daß nicht immer genau die Gesamtwirbelzahl bestimmt worden ist

wodurch diese Angaben hängen auch weitgehend davon ab, was die einzelnen Untersucher unter der Bezeichnung Sakralisation bzw. Lumbalisation verstehen. Während von manchen bereits ein etwas verdickter Querfortsatz als Beginn eines Übergangswirbels angesehen wird, lassen andere diese Bezeichnung erst dann für den präsakralen Wirbel gelten, wenn ganz deutlich ein breiter, vom Querfortsatz schräg nach unten abgehendes Knochenstück, das vergrößerte Rippenrudiment vorhanden ist.

Übersicht 2.

Häufigkeit d. „Sakralisation“ in Prozent n.

<i>Oeljenhals</i>	0,6	<i>Turner</i>	8,0
<i>Lübke</i>	1,0	<i>Brudersford</i>	8,1
<i>Hirsch</i>	1,3	<i>Iljarsow</i>	9,0
<i>Seels</i>	1,7	<i>Olss</i>	9,2
<i>Bauer</i>	2,0	<i>Mertins (Männer)</i>	9,5
<i>Blumenau</i> und		<i>Imbert</i>	10,0
<i>Clasing</i>	2,8	<i>Vasjers</i>	11,0
<i>Moore</i>	3,8	<i>Mertins (Frauen)</i>	12,0
<i>Léri</i>	4,0	<i>O'Reilly</i>	13,0
<i>Raccovilla</i>	4,0	<i>Schäfer</i>	23,0
<i>Hueck und Heiss</i>	4,2	<i>zur Verh</i>	23,0
<i>Meyer Burdett</i>	4,5	<i>Ingebrigtsen</i>	33,0

Übersicht 4.

Häufigkeit in Prozent n.

	„Sakralisation“	„Lumbalisation“	zusammen
<i>Hirsch</i>	1,3	—	2,7
<i>Blumenau</i> und <i>Clasing</i>	—	2,2	2,0
<i>Hueck und Heiss</i>	4,10	1,23	5,3
<i>Lübke</i>	1,0	9,0	10,0
<i>Léri</i>	4,0	6,0	10,0
<i>Krusel und Krutz</i>	—	—	10,0
<i>Mertins (Frauen)</i>	12,0	8,0	20,0
<i>Vasjers</i>	11,0	11,0	22,0

Übersicht 3.

Häufigkeit d. Sakralisation bei verschiedenen Rassen in Prozent n.

<i>Lappländer</i>	0,7	<i>(Ingebrigtsen)</i>	
<i>Europäer</i>	4,0	<i>(Maurclaire und Fipps)</i>	
<i>Russen</i>	5,0	<i>(Turner)</i>	
<i>Norweger</i>	5,3	<i>(Ingebrigtsen)</i>	
<i>Friesländer</i>	41,0	<i>(Althaus)</i>	
<i>Andere Rassen</i>	45,0	<i>(Baker)</i>	

Übersicht 5.

Häufigkeit d. Sakralisation bei Menschen mit Kreuzbinnenknorpel in Prozent n.

<i>Almer und Jacques</i>	23,0
<i>Léri</i>	53,0
<i>Imbert und Cervantes</i>	60,0

Um in den großen Formreichtum, den die lumbosakralen Übergangswirbel bieten (Abb. 91 bis 102) eine gewisse Ordnung hineinzubringen, sind die verschiedensten Einteilungsschemata aufgestellt worden. Dabei werden zum Teil röntgenologische Merkmale, zum Teil Entwicklungsvorgänge und zum Teil klinisch nachweisbare Beschwerden als Grundlagen angenommen, weshalb eine einheitliche Betrachtungsweise bisher noch nicht möglich ist. Le Double unterscheidet sechs verschiedene Formen von lumbosakralen Übergangswirbeln. Auch Meyer Borel gibt 6 Formen an, berücksichtigt dabei die Lumbalisationen nicht. Weiß unterscheidet Übergangswirbel 1 und 2 Grades. Die Einteilung in 3 Gruppen von Imbert und Katalonda ist nach rein röntgenologischen Gesichtspunkten ohne anatomische Grundlage ausgeführt. Da die Klinik der lumbosakralen Übergangswirbel eine zunehmende Bedeutung erlangt hat, ist eine Einteilung notwendig, die für klinische Zwecke (Klarung von Beschwerden usw.) brauchbar und auf der Grundlage der anatomischen Veränderungen aufgebaut ist. In ihrer umfassenden Abhandlung über die lumbosakralen Übergangswirbel haben Blumenau und Clasing eine unter diesen Gesichtspunkten aufgebaute Einteilung gebracht. Sie unterscheiden 3 Gruppen:

Gruppe I. Vollkommene Sakralisation (vollkommene Synostose des 24. Wirbels mit dem 1. Kreuzbeinwirbel). Vollkommene Lumbalisation (vollkommene Lösung des 1. Kreuzbeinwirbels vom Kreuzbein und dadurch Bildung eines 6. Lendenwirbels).

Gruppe II. Teilweise Sakralisation und Lumbalisation.

a) Doppelseitige Übergangsform mit ungleicherseitiger Seitenanwülbung und teilweise beiderseitiger oder nur einseitiger Verbindung mit dem Nachbarnwirbel.

b) Einseitige Übergangsform mit einseitiger Verbindung.

c) Gleichseitige Kombination von teilweise Sakralisation und teilweise Lumbalisation.

Gruppe III. Übergangsformen der Querfortsätze durch Hyperplasie von Kostalfortsätzen ohne Verbindung mit dem Kreuzbein.

Auch dieser Einteilung haften gewisse Mängel durch Beibehaltung der Bezeichnungen Sakralisation und Lumbalisation an, was nach unseren vorhergehenden Ausführungen praktisch nicht immer möglich ist. Die Gruppeneinteilung von Blumenau und Clasing zählt ebenfalls alle an

bergangswirbel vorkommenden Veränderungen von etwas vergrößertem Rippenfortsatz (Gruppe I) über einseitige (IIb) oder doppel-seitige (IIa) Verbindungen zwischen Querfortsatz und Kreuz-Innenseitflügel bis zur vollkommenen knöchernen Verschmelzung (Gruppe I) auf

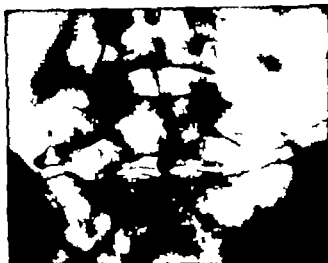


Abb. 97 (links). (Leichtbild einer lateralen Lendenkreuzbeugegend.) Querfortsätze des letzten präkralen Wirbels zeigen kapfenförmige Vergrößerungen nach unten zu, die gelenkig mit der Seitenmasse des Kreuzbeins verbunden sind (vgl. gelenkige doppelseitige Sakralisation).

Abb. 98 (rechts). Röntgenaufnahme eines lumbosakralen Übergangswirbels mit doppelseitiger gelenkiger Verbindung zwischen den verbreiterten Querfortsätzen und der Seitenmasse des Kreuzbeins.

Abb. 99 (unten). (Leichtbild der Lendenkreuzbeugegend der mazerierten Wirbelsäule eines 64-jährigen Mannes. Ansicht von vorn.) Lumbosakrale Übergangsform des letzten präkralen Wirbels. Der ant. Querfortsatz des Wirbels ist vollkommen knöchern, der rechts gelenkig mit dem Kreuzbeinseitenflügel verbunden. Rechts sind in der Umgebung des Gelenkes kleine Randzacken entwickelt.



Abb. 99

Von besonderen, sowohl anatomisch als auch klinisch und ontogenetisch wichtigen Veränderungen begleitet sind die mit den Kreuzbeinseitenflügeln gelenkig verbundenen Querfortsätze eines Übergangswirbels (Abb. 93). Es kommen hier echte Gelenke mit Knorpelüberzug und Gelenkkapseln oder auch bandartige Gelenkverbindungen vor. In solchen Gelenken stellt sich im Laufe des Lebens häufig eine zunehmende Arthrosis ein, die mit Schlußflächen, Randwulstbildungen und Sklerose der angrenzenden Knochenstelle einhergehen kann. Zwischen vergrößerten Gelenkfortsätzen eines Übergangswirbels und den Kreuzbeinseitenmassen können sich auch Schleimbeutel ausbilden (Martus). Das anatomische Erscheinungsbild der sakrolumbalen Übergangswirbel erhält eine besondere Reizhaltigkeit noch dadurch, daß die doppelseitig vollkommen symmetrischen Übergangswirbel (Abb. 96–99) seltener sind als die unsymmetrischen (Abb. 91–93). Reamer errechnete folgende Häufigkeitszahlen bei 222 Übergangswirbeln (bei 4300 Wirbelsäulen = 4,9 v H.) Einseitig vollkommen 33 einseitig gelenkig 40 doppelseitig vollkommen 10 doppelseitig gelenkig eine Seite vollkommen und eine Seite gelenkig 4 v H. Brailsford fand 81 v H. Sakralisation davon 34 einseitig und 47 v H. doppelseitig. Ähnliche Zahlen hat Giles mitgeteilt (4 v H. einseitig 5 v H. doppelseitig). Nach Illmanns und Claring soll die Sakralisation

häufiger als einseitige und die Lumbalisation häufiger als doppelseitige Varietät auftreten, was auch aus den Zahlen von Willis hervorgeht. Einseitige unsymmetrische Übergangswirbel gehen oft mit geringen, bisweilen mit beträchtlichen Skoliosen einher bei denen sich Rotation und Torsion der Wirbelkörper einstellt. Tiefsitzende angeborene Skoliosen werden in manchen Fällen durch einseitige sakrolumbale Übergangswirbel hervorgerufen. Bei der Durchsicht der Schwabacher Skoliosensammlung ließen sich allerdings nicht so häufig Übergangswirbel als Ursache für tiefsitzende Skoliosen finden, wie das aus Angaben des Schrifttums erwartet werden müßte. Die Wirbelkörper selbst sind bei den einseitigen Übergangsgebildungen häufig schief abgeflacht, und zwar ist dann die nichtsakralisierte Seite im allgemeinen niedriger (*Blumensaat*).



Abb. 100 (links). (Lichtbild des Lendenkreuzbeinrestes der massierten Wirbelsäule eines älteren Mannes. Ansicht von vorn.) Lumbosakrale Übergangsform des letzten praesakralen Wirbels. Beiderseits gelenkige Verbindung der stark verdickten Querfortsätze dieses Wirbels mit den Kreuzbeinseitenteilen mit beträchtlichen Randwulstbildungen am rechtsseitigen Gelenk und gleichseitiger Überknöcherung des Kreuzarmbeteiligteiles. Zahlreiche Randwulstbildungen an den Wirbelkörpern.

Abb. 101 (rechts). (Lichtbild des Lendenkreuzbeinrestes der massierten Wirbelsäule einer 72jährigen Frau. Ansicht von vorn.) Kreuzbein aus 6 Wirbeln bestehend. Die Querfortsätze des obersten Kreuzbeinwirbels sind nicht in ganzer Ausdehnung in den Seitendübeln des Kreuzbeins aufgegangen, sondern zeigen kurze, etwas nach oben gerichtete, stumpf Enden. Es handelt sich um eine lumbosakrale Übergangsform des letzten praesakralen Wirbels.

Ein bisher einzig dastehender Fall von ausgedehnter „einseitiger Sakralisation“ wurde von Röderkamp im Röntgenbild gesehen. An der Lendenwirbelsäule zeigte sich eine so große Verbreiterung aller Querfortsätze einer Seite daß sie untereinander gelenkige Verbindungen eingegangen waren. Györy bildet einen Fall ab bei dem einseitig der 1–5 Lendenwirbelquerfortsatz durch eine breite ununterbrochene Knochenbrücke verbunden sind. Es ist aber unklar ob es sich um eine angeborene Verbreiterung und Verschmelzung der Querfortsätze oder um eine Myositis ossificans handelt. Verdickung mehrerer Lendenwirbelquerfortsätze beschreibt Meres (Vgl. Abb. 81).

Die Bildung von Variationen am Lenden-Kreuzbein Übergang erstreckt sich aber nicht nur auf Veränderungen an den Querfortsätzen und am Wirbelkörper selbst, sondern meist sind auch die kleinen Wirbelgelenke beteiligt. Je nach Stärke der Angleichung an das Kreuzbein können die kleinen Gelenke einseitig oder doppelseitig verknöchert sein oft sind nur verkümmerte Gelenkfortsätze am Übergangswirbel vorhanden. Die unter dem Übergangswirbel liegende Zwischenwirbelscheibe zeigt im allgemeinen eine beträchtliche Höhenabnahme (Abb. 93) sie kann auch vollkommen verschwinden oder nur in kleinen Resten erhalten bleiben, wie sonst die 1 Kreuzbeinbandscheibe

Bei echter Lumbalisation soll die unter dem lumbalisierten Wirbel liegende Zwischenwirbelscheibe meist besonders hoch sein (*Blumentritt und Clewing*). Der Wirbelkanal hat am Übergangswirbel oft bereits eine deutlich dreieckige Form wie am Kreuzbein angenommen. Auch der Dornfortsatz zeigt bei ausgesprochenen Übergangswirbeln weitgehende Angleichung an die Form der kleineren Kreuz-



Abb. 102. Röntgenaufnahme eines schwedischen Kreuzbeins, bei dem außerdem noch eine linksseitige knöcherne Verbindung zum Kreuzbein besteht. Die beiden Kreuzbeinfortsätze stehen deutlich schräg nach oben aufgerichtet höher als die Kreuzbeinbecken. (gl. Abb. 103)

beinbeine. Auffallend ist daß in anatomischen Präparaten meist das Zwischenwirbelloch zwischen Übergangswirbel und Kreuzbein keine wesentliche Verkleinerung und Einengung aufweist (*Blumentritt und Clewing*). Eingehend würdigt *Kischkoff* die Bedeutung der Übergangswirbel für die Beckenformen (*Asimilationsbecken*) und die sich daraus ergebenden Geburtsschwierigkeiten. Nach *Imhäuser* leiden 50 v. H. aller Träger von lumbosakralen Übergangswirbeln an Hüftgelenkkrankungen.

Die zahlreichen, mit der Bildung von Übergangswirbeln einhergehenden Veränderungen (Gelenkbildung, Skotose, Verkleinerung des Wirbelkanals, Höhenabnahme der Zwischenwirbelscheibe usw.) sind in ihrer Beziehung zu Krebsschmerzen immer und immer wieder untersucht worden. *Berkelett* und *de Rossi* waren die ersten, die auf diesen Zusammenhang eindringlich hingewiesen haben, während man dieser Ansicht in Deutschland lange Zeit abweisend gegenüberstand (*Schüller* u. a.). Inzwischen ist von vielen Klinikern das Krankheitsbild der „lumbalen Übergangswirbel“ (*Rachialgia dorsolumba*) erkannt worden, wobei jedoch darauf hingewiesen wird, daß nicht das Vorhandensein des Übergangswirbels ausreicht, sondern erst das Hinzutreten von gewissen Veränderungen Schmerzen auslösen kann. Als solche in letzter Linie auftretenden Veränderungen an Übergangswirbeln sind zu nennen: Arthrose im neugebildeten Gelenk, Schleimbeutelentzündung, Periostritis, statische Beschwerden durch Skotose usw. Unmittelbare Nervenverletzungen infolge Nervenverwundung sind in dem et. an eingetragten Zwischenwirbelschichten werden im allgemeinen nicht erwartet werden, weil es sich hierbei um wesentlichen nur um Variationen des Rückenmarkes im Querfortsatz handelt. Also diese Fragen sind in der Schrifttum in großer Breite behandelt und müssen dort nachgelesen werden. *Alexander Beilen*, *Bohm*, *El*, *menant* und *Chau y Huts*, *Bernard Breil*, *Cherrier*, *Cl*, *meunier*, *Fabre* und *Ginsburg*, *Edouard Fournier*, *Gabetti*, *Grif*, *Hendrick*, *Holman*, *I*, *gibbison*, *Junghe*, *Klein*, *Königsberger*, *Lejart* und *I*, *gibbison*, *Leo Martinus*, *M*, *ward*, *M*, *g*, *Rosel*, *Meisner*, *Mitchell*, *O*, *Müller*, *W*, *Müller*, *Oleaga*, *Philipp*, *Perri* (der auch über Erkrankungen berichtet), *Patti* und *Sengilletti*, *Rohbeck*, *Rosch*, *Rutkowski*, *Sybal* und *Serra*, *Schneider*, *Schroder*, *Sengilletti*, *Stark*, *Talm*, *van*, *V*, *rik*, *W*, *me*, *W*, *Il* und *Dunn*, *W*, *riß*, *Wenzl*, *Wreden*, *Zonals* u. a. Das gleiche Schrifttum enthält auch Angaben über die Behandlungsarten und über Erfolge mit der operativen Entfernung vergrößerter Querfortsätze vom Übergangswirbeln.

5h. „Pseudosakralisation“ (erworbene lumbosakrale Übergangswirbel)

Bei den lumbosakralen Übergangswirbeln mit breit entwickelten Querfortsätzen kann sich — wie wir gesehen haben — eine gelenkige Verbindung zwischen dem Querfortsatz und der Seitenmasse des Kreuzbeins ausbilden. Es sind aber durchaus nicht alle Gelenkbildungen an dieser Stelle auf angeborene Variationen der Gelenkfortsätze zurückzuführen, sondern bisweilen kommen auch Gelenkbildungen zwischen normalen Querfortsätzen und Kreuzbeinseitenmassen vor wenn sich auf Grund anderer krankhafter Störungen diese beiden

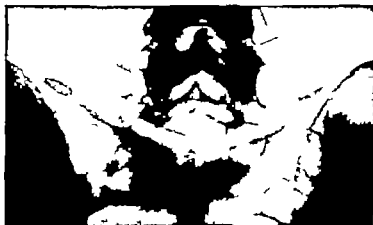
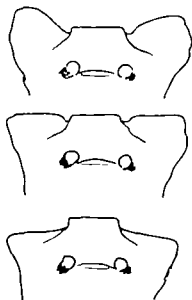


Abb. 103 (links) (Skizzen zur Darstellung der verschiedenen Ausgestaltung der Kreuzbeinseitenmassen. Die Kreuzbeinseitenmassen können höher (oben) ebenso hoch (Mitte) oder niedriger (unten) stehen als die Kreuzfortsätze.

Abb. 104 (rechts) (Röntgenaufnahme einer Lendenkreuzbeinengrenze im sagittalen Strahlengang) Doppelbelichtung des Ligamentum sacrotuberale das Apophyseal foramen vom Querfortsatz des letzten Lendenwirbels zur Darmbeinsehne (rechts) (Nach *Reiser*.)

Gebilde einander nähern. *Lubke* fand derartige Fälle in und meist erst bei Menschen über 60 Jahre Gelenkfortsätzen und den Seitenmassen des Kreuzbeins.

von ihm untersuchten Wirbelsäulen sehen regelrecht gebauten Querfortsätzen, wenn entweder die letzte Qua-

sakrale Bandscheibe durch Degeneration weitgehend zerstört ist (Lumbosakralarthrose *Hildebrand* *Hackl* *Williams* u. a.) und dadurch eine beträchtliche Höhenabnahme erlitten hat oder wenn der letzte Lendenwirbelkörper durch Fraktur oder Osteoporose stark zusammensinkt. Außerdem spielt dabei die Ausbildung der Kreuzbeinseitenfläche eine gewisse Rolle. *Goldthwait* schildert ausführlich, daß diese horizontal abfallend oder aufsteigend gebildet sein können, so daß sie höher oder tiefer liegen als die von der letzten Lendenbandscheibe bedeckte Basis des Kreuzbeins (Abb. 103). Die hochstehenden Kreuzbeinflügel erleichtern die Falschgelenkbildung mit dem Querfortsatz des letzten Lendenwirbels. In manchen Fällen mit ausgesprochenen arthrotischen Wucherungen in der Umgebung eines solchen neugebildeten Gelenkes wird es auch nicht immer möglich sein, mit Sicherheit zu entscheiden, ob nicht doch vorher eine gewisse Variationsbildung am Querfortsatz vorliegen hat, so daß manchmal eine scharfe Trennung zwischen echter Übergangswirbelbildung und erworbenem Übergangswirbel (Pseudosakralisation) nicht möglich ist.

5c. Verknöcherung der Ligamenta Sacrolumbale und Sacrosacrale

Die Ligamenta Sacrolumbale und Sacrosacrale entspringen gemeinsam als dorbos und straffes Bindegewebeband von der Spitze des Querfortsatzes des letzten lumbalen Wirbels und ziehen mit einem Teil der Fasern nach der Crista iliaca und mit einem breiten Teil nach der Innenfläche der Darmbeinschaukel und der Oberfläche der Kreuzbeinflügel. Wenn diese beiden Bänder Verknöcherungen aufweisen, kann dadurch der letzte lumbale Wirbel im Röntgenbild gewisse Ähnlichkeit mit einem Übergangswirbel aufweisen (Abb. 104). Wieviel bei der Verknalkung und Verknöcherung jener Bänder konstitutionelle Bildungsanomalien eine Rolle spielen, ist noch nicht geklärt. Die Verknöcherung kam schon bei jungen Menschen zur Beobachtung. Manche Forscher glauben, daß Entzündungserscheinungen zur Entstehung notwendig sind, andere wieder lehnen das ab und halten Verknöcherungen dieser Bänder für angeboren (*Blecke* *George* und *Leonard Simon*). Schrifttum und weitere Fälle bei *Doub* *Bockelmann* und *Kreuz*, *Janker* *Jungmann* *Lehmann* *Louman* *W. Müller* *Odesky* *Reisner* *Schredl* *Sorge*.

6. Variationen am Übergang vom Kreuzbein zum Steißbein

Da der Bildung von Übergangswirbeln an der Kreuzbein-Steißbein-Grenze nicht sehr viel praktische Bedeutung zukommt, ist diesen Verhältnissen bisher im Röntgenschrifttum nur wenig Beachtung geschenkt worden, obwohl hier ebenfalls reichlich Variationsbildungen auftreten. Die Häufigkeit von Übergangswirbeln wird an dieser Stelle schwankend mit 5–14 v. H. angegeben (*Adolph* *Frets* *Palerson* *Stietz*). Übergangswirbel können auch hier kopfwärts und steißwärts einseitig oder doppel-seitig nicht vollkommen knöchern geschlossen sind (steißwärts gerichtete Variante, wenn es sich dabei um den 5. Kreuzbeinwirbel handelt) oder daß der 1. Steißwirbel einseitig oder doppel-seitig knöchern mit dem unteren Teil der Kreuzbeinseitenmassen vereinigt ist. *Rosenberg* u. a. haben die verschiedensten Variationsformen beschrieben (s. a. Abb. 101).

Selten ist das Vorkommen eines „Wirbelschwanzes“ was im allgemeinen mit einem Ausbleiben der physiologischen Vorwärtskrümmung des Steißbeins erklärt wird. Die Zahl der Steißbeinwirbel ist dabei nicht vermehrt, die Wirbel sind aber oft etwas verlängert (*Hornitzki* u. a.).

E. Zusammengesetzte Wirbelsäulenfehlbildungen

1. Allgemeines

Wir haben versucht, die Einteilung an die wir uns bei der Besprechung der Wirbelsäulenfehlbildungen und Variationen gehalten haben, so zu treffen, daß die verschiedenen, auf Grund der entwicklungsgeschichtlichen Entstehung zusammengehörenden Gruppen zusammengefaßt dargestellt

wurden. Bei den etwa unübersichtlichen entwicklungsgeschichtlichen Vorgängen an der Wirbelsäule war dies nicht immer ganz möglich. Sehr häufig lassen sich ausgedehntere Fehlbildungen gar nicht einer der besprochenen Fehlbildungsformen angliedern, weil eine Zusammensetzung aus verschiedenen Fehlbildungen vorliegt die unter Umständen sogar noch aus verschiedenen Entwicklungsstufen stammen können. Derartige zusammengesetzte Fehlbildungen sind häufig, und sie werden



Abb. 105 (links). (Röntgenaufnahme der Wirbelsäule und des Kopfes eines Neugeborenen. Sagittale Strahlengangsverschmelzung zweier H. I. Wirbel zu großem Blockwirbel. Spaltung mehrerer Brustwirbel. Ausgesprochene Krenationsform der tiefer liegenden Brustwirbel.

Abb. 106 (rechts). (Röntgenaufnahme der Wirbelsäule eines Neugeborenen. Sagittale Strahlengangs.) Mediane Spaltung der Knochenkerne zahlreicher unterer Brustwirbelkörper und der oberen Lendenwirbelkörper mit gleichzeitiger Verschmelzung mehrerer Rippen und F. hien einiger Wirbel. Verschiedene Größe der Wirbelkörperhöhlen. Beträchtliche Skoliose und Kyphose.

besonders oft bei den mit Wirbelaufenmißbildungen einhergehenden nicht lebensfähigen Früchten gefunden (Abb. 105/106). Doch auch bei Wirbelsäulen älterer Menschen kommen öfter zusammengesetzte Fehlbildungen zur Beobachtung (Abb. 107/108). Es würde viel zu weit führen, hier alle vor kommenden Möglichkeiten aufzuzählen. Bisweilen finden sich in einem Wirbelsäulenabschnitt der starke Verdickung mit meist beträchtlicher Krümmung und Verkürzung zeigt so unübersichtliche Verhältnisse, daß sie sich der genauen anatomischen Zergliederung entziehen (*Gennari* mit *Borelli* und *Greisberg* u. a.). Verschmelzungen von Wirbeln, Wirbelkörper und Wirbelbögen halten Fehlen einzelner Halbsymptome überzahlige Halbsymptome beinhalten Segmentverschmelzungen und Variationsformen bilden dann ein schwer entzifferbares Gebilde, das die Beweglichkeit und Statik des betreffenden Wirbelsäulenabschnittes stark beeinträchtigt. Derartige Bildungen werden an allen Wirbelsäulenabschnitten beobachtet. An der Halswirbelsäule haben solche zusammengesetzte Fehlbildungen eine besondere Bedeutung erlangt (*Klippel-Feil*) und sie bedürfen deshalb einer gesonderten Besprechung.

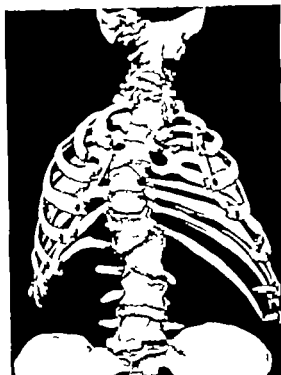


Abb. 108 (Lichtbild einer mißbildeten Wirbelsäule eines 32-jährigen Mannes.) Verschiedene unregelmäßig angeordnet Halswirbel und Wirbelverschmelzungen mit Skoliosenbildung Rippenverschmelzungen. (Präparat aus dem Pathologischen Museum der Universität Berlin, Beob. R. Böttke)

2. Klippel Feil Syndrom (Kurzhals)

Von Klippel und Feil wurde 1912 eine Form der angeborenen zusammengesetzten Mißbildungen der unteren Halswirbelsäule beschrieben, die infolge ausgedehnter Wirbelverschmelzungen mit beträchtlicher Halsverkürzung einher geht (Kurzhals, *homme sans cou*) so daß der Kopf unmittelbar den Schultern aufzusitzen scheint. In der Folgezeit sind noch zahlreiche Fälle veröffentlicht worden. Über die Entstehung des Klippel-Feil-Syndroms gehen die Ansichten auseinander. Beachtenswert sind vor allen Dingen die von Feller und Sternberg erhobenen Befunde nach denen neben verschiedensten Wirbelkörperfehlbildungen stets noch eine Bogenspalte der Halswirbelsäule besteht die durch Beteiligung des Hinterhauptbogens und die Form ihres Verschlusses gekennzeichnet und mit Verlagerungen von Teilen des Zentralservensystems verknüpft ist. Für die enge Beteiligung des

Abb. 107 (Röntgenaufnahme der Wirbelsäule einer 45-jährigen Frau. Sagittaler Verlauf.) Verschmelzungsform des 10. Brustwirbels. Verschmelzung des 11. und 12. Brustwirbels. Andeutung von Verschmelzungsform am 1. und dem folgenden hier nicht mit abgebildeten 2. Lendenwirbel.

ersten Systems spricht auch ein von Esau mitgeteilter Fall bei dem eine Hydroencephalocoele cerebri bestand, die operativ behandelt werden mußte. Guillaud und Mollaret fanden bei Kranken mit Klippel Feil Syndrom Querschnittslähmungen die sie auf eine gleichzeitig an der Wirbelsäule und im Rückenmark vor sich gehende Fehlbildung beziehen. Ihrer Ansicht nach können sich aber auch allmählich Nervenveränderungen dadurch einstellen, daß bei zunehmender Knochenverschmelzung Gefäßschädigungen (Fogge) und in zweiter Linie dann Rückenmarkschädigungen (Feil und Esau) auftreten können. Rozovsky schildert das Zusammenkommen von Klippel Feil Syndrom mit allgemeiner Polypondylie. Sehr häufig wird das Klippel Feil Syndrom zusammen mit

anderen Fehlbildungen (Schiefhals, Halsrippen, Schulterblatthochstand u. a.) beobachtet (*Rahm, Ingels und Lippert, Kufferath, Fuesli, H. Isler, Schwarzweller u. a.*). Es ist auch angenommen worden, daß das Klippel-Feil Syndrom nicht auf einer angeborenen Fehlbildung beruht, sondern durch intrauterine Entzündungen oder Verschmelzungen hervorgerufen wird (*Bauer*). *Kallius* bezeichnet das Klippel-Feil Syndrom als eine unformige Verschmelzung fehlgebildeter Wirbel zu einem zervikalen Block. Er weist mit Nachdruck darauf hin, daß nicht jede Synostose gut ausgebildeter Halswirbel zu dem Klippel-Feil Syndrom gehört. Im neueren Schrifttum sind noch zahlreiche Einzelfälle mitgeteilt: *Heumann, Reddiges, Canigiani, Dohde, Etacena, Feil und Ledau mit Fischer, Greenberg, Kallius, Kuntz, Lent, Odén, Partsch, Pytel und Sajacic, Rockman, Schulz, Schwarz, Smoot u. Timmerkamp, Ullax und Gordon, Waller, Weninger u. a.* Die bereits erwähnten Befunde von *F. Isler* und *Greenberg* mit gleichzeitiger Beteiligung des Nervensystems verdienen besondere Beachtung.

III Die krankhaften Veränderungen am Knochengerüst der Wirbelsäule

A Einleitung

Unter Berücksichtigung praktischer Erwägungen werden im folgenden zunächst die Veränderungen am Knochengerüst der Wirbelsäule und getrennt davon (Kap. IV) diejenigen der Zwischenwirbelscheiben besprochen. Da an der Wirbelkörperbandscheibenreihe enge Beziehungen zwischen den knöchernen Wirbelkörpern und dem Bandscheibengewebe bestehen, gibt es allerdings nur wenige krankhafte Veränderungen, die den einen der beiden Aufbauteile allein betreffen. Der andere Aufbauteil wird entweder unmittelbar in den Krankheitsvorgang mit einbezogen oder er erhält in zweiter Linie Veränderungen, die seine Form, seine Elastizität oder seine Beweglichkeit in Mitleidenschaft ziehen oder er beeinflußt durch seine funktionelle Tätigkeit den erkrankten Teil. Wir werden deshalb an vielen Stellen unserer Besprechungen auf vorher Geschildertes zurückgreifen oder auf Späteres hinweisen müssen. Bismal lassen sich Wiederholungen einzelner Tatsachen nicht ganz vermeiden. Verschiedenen Veränderungen, die die Wirbelsäule als Gesamtheit betreffen, sind eigene Abschnitte gewidmet.

Bei den seltenen Knochenkrankheiten läßt sich eine einwandfreie Gruppeneinteilung nicht immer durchführen, da die Ätiologie mancher Krankheitsbilder noch ungeklärt ist. Die genauere Einordnung nach ätiologischen Gesichtspunkten muß für diese Krankheitsgruppen der weiteren Forschung vorbehalten bleiben. Dies ist um so mehr deshalb nötig, weil wir noch weit davon entfernt sind, bei allen Knochenkrankheiten das immer vorhandene Zusammenspiel von innersekretorischen Vorgängen, Ernährungseinflüssen, Stoffwechselstörungen und Infektionen in der richtigen ätiologischen Wertigkeit dieser einzelnen Faktoren genau zu übersehen.

B Gruppe der Osteoporosen (Knochenatrophie)

1 Allgemeines

Die als Osteoporose bezeichnete Veränderung des Knochengerüsts ist die häufigste aller das Knochengewebe befallenden Veränderungen, stellt aber keineswegs eine nach Ursache und pathologisch-anatomischem Geschehen einheitliche Krankheit dar. Vielgestaltige Vorgänge können in den gleichen Endzustand ausmünden (Abb. 109) und gleichzeitig oder wenigstens außerordentlich ähnlich im Röntgenbild aussehen. Für alle Formen ist die Verminderung von Zahl und Dicke der verkalkten Teile der Knochenbalkchen charakteristisch, wodurch die Ähnlichkeiten im Röntgenbild bedingt sind. An der Wirbelsäule führt jede Verminderung der Tragfähigkeit und des Widerstandes im Knochengewebe zu sehr typischen Formveränderungen der Wirbelkörper und zu Änderungen der Wirbelsäulenkrümmungen, auf die wir noch zurückkommen. Da in der Gruppe der Osteoporosen diejenige des alternden Menschen am häufigsten vorkommt, werden die wesentlichsten Veränderungen auch in diesem Kapitel dargestellt (Seite 73), während sich die übrigen Osteoporoseformen mit kürzeren Hinweisen erläutern lassen.

Wenn wir tiefer in das Verständnis der Vorgänge im Knochengewebe und insbesondere in die Zusammenhänge der Osteoporoseformen und ihrer verschiedenartigen Entstehungsursachen eindringen wollen, dann dürfen wir das Knochengewebe nicht nur als ein Gerüst für Haltung und Bewegung unseres Körpers ansehen. Über diese Tätigkeit hinaus dient das Knochengewebe durch seinen ständigen An- und Abbau als sehr wichtiges Stoffwechselorgan, das neben Speicherfunktionen ein immer in Bewegung befindliches Mineraldepot darstellt (*Umslager*). Seine Steuerungsaufgabe im P- und Ca-Stoffwechsel ist durchaus mit der Bedeutung vergleichbar, die die Leber im Zuckerstoffwechsel

ANBAU OSTEOBLASTEN Kalkifizierung	ABBAU OSTEOCLASTEN	GENERALISIERTE OSTEOPATHIEN	1 Kalkifizierung 2 Kalklozen 3 Matrixraum
		NORMAL	
		OSTEOPOROSE	
		OSTEOMALAZIE	
		RECKLINGHAUSEN	

Abb. 100 Schematische Übersicht über das Verhältnis zwischen Anbau und Abbau bei verschiedenen Knochenkrankheiten (linke Seite) das im Röntgenbild eine gleichartige Veränderung auf Zahl und Dichte der Knochenbälkchen zeigen (rechte Seite).

Im normalen Knochengewebe unterliegt der angebaute kalklose Knochen (Osteoid) einer regelmäßigen Verkalkung. Anbau und Abbau halten sich die Waage. Bei der Osteoporose vermindert sich der Anbau des kalklosen und verkalkten Knochens stark oder er erzeugt allmählich während der Abbau unverändert weiterläuft. Bei der Osteomalazie wird viel kalkloser Knochen angebaute, der aber nur spärlich erkalte und der Abbau geht regelrecht vor sich. Bei der Recklinghause'schen Krankheit ist der Anbau des kalklosen und des erkalten Knochens erheblich vermindert, der gleichzeitig der Abbau lebhaft gesteigert.

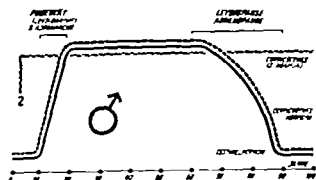
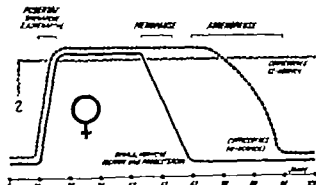


Abb. 110 Verlauf der für den An- und Abbau des Knochengewebes verantwortlichen Hormone (nach Briggs).

besitzt (Schüpbach). Einen übergeordneten Einfluß auf Knochenbildung und Knochenabbau üben einige Hormonarten aus wie Briggs gelehrt hat (Abb. 110). Die Ovarialhormone der Frau (beim Manne die Testikelhormone) und bei beiden Geschlechtern das Δ Hormon (Nitrogenhormon) aus der Nebennierenrinde wirken anregend auf die Osteoblasten und fördern dadurch den Knochenaufbau. Gegenätzlich dazu steht ein weiteres Hormon aus der Nebennierenrinde das Briggs als δ -Hormon bezeichnet (Sugarhormon) weil es Zuckerbildung aus Aminosäuren herbeiführt. Dieses kortikogene δ -Hormon hemmt die Osteoblastentätigkeit. Das führt zu Störungen des Elasticaufbaues in der Knochenmatrix und damit zur Osteoporose während die Ovarial- und Testikelhormone sowie das kortikogene Δ Hormon antiosteoporotisch wirken. In der geschlechtsreifen Zeit halten sich diese drei Hormonarten im Gleichgewicht. Die Tätigkeit der Osteoblasten und Osteoklasten, so daß der dauernde An- und Abbau im Knochengewebe in geregelter Form vor sich geht. Da das δ -Hormon während des ganzen Lebens in gleichbleibender Menge ausgeschüttet wird, die anderen beiden Hormonarten jedoch altersmäßigen Schwankungen unterliegen, tritt bei deren Nachlassen ein Überwiegen des δ -Hormons und damit eine Osteoporose auf. Bei der Frau entfällt dieser Zustand, wenn durch die Menopause die Ovarialhormone und durch die Adrenopause noch das kortikogene Δ Hormon geringer werden. Beim Manne tritt dieser ein beim Nachlassen der Erzeugung des Δ Hormons (Adrenopause) und des Testikelhormons (Leydigpause, weil der Leydig'sche Zwischenzellapparat in der Hormonerzeugung nachläßt). Die in Abb. 110 gezeichneten Kurven geben den normalen Ablauf der Hormontätigkeit während des Lebens wieder. Sie zeigen, wie bei der normalen Alterung bereits die antiosteoporotischen Hormone gegenüber dem Osteoporose erzeugenden δ -Hormon absolut abnehmen. Das führt zur senilen Osteoporose.

Ergibt sich infolge Störungen in der Erzeugung der antiosteoporotischen Hormone ein rascherer Absturz oder eine Verschiebung der Kurren in jüngere Lebensjahre dann sind auch Osteoporosen vor dem Senium möglich. Diese werden als präsenile Osteoporosen bezeichnet und fallen unter den Sammelbegriff „hormonelle Osteoporosen“ (Seite 80).

Den Ansichten Albright ist verschiedentlich widerprochen worden, doch kann auf diese Fragen hier nicht näher eingegangen werden (*Jeanneret* und *Hörtnagl*). Jedenfalls hat Albright mit seiner Lehre über die hormonal bedingten Osteoporosen eine einleuchtende Deutung für viele bisher ungeklärte Vorgänge im Knochengewebe gegeben, und wir sollten auf diesen Wegen weiterforschen. Ihre größte Wichtigkeit haben die Erkenntnisse über die hormonelle Ursache der Osteoporosen für die Therapie bekommen. Wir stehen nicht mehr machtlos und tatenlos solchen Kranken gegenüber sondern können durch entsprechende Hormonbehandlung schöne Erfolge erzielen, während aber Hormone (Überdosierung!) auch Osteoporose zu erzeugen vermögen, wie *Curts* mit *Clark* und *Herricks* von Cortison und ACTH behaupten (Kap. III H 2).

Machen wir uns diese Albright'sche Auffassung über die Entstehung der Osteoporose zu eigen, so ergibt sich — ganz gleich, ob Oestrogenmangel, Androgenmangel oder auch allgemeine Altersinvolution Ursachen der Osteoporose sind — als wesentliche Veränderung im physiologischen Geschehen eine Aktivitätsminderung der Osteoblasten bei gleichbleibender Tätigkeit der Osteoklasten, also das typische Bild der Osteoporose (Abb. 100). Die Osteoporose durch Aktivitätsminderung der Osteoblasten (Involution-osteoporose nach *Jeanneret*) ist eine echte Knochenatrophie mit Verminderung der Zahl und Dicke der Knochenbalkchen, und wir finden sie bei Inaktivitätsosteoporose, Altersosteoporose, Postmenopausaler Osteoporose, Osteoporose bei Ovaragenese, Osteoporose bei Eunuchoidismus, Osteoporose (durch S-Hormonüberproduktion) bei Morbus Cushing (S. 84).

Nach den neueren Ansichten (*Labhart* und *Schäpöck*) ist es wahrscheinlich, daß die Sexualhormone (die bei den erwähnten Osteoporoseformen also fehlen oder wenigstens vermindert sind) die Aufbauprozesse in der Skelettzelle besonders in den Osteoblasten aktivieren, während die Auffüllung des Skelettes mit Stickstoff, Phosphor und Kalzium erst in zweiter Linie durch den gesteigerten Aufbau angeregt wird.

Als eigenartige und wichtige Tatsache ist festzustellen, daß alle allgemeinen Osteoporosevorgänge besonders an der Wirbelsäule oftmals sogar allein an der Wirbelsäule ausgeprägt sind. Das hat mehrere Ursachen. Als wichtigste Grundlage dafür können wir das Vorkommen einer gezielten hormonellen Beeinflussung gewisser Skelettabschnitte annehmen wie es z. B. in der Auflockerung der Beckenknochen bei der Schwangerschaft bekannt ist. Unsere vielfachen Erfahrungen lassen es als sicher erscheinen, daß gerade bei den endogenen Osteoporosen eine Hormonwirkung mit Zielrichtung auf die Wirbelsäule und das Becken besteht. Als zweite Ursache verweisen wir auf die gute Blutdurchströmung und das blutbildende Knochenmark. Beides wird auch noch in höherem Lebensalter im Knochengerüst der Wirbelsäule gefunden. Dadurch ist eine rasche Variationsmöglichkeit im Stoffwechselgeschehen gegeben, und die Wirbelknochen sprechen auf alle vom Körper kommenden physiologischen und pathologisch gesteigerten Anforderungen an alle vom Körper kommenden physiologischen und pathologisch gesteigerten Anforderungen an alle vom Körper kommenden physiologischen und pathologisch gesteigerten Anforderungen an alle vom Körper kommenden physiologischen und pathologisch gesteigerten Anforderungen. Die dritte Ursache für die rasche Reaktion der Wirbel auf allgemeine Knochenkrankheiten und Altersveränderungen ist die besondere Belastung der Wirbelsäule unterliegt. Da die Wirbelsäule selbst bei Bettruhe und im Sitzen nie so entlastet werden kann wie die Gliedmaßenknochen, ergeben sich die hochgradigsten Formveränderungen der einzelnen Wirbelkörper und auffallende Fehlformen der Wirbelsäulenkrümmungen. Die besondere Belastung der Wirbelsäule ist auch der Grund, für die häufig bei allgemeinen Knochenkrankheiten gerade an der Wirbelsäule zuerst auftretenden Schmerzen. Das ist bei der Osteoporose ganz eindeutig der Fall und kommt auch bei verschiedenen Knochenmarkkrankungen und Blutkrankheiten vor.

2. Senile Osteoporosen

Die auffallendsten osteoporotischen Veränderungen im Wirbel bestehen in der Abnahme der Zahl und Dicke der Knochenbalkchen (Abb. 111). Die beim Jugendlichen breit entwickelten Knochenplatten, die ein regelmäßiges, widerstandsfähiges Flechtwerk bilden (Abb. 23), schrumpfen

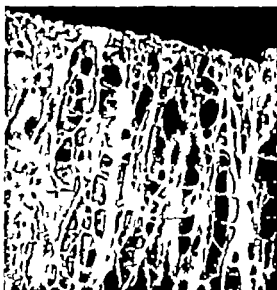


Abb. 111 (Planiertes Wirbelkörperstück einer alten Frau. Mehrfach vergrößert.) Blick in das stark porotische Spongiosagerüst. Gegenüber der regelrechten Spongiosa (Abb. 23) sind die Spongiosaplatten an Zahl und Dicke verringert und mehr durchlöchert.



Abb. 112 (links) (Leichtbild der bogenförmig behauften Fläche der Lendenwirbelsäule einer 59-jährigen Frau.) Starke Vorwölbung des Zwischenwirbelscheitels, des osteoporotischen Wirbelkörpers („Fischbauch“). An der 2. Lendenlandscheitelenden ein schwärzliches Knötchen. Die 3. Lendenlandscheitelende liegt noch nicht an denen vorwölbungen.



Abb. 112 (rechts) (Seitliche Röntgenaufnahme einer Hälfte) der in der Bogenfaltenlinie durchbohrten Lendenwirbelsäule einer 6-jährigen Frau. Nadel in der 1. Lendenlandscheitelende. Evidente Osteoporose mit hochgradiger Krümmung der 12. Brustlandscheitelenden ein schwärzliches Knötchen mit deutlich vortretenden Lendenknochenhülle

zu dünnen, zum Teil spinwebartig angeordneten Knochenbälkchen zusammen (Abb. 111). Auch die verhältnismäßig kräftige obere und untere Schlußplatte des Wirbelkörpers, die bisweilen sogar noch eine besondere Doppelung erkennen läßt, wird stark verdünnt und ihre Poren vergrößern sich. Es handelt sich dabei um ein Nachlassen des Knochenbaues bei normalem Knochenabbau (Abb. 100).

Alle am osteoporotischen Wirbelkörper makroskopisch erkennbaren Veränderungen (Verringerung der Zahl und Dicke der Knochenbälkchen, Zusammenbrüche unter Umständen auch Kallusbildungen) sind im Röntgenbild ebenfalls sichtbar. Nach den Versuchen von *Robnatz* wird die Entkalkung erst dann im Röntgenbild sicher erkannt, wenn sie 50 v. H. beträgt. Dabei kommen bisweilen infolge der Verringerung der Knochenbälkchen die waagrecht durch den Wirbelkörper ziehenden Gefäßkanäle (S.) wieder deutlich als Aufhellungstreifen zum Vorschein (*Pütz*) und können differentialdiagnostische

Bedeutung erlangen (Verwechslung mit Wirbelquerfrakturen).

Das weitere Schicksal des osteoporotischen Wirbelkörpers, der erheblich von seiner Tragfähigkeit verliert, beruht nicht allein auf der allgemeinen Belastung, die die gesamte Wirbelsäule zu tragen hat, sondern es wird einerseits ganz wesentlich vom Elastizitätszustand der Zwischenwirbelscheiben bestimmt und hängt andererseits von der Richtung der auf dem Wirbelkörper lastenden Kraft ab, die infolge der physiologischen — oder auch der krankhaften — Wirbelsäulenkrümmung in den einzelnen Abschnitten der Wirbelsäule sehr verschieden ist.

Von seiten der Zwischenwirbelscheiben wirkt der Ausdehnungsdruck der Gallertkerne auf die angrenzenden Wirbelkörperoberflächen

Dieser Druck, der auf den normal gebauten Wirbelkörper abgestimmt ist, kann für einen osteoporotischen Wirbelkörper zu hoch sein. In einem solchen Falle buchtet sich die Zwischenwirbelscheibe besonders in der Gegend des Gallertkerns, halbkugelig in die beiden benachbarten Wirbelkörper vor (Schmorl). Dabei werden die Knorpelplatten, die zwischen knöchernen Wirbelkörperschlüssen



Abb. 114 (links) (Lichtbild der Sagittalschnittfläche der Lendenwirbelsäule einer 77-jährigen Frau.) Hohegradige Osteoporose. Vorbuchtung der Zwischenwirbelscheiben in die osteoporotischen Wirbelkörper mit systemischen Erweiterungen der Gallertkernhöhlen in der 1. und 4. Lendenbandscheibe (zentral eingedellte Wirbelkörper oder „Fischwirbel“). Schwarte Knötchen an der 11. Brustbandscheibe unten, 12. Brustbandscheibe oben und 2. Lendenbandscheibe unten. Die letzte präsenile (3. Lendenbandscheibe) beteiligt sich nicht an den Vorbuchtungen (vgl. Abb. 112).

Abb. 118 (rechts) (Röntgenaufnahme des in der vorhergehenden Abbildung dargestellten Präparates. Nadel in der 1. Lendenbandscheibe.) Die osteoporotischen Wirbelkörper zeigen neben der ziemlich gerade verlaufenden oberen und unteren Begrenzung noch bogenförmig sich nach der Wirbelkörpermitte zu einbuchtende Umrisslinien, die durch die Vorbuchtung der mittleren Bandscheibenanteile hervorgerufen sind („Fischwirbel“). In der 2. Lendenbandscheibe eine doppelt- und in der 4. eine einfache, kleine, systemische Erweiterung der Gallertkernhöhle. Im Grunde der in den 4. Lendenwirbelkörper hinein erfolgten Zwischenwirbelscheibenausbuchtungen kleine Verknöcherungsherde

platte und Bandscheibe eingefügt sind, beträchtlich gedehnt. In hochgradigen Fällen können sie sogar zerreißen, wodurch Zwischenwirbelscheibengewebe in die Spongiosaräume des Wirbelkörpers hernienartig eindringen kann, was zur Bildung von sog. „Schmorl'schen Knötchen“ führt (Abb. 112 und 113) über die wir noch sprechen (Kap. IV C1). Diese Vorgänge werden durch Belastung und funktionelle Beanspruchung der Wirbelsäule verstärkt, weil dadurch der Gallertkern unter höheren Druck gesetzt wird, dem der osteoporotische Wirbel durch allmählichen Umbau entgegen-



Abb. 111 (Mazeneres Wirbelkörperstück einer alten Frau, schwach vergrößert) Blick in das stark poröse Spongiosagerüst. Gegenüber der regelrechten Spongiosa (Abb. 23) sind die Spongiosaplatten an Zahl und Dicke verringert und mehr durchlöchert

zu dünnen, zum Teil splunwebartig angeordneten Knochenbälkchen zusammen (Abb. 111). Auch die verhältnismäßig kräftige obere und untere Schlußplatte des Wirbelkörpers, die bisweilen sogar noch eine besondere Doppelung erkennen läßt, wird stark verdünnt und ihre Poren vergrößern sich. Es handelt sich dabei um ein Nachlassen des Knochenaufbaues bei normalem Knochenabbau (Abb. 109).

Alle am osteoporotischen Wirbelkörper makroskopisch erkennbaren Veränderungen (Verringerung der Zahl und Dicke der Knochenbälkchen, Zusammenbrüche, unter Umständen auch Kallusbildungen) sind im Röntgenbild ebenfalls sichtbar. Nach den Versuchen von *Dabrowsky* wird die Entkalkung erst dann im Röntgenbild sicher erkannt wenn sie 50 v H beträgt. Dabei kommen bisweilen infolge der Verringerung der Knochenbälkchen die waagrecht durch den Wirbelkörper ziehenden Gefäßkanäle (S. 2) wieder deutlich als Aufhellungstreifen zum Vorschein (*Pitren*) und können differentialdiagnostische

Bedeutung erlangen (Verwechslung mit Wirbelquerfrakturen).

Das weitere Schicksal des osteoporotischen Wirbelkörpers, der erheblich von seiner Tragfähigkeit verliert, beruht nicht allein auf der allgemeinen Belastung, die die gesamte Wirbelsäule zu tragen hat, sondern es wird einerseits ganz wesentlich vom Elastizitätszustand der Zwischenwirbelscheiben bestimmt und hängt andererseits von der Richtung der auf dem Wirbelkörper lastenden Kraft ab. Die infolge der physiologischen — oder auch der krankhaften — Wirbelsäulenkrümmung in den einzelnen Abschnitten der Wirbelsäule sehr verschieden ist.

Von selten der Zwischenwirbelscheiben wirkt der Ausdehnungsdruck des Gallertkerns auf die angrenzenden den Wirbelkörperoberflächen.



Abb. 112 (links). (Lichtbild der Sagittalschnittfläche der Lendenwirbelsäule einer 83-jährigen Frau.) Starke Vorwölbung des Zwischenwirbelscheibens in die osteoporotischen Wirbelkörper („Fischwarbel“). An der 2. Lendenbandscheibe unten ein Schmerzliches Knötchen. Das 3. Lendenbandscheibe betastet man nicht an diesem Vorwölbungen.

Abb. 113 (rechts). (Röntgenaufnahme einer Hälfte der in der Sagittalebene durchgesägten Lendenwirbelsäule einer 83-jährigen Frau. Nadel in der 1. Lendenbandscheibe.) Erhebliche Osteoporose mit Fischwarbelbildung. An der 1. Brustbandscheibe unten ein Schmerzliches Knötchen mit deutlich schattensender Knochenzone.

Dieser Druck, der auf den normal gebauten Wirbelkörper abgestimmt ist, kann für einen osteoporotischen Wirbelkörper zu hoch sein. In einem solchen Falle buchtet sich die Zwischenwirbelscheibe besonders in der Gegend des Gallertkerns, halbkugelig in die beiden benachbarten Wirbelkörper vor (Schmorl). Dabei werden die Knorpelplatten, die zwischen knöchernen Wirbelkörperschlüssen



Abb. 114 (links). (Lichtbild der Sagittalschnittfläche der Lendenwirbelsäule einer 77-jährigen Frau.) Hohegradige Osteoporose. Vorbuchtung der Zwischenwirbelscheiben in die osteoporotischen Wirbelkörper mit systischen Erweiterungen der Gallertkernhöhlen in der 1. und 4. Lendenbandscheibe (zentral eingedellte Wirbelkörper oder „Fischwirbel“). Schwarze Knötchen an der 11. Brustbandscheibe unten, 1. Brustbandscheibe oben und 2. Lendenbandscheibe unten. Die letzte lumbale (3.) Lendenbandscheibe beteiligt sich nicht an den Vorbuchtungen (vgl. Abb. 112).

Abb. 115 (rechts). (Röntgenaufnahme des in der vorhergehenden Abbildung dargestellten Präparates. Nadel in der 1. Lendenbandscheibe.) Die osteoporotischen Wirbelkörper zeigen neben der ziemlich gerade verlaufenden oberen und unteren Begrenzung noch bogenförmig sich nach der Wirbelkörpermitte zu einbuchtende Umrisslinien, die durch die Vorbuchtung der mittleren Bandscheibenteile hervorgerufen sind („Fischwirbel“). In der 2. Lendenbandscheibe eine doppelte und in der 4. eine einfache kleine systische Erweiterung der Gallertkernhöhle. Im Grunde der in den 4. Lendenwirbelkörper hinein erfolgten Zwischenwirbelscheibenausbuchtungen kleine Verkalkungsherde.

platte und Bandscheibe eingefügt sind, beträchtlich gedehnt. In hochgradigen Fällen können sie sogar zerreißen, wodurch Zwischenwirbelscheibengewebe in die Spongiosaräume des Wirbelkörpers hernienartig eindringen kann, was zur Bildung von sog. „Schmorl'schen Knötchen“ führt (Abb. 114 und 115) über die wir noch sprechen (Kap. IV C1). Diese Vorgänge werden durch Belastung und funktionelle Beanspruchung der Wirbelsäule verstärkt, weil dadurch der Gallertkern unter hohem Druck gesetzt wird, dem der osteoporotische Wirbel durch allmählichen Umbau bisweilen

unter gleichzeitiger Entwicklung kleiner Infraktionen nachgibt. Dabei ist es aber darauf in den Arbeiten Schmorl ausdrücklich hingewiesen wurde unerlässliche Voraussetzung, daß das Zwischenwirbelscheibengewebe keine Degenerationen zeigt und daß in besondere der Gallertkern seinen normalen Ausdehnungsdruck behalten hat.

Die Wirbelkörper erfahren durch diese Zwischenwirbelscheibenverbiegungen eine Einfeldung ihrer Grund- und Deckplatten, und auf sagittalen Sägeschnitten erscheint die Mitte der Wirbelkörper von oben und unten her zusammengedrückt (Abb. 112 und 114a). Dies läßt sich auch in Röntgenaufnahmen gut nachweisen. Man sieht dann neben der geraden, streichförmigen Projektion des Randes der Wirbelkörperoberfläche eine zweite, sich tief in den Wirbelkörper hinein vorwölbende Umförmigkeit (Abb. 113 und 115b). Nachdem Schmorl über solche Fälle auf den Tagungen des Orthopäden (1926) und Pathologen (1927) berichtete, haben Böron und Böron gleichartige Fälle unter dem Namen „zentral eingedellte Wirbelkörper“ und Böhm mit der Bezeichnung „Sanduhrform der Wirbel“ veröffentlicht. Am besten eignet sich für solche eingedellte Wirbelkörper die bei der Osteomalazie schon lange gebräuchliche Bezeichnung „Fischwirbel“, da die Wirbel der Fische normalerweise eine solche tiefe Einfeldung in der Kopf-Schwanz-Richtung enthalten (Schrifttum *Galm-Folger*).

Während bei normalen Wirbelsäulen das Gallertkerngewebe infolge seines Quellschwundes auf einem Sagittalschnitt durch die Wirbelsäule buckelförmig weit vorspringt, ist dies bei den in die osteoporotischen Wirbelkörper vorgebuchteten Zwischenwirbelscheiben trotz regelrechter Beschaffenheit des Gallertkerns nicht der Fall. Der Quellschwund ist also von der Vornöhlung in die benachbarten osteoporotischen Wirbelkörper vollkommen aufgebraucht worden. Genauere Einzelheiten darüber sind im Kapitel über die Zwischenwirbelscheiben geschildert (Kap. IV S. 151).

Daß die Wirbelkörperschlußplatten besonders in ihren mittleren Abschnitten von den Bandscheiben eingebuchtet werden, liegt zum Teil an der Lage des elastischen Gallertkerns, der gerade auf diese Stellen einwirkt. Zum andern Teil wird dieses Einsinken der mittleren Abschnitte aber deswegen besonders begünstigt, weil jede Wirbelkörperoberfläche hier an der siebartig durchlöchernden, wenig widerstandsfähigen knöchernen Schlußplatte besteht. Der Rand der Wirbelkörperoberfläche wird dagegen von der knöchernen Randleiste mit ihrer dichten Knochenoberfläche gebildet, die als ein Verstärkungsring wirkt. (Nach den Untersuchungen von Göckl trägt beim normalen Wirbel die Mitte der Wirbelkörperoberfläche 30 v. H. weniger als die Ränder.) Außerdem ist noch zu berücksichtigen, daß die äußersten Teile des Faserringes sehr dicht gefügt sind und die Wirbelkörperrand leisten fest aneinanderklammern. Auch aus diesem Grunde ist bei unverletzten Zwischenwirbelscheiben eine Höhenzunahme in den Randteilen des Zwischenwirbelscheibens kaum möglich.

Im wesentlichen haben alle eben besprochenen Veränderungen nur für die Lendenwirbelsäule Bedeutung. Hier sind schon normalerweise die Bandscheiben höher als in den anderen Abschnitten der Wirbelsäule, und es scheint auch hier der Ausdehnungsdruck des Gallertkerns beträchtlicher zu sein. Außerdem entspricht die Richtung der Belastung im Lendenteil mehr der Achsenrichtung der Wirbelkörper, während im Brustteil infolge der normalen Kyphose die Belastungsrichtung eine andere ist, wie gleich noch zu besprechen sein wird. Aus diesem Grunde stammen alle Abbildungen, die unsere bisherigen Ausführungen erläutern, von der Lendenwirbelsäule (Abb. 112 bis 115).

Ganz andere Vorgänge als die eben besprochenen Ausbuchtungen der Zwischenwirbelscheiben spielen sich in den höher gelegenen Wirbelsäulenteilen bei starker Osteoporose ab. Der untere Teil der Brustwirbelsäule allerdings enthält fast die gleichen Veränderungen, wie wir sie oben vom Lendenteil besprochen haben. Die mittlere und obere Brustwirbelsäule dagegen steht unter anderen Belastungsverhältnissen. Hier haben infolge der normalen Brustkyphose die vorderen Wirbelkörper die stärksten Druck auszuhalten. Bei osteoporotischen Wirbeln wirkt sich das in einem allmählichen Zusammenwinkeln der vorderen Wirbelkörperteile an. Dadurch entwickeln sich nach und nach an einigen übereinanderliegenden Brustwirbelkörpern nach vorn zugespitzte Keilwirbel. Der 6. und 7. Brustwirbel zeigen die Keilform am deutlichsten, weil hier die kyphosierende Kraft am stärksten einwirkt. Das keilförmige Zusammenwinkeln einiger übereinanderliegender Wirbelkörper hat eine bedeutende Zunahme der normalen Kyphose zur Folge (Abb. 116, 117). Im Gegensatz zu der später noch zu besprechenden „Alterskyphose“ (Kap. VI A 3), die auf Grund von Band-

scheibenveränderungen zustande kommt, möchten wir die soeben besprochene Kyphoseform „osteoporotische Kyphose“ nennen.

Bei osteoporotischen Keilwirbelbildungen im oberen Brustteil behalten die Zwischenwirbelscheiben in ihrer ganzen Ausdehnung ihre normale Höhe, sofern sie regelrechte Beschaffenheit haben und keinen Degenerationserscheinungen oder anderweitigen krankhaften Veränderungen unterliegen sind.

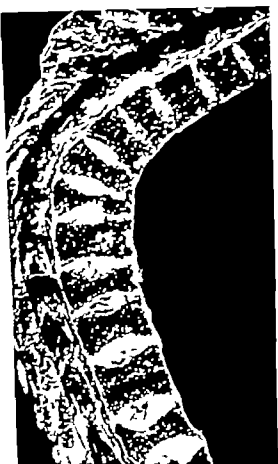


Abb. 116 (links). (Lichtbild der Sagittalschnittfläche der Brustwirbelsäule einer 63-jährigen Frau.) Kyphose durch Keilwirbelbildung m 6 und 7 Brustwirbel infolge Altersosteoporose. Geringe Fischwirbelbildung im unteren Brust- und im Lendenteil.



Abb. 117 (rechts). (Röntgenaufnahme eines Teiles des in der vorhergehenden Abbildung dargestellten Präparates.) Keilwirbelbildungen und Einbuchtungen der Zwischenwirbelscheiben in die Wirbelkörper („Fischwirbelbildungen“) sind deutlich sichtbar.

Wenn sie einen noch guten Quellungsdruck besitzen, können sie sich sogar ein wenig buckelartig in die Wirbelkörper hinein vorbuchten, was wir dies bei der Lendenwirbelsäule besprochen. Allerdings kommt dies nicht häufig und auch stets nur in geringem Grade vor (Abb. 116 117 118).

Neben den typischen Fischwirbelbildungen im Lendenteil und der keilförmigen Umgestaltung der mittleren Brustwirbel gibt es noch Veränderungen infolge von Osteoporose der Wirbelkörper, die ich nicht diesen typischen Bildern eingliedern lassen. Wir beobachten bisweilen, daß trotz Osteoporose aller Wirbelkörper nur einige von ihnen Veränderungen der geschilderten Art zeigen, während dazwischen Wirbelkörper mit gut erhaltener Form liegen (Abb. 119 120 121). Wahrscheinlich wirken bei der Entstehung solcher Bildungen kleinere oder größere Traumen mit, die gerade diesen Wirbelnenteile besonders betreffen und dadurch mehrfache kleine Infraktionen oder einen allmählichen Wirbelkörperzusammenbruch verursachen.

Weiter oben hatten wir besonders darauf aufmerksam gemacht, daß die typischen Fischwirbelbildungen nur eintreten können, wenn das Gewebe der Zwischenwirbelscheiben unversehrt ist. Im allgemeinen werden in höheren Lebensaltern aber nur sehr selten völlig gesunde Bandscheiben vor gefunden, worüber noch später ausführlich zu sprechen sein wird. Das gleichzeitige Vorhandensein von Osteoporose der Wirbelkörper und normalen Bandscheiben, das zur Bildung der Fischwirbel führt, ist also viel seltener als das gleichzeitige Vorkommen degener-



Abb. 118 (links). (Lateral Röntgenaufnahme der Brustwirbelsäule eines 71-jährigen Frauen.) Hochgradige Osteoporose, Zusammenbruch mehrerer übereinanderliegender Wirbelkörper mit geringer Kallusbildung (Schattenverdrichtungen), besonders in der Nähe der Grund- und Deckplatten, und klebrige Bandscheiben an den Wirbelkörpern (s. Abb. 119 rechts). (Lateral Röntgenaufnahme der Brustwirbelsäule eines 77-jährigen Mannes. Nadel in der 8. Brustbandscheibe.) Starke Osteoporose und 9. Brustwirbelkörper keilförmig nach vorn zusammengesenken mit starker Spongiosaschwundung (Kallusbildung).

rierter Bandscheiben und Altersosteoporose. In allen diesen Fällen werden zwar in Folge der Belastung und funktionellen Beanspruchung auch die osteoporotischen Wirbelkörper zusammensinken, die Zwischenwirbelscheiben können sich aber wegen ihres Elastizitätsverlustes nicht in die Wirbelkörper vorwölben. Es entsteht deshalb auch keine Fischwirbelbildung. Wir beobachten dann in der Lendenwirbelsäule die verschiedensten Formen des Wirbelchwundes. Zum Teil bilden sich Keilwirbel (Abb. 122, 123), ähnlich, wie wir das bei der Besprechung der Brustwirbelsäule ausführten, zum Teil sinken die Wirbelkörper im ganzen zu niedrigen Böcken zusammen (Abb. 124, 125).

Es hegt nahe für das Zustandekommen der verschiedenartigen Wirbelveränderungen bei der Altersosteoporose (Fisch-Platt- und Keilwirbel) echte Gewalttätigkeiten eine gewisse Rolle spielen. Die Beurteilungen ist jedenfalls vorsichtigste Abwägung geboten.

gen bei der
huldigen.
iv

Abb. 120 (oben links) (Rechtliche Röntgenaufnahme der Brustwirbelsäule einer 78-jährigen Frau. Nadel in der 1. Lendenbandelscheibe.) Beträchtliche Osteoporose mit Zusammenbrüchen mehrerer Wirbelkörper. Teilweise krüppelförmige, teilweise hochschulbäumliche

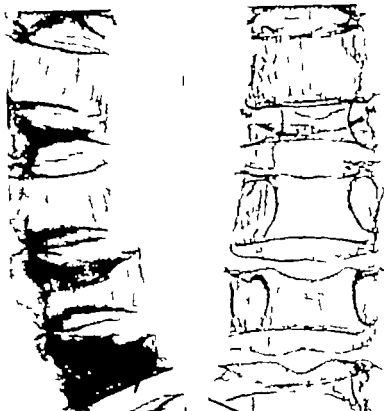


Abb. 121 (oben rechts) (Röntgenaufnahme der Brustwirbelsäule einer 78-jährigen Frau nach Abtragung der Wirbelbögen. Ansicht von oben. Nadel in der 1. Lendenbandelscheibe.) Aufnahme des gleichen Wirbelsäulensegmentes wie Abbildung vorher. Frochtkopfform der zusammengebrochenen Wirbelkörper.



Abb. 122 (Lichtbild der Sagittalschnittfläche der Wirbelsäule eines 67-jährigen Mannes.) Beträchtliche Osteoporose, Brause Degeneration und Zerküftung der Zwischenwirbelscheiben 12. Brust- und 2. Lendenwirbel sind krüppelförmig, die übrigen niedriger, teils geschnitten. Krone weist erhebliche Ausbuchtung des Bandscheibengewebes in die angrenzenden Wirbelkörper hinein.

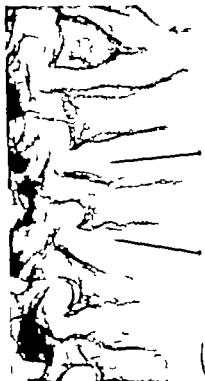


Abb. 123.
(Röntgenaufnahme des in der vorhergehenden Abbildung dargestellten Präparates. Nadel in der 1. und 2. Lendenbandelscheibe.)

der präsenilen Osteoporose ein (Kap. III B 3) und differentialdiagnostische Erwägungen gegenüber der Siedelschen Dystrophie (S. 91) und dem verspäteten posttraumatischen Wirbelkörperzusammenbruch (Kümmelsche Krankheit, S. 112) müssen angestellt werden.

Die Osteoporose der Wirbelbögen geht in ihrer Stärke stets mit der der Wirbelkörper parallel. Die Wirbelbogenreihe mit ihren Fortsätzen unterliegt aber anderen statisch mechanischen Bedingungen als die Wirbelkörperreihe und hat dadurch nicht derartige besondere Veränderungen aufzuweisen. Die kleinen Wirbelgelenke gleichen sich den durch die



Abb. 124 (links). (Lichtbild der Sagittalschnittfläche der Lendenwirbelsäule einer 77-jährigen Frau.) Hochgradige Osteoporose. 1 bis 3 Lendenwirbelkörper flach, nur wenig keilförmig zusammengesenken mit geringer Kyphosenbildung. Keine wesentliche Vorwölbung der Zwischenwirbelscheiben in die Wirbelkörper hinein, da die Zwischenwirbelscheiben degeneriert sind.



Abb. 123 (rechts). (Röntgenaufnahme des in der oberen Abbildung dargestellten Präparates.) Kleine wölbige Verschattung an der 3. Lendenbandelscheibe (Verkalkung).

osteoporotischen Wirbelkörperumbildungen geschaffenen Krümmungsänderungen der Wirbelsäule an, wie sie dies auch sonst bei Verkrümmungen tun.

Den beschriebenen Veränderungen entspricht das klinische Bild der Altersosteoporose deren Beginn an der Grenze vom 6 zum 7 Lebensjahrzehnt liegt. Vermehrung der Brustkyphose, Keil-Flach- und Plattwirbelbildungen sind die wesentlichsten Zeichen. Klinische Beschwerden bestehen meist nur in geringem Grade als leichte Rückenschwäche während bei der anschließend zu besprechenden präsenilen Osteoporose meist erhebliche Beschwerden vorliegen.

2. Präsenile Osteoporose

Im Gegensatz zu der schmerzfreien oder fast schmerzlosen Altersosteoporose gibt es in früheren Lebensjahren (nach Polgar bisweilen schon am Ende des 5. Lebensjahrzehnts beginnend) eine ausgesprochen mit Schmerzen einhergehende Form der allgemeinen Knochenatrophie mit Bevorzugung

der Wirbelsäule und des Beckens die den Namen „schmerzhaftes präsenile Osteoporose“ bekommen hat. Sie gehört dem Formenkreis der hormonal bedingten Osteoporosen an und beginnt beim Abklingen der Hormonkurven (Abb. 110). Wahrscheinlich spielt dabei ein verfrühter oder besonders rascher Abfall der Hormone eine Rolle. Meist erkrankten Frauen und man bezeichnet den Zustand dann als „postmenopausale Osteoporose“. *Decourt Gilly* und *Guillemin* sprechen von einer „forme fruste“ der Osteomalazie, weil manche Fälle mit hohen Vitamingaben zur Heilung zu bringen waren. Nach den Untersuchungen von *Albright* (S. 12) den Erfahrungen von *Schäpach* und auf Grund eigener Behandlungserfolge ist sowohl für Frauen als auch für Männer eine entsprechende Hormonbehandlung erfolgreich. Bei manchen schwierigen differentialdiagnostischen Erwägungen siebert erst der Erfolg der Hormontherapie die Diagnose. Oft ist gutachtlich zu entscheiden, ob die eingetretenen Wirbelkörperzusammenstürzen auf echte Gewalteinflüsse zurück gehen (*Junghans*) und es sind auch die Zusammenhänge zur *Sudeck'schen Dystrophie* zu klären. *Merkes* und *Jacob* beschreiben Krankheitsfälle die sich trotz aller Behandlungen schubweise verschlimmern. Weiteres Schrifttum: *Burrows* und *Graham Canigoni Jewner* und *Hörnagel Jewner* und *Kirschmayer Lehart* und *Schäpach Lapayère Lauber Paltrinen Schmitt Schäpach* und *Courroux Segre*.

4. Osteoporose bei Jugendlichen (Fischwirbelkrankheit)

So wie in den höheren Lebensaltern durch den physiologischen Abstieg der Hormonkurven (Abb. 110) die Altersosteoporose und durch einen verfrühten Absturz der antiosteoporotischen Hormone eine hormonelle Osteoporose entsteht, ist es auch denkbar, daß ein gestörter Aufstieg dieser Kurven während der Pubertät ein unphysiologisches Überwiegen des S-Hormons und damit eine krankhafte Hemmung der Osteoblastentätigkeit erzeugt. Die wenigen Fälle von Osteoporose bei Jugendlichen, die bisher beschrieben wurden, sind wahrscheinlich so zu erklären. Sie zeichnen sich durch eine besonders auffallende fischwirbelartige Verbildung zahlreicher Wirbelkörper aus (vgl. *Platypondria generalisata* S. 93) und laufen deshalb auch unter dem von *Landmann* vorgeschlagenen Namen „Fischwirbelkrankheit“ (*Catell Hammel Hohmann*).

5. Osteoporose durch Marasmus (Eiweißmangel) und Arzneimittel

Bei hochgradig verzehrenden Krankheiten stellt sich nach längerer Krankheitsdauer regelmäßig auch Knochenatrophie ein. Die Auswirkungen an der Wirbelsäule sind die gleichen wie bei der Altersosteoporose. Solche Zustände findet man im Verlauf der Tumorkachexie und bei langdauernder Tuberkulose. Auch junge Menschen können dieser marantischen Osteoporose unterliegen, und bei etwa der Hälfte aller Tuberkulosekranken kommt sie vor (*Lieckti*).

Die wesentliche Ursache dieser Osteoporoseformen ist wahrscheinlich ein starker Eiweißmangel. (Die Albumine sind Baustoffe der Knochenmatrix.) Ob Eiweißmangel allein zu Osteoporose führen kann, ist allerdings noch fraglich. Die durch den Marasmus gleichzeitig auftretenden Hormonstörungen spielen sicherlich eine nicht unwesentliche Rolle für die Entstehung dieser Osteoporoseformen.

Marantische Ursachen im Zusammenhang mit Stoffwechselstörungen sind wahrscheinlich auch die Ursachen für die beschriebenen Wirbelosteoporosen bei langdauernden Gallenfehlern (*Diedrich*) und bei Leberkranken (*Mayer*). Überdosierung von Hormonen (Kap. III B, S. 73) und vielleicht auch Mißbrauch mancher Arzneimittel können eine Osteoporose hervorrufen.

6. Rachitis und Osteomalazie

Obwohl die Rachitis sich durch Kalkarmut des Knochengengerüsts auszeichnet, kommen bei ihr die von der allgemeinen Osteoporose her bekannten Wirbelkörperveränderungen nicht in der gleichen Form (Flach- und Keilwirbel) oder wenigstens nicht so häufig vor. Die feingewebig feststellbaren Veränderungen sind im Wirbelknochen die gleichen wie an den sonstigen Knochen, aber die Veränderungen zeigen sich an den langsam wachsenden Wirbelkörperknochenkernen nicht so lebhaft wie an den schneller wachsenden langen Knochen. Trotzdem können sich im Knochenbalkchenwerk der Wirbelkörper ähnliche Querstreifungen wie an den übrigen Knochen zeigen, wenn durch Behandlungsmaßnahmen oder durch mehrmals wiederkehrende Krankheitschübe Änderungen des

Kalkgehaltes im wachsenden Knochengewebe entstehen (*Lyon, W. Müller*). Ob die von einigen Seiten mitgeteilten Befunde am Zwischenknorpel zwischen Wirbelkörper und bogen wirklich auf Rachitis zu beziehen sind und die Ursache für die Skoliose der Kinder (*Schede*) abgeben, scheint nach den von *Schworl* angestellten mikroskopischen Untersuchungen zweifelhaft.



Abb. 126 (links). (Lichtbild der Sagittalschnittfläche der Wirbelsäule einer älteren Frau.) Osteomalazie. Geringe Fischwirbelbildung im Lenden- und unteren Brustteil. Kyphose infolge Keilwirbelbildung und geringen Bandscheibenschwundes (vgl. Alterskyphose Abb. 355 bis 393).

Abb. 127 (rechts). (Röntgenaufnahme des in der vorhergehenden Abbildung dargestellten Präparates.) Fisch- und Keilwirbelbildungen. Spongiosa sehr granuliert, wenig gut gegliedert und ähnelt der bei Osteodystrophia fibrosa Beckenhäuser.

An der Wirbelsäule wird bei der Osteomalazie das Knochenbalkchenwerk durch Anbau von kalkarmem Osteoid in eine wenig gut gegliederte auf der Schnittfläche fein granuliert aussehende Knochenmasse umgewandelt (*M. B. Schmidt*). Deshalb ist bei oberflächlicher Betrachtung eine sichere Abgrenzung gegenüber der noch zu besprechenden Osteodystrophia fibrosa generalisata nicht möglich (Abb. 126). Auch im Röntgenbild kann die Knochenbalkchenzeichnung zu einer derartigen Verwechslung Anlaß geben (Abb. 127). Eine Verwechslung mit der diffusen Form des Paget ist unter Umständen ebenfalls möglich (*Schede*). Infolge der großen Weichheit und Nachgiebigkeit des Knochengewebes, die bei der Osteomalazie durch die Gestaltveränderungen des Beckens und des Brustkorbs bekannt sind, stellen sich auch beträchtliche Formveränderungen an der Wirbelsäule

ein. Diese gleichen im wesentlichen den Veränderungen bei der Osteoporose (Fischwirbel Keilwirbel mit Kyphose flach zusammengedrückte Wirbelkörper usw.) Die Bezeichnung „Fischwirbel“ war ursprünglich für osteomalatische Wirbel gebräuchlich wie bereits erwähnt wurde. Die durch Keilwirbel bedingte Kyphose der Brustwirbelsäule bei Osteomalazie kann sich bis zum ausgeprochenen Gibbus steigern (Kresser).

Über die möglichen Beziehungen und Übergänge zwischen Osteomalazie und primärer Osteoporose ist weiter vorn berichtet (S. 81). Das Krankheitsbild „Milkman Syndrom“ hat mehr auch enge Beziehungen zur Osteomalazie, da ähnliche atologische Faktoren hierbei eine Rolle spielen. Hochgradige Osteoporosen der Wirbelsäule kommen dabei zur Beobachtung (Herold Hopf Lydia). Der Osteomalazie nahestehende Veränderungen im Knochengewebe finden sich bei Kadmiumvergiftungen (Lafitte und Gros).

7 Hungerosteopathie und Spree

Bei starken Hungerzuständen stellt sich eine erhebliche Osteoporose und Knochenverbiegung ein. Die dabei entstehenden hochgradigen Wirbelsäulenveränderungen (Abb. 128) gleichen den Befunden bei Altersosteoporose. Neben einer besonders gesteigerten Osteoklastenaktivität (Orrick) erkennt man im feingewebigen Bild Veränderungen im Sinne der Osteomalazie mit Osteoidkolumnen. Die Veränderungen werden deshalb auch von erschundenen Bearbeitern als Hungerosteopathie bezeichnet. Platt Keil und Fischwirbelbildungen und vor allem stark gerundete Totalkyphosen stellen sich ein. Die Hungererkrankten nach dem ersten Weltkrieg brachten die Krankheit häufig in allen Lebensaltern zur Beobachtung. Dross, Edelmann, Esler und Hesse, Girardier, Meulengracht, Purpus, Seale, Wernly.

Ganz ähnliche Veränderungen in der Wirbelsäule kann die Spree (Hübner, Hirt, H. E. K. u. g.) mit sich bringen, und zwar sowohl die kindliche Spree als auch die der Erwachsenen. Wahrscheinlich geht das auch für die tropische Spree. Neben Eisenmangel kommen Vitaminstörungen (C), intestinale Fettresorptionsstörungen und verminderte Resorptionsfähigkeit des Kalkums eine Veränderung des Knochenabbaus bei normalen Knochenabbau.

8. Seltene parasitische Osteopathien

Im Gefolge erschwerter Nierenkrankheiten stellt sich eine Osteoporose ein (Osteoporosis). Beziehungen zu den Nebenschilddrüsen, die dabei vergrößert gefunden werden, bestehen häufig. Deshalb gibt es Wechselwirkungsmöglichkeiten mit der noch zu besprechenden Recklinghausen'schen Krankheit (S. 87). Da bei Kindern im Stadium Veränderungen, ähnlich der Rachitis, zu finden sind, spricht man auch von „Recklinghausen'scher Krankheit“. Bei großer weißer Niere (Insulin) und bei einer großen Zahl von Kindern (Nieren) tritt auch bei Erwachsenen Osteoporose auf (L. Mager). Außer beim rezenten Zwergwuchs ist das Knochengewebe der Wirbelsäule an deren Erkrankung nicht wesentlich beteiligt, zum mindesten erleidet es keine großen Gestaltveränderungen.

Beim Morbus Basedow spricht Meulengracht von einer „bösen Osteomalazie“. Bei allen Langdauernden Hyperthyreosen tritt eine Osteoporose (L. Mager) ein, die nach unseren bisherigen Beobachtungen in der Wirbelsäule keine erheblichen Veränderungen hervorruft.

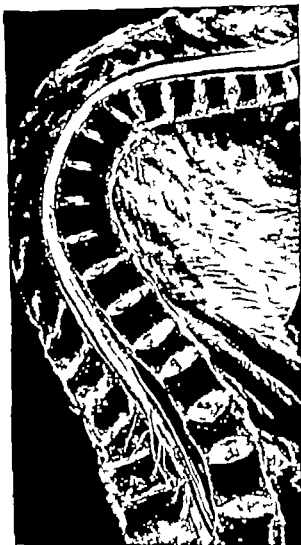


Abb. 128 (Lichtbild der Sagittalschnittfläche der Wirbelsäule einer an den Folgen der Hungerosteopathie nach dem Krieg gestorbenen älteren Frau). Hungerosteopathie mit Fischwirbelbildungen im Lenden- und Brustteil sowie Keilwirbelbildungen im Brustteil. Außerdem bestehen Bandscheibenverknöcherungen vorn im Bereich der Kyphose als Ausdruck einer „Alternalkyphose“ (vgl. Abb. 203).

Auf intern-ekretorischen Störungen beruht auch die seltene Kaschia B k K ank It über die unsere eigenen Erfahrungen fehlen. Plattwirbelbildungen, erhebliche Kypbosen, deutliche Osteoporose, und schließlich auch noch Zwischenwirbelscheibenzerstörungen werden beschrieben (Schrifttum bei Loeckel).

Starke Wirbelatulenosteoporose besteht immer bei der Cushing Krankheit die auf ein bausophiles Adrenom der Hypophyse zurückgeht und noch zu weiteren Veränderungen führt (osteoporotische Fettsucht). Auch durch Hyperplasie oder Tumoren der Nebennierenrinde kann sie ausgelöst werden. Zusammenbrüche und Formveränderungen der Wirbelkörper sind meist reichlich vorhanden (*lebensy Cushing*).

Nach Ansicht von Albright ist eine übermäßige Ausschüttung von δ -Hormonen (Abb. 110) wesentliche Ursache für die Osteoporose bei der Cushing-Krankheit.



Abb. 129 (Mikrophotogramm eines Schnittees durch einen Wirbelkörper bei *Osteodystrophia deformans* Paget.) Verbreiterung der einzelnen Knochenbälkchen, die ihre normale Zeichnung verloren haben. Deutlich ausgebildete „Mosaikstruktur“

Knochenkrankheiten zu sein. Sie ist wesentlich häufiger als bisher nach dem klinischen Schrifttum angenommen werden mußte. Schmorl der insgesamt 190 Fälle von Paget Erkrankung untersuchen konnte fand bei 3 v. H. aller Leichenöffnungen (13mal bei 4603 reihenmäßig untersuchten Leichenöffnungen) eine Paget Erkrankung im Knochengestüst.

Von 2264 Männern über 40 Jahre waren 80 (= 3,5 v. H.) und von 2253 Frauen über 40 Jahre 68 (= 2,5 v. H.) an *Ostitis deformans* erkrankt. Vor dem 40. Lebensjahr wurde überhaupt kein Fall dieser Erkrankung entdeckt. In sehr starkem Widerspruch zu der bisherigen allgemeinen Ansicht, daß die *Ostitis deformans* am häufigsten in der Tibia anzutreffen ist, stehen die bei der eben erwähnten Zusammenstellung gefundenen Werte über die Beteiligung der einzelnen Knochen an der Pagetischen Erkrankung. Die Tibia kommt hier erst an 9. Stelle. Sie war nur bei 8,4 v. H. der Paget Fälle erkrankt. Weitens am häufigsten erkrankten das Kreuzbein (in 52,79 v. H. der Paget Fälle) und einzelne Wirbel (in 30 v. H.). Die gesamte Wirbelsäule wurde in 4,5 v. H. der Paget-Fälle verändert gefunden. Weiterhin konnten folgende Häufigkeitswerte für die Beteiligung der einzelnen Knochen aufgestellt werden: Rechtes Femur 31,16, Schädel 26,19, Brustbein 23,19, Becken 21,72, linkes Femur 15,2, Schlüsselbein 12,04, Rippen 1,23, Schulterblatt 4,24 und Humerus 4,24 v. H.

Die *Osteodystrophia deformans* kann als rein monostotische Form (nur in einem einzigen Knochen) auftreten, sie kann aber auch mehrere oder viele Knochen, einen bestimmten Abschnitt des Knochengestütes und in sehr seltenen Fällen fast das gesamte Knochengestüst befallen. In 6,5 v. H. der Fälle Schmorls war die gesamte Wirbelsäule von der Krankheit ergriffen, während einzelne Wirbel in der Hälfte aller Paget Fälle beteiligt waren. Durch dieses Auftreten an einzelnen oder verschiedenen Stellen des Knochengestütes unterscheidet sich die *Osteodystrophia deformans* von der *Osteodystrophia fibrosa Recklinghausen* die stets das ganze Knochengestüst verändert wie im nächsten Abschnitt besprochen wird. Eine Besonderheit der *Osteodystrophia deformans* besteht noch darin,

C. Osteodystrophiegruppe

1. Osteodystrophia (Ostitis) deformans Paget

Die früher unter der Sammelbezeichnung *Ostitis fibrosa* zusammengefaßten Knochenkrankheiten lassen sich heute auf Grund ihres mikroskopischen Aufbaues (*Schmorl*) und auch ihres allgemeinen Verhaltens in verschiedene Krankheitsbilder auflösen. Die von Paget geschilderte *Ostitis deformans* auch als *Osteodystrophia deformans* bezeichnet zeigt im mikroskopischen Bild (Abb. 129) die nur ihr eigentümlichen und durch Schmorl eingehend beschriebenen unregelmäßig angeordneten Kittlinien („Mosaikstruktur“). Von den verschiedenen Formen der Osteodystrophiegruppe kommt die *Osteodystrophia deformans* Paget am häufigsten vor (*Hallermann Schmorl*). Nach den ausgedehnten Reihenuntersuchungen Schmorls scheint sie neben der Osteoporose überhaupt die häufigste der allgemeinen Knochenkrankheiten zu sein. Sie ist wesentlich häufiger als bisher nach dem klinischen Schrifttum angenommen werden mußte. Schmorl der insgesamt 190 Fälle von Paget Erkrankung untersuchen konnte fand bei 3 v. H. aller Leichenöffnungen (13mal bei 4603 reihenmäßig untersuchten Leichenöffnungen) eine Paget Erkrankung im Knochengestüst.

Von 2264 Männern über 40 Jahre waren 80 (= 3,5 v. H.) und von 2253 Frauen über 40 Jahre 68 (= 2,5 v. H.) an *Ostitis deformans* erkrankt. Vor dem 40. Lebensjahr wurde überhaupt kein Fall dieser Erkrankung entdeckt.

In sehr starkem Widerspruch zu der bisherigen allgemeinen Ansicht, daß die *Ostitis deformans* am häufigsten in der Tibia anzutreffen ist, stehen die bei der eben erwähnten Zusammenstellung gefundenen Werte über die Beteiligung der einzelnen Knochen an der Pagetischen Erkrankung. Die Tibia kommt hier erst an 9. Stelle. Sie war nur bei 8,4 v. H. der Paget Fälle erkrankt. Weitens am häufigsten erkrankten das Kreuzbein (in 52,79 v. H. der Paget Fälle) und einzelne Wirbel (in 30 v. H.). Die gesamte Wirbelsäule wurde in 4,5 v. H. der Paget-Fälle verändert gefunden. Weiterhin konnten folgende Häufigkeitswerte für die Beteiligung der einzelnen Knochen aufgestellt werden: Rechtes Femur 31,16, Schädel 26,19, Brustbein 23,19, Becken 21,72, linkes Femur 15,2, Schlüsselbein 12,04, Rippen 1,23, Schulterblatt 4,24 und Humerus 4,24 v. H.

Die *Osteodystrophia deformans* kann als rein monostotische Form (nur in einem einzigen Knochen) auftreten, sie kann aber auch mehrere oder viele Knochen, einen bestimmten Abschnitt des Knochengestütes und in sehr seltenen Fällen fast das gesamte Knochengestüst befallen. In 6,5 v. H. der Fälle Schmorls war die gesamte Wirbelsäule von der Krankheit ergriffen, während einzelne Wirbel in der Hälfte aller Paget Fälle beteiligt waren. Durch dieses Auftreten an einzelnen oder verschiedenen Stellen des Knochengestütes unterscheidet sich die *Osteodystrophia deformans* von der *Osteodystrophia fibrosa Recklinghausen* die stets das ganze Knochengestüst verändert wie im nächsten Abschnitt besprochen wird. Eine Besonderheit der *Osteodystrophia deformans* besteht noch darin,

daß sie mit Vorliebe Stellen des Knochengerrüsts befällt an denen aus irgendwelchen Gründen bereits Knochenumbau oder Knochenanbau im Gange ist. An der Wirbelsäule kommt dies häufig an Randwülsten der Spondylois deformans vor (Abb. 131 13.) Hier können die für ein geübtes Auge gut erkennbaren Änderungen des Knochenbaues über die wir noch sprechen werden, vorhanden sein wenn irgendwo am Knochengerrüst ein *Page* Herd besteht. Gar nicht selten greift die

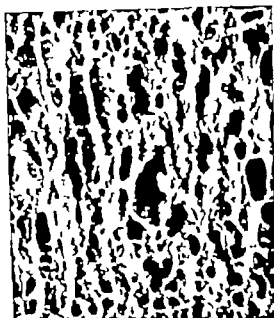


Abb. 130 (links). (Vergrößertes Lichtbild eines mazerierten Lendenwirbelkörperstückes.) Blick in das grobstrahnlige verdickte Spongiosagerrüst bei Osteodystrophia deformans Paget. Vergleich mit Abb. 23 140t des Unternschelld gegenüber den normalen, glättflächigen dünnen Spongiosaplatten deutlich erkennen.

Abb. 131 (rechts). (Vergrößertes Lichtbild eines Stückes aus einem mazerierten Brustwirbelkörper.) Blick in das Spongiosagerrüst bei Osteodystrophia deformans Paget mit mäßig starker Verdrückung (links) und Atrophie (rechts).

in einem Wirbelkörper entwickelte Osteodystrophia deformans längs neugebildeter überbrückender Randwülste auf die benachbarten Wirbelkörper über. Auch nach Wirbelbrüchen wird in solchen Fällen ein nach dem *Page* Typ gebauter Kallus gebildet (Abb. 130).

Wenn auch der histologisch feststellbare Gewebsaufbau der Osteodystrophia deformans stets einheitlich ist (Mosaikstrukturen, Kittlinien usw.) so gibt es doch verschiedene Erscheinungsformen im makroskopischen Aufbau, deren Besprechung im Hinblick auf die röntgenologische Differentialdiagnose wichtig ist. Das stets weiche und mit dem Messer schneidbare Knochengewebe des *Page* Knochens zeigt eine vergrößerte grobstrahnlige Knochenbälkchenzeichnung wobei die einzelnen Knochenbälkchen in manchen Fällen dichtgedrängt stehen (Abb. 130) in anderen Fällen wieder größere Hohlräume zwischen sich lassen (Abb. 131 132). Im ersten Falle sprechen wir von einer diffusen Form (blumsteinartiges Aussehen am mazerierten Präparat) die wir auch oft im Wirbelkörper antreffen können und die bei flüchtiger Betrachtung und auch im Röntgenbild den Eindruck einer geschlossenen Knochenmasse an Stelle des regelrechten Knochenbälkchenwerkes hervorrufen. Deshalb wurden sie von röntgenologischer Seite der Gruppe der „Elfenbeinwirbel“ (S. 100) oder „Marmorknochen“ zugerechnet (Abb. 133 140 141). Häufig tritt im Wirbelkörper aber eine andere Form des *Page* Knochens auf bei der sich im Wirbelkörperinnern vorwiegend Abbauvorgänge mit Höhlenbildungen einstellen. Die Knochenbälkchen im Bereiche der statisch mehr belasteten Wirbelkörperoberflächen und -seitenflächen erhalten dann aber eine besondere Verdickung aus grobstrahnligem *Page* Knochen, wodurch ein rahmenartiges oder kastenartiges Bild (Abb. 133 135 136) auf Schnittflächen durch solche Wirbelkörper (und auch in der Röntgenprojektion) erscheint. Die beiden Erscheinungsformen (gleichmäßige oder rahmenförmige Knochenbälkchen

verdichtung können auch zusammen in der gleichen Wirbelsäule (Abb. 141) beobachtet werden. (Gegenüberstellung des anatomischen Präparates und der dazugehörigen Röntgenbefunde bei Hallermann.) Trotz des raschen An- und Abbaues dem bei der Osteodystrophia deformans das Knochengewebe unterliegt, folgen die neugebildeten Knochenballknochen in ihrer Anordnung streng den Gesetzen der Statik. Das läßt sich immer sehr deutlich in Randwülsten oder an besonders verkrümmten Wirbelsäulenabschnitten erkennen (Abb. 134, 138)



Abb. 132. (Lichtbild der Sagittalschnittfläche einer mazerierten Wirbelsäule.) Typische Osteodystrophia deformans Paget. Vergrößerung der Spongiosazeichnung. Teil eine „Rahmenform“ teilweise Hohlformbildung in den Wirbelkörpern mit sekundären Verärgerungen in der Spongiosa.



Abb. 133. (Lichtbild der Sagittalschnittflächen zweier Brustwirbelsäulen.) Links Osteodystrophia deformans Paget eines Wirbelkörpers mit typischer Rahmenform. Rechts diffuse Form der Osteodystrophia deformans in drei Wirbelkörpern und den dazugehörigen Bögen. In den rechts dargestellten Wirbelkörpern ist besonders deutlich die Verdichtung des nach dem Pagettyp gebauten Knochens sichtbar. Der mittlere dieser erkrankten Wirbelkörper hat einen in dorsoventraler Richtung vergrößerten Durchmesser.

Da das bei der Osteodystrophia deformans neugebildete Knochengewebe verhältnismäßig weich ist, können sich in zweiter Linie die gleichen Formänderungen einstellen (Abb. 133 136) wie wir sie bei der Osteoporose beschrieben haben (Fisch, Platt-, Keilwirbel). Es sind am Paget-Wirbelkörper schon ausgesprochene pathologische Frakturen beschrieben worden (Albrecht, Kienböck und Serepki) wie dies auch von anderen Knochen der Osteodystrophia deformans bekannt ist. Übermäßige Bildung von Paget-Knochen ruft unter Umständen Druckerscheinungen auf das Rückenmark hervor (Weyck). Goldsborough stellte 30 derartige Fälle aus dem Schrifttum zusammen.

Die Wirbelbogenteile sind in den meisten Fällen von Osteodystrophia deformans der Wirbelkörper ebenfalls miterkrankt (Abb. 136 141). Sie können aber frei von der Erkrankung bleiben oder für sich allein ohne Mitbeteiligung des Wirbelkörpers Paget-Veränderungen zeigen. Auch umschriebene Wirbelkörperanteile können von Umbauvorgängen der Osteodystrophia deformans befallen sein. Kleine Knocheneinschlüsse in Zwischenwirbelscheiben die sich als Folgen von Bandscheibendegenerationen gebildet haben, sind beim Vorliegen anderweitiger Paget-Erkrankung oftmals nach dem Paget-Typ gebaut.

Umstritten ist immer noch die Frage nach der Ätiologie der *Paget* Erkrankung des Knochens. Man che feingewebige Untersuchungs-ergebnisse (*Erdheim Hadkofer Röhle*) und auch die eigenartige oben beschriebene Verteilung der Krankheit über das Knochengestüt ebenso wie das Befallensein aller während der Erkrankung entstehenden neuen Knochenbildungen (Frakturkallus, Randwülste) scheinen die Ansicht einer entzündlichen Ursache (chronische Osteitis) zu unterstützen. Der behauptete häufige Übergang in bösartige Umwandlung (nach *Chiari* u. a. bis zu 10 v. H.) läßt allerdings den entzündlichen Ursprung der *Paget* Erkrankung wieder etwas bezweifeln. *Hellner* und *Poppe* führen sie unter den entzündlichen Knochenkrankungen auf mit der Bezeichnung *Osteopathia deformans Paget*.

2. Osteodystrophia

fibrosa generalisata Recklinghausen

Wesentlich seltener als die *Osteodystrophia deformans Paget* kommt eine zweite Erkrankung des Knochensystems aus der Gruppe der Osteodystrophien vor die *Osteodystrophia fibrosa Recklinghausen*. Im Gegensatz zur *Paget* Erkrankung, die mehr als eine örtlich begrenzte Veränderung im Knochengestüt auftritt handelt es sich bei der generalisierten *Osteodystrophia fibrosa* um eine Allgemeinerkrankung des gesamten Knochengestütes.

Nach der großen Mehrzahl der Berichte aus dem Schrifttum (*Berner Dresser und Hampton, Gold, Hoffmeister Hunter Mandl Oehlcker Reynaud und Constantin, Simon, Snapper und Boerd u. v. a.*) ist die *Osteodystrophia fibrosa* mit Tumorer Epithelkörperchen (Epithelkörperchen Adenomi) vergesellschaftet deren Entfernung eine Besserung unter Umständen sogar eine völlige Heilung des Krankheitsvorganges herbeiführt. Von einigen Seiten wird die Bedeutung der Epithelkörperchen (Nebenschilddrüsen) allerdings abgelehnt (*Borchardt Jaurt Vigano u. a.*). Der Befund normaler Nebenschilddrüsen spricht jedoch nicht unbedingt gegen das Vorhandensein eines Epithelkörperchen

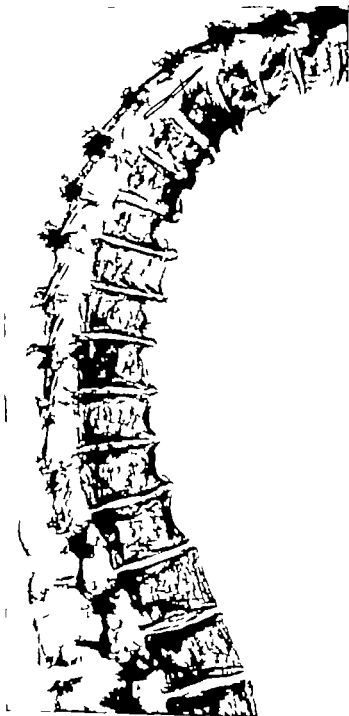


Abb. 134. (Seitliche Röntgenaufnahme einer Hälfte der in der Sagittalebene durchgesagten und mazerierten Wirbelsäule eines 81-jährigen Mannes.) Typische *Osteodystrophia deformans Paget* in allen Wirbelkörpern mit Andeutung von Rahmenform. Auch in den Randwülsten hat ein Umbau des Knochens nach dem *Paget*typ stattgefunden.

tumors, denn es sind schon mehrfach intrathyreoideal gelegene oder weit von der Schilddrüse entfernt sitzende Epithelkörperchentumoren beobachtet worden (*Halshofer Weeks u. a.*) *Hank* hat das Schilddrüsengewebe ausführlich zusammengestellt und bespricht auch die Frage, wie weit eine mit Akidose einhergehende Stoffwechselstörung die Grundlage für die Knochenveränderung und die Epithelkörperchentumoren abgeben kann. Starke Hyperkalzämie und leichte Hypophosphatämie sind charakteristisch. Im anatomischen Bild wird sie meist durch die an verschiedenen Skeletteilen auftretenden braunen Tumoren und Zysten gekennzeichnet (die



X



XX

Abb. 123 (links) (Seitliche Röntgenaufnahme einer Hälfte der in der Sagittalebene durchgezogenen Lendenwirbel eines 61jährigen Mannes.) Osteodystrophia deformans im 4. Lendenwirbelkörper und seinem Bogensteil. „Rahmenförmige“ Anordnung der Pagetstruktur im Wirbelkörper. Auch der kleine spondylotische Randwulst an dessen Wirbelkörper ist in Pagetknochen umgewandelt.

Abb. 126 (rechts) (Seitliche Röntgenaufnahme einer Hälfte der in der Sagittalebene durchgezogenen Lendenwirbel eines älteren Mannes.) Osteodystrophia deformans in zwei Wirbelkörpern und den dazugehörigen Bögen. Grobe Struktur an anteriorer Pagetarbeit (X X), ungeprägt Rahmenform mit atrophischen Stellen im Innern des Wirbelkörpers und flachwirbelförmlichem Zusammensetzen des Wirbelkörpers. Im oberem abgebildeten Pagetwirbel (X) deutlich grobstrahliges Struktur aber nur geringe Andeutung von Rahmenform. Einige senkrechte Verdrickungsbalken im Wirbelkörper. Bei beiden Pagetwirbeln sind die Bogensteile ebenfalls an Osteodystrophia deformans erkrankt. Sie zeigen eine grobstrahliges Struktur mit größeren porotischen Stellen.

Schmorl bei den beobachteten 100 Fällen von Osteodystrophia deformans *Paget* nie sah) Das mikroskopische Bild des Knochenmarkes gleicht meist dem bei Osteodystrophia deformans, aber der Aufbau des Knochengewebes (Fehlen der Mosaikstrukturen), die Architektur der Spongiosa (Abb. 142, 143) und der Kompakta der langen Röhrenknochen lassen eine Unterscheidung der Krankheitsbilder zu (*Schupp*). Bei der Osteodystrophia fibrosa finden sich im ganzen Knochen

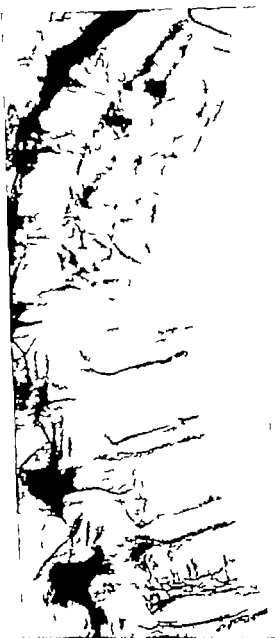


Abb. 132. (Lichtbild der Sagittalschnittfläche einer markierten Wirbelsäule.) Osteodystrophia deformans Paget in allen abgebildeten Wirbelkörpern. Verdickung der Spongiosa bälkchen und ausgesprochene blumsteinartige Beschaffenheit der dichteren Knochenmassen in den vorderen Wirbelkörpern. Die Erkrankung erstreckt sich auch auf die Randabsbildungen.

Abb. 137 (links). (Rechts: Röntgenaufnahme einer Hälfte der in der Sagittalebene durchschnittenen Brustwirbelsäule eines 82-jährigen Mannes.) Osteodystrophia deformans Paget zahlreicher Wirbelkörper. Die im kyphotischen Teil begrenzten Wirbelkörper sind zu einem Blockwirbel miteinander verschmolzen, der Paget-Knochen hat sich in seiner Struktur den Druckverhältnissen angepasst. Rahmenform des Paget in den übrigen betroffenen Wirbelkörpern. Bei allen betroffenen Wirbels sind auch die Wirbelbögen nach Pagetttyp

umbgebaut. Im Bereiche der Kyphose sind außerdem die kleinen Gelenke miteinander verschmolzen. (Es ist unklar, ob es sich in diesem Falle um eine ältere ausgedehnte Wirbelfraktur, wobei die Kallusbildung nach P. gettyp umgebaut ist, oder um Wirbelverschmelzungen nach bakterieller Infektion handelt.)

geru t reger Abbau und in den braunen Tumoren Blutungen und Riesenzellhaufen, während ein stärkerer Anbau nur an Stellen hervortritt, wo Frakturen und Infraktionen liegen.

Das Röntgenbild der Wirbelsäule zeigt bei der Recklinghausenschen Osteodystrophia fibrosa infolge Ausbildung einer dichtstehenden Spongiosa ein verwaschenes Aussehen (Abb. 144). Die Nachgiebigkeit des neugebildeten Knochengerüsts kann bei dieser Erkrankung typische, aber meist nur geringfügige Fleischwirbelbildungen hervorrufen (Abb. 145), wenn die Zwischenwirbelscheiben noch ihren normalen Ausdehnungsdruck haben. Im Brustteil beobachtet man hinwollen infolge des Nachlassens der Widerstandsfähigkeit des Knochenbalkchenwerkes das Zusammensinken einiger Wirbelkörper und eine dadurch hervorgerufene Verstärkung der normalen Brustkyphose.

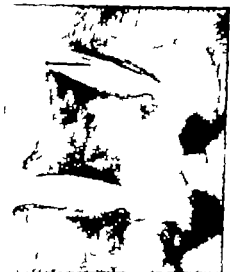


Abb. 139 (links oben). (Bedachte Röntgenaufnahme einer Hälfte einer in der Sagittalebene durchgezogenen Lendenwirbelsäule.) Osteodystrophia deformans Paget (Rahmenform) eines Wirbelkörpers, der außerdem fischwirbelsäulenähnlich zusammengesenken ist. Es handelt sich hier um eine alte Wirbelfraktur. Der Kallus dieser Wirbelfraktur ist nach Pagettyp umgebaut. Osteodystrophia deformans außerdem im zugehörigen Wirbelbogen.

Abb. 140 (links unten). (Bedachte Röntgenaufnahme einer Hälfte der in der Sagittalebene durchgezogenen Lendenwirbelsäule einer 76-jährigen Frau. Nadel in der 1. Lendenwirbelsäule.) Diffuse Form der Osteodystrophia deformans Paget im 2. Lendenwirbelkörper und -bogen („Elfenbeinwirbel“).

Abb. 141 (rechts). (Bedachte Röntgenaufnahme der in der Sagittalebene durchgezogenen und markierten Lendenwirbelsäule einer 88-jährigen Frau.) Osteodystrophia deformans Paget in allen Wirbelkörpern. Ausgesprochene Rahmenform am 1. Kreuzbeinwirbel, 4. und 5. Lendenwirbel, diffuse Form im Körper des 1. Lendenwirbels („Elfenbeinwirbel“) und in den Dornfortsätzen des 3., 4. und 5. Lendenwirbels.

3. Osteodystrophia fibrosa localisata

Die örtlich begrenzte Osteodystrophia fibrosa, die im allgemeinen nur bei jugendlichen Menschen beobachtet wird, und in Form von einzelnen Knochenzysten, häufig mit Spontanfrakturen auftritt, wird meistens an den Extremitätenknochen gefunden. An der Wirbelsäule sind bisher nur wenige

schwere Fälle von Osteodystrophia fibrosa localisata beschrieben worden. Dabei handelt es sich um zystenartige Hohlraumbildungen im Knochenbalkchenwerk, die zu Wirbelzusammenbrüchen Veranlassung geben können. An den Wirbelbogenfortsätzen stellt sich eine Aufreibung mit zystischer Hohlraumbildung ein. Die Zysten sind mit braunroten Massen gefüllt, die bei mikroskopischer Untersuchung den Tumoren der Osteodystrophia fibrosa generalisata ähneln (brauner Riesenzelltumor).

Da die Bezeichnung für die der Osteodystrophiegruppe zugehörigen Erkrankungen noch nicht einheitlich gehandhabt wird, sind die einzelnen Fälle nicht immer ganz klar einzuordnen. W. Möller beschreibt bei zwei jüngeren Menschen verschiedene Herde von „Ostitis fibrosa“ an der Wirbelsäule, die teilweise in Wirbelkörpern und teilweise in Wirbelbogenabschnitten sitzen. Nach dem Schrifttum sind die Wirbelbögen häufiger befallen (Idaon Fiorenza; Hellner Hansen; Kinsel; Konjetzny; Madelung; Matolcsy; Rebands; Ruggeri; Sick; Uiberall; Wanka; Walz u. a.). Es ist jedoch bei diesen Berichten infolge der schon erwähnten Uneinheitlichkeit der Bezeichnungsweise Vorsicht geboten. Entsprechende Fälle sind auch öfter zunächst als Sarkome angesehen worden, und wahrscheinlich werden sich im Schrifttum über die Wirbelarkome noch einzelne Fälle von Osteodystrophia fibrosa localisata finden (vgl. Kap. III L 4 S. 132). Hellner und Poppe halten die Bezeichnung Ostitis fibrosa localisata überhaupt für eine Fehlbezeichnung, unter der auch Riesenzelltumoren, jugendliche Knochenzysten u. a. Erkrankungen verbergen.



Abb. 142. (Vergrößertes Lichtbild eines mazerierten Wirbelkörperstückes.) Blick in das engmaschige Knochengerüst bei Osteodystrophia fibrosa generalisata (Rockinghamsen). Die Markräume sind stark eingesengt durch ein engmaschiges Gerüst von neuer Knochenbildung. Es besteht eine deutliche Verschiedenheit des Aufbaues gegenüber der regelrechten Spongiosa (Abb. 72) und dem Pagetknochen (Abb. 130 und 131).

4. Fleckige Dystrophie

Einige, in ihrer Einordnung noch nicht mehr geklärte, Krankheitsbilder an kindlichen Knochen sind unter dem Namen fibrose Dystrophie oder fibrose Dysplasie bekannt. Uebler hat durch Aufstellung eines übersichtlichen Schemas die Abgrenzung gegenüber anderen ähnlichen Knochenkrankheiten erleichtert. Ursache kommen Störungen der inneren Sekretion in Betracht. Wenn nur die Knochen befallen sind, spricht man von Jaffe-Lichtman-Krankheit und bei Mitbeteiligung der Haut von Albright-Syndrom. Beziehungen zur Neurofibromatose sind gegeben (Schrifttum bei Hellner, Lucchi, Neke u. a.).

5. Sudeck'sche Knochenodystrophie

Das von Sudeck beschriebene Symptomenbild an den Extremitäten, das sich nicht nur auf den Knochen beschränkt (wo es allerdings deutliche und die im Röntgenbild gut erkennbaren typischen Veränderungen der fleckigen Dystrophie hervorruft), sondern auch die Weichteile erheblich in Mitleidenschaft zieht, hat viele verschiedene Namen erhalten: Porose, Knochenatrophie, Gliedmaßenodystrophie usw. Es ist bisher an der Wirbelsäule noch nicht beobachtet worden. Sein Vorkommen erscheint uns aber auch in den Wirbelknochen durchaus möglich, jedoch fehlen darüber feingewebliche Untersuchungen und entsprechende Röntgenbilderserien. Vielleicht bestehen Beziehungen zu dem von Kessel beschriebenen v. Pott'schen Wirbelporose (M. 112). Dabei sind fleckenförmige Entkalkungsvorgänge (fleckige Osteoporose, fleckförmige Knochenporose) im Zusammenhang mit dystrophischen Veränderungen an den Knochenbalkchen und dem Knochenmark wahrscheinlich. Zukünftige Untersuchungen solcher Wirbelkörper sollten sich auch noch genauer auf die Umgebung beziehen (intervertebrale Bandscheiben, Zwischenwirbelscheiben) und die Frage klären, ob auch in diesem Gebiete dystrophische Vorgänge ähnlicher Art vorkommen, wie solche an den Weichteilen der Extremitäten bei Sudeck'scher Dystrophie gefunden werden konnten. Die häufigsten differentialdiagnostischen Erwägungen ergeben sich gegenüber den Osteoporosen (S. 71), worüber Jaffe-Lichtman auf der 18. Tagung der Deutschen Gesellschaft für Unfallkunde September 1935 in Oldenburg, berichtet. In seinem ausführlichen Buch über das Sudeck-Syndrom (1936) kommt H. Sudeck zu dem Ergebnis, daß ein Sudeck an der Wirbelsäule nicht erkennen ist und daß es

eine Spodylitis posttraumatica Kummell (Kap. III H 4) nicht gibt. Über Entstehung oder Beeinflussung einer Budeckschen Extremitätendystrophie durch Veränderungen an der Wirbelsäule (Zwischenwirbellosteose) siehe Kap. III F



Abb. 143 (links oben). (Lichtbild der Sagittalschnittfläche der Wirbelsäule einer 55-jährigen Frau.) Osteodystrophia fibrosa Beck-Hughanens. Strukturlose Spongiosaansammlung in dem mit Pfeil bezeichneten Wirbel und 2 Wirbel höher je ein kleiner brauner Riesenzelltumor



Abb. 144 (rechts oben). (Röntgenaufnahme des in der vorhergehenden Abbildung dargestellten Präparates.) Feinkörnige, gegenüber dem Pagetttyp mehr strukturlose Spongiosaansammlung. An deutung einer „rahmenförmigen“ Anordnung

Abb. 145 (links unten). (Röntgenaufnahme der in der Sagittalebene durchgezogenen Lendenwirbelsäule des gleichen Falles wie Abbildung vorher.) Osteodystrophia fibrosa Beck-Hughanens. Feinkörnige, gegenüber dem Pagetttyp mehr strukturlose teilweise auch „rahmenförmige“ Spongiosaansammlung. Feinkörnige, teilweise auch „rahmenförmige“ Spongiosaansammlung. Feinkörnige, teilweise auch „rahmenförmige“ Spongiosaansammlung.

D. Verschiedene seltene Erkrankungen im Knochengewebe

1. Lipoidosen (Xanthomatosen, Lipidzellengranulomatosen)

Bei Störungen im Lipidstoffwechsel kommt nicht allzu selten Beteiligung des Knochengewebes vor (Schrifttum bei *W. Fischer, Lazarew, Lyon, Pick u. a.*) Bei den drei bekanntesten Lipoidwechselerkrankungen (*Niemann Pick, Gaucher, Schüller-Christian*) ist eine Beteiligung der Wirbelkörper mehrfach beschrieben worden. Die Gaucher Zellen (Keratin Speicherung) können sich unter allmählicher Zerstörung des Knochenbalkchenwerkes von den Markräumen aus immer mehr ausbreiten und so den ganzen Wirbelkörper aushöhlen. Infarktionen und vollkommene Wirbelkörper Zusammenbrüche sind infolgedessen nicht selten (*Burton, Jung, Jørgen, Pick, Schönbauer*). Auffallend und wichtig zur Differentialdiagnose gegenüber der Tuberkulose ist dabei, daß sich im Anschluß an Wirbelkörperzusammenbrüche keinerlei Regenerationsneigung zeigt. Infolge des allmählichen Nachlassens der Widerstandsfähigkeit des Knochenbalkchenwerkes kommen in der Wirbelstule ganz ähnliche Veränderungen vor wie bei der Osteoporose (Keilwirbel, Fischwirbel). Nach *Pick* stellen sich im Knochenmark der Wirbel neben ausgedehnten Nekrosen auch noch fibröse Wucherungen als Aushelfungszustände ein.

Die allgemeine generalisierte Xanthomatose (Cholesterin Speicherung) die *Schüller-Christian*sche Krankheit (von *Chester* als Lipidzellengranulomatose bezeichnet) hat oft ausgedehnte Wirbelstulenveränderungen zur Folge. Dabei spielen sich in den Wirbelkörpern knochenauflösende und knochenverdichtende Vorgänge ab die solchen Wirbelstulen ein eigenartiges Aussehen verleihen (Abb. 146 und 147). Auch hierbei sind Keilwirbel und Fischwirbelbildungen häufige Begleiterscheinungen des Krankheitsgeschehens. Im mikroskopischen Bild sind die Wucherungen der Lipidzellen gut nachweisbar (*Schmorl, Chester*). Querschnittslähmungen kommen vor (*Grünwald*). Die schwierige Differentialdiagnostik ist u. a. bei *Hellner* und *Poppe* nachzulesen.



Abb. 146 (links) (Seitliche Röntgenaufnahme einer dünnen, aus der Sagittalebene des Brustteiles einer Wirbelstule herausgesagten Scheibe.) Lipidzellengranulom in der Wirbelstule mit unregelmäßig verteilten sklerotischen und porösen Herden und geringer Einbochtung der Bandscheiben in die Wirbelkörper hinein infolge Nachgiebigkeit des Knochengewebes.

Abb. 147 (rechts) (Seitliche Röntgenaufnahme einer Scheibe aus der Lendenwirbelstule des gleichen Falles wie Abbildung vorher.) Unregelmäßige Verteilung von Aufhellungs- und Verdichtungsherden.

2. Marmorknochenkrankheit Albers-Schönberg

Eine seltene und in ihrer Ätiologie noch nicht sicher geklärte allgemeine Erkrankung des Knochengewebes, die Marmorknochenkrankheit die *Albers-Schönberg* 1904 erstmalig beschrieb zeigt stets ausgedehnte Veränderungen an der Wirbelstule, häufig mit Ankylose verbunden. Wirbelkörper und Bogen haben auf dem Querschnitt eine gleichmäßige, grauweiße Beschaffenheit ohne jede Markraumbildung (*Dystrophia*) und ohne Knochenbalkchenzeichnung (marmorartige Beschaffenheit). Der Blutkalkgehalt ist dabei erhöht (*Schäfer u. a.*) Dem anatomischen Befunde entsprechend erscheinen die Wirbelkörper auch im Röntgenbild als dichte Knochenmassen ohne wesentliche Knochenbalkchenzeichnung. Nur bisweilen ist im Wirbelkörperinneren noch eine gewisse Aufhellung

der Zeichnung zu erkennen (*Glorieux Kopylow und Ramora Lauterburg W. Müller u. a.*) In der Mitte der Außenflächen zeigen die Wirbelkörper eine charakteristische horizontallaufende taillenformige Einschnürung (Fadenspulenform). Die Marmor-Knochenkrankheit geht mit einer besonderen Knochenbrüchigkeit an den Röhrenknochen einher. Ob sich die Wirbelstule an dieser Knochenbrüchigkeit wesentlich beteiligt, ist aus dem bisherigen Schrifttum nicht zu erkennen. Die histologischen Veränderungen bei der Marmor-Knochenkrankheit erinnern an die Osteodystrophia deformans Paget, so daß Christaller die beiden Krankheitsbilder vereinigen wollte. M. B. Schmidt, Schmidt u. a. lehnen dies aber vor allem auch deshalb ab, weil die Marmor-Knochenkrankheit im allgemeinen nur jüngere Leute, die Osteodystrophia deformans dagegen nur Menschen jenseits des 40. Lebensjahres befallt. Nach W. Müller verzögert sich bei der Marmor-Knochenkrankheit die Ausbildung und Verwachsung der knöchernen Wirbelkörperanränder, so daß endokrine Störungen in Erwägung gezogen werden müssen. Orel berichtet über recessive Vererbbarkeit des Leidens in einer Familie (*Dijkstra Pagenstecher*). Nach Hellner und Poppe ist die Marmor-Knochenkrankheit hereditär bedingt.

Die Ursachen und die genauen Abgrenzungen des Krankheitsbildes stehen aber noch keineswegs fest. Beziehungen zu später zu besprechenden Krankheiten (Osteosklerose bei leukämischen Erkrankungen, S. 96, Eilenbeinwirbel S. 100 usw.) müssen noch geklärt werden. Ackenbeck, Gerstel, Gortan, Harnapp. Ob die von Schwartz und Madand beschriebene Ostéite condensante der Marmor-Knochenkrankheit zugeordnet werden muß, ist fraglich (Kap. III Q).

2. Osteoposifilie

Die bei der Osteoposifilie im Knochengewebe beobachteten kleinen herdförmigen Spongiosaverdichtungen sind nur selten an der Wirbelsäule (meist in den Seitenmassen des Kreuzbeins und in Bogenfortsätzen) gewesen worden (*Ponsass und Katschew*). Wir geben deshalb hier nicht näher auf diese Erkrankung ab. Ein makroskopisch untersuchter Fall von Osteoposifilie, der aber keine Wirbelstulmbeteiligung zeigte, wird von Schmidt mitgeteilt. Weiteres Schrifttum Hook, Mascherus. Synonyma dieser Erkrankung Osteopathia condensans disseminata, Ostéite condensans generalisata, spotted bones.

4. Mälorrhöostose

Die Mälorrhöostose (*Leri*) die früher nur an den Extremitätenknochen bekannt war, ist eine seltene (*Uehlinger*) an den Außenflächen der Knochen vor sich gehende, sklerotische bandartige Knochenwucherung. An der Wirbelsäule wurde sie von Heydt und Lamedel beschrieben. Es fanden sich bei einem 29-jährigen Manne walzenförmige, sockenfußartige, dicht sklerotische Knochenauflagerungen, die essentially auf der Lendenwirbelstule entwickelt waren. Mikroskopische Untersuchungen fehlen darüber und die Entstehungsursachen sind unklar. Synonyma dieser Veränderung Osteopathia hyperostotica monomialis, Osteitis baransens monomialis, Flowing hyperostosis.

5. Hyperostosis generalisata

Eine in ihren Entstehungsursachen noch ungeklärt Erkrankung, in deren Spätstadien auch die Wirbelstule beteiligt wird, beschreibt *Uehlinger* als Hyperostosis generalisata mit Pseudodermie. Sie ist wegen der auftretenden Knochenverdickung auch als kronenartige Osteose zu bezeichnen. Vergrößerung der Knochen hülfenzeichnung und weitgehende Händerverknöcherungen mit Blockwirbelbildungen sind die typischen Zeichen des in der Pubertät und ausschließlich bei Männern auftretenden Krankheitsbildes.

6. Myositis ossificans progressiva

Ebenfalls von *Uehlinger* wird die fortschreitende Myositis ossificans als Erbkrankheit beschrieben. Sie führt bis zum Wachstumsabschluß zur völligen Versteifung aller Gelenke durch die sich in Muskelbändern und Sehnen bildenden Knochenbrücken. Der Knochen selbst verarmt an Kalk und zeigt das typische Bild der Osteoporose. An der Wirbelsäule tritt ähnlich wie bei der Spondylitis ankylopoetica (S. 254), als Ausdruck der Händerverknöcherung, die Bambusstabform auf.

7. Akromegalie und Osteoarthritis

Auch bei der durch das somatophile Adenom des Hypophysenvordertappens entstehenden Akromegalie kommen umgedehnte Veränderungen an der Wirbelstule vor. Ende an fand eine beträchtliche Vergrößerung der Wirbelkörper nach oben (akromegaler Zuwachs). Besonders interessant und eigenartig ist dabei der gleichzeitig beobachtete Abbau von Zwischenwirbelknorpeln, besonders an den zwischen den vergrößerten Wirbelkörpern liegenden Zwischenwirbeln (Schnitttum bei Chester). In manchen Fällen von hypertrophischer pulmonaler Osteopathie und ähnliche Wirbelkörpervergrößerungen beschrieben worden (Chester).

2. Kretinismus

Beim Kretinismus zeigt schon der bekannt Zwergwuchs (*Scriabody*) die Mitbeteiligung des Knochengengerüsts (atrophische endokrine Entwicklungshemmung). Die Knochenbildung in der Wirbelkörperendosteite und deren knöcherne Verschmelzung mit dem Wirbelkörper ist stark verringert. Später entstehen in den Zwischenwirbelräumen erhebliche Osteochondromen (*Lierki*) und krankhafte Wirbelstülpenkrümmungen kommen häufig vor.

E. Gruppe der „Flachwirbel“

1 Chondrodystrophie (Achondroplasia)

Die bei der Chondrodystrophie (Achondroplasia) bestehende Verkümmern der enchondralen Knochenbildung zeigt ihre Auswirkung auf die Wirbelkörper dadurch, daß die Wirbelkörperknochenkerne schon bei der Geburt nicht ihre regelrechte Größe haben. Sie sind wesentlich niedriger (flach-platt) als normal und behalten diese Form oft auch später. Die Kleinheit der chondrodystrophischen Zwerge ist also nicht allein durch die Extremitätenveränderungen, sondern auch durch die geringe Wirbelstülpenlänge mitbedingt (*Campbell Donath* und *Fogl Valentin* u. a.). Außer dem findet sich bei der Chondrodystrophie eine frühzeitige Verschmelzung der Wirbelkörper mit den Wirbelbögen unter Einengung des Wirbelkanals durch Unterentwicklung des Wirbelbogenknorpels (*Dietrich Sumita*). Die chondrodystrophischen Zwerge zeigen an der Wirbelstülpe starke Verkrümmungen, und zwar herrscht meist eine Buckelbildung am dorsolumbalen Übergang vor (*Dietrich M. Jansen Margwardt*). Im Scheitel der Krümmung findet man keilförmige Wirbelkörper, die außerdem im Bauch Rücken Durchmesser etwas verkürzt sind (*Dale Drekmann Hohmann Scriabody* u. a.). Nebenbei ist auf die besondere Häufigkeit von Bandscheibenvorfällen bei chondrodystrophischen Zwergen hinzuweisen (vgl. S. 167).

2. Platyspondylia generalisata

In einem gewissen Zusammenhang mit dem eben geschilderten Bild der chondrodystrophischen Wirbelstülpenveränderungen steht eine von *Dreyfus Lange Vilanova Putti Schröder Wahren Weil* u. a. beschriebene Wirbelstülpenveränderung, bei der sämtliche Wirbel eine besonders flache (platte) Form haben (Platyspondylia generalisata). Die Zwischenwirbelräume zeigen dabei regelrechte Höhe. Infolge der flachen, niedrigen Knochenkerne ist die Gesamtlänge der Wirbelstülpe auffallend gering. Schon bei äußerer Betrachtung solcher Menschen fällt daher das unrichtige Größenverhältnis zwischen Rumpf und Gliedmaßenlänge auf (*Campbell*). Nach den bisherigen Beobachtungen ist es noch nicht möglich, das Krankheitsbild sicher anatomisch abzugrenzen. Es bestehen häufig dabei Veränderungen auch an anderen Teilen des Knochengengerüsts, die für Chondrodystrophie sprechen. Deshalb hat man die generalisierte Platyspondylie auch als eine Wirbelstülpenchondrodystrophie angesehen (*Weil* u. a.). *Valentin* schlägt die Bezeichnung Osteochondropathia multiplex und *H. Müller* angeborener Wirbelstülpenverwachsung vor. Familiäres Auftreten ist schon mehrfach berichtet worden (*Dale Morgan Vilanova Ruggles Volhard* und *Drigalski*). Es fehlen jedoch noch Beobachtungen über den weiteren Verlauf. Bisher sind nur Fälle bei jungen Menschen beschrieben (vgl. *Landemann* „Flachwirbelkrankheit“ S. 81). Infolge der noch vorhandenen vielen Unklarheiten in bezug auf Ätiologie und pathologisch-anatomische Grundlage hat die Nomenklatur und Abgrenzung große Schwierigkeiten bereitet und zahlreiche Bearbeiter haben sich vergeblich um eine einheitliche Nomenklatur bemüht. *Beangen* und *Mater Buchman*, *Grudzinski Margwardt Marzani Polgar Vilanova Tarcner* und *Masias Putti Ros Roka Silverstein Sturm Thomas Uehlinger Zibler* und *Amaze* u. a.

3. Osteogenesis Imperfecta und Osteopanthrosis

Noch immer ist nicht entschieden, ob die Osteogenesis Imperfecta eng mit (*Frazer*) und die Osteopanthrosis, die auch als Osteogenesis Imperfecta (*Lehmann*) bezeichnet wird, wirklich zwei scharf trennbare Krankheiten oder eine Erkrankungseinheit sind. Beim Typus *Frazer* wird eine Herabsetzung der Osteoblastenaktivität gefunden. Sie entsteht wahrscheinlich durch angeborene Funktionsmangelhaftigkeit der Osteoblasten auf Grund einer mangelhaften Eiweißmatrix (*Hell er und Poppe*). Dadurch bilden sich im Wirbelkörper nicht standalone Markhöhlen (*Dietrich*) und die an sich gut entwickelten Knochenkerne in ihrem dichten roten Knochenmark nur spärlich Knochenbalkchen enthalten. Wirbelkörperzusammenbrüche können dadurch auftreten, aber

2. Lymphogranulomatose

Nachdem schon früher vereinzelte Fälle von Knochenveränderungen bei Lymphogranulomatose beschrieben waren (*Bloisot, Kuckuck Joly Hullen u. a.*) konnten Reihenuntersuchungen am



Abb. 149 (Steinbe Röntgenaufnahme einer Hälfte der in der Sagittalebene durchgezogen Brustwirbelsäule eines 66-jährigen Mannes. Dabei in der 6. Brustbandschleife) Etwa so fleckige allgemeine Osteosklerose bei Lymphogranulomatose der Wirbelsäule.

die blutbildenden Organe (Lymphdrüsen Milz und Knochenmark) befallt. Von anderer Seite wird sie als echte geschwulstmäßige Retikulomarkomatose aufgefaßt.

3. Plasmacytoma (Myeloma, Kahlersche Krankheit)

Die Myeloma (und auch die Myelomarkoma) sind als seltene allgemeine Erkrankungen des hämatopoetischen Apparates (*Hallermann Lyon*) aufzufassen. Sie kommen bei anatomischen Wirbelsäulenreihenuntersuchungen nur in 0,28 v. H. vor (*Schmorl*). Durch das Myeloma wird im Knochengewebe eine osteoklastische lakunare Knochenresorption hervorgerufen (Schädigung der histologischen Vorgänge bei *Hallermann*). Die einzelnen Knochenzerstörungsherde fließen bei Zunahme der

Schmorl'schen Institut (Tetzer) das häufige Befallen der Wirbelsäule bei Lymphogranulomatose klären (Übersicht 7 S. 134). Bei 9 Fällen von Lymphogranulomatose mit Knochenveränderungen fand sich 8mal eine Beteiligung der Wirbelsäule, und zwar waren stets mehrere Wirbel erkrankt. Bei 2 Fällen bestand eine herdförmige über alle Wirbel ausgebreitete Durchwucherung des Wirbelkörpermarkes mit Lymphogranulomgewebe. Dabei hatte sich eine fleckig verteilte Knochenhilfchenverdickung ausgebildet, die im Röntgenbild als fleckig verwaschene Osteosklerose erschien (Abb. 149). Derartige Osteosklerosen bei Lymphogranulomatose sind auch im klinischen Röntgenbild bekannt (*Hellner* und *Poppe de Stes mit Djan und Abdelmonia Tschendorf u. a.*). Neben Wirbelsäulenverdichtung können herdförmige Zerstörungen (*Osteolyse*) an derselben Wirbelsäule auftreten (*Bestke, Hellner* und *Poppe, Hullen Lasere* und *Povier Lyon Passat Beumer* und *Brande Koch Skudlner Uehlinger Wegemer*) und sogar zu Wirbelkörper zusammenbrüchen führen (meist Plattwirbel, seltener Flach und Keilwirbel). Fast regelmäßig bleiben die Zwischenwirbelscheiben völlig erhalten. In manchen Fällen werden die Wirbelkörper und Wirbelbögen durch unmittelbare Einwucherung des Lymphogranulomgewebes von den paravertebralen Drüsen her befallen (*Hare und Lepper*). Als Begleiterscheinung der Lymphogranulomatose wurden bisweilen neurologische Störungen beobachtet (*Bodschel und Ginzetti*).

Wenn Lymphogranulomherde im Knochen zur Ausheilung gelangen, wie dies spontan auftreten oder durch Röntgenbestrahlung erreicht werden kann, bildet sich stets eine Verdickung der Knochenbalkchen aus.

Bestke hat das Lymphogranulom der Knochen ausführlich beschrieben. Es ist als eine Infektionskrankheit anzusehen, die mit besonderer Vorliebe



Abb. 180

(Lichtbild der Baggitalantifläche der markierten Wirbelsäule eines älteren Mannes.) Ausgedehnte Zerstörungen des Knochenbälkchens und Wirbelkörperzusammenbrüche infolge von Myelomherden (verfressenes Aussehen).



Abb. 181 (Vertikale Röntgenaufnahme von einer Hälfte der in der Baggitalebene durchseigten Brustwirbelsäule eines 60-jährigen Mannes.) Weitgehende Zerstörung mehrerer Wirbelkörper durch verschiedene große Myelomherde. Einige Wirbelkörper frei von Myelomherden.

Abb. 182 (links)

(Vertikale Röntgenaufnahme von einer Hälfte einer in der Baggitalebene durchseigten Wirbelsäule.) Myelomherde in allen abgebildeten Wirbeln mit Zusammenbruch einiger Wirbelkörper von denen einer zu einem „Plattwirbel“ zusammengedrückt ist, während andere keilförmig nach vorn eingestürzt sind.



Abb. 183 (rechts)

(Vertikale Röntgenaufnahme einer dicken, in der Baggitalebene aus der Wirbelsäule eines 51-jährigen Mannes herausgegangenen Scheibe.) Ausgedehnte herdförmige Zerstörung der Wirbelspongiosa durch zahlreiche verschieden große Myelomherde mit teilweise im Zusammensturz einzelner Wirbelkörper.



Ausgedehnte herdförmige Zerstörung der Wirbelspongiosa durch zahlreiche verschieden große Myelomherde mit teilweise im Zusammensturz einzelner Wirbelkörper.

Erkrankung ineinander. Dadurch ergeben sich hochgradige Knochenzerstörungen, die besonders für die Wirbelsäule schwere Folgen nach sich ziehen (Abb 150–153). Alle nur denkbaren Formen des Wirbelzusammenbruches (Keil- und Plattwirbel) hochgradige Ausbuchtungen der Zwischenwirbelscheiben in die benachbarten Wirbelkörper hinein (Flachwirbel) und beträchtliche Verkümmungen sind die allmählich entstehenden Folgezustände an der Wirbelsäule bei Myelomkranken. Die Wirbelbögen mit allen ihren Fortsätzen sind regelmäßig beteiligt. Fast immer stehen im Beginn der Krankheit Klagen über Wirbelsäulenbeschwerden im Vordergrund (Hallermann, Spiller) und Röntgenaufnahmen der Wirbelsäule können oft das Krankheitsbild schon in frühen Zuständen klären, da die ersten Zerstörungsvorgänge am Knochengewebe meist an der Wirbelsäule sitzen. Die von Myelomgewebe durchsetzten und zerstörten Wirbelkörper können stark zusammenbrechen und so eine deutliche Abnahme der Körpergröße bei den Kranken erzeugen. Manche Wirbelkörper sind zu so niedrigen Scheiben zusammengedrückt, daß sie kaum mehr die Hälfte der Höhe der benachbarten Zwischenwirbelscheibe haben (Abb 152). Bei makroskopischer Betrachtung von Präparaten und im Röntgenbild kann bisweilen die Differentialdiagnose gegenüber zerstörenden Krebsmetastasen schwierig sein, obwohl eine so gleichförmige Ausbreitung über das ganze Knochengewebe bei Krebsmetastasen eine große Seltenheit beim Myelom aber die Regel ist. Außerdem geht das Myelom nie mit Periostrawucherungen oder reaktiven Wucherungsvorgängen in der Umgebung der Myelomherde einher. Es entsteht nie Osteosklerose.

Das Myelom kommt meist im 4–7 Lebensjahrzehnt vor, kann aber in seltenen Fällen bei Kindern gefunden werden (Rubinstein 1924). In der alten Streitfrage, ob das Plasmocytom als bösartige Geschwulst anzusehen ist, neigt man jetzt mehr als früher dazu, eine echte geschwulstige Retikulomarkomatose anzunehmen. Da einige Fälle von isoliertem Plasmocytom bekanntgeworden sind, glauben manche Forscher, daß von einem Primärherd aus eine metastasenartige Ausbreitung rasch vor sich geht. Diesen Ansichten stehen aber die eingangs erwähnten Befunde von Hallermann entgegen, die an dem großen Schwabacher Untersuchungsgut gewonnen wurden. Weiteres Schrifttum: Abel, Darnow und Balser, Roselet und Decker, Sant, Simons.

4. Osteosklerose bei Vergiftungen

Da diejenigen Vergiftungen, die erhebliche Knochenveränderungen mit sich bringen, auch gleichzeitig Einfluß auf die blutbildenden Organe (besonders auf das Knochenmark) nehmen und Blutbildänderungen mit sich bringen (meist Anämien), erscheint es angebracht, diese Erkrankungen hier einzuführen. Die häufigste in ihren Folgezuständen wichtigste hierher gehörige Vergiftung ist die Fluorvergiftung. Sie führt zu einer erheblichen, auch im Röntgenbild gut sichtbaren, Knochenverdichtung (Kry 111 Ost kl ose). Die Wirbelsäule und das Becken sind dabei besonders beteiligt. Rakosin bringt entsprechende Abbildungen. 40 v H aller Knochentexturen zeigen Knochenverdichtungen (Willis). Es gibt außerdem noch eine Phosphor-Osteosklerose und eine Bismut-Osteosklerose, die aber keine wesentliche Bedeutung für die Wirbelsäule haben. Auch Gold, Phosphor und Radium können toxisch Osteosklerose erzeugen. Schrifttum: Achenbach, Klets, Lohmeyer, Ockene, Phenister u. a.

G. Elfenbeinwirbel

Im Röntgenschrifttum wird häufig von Elfenbeinwirbeln gesprochen und sogar der „Elfenbeinwirbel“ als eigenes Krankheitsbild angesehen. Es handelt sich dabei um einzelne Wirbel, bei denen die Zeichnung des Knochenbildchenwerkes so stark vergrößert ist, daß sie in der Röntgenprojektion zu einem dichten Schatten zusammenfließt. Dadurch wird bei einem oder wenigen Wirbeln einer Wirbelsäule das Bild einer dichten Osteosklerose hervorgerufen, wie man es bei der Marmorierkrankheit (S 63) in allen Wirbelkörpern beobachtet.

Von anatomisch pathologischen Standpunkt aus ist die Aufstellung eines eigenen Krankheitsbildes unter der Bezeichnung „Elfenbeinwirbel“ nicht gerechtfertigt. Die Elfenbeinwirbel sind lediglich Ausdruck eines krankhaften Knochenverdichtenden (osteosklerotischen) Vorganges im Wirbelkörper, wie er durch die verschiedensten Ursachen hervorgerufen werden kann. Das Röntgenbild und oft auch die makroskopische Betrachtung des aufgewogenen Wirbelkörpers werden nicht in der Lage sein, stets sofort die Differentialdiagnose zu klären. Dies kann oft nur durch mikroskopische Untersuchung geschehen.

Am häufigsten führt die Osteodystrophia deformans Paget (S. 84) in ihrer diffusen Form zur Sklerose einzelner Wirbelkörper (Abb. 140). Ein großer Teil der Elfenbeinwirbel ist durch entzündliche Ursachen entstanden. Sie sind beschrieben bei Tuberkulose (*Belle Blonde* und *Kemper Cronzon Delorme* und *Morel Kahn Giordano* u. a.) Die chronische Spondylitis infectiosa und langsam verlaufende Formen von Wirbelkörper Osteomyelitis können in einzelnen Wirbeln dichte Sklerosierungen hervorrufen. Im Verlauf langer Beobachtungszeiten ist die Wiederaufhellung der dichten Sklerosierung zu normaler hochendbellkernzeichnung möglich (*Dubois-Tripogne*). Das spricht für chronisch-entzündliche Ursache. Die sklerotische Knochenleue ruft in der Wirbelmole ebenfalls elfenbeinartige Verdichtungen einzelner Wirbel hervor (*Beitzke, Hala und Deyke Pascher Souquet* mit *Lafourcade* und *Terris Woringer* u. a.) Daß das Lymphogranulom auch osteosklerotische Wirbel erzeugt ist bereits besprochen (S. 98).

Die osteosklerotischen Geschwulstmetastasen haben den größten Anteil an der Bildung von Elfenbeinwirbeln (*Grilli Vathan Ochamer* und *Moser* u. a.). Um kleine einschmelzende Tumoren im Wirbelkörperinnern können sich reaktive osteosklerotische Vorgänge ausbilden, die im Röntgenbild ebenfalls den Eindruck eines Elfenbeinwirbels machen (*Breitländer*). Nach Röntgenbestrahlung von Tumoren und Tumormetastasen treten gelegentlich in einzelnen Wirbeln elfenbeinartige Knochenverdichtungen auf (*Barony* und *Schulhoff Sicard*). Manche primären Wirbelarkome bilden Elfenbeinwirbel (S. 132).

Es ist also daran festzuhalten, daß der „Elfenbeinwirbel“ kein eigenes Krankheitsbild darstellt, sondern lediglich Ausdruck verschiedener osteosklerotischer Vorgänge ist, deren genaue ätiologische Klärung allein aus dem Röntgenbild nicht oft möglich sein wird.

H. Verletzungen der Wirbelkörper

I. Häufigkeit und Formen der Wirbelbrüche und Wirbelverrenkungen

Die traumatischen Schädigungen der Wirbelmole beanspruchen sowohl in bezug auf differentialdiagnostische Abgrenzung als auch aus therapeutischen Gründen das größte Interesse. Darüber hinaus hat die Beurteilung von traumatischen und beruflichen Schädigungen der Wirbelmole eine besonders große Bedeutung für die Begutachtung und wir müssen aus diesem Grund auch die Folgezustände kennen, die sich im Röntgenbild abzeichnen. Das größte klinische Schrifttum auf dem Gebiet der Wirbelbrüche ist darüber entstanden, ob zur Behandlung der Wirbelkörperbrüche konservative Behandlungsmaßnahmen zweckentsprechend sind (*Magnus* und seine Schule, *Bürkle de la Camp Blencke Brumann Schleipen, Schwarzfeger*) oder ob durch Aufrichtung der ineinander gestauchten oder verschobenen Wirbelkörperbruchstücke die ursprüngliche Wirbelkörperform wieder erreicht werden muß (*Böhler* und seine Schule *Barbisan Baxi Becker Breig Bunn, Charbonnel, Davis Dickson* und *Endy Doerth, Felsenreich Friedrich, Granda Heuritch Jimeno-Vidal Jons Kaspar Kraus Leser* und *Mayer Mallet-Guy Mathieu, Scheid Schotte Spamer Vidal Vorshitz, Watson, Werner* u. a.) Für beide Ansichten werden nicht nur klinische, sondern auch pathologisch-anatomische Untersuchungsergebnisse herangezogen wie wir noch sehen werden. Alle diese Fragen sind in einem fast unübersehbaren Schrifttum besprochen. Zusammenfassende Arbeiten außer den obengenannten *Adams Burmeister Dahl Iversen, Decker Doerth Dunlop Glomieux, Hall* und *Morley Haumann Heuritch Jacott Julia, Jungmann Karitzky Lasecke, Landoff M. Lange Lorenzen Martin Michel* mit *Mutet* und *Roussaux Pascher Rostock Ruge, Schmieden Serra Stock Thomson Weeks Zeno*.

Die Häufigkeit der Wirbelbrüche hat im letzten Jahrzehnt wesentlich zugenommen, wie alle neueren Statistiken nachweisen (*Aachen Jaki Jordan Varath Püchel Rauls Ruge, Wolf* u. a.). Die meisten Wirbelbrüche sitzen am Übergang der Brust zur Lendenwirbelmole. In der Häufigkeitsreihe folgt dann, aber erst in weitem Abstand, an zweiter Stelle der Hals-Brust-Übergang (*Brack Gergely Haumann Magnus Osgood* u. v. a.). Nur wenige Statistiken geben an der Halswirbelmole mehr Brüche an als am Brust-Lenden-Übergang (*Fumagalli Robertson Westermann* u. a.). Sehr wichtig ist die Feststellung, die aus klinischen Angaben (*Baumann Burckhardt Gulecke, Lob Schneider Thorndike*) und insbesondere auch aus Röntgenuntersuchungen am Schwabacher Institut

hervorgeht, daß sehr häufig mehrere Wirbelkörper gebrochen sind (Abb. 154—156). Deshalb ist bei jeder Wirbelsäulenverletzung und auch schon bei Verdacht auf eine solche eine ausreichende Röntgenuntersuchung unerlässlich, die alle Wirbelsäulenteile betreffen sollte, weil übersehene Wirbelverletzungen nicht nur eine unzureichende Behandlung sondern auch unüberwindliche Schwierigkeiten



Abb. 134 (links). (Lichtbild der Sagittalschnittfläche einer Brustwirbelsäule — an einem 63-jährigen Mann.) Quetschbruch des 9. Brustwirbels, der infolge Durchblutung dunkel erscheint. Geringe Quetschbrüche im Gebiet der oberen Decidplatten des 4—7. Brustwirbels, die infolge der Durchblutung ebenfalls dunkel erscheinen.



Abb. 153 (rechts). (Fehlende Röntgenaufnahme einer Hälfte der in der Sagittalebene durchgelagerten Brustwirbelsäule eines 80-jährigen Mannes. Nadel in der 1. Lendenbandscheibe.) Beträchtliche Osteoporose. Nicht ganz frische Kumpfrakturen mit geringen Kallusbildungen im unteren Teil des 10. und in den oberen Teilen des 11. und 12. Brustwirbels. Infolge des keilförmigen Zusammenbruchs der Wirbelkörper ist eine geringe Gibbusbildung eingetreten. Die an die gebrochenen Wirbelkörper angrenzenden Zwischenwirbelräume zeigen mangelmäßige Begrenzung.

in der späteren Begutachtung nach sich ziehen. *Hellmer* beobachtete bei $\frac{1}{3}$ der untersuchten Wirbel verletzten Brüche mehrerer benachbarter Wirbelkörper. In dem großen Material von *Haumann* sind fast in der Hälfte der Fälle mehrere Wirbelkörper betroffen. Im *Schmorl*-schen Untersuchungsgut fanden sich an einer Wirbelsäule häufig * 3 und noch mehr gebrochene Wirbel, die bisweilen weit auseinander liegen, und von denen die klinische Untersuchung nur einen aufgedeckt hatte. Die verschiedenen Brüche sind dann allerdings nicht von gleicher Schwere. Die Reibenuntersuchungen am *Dresdener Institut* förderten mehrfach alte abgeheilte Wirbelbrüche zutage, von denen trotz Aufnahme einer guten Vorge-schichte nichts bekannt war. Nach klinischen Erfahrungen können Wirbelbrüche ohne wesentliche Erscheinungen, und oft sogar ohne Behinderung des Umhergehens und ohne Arbeitsunterbrechung überstanden werden (*Hellmer*, *Mittel*, *Pulz*). Diese Tatsache unterstützt die verbreitete Ansicht, daß der einfache Wirbelkörperbruch mit zu den leichtesten Knochenbrüchen

gehört (Schau u. a.). Andererseits errechnet Schmidt an seiner zusammenfassenden Statistik, daß $\frac{1}{3}$ aller Wirbelbrüche zum Tode führt.

Ehe wir an die Besprechung der einzelnen Wirbelbruchformen herangehen, sei vorausgeschickt, daß die wichtigsten Beziehungen der Wirbelkörperbrüche zu den angrenzenden Zwischenwirbelscheiben erst in dem Abschnitt über die traumatischen Veränderungen der Zwischenwirbelscheiben näher betrachtet werden (Kap. IV F). Es ist wichtig die Beziehung der Zwischenwirbelscheiben zu den gebrochenen Wirbelkörpern genau zu studieren, da im klinischen Schrifttum dem Verhalten der Zwischenwirbelscheiben und ihrem Aussehen im Röntgenbild bei der Differentialdiagnose zwischen Wirbelbruch und Wirbeltuberkulose, bei der Frage der Verlagerung von Bandscheibengewebe bei Begutachtungen und noch bei vielen anderen Fragestellungen große Beachtung geschenkt wird.

Die häufigste Form des Wirbelbruchs ist der Quetschbruch (Kompressions-, Stauchungs- oder Zusammendrückungsbruch) des Wirbelkörpers, der vor allem am Brust-Lenden-Übergang vorkommt (Abb. 157–162). Der dafür verantwortliche Biegemechanismus (taschenmesserartiges Zusammenklappen) entsteht meist durch Auftreffen schwerer Massen auf Nacken oder gebeugt gehaltene obere Wirbelabschnitte (im Bergbau, bei Verschüttung unter Trümmern, bei Verkehrsunfällen usw.). Er kann auch durch Muskelnzusammenziehungen bei Tetanus oder nach Behandlung mit krampfserzeugenden Mitteln auftreten (Kap. III H 3). Zusammenstauchung der Wirbelkapsule mit Quetschbruch findet sich noch bei Fall aus großer Höhe auf Füße oder Gesäß, bei Absturz mit der Unterstützungsfäche (Fahrrad, Förderkorb) oder durch rockartiges Anpressen der Unterstützungsfäche gegen den Körper bei Explosionsstößen von unten her (Schiffsexplosionen). Dadurch wird in dem am meisten unter Druck gesetzten Wirbelkörper Zusammenbruch des Knochenbalkchenwerkes hervorgerufen. Besonders häufig preßt sich der über dem zusammengebrochenen Wirbelkörper liegende Wirbel mit seiner Vorderkante in den zusammengedrückten Wirbelkörper hinein und drückt dadurch ein vorderes Bruchstück aus ihm heraus (Abb. 159). Viel seltener wird der darunterliegende Wirbelkörper in den verletzten hineingedrückt. Manchmal fassen die Vorderkanten der beiden Wirbel, die oben und unten dem verletzten Wirbelkörper anliegen, keilförmigartig zu und pressen dadurch ein vorderes keilförmiges Stück aus dem Wirbelkörper heraus (Abb. 162). Dies geschieht meist bei schweren Wirbelkörperquetschungen, bei denen dann noch im allgemeinen das große, rückwärts liegende Stück des verletzten Wirbels etwas nach dem Wirbelkanal hinein



Abb. 158.

(Recht Hälfte einer in der Sagittalebene durchgeführten Wirbelkapsule eines Mannes im mittleren Alter. Nadel in der 6. Brustbandscheibe.) Zusammendrückungsbruch des 9. Brustwirbelkörpers von oben und unten her mit Verschiebung des oberen und unteren Bruchstückes und Ineinanderverschiebung der Spongiosa. Der 5. und 4. Brustwirbelkörper sind ebenfalls etwas eingedrückt. Das gleiche gilt vom 7. Brustwirbelkörper, an dem auch ein vorderes oberes Stück nach vorn gedrückt ist. Dieses Stück trägt gleichzeitig einen älteren knöchernen Randwulst. An fast allen Wirbeln befinden sich ältere knöcherne Randabschabungen.

gepreßt wird (Abb. 100—171) Begleitende Rückenmarkschädigungen (S. 110) bedingen oft sofortige Operationen und entsprechende Pflegemaßnahmen (*Chutelet* und *Schultz*, *Tube* u. v. a.)

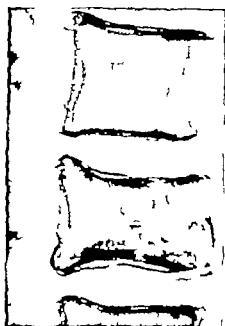


Abb. 157



Abb. 158



Abb. 159



Abb. 160

Da der Wirbelkörper Quetschbruch nach vorn spitz zulaufende Keilwirbelbildung hervorruft, ergab sich, je nach Stärke der Zusammendrückung und Zahl der gebrochenen Wirbelkörper spitzwinklige oder bogenförmige Gibbusbildungen. Oft macht am seitlichen Röntgenbild erst die Beachtung solcher Abknickungen auf den Wirbelbruch aufmerksam (*Jaeger*). Durch seltene Entstehungsweise kommen Quetschbrüche mit sehr zugespitzter Keilform des Wirbels vor, die eine spitzwinklige Skoliose erzeugt. Im Röntgenbild von vorn lassen sich die Kompressionsbrüche gut erkennen, wenn die vordere

Abb. 157 (oben links). T II Stück aus der Röntgenaufnahme eines linken Hälft der in der Sagittalebene durchfallenden Wirbelsäule eines 67-jährigen Mannes. Frischer Trümmerbruch des 2. Lendenwirbels, der auch nach vorn zu verlagert ist.

Abb. 158 (oben rechts). Seitliche Röntgenaufnahme einer Hälfte der in der Sagittalebene durchfallenden Wirbelsäule eines 65-jährigen Mannes. Alte Kompressionsfraktur des 12. Brustwirbels, mit Verminderung der vorderen Höhe (Keilwirbel).

Abb. 159 (links). Seitliche Röntgenaufnahme der Wirbelsäule einer 54-jährigen Frau. Kompressionsfraktur des 12. Brustwirbels mit Hebung des vorderen Bogenbogens und Kallusbildung im Wirbelkörper.

Abb. 160 (rechts). Röntgenaufnahme mit sagittalem Strahlengang von der gleichen Wirbelsäule wie in Abbildung vorher. Der zusammengebrochene 12. Brustwirbel ist nach der Seite etwas breiter als die benachbarten und zeigt deutliche Hebung des vorderen Bogenbogens (Andeutung von Frochtkopfform, vgl. Abb. 121).

Hohe des zusammengebrochenen Wirbels niedriger ist als die der angrenzenden Wirbelkörper (Abb. 160) Dies gibt eine Frochchkopfform der Wirbelkörper ähnlich wie beim osteoporotischen Wirbelschwund mit Keilwirbelbildung (Abb. 121) Alle schwereren Wirbelkompressionsbrüche gehen neben der Herausquetschung von Wirbelkörperbruchstücken nach vorn auch noch mit einer solchen nach der Seite einher so daß das Röntgenbild von vorn auch eine Verbreiterung des zusammengedrückten Wirbels zeigt (Abb. 160) Dies ist differentialdiagnostisch gegenüber entzündlichen Vorgängen und Metastasen wichtig (Hofelder) Die frischen Zusammendrückungsbrüche ergeben immer eine Zusammenstauchung und Ineinanderschiebung im Knochenbalkchenwerk. Von den Verfechtern der konservativen Behandlungsausnahmen wird diese Ineinanderleitung des Knochenbalkchenwerkes als die beste und natürlichste Schienung des gebrochenen Wirbelkörpers angesehen. Zieht man einen solchen Wirbelkörper zu seiner ursprünglichen Form auseinander dann entsteht ein klaffen der spaltartiger Hohlraum mit Blutgerinnseln einem Brei aus zertrümmerten Knochenbalkchen und eingepreßtem Bandscheibengewebe *Ettore* hält aus diesem Grund die Wiederherstellung der alten Wirbelkörperform bei der Behandlung von Wirbelbrüchen („Aufrichtung nach Böhrer“) nicht für richtig und fürchtet infolge des Klaffens Verzögerung der Heilung *Wacks* untersuchte 8 Monate nach der Verletzung einen „aufgerichteten Wirbelkörperbruch“ und fand in der feingewebigen Untersuchung eine klaffende Lücke die nicht mit Kallus ausgefüllt war *Scheidt* beschreibt dagegen regelrechten Wiederaufbau des Wirbels.

Als Begleiterscheinung des Wirbelkörperquetschbrüches ist im Röntgenbild in der Umgebung des gebrochenen Wirbelkörpers oft der spindelförmige Schatten eines Blutergusses feststellbar (*Euseberg* und *Gold*, *Frangenheim*, *Strasser*) der einem spondylitischen Senkungsabszess sehr ähnelt. Meist kommt er bei Brüchen von Brustwirbelkörpern vor und pflegt einige Wochen später restlos zu verschwinden.

Die Bildung von Kallus bei der Ausheilung der Wirbelkörperbrüche ist ein noch viel umstrittenes Gebiet. Es ist sicher daß endostaler Kallus (auch als Markkallus bezeichnet) im Bereiche der zertrümmerten Knochenbalkchen entsteht, wie durch mikroskopische Untersuchungen von *Schmorl* nachgewiesen werden konnte und auch von *Wacks* abgebildet wird. Außerdem hat *Schmorl* in einigen Fällen, in denen während der Heilung eines Wirbelbrüches ein Ikterus bestand, bereits makroskopisch gelbgrün gefärbte Knochenanteile im Bereiche des Wirbelbrüches gesehen. Dabei muß es sich um neugebildete Knochen also um Kallus gehandelt haben, denn nur kalkloser Knochen, der sich während des Bestehens eines Ikterus bildet, färbt sich nach *Schmorl's* Untersuchungen gelb und wird bei Formol-



Abb. 161 (Seitliche Röntgenaufnahme des Brustwirbels eines 53-jährigen Mannes) Zusammendruckungsbruch des 12. Brustwirbelkörpers mit Einstauchung der unteren Grundplatte und Verschlebung des vorderen Bruchstückes. Darunter noch alte Wirbelkörperwandsackern an allen dargestellten Wirbelkörpern.



Abb. 162 (recht). (Seitliche Röntgenaufnahme der Wirbelsäule einer 53-jährigen Frau. Nadel in der 1. Lendenbandelscheibe) Alte Fraktur des 12. Brustwirbelkörpers, der kniförmig unter Abscherung eines dreieckigen etwa nach vorn gepreßten Fragmentes zusammengedrückt ist. Kallusbildung zwischen dem vorderen Fragmentstück und den Vorderflächen der beiden benachbarten Wirbelkörper. Niedrige 11. Brustbandelscheibe

behandlung grün. *Hoessly* hat Kallusbildungen in Wirbeln im Tierversuch nachgewiesen (*W. Bork* *Jah. Lob. Stahl*). Verdichtungstreifen, die sich im Röntgenbild in gebrochenen Wirbelkörpern erkennen lassen, können Kallusbildungen sein (Abb. 165). Sie werden bisweilen auch lediglich durch die ineinandergesteuchten Knochenbalkchen hervorgerufen. *Dyus* hat im Röntgenbild am Lebenden die Heilungsvorgänge nach Wirbelkörperbrüchen laufend verfolgt.

Wesentlich unstrittener ist die Frage, ob sich bei Wirbelfrakturen ein periostaler Kallus ausbilden kann. Es ist erwiesen, daß eine Periost Kallusbildung nicht in dem Maße erfolgt, wie wir das von den Extremitätenknochen her gewohnt sind. Ob dies daran liegt, daß im allgemeinen die Bewegungen bei den Wirbelsäulenbrüchen viel geringer sind als bei Brüchen der Gliedmaßen, oder ob es mit den Eigentümlichkeiten des vorderen Längsbandes zusammenhängt, das gleich zeitig das Periost des Wirbelkörpers darstellt, soll außer acht bleiben. Wir haben jedenfalls schon mehrfach ältere Wirbelfrakturen mit geringem, aber deutlich



Abb. 163 (links) (Mikrophotogramm durch einen alten Bruch der Brustwirbelsäule.) In dem stark zusammengedrückten Wirbelkörper hat sich dichtgefügtes Knochenbalkchenwerk gebildet; periostaler Kallus. (Präparat aus dem Pathologischen Museum der Universität Berlin, Prep. Prof. Rappé.)

Abb. 164 (rechts). (Linke Hälfte einer in der Sagittalebene durchschnittenen Wirbelsäule einer 65-jährigen Frau.) Alt Zusammenstoßbrüche des 1. und 3. Lendenwirbelkörpers, die jeweils mit dem darüberliegenden durch zwei Knochenbrücken wieder verbunden sind. Mäßige Osteoporose.

sichtbarem periostalem Kallus gesehen, der auch im Röntgenbild gut darzustellen war (Abb. 162). Betrachtet man solche Kallusbildungen im mazerierten Präparat so hat man den Eindruck, als ob es sich dabei um Verknöcherungen kleiner vom Wirbelkörper abgelöster Stücke des vorderen Längsbandes handelt, da solche Kallusbildungen meist wie ein grobmäsiges Netzwerk auf den gebrochenen und den benachbarten Wirbelkörpern aufliegen. Ob Randzacken an den Wirbelkörpern, die bisweilen in der Nähe des gebrochenen Wirbelkörpers angetroffen werden, die Folgen des Bruches sind, kann an anatomischen Präparaten alter Wirbelfrakturen nicht festgestellt werden.

Nur mit Hilfe röntgenologischer Reihenuntersuchungen, bei denen man diese Enttelling nachweisen und in ihrer weiteren Ausbildung verfolgen kann, sind diese Fragen zu entscheiden. Der enge Zusammenhang mit der Spondylosis deformans traumatica wird uns später beschäftigen (S. 226).
Schrifttum über die Heilungsvorgänge nach Wirbelbrüchen: *Ellner, Jaeger, Lob, Loebl, Schedt, Scheidt und Priem, Wachs* u. v. a. (s. a. Abb. 103, 104).

Neben den Quetschbrüchen kommt noch eine Anzahl an derer typischer aber seltenerer Bruchformen an der Wirbelsäule vor, die von klinischer Seite nach den verschiedensten Schemata eingeteilt worden sind. Die gebräuchlichste Einteilung ist die von *Koeber*. Sehr glücklich scheint die von *Lob* vorgeschlagene Einteilung in der die klinischen Belange mit den pathologischen anatomischen Grundlagen in Übereinstimmung gebracht sind. In dieser Einteilung ist auch erstmals die isolierte Zwischenwirbelscheibenverletzung auf deren Bedeutung *Schmorl* und seine Schüler von jeher hingewiesen haben (s. Kap. IV F 2), aufgeführt während die früheren Einteilungen lediglich die Brüche im Knochen geführt nannten. Im folgenden sollen noch einige anatomische Besonderheiten einzelner Gruppen besprochen werden. Über die Mitbeteiligung der Zwischenwirbelscheiben bei Wirbelkörperbrüchen und über die isolierten Verletzungen der Zwischenwirbelscheiben wird später in besonderen Abschnitten berichtet (Kap. IV F).

Außer den Quetschbrüchen mit Ineinanderstauchung der Knochenbälkchen beobachtet man häufig Schrägbrüche in Wirbelkörpern, die nicht zu einer Ineinanderkeilung sondern zu einer Verschiebung der Bruchstücke führen (Schubbrüche). Es stellt sich dabei eine mäßige Subluxationsstellung (Abb. 165) infolge Beteiligungen der Wirbelbogenteile ein. Die Bruchlinien verlaufen von hinten-oben schräg nach vorn-unten durch den Wirbelkörper und zwar meist im kopfwärts liegenden Wirbelkörperdrittel. Risse durch die Zwischenwirbelscheibe (Abb. 165) fehlen dabei nie.

Schwere Verrenkungsbrüche (Luxationsfrakturen) mit denen im allgemeinen Bogenbrüche oder Auslenkungen der kleinen Wirbelgelenke mit Wirbelbrüchen bzw. Zwischenwirbelscheibenverletzungen zusammen vorkommen, können erstaunlicherweise oft gute Dauerheilungen haben selbst wenn die Verschiebung nicht beseitigt wurde. Dies gilt vor allen Dingen von den seitlich verachsen Verrenkungsbrüchen. Wenn bei solchen Fällen die Bruchflächen kaum mehr in Berührung sind (Abb. 166) oder sogar der untere und der obere Teil der quer durchbrochenen Wirbelsäule ohne Berührung der Bruchflächen nebeneinanderstehen, ist doch bisweilen die Rückenmark kaum verletzt. Durch große Kallusbildungen kann auch eine Festigung eintreten, die wieder eine Belastungsfähigkeit der Wir-



Abb. 163 (Lichtbild der Sagittalschnittfläche der Brustwirbelsäule eines 21-jährigen Mannes.) Schrägfraktur durch den Körper des 8. Brustwirbels mit Zerstörung der 8. Brustbänderscheibe und geringer Luxation des oberen Wirbelkörperteiles nach vorn. Hämatom unter dem hinteren Längsband hinter dem 7. Brustwirbelkörper. Im unteren Teil dieses Hämatoms liegen zentrierte Bandscheibenteile.



Abb. 164 (rechts) (Röntgenaufnahme des Überganges der Brust zur Lendenwirbelsäule eines jungen Mädchens.) Querschbruch in Höhe des 1. Lendenwirbels mit seitlicher Verschiebung um Wirbelkörperbreite durch Sturz von einer Leiter. Links schematische Querschnittsillustration.

belastung zuläßt. Im klinischen Schrifttum sind solche Fälle veröffentlicht *Arctian Baumweller Brufford, Hanks Horack, Kaserer Lawson, Matti Sabra*. Gleich starke Wirbelkörperverrückungen nach vorn gehen allerdings stets mit schweren Rückenmarkschädigungen einher (*Sabin*).

Querbrüche durch Wirbelkörper mit einem nach hinten zu klaffenden Spalt (*Fractura cum distractione*) sind ein sehr seltenes Ereignis. Sie können durch eine Auseinanderzerrung bei gleichzeitiger



Abb. 167 (links). (Lichtbild der Sagittalschnittfläche der Wirbelsäule eines 37-jährigen Mannes.) Schrägfraktur des 4. Brustwirbelkörpers mit Querschfraktur des 2. und 4. Brustwirbelkörpers. Querschiebung des Rückenmarkes durch nach hinten ausgeprägte Knochenstücke. Große Laminektomiebohle. (Präparat aus dem Pathologischen Museum der Universität Berlin, Beob. Prof. *BWGs*.)

Abb. 168 (Mitte). (Lichtbild der Sagittalschnittfläche einer Lendenwirbelsäule.) Alte Kompressionsfraktur des 4. Lendenwirbelkörpers mit Herauspressung eines großen Bruchstückes nach hinten in den Wirbelkanal und eines kleineren nach vorn zu.

Abb. 169 (rechts). (Lichtbild der Sagittalschnittfläche einer Lendenwirbelsäule.) Alter Querschbruch des 4. Lendenwirbelkörpers mit Herauspressung eines großen Bruchstückes nach hinten in den Wirbelkanal und eines kleineren nach vorn zu.

Beugung nach vorn vorkommen unter erheblicher Mitverletzung der Wirbelbögen und kleinen Gelenke. *Eiselsberg* und *Gold* haben erstmalig einen solchen Bruch des 1. Lendenwirbels beschrieben. *Deuticke* beobachtete einen ähnlichen Bruch des 3. Lendenwirbels. Ebenso selten sind Überstreckungsbrüche der Wirbelsäule mit einem nach vorn zu weit klaffenden Spalt. Bei diesem Mechanismus sind Zerreißungen der Aorta und der Vena cava beschrieben (*Faulstich Schum u. a.*).

Sagittale Längsbrüche in Halswirbelkörpern beschreibt *Blumenrat* bei gleichzeitig vorhandenen Bogenbrüchen und Rückenmarkverletzung (Schrifttum *Bourner Jukes Gimpfl u. a.*).

Der Hauptsitz der reinen Wirbelerkrankung (Luxationen) und auch der Verrenkungsbrüche ist die Halswirbelsäule (*Anderson und Loughlin, Baumweller Galls, Farkas Hanks Jaski, Granda Stahl Zilka Conita Grellius und Ingelmark Knosch, Eckenbary und Le Coq Polony Pownall und Varot Mackh Schnyder Touss Warshaw Wenzel*). Besonders die ersten Halswirbel neigen dazu und können oft schon durch leichte Traumen (Sprung ins Wasser usw.) Verletzungen erleiden (*Dörfel Jefferson Sommer Aulenkampff u. v. a.*). *Friedmann* und *Tilla* teilen die Atlaxluxationen in 3 Typen ein: 1. seitlich nach links oder rechts, 2. Drehungsluxation nach links oder rechts, 3. Luxation nach vorn. *Langworthy* fand 17 mal doppelseitige und 10 mal einseitige Halswirbelerkrankungen. Bei den reinen Wirbelerkrankungen kann, ebenso wie bei den bereits besprochenen Verrenkungsbrüchen, die Verschiebung ohne Rückenmarkserkrankungen eintreten (*Eiselsberg Schiffer Caracci*). Als unangenehme Folgeerscheinung von Wirbelerkrankungen stellt sich bisweilen ein weiteres,

allmähliches Abgleiten ein, das später zu Markerscheinungen führen kann und operative Eingriffe erfordert (*Conrad Schmid Taverrier*). Als sehr seltene Luxationsursache erwähnt *Feigel* Luxation des 4. Brustwirbels mit Querschnittslähmung entstanden durch Wendung bei der Geburt.

Neben der Halswirbelsäule ist der Übergang der Lendenwirbelsäule zum Kreuzbein noch oft Sitz von Verrenkungen und Verrenkungsbrüchen. Abgleiten des 5. Lendenwirbels nach hinten



Abb. 170 (Auswahl aus der seitlichen Röntgenaufnahme der Lendenwirbelsäule eines 30-jährigen Mannes.) Querschnitt eines Lendenwirbels mit erheblicher Einengung der benachbarten Zwischenwirbellocher.

Abb. 171 (Seitliche Röntgenaufnahme einer aus der Wirbelsäule ausgesägten Scheibe einer 40-jährigen Frau.) Alter Zusammendrucksbruch des 3. Lendenwirbels, dessen hintere obere Kante in den Wirbelkanal und dessen vordere Kante nach vorn gedrückt und bei gleichzeitiger zentraler Einbochtung im Sinne eines Schmetterlings-Knochenknötchens.

(Kap. VIII D) durch einmaliges Unfallereignis ist beschrieben (*Brocker u. a.*). Im klinischen Schrifttum wird auch über Ausrenkungen und Aufklappungen des Kreuzbeines gegenüber dem 5. Lendenwirbel berichtet (*Rado Lappas Lombard und Solal u. a.*). Daß solche reinen Verrenkungen und Verrenkungsbrüche am Lendenkreuzbeinübergang streng vom echten Wirbelgleiten zu trennen sind, wird noch besprochen (Kap. VIII vgl. auch Abb. 67). Über die bei allen Wirbelverrenkungen vorhandene Mitbeteiligung der Wirbelbogengelenke siehe Kap. III J 4.

Als besondere Wirbelverletzung ist der Verrenkungsbruch des Epistropheuszahnes zu erwähnen, der als Druckbruch bei überstarker Kopfbeugung oder als Abrißbruch vorkommen kann (*Max/redi*). Rückenmarksbeteiligung ist dabei häufig, oft heilt der abgebrochene Zahn trotz guter Behandlung nicht an, und im anatomischen Präparat kann man eine deutliche Pseudarthrose fest

stellen. Das Nichtanheilen des Bruchstückes beruht auf der mangelhaften Ernährung des abgebrochenen Zahnfortsatzes (*Süermann*) Schrifttum *J Böhler Brüsser Brunschke und Müller Magnanil, Méns, Osgood und Lund Ruge, Warnig*

Kreuzbeinbrüche die früher von anatomischer und klinischer Seite nur wenig Beachtung gefunden haben, sind in den letzten Jahren mehrfach bearbeitet worden, und es wird auch hier von zunehmender Häufigkeit berichtet. Meist stellen sich bei Kreuzbeinverletzungen Quer und Schrägbrüche am 3. Kreuzbeinwirbel ein. Auch seitlich verlaufende Langbrüche durch die Röhre der Kreuzbeinlöcher oder durch die Kreuzbeinflügel kommen vor. Die Kreuzbeinbrüche sind fast stets mit Brüchen an anderen Stellen des Beckens vorgeseelschaftet, und häufig stellen sich mit Verletzungen von Beckenorganen ein (*Ruge Saloth, Rush Guillot*)

Die Steißbeinbrüche die oft mit großer Verschiebung der Bruchstücke (meist nach vorn) einhergehen, bereiten große differentialdiagnostische Schwierigkeiten, da die angeborenen Variationsformen des Steißbeins sehr vielgestaltig sind. Steißbeinbrüche können große Beschwerden hervorrufen, wenn das Bruchstück infolge Verschiebung auf den Mastdarm oder Nervenstränge drückt. Bei 8 v. H. aller Beckenbrüche kommen begleitende Steißbeinbrüche vor. Schrifttum *Angerer Becker Druck, Krauß Ruge*

Die Verlagerung von Wirbelkörperbruchstücken nach hinten und die Mitverletzung des Rückenmarks (s. Abb. 167–171) die bereits mehrfach erwähnt wurde ist bei den einzelnen Formen der Wirbelbrüche und Verrenkungen recht unterschiedlich. Nach *Boorstein* kommt sie bei 50 v. H. nach *Wassstein* bei 18–36 v. H. und nach *Loeb* bei 16,2 v. H. der Wirbelbrüche vor. Von anderer Seite wird $\frac{1}{10}$ aller Wirbelbrüche als Lähmungsbrüche angegeben (*Magnus Buge*). Das Rückenmark kann dabei durch Fragmente oder durch einen Bluterguß geschädigt sein, es kann teilweise oder vollkommen durchtrennt werden. *Glorieux Gutmann u. a.* haben darüber systematisch berichtet. Durch Mitverletzung des Rückenmarkes ist die Prognose der Wirbelbrüche beträchtlich verschlechtert. Unter anderem können Nierensteinbildungen (*Amoos*) auftreten. Zunehmende Lähmungserscheinungen oder Lähmungserscheinungen, die nach kurzer Zeit nicht zurückgehen, erfordern eingreifende Behandlungsmaßnahmen (Laminektomie, Reposition usw.) über die das klinische Schrifttum nachzulesen ist. *J Böhler Brühl Bernauer Crossen Craig Deutsche, Enderlen Hudson Th. Köcker Kraus und Böhler Lorenz Nickoll, Oehleker Schmieden, Schlackebach de Quervain Versmigo Vukovich u. v. a.*

2. Wirbelbrüche nach leichten Traumen

Während man früher immer der Ansicht zuneigte, daß nur ausgesprochen schwere traumatische Einflüsse Wirbelkörperbrüche in der bisher geschilderten Form hervorrufen können, sind in den letzten Jahren zahlreiche Fälle mitgeteilt worden, bei denen infolge eines geringfügigen Traumas ein vorher gesunder Wirbelkörper zusammenbrach. Allein das Stoßen des fahrenden Autos (*Weiß*) das „Butterwagenspielen“ von Kindern (*Müll*) einfache Turnübungen beim Militär (*Baldewiss*) Kopfsprung ins Wasser (*Umlauf*) Schwimmen und gymnastische Bodenübungen (*Hellner*) leichte Autounfälle (*Schneider*) Abwehrbewegungen mit Körperdrehung (*Hammond*) Drehbewegungen beim Diskuswerfen (*Dahl*) Verhebungsbruch am 5. Lendenwirbel (*Fernes*) und andere leichte traumatische Schädigungen (*Jäger Deckner Buge*) genügen, um Wirbelkörperbrüche hervorzurufen (früheres Schrifttum bei *Pischel*). Brüche gesunder Wirbelkörper können nach so leichten Traumen nur dann vorkommen, wenn eine Unterbrechung oder Fehlleitung des in die Rückenmuskulatur geschickten Willensimpulses vorliegt, wodurch völlig ungewöhnliche statische Verhältnisse eintreten, die ungenügende muskuläre Abfederungen oder außergewöhnliche, der fließenden Bewegung entgegenwirkende Feststellungen einzelner Wirbelgruppen bedingen. Es ist außerdem ein häufiger Befund, daß Schmerzen und Lähmungserscheinungen nach Wirbelsäulentraumen oft erst eine gewisse Zeit nach dem Trauma auftreten. Vielleicht kommt dies zustande, wenn die zunächst fest zusammengekeilten Bruchstücke sich später durch eine unvorsichtige Bewegung gegeneinander verschieben (*Caraf*) oder durch ein allmählich auftretendes Hämatom.

Von den soeben beschriebenen Brüchen gesunder Wirbelkörper (mit regelrechtem Knochenbalkchenwerk) durch leichte Gewalteinwirkungen sind diejenigen Wirbelbrüche abzugrenzen die

bei krankhaft herabgesetzter Knochenfestigkeit durch leichte Traumen entstehen (Spontanfrakturen). Das kann bei allen Formen von Osteoporose und anderen knochenweichenden Krankheiten vorkommen, die weiter vorn besprochen worden sind. Dabei ist auch noch besonders auf diejenigen Osteoporoseformen zu achten, die durch Anwendung oder Überdosierung gewisser Arzneimittel (Kap. III B 1) entstehen können z. B. bei Cortison und ACTH Behandlung (Curtius mit Clark und Herndon).

3. Wirbelbrüche durch Muskelzug (Muskelkrämpfe)

Krampfartiger Muskelzug ist in der Lage Wirbelkörperquetschbrüche bei gesundem Knochengestüt hervorgerufen (Abb. 172). Darüber liegen feingewebige Untersuchungen von gebrochenen Wirbelkörpern bei tödlichem Wundstarrkrampf vor (mehrere Fälle in der Schmorl'schen Sammlung, Böcker Egersdall). Die alte Streitfrage, ob ein gesunder Wirbelkörper durch Muskelzug brechen kann, ist jetzt in bejahendem Sinne beantwortet. Erlicher Magnus Smith u. a. hatten diese Möglichkeit früher abgelehnt. (Die im vorhergehenden Abschnitt erwähnten Wirbelbrüche nach Drehbewegungen usw. sprechen auch für die Bedeutung des Muskelzuges.)

Zunächst wurde die Beobachtung von Wirbelkörperquetschbrüchen durch Muskelkrampf nur beim Wundstarrkrampf gemacht (Böcker Chama Erlicher Pusch Scharnack Zukackwerdt). In der Folgezeit sind derartige Vorkommnisse auch bei Muskelkrämpfen aus anderen Ursachen entdeckt worden. Dabei spielt die neuzeitliche Krampfbehandlung für Paroxysmen usw. (mit Metrazol, Cardiazol, Insulin) eine große Rolle (Androp Busch Carp Dedichen Fromme und Wacks Reed und Dancy Vogt u. a.). Die Elektroschockbehandlung kann ebenfalls Wirbelbrüche hervorrufen (Bösch F. Lord, Sonnenchein). Auch bei Epilepsie (Androp Blair) sind Muskelkrampfbedingte Wirbelbrüche aufgetreten. Dies scheint jedoch sehr selten zu sein, denn Carp konnte bei 7500 epileptischen Anfällen keinen Wirbelbruch beobachten. Im Gegensatz dazu sprechen Moore, Winkelmann und Sokolow in ihrer Arbeit von 90 v. H. Wirbelbrüchen bei schwerer Epilepsie. Wirbelbruch durch Eclampsia puerperarum beschreibt Kjelland.

Die durch Muskelkrampf erzeugten Wirbelkörperbrüche sitzen meist an der Stelle der regelrechten Brustkyphose und häufig sind mehrere benachbarte Wirbelkörper (meist zwischen 4. und 8. Brustwirbel) betroffen. Nur selten finden sie sich an anderen Wirbelabschnitten (Androp Brunsel Glütz, Vogt u. a.). Sie sind noch oft von muskelkrampfbedingten Luxationen oder Brüchen an anderen Knochenstellen (Wirbelquerfortsätze, Schenkelhals, Oberarm usw.) begleitet (Androp Carp, Chama u. a.). Die Häufigkeit des Auftretens scheint bei den verschiedenen Krampfbehandlungen bedeutend größer zu sein als beim Wundstarrkrampf. Sie werden für die Krampfbehandlungen im Schrifttum mit 20–40 v. H. aller Fälle angegeben. (Durch Anwendung der neuen Muskelrelaxantien lassen sie sich jedoch fast völlig vermeiden.) Der Hundertsatz liegt bei Männern wohl infolge ihrer kräftigeren Muskulatur wesentlich höher als bei Frauen. Nach Angaben des Schrifttums stellen sich die Wirbelbrüche im allgemeinen schon beim 1. oder 2. Krampfanfall ein (Faurbye und Poort). Die gebrochenen Wirbelkörper bieten das Bild des Wirbelkörperquetschbruchs mit nach vorn zugespitzter Keilform und meist auch seitlicher Verbreiterung. Wenn solche Brüche bei Jugendlichen vorkommen, können die zunächst flach zusammengedrückten Wirbelkörper beim weiteren Wachstum, ähnlich wie bei der Vertebra plana Calvé (S. 96), wieder aufgebaut werden, wie Zukackwerdt und Arzmann beschreiben. In einer anschaulichen Zeichnung (Abb. 173) hat Glütz



Abb. 172. Lichtbild der Sagittalschnittfläche durch die Brustwirbelsäule eines Kindes. Quetschfraktur vom 2. Brustwirbelkörpern bei Tetanus.

dargelegt, in welcher Anordnung die Muskelkräfte gerade den mittleren Brustwirbelnanteil zum kyphotischen Zusammenbrechen bringen. *Krusse* und *Langsam* haben gleichfalls die kordierende Wirkung der Rückenstreckmuskulatur im Lendenbereich und die stark bogende Wirkung der Bauchstreckmuskeln für das Eintreten der Brüche in der mittleren Brustwirbelsäule verantwortlich gemacht. Im neueren Schrifttum wird noch darauf hingewiesen, daß die rasch folgenden Kontraktionsstöße und der Dauerdruk der langanhaltenden Krämpfe das Zusammenbrechen des Knochenbälkchenwerkes vielleicht im Sinne einer Materialermüdung begünstigen können (*Fromme* und *Wachs*, *Krusse* und *Langsam*, Elastizitätsversuche von *Oleke*). Weiteres Schrifttum: *Arndt*, *Becker*, *Buber*, *Borchard*, *Clarens*, *Faldini*, *Föllmer*, *Friedrich*, *Junghans*, *Kamwiler*, *Leube*, *Loeckli*, *Mertens* und *Bader*, *Mikula*, *Nagy*, *Ode*, *Poborny*, *Portmann*, *Passch*, *Reddingius*, *Rolery*, *Rycklik*, *Schauer*, *Hall*, *Wilhelm*.



Abb. 173 (Abbildung nach *Gantz*.) Schematische Darstellung der im Krampfzustand auf die Wirbelsäule einwirkenden Muskelkräfte. Der große ventrale Muskelzug zwischen Fuß und Kopf unter Zwischenhaltung der ebenfalls im Krampf befindlichen Zwischenrippenmuskeln will die Wirbelsäule im ganzen vorwärts biegen. Die mächtigen Rückenstrecker halten krampfhaft Hals- und Lenden teil in Lordose fixiert. Deshalb kann sich allein über der Brustwirbelsäule die bogende Kraft auswirken, und es erfolgt dort der Zusammenbruch der Brustwirbelkörper.

Abb. 174 (rechts) (Lichtbild der Sagittalschnittfläche der Wirbelsäule eines 65jährigen Mannes.) Typische Kummelformkrankheit des 11. Brustwirbelkörpers, der nur noch als bröckliges Gewebe mit spärlichen Resten nekrotischer Knochenbälkchen vorhanden ist. Die beiden benachbarten Bandscheiben, besonders die untere, wölben sich etwas in den stark zusammengedruckten Wirbel vor.



4 Verspäteter Wirbelkörperzusammenbruch nach Trauma („Kummelformkrankheit“)

Seit der ersten Veröffentlichung *Kummells* (1891) beschäftigte sich zunächst das deutsche und später das französische Schrifttum (hier unter den Bezeichnungen „Syndrome de Kummell Verneuil“, Spondylitis traumatica oder Spondylosis traumatica) mit dieser eigenartigen Spätfolge von Wirbeltraumen. *Kummell* selbst gibt folgende Begriffsbestimmung dieser Krankheit:

„Trauma, oft geringfügiger Art, welches die Wirbelsäule direkt oder indirekt trifft. In seiner Wirkung innerhalb weniger Tage bilanziert um nach Monaten erheblicher Genesendheit oder mit nur relativ geringen Wech. erden eines rarefizierenden Prozeß der Wirbelkörper einzubringen, um mit einem Substanzverlust derselben mit Gibbusbildung zu enden. Bei diesem Prozeß kommt es ausnahmslos zur Eiterung wie bei einer tuberkulösen Spondylitis, oder zu Verdickungen der ganzen Knochenmasse wie bei hartem Prozeß, auch nicht zu Knochenauflösungen und Veränderungen wie bei der Arthritis deformans.“

Im Dresdener Institut konnten einige Fälle dieser Krankheit beobachtet und darüber auf dem Orthopädenkongreß 1926 berichtet werden (*Schmorl*). Das Zustandsbild das diese Fälle bei der Leichenschnittung zeigten, entspricht ganz den Ausführungen *Kummells*. Ohne nachweisbare Infektion war im Innern eines Wirbelkörpers die Spongiosa so hochgradig zerstört, daß ein Wirbelzusammenbruch mit Gibbusbildung eintrat (Abb. 174). Das mikroskopische Bild ließ keinerlei entzündliche Erscheinungen, aber auch keine Kallusbildungen erkennen. In einem solchen traumatisch geschädigten und allmählich in sich zusammenbrechenden Wirbel kann sich nach *Kummells* Ansicht leicht eine Infektion festsetzen. In einem Fall, den *Kummell* der posttraumatischen Wirbelerkrankung

zugerechnet hatte fand *Heiligenthal* später eine Tuberkulose und lehnte deshalb eine „Kümmel-sche Krankheit“ ab während *Kümmel* selbst in diesem Falle annimmt, daß sich die Tuberkulose erst auf der Grundlage der posttraumatischen Wirbelschädigung angereichert habe.

Für die Ursache sind die verschiedensten Möglichkeiten angegeben worden: Ernährungsstörung des verletzten Wirbels (*Büchert*, *Schmorl*) hyperämische Vorgänge oder Blutungen (*Lérick*, *Raderer*) vasomotorisch trophische Störungen (*Tréren*) nervöse Störungen (*Silhol*) zu frühzeitige Belastung mit Störung der Kallusbildung (*Stahl*, *Matts*) zu lange Bettruhe (*Mailhard*) „traumatische Spondylitis“ (*de Quervain*) traumatische Nekrose (*Golds*) Ermüdungsfraktur (*Mutschler*). *Roder* stellte bei 44 Menschen mit Wirbelkörperfrakturen bei denen anfangs keins Knochenverletzung insbesondere kein Wirbelbruch nachweisbar war 7 mal das allmählich entstehende Symptomenbild der *Kümmel*-schen Krankheit fest. Da in der Vorgeschichte stets ein Trauma eine Rolle spielt und da nach den Untersuchungen *Schmorls* häufig unerkannte Wirbelbrüche bei Leichenöffnungen entdeckt werden, glauben viele nicht an die Berechtigung zur Abgrenzung der *Kümmel*-schen Krankheit sondern halten diese Veränderungen für unerkannte und unter Umständen richtig behandelte Wirbelbrüche (*Blumenrat*, *Frolich* und *Moschell*, *Gauele*, *Hawmann*, *Hofmeister*, *Jordan*, *Magnus*, *W. Müller*, *Schmid*, *Sorrel* u. a.). *Kurz* gibt auf Grund mikroskopischer Untersuchungen dem „mikroskopischen Trauma“ die Hauptschuld am Entstehen des verspäteten Wirbelkörperzusammenbruchs. *Nicolini* und *Pitaluga* konnten bei anatomischer Untersuchung eines entsprechenden Falles Spongionekrose mit Wirbelkörperzusammenbruch feststellen. *Perhult* hält die Abgrenzung der *Kümmel*-schen Krankheit nicht für gerechtfertigt, und er stellt den verspäteten Wirbelkörperzusammenbruch den Pseudarthrosen der anderen Knochen gleich. Auf Lob kommt auf Grund seiner Erfahrungen und feingewebigen Untersuchungen zu dem Schluß, daß der Spätzusammenbruch verletzter Wirbelkörper kein eigenes Krankheitsbild, sondern nur ein Sonderfall bestimmter Wirbelverletzungen ist. Dazu rechnet er unter anderem Wirbelnekrosen mit vermindertem Anbau von Knochen. Außerdem stellt er Beziehungen zu Verletzungen der Zwischenwirbelscheiben fest (vgl. S. 206). Bei den im Schrifttum wiedergegebenen Fällen handelt es sich nie immer nur um den Zusammenbruch eines einzelnen Wirbels, sondern es sind bisweilen auch mehrere benachbarte (*Helly*) oder entfernt voneinander liegende Wirbel gebrochen (*Petridis* u. a.). *Rigby* berichtet, daß sich bei einer 54-jährigen Frau nach einem Wirbelkörpertrauma zunächst nur Brüche des 12. Brustwirbels und 5 Halswirbels nachweisen ließen, denen sich nach 7 Monaten noch 2 Zusammenbrüche des 7. und 9. Brustwirbels anschlossen. Kurz nach der Verletzung hatten diese Wirbel im Röntgenbild vollkommen regelrechte Formen. Beziehungen zur Sudecksehen Knochenatrophie (Kap. III C 5) werden ebenso leidenschaftlich behauptet wie abgelehnt (*Blumenrat*, *Raue* u. a.). In welcher Form die Zwischenwirbelscheiben bei verspäteten Wirbelkörperzusammenbrüchen beteiligt sind, wird in späteren Abschnitten (Kap. IV F 3 und 5) geschildert. Weiteres Schrifttum: *Brand*, *O'Brien*, *Cimino*, *Cuny*, *Falen*, *Gourdon*, *Helly*, *Marini*, *Marmorell*, *Michel*, *Nettel* und *Roussaux*, *Moschetta*, *Oller* und *Bravo*, *Pengniet*, *Planitz*, *Pronst*, *Roche*, *Ruge*, *Schreiner*, *Sokard*, *Steel*.

5. Brüche der Wirbelkörperkanten und Verletzungen der Randleisten

Die Zusammenstöße der Wirbelwale müssen nicht immer zu Wirbelquersehrbrüchen oder Schubfrakturen führen. Bisweilen kommen auch nur Abbrüche kleiner Stücke aus den Wirbelkörperkanten vor (*Salvatori*, *Schmidt*). Diese Kantenbrüche (ventraler Wirbelkantenbruch“ nach *Hertz*) sind besonders bei röntgenologischer Diagnose schwer von den allmählich eintretenden Atrennungen von Wirbelkörperkanten (S. 174) zu unterscheiden, und das röntgenologische, klinische und anatomische Schrifttum enthält recht widersprechende Angaben, auf die später eingegangen wird (S. 176). Bei diesen Kantenbrüchen, die meist mit Wirbelbrüchen zusammen vorkommen (Abb. 13 176) handelt es sich nicht um Abbrüche der Wirbelkörper-Randleisten, sondern die gebrochenen Stücke sind meist größer als der Randleiste entsprechen würde. *Schmorl* konnte ein Fall mitteilen, bei dem es wieder zur Anheilung einer abgebrochenen Wirbelkörper-Randleiste gekommen war (Abb. 177 und 178). *Hertz* hat nach Durchsicht einer großen Zahl von Wirbelkörperbrüchen aus den Röntgenbildern in schematischer Weise die Möglichkeiten der verschiedenen Größen und Formen von Brüchen der Randleisten und von Beteiligung der Randleisten an Wir-

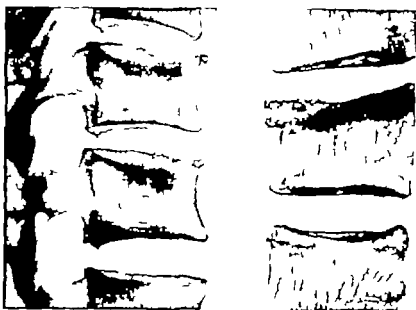


Abb. 175 (links). (Seitliche Röntgenaufnahme einer Hälfte der in der Sagittalebene durchgelagerten Wirbelsäule einer 34-jährigen Frau.) Geringe Kompressionsfrakturen in den oberen Teilen des 12. Brust- und 1. Lendenwirbels mit Absprennung der vorderen oberen Wirbelkörperkanten. Das am 12. Brustwirbelkörper abgesprengt Stück ist unregelmäßig begrenzt und in mehrere kleine Teile zerbrochen. Das vom 1. Lendenwirbelkörper abgesprengt Stück läßt einen glattrandigen Trennungspalt erkennen und projiziert sich in Dreiecksform.

Abb. 176 (rechts). (Seitliche Röntgenaufnahme einer Hälfte der in der Sagittalebene durchgelagerten Lendenwirbelsäule eines 75-jährigen Mannes.) Kompressionsfraktur im oberen Teil des 2. Lendenwirbels mit Absprennung einer großen, oberen vorderen Ecke, die nach vorn geschoben ist. An dem darunterliegenden Wirbelkörper ein beginnender spondylotischer Randwulst, der etwas unterhalb der eigentlichen Wirbelkörperkante ansitzt (vgl. Kap. V).

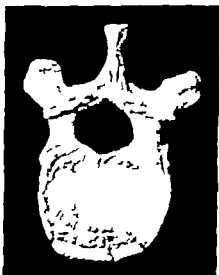


Abb. 177 (links). (Leichtbild des sezernierten 11. Brustwirbelkörpers eines 33-jährigen Mannes, Ansicht von oben.) Das obere Bogenstück der Randkante ist links und rechts durch einen schmalen Spalt von der übrigen Randkante getrennt und ein wenig nach vorn geschoben (Absprengungsfraktur der Randkante).



Abb. 178 (rechts). (Seitliche Röntgenaufnahme der sezernierten Wirbelsäule zu der der Wirbel der vorhergehenden Abbildung gehört.) Am 11. Brustwirbelkörper zeigt sich die wieder knöchern geheilte Randkantenabsprengung (Pfeil). Die geringe Keilform des Wirbelkörpers deutet auf den gleichzeitig eintretenden geringgradigen Kompressionsdruckbruch hin.

Lärperbecken zusammengestellt, wobei er auch auf die röntgenologischen Unterscheidungsmerkmale zwischen rein traumatisch bedingten Kantenerschädigungen und den pathologischen „Abtrennungen von Wirbelkörperkanten“ (S. 174ff.) eingeht.

Die Kantenbrüche stützen fast ausschließlich an den oberen Wirbelkörperkanten im Bereiche der Lendenwirbelsäule und der unteren Brustwirbelsäule, weil hier bei den in Frage kommenden Ver-

letzungsarten die entsprechenden Schub- und Abscherkräfte ansetzen. Sie können an mehreren übereinanderliegenden Wirbelkörpern vorkommen (Abb. 175). Das abgesprengte kleine apfel-einschneifenartige Knochenstück wird etwas nach vorn unten verschoben, wobei Risse in den Zwischenwirbelscheiben entstehen (S. 193). Ob kleine abgesprengte Knochenstücke, die an den unteren vorderen Kanten von Halswirbeln beobachtet wurden (Strauß u. a.) Kantenbrüche sind oder ob sie den später zu besprechenden „Abtrennungen von Wirbelkörperkanten“ zu gerechnet werden müssen, kann erst durch weitere Untersuchungen geklärt werden. Differentialdiagnostisch muß stets noch an kleine Knocheneinlagerungen (Schaltknochen) in den vorderen Teilen der Fasernge gedacht werden. Die Abgrenzung dieser kleinen Schaltknochen (S. 197) im anatomischen Präparat ist im allgemeinen leicht. Im Röntgenbild können jedoch große Schwierigkeiten bei der Beurteilung auftreten, wie eine Arbeit von Rosenthal zeigt, deren Röntgenbilderdeutungen wir uns nicht immer anschließen können.

Bei Jugendlichen, bei denen die Randleisten noch nicht vollkommen knöchern mit dem Wirbelkörper vereinigt sind, kommen traumatisch bedingte Zertrümmerungen der Wirbelkörperendleisten vor (Abb. 174–183), die durch

Zusammenstachung der Wirbelsäule herbeigeführt werden. Im Heilungsverlauf wird entweder der ganze Zwischenwirbelsäulenraum oder nur sein vorderer Teil niedriger als die benachbarten. Das Zwischenwirbelsäulengewebe zeigt vorn Risse und Zerquetschungen. Die knöchernen Randleisten sind am vorderen Wirbelkörperumfang in kleine unregelmäßige Stücke zersprengt. Dabei beteiligen sich meist beide einer Zwischenwirbelsäule zugehörigen Randleisten, und als Anheftungszustand tritt eine Verknocherung des vorderen Bandscheibentelles ein (Abb. 183). Bei her liegen nur wenige solcher Beobachtungen vor. Meist wurden die Veränderungen in der mittleren und unteren Brustwirbelsäule gefunden. Zur endgültigen Klärung ist genaue Untersuchung einer größeren Zahl von Fällen nötig. Haselberg veröffentlicht ähnliche klinische Röntgenbilder, glaubt aber nicht an traumatische Veränderungen, sondern weist sie dem Formenkreis der Adoleszentenkyphose (S. 228) zu.

6. Lösung der Knorpelplatten

Als weitere Wirbelsäulenverletzung ist die Lösung einer Knorpelplatte von der Wirbelkörperendfläche (Grund- oder Deckplatte) anzusehen. Laschke beschreibt es erstmalig, und in der Schweizerischen Wirbelsäulensammlung sind einige Präparate Jaggi's her aufbewahrt, bei denen es nach schweren Wirbelsäulenverletzungen zur Ab-

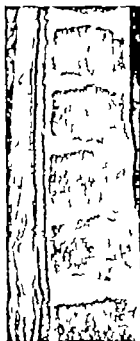


Abb. 179 (links) (Lichtbild der Sagittalschnittfläche der Brustwirbelsäule eines 13-jährigen Mädchens) Starke Höhenabnahme der 10. Brustbandscheibe, besonders vorn, geringere der 9. Brustbandscheibe. Regelrechte Verhältnisse der übrigen Brustbandscheiben und Wirbelkörper.

Abb. 180 (rechts) (Röntgenaufnahme des in der vorhergehenden Abbildung dargestellten Präparates.) Die 10. Brustbandscheibe ist vorn niedrig, die angrenzenden Wirbelkörperstelle berühren sich fast, und die knöchernen Kerne in den Wirbelkörperendleisten sind unregelmäßig begrenzt. Ähnliche, aber weniger hochgradige Veränderungen sind im Bereich der 9. Brustbandscheibe (wahrscheinlich traumatische Veränderungen) zu sehen.

Wang einer Knorpelplatte gekommen war. Die Trennung findet an der Stelle der Wachstumschicht statt und ist deshalb den „Epiphyseosen“ der übrigen Knochen gleichzusetzen (Ruge). Es kommt dabei unter gleichzeitiger Zerreißung der entsprechenden Bänder und bei gleichzeitiger Luxation der kleinen Wirbelgelenke (oder Wirbelgelenkbrüchen) zu einer vollkommenen Querdurchtrennung der Wirbelsäule. Die Möglichkeit derartiger Verletzungen bei Jugendlichen ist na dem anatomischen Aufbau der Wirbelkörperbänderbündelgrenze ohne weiteres abzulesen. Die Knorpelplatte ist durch das Einstrahlen der Zwischenwirbelscheibenfasern fest mit dem



Abb. 181 (links). (Lichtbild der Sagittalschnittfläche der Brustwirbelsäule einer 22-jährigen Frau.) Querzerteilung der 9. Brustbänderscheibe in den vorderen Teilen unter Mitbeteiligung der angrenzenden Randleisten.

Abb. 182 (Mitt.). (Röntgenaufnahme des in der vorhergehenden Abbildung dargestellten Präparates.) Die Randleisten in den vorderen Teilen der 9. Brustbänderscheibe sind unregelmäßig begrenzt, und zwischen ihnen liegen kleine Schattenherde in der niedrigen Zwischenwirbelscheibe.

Abb. 183 (rechts). (Seitliche Röntgenaufnahme einer Hälfte der in der Sagittalebene durchgesägten Brustwirbelsäule einer 24-jährigen Frau.) Wahrscheinlich traumatische Beschädigung der 8. und 10. Brustbänderscheibe. Die 8. ist im vorderen Teil völlig verknocht, die 10. ist vorn niedriger als gewöhnlich und zeigt beginnende Verknocherung.

Zwischenwirbelscheibengewebe verbunden. Auch in den knöchernen Randleistenring, der sich in den Randteilen der Knorpelplatte entwickelt, ziehen die Fasern des Anulus fibrosus hinein und schaffen hier eine feste Verbindung mit dem Bandscheibengewebe (8, 10). Nach der Wirbelkörperoberfläche zu ist die Knorpelplatte dagegen nur mit einer dünnen Kalkschicht (Schweifel) und bei Jugendlichen liegt zwischen knöcherner Randleiste und Wirbelkörper noch ein schmaler mit der Knorpelplatte zusammenhängender Knorpelstreifen (Abb. 13). Eine sehr starke Auseinanderzerrung, Überdehnung oder Drehung der Wirbelsäule kann dabei bei Jugendlichen eine Lösung zwischen Wirbelkörper und Knorpelplatte herbeiführen. Bei Erwachsenen dagegen besteht diese Gefahr nicht, weil hier die Randleiste knöchern mit dem Wirbelkörper verknüpft ist.

Die von Schweifel untersuchten Fälle von Lösung der Knorpelplatte verliefen infolge mangelhafter Mitverletzungen anderer Organe tödlich und konnten nur in freiem Zustand untersucht werden. Beobachtungen über den weiteren Verlauf einer solchen Verletzung sind bisher nicht veröffentlicht. Es fehlen daher Befunde zu der Frage, ob Lösungen der Knorpelplatten Wachstumsstörungen an den Wirbelkörpern ergeben.

J. Verletzungen der Wirbelbogenreihe

1. Brüche der Wirbelbögen und der Gelenkfortsätze

Im allgemeinen sind traumatische Veränderungen an den Wirbelkörpern bei guter Röntgentechnik auch am Lebenden nicht allzu schwer zu erkennen, besonders wenn es sich um schwerere Formen von Wirbelzusammenbrüchen, Keilwirbelbildungen usw. handelt. Viel schwieriger ist aber

die Diagnostik von traumatischen Veränderungen im Bereiche der Wirbelbögen. Die sich vielfach überschneidenden Schattenzeichnungen der verschiedenen Fortsätze der Wirbelbögen und der so im Brustteil noch überschattenden Rippen erschweren ein Erkennen von Bruchlinien und kleinen Verschiebungen von Bruchstücken. Wenn außerdem Randwulstbildungen infolge von Arthrosis der Wirbelbogengelenke sowie der Rippen Wirbel Gelenke bestehen, dann wird die Schattenzeichnung noch unübersichtlicher. Eine gute Schichtaufnahmetechnik vermag sicherlich manchen schwierig erkennbaren Bruch an den Wirbelbögen und ihren Fortsätzen aufzudecken.

Wirbelbogenbrüche sind am häufigsten als Mitverletzungen bei Wirbelkörperbrüchen, insbesondere bei schweren Verrenkungsbrüchen der Wirbelsäule (Heller u. a.) Böhrer nimmt an, daß alle Quetschbrüche der Wirbelkörper mit Bänderverletzungen und Bogenbrüchen einhergehen, und er leitet vor allem auch aus dieser Tatsache heraus die Berechtigung ab in jedem Fall von Wirbelkörperquetschbruch eine Einrichtung mit dem Ziele der Wiederherstellung der regelrechten anatomischen Verhältnisse auszuführen (vgl. S. 101).

Selbständige Wirbelbogenbrüche entstehen meist durch unmittelbare Verletzungen (Stoß von hinten). Sie können noch Wirbeluxationen nach sich ziehen. Im klinischen Schrifttum sind zahlreiche Arbeiten über die Wirbelbogenbrüche enthalten (Heller Gold Ruge M. Lange v. Oettingen Oelcker Reimer u. a.) die ausführlich auf die schwierige Röntgendarstellung und die Mitverletzungen des Rückenmarks durch Splitter oder durch Verschiebungen eingehen. Als besonders selten gelten horizontale Bogenbrüche (Marx) Schwirzen erwähnt in seiner Sammelstatistik 43 v. H. tödlich verlaufende und nur 20 v. H. völlig ausheilende Bogenbrüche. Bei der Heilung gehen Wirbelbogenbrüche oft mit großen Kallusbildungen einher, die später zu knöcherner Versteifung in dem betroffenen Wirbelsäulenabschnitt führen. Brüche des hinteren Atlasbogens sind selten (Morris und Ellis).

Brüche im Zwischengelenkraum also an der Stelle, an der bei der echten Spondylolisthesis die Spaltbildung sitzt (Abb. 67 und 68) sind als traumatische Spondylolisthesen mehrfach beschrieben worden (Abraham Böhrer und Heurich Reimer). Näheres darüber enthält Kap. VIII B.

Selbständige Abbrüche der Gelenkfortsätze gelten als Seltenheit (Eben Gold Jah. Ludloff Ruge Simonson u. a.). Dagegen sind sie als Mitverletzungen bei ausgedehnten Bogenbrüchen und bei Verrenkungsbrüchen der Wirbelkörper häufig beobachtet worden. Die selbständigen Gelenkfortsatzbrüche entstehen durch unmittelbar angreifende Gewalt. Bei der Diagnostik kann die Schichtaufnahme weiterhelfen (Sjgaard und Gerard) jedoch muß man sich vor Verwechslungen mit angeborenen Spaltbildungen (nicht knöchern verwachsene Apophysen der Gelenkfortsatzspitzen) hüten (Kap. II C 9).

2. Dornfortsatzbrüche

Abbrüche von Dornfortsätzen werden in zunehmender Häufigkeit im Schrifttum beschrieben. Sie können durch unmittelbare Gewalteinwirkung entstehen (Barts Gold Magnus Ruge) kommen aber häufiger als Abrißbrüche durch Muskelzug zustande (Boß Hencken Sandahl Vengebauer). Sie waren schon früher bei Cricketspielern bekannt (Hencken). In den letzten Jahren haften sie sich und wurden meist bei Menschen beobachtet, die lange arbeitslos waren und als Notstandsarbeiter mit Erdarbeiten beschäftigt wurden (Camigiani Magnus Meigs u. a.). Sie werden deshalb auch als Schuppenkrankheit oder „Schleuderbruch“ bezeichnet und als Überlastungsschaden oder „Ermüdungsfrakturen“ (Gertel Rostock) gedeutet. Fragen über Unfallzusammenhang sind deshalb häufig erörtert worden (Kaspar Koepchen und Bauer). Die durch Muskelzug (M. trapezius Min. rhomboid., M. serratus sup. post.) entstehenden Dornfortsatzabrisse sitzen meist am Übergang der Hals- zur Brustwirbelsäule (Häufigkeitsreihe nach Reimer: 1. Brustwirbel, 7. Halswirbel, 2. Brustwirbel). Nur selten kommen sie an Lendenwirbeldornfortsätzen vor (Götzel Schütz, Küllner). Im allgemeinen kommt nur der Abbruch eines Dornfortsatzes zur Beobachtung. Gleichzeitige Abrisse mehrerer Dornfortsätze (Abb. 184–185) gelten als Seltenheit (Hencken Wagner Wolf). Der Muskelzug zieht das gebrochene Stück meist nach unten (Reiser v. Schütz). Das Röntgenbild von vorn mit dem Doppelumriß der Bruchfläche ist allgemein bekannt (Abb. 184). Auch Schrägaufnahmen werden empfohlen (Sitt). Weiteres Schrifttum: Altschul Bofinger Borani Dobusch Duvalier Gerber



Abb. 184 u. 185. (Röntgenaufnahme des Halsbrust Übergangs der Wirbelsäule eines jungen Mannes, Vorderbild und Seitenbild.) Abbruch der Dornfortsätze des 6. und 7. Halswirbels und des 1. und 2. Brustwirbels. Im Vorderbild ist deutlich die Doppelkontur der verschobenen Bruchfläche der Dornfortsätze sichtbar. Im Seitenbild zeigt sich die typische Verlagerung des Bruchstückes nach steilwärts.

Grashey Gutz, Hoffmann, Jaki Koppchen, Koppchen und Bauer Ludwig Matthes Reuschauer Rohde Schmieden Schmitt und Wasser Sommer Stamm, Veit Volkmann Wachs Zollinger

Abbrüche von Dornfortsätzen durch Umbauaktionen bei starken Wirbelsäulenverkrümmungen beschreibt W. Müller Spontanbrüche der Dornfortsätze Wachs Schmitt und Wasser rechnen die abgetrennten Dornfortsatzspitzen zu den aseptischen Apophysennekrosen, und Marx beschreibt den Zusammenhang mit Bandscheibenvorfällen in der Halswirbelsäule.

In den Fällen der Wirbelkörperquerbrüche (fractura cum distractio 8 108) kann eine horizontale Spaltung des Dornfortsatzes beobachtet werden (Böhler Wachs)

3. Querfortsatzbrüche

Die Abbrüche von Querfortsätzen, die meist an der Lendenwirbelsäule zur Beobachtung kommen, haben eine große differentialdiagnostische Bedeutung, da sie leicht mit Lendenrippen (8 58) also mit angeborenen Zuständen (Brink Darbois und Salol Ernst und Römmelt, v. Hayek u. v. a.) oder im Röntgenbild auch mit Nierensteinen (Méril und Baillat) Harnleitersteinen und verkalkten Drüsen verwechselt werden können. Aus diesem Grunde hat sich ein großes klinisches Schrifttum mit der Durchforschung und Abgrenzung dieser verschiedenen Veränderungen beschäftigt. Von vielen Seiten wird die Ansicht geäußert, daß die Abbrüche von Lendenwirbelquerfortsätzen stets, oder wenigstens in der Mehrzahl der Fälle durch mechanische d. h. durch mittelbare Gewaltwirkung entstehen (Bordt-Trotts Boß Caputo, Fränkel, Jaki Levy Magnus Perle Schieffl u. v. a.). Das Überwiegen einer unmittelbaren Gewaltwirkung zu ihrer Entstehung wird ebenfalls behauptet (Barta Chervier und Edum Charanmas, Ernst und Römmelt Lange Niedlich Ott Quaintance Winterstein u. a.). Querfortsatzbrüche können für sich allein vorkommen oder mit anderen Knochenbrüchen (Wirbelkörper Rippen, Becken) vergesellschaftet sein. Letzteres ist nach Quaintance in 27 v. H. der Querfortsatzbrüche der Fall. Bei den Querfortsatzbrüchen läuft die Bruchlinie meist in einer der Pfeilnahtenebene ungefähr parallelen Ebene. Die Bruchstücke können recht verschiedene Größen haben. Gorka berichtet über den einzigen bisher bekannten Fall eines horizontal durch beide Querfortsätze des 1. Lendenwirbels verlaufende

Im allgemeinen treten die Querfortsatzbrüche an der Lendenwirbelsäule (2., 3., 4., 5. Lendenwirbel). Sie können einseitig oder doppelseitig auf. Reihenbrüche mehrerer oder aller Querfortsätze einer Seite vor. Corret, Wagner. In ganz seltenen Fällen sind auch Querfortsatzbrüche an der Halswirbelsäule beobachtet worden (Levy). Der Muskelzug verschiebt die abgetrennten Stücke nach unten, so daß keine knöchernen Haken bilden sich.

Aus dem umfangreichen klinischen Schrifttum seien noch die Namen von Barta Chervier Dupont Grosz Ilkowitz Montani Otto Schulz-Gockel, Zur

ttum seien noch die Namen von Barta Chervier Dupont Grosz Ilkowitz Montani Otto Schulz-Gockel, Zur

ne Wirbelbruch. itarische nach Magnus 1 kommen nicht allein an der Hals-, Magnus, Ott, Tietze und der oberen Lendenwirbelsäule meist nach einer Verletzung oder angeborenen Verkrümmung (Möller) erwähnt werden. In Ludwig

Mitbeteiligung der Zwischenwirbelscheiben vor sich geht, weil für den Zusammenhalt im Bewegungssegment das „Halbgelenk Zwischenwirbelscheibe“ und die Wirbelbogengelenke als hauptsächlichste Bewegungselemente aufeinander abgestimmt sind. Eine unerlässliche Mitverletzung bei der Ausrenkung von Wirbelbogengelenken erleiden auch die gelben Bänder, die den Gelenkspalt straff überbrücken (Kap. I E, III O). Wie oft bei Wirbeltraumen eine vorübergehende teilweise oder volltändige Verrenkung der Wirbelbogengelenke mit sofortigem Zurückfedern in die Normalhaltung eintritt, ist unklar und wird sich wohl auch nie zahlenmäßig genau erfassen lassen. Zwischen den oberen Halswirbeln werden Verrenkungen begünstigt (S. 108), weil hier echte Gelenke vorliegen (S. 26), denen die straffen Verbindungen fehlen, die an den ande-



Abb. 186 (links) (Röntgenaufnahme der Lendenwirbelsäule eines Mannes im mittleren Lebensalter) Ältere Reihenaussparung der linken Querfortsätze



Abb. 187 (recht) (Anschnitt einer Röntgenaufnahme der oberen Halswirbelsäule durch den geöffneten Mund bei einem 14-jährigen Jungen.) Links im Atlasring stehender Zahnsatz. Gelenk zwischen Atlas und Epistropheus links breit, während rechts das Gelenkflächen schief zueinander stehen. Klinisch bestand Blockierung mit „Steifheit“, die chondrokalzinose gelöst wurde.

ren Bewegungssegmenten der Wirbelsäule durch den Anulus fibrosus der Zwischenwirbelscheiben bestehen. Eine besondere Bedeutung haben die oft fälschlicherweise als Subluxationen bezeichneten „blockierten Fehlstellungen“ der Gelenke zwischen den oberen Halswirbeln (Kopfgelenke, Abb. 187) in der letzten Zeit gewonnen (Zuckewerdt), weil ihr Zusammenhang mit Kopfschmerzen nach Schädelt trauma (Gutmann, Salter, Sellmann u. a.) und die Frage der Behandlungsfähigkeit durch chiropraktische Maßnahmen mehr und mehr in den Vordergrund gerückt sind (Kap. I J, III H 1 IV C 4 VIII A). Weiteres Schrifttum: Biedermann, Decker und Mitarbeiter, Derbolavsky, Dreyer, Gelehrter, Matzdorf, Mau, Wern.

K. Infektionen

1. Tuberkulose

Seit Anfang des 10. Jahrhunderts ist bekannt, daß sich Infektionen, ebenso wie in anderen Knochen, auch in den Wirbelkörpern festsetzen können. Wenzel beschreibt 1824 ausführlich ein Präparat mit tuberkulöser Zerstörung einiger Wirbelkörper. Anderen Infektionen der Wirbelkörper hat man aber erst in der letzten Hälfte des vergangenen Jahrhunderts Beachtung geschenkt, und Quincke war der erste, der sich eingehend mit solchen Vorgängen beschäftigte und auch den Namen Spondylitis infectiosa einführte. Die Spondylitis tuberculosa ist die häufigste Wirbelinfektion und gleichzeitig auch die häufigste Form der Knochentuberkulose. Am stärksten befallen wird die Wirbelsäulenmitte (untere Brust- und obere Lendenwirbelsäule), während der Lendenkreuzbeinübergang, Kreuzbein, Steißbein und die obere Halswirbelsäule nur selten erkranken. Obwohl die Krankheit in jedem Lebensalter auftreten kann, entstehen doch etwa 50 v. H. bereits im 1. Lebens-

jahrzehnt und nach dem 20. Lebensjahre beginnen nur noch ungefähr 25 v. H. der Wirbeltuberkulosen.

Wegen ihrer klinischen Wichtigkeit hat die Wirbeltuberkulose bereits so zahlreiche Bearbeitungen gefunden, und im Schrifttum sind ausgezeichnete Röntgenaufnahmen und anatomische Präparate abgebildet, daß hier nur kurz einige wichtige Besonderheiten unterstrichen werden sollen, die fast alle auch für die übrigen Infektionen der Wirbelsäule gelten. Die Besprechung der Zwischenwirbelscheibeninfektionen ist einem eigenen Abschnitt vorbehalten (Kap. IV G). Ausführliche klinische und röntgenologische Beschreibungen der Wirbeltuberkulose finden sich bei *Brocker, Freund, Gold, Janas, Kossachy, Kremer und Wies, Hofmann, Lange, Malachuk, Spalitzer, Strukow* u. a.

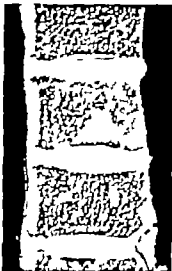


Abb. 188. (Lichtbild der Sagittalschnittfläche der Brustwirbelsäule eines älteren Mannes.) Begleitende Tuberkulose um 4. Brustwirbel in der Nähe der Wirbelkörpergrundplatte mit Verkümmern des Wirbelmarkes (dreieckige hellere Stelle). Eine Beteiligung der Zwischenwirbelscheibe ist noch nicht eingetreten.

Die ersten Ansiedlungen von tuberkulösen Infektionsherden entstehen meist an den nach vorn zu liegenden Teilen der Wirbelkörperaußenfläche oder in der Nähe der Wirbelkörpergeschlußplatten (Abb. 188). Im anatomischen Präparat lassen die sich käsig eingeschmolzenen Herde leicht erkennen, während im Anfang der Erkrankung große Schwierigkeiten bestehen, den Sitz der Herde im Röntgenbild aufzudecken, da nach den Untersuchungen von *Chassin* u. a. Einschmelzungsherde von 1–1,5 cm Durchmesser noch nicht zu sehen sind. Nach der Einschmelzung der Tuberkelbazillen in den Wirbelkörper dauert es meist 3½–5 Monate ehe Zerstörungen von Knochenbälkchen im Wirbel bei der üblichen Aufnahme röntgenologisch erkannt werden. Bei Anwendung des Schleiftaufnahmeverfahrens bestehen schon in früheren Monaten Darstellungsmöglichkeiten (*Keller*). Es gibt aber in vielen Krankheitsfällen einige andere im Röntgenbild sichtbare Zeichen, die auf Wirbelkörperinfektionen schließen lassen, und die schon vor dem Auftreten sichtbarer Einschmelzungsherde vorhanden sein können. Höbenahme des Zwischenwirbelscheiben und Verbreiterung des Paravertebralschattens. Die Verminderung der Zwischenwirbelraumhöhe entsteht durch Einschmelzung des Bandscheibengewebes nach Einbruch eines bandscheibennahen Infektionsherdes (vgl. Kap. IV G 2) oder auch durch Eindringen von Bandscheibengewebe (Gallertkernprolaps) in die Zerfallshöhle des Wirbelkörpers (S. 160). Die Verbreiterung des Paravertebralschattens ist Zeichen für die Ausbreitung des tuberkulösen Granulationsgewebes in das vordere Längsband, wo sich allmählich ein spindelförmiger paravertebraler Abzess ausbildet, der schließlich zu einem Senkungsabzess werden kann.

In zweifelhaften Fällen kann die Diagnostik auch durch Probepunktionen des verdächtigen Wirbelherdes gesichert werden (*Craig, Frankel, Valls* mit *Ottolenghi* und *Schojarcz*). Der gleiche Zugang dient zur Instillationsbehandlung mit tuberkulostatischen Mitteln (*Drexler* und *Stracker*).

Die Senkungsabzesse bei Wirbeltuberkulose entwickeln sich nur selten unmittelbar nach hinten zu in den Periduralraum. Häufiger breiten sie sich vom oben beschriebenen Paravertebralabzess herkommend, nach vorn und seitlich aus und nehmen dann je nach ihrem Ausgangspunkt die bekannten Ausbreitungswege, die in zahlreichen Abhandlungen ausführlich beschrieben sind (*Baccaglioni, Halberler* und *Rusak, Kossachy, Königsmeyer, Rummelhardt* u. a.).

Die von einem Wirbelherd ausgehende Verbreiterung der spezifischen Entzündung in die weitere Umgebung muß aber nicht immer auf dem Wege eines Abzesses, sondern kann auch als infiltrierender Entzündungsvorgang in Form einer Osteoperiostitis tuberculosa vor sich gehen. Diese besonders Erscheinungsform der Wirbeltuberkulose (*Mandelbaum*), die auch als Spondylitis anterior superficialis (*Guliani* und *Volpert, Jentschura, Malachuk, Scherb, Schultze* u. a.) bezeichnet wird, breitet sich im vorderen Längsband sowohl steilwärts als auch kopfwärts vom Ursprungs-herd aus und dringt von vorn und seitlich her in entfernt gelegene Zwischenwirbelscheiben

ein, die der Zerstörung anheimfallen. Das kann bei der Tuberkulose ebenso wie bei anderen Infektionen geschehen (Abb 341)

Die Erkrankung von mehreren Wirbelkörpern an Tuberkulose ist häufig und wird in hiesigen Statistiken mit 50 v H angegeben (*Gold Rummelhardt*). Wenn es sich um benachbarte Wirbelkörper handelt, dann ist die Erkrankung meist von einem ursprünglichen Wirbelherd aus durch die Zwischenwirbelscheibe hindurch in den nächsten Wirbelkörper gelangt. Von *Hansen* wird die gleichzeitige Erkrankung von 2 übereinanderliegenden Wirbelkörpern damit erklärt, daß benachbarte Wirbelkörper von dem gleichen Blutgefäß versorgt werden und dadurch einer gleichzeitigen Einschwemmung von Krankheitserregern unterliegen können. Diese Behauptung bedarf jedoch noch der Klärung durch feingewebige Untersuchungen. Entzündungs- und Fröhliche Erkrankungen von mehr als 2 aneinandergrenzenden Wirbelkörpern (Abb 189 190) sollen nach klinischen Angaben in 0,5 v H vorkommen. Mehrfache voneinander entfernte Herdbildungen bei Wirbeltuberkulose (Abb 101) werden in 1-4 v H der klinisch beobachteten Fälle angegeben (*Berger Rivaupoli Paltrin*). Diese Zahlen sind nach anatomischen Untersuchungen aber sicher zu niedrig, weil sich viele kleine Wirbelherde dem röntgenologischen Nachweis entziehen.

Im Gegensatz zur Häufigkeit der Wirbelkörper-tuberkulose ist die Tuberkulose der Wirbelbogenreihe selten (*Huse* und *Lambert Kremer* und *Wise*). Voratz zählte bei 2202 Fällen von Wirbeltuberkulose nur 8mal eine Tuberkulose der Wirbelbogen.

Die Ausheilungszustände der Wirbeltuberkulose verdienen große Beachtung, weil hier oft differentialdiagnostisch schwierig zu klärende Zustandsbilder auftreten, an deren genauer Erkennung dem Kliniker und Röntgenologen sehr viel gelegen ist. Besonders oft muß dabei die Frage erörtert werden, ob bei einer knöchernen Wirbelverschmelzung ein angeborener Blockwirbel, Restzustände einer Tuberkulose (oder einer anderen entzündlichen Erkrankung) oder vielleicht Folgen einer traumatischen Schädigung vorliegen. Trotz starker Gibbonbildung infolge der großen Zerstörungsherde kann sich das Knochenbalkchenwerk bei der Ausheilung einer Tuberkulose wieder in regelrechtem, feingliedrigem Aufbau herstellen (Abb 189). Oft sind 6-8 Wirbel in einem Gibbus zu einem einzigen großen Blockwirbel verschmolzen, in dem sich keinerlei Reste von Zwischenwirbelscheibengewebe mehr nachweisen lassen, und in dem der Umbau der Spongiosazeichnung sich vollkommen den veränderten Belastungsverhältnissen angepaßt hat. Bei Beginn der Ausheilung wird um den tuberkulösen Herd zunächst ein ziemlich sklerotisches Knochengewebe angelegt (Elfenbeinwirbel S 100), das erst nach vollkommener Ausheilung der Infektion wieder abgebaut wird bis zur Wiederherstellung einer feinen Spongiosazeichnung.

Bei manchen der mit Gibbus ausgeheilten Fälle von Tuberkulose der Brustwirbelsäule fällt eine beträchtliche Höhenzunahme der im lordotisch gekrümmten Lententell liegenden Wirbelkörper auf (Abb 189 190). Die Wirbel können ihren senkrechten Durchmesser um $\frac{1}{3}$ vergrößern. Derartige Langwirbel werden aber nur dann gefunden, wenn die Erkrankung der Brustwirbelsäule zu einer Zeit erfolgte, in der das Längswachstum der Wirbelkörper noch nicht abgeschlossen war, die Wachstumszonen also noch bestanden. *Ménaud* hat zuerst auf diese Höhenzunahme („Verlängerung“)

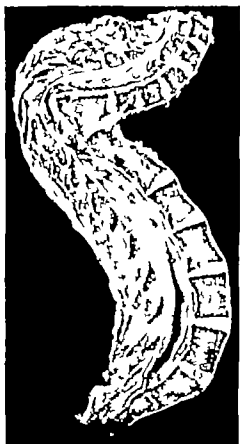


Abb. 189 (Lichtbild der Sagittalschnittfläche der Wirbelsäule eines Mannes.) Alter ausgeheilte tuberkulöse Gibbus mit Verengung zahlreicher Wirbel zu zwei großen Blockwirbeln. Auffallende Höhenzunahme der unterhalb des Gibbus liegenden erhaltenen Wirbelkörper („Langwirbel“ besser „Hochwirbel“).

jahrzehnt, und nach dem 20. Lebensjahre beginnen nur noch ungefähr 25 v. H. der Wirbeltuberkulosen.

Wegen ihrer klinischen Wichtigkeit hat die Wirbeltuberkulose bereits so zahlreiche Bearbeitungen gefunden, und im Schrifttum sind ausgezeichnete Röntgenaufnahmen und anatomische Präparate abgebildet, daß hier nur kurz einige wichtige Besonderheiten unterstrichen werden sollen, die fast alle auch für die übrigen Infektionen der Wirbelsäule gelten. Die Besprechung der Zwischenwirbelscheibeninfektionen ist einem eigenen Abschnitt vorbehalten (Kap. IV G). Ausführliche klinische und röntgenologische Beschreibungen der Wirbeltuberkulose finden sich bei *Brocher Freund Gold Jonas Knochegg Kremer und Wieser Kofmann Lange Malacke Sgalliter Strubenc u. a.*

Die ersten Ansiedlungen von tuberkulösen Infektionsherden entstehen meist an den nach vorn zu liegenden Teilen der Wirbelkörperaußenfläche oder in der Nähe der Wirbelkörperanschlußplatten (Abb. 188). Im anatomischen Präparat lassen die sich käsig eingeschmolzenen Herde leicht erkennen, während im Anfang der Erkrankung große Schwierigkeiten bestehen, den Sitz der Herde im Röntgenbild aufzudecken, da nach den Untersuchungen von *Chassin u. a.* Einschmelzungsherde von 1–1,5 cm Durchmesser noch nicht zu sehen sind. Nach der Einschmelzung der Tuberkelbazillen in den Wirbelkörper dauert es meist 3½–5 Monate, ehe Zerstörungen von Knochenbälkchen im Wirbel bei der üblichen Aufnahme röntgenologisch erkannt werden. Bei Anwendung des Schichtaufnahmeverfahrens bestehen schon in früheren Monaten Darstellungsmöglichkeiten (*Keller*). Es gibt aber in vielen Krankheitsfällen einige andere im Röntgenbild sichtbare Zeichen, die auf Wirbelkörperinfektionen schließen lassen, und die schon vor dem Auftreten sichtbarer Einschmelzungsherde vorhanden sein können: Höhenabnahme des Zwischenwirbelsraumes und Verbreiterung des Paravertebralschattens. Die Verminderung des Zwischenwirbelsraumhöhe entsteht durch Einschmelzung des Bandscheibengewebes nach Einbruch eines bandscheibennahen Infektionsherdes (vgl. Kap. IV G 2) oder auch durch Eindringen von Bandscheibengewebe (Gallertkernprolaps) in die Zerfallshöhle des Wirbelkörpers (S. 160). Die Verbreiterung des Paravertebralschattens ist Zeichen für die Ausbreitung des tuberkulösen Granulationsgewebes in das vordere Längsband, wo sich allmählich ein spindelförmiger paravertebraler Abszeß ausbildet, der schließlich zu einem Senkungsabszeß werden kann.

In zweifelhaften Fällen kann die Diagnostik auch durch Probepunktionen des verdächtigen Wirbelherdes gesichert werden (*Craig Frankel Falls mit Ottolenghi und Schajowicz*). Der gleiche Zugang dient zur Instillationsbehandlung mit tuberkulostatischen Mitteln (*Drexler und Ströcker*).

Die Senkungsabszesse bei Wirbeltuberkulose entwickeln sich nur selten unmittelbar nach hinten zu in den Periduralraum. Häufiger breiten sie sich vom oben beschriebenen Paravertebralabszeß herkommend, nach vorn und seitlich aus und nehmen dann je nach ihrem Ausgangspunkt die bekannten Ausbreitungswege, die in zahlreichen Abhandlungen ausführlich beschrieben sind (*Baccoglioni Haberler und Bisak Knochegg Königswieser Rummelhardt u. v. a.*).

Die von einem Wirbelherd ausgehende Verbreitung der spezifischen Entzündung in die weitere Umgebung muß aber nicht immer auf dem Wege eines Abszesses, sondern kann auch als infiltrierender Entzündungsvorgang in Form einer Osteoperiostitis tuberculosa vor sich gehen. Diese besondere Erscheinungsform der Wirbeltuberkulose (*Mandelstamm*), die auch als Spondylitis anterior superficialis (*Guthrie*) und *Falket Jentschura Malacke Scherb Schwies u. a.*) bezeichnet wird, breitet sich im vorderen Längsband sowohl steilwärts als auch kopfwärts vom Ursprungsherd aus und dringt von vorn und seitlich her in entfernt gelegene Zwischenwirbelscheiben

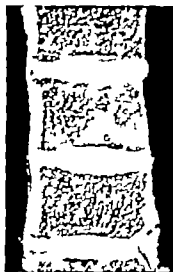


Abb. 188. (Lichtbild der Baggital schnittfläche der Brustwirbel säule eines älteren Mannes.) Beginnende Tuberkulose im 4. Brust wirbel in der Nähe der Wirbel körpergrundplatte mit Nekrose des Wirbelmarkes (dunklere hellere Stelle). Eine Beteiligung der Zwischenwirbelscheibe ist noch nicht eingetreten.

ein, die der Zerstörung anheimfallen. Das kann bei der Tuberkulose ebenso wie bei anderen Infektionen geschehen (Abb 341)

Die Erkrankung von mehreren Wirbelkörpern an Tuberkulose ist häufig und wird in klinischen Statistiken mit 50 v H angegeben (*Gold Rummelhardt*). Wenn es sich um benachbarte Wirbelkörper handelt, dann ist die Erkrankung meist von einem ursprünglichen Wirbelherd aus durch die Zwischenwirbelscheibe hindurch in den nächsten Wirbelkörper gelangt. Von *Hansen* wird die gleichzeitige Erkrankung von 2 übereinanderliegenden Wirbelkörpern damit erklärt, daß benachbarte Wirbelkörper von dem gleichen Blutgefäß versorgt werden und dadurch einer gleichzeitigen Einschwemmung von Krankheitserregern unterliegen können. Diese Behauptung bedarf jedoch noch der Klärung durch feingewebige Untersuchungen entsprechender Frühstadien Erkrankungen von mehr als 2 aneinandergrenzenden Wirbelkörpern (Abb 180 190) sollen nach klinischen Angaben in 0,5 v H vorkommen. Mehrfache voneinander entfernte Herdbildungen bei Wirbeltuberkulose (Abb 191) werden in 1–4 v H der klinisch beobachteten Fälle angegeben (*Berger Rusanpoli Palmieri*). Diese Zahlen sind nach anatomischen Untersuchungen aber sicher zu niedrig, weil sich viele kleine Wirbelherde dem röntgenologischen Nachweis entziehen.

Im Gegensatz zur Häufigkeit der Wirbelkörper tuberkulose ist die Tuberkulose der Wirbelbogenreihe selten (*Hunter* und *Lambert Kremer* und *Wiese*). Vorak zählte bei 2202 Fällen von Wirbeltuberkulose nur 8mal eine Tuberkulose der Wirbelbögen.

Die Ausheilungszustände der Wirbeltuberkulose verdienen große Beachtung, weil hier oft differenzialdiagnostisch schwierig zu klärende Zustandsbilder auftreten, an deren genauer Erkennung dem Kliniker und Röntgenologen sehr viel gelegen ist. Besonders oft muß dabei die Frage erörtert werden, ob bei einer knöchernen Wirbelverschmelzung ein angeborener Blockwirbel, Restzustand einer Tuberkulose (oder einer anderen entzündlichen Erkrankung) oder vielleicht Folgen einer traumatischen Schädigung vorliegen. Trotz starker Gibbushildung infolge der großen Zerstörungsherde kann sich das Knochenbalkchenwerk bei der Ausheilung einer Tuberkulose wieder in regelrechtem feingliedrigem Aufbau herstellen (Abb 189). Oft sind 6–8 Wirbel in einem Gibbus zu einem einzigen großen Blockwirbel verschmolzen, in dem sich keinerlei Reste von Zwischenwirbelscheibengewebe mehr nachweisen lassen, und in dem der Umbau der Spongiosazeichnung sich vollkommen den veränderten Belastungsverhältnissen angepaßt hat. Bei Beginn der Ausheilung wird um den tuberkulösen Herd zunächst ein ziemlich sklerotisches Knochengewebe angelegt („Elfenbeinwirbel“ S 100), das erst nach vollkommener Ausheilung der Infektion wieder abgebaut wird bis zur Wiederherstellung einer feinen Spongiosazeichnung.

Bei manchen der mit Gibbus ausgeheilten Fälle von Tuberkulose der Brustwirbelsäule fällt eine beträchtliche Höhenzunahme der im lordotisch gekrümmten Lendenteil liegenden Wirbelkörper auf (Abb 189 190). Die Wirbel können ihren senkrechten Durchmesser um $\frac{1}{2}$ vergrößern. Derartige Langwirbel werden aber nur dann gefunden, wenn die Erkrankung der Brustwirbelsäule zu einer Zeit erfolgte, in der das Längenwachstum der Wirbelkörper noch nicht abgeschlossen war, die Wachstumszonen also noch bestanden. *Ménière* hat zuerst auf diese Höhenzunahme („Verlängerung“)

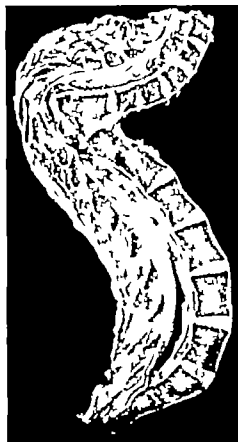


Abb. 189 (Lichtbild der Sagittalschnittfläche der Wirbelsäule eines Mannes.) Alter ausgeheilter tuberkulöser Gibbus mit Vereinigung zahlreicher Wirbel zu zwei großen Blockwirbeln. Auffällende Höhenzunahme der unterhalb des Gibbus liegenden erhaltenen Wirbelkörper („Langwirbel“ besser „Hochwirbel“)

der Wirbelkörper hingewiesen. Sie ist allerdings nicht für die Fälle mit einem durch Tuberkulose hervorgerufenen Gibbus charakteristisch, sondern findet sich auch bei aus anderen Ursachen vor dem Wachstumsabschluß entstandenen, stark spitzwinkligen Abknickungen im unteren Brustteil,

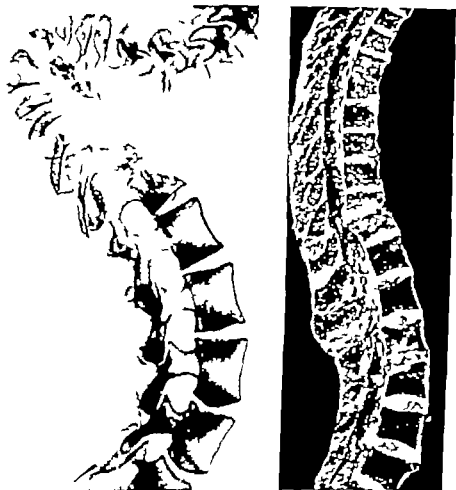


Abb. 190 (links). (Serielle Röntgenaufnahme einer Hälfte der in der Sagittalebene durchgetrennten Wirbelsäule einer 44jährigen Frau.) Ältere einschneidende Tuberkulose in zahlreichen Wirbelkörpern mit Gibbusbildung. Vertikalknung im Bereich der Tuberkulose. Höhenzunahme der unterhalb des Gibbus liegenden gesunden Wirbelkörper („Hochwirbel“) mit gleichzeitiger Vergrößerung der zugehörigen Zwischenwirbelscheiben.

Abb. 191 (rechts). (Lichtbild der Sagittalschnittfläche der Wirbelsäule einer 64jährigen Frau.) Mehrere tuberkulöse Herde in verschiedenen, entfernt voneinander liegenden Wirbelsäulenabschnitten: im 2., 6., 10., 11. Brust- sowie 2. und 3. Lendenwirbelkörper und den zugehörigen Zwischenwirbelscheiben.

mitunter auch bei Kyphoskoliosen. Hense greift deshalb bei Aufstellung seiner Theorie der Skoliosenentwicklung auf diese Tatsache zurück.

Die Vorgänge bei der Ausheilung und die endgültigen Ausheilungszustände bei Wirbeltuberkulose sind von klinischer Seite in vielen Arbeiten (besonders auch röntgenologisch) untersucht worden. Frack, Funder, Landemann, Perotti, Ratti, Schiller und Altachal u. a. Über vollkommene Ausheilung von Tuberkuloseherden in der Wirbelsäule mit Wiederherstellung der anatomischen Normalform berichtet Groos. Derartig gute Behandlungserfolge werden im wesentlichen von der rechtzeitigen Erkennung, von der Schwere der Erkrankung und der Art der Behandlung abhängen. Besonders rasche und dauerhafte Erfolge sind von der operativen Ausräumung der Wirbelherde und der zugehörigen Abszesse mit anschließender Behandlung durch tuberkulostatische Mittel zu erwarten (Koster, de Sinc und Debeyre, Willinson u. a.) während die früher oft angewendeten

Spannverletzungen immer mehr in den Hintergrund treten, dabei kommen auch "totale Wirbelreaktionen" in Frage (*Moser*). Klinisches Schrifttum: *Albert Anbaum, Bernard Picard, Diner und Jenner, Berg, Burigard, Blumensant, Bosworth und Levine, Bujorian, Castiglione, Coquellet, Drexler und Ströcker, Dugrey, Eichenholtz und Mayer v. Finck, Grunwald, Hanson, Herlyn und Koch, Kofman, Nitsche, Orill, Pernu, Soldi, Weissman und Tukiński*. Aus Angaben von *Borrema* geht hervor, daß 53 v. H. aller Menschen mit Wirbeltuberkulose in den ersten 10 Jahren nach dem Auftreten der Erkrankung sterben. Der Tod erfolgt meist nicht an der Wirbeltuberkulose selbst, sondern an einer Lungentuberkulose.

Die Beziehungen zwischen Tuberkulose und Trauma sind in den letzten Jahren eingehend besprochen worden (*Dergin, Francis, Gold, Haumann, Jaeger, Leech, Leclercq u. a.*). *Ruge* bringt eine kurze Zusammenfassung des heutigen Standpunktes mit Erörterung differentialdiagnostischer Fragen. „Erkrankt ein traumatisch geschädigter Wirbel an Tuberkulose, so ist es sehr viel wahr scheinlicher, daß ein unbekannter tuberkulöser Herd für das Trauma ein *Locus minoris resistentiae* gewesen ist, als daß umgekehrt das Trauma einer embolischen Tuberkulose den Weg bereitet habe. Im Handbuch der gesamten Unfallheilkunde (1933, Band 1) hat *Geißendörfer* die zur Anerkennung einer traumatisch entstandenen chirurgischen Tuberkulose notwendigen Voraussetzungen erläutert.

2. Osteomyelitis und Spondylitis infectiosa

Die Wirbelosteomyelitis ist die seltenste Form der eitrigen Knochenmarkentzündung im menschlichen Körper. Sie macht ungefähr 2 v. H. aller Osteomyelitisfälle aus (*Hahn*) und wird im allgemeinen durch Staphylokokken (*Armand, Carnot, Casson, Gold, Kocher, Lenger, Laxer, Mallet, Guy, Ochleker, Puhl, Ratzeja, Semb und Sundt u. a.*) in seltenen Fällen durch Streptokokken (*Largot und Solal, Gold, Puhl u. a.*) hervorgerufen.

Nach allen bekannten Infektionskrankheiten können bakterielle Metastasen in der Wirbelsäule auftreten und zu osteomyelitischen Vorgängen führen. Spondylitis infectiosa. Das Schrifttum enthält Berichte über Spondylitis infectiosa, die sich im Anschluß an folgende Krankheiten eingestellt hatten:

- Abortus (septisch) (*Graeber*)
- Angina (*Berg, Hürwurm, Schmeel*)
- Aktinomykose (Kap. III K 5).
- Appendizitis (*Hellner*)
- Bazill. Infektion oder Brucellosis (*Bertsch, Brocke und Parkani, Franzen, Jensen, Krieger, Lassen, Palagi, Pretori, Rodell, de Rivaz, Sandström*)
- Diphtherie (*Franckel, Rodt*)
- Erysipel (*Franckel, Rodt*)
- Fleckfieber (*Klose, Puhl*)
- Furunkulose (*Graeber*)
- Grippe (*Puhl, Schmeel*)
- Gonorrhoe (*Franckel, Graeber, Rodt*)
- Influenza (*Conryus*)
- Karunkel (*Conryus*)
- Lepre (*Böttel*)
- Mare (Kap. III K 3).
- Malaria (*Delie, Pralowsky, Puhl*)
- Mekaffieber (*Berg, Burren, Rodt und Haerd, Cleriel, Kulowaki und Vial, Merlat, Melli, Renal und Brach, Rimbert und Lemerque, Roger, Terpis und Valdivia*)
- Mosern (*Cobb, Puhl*)
- Meningitis (*Epstein*)
- Paratyphus (*Ancheren, Klose, Puhl, Wanker*)
- Peritonitis (*Hellner*)
- Pneumonie (*Franckel, Hegner, Kalne, Ochleker, Puhl, Setzgi*)
- Pocken (*Puhl, Schmeel*)
- Paratuberkulose (Präparat in der Schmeel'schen Sammlung).
- Rots (*Schmeel*)
- Raknowella (*Miller*)
- Scharlach (*Drepler, Wacker*)

Typhus (*Arndt, Bernack, Bortol*; mit *Roos Bowen* und *McGhee* *Bruder Ebermeyer Franciel, Gallas, Helpenny Haselhorst, Janka, Kukis, Lyon Ockleber Puhl, Quincke, Radt, Rummel, Sapp, Schnerl Singsen, Sucher Wang und Mülner u. a.*)

Als ganz seltene Eingangsporten seien noch eine Spondylitis infectiosa bei Neugeborenen durch Mastitis der Mutter (*Ruge*) und durch Nabelinfektion (*Carstens*) erwähnt. Wirbelsäulenbeteiligung kann auch bei Sporotrichosen (*Beitzke Meyer und Gall*) bei Blastomykosen (*Allenlock mit Zimmer Sartori und Meyer Beitzke Buschke und Joseph Henle Junghanns Mammis*) und bei Kokkiliogramulom (*Ingham*) vorkommen. Infektspondylitis wird auch als Folge von Lokalanästhesie, Lumbalanästhesie oder Paravertebralanästhesie beschrieben (*Erb, Heep Schüller Westermans*).



Abb. 192 (links). (Lichtbild der Sagittalschnittfläche einer Lendenwirbelsäule.) Ausgedehnt Nekrosen im Wirbelkörpermark (helle fleckige Stellen) bei infektiöser Spondylitis unbekannter Ursache.

Abb. 193 (Mitte). (Lichtbild der Sagittalschnittfläche einer Lendenwirbelsäule.) Vollkommenes Zusammenbrechen des 10. Brustwirbelkörpers nach Typhus (Spondylitis typhosa). Geringe Höhenzunahme der an den zusammengebrochenen Wirbelkörper angrenzenden Zwischenwirbelscheiben.

Abb. 194 (rechts). Röntgenaufnahme des in der vorbeigehenden Abbildung dargestellten Präparates einer Spondylitis typhosa.

ebenso nach Operation eines Bandscheibenvorfalles (*Brassens Greising*). Dabei können die Zwischenwirbelscheiben beteiligt sein (S. 210). Eine „generalisierte Osteomyelitis“ der Wirbelsäule im Anschluß an ein stumpfes Wirbelsäulentrauma beschreibt *Pompos*. Außerdem wird im Schrifttum darauf aufmerksam gemacht, daß im Anschluß an Entzündungen (oder auch Operationen) der Tonsillen und an Infektionen im Rachenring akute eitrige Entzündungen in den oberen Halswirbeln auftreten (*Jonas Odelberg-Johnson Oppkofer Wolmann und Meyerding*). Dabei handelt es sich zum Teil um Eiterungen in den Wirbelkörpern, zum Teil um akute eitrige Vorgänge in den kleinen Wirbelgelenken. Wirbelkörperzusammenbrüche, Abszeßbildungen und auch Subluxationen kommen im Anschluß daran vor.

Aus den zahlreichen Arbeiten, die sich mit der Spondylitis infectiosa und der Wirbelosteomyelitis beschäftigen, geht hervor, daß bei diesen Krankheiten im Gegensatz zur Tuberkulose die Wirbelbögen und ihre Fortsätze viel häufiger befallen werden (*Chinglis Jonas Ockleber*). Nach *Schäppa* sind sie in 50 v. H. der Fälle erkrankt. *Kulobek* fand die Erkrankung der Wirbelkörper häufiger als die der Wirbelbogenteile. Es können auch die Wirbelbogenfortsätze für sich allein an eitriger Osteo-

myelitis erkranken (*Largol* und *Solal* *Lenner* *Loben* *Shkedi*). Die Erkrankung der Wirbelbögen verläuft meist etwas weniger stürmisch als die der Wirbelkörper, sie kann aber infolge Eiterung oder Schwelenebildung nach dem Rückenmarkskanal zu Nervenerkrankungen hervorrufen. Daß in den Wirbelbögen und deren Fortsätzen auch chronisch osteomyelitische Entzündungszustände vorkommen können, beweisen die von *Hohmann* und *Glutz* mitgeteilten Fälle, bei denen es zu einer Gelenkfortsatzverdickung mit Verkrümmung und Bewegungseinschränkung gekommen ist.

Die auf dem Blutwege erfolgende Wirbelkörperinfektion verläuft meist stürmisch (50 v. H. Todesfälle). Schwerste klinische Zeichen sind schon vorhanden, ehe es möglich wird, im Röntgenbild einen Wirbelkörperherd aufzufinden. Viele der Befunde von frischen Wirbelkörperinfektionen bei den Reibenuntersuchungen *Schmorl's* waren Zufallsbefunde, die im anatomischen Präparat als Wirbelkörperinfarkte mit dunkelrotem fleckigem Mark und ödematöser Verdickung der Längsbänder zutage traten (Abb. 102). Die ersten Infektionserkrankungen bei der Spondylitis infectiosa ebenso wie bei der Wirbelkörper-Tuberkulose an den Wirbelkörpervorderflächen oder in der Nähe der Zwischenwirbelscheiben. In einzelnen Fällen kann sich ein geflecktes Aussehen über die ganze Wirbelsäule hinziehen. Ob derartige Fälle ausheilen können oder infolge der großen Ausbreitung stets zum Tode führen, entzieht sich unserer Kenntnis. Je nach dem Weiterverlauf stellen sich rasch oder allmählich die Knochenzerstörungsvorgänge ein (rarefizierende Ostitis, Knochenkarie nach *Radt*) und es bilden sich paravertebrale Abszesse. Die Abszesse bei Wirbelosteomyelitis sollen nach den Angaben von *Oelker* viel mehr die Neigung haben, in Hohlorgane (Darm, Harnwege) durchzubrechen, als die tuberkulösen Senkungsabszesse. Die Erkrankung kann auf einen Wirbel beschränkt bleiben, der dann vollkommen zerstört wird und zusammenbricht (Abb. 103, 104). Bei makroskopischer Betrachtung liegen Verwechslungen mit der Knochenschwammkrankheit nahe (Abb. 174). Häufig greift die Erkrankung aber auf die benachbarte Zwischenwirbelscheibe und den nächsten Wirbelkörper über wie wir dies von der Tuberkulose ebenfalls kennen. Langsame (subakute) verlaufende Formen führen zu einer allmählich zunehmenden Verdichtung der Knochenbalkchen (sklerosierende Form, Abb. 193) die Teile eines Wirbels oder auch einen ganzen Wirbel einnehmen kann, wodurch sich ein „Elfenbeinwirbel“ (S. 100) ausbildet. *Radl* berichtet noch von dem Verbleiben von Knochenhöhlen, wie bei der Osteomyelitis der langen Röhrenknochen, in denen Bakterien viele Jahre lang ruhend liegen können. Auch eine chronisch-schwielige Verdickung der Wirbelsäulenbänder in Form einer Periostitis aluminosa kann sich einstellen.

Um gewissen vorkommenden Irrtümern bei der mikroskopischen Untersuchung vorzubeugen, möchten wir besonders noch auf eine Veröffentlichung von *Schultz* hinweisen, der über einige Arbeiten berichtet, in denen von Wirbelkörpernekrosen die Rede sei. In Wirklichkeit handelt es sich bei den von den verschiedenen Untersuchern beobachteten kleinen, höhlenartigen Nekrosen aber um Anhäufungen von Sepsen, die beim Aufgängen von Wirbelsäulen oft tief in das Wirbelkörpermark hineingepreßt werden können, wie *Schultz* nachweist.

Die Ausheilung der durch Spondylitis infectiosa eingeschmolzenen Wirbelkörper kann, wie bei der Tuberkulose, mit Wiederherstellung der Form und des Knochenbalkchenwerkes der Wirbelkörper einhergehen (*Seitz* und *Ethasop*). Jedoch scheint dies selten zu sein. Meist bleibt eine gewisse Verdickung der Knochenbalkchen bestehen. Bei größeren Einschmelzungsherden ist Bildung eines Gibbus häufig, in dessen Bereich nach Ausheilung der Eiterung unter Bestehenbleiben einer Keilwirbelbildung (aus einem oder mehreren verschmolzenen Wirbeln) wieder eine regelrechte Spondylosa



Abb. 191. (Beifolgende Röntgenaufnahme einer Hälfte der in der Mittellinie durchgezogenen Brustwirbelsäule eines 25-jährigen Mannes.) Geringe Sklerose in einem Brustwirbelkörper (bik p) besonders vorn, nach umgeben in festerer Spondylitis. In dem vorderen Wirbelkörperanteil, in der Nähe der stark eingesunkenen Wirbelkörper (bik p) Fläche kann beim Aufgängen ein kleiner sich im Röntgenbild nicht abhebbender Abszeß zum Vorschein. Das vordere Längsbündel ist im Bereiche des erkrankten Wirbelkörpers verdickt.

zeichnung auftreten kann. Im Gegensatz zur Tuberkulose stellen sich bei den infektiösen Spondylitiden, die mit Zwischenwirbelscheibeneinschmelzung einhergehen, meist große, den Zwischenwirbelsraum überbrückende knöcherne Randwulstwucherungen ein (*Osteocler*) die sich isoliert zwischen den beiden erkrankten Wirbelkörpern ausbilden. Solche Bildungen dürfen nicht mit Randwülsten bei einer Spondylitis deformans verwechselt werden. Ihre Ausbildung läßt sich im Röntgenbild bei Lebenden gut verfolgen (*Arsndt Fischer* und *Foster Freud*, *Haselhorst Hoffmann Ostlecker Pál*, *Roger u. a.*) Im Anschluß an Wirbelkörperinfektionen und besonders an Senkungsabszesse die sich dem vorderen Längsband entlang entwickelt haben, können sich sehr beträchtliche, unregelmäßig sackige Knochenwucherungen bilden. In solchen Fällen sind Art und Sitz der Knochenvorsprünge meist so unregelmäßig (Abb. 106) daß eine Verwechselung mit einer Spondylitis deformans kaum möglich ist. Nach den Schweregraden Röntgenuntersuchungen sind Randwulstbildungen nicht immer bei ausgeheilten Fällen nachweisbar. Es können nach Bandscheibeneinschmelzungen auch Blockwirbel auftreten, deren differentialdiagnostische Abgrenzung gegenüber solchen, die nach ausgeheilter Tuberkulose entstanden sind, sehr schwer oft auch unmöglich ist. Die Schwierigkeiten, derartige abgeschlossene Zustände lediglich auf Grund der Betrachtung des anatomischen Präparates oder des Röntgenbildes in ihrer Ätiologie zu klären, werden sich immer mehr verstärken, wenn die akuten Zustände besser zu erkennen und dadurch sofort erfolgreicher zu behandeln sind. (Nach *Block* starben früher 71–80 v. H. und jetzt nur noch 34 v. H. der Kranken an akuter Wirbelosteomyelitis). Die differentialdiagnostische Entscheidung wird sich in vielen Fällen nur treffen lassen, wenn über den Krankheitsverlauf oder über die früher entstandenen Krankheiten eine genaue Vorgeschichte bekannt ist.

Die Beziehungen zwischen Spondylitis infectiosa und Trauma müssen in der gleichen Weise aufgefaßt werden wie bei der Tuberkulose (S. 123). *A. W. Fischer* bespricht alle Möglichkeiten, die für den Zusammenhang mit einer Gewalteinwirkung in Frage kommen, im Handbuch der gesamten Unfallheilkunde (1935, Band I). Sicherlich war man früher zu sehr geneigt dem Trauma eine Rolle zuzuschreiben (*Balthasar Kocker Madelung Rosenberg*).

Über das Gebiet der Spondylitis infectiosa sind aus dem neueren Schrifttum noch folgende Arbeiten zu erwähnen: *Borchers Celdarius Cesarini Chisagha Dietel und Hammet, Doron, Esser Harben und Epton Hellner Herlyn, Jennings, Koch Klein W. Lang Lazarus Vognot und Baumann Rotenberg Schmitt Schönbury Sternberg Süßmann Uhlenbruch Whitman und Lewis*.

3. Spondylitis syphilitica

Statistische Erhebungen zeigen nur seltenes Vorkommen der Syphilis der Wirbelsäule (*Beitzke Gold*). *Prickatto* und *Mostrin* fanden unter 120 Fällen von Knochen-syphilis nur 8mal eine Beteiligung der Wirbelsäule. Die makroskopischen und histologischen Befunde sind eingehend bei *Beitzke* beschrieben. Die Spondylitis syphilitica tritt meist in der Halswirbelsäule (*Franzenheim Gold Grilli Holmann, Ingman Schiele u. a.*) kommt aber auch an der Brust- und Lendenwirbelsäule vor (*Horn Kimmerte Ott Tichenor Schwoi Szwarcz u. a.*) Im allgemeinen entstehen bei der tulschen Infektion der Wirbelsäule gummoso Einschmelzungsherde (*Gold*) die zu Wirbelkörper zusammenbrechen, auch Subluxationen (*Abernathy Breitsohl*) und Sequesterabstoßungen (*Schwie den*) führen können. Immer aber bilden sich in der Umgebung reaktive Knochenverdichtungen aus, deren Darstellung im Röntgenbild von besonderer differentialdiagnostischer Bedeutung ist (*Beitzke, Horn Prickatto und Mostrin u. a.*) Schwierige Verdickungen in der Umgebung des erkrankten Wirbels finden sich regelmäßig bei Leichenöffnungen als Folge der Osteoperiostitis gummosa. Derartige Schwielen können auch Rückenmarkschädigungen verursachen. Abgrenzung gegenüber Angiomen bereitet im Röntgenbild blauen Schwierigkeiten (*May und Decourt* und *Wilm*). Über die verschiedenen Formen der Lues an der Wirbelsäule berichtet *Sprung*.

Bei der Ausheilung einer Spondylitis syphilitica bildet sich meist eine zunehmende Sklerose aus („Elfenbeinwirbel“ S. 100), die aber nach längerer Zeit wieder dem regelrechten Knochenanbau weichen kann. (Veränderungen bei Wirbelsäulentubos sind auf S. 190 im Abschnitt über die Zwischenwirbelscheibendegenerationen besprochen, da die Wirbelsäulenveränderung dabei im wesentlichen vom Grade der Bandscheibenzerstörung bedingt wird.)

4 Echinokokkus

Nach der früheren Annahme entsteht der Echinokokkus an der Wirbelsäule meist durch Übergreifen von Echinokokkusherden aus der Nachbarschaft (van Woerden). Demgegenüber mehrten sich jetzt die Berichte über primäre Ansiedlung des Echinokokkus in Wirbelkörpern (nach Pozza bei 41 v. H. von 406 Echinokokku fallen aus dem Schrifttum) Griesel und Déré haben 100 Fälle aus dem

Schrifttum zusammengestellt. Meist war die mittlere Brustwirbelsäule befallen, und die Erkrankung beschränkt sich auf wenige benachbarte Wirbelkörper. Selten ist die Ansiedlung an mehreren entfernt voneinander liegenden Stellen (Rocker). Die Zwischenwirbelscheiben

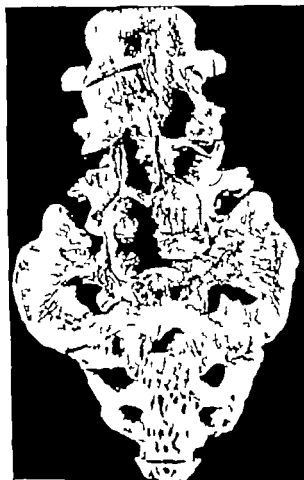


Abb. 196. (Lichtbild einer mazerierten Lendenkreuzbeinregion, Ansicht von vorn.) Hochgradige unregelmäßig ausgeprägte Knochenwucherungen an den untersten Wirbelkörpern und an der Kreuzbeinvorderfläche (Verknöcherung eines Senkungsabszesses bei infektiöser Spondylitis).



Abb. 197. (Lichtbild einer mazerierten Brustwirbelsäule, Ansicht von vorn.) Ausgedehnte Aktinomykose in fast allen Wirbelkörpern. Unregelmäßig angeformenes Aussehen der befallenen Wirbelkörper.

bleiben — im Gegensatz zur Tuberkulose — lange Zeit vollkommen erhalten. Der Wirbelkörper ist von zahlreichen kleinsten (mikrovesikuläre Infiltration“ nach Déré) und von vielen größeren Echinokokkusblasen durchsetzt, so daß das Knochenbälkchenwerk zerstört wird (Schöder) und oft kleine Brüche erhält. Vollkommene Wirbelzusammenbrüche wie bei Tuberkulose und Osteomyelitis sind aber selten. Dagegen ist das Eindringen der Echinokokkusblasen in den Wirbelkanal sehr häufig und differentialdiagnostisch wichtig (Arnaud, Brutt, Carina, Constantino und Anoulay, Denk, Oulets, Pozza, Sloyanoff, Yalla und Ottolenghi, van Woerden). Nach Griesel und Déré finden sich bei 84 v. H. der Echinokokkusfälle aus dem Schrifttum Querschnittsalabbildungen (bei Tuberkulose kommt dies nur in 3,0 v. H. vor!)

5. Aktinomykose

Die Aktinomykose siedelt sich in der Wirbelsäule meist durch Einbruch von Nachbarorganen her an. *Beitz* hat das Schrifttum und das anatomische Bild ausführlich geschildert. Die Wirbelsäule ist von dem typischen dicken, von Eitergängen durchsetzten Schwartengewebe der Aktinomykose umgeben. Die einzelnen Wirbelkörper haben ein zerfressenes Aussehen (Abb. 197) und sind in großer Zahl im Zusammenhang mit Rippen und Wirbelbögen ergriffen (*Martens*). Wirbelkörperzusammenbrüche entstehen bei hochgradiger Zerstörung der Knochenbälkchen. Im frischen anatomischen Präparat ist die Diagnose leicht zu stellen, während im makrolierten Präparat (Abb. 197) und im Röntgenbild auch an Tuberkulose (*Suga*) Tumormetastasen und Myelom gedacht werden muß. Schrifttum bei *Brett, Tabb* und *Tucker*.

L. Tumoren

1. Angiome

Die Wirbelangiome sind die häufigsten gutartigen Geschwülste der Wirbel.

In Reihenuntersuchungen am Schweizerischen Institut (*Jungblut*) wurden in 10,7 v. H. aller Wirbelsäulen (in 409 von 3829 Wirbelsäulen) Angiome gefunden (Übersicht 6). Sehr häufig kommen mehrere Angiome in einer Wirbelsäule vor, so daß bei den 409 Fällen insgesamt 579 Angiome gezählt wurden, von denen 23 in der Halswirbelsäule, 350 in der Brustwirbelsäule, 170 in der Lendenwirbelsäule und 27 am Kreuzbein ihren Sitz hatten. Am häufigsten sehen wir die Angiome im 12. Brustwirbel (47), 4. Lendenwirbel (38), 1. Lendenwirbel (37), 2. und 3. Lendenwirbel (je 36). Dann folgen in absteigender Häufigkeitsreihe: 11 8., 10 5., 4., 2. und 7. Brustwirbel. Die obere Halswirbelsäule und der untere Teil des Kreuzbeins zeigten nur wenige Angiome. Auffallenderweise werden bei Frauen häufiger (12 v. H.) als bei Männern (8,9 v. H.) Wirbelangiome festgestellt wie sich aus dem klinischen Schrifttum heraushebt. *Seitz* fand / aller klinisch beobachteten Wirbelangiome bei Frauen. In 66,8 v. H. der Angiomfälle bestand nur ein Angiom in der ganzen Wirbelsäule. In 32,8 v. H. waren 2–3 und in 0,7 v. H. mehr als 5 Angiome entwickelt (*Jungblut*).

Die bei anatomischer Reihenuntersuchung (*Jungblut*) gefundenen 579 Wirbelangiome waren reine Nebefunde ohne klinische Erscheinungen. Sie kamen auch alle erst auf der durchgesehenen Wirbelsäule zum Vorschein.

Übersicht 6.

Anzahl der bei 3829 anatomisch untersuchten Wirbelsäulen gefundenen Angiome.

Alter Jahre	Männer			Frauen			Männer und Frauen zusammen		
	Anzahl der Fälle	davon mit Angiomen	%	Anzahl der Fälle	davon mit Angiomen	%	Anzahl der Fälle	davon mit Angiomen	%
0–29	323	8	3,4	193	8	4,1	490	16	3,8
30–59	732	49	6,7	533	49	9,2	1265	98	7,8
über 60	931	116	12,2	1159	179	15,9	2090	293	14,3
unbekannt	30	—	—	24	—	—	34	—	—
Gesamt	1946	173	8,9	1881	326	12,5	3829	499	10,7

Die Knochenbälkchen innerhalb von Wirbelangiomen sind grobwabig angeordnet (Abb. 198, 199). In großen Wirbelangiomen finden sich regelmäßig noch einige senkrecht verlaufende Verstärkungszüge, die für die Festigkeit des erkrankten Wirbels eine große Bedeutung haben. *Seligson, Putcher* und *Makrydas* gehen auf diese Tatsache ebenfalls ein. Dieser eigenartige Spinalgewebbau wurde außer bei Angiomen mitten im Wirbelkörper bisher nur ein einziges Mal andeutungsweise bei einer Lymphogranulometastase beobachtet. Daher können die senkrecht stehenden Balkchen als Besonderheit und differentiaklinisches Merkmal für die Wirbelkörperangiome angesehen werden. *Schäfer* und *Uehlinger* erwähnen neben der eben beschriebenen „groben vertikalen Streifung“ noch die „grobwabige Struktur“ als charakteristisch für Wirbelangiome. Nach unseren Erfahrungen ist die letztere jedoch seltener als die typischen senkrechten Verstärkungsbalkchen.

Außerdem besteht bei Angiomen, die den ganzen Wirbelkörper einnehmen, häufig noch eine nicht zu übersehende „Aufblähung“ des Wirbelkörpers. Infolge dieser Aufblähung verlaufen die sonst

etwas eingekippen erscheinenden Wirbelkörperaußenflächen geradlinig oder sogar etwas vorgebuckelt wie *Makrynos* an seinen anatomischen Präparaten schon beschrieben hat und worauf auch *Junghanns*, *Perman*, *Reisner* u. a. hinweisen.

Mikroskopische Untersuchungen (*Junghanns*, *Makrycos*, *Töpfer* u. a.) lassen deutlich erkennen, daß das Angiomgewebe wachsen und dabei Knochenbälkchen zerstören kann. Das Wachstum ist aber sehr sehr langsam und Wirbelkörperzusammenbrüche sind selten (*Holla*, *Junghanns*, *Muth*).



Abb. 198 (links) (Lichtbild der Sagittalschnittfläche einer markierten und auseinandergeklappten Wirbelsäule) Großes, einen ganzen Wirbelkörper einnehmendes Angiom mit Verminderung der Anzahl der Spongiosabälkchen und Bildung einiger senkrechter Verstärkungsleisten im Innern des betroffenen Wirbelkörpers.

Abb. 199 (rechts) (Seitliche Röntgenaufnahme einer Hälfte der in der Sagittalebene durchsehten Wirbelsäule einer 63-jährigen Frau.) Großes, einen ganzen Wirbelkörper einnehmendes und auf die Bogenwurzel und Gelenkfortsätze übergreifendes Angiom mit starker Verminderung der Wirbelkörperporosität und nur einzelnen, wenig stark ausgeprägten, senkrechten Verstärkungsleisten („grobwabige Spongiosaveränderung“).

man *Sandahl*) da durch den soeben besprochenen Umbau des Knochenbälkchenwerkes senkrechte Verstärkungszüge gebildet werden. Es kommt deshalb vor, daß der Angiomwurm unverändert bleibt während Nachbarwirbel brechen (*Grieg*).

Angiome der beschriebenen Form findet man aber nicht nur in den Wirbelkörpern, wo sie meist zentral und nur selten in den Randteilen liegen, sondern sie können auch vereinzelt in den Bögen sitzen. Größere Angiome, die den ganzen Wirbelkörper einnehmen, erstrecken sich bisweilen in den Wirbelbogen hinein (Abb. 109) der ebenfalls „aufgebläht“ und „wabenartig“ umgebaut erscheint. Die Aufblähung, die wabenartige Knochenzeichnung und die senkrechten Verstärkungszüge sind für den Kliniker bei der Röntgendiagnose die wichtigsten Kennzeichen für das Wirbelangioma (*Bailey* und *Bucy*, *Gold*, *Junghanns*, *Reisner*, *Schinz* und *Uhlir* u. a.). Vom Wirbelkörper aus können die Wirbelangiome aber nicht allein in den Wirbelbogen sondern auch in die benachbarten Rippen (*Deetz*) und in die Zwischenwirbelscheiben eindringen (*Muthmann*, *Trommer*).

Wesentliche klinische Erscheinungen verursachen nur diejenigen Wirbelangiome, bei denen entweder durch Auftreibung der Wirbelkörperhinterfläche durch Verdickung der Wirbelbögen, oder durch unmittelbare Einwucherung von Angiomgewebe in den Wirbelkanal Drucksymptome auf die Rückenmark oder die Nervenwurzeln ausgeht werden. Während derartige Fälle früher kaum

bekannt waren, sind in den letzten Jahren zahlreiche Mitteilungen darüber erschienen. *Baily* und *Bucy*, *Bell*, *Budinova Smela*, *Clavelin* und *Gastlier*, *Deets*, *Oerhard*, *Globus* und *Doskey*, *Gold*, *Ouillars* mit *Decourt* und *Bertrand*, *Jeano* mit *Grigoreco* und *Varilou*, *Junghans*, *Landgrist*, *Muthmann*, *Permann*, *Putzker*, *Ribbert*, *Roth*, *Saltykov*, *Scharer*, *Schröder*, *Stattbacher*, *Trommer*, *Virkow* u. a. Verschiedentlich wurde in solchen Fällen Laminektomie angeführt, weil der Verdacht auf Rückenmarkstumor bestand. Nur selten konnte vorher das Wirbelangioma als Ursache der Rückenmarkserkrankungen erkannt werden (*Junghans*). Bei den Operationen überraschte meist eine außerordentlich große Blutung an der mehrere Zentimeter verstarben.

Wegen des häufigen Vorkommens von Hämangiombildungen im Wirbel als Nebenfund und der Seltenheit des Auftretens stärkerer Kili-



Abb. 200 (links). (Vertikale Röntgenaufnahme einer Hälfte der in der Sagittalebene durchschnittenen Brustwirbelsäule einer 46-jährigen Frau.) Großes Eosinosteon im 6. Brustwirbelkörper mit einigen kurzen, strahligen Ausläufern.



Abb. 201 (rechts). (Vertikale Röntgenaufnahme der rechten Wirbelsäulenhälfte eines 19-jährigen Mädchens.) Osteom am Dornfortsatz des 1. Brustwirbels, das die benachbarten Dornfortsätze auseinanderdrängt und dadurch Kyphe hervorgerufen hat.

nischer Erscheinungen unterschieden einige Bearbeiter „Formen des Wirbelangioma“. Erstens soll es häufig sekundäre Gefäßveränderungen im Wirbelkörper geben (also nur angiomähnliche Bildungen) und zweitens sollen sichere Neubildungen mit ausgesprochener Wucherungstendenz vorkommen. Unsere Kenntnisse darüber sind noch zu gering, um ein endgültiges Urteil abgeben zu können.

Aus der Alterseinteilung in unserer Angiometastatik (Übersicht 6) geht hervor, daß sowohl bei Männern als auch bei Frauen die Angiome in höheren Altersklassen an Häufigkeit zunehmen. Während im jugendlichen Lebensalter (0–29) nur 3–4 v. H. aller Fälle ein Wirbelangioma haben, steigt diese Zahl für die höheren Lebensalter (über 60 Jahre) bei Männern auf 12,2 v. H. und bei Frauen auf 18,9 v. H. Demnach scheinen sich die Angiome also doch erst am Lauf des Lebens zu bilden. Mindestens werden sie, wenn sie wirklich in der Anlage da angehört sind, größer, so daß sie häufiger gesehen werden können.

Da Schrifttum enthält noch weitere Mitteilungen über Wirbelangiome von *Alpers* und *Parsons*, *Antoni*, *Barnard* und *Vays*, *Boudreaux*, *Dick*, *Figler*, *Fischer*, *Fleischer*, *Fumarola* und *Enderle*, *Jacobst*, *Curt Henney* und *Whitaker*, *Holla*, *Ireland*, *Jungbagen*, *Lamy* und *Weismann*, *Leere*, *Lüten*, *Loringstone*, *Morris*, *Ottinello*, *Parer*, *Pentman*, *Ramage* und *Vallas*, *Raederer*, *Salater*, *Smer*, *Kinich*, *Stellbacher*, *Wagner*, *Wildhagen*.

2. Osteome und Osteochondrome

In den Wirbelkörpern finden sich als seltene Geschwülste Enosteome. Sie kommen in 1 v. H. (Schmorl) aller Wirbel-Arten vor. *Makrycostas* hat mehrere histologisch untersucht und beschrieben. Meist liegen sie als kleine Herde aus lamellär gebautem Knochen mit Gefäßkanälen in den Rand-



Abb. 202 (links). (Lichtbild der Sagittalschnittfläche der Lendenkreuzbeugegegend eines 45-jährigen Mannes.) Man sieht ein großes Osteochondrom an der Vorderfläche des Promontoriums.

Abb. 203 (rechts). (Röntgenaufnahme des in der vorhergehenden Abbildung dargestellten Präparates.) Man sieht deutlich schnabelartig von den Wirbelkörpern ausgehende Knochenbildungen.

teilen oder im vorderen Drittel der Wirbelkörper. Das Enosteom geht strahlig in das Knochenbalkenwerk des Wirbelkörpers über und erscheint auch in dieser Form im Röntgenbild (Abb. 200). Über zunehmendes Größenwachstum bzw. über zunehmendes Ausfüllen ganzer Wirbelkörper durch Enosteome liegen bisher keine Beobachtungen vor. Auch sind die Beziehungen zur Bildung von Eisenbeinwirbeln und zur Osteopoikilie noch nicht hinreichend geklärt. Nach *Makrycostas* können in einer Wirbelsäule mehrere Enosteome vorkommen, und ihr Durchmesser liegt meist nicht über 5 mm. Nach den Fällen der *Schmorl'schen* Sammlung läßt sich diese Angabe nicht bestätigen. Es kommen auch größere einzelne Enosteome vor.

Im Röntgenbild haben alle Enosteome die gleiche im Innern sehr dichte, am Rande etwas zackige strahlenförmige Schattenzeichnung (Abb. 200). Meist sind sie etwas länglich. Dann liegt die Längsachse fast immer senkrecht in der Richtung vom Kopf zum Steiß. Sie können in allen Wirbelkörperabschnitten gelegen sein, aber nur selten befinden sie sich genau in der Mitte des Wirbelkörpers. Als besondere Form sind Osteoidosteome beschrieben *Jaffé* und *Lichtenstein*, *Mazzopalli*, *Selznas* mit *Biel* 1 und *Moe*.

Osteome der Wirbelbögen und ihrer Fortsätze sind häufiger und haben auch öfter Besprechungen erfahren, weil sie zu klinischen Erscheinungen Anlaß geben können. Sie sitzen meist den Wirbelbogenfortsätzen exostosenartig auf (*Agnoli*) und können dadurch Bewegungsbehinderungen, Schmerzen und auch Wirbelsäulenverkrümmungen hervorrufen. *Haß* berichtet über die Resektion eines Osteoms des 8 und 9 Brustwirbelkörpers. Dornfortsatzosteome können durch Auseinanderdrängung der benachbarten Dornfortsätze und durch Einengung des Wirbelkanals beträchtliche Wirbelsäulenverbiegungen und Rückenmarkläsionen hervorrufen. Die Abb. 201 zeigt einen entsprechenden Fall, deren restlose Klärung erst die Leichenöffnung brachte.

Osteochondrome und auch Chondrome sind an der Wirbelsäule selten. Je nach ihrem Sitz rufen sie die verschiedensten klinischen Beschwerden hervor. Sie können von den Wirbelkörpern (Abb. 202, 203) selbst ausgehen (*Vocai*) sind aber häufiger in den Wirbelbögen und Wirbelbogenfortsätzen entwickelt (*Gold*, *Hirsch*, *Ljachowitsky*, *Putton*). Dann können sie auch Rückenmarkserkrankungen bedingen. Im Wirbelkörperinneren kommen als große Seltenheit knotenförmig entwickelte Enchondrome (*Enchondroma lobatum*) vor (*Gold*).

3. Lipome (Fettmarkherde)

Makrycostas hat als erster über Einlagerungen von Fettmarkherden in Wirbelkörpern berichtet und solche Herde mikroskopisch untersucht. Er nannte sie Lipome. Diese Lipome heben sich auf Sägeflächen durch ihre gelbe Farbe deutlich von der roten Farbe des Wirbelmarkes ab. Im Inneren der meist nur sehr kleinen Herde besteht immer ein gewisser Schwund von Knochenbälkchen, aber keine Verstärkung der Knochenbalkchenzüge wie bei den Angiomen. Es bleibt nach den eigenen mikroskopischen Untersuchungen zweifelhaft, ob solche Fettmarkherde wirklich als Geschwülste als „Lipome“ anzusehen sind. Fettmarkherde finden sich nach unserer Statistik (*Jungblaus*) in 0,6 v H aller Wirbelsäulen (23 mal bei 3829 Wirbelsäulen). Sie konnten bisher niemals vor dem 50. Lebensjahre nachgewiesen werden, und in manchen Wirbelsäulen bestehen mehrere Fettmarkherde (3 Herde in 23 Wirbelsäulen). Die Lendenwirbel und die obersten Kreuzbeinwirbel werden auffallend bevorzugt, während sich nur wenige Herde in den Brustwirbeln und keine in den Halswirbeln nachweisen ließen. Da sie nur in höherem Lebensalter auftreten, muß auch daran gedacht werden, daß es sich dabei unter Umständen lediglich um herdförmige Umbildungen von rotem Mark in Fettmark handelt wie dies in den langen Röhrenknochen schon in etwas früheren Lebensjahren eintritt. Nach den bisherigen Erfahrungen sind diese „Lipome“ ohne praktische Bedeutung und im Röntgenbild nicht darstellbar.

Manche Formen solcher Fettmarkherde zeigen auf der Schnittfläche reichliche Gefäßquerschnitte müssen deshalb als „Lipomangiome“ angesehen werden und sind zu den Angiomen zu rechnen. *Makrycostas* hat ähnliche Befunde erhoben können und läßt deshalb die Frage offen, ob alle „Lipome“ Restzustände ausheilender Angiome sind.

4. Riesenzelltumoren, Sarkome, Chondrome, Amyloidtumoren

Riesenzelltumoren kommen an den Wirbeln vor, sind aber selten. *Santos* sammelte 23 Fälle aus dem Schrifttum. Sie wurden auch an den Bögen und ihren Fortsätzen bisweilen beobachtet. Leider sind die Berichte nicht immer so ausführlich, daß abgelesen werden kann, ob es sich um gutartige Formen, die zum Teil der Osteodystrophia fibrosa localisata (8/90) angehören, oder um Riesenzellsarkome gehandelt hat (*Farr Gotfred* v. *Matolay*, *Milch*, *Partsch*, *Richards* und *Singleton*, *Legh*, *Willard* mit *Dejorad* und *Nicholson*).

Primäre Sarkome der Wirbelsäule einschließlich des Ewing-Sarkoms sind selten (etwa 1 v H aller Knochenarkome) und im Schrifttum nur in Einzelfällen erwähnt. *Gorlitzer* beschreibt ein gefäßreiches Rundzellenmarkom der Wirbelsäule. *Rokhruck* berichtet über ein myxogenes Wirbelsarkom, da nach dem klinischen Bild für einen Abszeß gehalten wurde. *Lochner* beobachtete bei einem Säugling ein Sarkom in mehreren Wirbelkörpern. *Balla* beschreibt einen Fall von primärem

Wirbelarkom bei einem Kind. *Gold* bildet ein Hämangioendotheliarkom in einem Lendenwirbelkörper ab. Die Sarkome verursachen im Wirbelkörper Knochenzerstörungen mit Wirbelkörper zusammenbrüchen gelegentlich aber auch Osteosklerose in Form umschriebener Verdichtungsherde oder sklerotische Umwandlung ganzer Wirbel zu Eibenwirbeln (8/100). Durch Wirbelraumvermehrung mehr aber noch durch das Weiterwachsen des Geschwulstgewebes, treten sehr bald Rückenmarksschädigungen auf. Im klinischen Röntgenbild ist fast stets und zwar schon frühzeitig ein verstärkter Paravertebralschatten sichtbar, der aber nur den erkrankten Wirbelkörper umgibt und nicht die typische Spindelform wie bei Tuberkulose zeigt. Weitere Mitteilungen: *Bonomi, Breitländer, Kienböck, Köcs, G. Lehmann, Milone, Rix* und *Gschickter*.

Chordome, die aus Resten der Chorda dorsalis entstehen, finden sich meist an den Endpunkten der Wirbelsäule: *Antoni, Boemle* und *Joel Bourdenax, Cardillo, Crowe* und *Mukdoon, Dahlin* und *McCarty, Wildbol* u. a. *Cornu* stellte das Schrifttum zusammen und zählte 42 an der Schädelbasis I in der Halswirbelsäule und 23 sakrokokzygeale Chordome. Von 150 Chordomen, die *Mabry* sammelte, saßen 47 an der Spheno-Okzipitalgegend, 87 an der Sakrokokzygealgegend und 14 an der Wirbelsäule. Die wuchernden Chordomen zerstören oft in ausgedehntem Maße die anliegenden Knochen und rufen sehr häufig durch Einwucherung in den Rückenmarkskanal langsam zunehmende Rückenmarkserkrankungen hervor. *Fletcher, Wolfman* und *Adson* beschreiben 10 Fälle von Steißchordomen. Sie verdienen Beachtung in Geburtshilfe und Gynäkologie.

Außer den oberen und unteren Wirbelsäulenenden können Chordome theoretisch im ganzen Verlauf der Chorda dorsalis vorkommen und sind in einzelnen Fällen auch schon (dann meist in der Halswirbelsäule) beobachtet worden (*Chiari, Elsberg, Joyce* u. a.). Es muß aber darauf hingewiesen werden, daß im Schrifttum häufig Zwischenwirbelscheibengewebe, das nach dem Wirbelkanal zu in Form „hinterer Schmorlischer Knötchen“ (S. 102) ausgetreten ist, als Chordom bezeichnet wird. Nach den neueren Kenntnissen der Entstehung dieser hinteren Knorpelknötchen sollte eine solche Bezeichnung in Zukunft vermieden werden.

Ein Amyloidtumor ist in der Wirbelsäule bisher erst einmal von *Mandl* beschrieben (*Gold*). Der Tumor glied einer knochenzerstörenden Krebmetastase und hatte den 3. Brustwirbelkörper sowie Teile des Bogens vollkommen zerstört und zu Rückenmarkserkrankungen Anlaß gegeben. Das Amyloid wurde mikroskopisch nachgewiesen. Der Fall ist aber da keine allgemeine Amyloidose vorlag ungeklärt.

5. Häufigkeit und Röntgenbild der Tumormetastasen

Im klinischen Schrifttum ist meist die Ansicht verbreitet, daß Tochtergeschwulstbildungen in der Wirbelsäule selten seien. Diese Ansicht ist sicher nicht zutreffend und beruht wohl darauf, daß regelmäßig durchgeführte Reibsenuntersuchungen bei Leichenöffnungen darüber bisher fehlten (*Gonzales, Ingwiler*). Röntgenuntersuchungen haben nur einen bedingten Wert, da sich durchaus nicht alle Krebmetastasen im Röntgenbild erkennen lassen.

Bei unseren Reibsenuntersuchungen im Schmorlischen Institut fanden sich in 464 v. H. aller Wirbelsäulen Gewebemetastasen von *Schlaginger* histologisch, in der bei 3.000 Leichenöffnungen nur 107 Fälle mit Geschwulstmetastasen in der Wirbelsäule (= 3,5 v. H.) vorkommen, beruht sicher darauf, daß nicht alle Wirbelsäulen vollständig durchuntersucht worden sind. In unseren Untersuchungsgut errechneten wir bei 176 von 1000 Krebsträgern, also in 17,6 v. H. Krebmetastasen in der Wirbelsäule. *Cerrutini* und *Michailow* konnten dagegen bei 442 Leichenöffnungen an Krebskranken nur 24mal, also nur in 5,4 v. H., Krebmetastasen entdecken. Solche großen Unterschiede (17,6–5,4 v. H.) können nicht öftlich bedingt sein. Wahrscheinlich werden auch von diesen Untersuchern die Wirbelsäulen nicht vollkommen in allen ihren Teilen durchuntersucht.

Im Schrifttum werden meist die Krebs der Mamma, Prostata, Schilddrüse und des Darmkanals als diejenigen Karzinome mit den häufigsten Knochenmetastasen bezeichnet (*Hellner, Hennas, Preisner* u. v. a.). Nach der Statistik in unseren Reibsenuntersuchungen (Übersicht 7) müssen vor allen Dingen noch die Lungen- und Bronchialkrebs und die Sarkome zu den häufig Wirbelsäulenmetastasen hervorrufoenden Geschwulsten gerechnet werden. Bei den Männern metastasieren 66,7 v. H. der Prostatakarzinome, 33,3 v. H. der Lungen- und Bronchialkrebs, 33 v. H. der Blasenkarzinome und 41,7 v. H. aller Sarkome in die Wirbelsäule. Bei den Frauen sind es 66,6 v. H. aller Mamma-, 33,3 v. H. aller Schilddrüsen- und 30,5 v. H. aller Lungen- und Bronchialkrebs. Von den 41 nachgewiesenen malignen Tumoren bei Männern waren 19,6 v. H. an Wirbelsäulenmetastasen begreiften. Von der gleichen Anzahl von Tumoren bei Frauen zeigten 18,6 v. H. Wirbelsäulenmetastasen.

Über die Geschwulstmetastasen in der Wirbelsäule

1	2	3	4	5	6	7	8	9	10	11	12
Art des Karzinoms	Gesamtzahl	Fälle mit				Art des Karzinoms	Gesamtzahl	Fälle mit			
		Wirbelmetastasen	Metastasen im Kreuzbegerüst					Wirbelmetastasen	Metastasen im Kreuzbegerüst		
			Zahl	Zahl					Zahl	Zahl	
Männer						Frauen					
Oberer Luftwege	14	—	—	—	—	Oberer Luftwege	5	1	20,0	1	20,0
Lungen und Bronchien	108	34	33,3	40	37,0	Lungen und Bronchien	13	4	30,8	3	23,1
Ösophagus	24	1	3,6	4	14,3	Ösophagus	11	—	—	—	—
Magen	131	11	8,4	16	12,2	Magen	23	13	15,7	16	19,3
Darm	1	—	—	1	4,3	Darm	28	—	—	1	3,6
Rektum	40	—	12,5	7	17,5	Rektum	23	1	4,3	—	8,7
Pankreas	11	1	0,9	1	0,9	Pankreas	16	1	6,3	3	12,5
Gallenwege	9	—	—	—	—	Gallenwege	4	2	4,3	4	6,5
Leber	3	—	—	—	—	Leber	2	—	—	—	—
Niere	3	1	30,0	2	100,0	Niere	1	—	—	—	—
Hypernephrom	10	2	20,0	3	30,0	Hypernephrom	2	—	—	—	—
Blase	12	4	33,3	5	41,7	Blase	9	1	11,1	1	11,1
Prostata	24	16	66,7	18	75,0	Mammae	30	33	66,6	39	78,0
Samenblase	1	—	—	—	—	Ovarien	26	—	—	1	3,8
Penis	1	—	—	—	—	Uterus	23	9	21,7	11	26,1
						Vagina	11	—	—	—	—
Andere Karzinome	16	4	25,0	3	18,8	Andere Karzinome	3	3	20,0	3	40,0
Schilddrüse	1	—	—	—	—	Schilddrüse	6	—	—	3	50,0
Sarkome	34	10	29,4	11	32,4	Sarkome	14	2	14,3	2	14,3
Andere Tumoren	24	2	8,3	4	16,7	Andere Tumoren	30	1	3,3	2	6,7
Lymphomatosen	8	3	37,5	6	75,0	Lymphomatosen	4	3	75,0	3	75,0
Zusammen	500	98	19,6	123	24,6	Zusammen	300	78	26,0	93	31,0

Es ist weiterhin zu erwähnen, daß in den befallenen Wirbelsäulen meist mehrere Metastasen entwickelt sind, und daß in 2/3 aller Fälle gleichzeitig in der Brust- und in der Lendenwirbelsäule Geschwulstneubildungen bestanden.

In der Wirbelsäule erscheinen die Geschwulstmetastasen ebenso wie im übrigen Knochengewebe in zwei anatomisch und röntgenologisch unterscheidbaren Formen. Erstens als osteoklastische Metastasen (Knochenzerstörend) und zweitens als osteoblastische Metastasen (Knochenbildend). Beide Formen können zusammen in der gleichen Wirbelsäule vorkommen, und nicht selten liegen sogar im gleichen Wirbelkörper dicht nebeneinander Metastasen dieser beiden verschiedenen Erscheinungsformen. Die Ausbreitung ist nach der Zahl der befallenen Wirbelkörper und nach der Mitbeteiligung der Wirbelbögen und Fortsätze ganz verschieden (Abb. 204–213).

Bei Durchsetzung mit knochenbildenden (osteoblastischen) Metastasen (meist ausgehend von Prostata- oder Mammageschwülsten) können die gesamte Wirbelsäule oder die einzelnen befallenen Wirbel hart steinartig werden (Abb. 204–205) und es sind ohne mikroskopische Untersuchungen Verwechslungen mit der Marmorknochenkrankheit mit osteosklerotischen Anämien, mit Lymphogranulom, mit Leuk- und ähnlichen Krankheitsbildern möglich (S. 100).

Die knochenzerstörenden (osteoklastischen) Geschwulstmetastasen ergeben infolge der häufig dabei vorhandenen Wirbelkörperzusammenbrüche ein sehr wechselvolles Bild (s. Abb. 206–211). Wenn in einer Wirbelsäule nur osteoklastische Metastasen vorkommen und sich über die ganze Wirbelsäule verteilen, kann im makroskopischen Präparat und auch im Röntgenbild leicht eine Verwechslung mit einem Myelom (Abb. 131–133) unterlaufen, bei dem die Wirbelsäule das gleiche zerfallene Aussehen hat. Einzelne infolge knochenzerstörender Krebgeschwülste zusammengebrochene Wirbelkörper sind schon als Kummell'sche Krankheit (S. 112) angesehen worden (Tröckler).

Über die Möglichkeit der röntgenologischen Darstellung von Zerstörungsherden innerhalb der Wirbelspongiosa hat *Chen* ¹⁰ schlußreiche Untersuchungen angestellt indem er aus Wirbelkörpern erschienen große Stücke von Spongiosa herausnahm und dann Röntgenaufnahmen mit erschienenen Strahlenganz anfertigte. Defekt von 1-1,5 cm Durchmesser innerhalb der Wirbelkörperpongiosa ergaben bei ventrodorsalen Aufnahmen keine Änderung der Schattenlicht. Ebenso wenig kommt eine Schattenänderung in der Ventrodorsalaufnahme wahrgenommen werden, wenn fast die gesamte Wirbelkörperpongiosa bis auf die hintere Kortikale und die Deck- und Grundplatte entfernt worden u. Den Wirbelkörper durchdringende zylinderförmige Defekt wurden nur dann im Röntgenbild sichtbar wenn der Strahlengang in der gleichen Richtung wie die Achse des Zylinders verlief. Dar-



Abb. 204 (links) (Bestliche Röntgenaufnahme einer Hälfte der in der Frontalebene durchstrahlten Lendenwirbelsäule eines 6-jährigen Mannes.) Verschieden große schattengebende osteoblastische Krebismetastasen. Ein Wirbelkörper vollkommen von den Krebismetastasen eingenommen („Elfenbeinwirbel“).

Abb. 205 (rechts) (Bestliche Röntgenaufnahme einer Hälfte der in der Frontalebene durchstrahlten Wirbelsäule einer 4-jährigen Frau. Nadel in der 1. Lendenbandeibe.) Metastasen eines Lungenkarzinoms in allen Wirbeln mit herdförmiger Sklerose in der Spongiosa.

Untersuchungen haben nicht nur für die Erkennung osteoklastischer Vorgänge bei Geschwulstmetastasen, sondern auch für die Darstellung von infektiösen Entzündungsherden große Bedeutung. Dem Vorhaben *Chen*s folgend, haben *Bakewell* und *Price* ähnliche Untersuchungen angestellt. Sie fanden bei Entfernung karzerherder Stücke aus der Wirbelkörperpongiosa keine Änderung der Schattenzeichnung im Röntgenbild. Die Darstellungsmöglichkeit wird jedoch durch Schnittaufnahmen wesentlich verbessert (*Nadel*).

Das Röntgenbild bei Geschwulstmetastasen in der Wirbelsäule zeigt eine große Mannigfaltigkeit durch das Nebeneinander von osteoklastischen und osteoblastischen Metastasen (Abb. 208 bis 10). Dadurch sind oft differentialdiagnostische Schwierigkeiten gegeben. Vorgeschichte weitere

klinische Untersuchungen, Erkennung der Primärgeschwulst werden in solchen Fällen weiter helfen. Außerdem ist immer wieder darauf hinzuweisen, daß sich der Röntgenuntersuchung viele Geschwulstausbreitungen entziehen wenn sie lediglich das Knochenmark durchsetzen, ohne zur Knochenbildung oder -zerstörung zu führen.

Die Metastasen aller Geschwülste können in allen Wirbelteilen (Körper, Bogen, Fortsätze) vorkommen (Abb. 203). Die Ansicht von *Georg und Leonard* nach der Krebsmetastasen nur im Wirbelkörper sitzen und nie auf die Bögen übergehen ist nicht zutreffend. Viele Geschwulstmetastasen



Abb. 206 (links). (Röntgenaufnahme einer Hälfte der in der Sagittalebene durchstrahlten Lendenwirbelsäule einer 76-jährigen Frau.) Der 4. Lendenwirbelkörper durch Metastasen eines Blasenkarzinoms fast völlig aufgefüllt.

Abb. 207 (rechts). (Röntgenaufnahme einer Hälfte der in der Sagittalebene durchstrahlten Lendenwirbelsäule eines 60-jährigen Mannes.) Ausgedehnte knochenzerstörende Metastasen in sämtlichen Wirbeln mit Zusammenbruch von Wirbelkörpern (ausgehend von einem Lungenkrebs).

bleiben nicht auf Wirbelkörper und -bögen beschränkt sondern wuchern von hier aus in die Umgebung und sitzen den Wirbelkörperaußenflächen als polsterförmige Verdickungen auf (Abb. 210). In der Umgebung von Wirbelkörpern, die durch osteoklastische Metastasen vollkommen zerstört sind, ist dies besonders häufig und im Röntgenbild können derartige außerhalb der Wirbelkörper entwickelte Geschwulstbildungen den Eindruck eines Abreißschattens (Abb. 210) hervorrufen (*Alt, Stroh u. a.*) wie das auch bei den primären Wirbelmarkomen beschrieben ist (S. 13²). Einbebeuge von Metastasen vom Wirbelkörper her in die Zwischenwirbelscheiben sind selten worden aber doch schon bei feingewebigen Untersuchungen gefunden (*Schoppe*).

Als seltene Form der allgemeinen Wirbelsäulenmetastasierung kommt bei osteoblastischen Metastasen (oder allem nach *Probst* takarinosen) die Osteophytose vor (*Schmalz, Pfeiffer, Lenzgasse*). Abbildungen eines solchen Falles (Abb. 212–213) zeigen der ganzen Wirbelsäulenaußenfläche an Wirbelkörpern und -bögen, stachelgewaldrige Osteophytenauflagerungen, die im Röntgenbild darstellbar sind. Eine solche Osteophytose carcinomatosa kommt nur an den Knochen oder in denen sich Krebsmetastasen befinden, sie wird also selber von diesen Geschwulstmetastasen anregt (*Schmalz, Arthausen*). Besonders Bedeutung können solche Osteophyten durch Engengang des Wirbelkanals und der Zwischenwirbelscheiben (S. 145) erlangen, worauf wahr



Abb. 98 (links oben). (Lichtbild der Sagittalsehnittfläche der Wirbelsäule einer 41-jährigen Frau.) Ausgedehnt Metast von einem Mammarkarzinome in sämtlichen Wirbelkörpern mit Luxationsfraktur im mittleren Bereich u.

Abb. 99 (rechts oben). (Vertikale Röntgenaufnahme des Präparates in Abbildung vorher.) Knorpelkernverdrängungen (Aufhellungen) und knochenbildende (Schattenverdrängungen) Krebsmetastasen in fast allen Wirbeln. Die Luxationsfraktur ist hier besonders gut zu erkennen.

Abb. 10 (rechts unten). (Vertikale Röntgenaufnahme einer H20, der in der Sagittalebene durchgezogenen Wirbelsäule eines 62-jährigen Mannes.) Ausgedehnt osteoklastische und osteoblastische Krebsmetastasen in sämtlichen Wirbelkörpern. Ein Wirbelkörper durch Krebszerstörung bis auf Rest der Schlußplatten offkomme zerstört. In seiner Umgebung ein rund begrenzter großer Tumor.





Abb. 211



Abb. 212

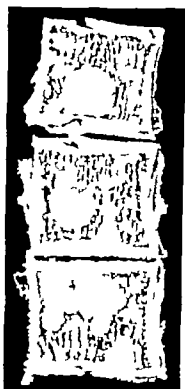


Abb. 213

Abb. 211 (links oben). (Lichtbild der makroskopischen Wirbelsäule einer 40jährigen Frau, Ansicht von vorn.) Ausgedehnt osteoklastische Krebsmetastasen nach Mammakarzinom in sämtlichen Wirbelkörpern. Durch Krebsmetastasen ist der 4. Lendenwirbelkörper rechts und der 2. Links zusammengebrochen, so daß sich trotz dieser Zusammenbrüche keine Wirbelsäulenverkrümmung ergeben hat.

Abb. 212 (links unten). (Lichtbild der Sagittalsehnur flächen mehrerer Wirbelkörper.) Zahlreiche scharf begrenzte zum Teil ineinanderfließende Krebsmetastasen bei Prostatakarzinom.

Abb. 213 (rechts oben). (Röntgenaufnahme einer Hälfte der in der Sagittalebene durchgesägten Wirbelsäule eines 73jährigen Mannes.) Ausgedehnte Krebsmetastasen in allen Wirbelkörpern nach Prostatakarzinom mit Osteophytosen carcinomatosa, durch die auch die Zwischenwirbellocher beträchtlich eingengt werden.

erwacht die heftigen Schmerzzustände u beziehen und an ihnen solche Menschen leiden (*Kongruenz*) Belagbestanden Gebirgsstern et wen kann m n on O t odr tropf ein m to sprechen. Ein derartige Krankheit bikt, da noch mit O t dy tr ph f h B klinghaus n kombiniert ist bildet *B ache*

Eine häufige Folge von Geschwulstmetastasen sind ausgedehnte Nekrosen und Blutungen im Wirbelkörpermark, die im pathologischen Präparat den Zuständen bei infektiösen Wirbelmark nekrosen (Abb. 10-) ähneln. Meist sind diese auch in vielen Wirbeln entwickelt und die Schnittflächen einzelner oder aller Wirbelkörper und Wirbelsäulen zeigen zahlreiche und zum Teil ineinander fließende gelbbraune Herde mit unregelmäßig gezacktem Rand und manchmal mit schmalen roten Hof. Ob dabei Myelinfunktionen eine Rolle

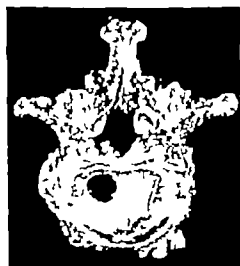


Abb. 214 (links). Lichtbild eines Lendenwirbelkörpers des gleichen Falles wie Abbildung vorher. Ansicht von unten. Ausgedehnte Osteophytenformation des gesamten Wirbel mit beträchtlichen Knochenwucherungen auf seinen Außenseiten. Außerdem besteht ein Einseitigeinziehungsgebeul im Wirbelkörper.



Abb. 1 (rechts). (Röntgenaufnahme des gleichen Wirbel wie Abbildung vorher.) Die unregelmäßigen osteophytischen Knochenauflagerungen engen auch den Wirbelkanal beträchtlich ein.

spielen oder Verstopfungen der zuführenden Blutgefäße mit Geschwulstmassen die Ursache sind, konnten wir noch nicht nachweisen. Es ist für unsere Betrachtungen hier auch belanglos weil auch diese Zustände im Röntgenbild nicht wiedergeben lassen. Immerhin würde es aber interessant sein von pathologisch-anatomischer Seite eine weitere Klärung herbeizuführen.

II. Veränderungen der Wirbelkörper und bogen durch außerhalb gelegene krankhafte Vorgänge

1 Annäherung durch Geschwülste

Nicht abzuweilen werden die knöchernen Wirbelantefle von außen her durch Geschwulstwachstungen angegriffen. Besonders häufig kommt dies bei Pharynx Speiseröhren Lungen- und Mediastinaltumoren vor (*Picchio*) Geschwulstmetastasen in den paravertebralen Lymphknoten können ebenfalls auf die Wirbelsäule übergehen. Die Wirbel sind in solchen Fällen von außen her angegriffen, die Wandschichten und die äußeren Spongiosateile zerstört und Geschwulstgewebe in die Markhöhlen eingedrungen. Den Eingangsweg von außen mit zerstörenden Wucherungen können auch Aktinomykose und Lymphogranulom wählen. Im unteren Wirbelsäulenbereich sind es oft Teratome und Dermoidzysten die von außen her die Wirbelsäule angreifen (*Gortack*)



Abb. 211



Abb. 212



Abb. 213

Abb. 211 (links oben). (Lichtbild der menschl. Wirbelsäule einer 40-jährigen Frau. Ansicht von vorn.) Ausgedehnte osteoklastische Krebmetastasen nach Mammakarzinom in sämtlichen Wirbelkörpern. Durch Krebmetastasen ist der 4. Lendenwirbelkörper rechts und der 2. links zusammengebrochen, so daß sich trotz dieser Zusammenstoßende Wirbelsäulenkrümmung ergeben hat.

Abb. 212 (links unten). (Lichtbild der Sagittalschnittflächen mehrerer Wirbelkörper.) Zahlreiche, scharf begrenzte zum Teil miteinander fließende Krebmetastasen bei Prostatakarzinom.

Abb. 213 (rechts oben). (Röntgen-Röntgenaufnahme einer Hälfte der in der Sagittalebene durchbohrten Wirbelsäule eines 72-jährigen Mannes.) Ausgedehnte Krebmetastase in allen Wirbelkörpern nach Prostatakrebs mit Osteophytose carcinomatosa, durch die auch die Zwischenwirbelböden beträchtlich eingesengt werden.

schonlich die heftigen Schmerzzustände zu bezwingen sind, a denen solche Menschen leiden (*Zerrung*). Bei ungetroffenen Geschwulstmetastasen kann man von O t o d y t r o p h i e r i n o m t o p r e b e n. Es derartigen Krankheit heilt, das noch mit O t o d y t r o p h i e f b o r e k l i n g h u n k o m b i n i e r t i s t bildet *Hasek*.

Eine häufige Folge von Geschwulstmetastasen sind ausgedehnte Nekrosen und Blutungen im Wirbelkörpermark, die im pathologischen Präparat den Zuständen bei infektiösen Wirbelmark nekrosen (Abb. 192) ähneln. Meist sind diese auch in vielen Wirbeln entwickelt, und die Schnitt flächen einzelner oder aller Wirbelkörper und Wir belbögen zeigen zahlreiche und zum Teil ineinan derfließende gelbbraune Herde mit unregelmäßig gezacktem Rand und manchmal mit schmalen roten Hof. Ob dabei Mischinfektionen eine Rolle

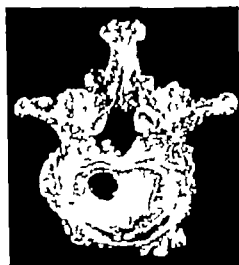


Abb. 214 (links) (Lichtbild eines Lendenwirbelkörpers des gleichen Falles wie Abbildung vorher Ansicht von unten) Ausgedehnte Osteophytose (osteomatosa) des gesamten Wirbels mit beträchtlichen Knochenwucherungen auf seinen Außenflächen. A. Sondern besteht ein Einschnürungsband im Wirbelkörper

Abb. 215 (rechts) (Röntgenaufnahme des gleichen Wirbels wie Abbildung vorher) Die unregelmäßigen osteophytischen Knochenauflagerungen engern auch den Wirbelkanal beträchtlich ein.

spelen oder Verstopfungen der zuführenden Blutgefäße mit Geschwulstmassen die Ursache sind, konnten wir noch nicht nachweisen. Es ist für unsere Betrachtungen hier auch belanglos, weil sich diese Zustände im Röntgenbild nicht wiedergeben lassen. Immerhin würde es aber interessant sein, von pathologisch-anatomischer Seite eine weitere Klärung herbeizuführen.

31 Veränderungen der Wirbelkörper und Lagen durch außerhalb gelegene krankhafte Vorgänge

1. Annäherung durch Geschwülste

Nicht allzu selten werden die knöchernen Wirbel-Außenanteile von außen her durch Geschwulst wucherungen angegriffen. Besonders häufig kommt dies bei Pharynx Speiseröhren Lungen und Mediastinaltumoren vor (*Piercio*). Geschwulstmetastasen in den paravertebralen Lymphknoten können ebenfalls auf die Wirbel-aule übergehen. Die Wirbel sind in solchen Fällen von außen her angegragt, die Wand-schichten und die äußeren Spongiosatelle zerstört und Geschwulstgewebe it in die Markhöhlen eingedrungen. Den Eingangsweg von außen mit zerstörenden Wucherungen können auch Aktinomykose und Lymphogranulom wählen. Im unteren Wirbel-aulenbereich sind es oft Teratome und Dermoidzysten, die von außen her da Wirbel-aulenlengerüst annagen (*Gorlick*).

u a.) Ebenso können bösartige Geschwülste der weiblichen Geschlechtsorgane unmittelbar auf das Kreuzbein zerstörend übergreifen.

2. Annäherung durch Aneurysmen

Aortenaneurysmen sind in der Lage die Wirbelsäule anzunähen, da der im Aneurysma dauernd gegen die Wirbelkörper von vorn her anschlagende Blutstrom allmählich einen Knochenab-

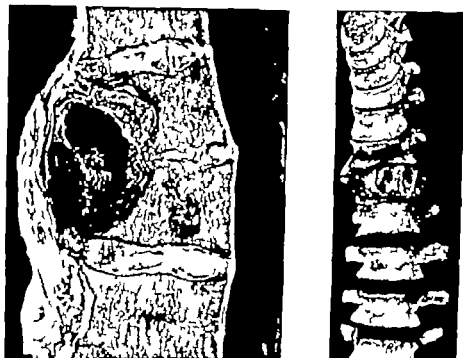


Abb. 216 (links) (Leichtbild der Sagittalschnittfläche einer Brustwirbelsäule von einem 36-jährigen Mann.) Aortenaneurysma mit Annäherung mehrerer Wirbelkörper. Verdichtung der Knochenbälkchen in der Umgebung der muldenförmigen Annäherung. (Präparat aus dem Pathologischen Museum der Universität Berlin.)

Abb. 217 (rechts) (Leichtbild der massierten Wirbelsäule eines 58-jährigen Mannes. Ansicht von vorn.) Grubenförmige Annäherung mehrerer Brustwirbelkörper durch ein Aortenaneurysma. (Präparat aus dem Pathologischen Museum der Universität Berlin.)

bau herbeiführt (Abb. 216–218). Die betroffenen Wirbelkörper bekommen muldenförmige Eindellungen an ihrer Außenfläche. Die dem Blutstrom entgegenstehende, eingedellte Wandfläche ist etwas verdickt und läßt einzelne senkrechte, leistenartige Verstärkungsstücke erkennen, durch die Wirbelkörperzusammenbrüche verhindert werden. Von den Anfangstellen der Interkostalarterien ausgehende Aneurysmen können außer den Rippen ebenfalls Wirbelkörper oder Wirbelbogenteile annähen. Schrifttum Gold, Huber und Delano D. Iatrus Michaelis

3. Sanduhrgeschwülste

Die von Gulek ausführlich beschriebenen Sanduhrgeschwülste sollen in manchen Fällen nach seinen Angaben aus dem Wirbelkörperinnen oder vom hinteren Längsband ihren Ursprung nehmen, wenn es sich um Fibrome und Fibrosarkome handelt. Cozzas hat sich gegen diese Entstehungsweise ausgesprochen. Im wesentlichen ist die Bezeichnung „Sanduhrgeschwulst“ ein Sammelname für verschiedene Geschwulstarten, deren gemeinsames Merkmal eine sanduhrförmige Einschnürung ist, die dadurch zustande kommt, daß die Tumormassen durch das Zwischenwirbelloch oder zwischen den Bogen hindurchwuchern. Sie haben einen Geschwulstteil im Wirbelkanal und einen außerhalb desselben, die durch die Einschnürung deutlich voneinander getrennt

sind. *Culeks* sah Fibrome Fibrosarkome Gangliomeurone Enchondrome und vor allem Neurinome mit diesem Wachstumstyp.

Durch solche Sanduhrgeschwülste kann die knöcherne Umrandung des Zwischenwirbelloches durch das sie hindurchwuchern durch Druck usw. (*Meyer*) erweitert werden. Der Durchtrittsraum für die Nerven und Gefäße wird allerdings trotzdem vom Geschwulstgewebe eingeengt. Häufig kommen Geschwulstmetastasen vor die einen solchen Wachstumstyp zeigen. Auch das Granulationsgewebe bei Lymphogranulomatose kann auf diese Weise vom Mittelfellraum her in den Wirbelkanal eindringen. Schädigungen des Rückenmarkes und austretender Nervenwurzeln sind bei den Sanduhrgeschwülsten regelmäßig vorhanden. Schrifttum bei *Autoni Landgren Stefan*.

4 Erweiterungen des Wirbelkanals

Im Wirbelkanal primär auftretende extra- und auch intramedulläre Tumoren können zu einer Erweiterung des Wirbelkanals führen, wie *Elberg* und *Dyke* erstmals berichteten. Man erkennt diese Erweiterung im Röntgenbild mit sagittalem Strahlengang an dem seitlichen Auseinanderweichen der Bogenwurzeln. Bei den intramedullären Tumoren soll dieses Zeichen in etwa 10 v. H. und bei den extramedullären in 30–50 v. H. vorkommen. Schrifttum bei *Buch* und *Schermann Elberg Kloss Stefan*.

N. Dornfortsätze

Wenn die Dornfortsätze der Lendenwirbelsäule besonders stark entwickelt sind (hohe Dornfortsätze) und noch eine Lordose hinzukommt, können sich übereinanderliegende Dornfortsätze berühren, aufeinander reiben und die zwischenliegenden Bänder zerstören. Dadurch bilden sich *Neurthosen*, die *Meyer* bereits 1824 als *Diarthroses interspinosae* bezeichnete. Später hießen sie *Kling spine*, „*Osteoarthritis proc. spin.*“ oder auch „*Bostrupsche Krankheit*“. Schmerzen können durch diese Veränderungen hervorgerufen werden, und im Röntgenbild zeigen sich Sklerosierungen der aneinandertreffenden Dornfortsatzflächen und unregelmäßige Knochenabbildungen an ihren Rändern, die zum Teil auch Verkürzungen von Bändern der zerstörten Bänder sind. Legg *Interspinalia lig. supraspinalia lig. interarcualia*. Schrifttum bei *Josephus Reinhardt Schumann* und *Truettman Yamada u. a.*

0 Wirbelbogengelenke (kleine Wirbelgelenke)

Die Wirbelbogengelenke haben viele Beziehungen zu verschiedenen Wirbelsäulenveränderungen und es wird in den entsprechenden Abschnitten mehrfach darauf hingewiesen. Hier sind deshalb nur einige zusammenfassende Bemerkungen nötig. Infolge der bisherigen Darstellungsschwierigkeiten



Abb. 18 (Seitliche Röntgenaufnahme einer Hälfte der in der Sagittalebene durchgezogen vermarkierten Brustwirbelsäule eines älteren Mannes.) Tiefgreifende Anengung mehrerer Brustwirbelsäuler durch Aortenaneurysma. Fiklerose entlang der eingeregneten Vorderen Ände

am Lebenden ist das Röntgenschrifttum spärlich (*Oppenheimer*). Die Arbeiten von *Gutz* (anatomisch) und *Langs* (klinisch und röntgenologisch) haben das Grundsätzliche früher bereits erörtert. Durch die neuen Erkenntnisse über die Menisci, Fettgewebspolster Form und Beweglichkeit der Gelenkkapsel sowie deren Nervenversorgung (*Eschinger Töndury* u. a. siehe Kap. I C) ist die Bedeutung der Wirbelbogengelenke wieder etwas mehr in den Vordergrund gedrückt. *Zubackwerdt* bezeichnet die Gegend der Wirbelbogengelenke als „Wetterwinkel der Wirbelsäule“. Weitere Be-

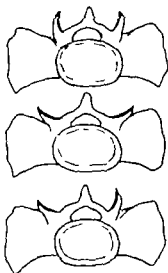


Abb. 219 (Schematische Darstellung der Kreuzbeinversteifung von oben gesehen.) Das Versteifungsgelenk der kleinen Gelenke in 1 Kreuzbeinversteifung, deren gleichartige Gelenkstellungen am 5. Lendenwirbel entsprechen. Oben halbmondförmig (1 v H.), Mitt. flach (37 v H.) unten halbmondförmig und flach (31 v H.)

schäftigung mit den Auswirkungen der Veränderungen an den Wirbelbogengelenken auf die gesamte Statik und Funktion der Wirbelsäule wird erforderlich. Die Entdeckung der Einklemmung von Menisci und Fettgewebspolstern hat manchem schmerzhaften Krankheitsbild eine andere Deutung gegeben. Dadurch ist u. a. die seinerzeit noch nicht anatomisch bewiesene Annahme von *Heidenkoffler* (1919) über Einklemmungserscheinungen als Ursache des Lumbago-Anfalles verständlich geworden. Daß sich freie Gelenkkörper bilden können, hat *Mannheim* 1930 beschrieben, und *Zubackwerdt* legt besonderen Wert auf die Beachtung von Einklemmungen solcher freier Körper.

Ihre besondere Bedeutung haben die Wirbelbogengelenke als Teile des Bewegungssegmentes (Kap. I J). Jede ihrer Störungen wirkt sich zwangsläufig auf andere Anteile des Bewegungssegmentes ebenso aus, wie umgekehrt Veränderungen im Aufbau oder in der Funktion anderer Bewegungssegmentabschnitte die Wirbelbogengelenke ernstlich in Mitleidenschaft ziehen. So entstehen besonders bei der Osteochondrosis der Zwischenwirbelscheiben (Kap. IV D 2) infolge der unrichtigen Bewegungen erhebliche Veränderungen an den Wirbelbogengelenken im gleichen Bewegungsegment, die bis zu schwerer Arthrosis deformans gehen. Das gleiche findet sich bei *Tubes* (Abb. 300). Die mit Störungen im Bewegungssegment einhergehende Abstandminderung zwischen zwei Wirbeln ruft Gelenkkapselschmerzen und auch schmerzhaften Reflexzustände im umgebenden Perineur der Gelenkfortsätze hervor (*Keller*). Das kann zum Hartspann der benachbarten Muskulatur führen.

Stellungsänderungen der Gelenkfortsätze (Abb. 219) und damit der Gelenkflächen der Wirbelbogengelenke kommen besonders am Lendenkreuzbeinübergang so oft vor (S. 200) daß die Unregelmäßigkeit fast als Regel gelten kann. Im Zusammenhang mit den

Zwischenwirbelscheibendegenerationen und Wirbelverschleibungen (Pseudospondylolisthese) wird später ebenfalls noch darüber zu sprechen sein. Hypo- und Dysplasie der Gelenkfortsätze in Verbindung mit Spondylolyse beschreibt *Brooker* unter der Bezeichnung *Dysplasia des Wirbelbogens* (S. 45).

Veränderungen der kleinen Gelenke der Wirbelbogenreihe im Sinne einer Arthrosis deformans mit Knorpelwaben, Schlüffflächen und knöchernen Randzackenwucherungen (Abb. 220) sind häufig (Statistik bei *Gutz*) und entsprechen in allen Einzelheiten den Befunden an anderen Körpergelenken. Auch freie Gelenkkörper kommen dabei vor (*Mannheim*). Nach dem 60. Lebensjahre findet man in allen Wirbeln solche Veränderungen. Es sind am meisten die Gelenkpaare des 3–5. Brustwirbels und die Lendenwirbelgelenke, besonders die untersten (*M. Langs*) davon befallen. *Schoen* findet dafür die Bezeichnung *Spondyl-Nearthrosis apico-arcuala*. Durch überbrückende Randwülste oder durch knorpelige Verwachsungen (*Gutz*) kann die Arthrosis deformans zur Versteifung der kleinen Gelenke führen. *Forster* empfiehlt die operative Versteifung durch Spanplastik, um Schmerzfreiheit zu erreichen. Auch Resektionen der Wirbelbogengelenke wurden wegen der Schmerzhaftigkeit gelegentlich bereits ausgeführt. *Burman* und *Sinberg* beobachteten im Röntgenbild die Wiederbildung solcher reszierter Gelenkfortsätze.

Vollkommen knöcherne Versteifung der Wirbelbogengelenke bildet sich bei der Spondylarthritidis ankylopoietica (S. 256 und Abb. 407). Bei Blockwirbelbildungen, bei denen im Bereiche der Wirbelkörperbandscheibenreihe keine Bewegungsmöglichkeit besteht, zeigen die kleinen Ge-

lenke ebenfalls knöcherne Ankylosen (Abb 45 46) Dies kommt sowohl bei den angeborenen Blockwirbeln als auch bei erworbenen Blockwirbeln (ausgeheilte Tuberkulose) vor Für letztere müßte noch geklärt werden, ob auch Tuberkulose in den Wirbelbogengelenken bestand oder ob diese nur infolge der Untätigkeit nach der Versteifung im Bereiche der Blockwirbelbildung ankylotisch geworden sind

Wie häufig und in welcher Form sich akute entzündliche Vorgänge in den Wirbelbogengelenken abspielen, ist noch nicht genügend untersucht (*Klinge M Lange Weil*) Nach Entzündungen im Bereiche des Rückenringes entstehen bisweilen akute Gelenkentzündungen in den Wirbelbogengelenken der Halswirbelsäule mit starker Schmerzhaftigkeit und Neigung zur Subluxation

Bei Kyphosen konnte *Güntz* in seinem Material keine wesentlichen Veränderungen der kleinen Gelenke finden. *M Lange* beschreibt dagegen das frühzeitige Auftreten einer Arthrosis deformans der kleinen Gelenke bei Menschen mit Adoleszentenkyphose und führt die Schmerzen bei diesem Leiden im wesentlichen auf die Gelenkveränderungen zurück. Es muß weiteren Untersuchungen überlassen bleiben festzustellen, in welcher Form bei versteifenden Kyphosen (z. B. bei Alterskyphosen) die Wirbelbogengelenke beteiligt sind.

Bei Skoliosen wurden Veränderungen an den Wirbelbogengelenken schon früher häufig untersucht und beschrieben. An der Bogeninnenseite der Skoliose sind die kleinen Gelenke stets schwer im Sinne einer chronischen Arthrosis deformans umgebildet (*Güntz, M Lange*) Außerdem finden sich dabei erhebliche Veränderungen in den untersten Lendenwirbelgelenken weil hier die größte Rumpflast liegt (*M Lange*) Auffallend starke Veränderungen zeigen die kleinen Wirbelgelenke bei Skoliosen dann, wenn zwischen 2 Wirbeln eine seitliche Wirbelverschiebung (Drehgleiten) eingetreten ist (S 287)

Bei Wirbelbrüchen ist die häufige Beteiligung der kleinen Gelenke auffallend (*Güntz, M Lange*) und noch nicht im richtigen Ausmaße untersucht und gewürdigt worden Stets finden sich einige Zeit nach einem Wirbelbruch in den kleinen Gelenken in der Gegend des gebrochenen Wirbelkörpers arthrotische Veränderungen, von denen noch zu klären ist, ob sie sich auf Grund von Bänderverletzungen (im Sinne von *Böhler*) entwickeln, oder ob sie Folgezustände der unrichtigen Belastung infolge der bleibenden Gibbusbildung sind.

Spondylitis deformans (S 225) und Arthrosis deformans der Wirbelbogengelenke kommen an den Wirbelsäulen fast aller älteren Menschen vor jedoch geht die Ausbildung dieser beiden Krankheiten nicht parallel (*Güntz, Jungkanns M Lange u a*) Wenn auch gewisse wechselseitige Beziehungen vorliegen, die mit der Bewegungsfähigkeit der Wirbelsäule zusammenhängen so besteht doch ein zeitlicher Unterschied in der Entwicklung der beiden Vorgänge *M Lange* Je schneller die pathologischen Vorgänge der einen Alterskrankheit ablaufen, und je größer die Ausdehnung der spondylitischen bzw arthrotischen Veränderungen und um so mehr wird die Ausbildung der anderen Alterskrankheit der Wirbelsäule gehemmt



Abb 290 (Seitliche Röntgenaufnahme einer Hälfte der in der Sagittalebene durchgezogenen Brustwirbelsäule eines 74-jährigen Mannes. Nadal in der 6. Brustwirbelsäule.) Arthrosis deformans der kleinen Wirbelgelenke mit Randackern und Randwulstbildungen im 3., 4. und 5. Brustwirbelsäule. Die übrigen Gelenke sind frei, ihre Gelenkspalten zeichnen sich scharf ab

In den *Ligamenta flava* die an der Hinterwand des Wirbelkanals vor den kleinen Gelenken liegen und diese als gelbe, straffgespannte Bänder überleben, spielen sich häufig Verknöcherungsvorgänge ab die bisweilen auch im Röntgenbild darzustellen sind (Abb 221) Es bilden sich Knöchensacken in den Rändern aus, die von der Ansatzstelle der Bänder her aufeinander zu streben nach dem Wirbelkanal zu öffnenden Gelenkspalten der kleinen Gelenke von voll kommen verknöcherten gelben Bandern über

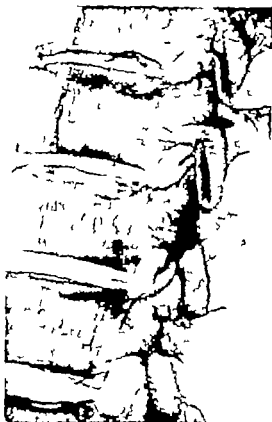


Abb. 221 (links). (Weitliche Röntgenaufnahme einer Hälfte der in der Sagittalebene durchleuchteten Wirbelsäule eines 53-jährigen Mannes.) Einengung der Zwischenwirbellocher durch ankylogische, die kleinen Wirbelgelenke überspringende Knochenbildungen in den *Ligamenta flava*.



Abb. 222 (recht) (Weitliche Röntgenaufnahme einer Hälfte der in der Sagittalebene durchleuchteten Brustwirbelsäule eines älteren Mannes.) Beginnende Spondylarthritide ankylopoetica mit Verknöcherung des vorderen und hinteren Längsbandes und beginnender Verknöcherung der gelben Bänder die sich im hinteren Abschnitt der Zwischenwirbellocher gut erkennen lassen. Beginnende Verknöcherung außerdem der *Ligamenta interspinalia*.

bedeckt und dadurch versteift werden (interarkuale Wirbelverknöcherung nach Polger) Im seitlichen Röntgenbild ist dann eine Einengung der Zwischenwirbellocher sichtbar (S 146) Ob akute entzündliche Krankheiten der gelben Bänder die Banderverknöcherung einleiten, oder ob es sich um chronisch deformierende Vorgänge handelt müssen erst weitere Untersuchungen klären. Balle spricht von Spondylitis ossificans ligamentosa localisata. Das Verhalten der gelben Bänder bei anderen Wirbelkörper und Wirbelbogenveränderungen (Wirbelkörperinfektionen, Wirbelbrüche [Costa und Perotti] Wirbelbogenbrüche, Luxationen der kleinen Gelenke usw.) bedarf ebenfalls noch der Erforschung auf Grund von Reihenuntersuchungen Auch die Beziehungen zwischen den Verknöcherungen der gelben Bänder der Arthrosis deformans der Wirbelbogengelenke und der Spondylitis deformans sind noch nicht endgültig geklärt (S 223) Bei der Spondylarthritide ankylopoetica

(S. 236) tritt stets eine vollkommene Verknöcherung der gelben Bänder ein (Abb. 222). I. sammenhänge zwischen Verknöcherungen (bzw. fibrösen Verdickungen) der gelben Bänder schmerzhaften Wurzelschmerzen sind in Kap. IV C * erläutert (S. 160).

P. Zwischenwirbellocher

Da viele Kliniker pathologisch-anatomische Veränderungen in der Knochenumrandung Zwischenwirbellocher für Schmerzzustände verantwortlich machen (*Dechterow, Ehrlich, Oppenheimer, Strumpell, Schlesinger, Zukackwerdt*) ist eine gesonderte Betrachtung der Zwischenwirbellocher die besser als kurzer röhrenförmiger Zwischenwirbelkanal bezeichnet sollten, und über deren Normalform vom berichtet wurde (Kap. I F) gerechtfertigt. Wenn auch im Röntgenbild eine deutliche Einengung eines Zwischenwirbelloches darzustellen ist, so kann bei anatomischer Untersuchung doch genügend Raum für die austretenden Gefäße und Nerven zu finden sein. Dabei muß man berücksichtigen, daß die im Röntgenbild sichtbaren Einengungen Projektionen von knöchernen Umrisen sind, die nicht ganz in der gleichen Ebene, sondern knüppelartig liegen und dadurch unter Umständen eine starke Einengung vortäuschen, wenn der Strahlengang nicht genau in der Achse des Zwischenwirbelloches verläuft.

Einengungen der Zwischenwirbellocher im Röntgenbild (*Low, Oppenheimer, Polgar*) können durch starke Verknöcherung der gelben Bänder (Abb. 221 bis 223) oder durch weit nach hinten zu liegende Randwülste bei Spondylosis deformans (retrokorporale Wirbelverknöcherung nach *Polgar*) verursacht sein (Abb. 224).



Abb. 223. (Heuthege Röntgenaufnahme) Halbt. der in der Sagittalebene durch Lendenwirbelsäule eines 32-jährigen Erbengroßes, erkranktes Knöcheln in osseum flavum im Bereiche des 3. Zwischenwirbelloches (Pfeil).

Bei der Besprechung der Spondylarthritidis ankylopoietica wird von vielen Seiten die Einengung der Zwischenwirbellocher große Bedeutung geschenkt. Bei allen ausgeprägten Fällen Erkrankung besteht eine im seitlichen Röntgenbild deutlich dargestellte konzentrische Verengung der Foramina intervertebralia, die durch die Verknöcherung des gesamten Bandapparates ist (Abb. 225). Diese Einengung ist allerdings nie so hochgradig, daß sie wesentliche Drucknngen wahrscheinlich machen könnte. Das Zwischenwirbelloch zeigt eine gleichmäßige und die Umrandung ist glatt ohne Exostosenbildung. Es ist aber denkbar, daß Schwellungen des die Nerven umkleidenden Bindegewebes und Druckschwankungen in den austretenden (zu Nervenentzündungen bei diesen Kranken Anlaß geben (*Braun, Ehrlich*)).

Die Zwischenwirbellocher können außerdem noch dadurch verengt sein, daß eine Verengung der Wirbelbogenteile durch ein Angiom oder durch Osteodystrophia deformans Paget (Abb. 226). Betrachtliche Einengungen der Zwischenwirbellocher entstehen durch Knochenbildungen bei der Osteophytosis carcinomatosa (Abb. 213). Solche hochgradige Einengung mögen sicher Schmerzen in den austretenden Nerven hervorrufen.

Einengung des Raumes in den Zwischenwirbellochern kommt auch durch Weichteileinlagerungen. Dies ist besonders von den Bandschlaggeschwülsten (S. 140) bekannt. *Lindblom* hat in seinen ausgedehnten Untersuchungen eine Einengung im Raum der Zwischenwirbellocher festgestellt nachweisbarer Zusammendrückung der austretenden Nerven durch Zwischenwirbelscheibengewebe, das nach seitlich-hinten aus den Zwischenwirbelscheiben ausgetreten. Ursache dieser „Schmorlecken Knötchen“ in den Zwischenwirbellochern beschreibt er — wie das für die Schmorlecken Knötchen im Wirbelkanal bekannt ist (S. 162) — als Rißbildung, Degenerationsercheinungen im Fasernetz der Zwischenwirbelscheibe. Leider sind die in Zwischenwirbellochern liegenden Schmorlecken Knötchen im Röntgenbild nicht darstellbar. Die

suchungen *Leadblooms* regen zu weiteren klinischen und pathologisch-anatomischen Nachforschungen an (vgl. Kap. IV 02)

Wie hochgradig die Einengung der Zwischenwirbellocher durch Osteochondrose der Bandscheiben (besonders oft an der Halswirbelsäule und unteren Lendenwirbelsäule) werden kann beschreibt ausführlich *Dumas* an Hand eingehender mikroskopischer Untersuchungen, die *Kahlaw* durchführte (*Dumas*

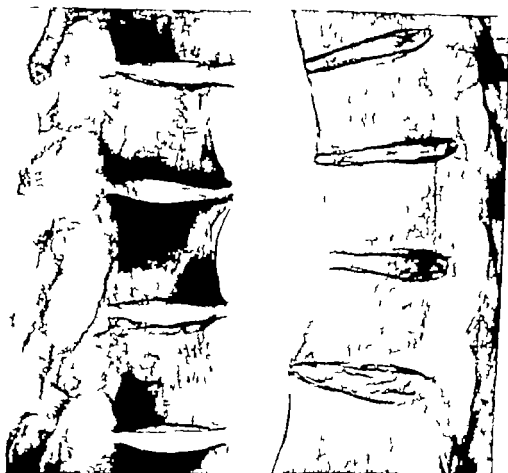


Abb. 224 (links) (Seltene Röntgenaufnahme einer Hälfte der in der Sagittalebene durchragten und massigen Brustwirbelsäule einer 65-jährigen Frau.) Ausgedehnte seitlich entwickelt einige Zwischenwirbelsäule überbrückende Randwülste, die sich zum Teil auch in die Bogenwurzeln fortsetzen und dadurch das betreffende Zwischenwirbelloch von vorn her im Sinne der *Palgischen* retrokorporalen Wirbelverengung erzeugen. In den Wirbelkörpern bestehen außerdem deutlich Verschattungen durch knochenbildende Metastasen eines Mammarkarzinoms.

Abb. 225 (rechts) (Bestliche Röntgenaufnahme einer Hälfte der in der Sagittalebene durchragten Brustwirbelsäule eines 71-jährigen Mannes.) Ausgeprägt Spondylarthrosis ankylopoietes mit vollkommener Verknöcherung des vorderen und hinteren Langbundes und aller Bänder im Bereiche der Wirbelbogen mit geringer Einengung aller Zwischenwirbellocher, die außerdem ihre normale Gestalt verloren haben.

mit *Kahlaw* und *Krücke Hadley*) Die eintretende Höhenabnahme des Zwischenwirbelsäule bedingt gleichzeitig neben einer geringen Verschiebung der Wirbel gegeneinander eine Verkleinerung des zugehörigen Zwischenwirbelloches, was sich besonders deutlich bei Bewegungen zeigt. Dadurch können sich entsprechende klinische Beschwerden einstellen, die nur sehr schwer von den Schmerzen abzugrenzen sind, welche durch hintere Schwartische Knötchen entstehen (S. 172). Besondere Raumverhältnisse finden sich im letzten präsakralen Zwischenwirbelloch (*Wegler* und *Klops*) was besonders bei Wirbelvariationen (Lumbalisation und Sakralisation) zu beachten ist (Kap. II D 5a)

Verkleinerung der Zwischenwirbellocher findet sich immer bei Blockwirbelbildung. Bei den angehörigen Blockwirbeln (Abb. 43-46) bei denen neben den Wirbelkörpern auch noch die Bogenteile mit ihren Fortsätzen weitgehend verschmolzen sein können bleibt stets nur eine kleine Öffnung zwischen den Bogenwurzeln für den Austritt der Nerven übrig. Trotzdem haben Menschen bei denen auf Grund einer Fehlbildung 2 Wirbel miteinander verschmolzen sind, kaum größere Beschwerden und niemals Druckerscheinungen an den zugehörigen Nervenwurzeln. Knöcherne Ver-

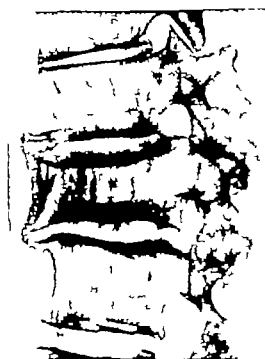


Abb. 226 (links). (Fehlende Röntgenaufnahme einer Hälfte der in der Sagittalebene durchsägten Lendenwirbelsäule eines 82-jährigen Mannes.) Typische Osteodystrophia deformans Paget des 3. Lendenwirbels und seiner Fortsätze mit Verdickung der Bogenwurzel und Einengung der angrenzenden Zwischenwirbellocher. Die Paget-erkrankung setzt sich auch auf die Bandscheitel fort.



Abb. 227 (rechts). (Fehlende Röntgenaufnahme einer Hälfte der in der Sagittalebene durchsägten Lendenwirbelsäule eines 54-jährigen Mannes.) Blockwirbelbildung an dem 2. und 3. Lendenwirbel nach Fraktur. Verkleinerung des zugehörigen Zwischenwirbelloches infolge Verringerung seiner Längsachse, die etwas nach vorn geneigt ist. Die anderen Zwischenwirbellocher zeigen typische Ohrnusschalenform und eine fast senkrecht stehende Längsachse.

schmelzungen von Wirbelkörpern nach Bandscheibenzerstörungen (Tuberkulose, Traumen usw.) können durch Auffall von Zwischenwirbelraumhöhen eine Verkleinerung des Zwischenwirbelloches zur Folge haben (Abb. 227). Es kann aber neben Verkleinerung der senkrechten Achse des Zwischenwirbelloches eine Vergrößerung in waagerechter Richtung eintreten. Bei Blockwirbeln auf Grund von Kallusbildungen nach Wirbelfraktur oder traumatischen Bandscheibenzerstörungen beobachtet man ebenfalls häufig eine Abnahme in der Lage der senkrechten Achse des Zwischenwirbelloches. Außerdem kann hierbei durch Einpressen eines Wirbelkörperbruchstückes das Zwischenwirbelloch verengt werden.

In seltenen Fällen tritt eine Vergrößerung der knöchernen Umrandung eines Zwischenwirbelloches ein. Knochenzerstörende Geschwulstmetastasen (Abb. 228-229) oder entzündliche Einschmelzungsvorgänge an den Wirbelbogenwurzeln und Bandscheilgeschwülste (S. 140) können das hervorgerufen. Dabei ist aber nicht gesagt, daß der Raum für die durchtretenden Nerven und Gefäße vergrößert wird. Im Gegenteil erfahren diese infolge der Geschwulstwachstum oder Eiterbildung eine Einengung ihres Durchtrittsraumes.

Beträchtliche Änderungen der Gestalt des Zwischenwirbelloches liegen stets bei Spondylolisthesen und Pseudospondylolisthesen vor. Durch das Vorgehen des Wirbelkörpers wird das unter ihm liegende Zwischenwirbelloch gleichsam in die Länge gezogen, und die allmählich an Höhe abnehmende Zwischenwirbelscheibe verursacht außerdem eine Verkleinerung seiner senkrechten Achse. Die in dem betreffenden Abschnitte enthaltenen Bilder (Abb. 74–79 zeigen deutlich diese Verhältnisse, so daß hier nicht näher darauf eingegangen werden soll. Bei der Pseudospondylolisthese (*Jumpkanns*) tritt ein spitzer von hinten unten her in das Zwischenwirbelloch hineinragender Zacken des arthrotisch veränderten Gelenkes auf (Abb. 411). Wirberverschiebungen nach hinten sind auch von geringen Formänderungen der Zwischenwirbellocher begleitet (Abb. 415).



Abb. 228 (links). (Seitliche Röntgenaufnahme einer Hälfte der in der Sagittalebene durchfalligen und mazerierten Lendenwirbelsäule eines 30-jährigen Mannes.) Vergrößerung der Knochenumrandung des letzten präsakralen Zwischenwirbelloches nach vorn zu infolge einer Knochenschmelzung im unteren Teil des 5. Lendenwirbelkörpers (Kardiommetastase).

Abb. 229 (rechts). (Seitliche Röntgenaufnahme der rechten Hälfte einer in der Sagittalebene durchfalligen Lendenwirbelsäule.) Verschmelzung des 1. und 2. Lendenwirbels infolge Fehlens des Bogens und der hinteren Teile des 2. Lendenwirbelkörpers (Zerstörung durch osteoklastische Krebsmetastase).

Nicht nur bei der Pseudospondylolisthese, sondern stets bei Arthrodia deformans der kleinen Wirbelgelenke projizieren sich die Randzacken in die Zwischenwirbellocher (Abb. 220). Diese zahlreichen Veränderungen in Form und leichter Weite der Zwischenwirbellocher wird jeder kennen, der aufmerksam entsprechende Wirbelsäulenröntgenbilder betrachtet. Die wichtige klinische Bedeutung solcher Veränderungen kommt aber erst dann zum Bewußtsein, wenn die Einhaltung der Zwischenwirbellocher mit ihrem Inhalt in das „Bewegungswegmoment“ (Kap. I J) in der ganzen Tragweite erkannt wird, die sich aus der Funktion der 23 segmental angeordneten Bewegungseinheiten ergibt.

Die besonderen anatomischen Verhältnisse in der Halswirbelsäule (S. 11) verursachen vor allem durch Randzackenbildungen an den Unkovertebralgelenken Einkengungen der Zwischenwirbellochrichtung mit ernstesten Folgen für die Nerven (S. 170–180 Abb. 274) und für die vorbeiehende Arteria vertebralis. In der Zwischenwirbellochstenose an der Halswirbelsäule sieht *Hoch* (1901) die Ursache für *Sudecksche Dystrophie* an den Gliedmaßen und für *halsalgien*. *Sollmann* schlägt deshalb eine *chiropraktische* Behandlung vor (Über *Sudecksche Knochendystrophie* an der Wirbelsäule siehe Kap. III C 5).

Zusammenfassend läßt sich also sagen, daß Einkengungen des Zwischenwirbellochraumes durch Veränderungen in den angrenzenden Knochen, durch Einlagerungen von Weichteilen oder durch Formänderungen infolge Verschiebung oder Verlagerungen (auch senkrechtes Aneinanderrücken) der übereinander liegenden Wirbel zustandekommen. Auch die Blockierung der Beweglichkeit

zwischen zwei Wirbeln vermag einseitig oder doppelseitig die Gleitmöglichkeit für die Nerven u Gefäße im Zwischenwirbelloch zu vermindern. Auf so viele verschiedene Arten kann also aus einer bereits vorhandenen relativen Raumnöte im Zwischenwirbelloch eine absolute werden, die sich entweder allmählich (dann meist irreparabel) einstellt oder die plötzlich entsteht, dann ebenfalls dauernd bleibt oder sich wieder löst. Der Betrachtung der Zwischenwirbellocher kommt demnach eine große klinische Bedeutung zu, und in vielen Kapiteln dieses Buches begegnen wir den differentialdiagnostischen Zusammenhängen (Kap. II C II D IV C 2, IV C 4 u. a.)

Q Kreuz Darmbein Fuge und Beckenring

Die Symphysis sacroiliaca hat infolge ihrer Lage als Verbindung zwischen Rumpf skelett u Beckenring eine große physiologische Bedeutung. In den letzten Jahren ist deshalb die Fuge zwischen Darmbein und Kreuzbein des öfteren Gegenstand wissenschaftlicher und praktisch klinischer Untersuchungen gewesen. Eine regelmäßige Durchforschung unter Heranziehung größerer Reihenuntersuchungen ist von pathologisch-anatomischer Seite allerdings bisher noch nicht unternommen worden. Im wesentlichen haben sich die Röntgenologen mit diesem Halbgelenk beschäftigt: Darstellung seiner Form und seiner krankhaften Veränderungen im Röntgenbild durch *Barony Girardi Happel Horwitz und Smith Koszka* und die verschiedenen Variationen (Form festgestellt). Die Röntgendarstellung ist infolge der schrägen und geschwungenen Verlaufrichtung der Fuge schwierig. Bei schweren Beckenverletzungen kommt sehr häufig eine Luxation in der Kreuz Darmbein Fuge mit mehr oder wenig ausgebreiteter Verschiebung der Beckenschaukel vor. Infektionen, besonders Tuberkulose, sitzen manchmal in diesem Halbgelenk, zerstören Gelenkumrisse und führen oft zu Senkungsabszessen. Bei Spondylarthritis ankylopoetica (S. 2) ist die Symphysis sacroiliaca immer versteift (Frühzeichen!).

Die häufigste Veränderung, die anatomisch festgestellt wird und die auch oft zu klinischen Erscheinungen führt, ist eine Arthrose der Kreuz Darmbein Fuge. Randzackenbildungen an den Rändern, besonders an den unteren Rändern, und Knochenbälkchenverdichtungen entlang Gelenkflächen sind die Zeichen dieser Erkrankung, die mit großer Schmerzhaftigkeit für gewisse Bewegungen einhergehen kann. Nach *Dumas und Complan* haben in höheren Altersstufen 100 v. H. der Männer und 7 v. H. der Frauen solche Veränderungen. Beziehungen zur Osteocondensans III liegen vor (vgl. Kap. III D 2). Neuere klinische Schrifttum: *Barony und Schökel Berant Brackett Brogard Brown, Canocio Gillespie und Lloyd Roberts Hoggart Haselhof Katz, Langenskiöld Mitchell Pitkin und Pheasant Saxl Stehr u. v. a.* Veränderungen an der Kreuz Darmbein Fuge können einerseits Auswirkungen auf die Wirbelsäule haben, was von Seiten chirurgisch praktischer Ärzte betont wird (*Biedermann Cramer u. a.*), andererseits aber sind die Verhältnisse am Kreuzbein Darmbein Übergang eng mit dem Gefüge des gesamten Beckenrings verknüpft, und hier von besonderem geburtshilflichem Interesse (*Kirschhoff Martini*). Die wichtige Bedeutung der Beckenringbrüche und deren Einwirkungen auf die Statik und Haltung der Wirbelsäule in schiefere Verheilung sind allgemein bekannt. In Röntgenbildern sollte mehr als bisher auf die Verhältnisse an der Schambeinfuge geachtet werden. Ein ungleicher Symphysenstand ist ein wichtiges Zeichen der Beckenringlockerung (*Kamieth und Reinhardt*). Kreuzdarmbeinfuge und Beckenring stehen in engen Beziehungen zu den differentialdiagnostischen Erwägungen über den Kreuzschmerz (Kap. IX).

IV

Die krankhaften Veränderungen der Zwischenwirbelscheiben

A Allgemeines

Leistungsfähigkeit und Form der Wirbelsäule hängen weitgehend von der Beschaffenheit und der Gestalt der Zwischenwirbelscheiben ab und es wird aus den folgenden Abschnitten mit aller Deutlichkeit hervorgehen, daß Bandscheibenveränderungen in vielen Fällen folgenschwerer für den Gesamtaufbau sowie für die Bewegungs- und Belastungsfähigkeit der Wirbelsäule sind, als manche ausgedehnte und im Röntgenbild deutlich erkennbare Veränderungen des Wirbelsäulenen Knochengerüsts. Jedoch ist diesen Tatsachen früher nicht die genügende Beachtung geschenkt worden. Die 1858 erschienene Monographie von *Lucas* über die „Haltgelenke des menschlichen Körpers“ in der zusammenfassend der damalige Stand der Forschung berichtet wurde, geriet in Vergessenheit. Erst seitdem es mit Hilfe der verbesserten Röntgentechnik gelang, deutlichere Aufnahmen herzustellen, erwachte wieder das Interesse für Veränderungen im Bereiche der Zwischenwirbelscheiben, und *Schmorl* hat bei seinen Reihenuntersuchungen gerade den krankhaften Veränderungen des Zwischenwirbelscheibengewebes ein besonderes Augenmerk geschenkt und vor allem auch deren Beziehungen zu den Wirbelkörpern untersucht. Die Forschungsergebnisse *Schmorls* die in seinen eigenen Arbeiten und in den Arbeiten seiner Schüler (*Andreas Böhmig Günter Hallermann Hammerbeck Huldebrandt Junghans Mariens Niederer Pöckel Ratke Thomas u.*) niedergelegt sind, haben einen großen Teil ungelöster Fragen geklärt, und für Kliniker und Röntgenologen ist dadurch ein unentbehrliches wissenschaftliches Rüstzeug entstanden, das seitdem zur Grundlage der klinischen Diagnostik und der weiteren Forschung wurde. Auch das Ausland hat sich mit den Ergebnissen der *Schmorlschen* Bandscheibenforschungen laufend beschäftigt, und in fast allen Sprachen sind Arbeiten erschienen, die zusammenfassend diese Ergebnisse berichten und zum Teil kritisch besprechen (In englischer Sprache *Beadle Bradford* und *Spurling* *Geist Jones Joplin Ayres* und *Compere* *Maccolman, Mooney* in französischer Sprache *Babinis* und *Perrot* *Galland Maurice* in italienischer Sprache *Francaeschelli Gallazzi Schajowicz* im Osten *Obdyrenskij Podkaminski* im Norden *Hult Scherermans*).

Die Schwierigkeiten in der klinischen Erkennbarkeit von Veränderungen des Zwischenwirbelscheibengewebes liegen darin, daß sich aus der Fülle der Bandscheibenerkrankungen nur ganz wenige im Röntgenbild wirklich positiv abbilden lassen (z. B. Verkalkungen und Verknocherungen). Bei der weitaus größten Zahl der anlagebedingten und krankhaften Zwischenwirbelscheibenveränderungen sind wir darauf angewiesen, aus der Höhe des Zwischenwirbelscheibenraumes, aus der Form seiner Begrenzungslinien zum Wirbelkörper aus Rückwirkungen auf die angrenzenden Teile des Knochenbalkchenwerkes aus Störungen des Bewegungswegmentes die wir unter Zuhilfenahme einer „Röntgenuntersuchung der Funktion“ (*Junghans* S. 96 182) immer besser erkennen lernen aus Abweichungen der Wirbelsäulenachse und aus ähnlichen Veränderungen Rückschlüsse auf den Zustand der Zwischenwirbelscheiben zu ziehen. Bei einer solchen Betrachtung wird es immer deutlicher werden, wie weit Veränderungen an den Wirbelkörpern, Achsenabweichungen usw. ursächlich auf krankhafte Vorgänge des Zwischenwirbelscheiben zurückgehen. Je mehr diese Zustände in ihrer Entstehung ihrem Verlauf und in ihren Endausgängen durchforscht sein werden, um so mehr kann sich die Erkenntnis von der überragenden Bedeutung der Zwischenwirbelscheiben für Physiologie Pathologie Röntgenologie und Klinik der Wirbelsäule durchsetzen. Der Besprechung der Zwischenwirbelscheibenpathologie ist infolgedessen ein größerer Raum zu gewähren als dies üblicherweise in unseren Lehrbüchern geschieht.

B. Formänderungen

1 Hohe Zwischenwirbelscheiben

Bereits bei der Schilderung der normalen Entwicklung der Zwischenwirbelscheiben und Wirbelkörpermandreisten wurde auf die damit zusammenhängenden Änderungen der Zwischenwirbelscheiben- und Wirbelkörpergröße hingewiesen, und die endgültigen in den einzelnen Wirbelabschnitten sehr verschiedenen Normalformen der Zwischenwirbelscheiben (Keilform in der Lendengegend usw.) sind ebenfalls besprochen (Kap. I D). Auch über die angeborenen Ausbuchtungen im Gallertkerngebiet und über die Fehlbildungen (bleibender Chordakanal) die zu Änderungen der Zwischenwirbelscheibenform führen, haben wir weiter vorn berichtet (Kap. II B 0).

Eine Höhenzunahme der Zwischenwirbelscheiben (außer durch traumatische Einflüsse) ist nur möglich, wenn ein Mißverhältnis zwischen Gallertkerndruck und Wirbelkörperfestigkeit besteht und zwar muß die Stärke des Gallertkerndruckes der Widerstandsfähigkeit des Knochengewebes und der knorpeligen Schlußplatte überlegen sein. Im normalen Gallertkern besteht immer eine durch den Wassergehalt bedingte Innenspannung (Ausdehnungsdruck) wie früher geschildert wurde (S. 18). Dieser Ausdehnungsdruck kann sich durch Wasseraufnahme erhöhen. Es ist aber noch kein Fall beobachtet worden, bei dem ein gesunder Wirbelkörper dem Gallertkerndruck nachgegeben hat, sondern in allen Fällen von Höhenzunahme des Zwischenwirbelscheibenraumes war sie stets nur durch krankhafte Nachgiebigkeit des Knochengewebes möglich. Der normale Gallertkerndruck ist dann gemeinsam mit den federnden Belastungen des täglichen Lebens in der Lage Vorbuchtungen der Zwischenwirbelscheibe in die anliegenden Wirbelkörper hinein hervorzurufen. Die knorpelige Schlußplatte wird dabei gedehnt, und die Bandscheibe wölbt sich ihre Ausbuchtung nach und nach vertiefend, fast halbkugelig in die nachgiebig gewordenen Wirbelkörper hinein. Ohne daß die Knorpelplatte dabei zu zerreißen braucht, können solche Vorbuchtungen bis in die Wirbelkörpermitte hineinragen, wodurch die Zwischenwirbelscheiben von oben und unten her sich beinahe berühren. Dann erfahren die Zwischenwirbelscheiben eine auch im Röntgenbild sichtbare hochgradige Zunahme der mittleren Teile. Solche Zwischenwirbelscheiben vermehren ihren Wassergehalt stark. Das kann zu systemischen Erweiterungen der Gallertkernhöhle führen (Abb. 114) die sich im Röntgenbild durch Aufbellung im Zwischenwirbelscheibenraum erkennen lassen (Abb. 115, 230) was auch schon in klinischen Röntgenbildern beobachtet wurde (Kaulaow) und bei Anwendung von Schlehtenaufnahmen noch öfter zutage tritt. Bei feingewebigen Untersuchungen (Schmorl) lassen sich in derartigen Bandscheiben Aufblähungen der Knorpelzellen und stellenweise eine geringe Bruckapselbildung erkennen. Ausgesprochene Wucherungsvorgänge im Bandscheibengewebe, die Bruck annimmt, bestehen aber nicht. Auch die von Baron und Barony zur Erklärung ihrer „zentral eingedellten Wirbelkörper“ als angebliche Ansicht Schmorls erwähnte degenerative Vergrößerung der Zwischenwirbelscheiben ließ sich bisher nicht nachweisen. Im amerikanischen Schrifttum wird von „ballooned“ gesprochen (Coventry mit Gormley und Kernohan).



Abb. 230 (Sterilische Röntgenaufnahme einer Hälfte der in der Sagittalebene durch einen Lendenwirbelstrahl einer 62-jährigen Frau.) Höhenzunahme der Zwischenwirbelscheibe infolge Osteoporose der Wirbelkörper („Fischwirbelbildung“) Zust. (Aufbellung) im Gallertkern.

Die geschilderten Vorbuchtungen von Zwischenwirbelscheiben in die angrenzenden Wirbelkörper hinein kommen vor allem bei Osteoporose (Abb. 112 bis 115) bei Krebsmetastasen, beim Myelom oder anderen einschmelzenden und die Widerstandsfähigkeit des Knochengewebes vermindern den krankhaften Zuständen vor. Dazu sind zu rechnen die Osteodystrophia deformans Paget (Abb. 139) Osteomalazie und Hungerosteopathie (Abb. 128) Osteodystrophia fibrosa Recklinghausen (Abb. 143). Über Ausbuchtungen der Zwischenwirbelscheiben bei Frakturen der Wirbelkörper wird in einem besonderen Abschnitt die Rede sein (S. 202).

Außer den eben beschriebenen, meist asymmetrisch nach oben und unten zu ausgebildeten Höhenzunahmen von Zwischenwirbelscheiben können die Zwischenwirbelscheiben auch nur teilweise oder nur nach einer Seite hin Einbuchtungen in die Wirbelkörper (Umbilikation nach Smith)

hervorrufen. Das kommt dann vor, wenn das Knochenbälkchenwerk nur stellenweise oder nur in dem einen anliegenden Wirbel nachgiebig geworden ist (durch isolierte Geschwulstmetastasen, durch Myelom, durch Osteodystrophia deformans in einem anliegenden Wirbel).

Für alle derartigen Höhenzunahmen von Zwischenwirbelscheiben ist aber — worauf Schmorl stetig hinzuweisen hat — Voraussetzung, daß das Zwischenwirbelscheibengewebe seine normale Elastizität besitzt. Zwischenwirbelscheiben mit Austrocknungs-, Zermürbungs- und Degenerationserscheinungen oder gar mit Einlagerungen von fibrösem Gewebe haben ihre Dehnungsfähigkeit verloren und erzeugen daher nie Vorbuchtungen in die angrenzenden Wirbelkörper. Fludet man tief in die Wirbelkörper eingebuchteten Bandscheiben starke Veränderungen des Bandscheibengewebes im Sinne der noch zu schildernden Chondrosus intervertebralis (S. 182), dann stammt die Höhenzunahme des Bandscheibenraumes aus früherer Zeit und die Degenerationen (Zermürbungen, Rißbildungen usw.) des Zwischenwirbelscheibengewebes sind erst später entstanden.

Z. Niedrige Zwischenwirbelscheiben

Viel häufiger als die soeben beschriebene Zunahme tritt jedoch eine Abnahme in der Höhe und im gesamten Fassungsvermögen des Bandscheibenraumes ein. Im Gegensatz zu der durch primäre Knochenveränderungen (verminderte Festigkeit) der anliegenden Wirbelkörper hervorgerufenen Höhenzunahme wird die Höhenverminderung im Zwischenwirbelraum immer durch Veränderungen des Bandscheibengewebes bedingt. Zum Teil liegen dafür entwicklungsgeschichtliche Grundlagen vor, zu einem viel größeren Teil aber sind Alterungsvorgänge und Verschleißkrankungen Ursachen für Höhenabnahme des Bandscheibenraumes. Daneben kommen noch Infektionen, Geschwülste oder Gasaufstauungen dafür in Frage. Aus diesem Grunde begegnen wir den verschiedenen Formen und Ursachen der Verminderung des Fassungsvermögens und der Höhe des Zwischenwirbelraumes in vielen Kapiteln dieses Buches, und wir können uns hier mit einigen Hinweisen begnügen.

Infolge regelrechter Entwicklungsvorgänge verschwinden bis zum Abschluß des Wachstums manche zunächst ordnungsgemäß angelegte Zwischenwirbelräume. Das ist bei der Ausbildung des Kreuzbeins der Fall, indem die zunächst mit einer Schlußplatte und einer knöchernen Wirbelkörperarrandseite regelrecht ausgebildeten Wirbelkörper durch Verknöcherung des zwischenliegenden Bandscheibengewebes verschmelzen. Dabei kommt es zu einer Höhenabnahme des Bandscheibenraumes und einem entsprechenden Zusammenrücken der Wirbelkörper. Nur das erste Kreuzbeinband-scheibe und Reste der zweiten bleiben häufig bis ins höchste Alter hinein bestehen. Ebenso wird die Zwischenwirbelscheibe zwischen 1. und 2. Halswirbelkörper nach und nach durch einwachsenden Knochen ersetzt, so daß schließlich die Körper der beiden obersten Halswirbel knöchern miteinander verbunden sind. Nur selten bleiben hier kleinere oder größere Reste des Bandscheibengewebes zwischen dem Zahn (ursprünglich Körper des 1. Halswirbels) und dem Körper des Epistropheus erhalten. Ähnliche Verhältnisse liegen auch bei den vorn (Kap. II B 2) besprochenen angeborenen Blockwirbelbildungen vor. Die Höhenverminderung des Zwischenwirbelraumes ist bei der Blockwirbelbildung auch noch deutlich aus der verminderten Größe des Zwischenwirbelloches (Abb. 46) erkennbar. Es werden also wie wir später noch öfter sehen, durch Höhenabnahme des Bandscheibenraumes auch weitere Aufbauteile des Bewegungswegmentes in Mitleidenschaft gezogen.

Wenn in anderen Fällen eine Höhenabnahme des Zwischenwirbelraumes eintritt, dann muß sich der Inhalt des Zwischenwirbelraumes vermindert haben. Die Ursachen dafür sind in erster Linie die bereits im 3. und 4. Lebensjahrzehnt einsetzende Abnahme des Wassergehaltes der Zwischenwirbelscheiben (Mabowaki, Pischel) und die damit zusammenhängenden verschiedenartigen Degenerationsercheinungen (Farbänderungen des Gallertkerns, Auflösungen, Zermürbungen usw.), die wir später besprechen und als Alterungs-, Verschleiß- und Abnutzungskrankheiten kennen. Diese Veränderungen erzeugen stets Elastizitätsverlust, Herabsetzung des Ausdehnungsdruckes des Gallertkerns und Verminderung der Zwischenwirbelraumhöhe (Bumke, Böhmig). In zweiter Linie kann eine Abnahme des Zwischenwirbelraum Inhaltes durch Austritt von Bandscheibengewebe in die Umgebung (nach oben, unten, vorn, seitlich oder hinten) entstehen. Wir werden bei der folgenden Besprechung der einzelnen Veränderungen näher darauf zurückkommen (Kap. IV C).

Wenn die Abnahme der Höhe des Bandscheibenraumes durch die später zu besprechenden Verschleißkrankheiten des Zwischenwirbelscheibengewebes (S. 182) erhebliche Grade annimmt, können damit außerordentliche Bewegungsmöglichkeiten im betroffenen Bewegungssegment verbunden sein, und schließlich bildet sich infolge des Fehlens der stoßmildernden Pufferung und durch unmittelbare Berührung der beiden gegenüberliegenden Wirbelkörperflächen eine Knochenverdichtung entlang den einander gegenüberstehenden Wirbelkörpergrundplatten und -deckplatten aus (Abb. 231–233). Das führt zu dem von Schmidt erstmalig beschriebenen Krankheitsbilde der Osteochondrosis intervertebralis, über das ausführlich später berichtet wird (S. 188).



Abb. 231 (links) (Lichte Röntgenaufnahme der rechten Hälfte der in der Sagittalebene durchgezogenen Halswirbelsäule eines älteren Mannes.) Zerrnührung der 4. und 5. Halsbandscheibe. Höhenabnahme des Zwischenwirbelsraumes mit Sklerose der angrenzenden Wirbelkörperperipherie. Verknöcherung der 3. Halsbandscheibe im hinteren Drittel. Die 1. Halsbandscheibe (zwischen Zahn und Körper des Epistropheus) ist vollkommen verknöchert.

Abb. 232 (Mitte) (Seitliche Röntgenaufnahme einer dünnen, aus der Halswirbelsäule in der Sagittalebene herausgestellten Scheibe.) Höhenabnahme einiger Zwischenwirbelscheiben mit Sklerose in der Umgebung und Randzackenbildung an den Wirbelkörpern vorn und teilweise auch hinten. (Das Röntgenbild entspricht ungefähr der vorhergehenden Abbildung.) Die untersten der abgebildeten Wirbelkörper gut erhalten, an den vorderen Kanten sind die erhaltenen knöchernen Randleisten zu sehen.

Abb. 233 (rechts). (Seitliche Röntgenaufnahme einer Hälfte der in der Sagittalebene durchgezogenen Lendenwirbelsäule einer 33-jährigen Frau.) Ist die Höhenabnahme der letzten Lendenbandscheibe mit Sklerose der angrenzenden Wirbelkörperperipherie und kleinen Zacken nach dem Wirbelkanal zu. Außerdem besteht Pseudospondylolisthese des 4. Lendenwirbels.

Bei Wirbelverbiegung (nach hinten, nach vorn, nach der Seite) und beim typischen Wirbelgleiten (Spondylolisthese) besteht stets eine beträchtliche Höhenabnahme der unter dem verschobenen Wirbel liegenden Zwischenwirbelscheibe. Darüber geben die entsprechenden Abschnitte Askanitz (S. 42, 1925). Über Abnahme der Zwischenwirbelscheibenhöhe bei Infektion berichten Kap. IV G und III K L.

Lösche und Jany beschreiben Höhenveränderungen des Bandscheibenraumes auf Grund von sekundären Kompressionsveränderungen. Bei vorher abnorm niedrigen Bandscheibenräumen gelang ihnen die Wiederherstellung einer regelrechten Zwischenwirbelscheibenhöhe durch Einspritzung von Novokainlösung in die Seitenblätter der Wirbelsäule. Da den Bändern selbst eine zusammenziehende Fähigkeit nicht innewohnt, kann eine Schmerzbehandlung krasse Entspannung dieser Bänder bewirken, und entzündliche, narbige Schrumpfungen der Seitenblätter können durch Novokainlösung ebenfalls nicht beseitigt werden. Die Wirkung dieser Behandlungsart erscheint also zweifelhaft. Es müssen erst noch weitere Beobachtungen über gleichartige Fälle vorliegen, bevor endgültige Schlüsse gezogen werden können. Ebenso bedarf die Angabe von Pailly, daß nach jahrelangen statisch-mechanisch bedingten Wirbelsäulenkrümmungen die entstandenen Zwischenwirbelscheibenverformungen sich wieder ausgleichen können, eingehender Nachprüfung.

Eine Höhenverminderung kann den Zwischenwirbelscheibenraum auch nur teilweise betreffen, so daß die Wirbelkörper sich in diesem Bereich einander nähern. Die Alterskyphose (Kap. VI A 3) zeigt

diese Veränderungen sehr eindrucksvoll in den vorderen Abschnitten (Anulus fibrosus) der Zwischenwirbelscheiben in denen Riß- und Spaltbildungen, auch Nekrosen entstehen. Landblom hat solche Bilder in Tierversuchen durch Dauerdruck am Rattenschwanz erzeugt. Höhenabnahme der seitlichen Teile von Zwischenwirbelscheiben finden sich bei allen Formen von Skoliosen. Es ist aber noch nicht geklärt, wie weit Bandscheibenveränderungen dabei ursächlich mitwirken, oder wie weit sie nur Folgeerscheinungen der Seitverbiegungen sind (S. 22–246).

C. Verlagerungen von Zwischenwirbelscheibengewebe

1 „Schmorlsche Knötchen“ in den Wirbelkörpern

Zwischenwirbelscheibengewebe kann in größeren oder kleineren Teilen durch allmählich fortschreitende krankhafte Vorgänge und gelegentlich auch durch einmalige plötzliche Gewalteinwirkung aus dem Zwischenwirbelsraum heraus in jeder Richtung verlagert werden (Abb. 234). Je nach der

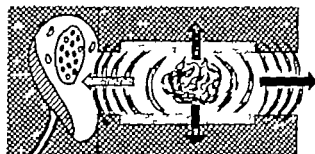


Abb. 234. Schema der Zwischenwirbelscheibe mit zureichendem Zwischenwirbelspalt im Sagittalschnitt zur Darstellung der verschiedenen Möglichkeiten des „Bandscheibenvorfalls“. Vorfall nach oben und unten in den Wirbelkörper hinein ergibt Schmorlsche Knötchen (Abb. 235–237). Vortreibung des Zwischenwirbelscheibengewebes nach vorn erzeugt Spondylolisthese deformans (Kap. V). Vorfall nach rückwärts erzeugt Druck auf die Verstebröhre oder auf das Rückenmark (Kap. IV C).

per ist nur dann gegeben, wenn die knorpeligen Schlußplatten Löcher aufweisen. Regelmäßig entwickelte Schlußplatten haben – wie weiter vorn beschrieben – an und für sich keinerlei Lückenbildungen, aber sie zeigen einige Stellen mit geringerer Widerstandsfähigkeit an

denen der Weg für Lückenbildungen gewissermaßen vorbereitet ist. Einmal ist dies die Gegend des Gallertkerns, in der eine gewisse Ausbuchtung des Zwischenwirbelsraumes nach den Wirbelkörpern zu (an der alten Chorda durchtrittsstelle) in vielen Fällen



Abb. 235. (Mikrophotogramm eines Sagittalschnittes durch den Wirbelkörper bandscheibengewebe eines Jungschildes.) Durch einen Spalt in der Knorpelplatte ist Zwischenwirbelscheibengewebe (Gallertkerngewebe) in den Wirbelkörper (nach unten zu) eingedrungen. Beginnende knorpelige Umwandlung des verfallenen Gewebes und beginnende Bildung einer Knorpelkapsel („Schmorlsches Knötchen“).

besteht (S 30 Abb 60) An solchen ausgebuchteten Stellen ist die Knorpelplatte stets etwas dünner als der Regel entspricht Außerdem befindet sich an dieser Stelle der Knorpelplatte die Narbe (Böhmg Putzkar) der Gefäßdurchtrittsstelle (axiales Bandscheibengefäß S 14) Weiter hin liegen in der knorpeligen Schlußplatte die kleinen unregelmäßig angeordneten, scholbgnekrotischen Zerfall herde die „Ossifikationslöcher von Schmorl die ebenfalls Stellen geringerer Widerstandsfähigkeit hervorrufen (Von Böhmg werden diese Herde als Wachstumsstörungen angesehen.) Außer diesen entwicklungsge schichtlich bedingten Stellen geringerer Widerstandsfähigkeit (Ausbuchtungen an der Chordadurchtrittsstelle Ge



Abb. 234

Abb. 236 (Leicht vergrößertes Lichtbild der Sagittalschnittfläche eines rezenten Brustbandscheibe von einem jungen Mann.) Senkrecht in der Kopf-Steiß-Richtung verlaufender Riß im Gallertkerngebiet an dessen oberem und unterem Ende zwei Schmorlsche Knötchen in den Wirbelkörpern befinden. Sowohl oben als auch unten ist die knorpelige Deckplatte durchbrochen. Links im Bild sind die beiden Randleisten sichtbar in beginnender Verknöcherung mit dem Wirbelkörperknochen.



Abb. 237

Abb. 237 (Vergrößertes Lichtbild der Sagittalschnittfläche einer Lendenbandscheibe.) Nach unten zu Bildung eines größeren und nach oben zu Bildung eines kleineren Schmorlschen Knötchens mit entsprechend breitem Durchbruch durch die Knorpelplatte. Nach oben und unten zu beginnende Knorpelschale um das vorgefallene Zwischenwirbelscheibengewebe herum. Bildung einzelner Gallertkernsequenzen. Nach oben zu (rechts im Bild) sind die Faserngehichten durch einen horizontal verlaufenden Riß zerstört.



Abb. 238

Abb. 238 (Lichtbild der Sagittalschnittfläche eines Lendenwirbels.) Die knorpelige Schlußplatte der oberen Zwischenwirbelscheibe ist geborsten und eine Hälfte durch vorgefallenes Zwischenwirbelscheibengewebe kugelförmig in den Wirbelkörper hineingedrückt. Um das vorgefallene Zwischenwirbelscheibengewebe herum hat sich Knorpelgewebe gebildet. Auch an der unteren Zwischenwirbelscheibe beginnt Zwischenwirbelscheibengewebe in den Wirbelkörper vorzufallen, das bereits mit einem knorpeligen Schutzwall umgeben ist. Die Spalten im Zwischenwirbelscheibengewebe weisen deutlich auf die Durchbrochenheit der Knorpelplatte hin.



Abb. 239

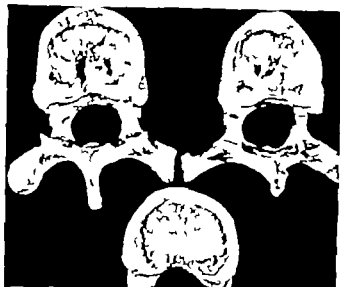


Abb. 241

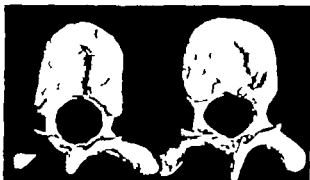


Abb. 242



Abb. 240

Abb. 240 (Lichtbild der kaudalen Schnittfläche einer Lendenwirbelsäule) Großer Prolaps von Zwischenwirbelscheibengewebe in den 3. Lendenwirbelkörper hinein und breiter umgebender reaktiver Knorpelsubstanz (Schmorlechen Knötchen)



Abb. 243

Abb. 239 (Lichtbild der Sagittalschnittfläche einer Zwischenwirbelscheibe mit angränzender Wirbelkörper-spongiosa.) Ausbildung zweier typischer nebeneinanderliegender Knorpelknötchen. (Vgl. Abb. 24, 234)

Abb. 241 (Lichtbild der Unterflächen mehrerer Wirbelkörper eines 27-jährigen Mannes.) Tief verschieden geformt Furchen und Gruben in der Mitte der Grundplatten. Die knöchernen Wirbelkörperverändlungen sind im ganzen Umfang erhalten. Der unten liegende Wirbelkörper ist zum Vergleich beilegt. Er zeigt normale Verhältnisse.

Abb. 242 (Lichtbild der Deckplatten von zwei mazierten Wirbelkörpern.) Auf der Deckplatte links ist eine tiefe Grube zu sehen, die von einem Schmorlechen Knötchen herrührt.

Abb. 243 (Lichtbild der beiden Flächen eines in der Sagittalebene durchgesägten mazierten Wirbelkörpers. Rechte Hälfte unten im Bild. Hochgeklappt linke Hälfte oben im Bild.) Von der Deckplatte ausgehend etwas nach rückwärts verschoben Grube eines großen Schmorlechen Knötchens im Spongiosa-Grund. Nahe der vorderen unteren Ecke (Pfeile) die Grube eines kleineren Schmorlechen Knötchens.

saßbaren Ossifikationsläcken) können auch Krankheitsvorgänge Lückenbildungen in den Knorpelplatten begünstigen oder erzeugen. Die Knorpelplatten erleiden bisweilen vom Wirbelkörper her Zerstörungen durch Geschwulstmetastasen oder entzündliche Einschmelzungen. Der Wirbelkörper kann durch krankhafte Vorgänge unmittelbar an den Knorpelplatten so ausgehöhlt werden, daß ihnen die feste Unterlage fehlt und sie dann durch den elastisch federnden Druck der Bandscheibe einreißen. Die im höheren Alter auftretenden Degenerationsvorgänge in den Knorpelplatten schwachen ohne Zweifel die Widerstandskraft der Knorpelplatten wesentlich. Wenn solche entwicklungsgeschichtlich oder durch Krankheiten bedingte örtlich begrenzte Schädigungen in der Widerstandsfähigkeit der Knorpelplatten vorliegen, dann ist der Ausdehnungsdruck des Gallertkerns in Gemeinschaft mit der Belastung der Wirbelsäule während des täglichen Lebens in der Lage Einsätze an diesen wenig wider-



Abb. 44 (links). (Röntgenaufnahme einer Hälfte der in der Sagittalebene durchstrahlten Lendenwirbelsäule von einem 1-jährigen Mann.) Im dargestellten Wirbelkörper oben ein kleineres und unten ein größeres schwarzes Knötchen, die beide mit einer beginnenden feinen Knochenschale gegenüber dem Wirbelkörper bedeckt sind.

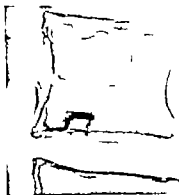


Abb. 45 (rechts). (Seitliche Röntgenaufnahme einer Hälfte der in der Sagittalebene durchstrahlten Lendenwirbelsäule eines 31-jährigen Mannes.) Starke sklerotische Verdickung am Ende von unten her in den Wirbelkörper vorwölbendes schwarzes Knötchen. Ein kleineres, mit weniger ausgeprägter Knochenschale wölbt sich von oben her in den Wirbelkörper hinein.



Abb. 46. (Röntgenaufnahme der mittleren Brustwirbelsäule einer 62-jährigen Frau im Vorderbild und Seitenbild.) Im Seitenbild (rechts) wölbt sich in den Wirbelkörper von unten her eine bogenförmige Verschattung ein, die sich auf dem Vorderbild (links) als eine dünne sklerotische Knochenschale um ein schwarzes Knötchen herum zu erkennen gibt.



standsfähigen Stellen der Knorpelplatten zu erzeugen. Das täglich immer wieder elastisch heran drängende Zwischenwirbelscheibengewebe erweitert allmählich diese Einsätze und Lücken und dringt in die entstehenden Spalten und Locher vor (Abb. 235–240). Auch wenn keinerlei Zerstörungen oder Erkrankungen an den Wirbelkörpern selbst bestehen, findet das Zwischenwirbelscheibengewebe nach Durchbrechung der Knorpelplatte in der feinporig durchlöchernten knöchernen Schlussplatte des Wirbelkörpers stets eine genügend weite Lücke, um in das Knochenbälkchenwerk einzudringen (Abbildungen 241–243).

Der Prolaps von Bandscheibengewebe („Bandscheibenhernie“ nach Geipel) steht infolge des Ausdehnungsdruckes des Gallertkerns und besonders infolge der Druckscheinungen bei der Wirbelkörperbelastung unter dauernder elastischer Spannung. Das erzeugt zunächst durch Resorption einiger feiner Knochenbälkchen eine kleine Höhlung, in die sich mehr und mehr Bandscheibengewebe hineindrängt. Allmählich rufen die dauernd wiederholten Druckstöße aber Abwehrvorgänge im umgebenden Knochenbälkchenwerk hervor, wodurch sich eine zunächst knorpelige (Abb. 240) später verknocherte Schale (Abb. 250–255) in der Umgebung des vorgefallenen Zwischenwirbelscheibengewebes bildet. Dadurch wird die Vergrößerung des Bandscheibenvorfalles abgefangen. Das weitere Vordringen und der weitere Druckreiz kommen regelmäßig dann zum Stillstand, wenn der Gallertkern seinen elastischen Ausdehnungsdruck verliert, was einestells durch Wasserverarmung, Alterungsvorgänge oder allgemeine Verschleißerscheinungen möglich ist, was andererseits aber auch



Abb. 247



Abb. 248.

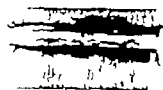


Abb. 49

Abb. 247 (links). (Reithube Röntgenaufnahme einer dünnen, aus der Wirbelsäule eines 77-jährigen Mannes in der Sagittalebene herauspräparierten Scheibe.) Die abgebildete Zwischenwirbelscheibe zeigt nach oben hin eine größere Fläche und nach unten hin eine kleinere Ausbuchtung in den Wirbelkörper hinein mit Knochenverdichtungen in der Umgebung (typische Knorpelknötchen mit Knochenschalen). Randkanten ohne Veränderungen (links im Bild).

Abb. 248 (Mitte). (Röntgenaufnahme der Brustwirbelsäule einer 60-jährigen Frau nach Abtragung der Wirbelbogenreihe. Sagittaler Strahlengang.) Kleines, nach unten zu in den Wirbelkörper hinein entwickeltes Knorpelknötchen mit geringer Knochenschale und einer in dem vorgefallenen Zwischenwirbelscheibengewebe liegenden kleinen Verkalkung.

Abb. 49 (rechts). (Röntgenaufnahme der Wirbelsäule eines 71-jährigen Mannes. Sagittaler Strahlengang. Wirbelbogen tragen.) Die beiden knopfartigen, tiefdunklen Verschattungen sind durch in die Wirbelkörper eingefallenes, erkaltes Bandscheibengewebe hervorgerufen, wie sich nach dem Auflegen ergibt.



Abb. 230



Abb. 231

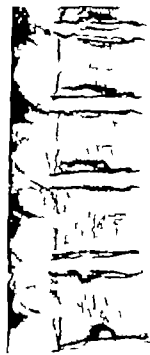


Abb. 232.

Abb. 230 (Reithube Röntgenaufnahme einer Hälfte der in der Sagittalebene durchgesägten Brustwirbelsäule eines 52-jährigen Mannes.) Zahlreiche unregelmäßig begrenzt schattenbende im vorderen Drittel mehrere Wirbelkörper das sklerotische Schalen um vorgefallenes Zwischenwirbelscheibengewebe darstellen. Die Randkanten sind unregelmäßig erweitert.

Abb. 231 (Lichtbild der Sagittalschnittfläche der Brustwirbelsäule eines 18-jährigen Jungen.) Ausbildung typischer schwarzer Knoten zwischen mehreren übereinanderliegenden Zwischenwirbelscheiben. Die an den vorderen Wirbelkörperreihen angrenzenden Wirbelkörperwandlinien sind noch nicht alle vollkommen mit dem Wirbelkörper verschmolzen. Man sieht an einigen Stellen noch die trennende Knorpelfuge nach dem Wirbelkörper zu.

Abb. 232. (Reithube Röntgenaufnahme der Brustwirbelsäule eines 19-jährigen Mädchens.) Fast sämtlicher Wirbelkörper wölben sich schwarze Knötchen ein, die als Knorpelschale zu erkennen sind. Die Wirbelkörper sind vollständig verschmolzen.

) I die Ober- und Unter- gebenden sklerotischen It und bereit mit dem

stetlich durch den infolge der Knorpelknötchenbildung eingetretenen Gewebs- und Flüssigkeitsverlust entstehen kann und bei Ausbildung größerer *Schmorl'scher* Knötchen als unausbleibliche Folge regelmäßig entsteht.

Die Entwicklungsvorgänge der *Schmorl'schen* Knötchen lassen sich am besten auf Sägeschnitten durch die Pfeilnahtebene studieren. Die Anfangszustände der Rißbildungen in den Knorpelplatten sind in mikroskopischen Bildern gut erkennbar (Abb. 233). Die weiteren Entwicklungszustände (vorfallendes Zwischenwirbelscheibengewebe, Knorpelschale, Knochenschale usw.) sind mit bloßem Auge (Abb. 236—240) auf den Schnitt flächen sichtbar (Man kann die verschiedenen Zustandsbilder auch darstellen, wenn man in schwach entkalkten Präparaten von der Wirbelkörperseite her langsam das Knochenbälkchenwerk abkratzt). Auf den Endflächen mazerierter Wirbelkörper sind die Grubenbildungen und die umgebenden Selaken aus dichtgefügttem Knochen gut zu sehen. Die durch *Schmorl'sche* Knötchen an den Wirbelkörperendflächen hervorgerufenen Grubenbildungen können rundlich oder länglich sein und in allen Teilen der nicht von der Randleiste bedeckten Wirbelkörperendfläche vorkommen (Abb. 241—243). Am häufigsten sitzen sie in der Gallertkerngegend. Länglich entwickelte Gruben pflegen meist in der Pfeilnahtrichtung zu verlaufen, sie werden aber auch in Frontalrichtung oder in schräger Richtung beobachtet.

Wenn beim Jugendlichen ein *Schmorl'sches* Knötchen nur an einer Wirbelkörper-Bandscheiben-Grenze der Zwischenwirbelscheibe entstanden ist, kann durch den Vorfall von Bandscheibengewebe eine so große Entlastung zustande kommen, daß gegenüber an der Verknöcherungsschicht des nächsten Wirbelkörpers ein überschüssiges Knochenwachstum auftritt und schließlich an der Wirbelkörperendplatte nach dem Zwischenwirbelsraum zu ein buckelförmiger Knochenvorsprung entsteht der bisweilen im Röntgenbild (Abb. 253) zur Darstellung kommt (*Schajowicz*). Bei gutachtlichen Beurteilungen und für manche differentialdiagnostische Erwägungen haben diese Knochenvorsprünge große Bedeutung, weil sie die Entstehung der Veränderungen während der Wachstumszeit beweisen.

Leider fehlen bisher darüber eingehende mikroskopische Reihenuntersuchungen.

Der Protoplasten- oder Bandscheibengewebe-Druck läßt sich an der Leichen- oder Tierleichenleiche künstlich hervorrufen, wenn man nach *Schmorl* an der Wirbelkörperseite her oberhalb des Knorpelplättchens anbohrte. Dann wängt sich ohne Anwendung von besonderem Druck, infolge des Eigendruckes (Ausdehnungsdruck) Zwischenwirbelscheibengewebe prola-

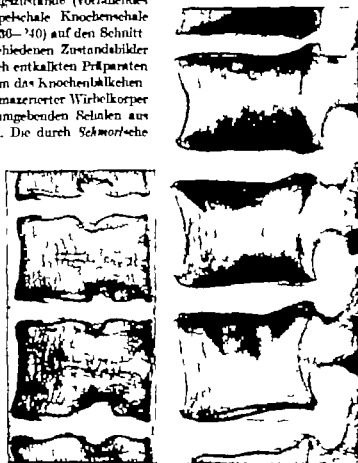


Abb. 233 (links) (Rechtslebe Röntgenaufnahme einer sagittal aus der unteren Brustwirbelsäule eines 20-jährigen Mannes: unregelmäßig unregelmäßige von verdichteter Spongiosa umgebene Ausbuchtungen der Zwischenwirbelscheiben in die Wirbelkörper (*Schmorl'sche* Knötchen). Die knöchernen Wirbelkörperausbuchtungen sind an den vorderen Wirbelkörperkanten mit erheblichen Knochenverlusten unverändert sichtbar.

Abb. 234 (rechts) (Röntgenaufnahme einer Hälfte der in der Sagittalebene durchgezogenen Wirbelsäule eines 51-jährigen Mannes). In allen dargestellten Wirbelkörpern *Schmorl'sche* Knötchen, die durch ihre feine knöcherne Umrandung sichtbar sind. In dem untersten der dargestellten Wirbelkörper liegt die seltene Bildung von zwei benachbarten *Schmorl'schen* Knötchen unterhalb der oberen Wirbelkörperdeckplatte vor (vgl. Abb. 239, 247).

durch die Locke vor Versuche über die Knorpelknötchenentwicklung sind auch bei Tieren ausgeführt worden und haben nach den Beschreibungen ähnliche Bilder erzielt (*Kayser und Caspers, Lab. W. Müller u. a.*). Eine Gleichsetzung mit den Befunden bei Menschen ist — bei infolge der anatomischen Verschiedenheiten („knochernen Epiphyseplatten“ beim Tier 8 9) nicht in vollem Umfang möglich.

In den Fällen, bei denen knochenzerstörende Erkrankungen im Wirbelkörper nahe der Knorpelplatte sitzen oder die Knorpelplatte angegriffen haben, ist die Entstehung der Bandscheibenerkrankung in die Wirbelkörper und auch das dadurch hervorgerufene Zustandsbild etwas anders. Infolge Knochenzerstörung bricht hier ein Stück der Knorpelplatte türflügelartig in den zer-



Abb. 233 (links). (Kettische Röntgenaufnahme der unteren Brustwirbelsäule einer 37-jährigen Frau. Etwas schwache Strahlengänge.) Die Ränder (Randleisten) der sich elliptisch abwickelnden Wirbelkörperoberflächen sind unregelmäßig. In der Mitte der Wirbelkörperoberflächen bestehen unregelmäßige Vertiefungen (Höcker und Einbuchtungen) als Ausdruck von Knorpelknötchenbildungen.

Abb. 234 (rechts). (Lichtbild der Sagittalschnittfläche eines Lendenwirbelkörpers.) Die zwischen Wirbelkörper und Bandscheibenbänken liegende knorpelige Schlußplatte ist wie ein geöffneter Türflügel in den Wirbelkörper hineingeklappt und gleichzeitig ist durch die entstandene Locke Zwischenwirbelscheibengewebe in die Wirbelkörper spongiosa eingedrungen. (Die Wirbelkörper spongiosa war an dieser Stelle durch eine osteoklastische Krebmetastase zerstört.)

störten Wirbelkörper ein (Abb. 236 237). Reaktive Veränderungen (Knorpelwucherungen und Knochenabschalenbildungen) können sich infolge der knochenzerstörenden Grundkrankheit meist nicht ausbilden (Abb. 238).

Bei den bisher besprochenen Ursachen für die Entstehung der Schmor'schen Knötchen (angeborene oder erworbene Veränderungen der Knorpelplatten, zerstörende Krankheit im Wirbelkörper) genügt bereits die gewöhnlichen und dauernd einwirkenden Beanspruchungen der täglichen Belastung, um einen Einriß in die geschädigte Knorpelplatte herbeizuführen. Ohne Zweifel sind aber auch einmalige traumatische Einwirkungen in der Lage, vollkommen unveränderte Zwischenwirbelscheiben zum Bersten zu bringen. Es kommen blutigenartige oder sternförmige Einrisse in die Knorpelplatten (Abb. 326) bei jugendlichen Menschen durch traumatische Schädigungen vor. Die Mitte eines Wirbelkörpers kann durch Trauma eine so starke Zusammendrückung erleiden, daß die knorpeligen Schlußplatten der beiden anliegenden Zwischenwirbelscheiben einreißen und eingepreßtes Bandscheibengewebe der benachbarten Zwischenwirbelscheiben in der Mitte des Wirbelkörpers zusammentritt (Abb. 330). Die weiteren wichtigen Zusammenhänge zwischen Trauma und „Schmor'schen Knötchen“ sind in einem besonderen Abschnitt behandelt (S. 208). Die Röntgenaufnahme eines seltenen Präparates (Abb. 250) stellt die

Abb. 200 dar. Hier ist durch ein Geschoß das im Wirbel stecken blieb ein Vorfall von Zwischenwirbelscheibengewebe in den Wirbelkörper hinein verursacht worden.

Von verschiedenen Seiten wird angegeben, daß neben den in der soeben geschilderten Weise entstehenden Schmorl'schen Knötchen noch kleine Knorpelwucherungen her-

de (Knorpelknötchen) an der wirbel körperswärts gerichteten Fläche der Knorpelplatten auftreten können (*Putecker*) die nichts mit Einbruch von Zwischenwirbelscheibengewebe zu tun haben. Diese Knorpelknötchen werden als Wucherungsvorgänge gewisser Knorpelzellherde aus der Wachstumschicht gedeutet (*Mitchell* und *Tscherepnina*). Der fragliche Zusammenhang solcher Knorpelknötchen, die niemals eine besondere Größe erreichen, mit Degenerationsvorgängen und Rißbildungen in den Knorpelplatten muß noch durch weitere Untersuchungen geklärt werden. *Arnold* beschreibt unter dem Sammelbegriff der Schmorl'schen Knötchen einen juvenilen Typ A, den er als peristierende Wachstumsknorpel auf faßt. Es ist auch noch die Frage zu erörtern, wieweit diese Art von Knorpelknötchen den von Schmorl beschriebenen „arthritischen“ Knorpelknötchen gleichzusetzen sind, wie man sie häufig bei ausge dehnten Bandscheibendegenerationen (Osteochondrosis) findet (S. 188).

Über die Häufigkeit der Schmorl'schen Knötchen hat Schmorl selbst eingehend an Hand seines großen Untersuchungsgutes berichtet. Er fand sie in etwa 39 v. H. aller anatomisch untersuchten Wirbeln. Männer und häufiger befallen (50,9 v. H.) als Frauen (24,3 v. H.), was mit der stärkeren Belastung der männlichen Wirbelsäule zusammenhängt. Röntgenologen finden nur bei 13,5 v. H. aller Menschen Schmorl'sche Knötchen. Die große Zahl der anatomisch nachweisbaren



Abb. 237 (links). (Vertikale Röntgenaufnahme der Lendenwirbelsäule eines 65-jährigen Mannes.) Die im oberen Teile des Wirbelkörpers liegende bogenförmige Verschattungslinie entspricht einem ähnlichen Zustand, wie ihn das vorhergehende Lichtbild darstellt. Auch hier ist die Deckplatte in den Wirbelkörper pistonförmig hineingedrückt.



Abb. 238 (rechts). (Röntgenaufnahme einer in der Mittellinie aus einer Wirbelsäule mit Krebsmetastasen herausgezogenen Scheibe.) An verschiedenen Stellen ist Zwischenwirbelscheibengewebe in den Wirbelkörper eingedrungen und hat Teile der knöchernen Schlußplatte des Wirbelkörpers in die Wirbelkörper Krebsmetastasen hineingepreßt. Die Metastasen sind durch die Aufhellung und das Fehlen der Spongiösumzeichnung deutlich sichtbar.



Abb. 239 (links). (Lichtbild der Sagittal-schnittfläche der Wirbelsäule eines 31-jährigen Mannes.) Halsgeschoß im 12. Brustwirbelkörper das bei seinem Eindringen die Knorpelplatte zerstört und so Vorfall von Zwischenwirbelscheibengewebe Anlaß gab.



Abb. 240 (rechts). (Röntgenaufnahme zu Abb. 239.) Geschoß im 12. Brustwirbelkörper das bei seinem Eindringen die Knorpelplatte zerstört und so Vorfall von Zwischenwirbelscheibengewebe veranlaßte. Ethische Hölen abnahme des Zwischenwirbelscheibengewebe, aus dem Bandscheibengewebe angetreten ist.

Schmorlache Knötchen ist also im Röntgenbild nicht darzustellen. Der Prolaps ist anfangs so klein, daß er keinerlei Änderungen der Schattenzeichnung im Wirbelkörper hervorruft, und der Gewebeerlust den die Zwischenwirbelscheibe durch das in den Wirbelkörper eindringende Gewebe erleidet, ist ebenfalls nicht so hochgradig, daß dadurch bereits eine meßbare Höhenabnahme des Zwischenwirbelscheibenraumes zustande kommt. Im Röntgenbild ist ein Nachweis eines Zwischenwirbelscheibenprolapses erst dann möglich, wenn der Körper als Gegenwehr gegen den bei jeder Bewegung entstehenden elastischen Druck des vorgefallenen Gewebes gegen die Wirbelkörperspongiosa eine knorpelige (Abb 240) und später oft eine starke knöcherne Schale (*Schmorl, W. Müller*) um das vorgefallene Zwischenwirbelscheibengewebe angelegt hat (Abb 244–247 252–254). Solche Fälle sind im klinischen Schrifttum zahlreich veröffentlicht. Bisweilen verkalkt das in den Wirbelkörper eingedrungene Zwischenwirbelscheibengewebe, und das *Schmorlache* Knötchen wird dadurch röntgenologisch erkennbar (Abb 248, 249).

Die sich im Wirbelkörper um den Prolaps des Bandscheibengewebes bildenden Knochenverdichtungen erscheinen nicht nur im Röntgenbild mit horizontalem Strahlengang, sondern können auch bei schrägem Strahleneinfall gesehen werden. Dann sieht man auf den elliptisch dargestellten Wirbelkörperoberflächen strahlige, nicht ganz scharf begrenzte Schattenverdichtungen, die nichts mit den hinteren Kanten der Wirbelkörpernrandleisten zu tun haben, die bei Schrägauflicht eben falls einen Röntgenshatten geben (Abb 21).

Dieterich und *W. Müller* konnten ebenfalls Verkleinerung von Knorpelknötchen in fortlaufenden Untersuchungen röntgenologisch darstellen. Das tritt ein, wenn der fortschreitende Bandscheibenvorfall zur Ruhe gekommen ist, und die ausgebildeten sklerotischen Knochenachsen infolge des fehlenden elastischen Druckreizes allmählich abgebaut werden. Über die Folgeresultate von reihenmäßig in einer Wirbelsäule entwickelten Knorpelknötchen (insbesondere *Adoleszentenkyphose*) und über die klinisch bemerkbaren Folgen von Knorpelknötchen (*Schmerzen usw.*) wird in besonderen Abschnitten berichtet (S. 178 und 228). *Schmorlache* Knötchen wurden auch an ausgegrabenen Wirbelsäulen gefunden, die bereits 1000–3000 Jahre alt sind (*Rokhlina, Rowla ckeno und Meikona*).

2. „Schmorlache Knötchen“ im Wirbelkanal

(Bandscheibenvorfall nach hinten)

Zwischenwirbelscheibengewebe kann den Bandscheibenraum nicht nur nach oben und unten — also in die Wirbelkörper hinein — verlassen, sondern es kommen auch Verlagerungen von Zwischenwirbelscheibengewebe nach rückwärts in den Wirbelkanal oder nach hinten-seitlich in das Zwischenwirbelloch hinein vor. *Laschitz* hat diese Vorgänge als erster abgebildet (Abb 261). Bei den Reihenuntersuchungen *Schmorls* wurde ihnen ebenfalls größte Beachtung zuteil. Die erheblichen klinischen Krankheitserscheinungen, die durch Verlagerungen von Bandscheibengewebe nach rückwärts entstehen können, fanden jedoch erst in den letzten Jahren allgemeine Aufmerksamkeit und klinisches Interesse, worauf später noch näher eingegangen wird.

Erstmals wurden Zahlen über die Häufigkeit der Verlagerungen von Bandscheibengewebsteilen nach rückwärts durch *Adams* mitgeteilt, dem das Untersuchungsgut *Schmorls* zur Verfügung stand. Bei 84 von 348 untersuchten Wirbelsäulen bestanden solche Gebilde an der Rückwand der Bandscheibe. Sie sind also in 15,2 v. H. aller Wirbelsäulen entwickelt. Bei den Männern zeigten sie sich in 11,5 v. H. und bei den Frauen in 18,7 v. H. Die gefundenen Knotenbildungen kamen in der Hälfte der untersuchten Wirbelsäulen mehrfach vor. An einer Wirbelsäule fanden sich sogar 7 Bandscheibenvorfälle nach rückwärts. Mehrmals konnten 2 Vorfallknoten im Bereiche einer Bandscheibe entdeckt werden. Auffallend ist in dieser Reihenuntersuchung, daß niemals ein Bandscheibenvorfall vor dem 30. Lebensjahr gefunden wurde. Der häufigste Sitz der nach rückwärts ausgetretenen Bandscheibenbrüche war im Untersuchungsgut des *Schmorlschen* Institutes die Lendenwirbelsäule und die untere Brustwirbelsäule, während nur vereinzelt Knoten im Bereiche der Halswirbelsäule bestanden.

In der Zwischenzeit sind zahlreiche Arbeiten über die Häufigkeit der Verlagerungen von Bandscheibengewebsteilen erschienen. In diesen Arbeiten wird als Hauptort die Lendenwirbelsäule beschrieben (*Adams, Berthel, Low, Ross u. a.*). Seltener wird der Bandscheibenvorfall nach hinten in der Brustwirbelsäule gefunden (*Lindberg, Pott, Duenlis u. a.*) und noch seltener in der Halswirbelsäule (*Chassierand, Orloff, Lindberg u. a.*). *Adams* hat ein übersichtliches Schema darüber gebracht (Abb. 262). Die besondere Häufigkeit der mehr nach seitlich auf die Richtung des Zwischenwirbelloches ausgetretenen Bandscheibenverlagerungen hat *Lindholm* überzeugend nachgewiesen. In der Zwischenzeit wurde das Vorkommen der Bandscheibenvorfälle vor dem 30. Lebensjahr oft bestätigt, was



Abb. *61 (links). Abbildung aus *Leuckart* (Erste Abbildung des Zeitschrift *tum* eines Bandscheibenvorfalles nach hinten. Im oberen Bild Ansicht der Bandscheibenrückwand mit dem vorgetretenen Bandscheibenvorfall. Im unteren Bild Horizontalschnittfläche der Bandscheibe mit der vom Gallertkern nach hinten ziehenden Spaltbildung und den nach oben herumgeklappten Gallertkernzotten.

Abb. *62 (rechts). Übersicht über 750 Fälle von Bandscheibenvorfall, verteilt auf Hals-, Brust- und Lendenwirbelsäule (nach *Adams*)

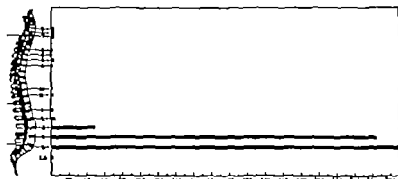


Abb. 263 (unten links). (Lichtbild der Sagittalschnittfläche der Brustwirbelsäule eines 45jährigen Mannes.) Beträchtliche Höhenabnahme der 10 Brustbandscheiben. Teile dieser Zwischenwirbelscheiben wölben sich nach hinten in den Wirbelkanal knopförmig vor (hintere „Schwarze Knötchen“). Beginnende Einwucherung von Knorpelgewebe in das Gallertkerngebiet derselben Zwischenwirbelscheiben.

Abb. 264 (unten rechts). (Lichtbild einer Wirbelsäule von hinten her nach Abtragen der Wirbelbögen.) Unter dem schmalen hinteren Längsband wölben sich in der Gegend zweier Zwischenwirbelscheiben kleine knopförmige Bandscheibenauswülpungen (hintere Schwarze Knötchen) in den Wirbelkanal hinein (Pfeile!).

Adams bei seinen Reibenuntersuchungen an der Leiche nicht gefunden hatte. Der junge Kranke, der operiert werden mußte, war 12 Jahre alt (*Key Walker*).

Die anatomischen Erscheinungsformen des Bandscheibenvorfalles nach hinten können sehr verschiedenartig sein. Ihre größte Mehrzahl zeigt sich als kleine unter oder neben dem hinteren Längsband liegende Knoten, die sich nach dem Wirbelkanal zu vorbuchen (Abb. 263, 264). Nicht immer liegen sie in der Höhe der Zwischenwirbelscheibe aus der sie stammen, sondern sie können sich etwas nach oben oder unten

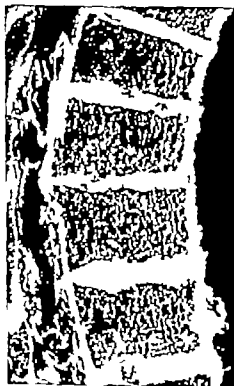




Abb. 263. (Röntgenaufnahme einer horizontal aus der Wirbelsäule heraus gegängten Zwischenwirbelscheibe mit den angrenzenden Wirbelkörpergrund und -deckplatten.) Wellige Verkalkung des Gallertknorpelgebietes mit kleinen Ausknüpfen nach hinten und einem in den Wirbelkanal vorgefallenen, verkalkten „Gallertkernprolaps“ (verkalktes hinteres Schmorl'sches Knötchen).



Abb. 266 (rechts) (Lichtbild einer menschlichen Wirbelsäule von hinten her nach Abtragung der Wirbelbögen.) Kleine, knopfartige Verknöcherung an den hinteren Rändern zweier Wirbelkörper. Es handelt sich um teilweise Verknöcherung eines hinteren Knorpelknötchens. Vor der Maximation waren die beiden kleinen Knochenwülste durch Knorpel miteinander verbunden.



Abb. 267



Abb. 268

Abb. 267 (links) (Röntgenaufnahme der Wirbelsäule eines 64-jährigen Mannes nach Abtragung der Wirbelbögen. Sägittaler Strahlengang.) Elfförmiger Schatten herdförmig in einem Zwischenwirbelscheibenraum und die beiden benachbarten Wirbelkörperanteile projiziert. Es handelt sich um ein verknochertes hinteres Schmorl'sches Knötchen, ähnlich der Abbildung vorher.

Abb. 268 (rechts). (Lichtbild der Sägittalschnittfläche durch eine Brustwirbelsäule.) Kleines hinteres Schmorl'sches Knötchen, da sich an der Zwischenwirbelscheibe bei etwas nach oben zu zwischen Wirbelkörper und hinterem Längsband vorgeschoben hat (Pfeil).

zu zwischen Wirbelkörperrückwand und hinteres Längsband oder etwas seitlich davon (Abb. 264, 268, 269) einschieben. Die kleinen Knoten werden oft knorpelig hart, können verkalken oder verknöchern (Schmorl), wodurch sie im Röntgenbild unmittelbar zur Darstellung kommen (Abb. 266, 267). Diese Formen des Bandscheibenvorfalles nach hinten verursachen im allgemeinen keine auf fallenden klinischen Beschwerden, weil nur kleine Vorwölbungen bestehen. Andre traf bei seinen Reihenuntersuchungen der aus der Leiche ausgelösten Wirbelsäule nur auf solche Befunde. Schmorl betont jedoch bereits 1920 auf Grund seiner weiteren Untersuchungsbefunde nachdrücklich die

Möglichkeit von Rückenmarkschädigungen durch das nach rückwärts verlagerte Bandscheibengewebe. Die Ergebnisse der pathologisch-anatomischen und klinischen Forschungen, die sich seit her entwickelten, haben uns dieses Neuland weiter erschlossen und unsere Kenntnisse über die Formen, Entstehungsursachen und klinischen Erscheinungen des Bandscheibenvorfalles nach hinten" erheblich erweitert.

Die Grundlage des Austrittes von Bandscheibengewebe nach hinten liegt in Veränderungen des Zwischenwirbelscheibengewebes. Nach hinten oder hinten seitlich zu auftretende Spaltbildungen, die das Faserringgewebe bis in den Wirbelkanal hinein durchsetzen sind die Wegbereiter für die Verschiebung von Bandscheibenteilen nach rückwärts (Abb. 270). Die durch die Spalt- und Rißbildungen erzeugte Lockerung im Bandscheibengefüge ermöglicht zunächst im Zusammenhang mit den Bewegungen und Belastungen der Wirbelsäule innere Verlagerungen von Bandscheibengewebsanteilen (Massenverschiebungen) nach rückwärts. Dadurch wölbt sich die vom hinteren Längsband bedeckte Rückwand der Bandscheibe entsprechend den Schwankungen des Bewegungsdruckes in wechselnder Stärke in Richtung auf das Rückenmark oder das seitlich austretenden Nervenstränge vor. Eine Protrusion der Bandscheibe mit buckelförmiger Vorwölbung der Bandscheibenrückwand entsteht (Abb. 271). Im Lendenbereich werden dadurch die beschriebenen Nerven an der Vorderwand des Wirbelkanales (S. 18) in Mitleidenschaft gezogen. Das führt zum Krankheitsbild des Hexenschusses (Lumbago), bei dem sich keine Ausstrahlungen in die segmental austretenden Nervenwurzeln ergeben. Eine solche durch Spaltbildungen und Massenverschiebungen hervorgerufene „innere Zerrüttung“ im Aufbau und in der regelrechten Funktion des Zwischenwirbelscheibengewebes hat gleichzeitig eine „Lockerung im Bewegungsegment“ zur Folge, die als wesentliche zusätzliche Ursache der auftretenden Rücken- und Kreuzschmerzen anzusehen ist (S. 178). Die kleinen Wirbelgelenke und die Wirbelnervenbänder des zugehörigen Bewegungsegmentes erleiden durch die Bandscheibenlockerung eine übermäßige Belastung und der Versuch des Körpers, die Lockerung durch reflektorische Muskelsteifen auszugleichen, ist ebenfalls von Schmerzen begleitet.



Abb. 269. (Abbildung nach Schackelmeier) Großer Vorfall aus der 4. Lendenbandscheibe nach rückwärts-oben zu hinter den 4. Lendenwirbelkörper erhoben. Im Bogenstell große Laminektomiehöhle

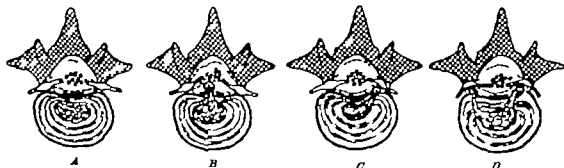
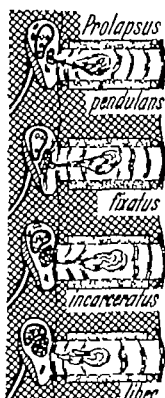


Abb. 270. Schematische Darstellung der verschiedenen Formen des Bandscheibenvorfalles nach hinten. A Regelrechter Verfall. B Vorfall in der Mitte der Bandscheibenrückwand mit Durchbruch durch das hintere Längsband. C Vorfall nach hinten-seitlich zum Zwischenwirbelscheibengewebe hin mit Druck gegen den austretenden Nerven. D Doppelartiger Vorfall nach hinten-seitlich, der zugleich oder auch nacheinander entstehen kann.

Wenn die Rißbildungen das Bandscheibengefüge nach hinten oder hinten-seitlich völlig durchbrechen und damit den gelockerten Gewebsteilen (Bandscheibensequestern) den Weg in den Wirbelkanal oder in das Zwischenwirbelloch hinein öffnen dann erst entsteht ein echter Bandscheibenvorfall oder prolaps (Abb 271 rechte Hälfte). Leichenversuche haben gezeigt, daß ein Bandscheibenvorfall nach rückwärts als pendelnder Vorfall bei gewissen Bewegungen in den Rückenmarkskanal austreten und bei anderen Bewegungen wieder in den Bandscheibenraum zurückrutschen kann (Heiss, Schachtelschneider). Dieses Pendeln des Vorfalles läßt sich gelegentlich



Abb 271 Schematische Zeichnung der verschiedenen Formen des Bandscheibenvorfalles nach hinten. Links Vorwölbung der Bandscheibenrückwand (Protrusio und echter Vorfall, Prolaps) — Rechts Pendelnder Vorfall, fixierter Vorfall, eingeklemmter Vorfall, freier Vorfall (ausgestoßener Bandscheiben-sequester).



bei Operationen durch Lordosierung und Kyphosierung nachweisen. Ein „eingeklemmter Vorfall“ liegt vor wenn durch Einengung der Rißstelle das Zurückrutschen unmöglich wird. Eine Einklemmung kann sich wieder lösen, und durch Wiederholung dieser Zustände sind die rückbildenden Beschwerden erklärt. Wenn die Rückkehr eines Vorfalles in den Bandscheibenraum durch Verwachsungstränge infolge Reizung der Umgebung oder durch Narbenzüge verwehrt ist, dann entsteht der „fixierte Vorfall“. Auch ein „freier Vorfall“ kommt vor der jeden Zusammenhang mit dem Zwischenwirbelscheibenraum verloren hat und im Periduralraum liegt, in dem er nach oben oder unten oder auch ringförmig zwischen Knochenwand und Dura weiter nach hinten zur Rückwand des Wirbelkanals gelangen kann (wandernder Vorfall). In seltenen Fällen durchbricht das vorgefallene Bandscheibengewebe die Dura hängt in den Liquorraum hinein oder

schwimmt frei in der Rückenmarksfüssigkeit („intraduraler Vorfall“). Obwohl zwischen diesen einzelnen, gut trennbaren Formen des Bandscheibenvorfalles (Abb 271) fließende Übergänge bestehen, so entsprechen die verschiedenen anatomischen Zustände doch unterscheidbaren klinischen Formen des Bandscheibenvorfalles nach hinten (vgl. auch Abb 284). Darüber wird in einem besonderen Abschnitt die Rede sein (S 178ff).

Die Ursachen für die Zwischenwirbelscheibenschädigung die Spaltbildungen und schließlich Bandscheibengewebsverlagerung nach rückwärts mit sich bringt liegen — wie wir heute wissen — im wesentlichen auf dem Gebiete der Alters- Degenerations- und Verschleißkrankheiten des Bandscheibengewebes (vgl. Kap IV D 1). Diese Erkenntnisse stammen jedoch erst aus neuerer Zeit. Luschka beschreibt 1858 einen hinteren Recessus des Gallertkernes, den er für den normalen Ausläufer der Gallertkernhöhle und damit für einen physiologischen Wegbereiter eines Bandscheibenvorfalles zu halten scheint. Seine Abbildung entspricht ebenfalls einer solchen Deutung (Abb 261). Schmorl bezeichnete das nach hinten vorgefallene Bandscheibengewebe zunächst als „aktiver Gallertkern“ klärte aber dann in Zusammenarbeit mit Andros die wirkliche Ursache an Hand eingehender feingewebiger Untersuchungen. Dabei fanden sich regelmäßig Zerstörungen des Faserunges durch Degenerationserscheinungen und degenerative Veränderungen im Gallertkerngewebe. Auf Grund dieser Befunde wurde von der Schmorl'schen Schule seinerzeit der Standpunkt eingenommen, daß der Austritt von Bandscheibengewebe infolge der vorliegenden Degenerationserscheinungen allmählich durch die täglichen Belastungen und weniger durch schwere einmalige Gewalt-

diffuse geschieht. Spätere feingewebige Untersuchungen haben ebenfalls immer wieder das Vorrücken der degenerativen Veränderungen im vorgefallenen Bandscheibengewebe und in den troffenen Zwischenwirbelscheiben festgestellt. *Bornke, Loxey, Lindblom, Ricard und Girard, Hacht Schneider, Siegmund u. a.* In der weitaus größten Mehrzahl der Krankheitsfälle sind die fundenen Gewebsveränderungen als Verschleißkrankheiten des Zwischenwirbelscheibengewebes aufzufassen. Ihre Ursache ist die mit dem Alter zunehmende Wasserverarmung im Gallertkern (S. 18) die sich verständlicherweise am stärksten an den bei allen Bewegungen und Belastungen in erhöhtem Maße funktionell beanspruchten Wirbelsäulentellen (Lenden- und Halswirbelsäule) auswirkt. Damit ist also der „Bandscheibenvorfall“ nach hinten als ein Teilgebiet der Chondrose des Zwischenwirbelscheibengewebe aufzufassen, über die wir in einem besonderen Abschnitt berichten (Kap. IV D 1). *Reimers* vertritt auf Grund feingewebiger Untersuchungen die Ansicht, daß der Wasserverarmung im Gallertkerngebiet eine Chondrosis dissecans der Knorpelplatte vorausgeht, durch die umschriebene Störungen der Diffusionsernährung für das Bandscheibengewebe angeleitet werden. Dieser Vorgang soll erst die Sequestrierung von Bandscheibengewebeanteilen und schließlich ihre Austreibung durch die täglichen Belastungen ermöglichen (vgl. auch S. 184). Die Ansicht von *Ewald* über die Mitbeteiligung allergischer Vorgänge ist bisher unbewiesen. Sie wird auch von *Pette* bezweifelt, der im übrigen neben den mechanischen Bedingungen des Bandscheibenvorfalles noch ein dynamisches Moment geltend macht. Nach seiner Ansicht kann das Geschehen einmal durch Stauungsvorgänge innerhalb des Venen-Lymph-Systems der bedrängten Nervenwurzel, sodann durch rheumatische Vorgänge. Bei dieser Auffassung schafft der Bandscheibenvorfall die örtliche Neigung für ein neuritisches Geschehen. Damit nähert sich *Pette* der Ansicht von *Auerst*, die aber in zahlreichen Arbeiten des Schrifttums stark angegriffen wird. Zu beachten ist auch die besondere Häufung von Bandscheibenvorfällen bei der Chondrodystrophie (S. 95). Schrifttum bei *Landemann und Kuhlendahl*. Ebenso bringt die vergleichende Anatomie wesentliche Hinweise (Bandscheibenvorfall beim Dackel, „Dackellähme“) worüber bei *Töndary* nachzulesen ist. Weitere Untersuchungen sind auf dem noch längst nicht endgültig erforschten Gebiete über die Ursachen der Zwischenwirbelscheibenchondrose dringend erforderlich. Die anatomischen Untersuchungen haben im Einklang mit den Erfahrungen bei den Operationen eindeutig gezeigt, daß in dem vorgefallenen Gewebe nicht nur Gallertkernanteile liegen. Der Gewebsvorfall kann Gallertkerngewebe, Faserringteile und Knorpelplattenabschnitte gleichzeitig enthalten. Der vielgebrauchte Ausdruck „Nucleus-pulposus-Prolaps“ ist demnach nicht ausreichend. Wir bezeichnen das Krankheitsbild besser als „Bandscheibenvorfall“ damit in der Namengebung eine Einengung auf eine einzige Gewebart der Zwischenwirbelscheibe vermieden wird.

Die Betrachtung von Flachschnitten durch Zwischenwirbelscheiben zeigt das Vorhandensein von Hauptformen der Spaltbildungen. Einmal finden sich die mehr konzentrisch verlaufenden Spalten und halbmondformigen Zermürbungsfelder des Faserringgefüges die für besondere Krankheitszustände verantwortlich sind (z. B. Alterskyphose, Kap. VI A 3) zum anderen beobachtet man Spalten, die die Schichtungen des Faserringes senkrecht zum Faserverlauf durchsetzen. Solche von der Bandscheibenmitte aus strahlenartig nach hinten oder hinten-seitlich zu laufenden Spalten sind die Wegbereiter für Verlagerungen von Bandscheibengewebeanteilen, wie weiter vorn bereits angedeutet wurde (S. 163). Zwischenwirbelscheiben mit starker „Chondrose“ und Zermürbungen größerer Bandscheibenabschnitte beteiligen sich nur selten am Bandscheibenvorfall nach hinten. Wahrscheinlich gehört der federnde Druck einer gewissen Menge noch unveränderten elastischen Bandscheibengewebes dazu, um kleinere Gewebeteile allmählich nach rückwärts zu verchieben. Dieser Vorgang benötigt bis zum vollendeten Austritt von Bandscheibengewebe nach rückwärts je nach den vorliegenden Umständen eine verschiedene lange Zeit, meist wohl eine Spanne vieler Jahre. Dann erst kann es zu einem der vorn geschilderten verschiedenen Zustandsbilder (S. 166) des Bandscheibenvorfalles mit den entsprechenden klinischen Erscheinungen kommen.

Der erste Beginn der Ribbildungen und Zermürbungserscheinungen liegt nach unseren feingewebigen Untersuchungsbefunden bisweilen schon in einem Alter in dem die physiologischerweise entstehende Austrocknung nicht als alleinige Erklärung des Bandscheibenschadens genügt. Zahlreiche Vorgeschichten klinisch beobachteter Fälle zeigen ebenfalls, daß der Beginn der Beschwerden oft in das Jugendalter vor dem Wachstumsabschluß (also vor dem 25. Lebensjahre)

reicht Auch der häufig gefundene isolierte Schaden einer Zwischenwirbelscheibe deutet auf das Vorliegen besonderer Verhältnisse hin Vielleicht führt die weitere Überprüfung der von Reimers behaupteten Chondrosis dissecans der Knorpelplatten (S 167) auf einen Erklärungsweg Die Chondrosis dissecans, eine im wesentlichen am jugendlichen Gelenkknorpel vorkommende Erkrankung gibt uns allerdings auch an anderen Gelenken noch viele Erklärungsschwierigkeiten bezüglich ihrer Entstehung und ihres Zusammenhangs mit Gewalteinwirkungen oder anlagemäßig bedingten Veränderungen Eine ausschlaggebende Rolle für die Entstehung, das Fortschreiten und den Erscheinungswechsel eines Bandscheibenvorfalles spielt für die unter stärkerer Belastung stehenden Zwischenwirbelscheiben der Lendenwirbelsäule und der Halswirbelsäule sicher die millionenfache Beanspruchung des täglichen Lebens Sie führt — ähnlich einem Ermüdungsbruch des Knochens — zum Gewebermüdungsschaden weil der neue Belastungsanspruch das Bandscheibengewebe bereits wieder trifft, ehe die elastische Nachschwingung abgeklungen ist Es entsteht ein Mißverhältnis zwischen Leistungsvermögen und Beanspruchung Verschiedenen gelagerten Verhältnissen müssen aber noch vorliegen, um in dem einen Falle einen mehr konzentrischen Riß (ohne Neigung von Gewebeerlagerungen) zu erzeugen, und im anderen Falle die Faserringschichten senkrecht zum Faserverlauf strahlenartig zu zerstören Diese Ursachen kennen wir aber noch nicht, und insbesondere ist über die Frage des „Initialtrauma“ das unter Umständen bereits im jugendlichen Alter den ganzen Vorgang einleitet, noch keine Klarheit vorhanden So steht trotz aller bisherigen anatomischen und feingewebigen Untersuchungen und trotz aller eingehenden klinischen Beobachtungen und Operationserfahrungen im Beginn der Veränderungen die zum Bandscheibenvorfall führen, noch ein großes Fragezeichen, das nur durch weitere, und zwar sehr eingehende Beschäftigung mit den pathologisch-anatomischen Grundlagen dieser Veränderungen beseitigt werden kann Auch die Ansicht, daß der Bandscheibenvorfall der Tribut des Menschen an den aufrechten Gang sei, befriedigt nicht in vollem Umfange

Wenn auch zweifellos Wasserverarmung, Verschleißkrankheiten und Gewebermüdung als wesentlichste Ursachen für diejenigen Bandscheibenbeschädigungen anzusehen sind, die als Wegbereiter der Gewebeerlagerungen zu gelten haben, so ist doch immer wieder die Frage über die Bedeutung der Gewalteinwirkung im Schrifttum ausführlich erörtert worden Besonders hat man versucht, durch feingewebige Untersuchungen anlagemäßig bedingte und allmählich erworbene Bandscheibenveränderungen von traumatisch entstandenen Gewebeschäden abzutrennen An der Klärung dieser Frage haben die wissenschaftliche Forschung und die Versicherungs-träger gleicherweise ein bedeutendes Interesse Weder das Untersuchungsgut von Leichenwirbelsäulen noch von operativ entnommenen nach rückwärts ausgetretenem Bandscheibengewebe wird aber diese Frage einwandfrei beantworten können Die Schwierigkeiten liegen darin, daß im allgemeinen erst lange Zeit nach einem Unfallgeschehnis Bandscheibengewebe operativ gewonnen wird oder an Leichenpräparaten zur Untersuchung kommt Selbst wenn durch plotzliche Gewalteinwirkung völlig gesundes Zwischenwirbelscheibengewebe nach rückwärts verlagert wurde, stellt man seinen Mutterboden gelösten Gewebe Veränderungen dagegen ein, die jede Möglichkeit g

einer einwandfreien Beurteilung über die Bedeutung der Gewalteinwirkung zu verwehren.
 Da Kranke, die an Erscheinungen eines Bandscheibenvorfalles leiden (S 18), wieder den Einfluß eines Trauma für Entstehen oder Fortschreiten der Beschwerden nachweisen können. In seltenen Fällen wird ein Trauma zwischen dem Unfallgeschehnis und dem Bandscheibenvorfall festgestellt (J Böckler Jensen, Ager, Volkow u. a.) In diesen Fällen, bei denen unmittelbar nach dem Unfallgeschehnis die Erscheinungen eines Bandscheibenvorfalles durch das Unfallgeschehnis verursacht wurden, ist der Zusammenhang mit einer Gewalteinwirkung die Ursache des Bandscheibenvorfalles eindeutig festzustellen. Die Angaben über die Mittel zum Nachweis des Bandscheibenvorfalles schwanken im Schrifttum v H.

kurzer Zeit in diesem von ein, die jede Möglichkeit g
 verweisen.
 ten leiden (S 18),
 rer Beschwerden
 nenden. In seltenen
 Trauma zwischen
 stig einprägte
 l Teicher J
 auch in all
 ch schwe
 e Fra
 iße
 ta

Dabei ist zu beachten, daß der im Ausland gebräuchliche Traumbegriff in Deutschland nicht ohne weiteres als „Unfall“ in versicherungsrechtlichem Sinne aufgefaßt werden darf. Die Entscheidung in Begutachtungsfragen stellt uns vor ähnliche Probleme wie bei der Beurteilung des Meniskus Schadens am Knie. Nur selten kann die einwandfrei traumatische Entstehung bei echtem Unfall hergang anerkannt werden, bisweilen liegt die Verschlimmerung eines vorbestehenden Leidens durch Gewaltwirkung vor, meist ist aber eine Gelegenheitsursache der täglichen Lebensumstände (Umdrehen im Bett, Bücken nach einem Gegenstand, Niesen, Husten) oder eine arbeitsübliche Handlung (Aufheben einer Last, Drehen an einem Rad, Aufrichten nach längerer Bückstellung) verantwortlich für die Auslösung des Schmerzes und des anschließend beginnenden oder sich verschlimmernden Krankheitsbildes (8 178). Eine große Zahl von Arbeitern widmen sich diesen schwierigen Fragostellungen. *Baumann, Bürkle de la Camp, Friberg, Günther, Heine* (Versuche an Leichen) *Jaeger, Jaeger und Grill, Jungmann, Küstel, Kuhlendahl, M. Lange, Lob, Mock, Peruzzi, Reuschauer, Schacht, Schneider, Stegmann, Stimpf, Tenoff, Uebermuth, Volkmann, Williams, Wilson und Straub* u. v. a. *Keller* stellt in einer kurzen Arbeit die großen Schwierigkeiten zusammen, die sich bei der Beurteilung des Zusammenhanges von Bandscheibenvorfällen mit Einwirkungen des Wehrdienstes, der Kriegsgefangenschaft und des Hungerödems ergeben.

Auftreten eines Bandscheibenvorfalles nach Lumbalpunktion, die zu tief eingestochen wurde und den Zwischenwirbelraum von rückwärts her erreichte, beschreiben *Baker, Reuschauer, Wilson* u. a. Wenn ein solches Ereignis klar nachzuweisen ist, dann stellt es eine einwandfreie traumatische Ursache für den Bandscheibenvorfall dar. Gleichzeitig erlegt uns diese Möglichkeit eine gewisse Zurückhaltung auf für die diagnostische Punktion der Zwischenwirbelscheiben zur Röntgen darstellung, die wir später erwähnen (8 12).

Nach dem heutigen Stande unserer Kenntnisse ist es möglich, bei Untersuchungen von Leichenwirbeln und auch durch klinische und röntgenologische Untersuchungsverfahren, über die wir später berichten (8 171), den Bandscheibenvorfall nach hinten richtig zu erkennen. Früher wurden auf diesem Gebiete aber sicher oft Fehlentscheidungen getroffen. Manche der im klinischen Schrifttum als Enchondrome (*Ponssepp*) Chordome (*Alpers* mit *Grant* und *Yaskin*, *Bacy*, *Ziff* u. a.) Fibrochondrom (*Zeno* und *Carnes*) und mit ähnlichen Namen bezeichneten, an der Wirbelkanalvorderwand entwickelten Geschwülste sind mit Wahrscheinlichkeit als hintere Schmorlsche Knötchen anzusehen.

Die Differentialdiagnose zwischen dem echten Bandscheibenvorfall in seinen verschiedenen Erscheinungsformen und anderen raumfordernden Vorgängen im Wirbelkanal und den Zwischenwirbelböchern ist bei anatomischen Untersuchungen an der Leiche nicht allzu schwierig, aber am Krankenbett oft unmöglich. Viele der früher unter der Diagnose extramedulläre Rückenmarkstumoren behandelten Krankheitsfälle ließen bei der Operation oder Leichenöffnung (*Schacht, Schneider* u. a.) ein hinteres Schmorlsches Knötchen als Ursache der Raumverengung erkennen. Nach den Errechnungen von *Brack* und *Christensen* sind 14 v. H. aller Rückenmarkstumoren und 36 v. H. aller extramedullären Geschwülste des Rückenmarkskanals hintere Schmorlsche Knötchen. Gelegentlich kann ein im Wirbelkanal entwickelter Varietätsknoten einen Bandscheibenvorfall vortäuschen (*Bar* und *Hassinger*, *Bartsch*, *Rockwitz*). Auch echte Rückenmarkstumoren oder die sich in die Zwischenwirbelböcher einwachsenden Bandschlingengeschwülste verschiedener Herkunftsort sind differentialdiagnostisch vom verlagerten Bandscheibengewebe abzutrennen. Eine gewisse Einengung des Wirbelkanals ist durch Hypertrophie der gelben Bänder (*Berguignon* und *Caillon*, *Dickson* mit *Carnegie* und *Twort*, *Hart*, *Ill*, *Loes* u. a.) oder durch vorübergehende Vorwölbung der gelben Bänder bei Lordosierung (*Kuntz*) ebenfalls möglich und muß durch genaue Untersuchung abgegrenzt werden. Jedoch scheint die Bedeutung der sog. „Hypertrophie der gelben Bänder“ in der Zeit etwas überschätzt worden zu sein, als die Operationstechnik zur Auffindung des Bandscheibenvorfalles noch nicht genügend ausgebaut war (Kap. I E).

Bei dem Krankheitsbild des Bandscheibenvorfalles nach hinten spielen nicht selten Knochenrücken an den rückwärtigen Wirbelkörperkanten eine Rolle. Sie kommen seltener vor als Zackenbildungen an den vorderen und seitlichen Wirbelkörperkanten, die im wesentlichen Ausdruck einer Spondyloste deformans sind (Kap. V). Alle Knochenrücken an den Wirbelkörpern beruhen auf Schaden des Zwischenwirbelscheibengewebes. Deshalb ist es gut erklärlich, daß gewisse Bandscheibengewebserkrankungen, die sich in den rückwärtigen Teilen des Zwischenwirbel-



Abb. 272. (Ausschnitt aus der seitlichen Röntgenaufnahme der Lendenwirbelsäule einer 40-jährigen Frau.) Chondrose der 4. Lendenbänder mit Höbenahme des Bandscheibenraumes, Verklebung des Zwischenwirbelloches, Bandsacken an der unteren Kante des 4. Lendenwirbels vor- und besonders auch nach hinten.



Abb. 273. (Ausschnitt aus der seitlichen Röntgenaufnahme des Brust-Lenden-Überganges eines 28-jährigen Mannes.) Weit nach rückwärts entwickeltes Schwarzes Knötchen am Grundplatte des 12. Brustwirbelkörpers mit Höbenverminderung des Zwischenwirbelscheibenraumes und Bandsacke an der hinteren-unteren Kante des Wirbelkörpers. Auch der 11. Brustwirbelkörper zeigt im rückwärtigen Teil der Grundplatte ein großes Schwarzes Knötchen.

raumes abspielen, und ein Vordringen (Protrudo oder Prolaps) von Gewebsteilen nach rückwärts mit sich bringen, auch entsprechende Bandsacken erzeugen. (Tierversuche hierzu stammen von *Kegos* und *Compere*, wie *Solomon* berichtet.) Geringe medial rückwärts gelegene knöcherne Wirbelkantenauswüchse führen kaum zu einer klinisch faßbaren und schmerzzeugenden Beeinträchtigung der Weite des Rückenmarkkanals. Wenn ihre Ausbildung aber mehr seitlich in Richtung auf das Zwischenwirbelloch hin vor sich geht, dann können sie für sich allein oder im Zusammenhang mit verlagertem Bandscheibengewebe Druckreiz auf die austretenden Rückenmarksnerven ausüben und Beschwerden verursachen, die denen des reinen Bandscheibenvorfalles etwa entsprechen (S. 178) wodurch die Anzeige zu besonderen Operationsverfahren (*Jungblaus*) gegeben sein kann. Im Röntgenbild (auch vom Lebenden) sind rückwärtige Wirbelkörperbandsacken manchmal festzustellen (Abb. 272, 273).

An der Halswirbelsäule kommen Bandscheibenvorfälle nur selten vor wie bereits berichtet wurde. Besondere Schwierigkeiten bietet im Halsbereich bei der klinischen Untersuchung und auch bei der Behandlung die Differentialdiagnose zwischen Bandscheibenvorfällen und Einengungen der Zwischenwirbellocher durch knöcherne Bandsacken an den Uncovertebralgelenken (Abb. 274–275) die bereits S. 11 beschrieben sind (vgl. auch Kap. III P und S. 223). Hier liegt noch ein großes Feld für klinische Bestätigungen in Zusammenarbeit mit der pathologischen Anatomie brach (*Duss* und *Kellus*). Angaben des Schrifttums finden sich auf S. 279.

Bei Röntgenuntersuchungen zeichnet sich ein „hinters Schwarzes Knötchen“ (Bandscheibenvorfall nach hinten) nur in seltenen Fällen unmittelbar ab. Das kommt nur vor wenn das vorgefallene Bandscheibengewebe einer Verkalkung oder einer Verknöcherung (*Koalas*) anheimgefallen ist (Abb. 267). Solche Verkalkungen bilden sich erst nach langzeitigem Bestehen des Vorfalles aus. Gelegentlich wird ein bereits verkalkter Gallertkern vollständig oder teilweise nach rückwärts verlagert (Abb. 265).



Abb. 274

Abb. 275

Abb. 274. Die Unkovertebralgelenke der Halswirbelsäule (nach Kropshof und Torgersen). Links: Bandwulstbildung (x) im markierten Präparat. Rechts: Bandwulstbildungen engen das Zwischenwirbelloch ein und verdrängen die Arterie vertebrae (A. v.)

Abb. 275 (Ausschnitt aus der halbseitlichen Röntgenaufnahme der Halswirbelsäule eines 56-jährigen Mannes). Hochgradige Zackenbildung im Unkovertebralgelenk zwischen 5. und 6. Halswirbelkörper mit Einengung des Zwischenwirbelkanals.

An den rückwärtigen Wirbelkörperkanten entwickelte Knochenzacken deuten auf einen Schaden in den rückwärts liegenden Bandscheibenteilen hin. Sie können — wie schon erwähnt — Hinweis auf einen Bandscheibenvorfall nach hinten sein. Weitere mittelbare Röntgenzeichen, die kein Beweis für den Bandscheibenvorfall, wohl aber beim Vorhandensein anderer Merkmale ein zusätzliches Verdachtszeichen darstellen, finden sich bei „funktioneller Röntgenuntersuchung“ (Jungboms a. S. 24, 26 160 183 200) und bei genauer Betrachtung der Höhe und der Umrißlinien des Bandscheibenraumes. Darüber ist an mehreren anderen Stellen berichtet (s. S. 177 183 186).

Infolge der schlechten Übersichtlichkeit durch Überdeckung mit vielen Gewebeschichten und durch Überzeichnung zahlreicher Knochenstrukturen, infolge der Seltenheit einer unmittelbaren Darstellungsmöglichkeit des nach hinten vorgefallenen Bandscheibengewebes und wegen Unsicherheit der mittelbaren Röntgenzeichen wurde für die klinische Röntgendiagnostik nach einwandfreien Möglichkeiten zur Sichtbarmachung des Bandscheibenvorfalles gesucht. Verfahren der intraduralen Myelographie und der Peridurographie mit verschiedenen schattengebenden Mitteln oder mit Luft wetteifern miteinander (Abb. 276) Albrecht und Dreßler Bagg und Falconer Bohl mit Kiernan und Childs, Bradford und Spurling Brocher Brown Buchholz und Häusler Böcker Cramer Ecklin, Friberg und Hult Gillespie Glorians Häusler Hampton und Robinson Hellmer Hofmann Jungboms Kehrner Kvistson Mixer und Ayer Murphy Reinhardt und Panzer Ritter Söder Schoen Soule mit Groß und Irving Tiersma u. v. a. Derartige Röntgenuntersuchungen geben aber immer nur ein Negativbild des Bandscheibenvorfalles und sind bei stark seitlich liegenden Vorfällen unsicher. Zur Verbesserung der Darstellung empfiehlt Kloss die „funktionelle Myelographie“. In den Versuchen von Friberg stellten sich Vorfalldknoten bis zu einer Größe von



Abb. 276. (Seitliches Röntgenbild der Lendenwirbelsäule eines 30-jährigen Mannes mit Füllung des Lumbalsackes durch schattengebende Flüssigkeit.) Die schattengebende Flüssigkeit zeigt Ausweichen nach rückwärts in Höhe der 4. Lendenbandscheibe durch einen hier liegenden, operativ bestätigten Bandscheibenvorfall.

8×8×8 mm im Myelogramm nicht dar. Es lag deshalb nahe, auch am Lebenden die unmittelbare Darstellung des Vorfalles durch Einspritzung von schattengebender Flüssigkeit in die Gallertkernhöhle zu erzeugen, um damit die von ihr ausgehenden und zum Bandscheibenvorfall hin führenden Spalten zu füllen (Nucleographie Discographie). Man konnte so Bilder erwarten, wie sie erst mals bei den Reihenuntersuchungen am Schwabacher Institut an Leichenwirbelsäulen gewonnen wurden (*Jungblut*). Solche Bilder geben die krankhaften Spaltbildungen im Bandscheibengewebe und auch deren Zusammenhang mit dem Periduralraum deutlich wieder (vgl. Abb. 280–292). Das Einstechen einer Nadel beim Lebenden in einen Zwischenwirbelsaum ist aber nicht ganz undenklich, weil sich unter Umständen im Stiehkanal ein Bandscheibenvorfall entwickeln kann (S. 169). Es besteht auch die Möglichkeit, daß der Einspritzungsdruck bei einem erst in Vorbereitung befindlichen Bandscheibenvorfall die Gewebeverlagerung nach hinten hervorruft oder einen augenblicklich ruhenden und zurückgeschlopfen Vorfall wieder herauspreßt. Immerhin sind die zuerst von *Landholm* durchgeführten und später von *Fischer* erweiterten Versuche einer genauen Prüfung und Abwägung wert (*Assing Bombelli Buffard und Ecoiffier Chouard und Hensid, Erlecker Grassberger und Seyss de Haene Percy Perl Roman und Yden, Sarrachanka und Cherobjan Seyss Sieber Walk Witt u. a.*)

Die differentialdiagnostischen Schwierigkeiten, die mit dem Bandscheibenvorfall nach hinten zusammenhängen, sind mit der Erwähnung anderer raumfordernder Einlagerungen im Wirbelkanal und Zwischenwirbelloch (S. 145) nicht erschöpft. Raumneigungen des Zwischenwirbelloches können eine wesentliche Ursache oder wenigstens begleitende oder die Auswirkungen eines Bandscheibenvorfalles verschlimmernde Ursache für eine mechanische Reizung der betreffenden segmentalen Rückenmarkswurzeln sein. Neben anderen Bearbeitern haben besonders *Danz* und *Kalkus* in mehreren Arbeiten unter Betzlehung entsprechender pathologisch-anatomischer und neurologischer Untersuchungen auf diese Möglichkeiten hingewiesen. Die hervorragende Bedeutung, die diese beiden Verfasser den eingeengten Umrandungen des Zwischenwirbelloches zusprechen, blieb jedoch nicht ohne Widerspruch (*Jungblut Reischauer u. a.*). Für die klinische Bedeutung des Bandscheibenvorfalles und aller damit zusammenhängenden Fragen, über die wir noch sprechen, darf man weder den Bandscheibenvorfall noch die Einengung der Zwischenwirbellocher oder die Knochenzackenbildungen an den rückwärtigen Wirbelkörperkanten und den Unco-vertebral-Gelenken im Halsbereich für sich allein betrachten. Alle diese Gebilde sind Glieder des jeweiligen „Bewegungswegmentes“ (Kap. I J Abb. 41) und aufeinander so fein abgestimmt, daß jede Störung eines Einzelteiles die anderen in Mitleidenschaft zieht. Sehr häufig ist deshalb ein Zusammenkommen eines geringen Grades von Bandscheibenvorfall (Protrusio) mit verminderter Zwischenwirbellochgröße und einer zusätzlichen Lockerung im Bewegungswegment die Grundlage der klinischen Schmerzauslösung (S. 18). Nach *Frykholm* können ähnliche Schmerzerscheinungen wie beim Bandscheibenvorfall an der Halswirbelsäule eintreten, wenn durch Deformierung der Duraaschen oder Einengung der Duraaschen die austretenden Rückenmarkswurzeln beeinträchtigt werden. *Finnick* beschreibt Nerven druck beim Zusammenwirken von „Sakralisation“ mit Einengung des Zwischenwirbelloches und Bandscheibenvorfall, worüber auch *Gillespie* berichtet.

Nicht an jeder Zwischenwirbelscheibe, an der sich die von besprochenen Voraussetzungen für die Bildung einer Gewebeverchiebung nach hinten entwickelt haben, entsteht das typische Bild des vollendeten Bandscheibenvorfalles. Aus den verschiedensten Gründen kann der in Entwicklung begriffene Vorgang der inneren Gewebeverchiebung zur Ruhe kommen, noch ehe das gelockerte Bandscheibengewebe den Weg bis in den Periduralraum gefunden hat. Das tritt ein, wenn durch Einwuchern von Bindegewebe (nach Blutgefäßeinprossung vom angrenzenden Wirbelkörper oder auch vom hinteren Längsband her) das gelockerte oder das allseitig gelöste Bandscheibenstück (Bandscheibensequester) in seiner augenblicklichen Lage wieder fixiert wird. Die weitere Verchiebung des Bandscheibengewebes vermag auch dann zu enden, wenn der Gallertkern seine zum weiteren Nachdrücken erforderliche Elastizität verliert oder wenn der betreffende Wirbelsäulensegment durch schmerzbedingte Ruhighaltung oder ärztlich veranlaßte Ruhigstellung so lange ohne entsprechende Belastung bleibt, daß eine fibrose Ausheilung des Risses, unter Umständen auch eine bindegewebige Fixierung des gelockerten Bandscheibengewebes entsteht. Wir sprechen dann von einer „Anheilung des Bandscheibenvorfalles“. Eine solche Anheilung muß nicht immer

geschehen, solange das gelockerte Gewebe noch im Bandscheibenraum liegt sondern auch nach Eindringen des Bandscheibengewebes in den Periduralraum kann dieser Vorgang in jeder Stufe (pendelnder Vorfall fixierter Vorfall usw.) festgehalten und wiederum durch Einwuchern von Bindegewebe durch Verkalkung und Verknöcherung durch Überdeckung mit straffen, narbigen Bindegewebezügen usw. in eine anatomische Heilung des Vorfallvorganges ausmünden. Eine solche funktionelle Beruhigung des fortschreitenden Vorfalles kommt ebenfalls dann zustande wenn nach Abstoßung des vorgefallenen Gewebes durch fibrösen Verschuß der Spaltbildung kein weiterer elastischer Belastungsdruck mehr vom Inneren des Bandscheibenraumes aus auf den vollendeten Vorfall ausgeübt wird. Diese funktionell gesicherte Beruhigung der Gewebverschiebungsvorgänge also der im Erscheinungsbild eingetretene Ruhezustand, bedeutet aber keineswegs Ausheilung von Beschwerden. Die Beschwerden eines an solchen Zustandsbildern leidenden Menschen hängen von der dabei aufgetretenen Versteifung oder von den unter Umständen zurückgebliebenen unrichtigen Bewegungsmöglichkeiten

des betroffenen Bewegungssegmentes ab und sie werden außerdem bestimmt von der Größe und dem Sitz des aus dem Bandscheibenraum ausgetretenen Gewebsteiles. Ungeklärt ist noch die Frage ob ein ausgetretenes Bandscheibenstück durch Wucherungsvorgänge aus sich selbst vergrößert wird. Ebenfalls fehlt noch feingewebige Untersuchungen über die Möglichkeit von druckbedingten Reizwucherungen in der Umgebung des Vorfallegewebes. Beim Vor-

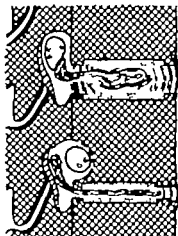
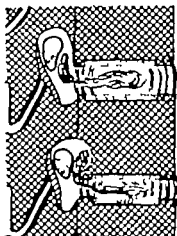


Abb. 277 „Selbstheilung“ der Wurzelreizung. Links: Vorfall weicht aus (Burns und Young 1947). Rechts: Wurzel weicht aus (Dunn und Kalkes 1948).

liegen der beiden zuletzt genannten Möglichkeiten würde also auch nach Stilllegung des von der Bandscheibe aus wirkenden dynamischen Druckes eine weitere Vergrößerung des Vorfallegewebes und damit bei entsprechendem Sitz des Vorfalles eine langsam zunehmende Verstärkung der Krankheitserscheinungen eintreten. Die bereits erwähnten Knochenzacken an den rückwärtigen Wirbelkörperkanten (S. 160) können vorgefallenes Bandscheibengewebe von oben und unten her schnabelartig so umgreifen, daß sie einen Wall gegen das weitere Vorrücken bilden, womit eine Ausheilung des Vorfalles erreicht wird.

Der für das typische klinische Krankheitsbild des Bandscheibenvorfalles (besonders bei seitlichem Sitz) kennzeichnende Ausstrahlungsschmerz der beteiligten Rückenmarkswurzeln — auf den wir später eingehen (S. 170) — kann durch besonders gelegerte Vorgänge zur Ausheilung kommen. Trotz Weiterbestehens und weiterer Vergrößerung des Gewebsvorfalles (also ohne Ausheilung des Bandscheibenvorfalles) verschwindet in manchen Fällen der Nervenschmerz, wenn infolge des Dauerdruckes der Nerv völlig zugrunde geht. Auf dieser Tatsache beruhen die Erfahrungen Friberg, Albrechts u. a., daß trotz ordnungsgemäßer operativer Entfernung des Vorfalknotens bei einer verhältnismäßig großen Zahl von Kranken die präoperativen Nervenstörungen nicht zurückgehen. Über die verschiedenen Formen der druckbedingten Nervenstörungen bei Bandscheibenvorfällen liegen feingewebige Untersuchungen von Dunn, Lindblom und Rexed. Durch den Druck des Vorfallegewebes wird nach Spring die Liquorzirkulation behindert, und dadurch ergeben sich Stoffwechselstörungen in der Nervenwurzel.

Neben der geschilderten Druckschädigung der austretenden Rückenmarkswurzeln, die zwar Schmerzbefreiung bringt aber gleichzeitig die motorischen Nervenfunktionen ernstlich gefährdet oder völlig vernichtet, gibt es noch eine „Selbstheilung des Wurzelschmerzes“ Burns

8×8×8 mm im Myelogramm nicht dar. Es lag deshalb nahe, auch am Lebenden die unmittelbare Darstellung des Vorfalls durch Einspritzung von schattengebender Flüssigkeit in die Gallertkernhöhle zu erzeugen, um damit die von ihr ausgehenden und zum Bandscheibenvorfall hinführenden Spalten zu füllen (Nucleographie Discographie). Man konnte so Bilder erwarten, wie sie erst mehrmals bei den Reihenuntersuchungen am Schmorl'schen Institut an Leichenwirbelsäulen gewonnen wurden (*Jungklaus*). Solche Bilder geben die krankhaften Spaltbildungen im Bandscheibengewebe und auch deren Zusammenhang mit dem Periduralraum deutlich wieder (vgl. Abb. 288–29*). Das Einstechen einer Nadel beim Lebenden in einen Zwischenwirbelraum ist aber nicht ganz unbedenklich, weil sich unter Umständen im Stichkanal ein Bandscheibenvorfall entwickeln kann (S. 180). Es besteht auch die Möglichkeit, daß der Einspritzungsdruck bei einem erst in Vorbereitung befindlichen Bandscheibenvorfall das Gewebeverlagerung nach hinten hervorruft, oder einen augenblicklich ruhenden und zurückgeschlüpften Vorfall wieder herauspreßt. Immerhin sind die zuerst von *Landblom* durchgeführten und später von *Fischer* erweiterten Versuche einer genauen Prüfung und Abwägung wert (*Aasen, Bombell, Buffard und Ecoffier, Cloward und Brand, Erlicker, Grassberger und Seyas, de Haene, Perry, Perl, Roman und Yden, Sarnecka und Chrobjany, Seyas, Steber, Walk, Witt u. a.*)

Die differentialdiagnostischen Schwierigkeiten, die mit dem Bandscheibenvorfall nach hinten zusammenhängen, und mit der Erwähnung anderer raumfordernder Einlagerungen im Wirbelkanal und Zwischenwirbelloch (S. 145) nicht erschöpft. Raumeinengungen des Zwischenwirbelloches können eine wesentliche Ursache oder wenigstens begleitende oder die Auswirkungen eines Bandscheibenvorfalles verschlimmernde Ursache für eine mechanische Reizung der betreffenden segmentalen Rückenmarkswurzeln sein. Neben anderen Bearbeitern haben besonders *Dumas* und *Kellm* in mehreren Arbeiten unter Beiziehung entsprechender pathologisch-anatomischer und neurologischer Untersuchungen auf diese Möglichkeiten hingewiesen. Die hervorragende Bedeutung, die diese beiden Verfasser den eingengten Umrandungen des Zwischenwirbelloches zusprechen, blieb jedoch nicht ohne Widerspruch (*Jungklaus, Reischauer u. a.*). Für die klinische Bedeutung des Bandscheibenvorfalles und aller damit zusammenhängenden Fragen, über die wir noch sprechen, darf man weder den Bandscheibenvorfall noch die Einengung der Zwischenwirbellocher oder die Knochenmarksbildungen an den rückwärtigen Wirbelkörperkanten und den Unco-vertebrai Gelenken im Halsbereich für sich allein betrachten. Alle diese Gebilde sind Glieder des jeweiligen „Bewegungsegmentes“ (Kap. I J Abb. 41) und aufeinander so fein abgestimmt, daß jede Störung eines Einzelteiles die anderen in Mitleidenschaft zieht. Sehr häufig ist deshalb ein Zusammenkommen eines geringen Grades von Bandscheibenvorfall (Protrusio) mit vermindelter Zwischenwirbellochgröße und einer zusätzlichen Lockerung im Bewegungsegment die Grundlage der klinischen Schmerzauslösung (S. 178). Nach *Frykholm* können ähnliche Schmerzereignisse wie beim Bandscheibenvorfall an der Halswirbelsäule eintreten, wenn durch Deformierung der Dura Taschen oder Einengung der Dura scheiden die austretenden Rückenmarkswurzeln beeinträchtigt werden. *Frykholm* beschreibt Nerven druck beim Zusammenwirken von „Sakralisation“ mit Einengung des Zwischenwirbelloches und Bandscheibenvorfall, worüber auch *Gillaspie* berichtet.

Nicht an jeder Zwischenwirbelscheibe, an der sich die vom besprochenen Voraussetzungen für die Bildung einer Gewebeschlebung nach hinten entwickelt haben, entsteht das typische Bild des vollendeten Bandscheibenvorfalles. Aus den verschiedensten Gründen kann der in Entwicklung begriffene Vorgang der inneren Gewebeschlebung zur Ruhe kommen, noch ehe das gelockerte Bandscheibengewebe den Weg bis in den Periduralraum gefunden hat. Das tritt ein, wenn durch Einwuchern von Bindegewebe (nach Blutgefäßleakage vom angrenzenden Wirbelkörper oder auch vom hinteren Längsband her) das gelockerte oder das allseitig gelöste Bandscheibenstück (Bandscheibensequenst) in seiner augenblicklichen Lage wieder fixiert wird. Die weitere Verschlebung des Bandscheibengewebes vermag auch dann zu enden, wenn der Gallertkern seine zum weiteren Nachdrücken erforderliche Elastizität verliert oder wenn der betreffende Wirbelsäulenabschnitt durch schmerzbedingte Ruhighaltung oder ärztlich veranlaßte Ruhigstellung so lange ohne entsprechende Belastung bleibt, daß eine fibröse Ausheilung des Risses, unter Umständen auch eine bindegewebige Fixierung des gelockerten Bandscheibengewebes entsteht. Wir sprechen dann von einer „Ausheilung des Bandscheibenvorfalles“. Eine solche Ausheilung muß nicht immer

geschehen solange das gelockerte Gewebe noch im Bandscheibenraum liegt, sondern auch nach Eindringen des Bandscheibengewebes in den Periduralraum kann dieser Vorgang in jeder Stufe (pendelnder Vorfall, fixierter Vorfall usw.) festgehalten und wiederum durch Einwuchern von Bindegewebe durch Verkalkung und Verknöcherung, durch Überdeckung mit straffen narbigen Bindegewebszügen usw. in eine anatomische Heilung des „Vorfallvorganges“ ausmünden. Eine solche „funktionelle Beruhigung“ des fortschreitenden Vorfalles kommt ebenfalls dann zustande wenn nach Abstoßung des vorgefallenen Gewebes durch fibrosen Verschuß der Spaltbildung kein weiterer elastischer Belastungsdruck mehr vom Inneren des Bandscheibenraumes aus auf den vollendeten Vorfall ausgeübt wird. Dieser funktionell geschehene Beruhigung der Gewebeversehrungsvorgänge, also der im Erscheinungsbild eingetretene Ruhezustand, bedeutet aber keineswegs Ausheilung von Beschwerden. Die Beschwerden eines an solchen Zustandsbildern leidenden Menschen hängen von der dabei aufgetretenen Versteifung oder von den unter Umständen zurückgebliebenen unrichtigen Bewegungsmöglichkeiten des betroffenen Bewegungssegmentes ab und sie werden außerdem bestimmt von der Größe und dem Sitz des aus dem Bandscheibenraum ausgetretenen Gewebeteiles. Ungeklärt ist noch die Frage ob ein ausgetretenes Bandscheibengewebe durch Wuchervorgänge aus sich selbst vergrößert wird. Ebenfalls fehlen noch feingewebige Untersuchungsbefunde über die Möglichkeit von druckbedingten Restwucherungen in der Umgebung des Vorfallegewebes. Beim Vor-

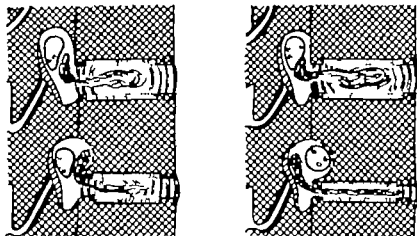


Abb 377 „Selbstheilung“ der Wurzelreizung. Links: Vorfall weicht aus (Burns und Percy 1947) Rechts: Wurzel weicht aus (Düss und Kahles 1948)

liegen der beiden zuletzt genannten Möglichkeiten würde also auch nach Stilllegung des von der Bandscheibe aus wirkenden dynamischen Druckes eine weitere Vergrößerung des Vorfallegewebes und damit bei entsprechendem Sitz des Vorfalles eine langsam zunehmende Verstärkung der Krankheitserscheinungen eintreten. Die bereits erwähnten Knochensacken an den rückwärtigen Wirbelkörperkanten (S. 169) können vorgefallenes Bandscheibengewebe von oben und unten her schnabelartig so umgreifen, daß sie einen Wall gegen das weitere Vorrücken bilden, womit eine Ausheilung des Vorfallegewebes erreicht wird.

Der für das typische klinische Krankheitsbild des Bandscheibenvorfalles (besonders bei seitlichem Sitz) kennzeichnende Ausstrahlungsschmerz der beteiligten Rückenmarkswurzeln — auf den wir später eingehen (S. 19) — kann durch besonders gelagerte Vorgänge zur Ausheilung kommen. Trotz Weiterbestehens und weiterer Vergrößerung des Gewebsvorfalles (also ohne Ausheilung des Bandscheibenvorfalles) verschwindet in manchen Fällen der Nervenschmerz, wenn infolge des Dauerdruckes der Nerv völlig zugrunde geht. Auf dieser Tatsache beruhen die Erfahrungen *Fribergs*, *Albrechts* u. a., daß trotz ordnungsgemäßer operativer Entfernung des Vorfalldiskus bei einer verhältnismäßig großen Zahl von Kranken die präoperativen Nervenstörungen nicht zurückgehen. Über die verschiedenen Formen der druckbedingten Nervenstörungen bei Bandscheibenvorfall liegen feingewebige Untersuchungen vor *Düss*, *Landblom* und *Rassd*. Durch den Druck des Vorfallegewebes wird nach *Spring* die Liquorzirkulation behindert und dadurch ergeben sich Stoffwechselstörungen in der Nervenwurzel.

Neben der geschilderten Druckschädigung der austretenden Rückenmarkswurzeln, die zwar Schmerzbefreiung bringt, aber gleichzeitig die motorischen Nervenfunktionen ernstlich gefährdet oder völlig vernichtet, gibt es noch eine „Selbstheilung des Wurzelschmerzes“ *Burns*

und *Yonag* haben das Ausweichen des Vorfalles beobachtet, der bei einer gewissen Lage und Druckrichtung sich allmählich ein Bett in die Rückfläche des Wirbelkörpers gräbt und dadurch den Nerven von seiner Druckbelastung wieder befreit (Abb. 277). *Dumas* und *Kaklas* zeigen, wie der Nerv dem Dauerdruck des Vorfallegewebes in eine Grube hinein ausweicht, die sich als Vergrößerung des Zwischenwirbelloches nach vorn zu in der Wirbelkörperrückwand bildet (Abb. 277). Durch diese

Wanderung des Zwischenwirbelloches kann sich die Rückenmarkswurzel sowohl dem Druck von vordringendem Bandscheibengewebe als auch der Berührung mit wachsenden Randzacken der kleinen Gelenke und Knochenzackenbildungen der rückwärtigen Wirbelkörperkanten entziehen. Zweifel über die Deutung dieser Befunde werden von *Reischauer* geäußert.

Wahrscheinlich können die durch einen Bandscheibenvorfall hervorgerufenen Nervendruckerscheinungen in manchen Fällen auch durch „Verkleinerung des Vorfallduktens“ allmählich zurückgehen und vielleicht auch ganz verschwinden. Eine Abnahme der Größe des vorgefallenen Bandscheibenmoqueters durch Schrumpfung- und Austrocknungsvorgänge des von seinem Mutterboden getrennten Gewebestückes ist möglich. Wie *Landblom* und *Hultquist* annehmen, kann das Vorfallegewebe durch Blutgefäß- und Bindegewebeinwucherungen „aufgefressen“ werden. Diese Ansicht stützen sie auf eigene feingewebige Untersuchungen in Anlehnung an die früheren Beschreibungen von *Schmorl* und *Jungklaus* über die Einwucherung von Bindegewebe und Blutgefäßen in die Zwischenwirbelscheiben (S. 183) und spätere Untersuchungsbefunde von *Coventry* mit *Shornley* und *Kernohan* sowie *Eckert* und *Decker*.

Eine Anpassung des Vorfallduktens an die Umgebung ist ebenfalls in der Lage, bestehende Druckerscheinungen auf die Nerven allmählich zum Verschwinden zu bringen und so eine „Heilung der Vorfalldruckerkrankheit“ bzw. eine „Heilung der Wurzelreizung“ zu erzeugen. Das wird aber nur bei solchen Vorfallesequenzen möglich sein, die im wesentlichen aus Gallertkerngewebe bestehen. Von diesen kann man annehmen, daß sie sich allmählich von der Wurzel „an die Wand drücken lassen“, flacher werden und an der Umgebung festhaften, so daß sie auch bei Körperbewegungen keine Verschiebung mehr erleiden und daher kein Wurzelndruck mehr eintritt.

Über die Form der klinisch faßbaren Beschwerden beim Bandscheibenvorfall nach hinten, ihre Diagnose und ihre Behandlungsmöglichkeit wird in einem besonderen Abschnitt berichtet (S. 178).

3. Verlagerungen von Zwischenwirbelscheibengewebe nach vorn und seitlich

„Abtrennungen von Wirbelkörperkanten“

Austritte von Zwischenwirbelscheibengewebe nach vorn und nach seitlich wurden früher für eine große Seltenheit gehalten. Erst die letzten Veröffentlichungen *Schmorls* deckten die Häufigkeit solcher Vorgänge auf (*Hammerbeck*). Das Zwischenwirbelscheibengewebe kann durch Aufspaltung des vorderen Längsbandes in dieses eindringen, es kann sich auch nach oben oder unten zu zwischen vorderem Längsband und Wirbelkörperaußenfläche einschleiben. Diese Formen der Zwischenwirbelscheibenverlagerung haben wenig praktische Bedeutung. Von *Bourdillon* wird ein einzelner Fall berichtet, bei dem ein Stück ausgepreßtes Zwischenwirbelscheibengewebe seitlich in der Halsmuskulatur lag. Nach *Martens* können exzentrisch gelegene Bandscheibenprolapsen Ursache von Skoliozen sein. *Kemmler* beschreibt einen traumatisch entstandenen vorderen Bandscheibenprolaps der Halswirbelsäule. *Croward* stellte vordere „Bandscheibenhernien“ durch Nucleographie (S. 173) dar und glaubt, daß solche Kranke an tiefen Rückenschmerzen ohne Ischialgie-Symptomen leiden. Er hält auch das Übersehen von solchen vorn liegenden Bandscheibenprolapsen für einen der Hauptgründe schlechter Ergebnisse nach Bandscheibenoperationen (vgl. auch *Seyr*).

Großere praktische Bedeutung haben aber Verlagerungen von Zwischenwirbelscheibengewebe, die unter gleichzeitiger Abtrennung schmaler Knochenstücke aus den Wirbelkörperkanten schräg nach außen zu verlaufen (vgl. S. 113). *Schmorl* hat diese Form der Zwischenwirbelscheibenverlagerung in seiner letzten, nach seinem Tode veröffentlichten Arbeit ausführlich geschildert (Abb. 260–273). Eine Arbeit von *Vodner* aus dem *Schmorl'schen* Institut beschäftigt sich eingehend

Abb. 278. (Mikrophotogramm eines Sagittalschnittes durch eine vordere obere Wirbelsäule.) Durch vorgefallenes Bandscheibengewebe abgetrenntes, kafförmiges Spongiosastück. Das Zwischenwirbelscheibengewebe ist durch einen an dem ventralen Ende der Knorpelplatte liegenden Riß in die Spongiosa eingedrungen.



mit diesen Verhältnissen, wobei die für Kantenabtrennungen notwendigen Kräftwirkungen untersucht und bildlich dargestellt werden.

An der Grenze zwischen innerem Rand der knöchernen Wirbelkörperendleiste und Knorpelplatte also dort wo sich beim mazierten Wirbelkörper die knöcherne Randleiste treppenförmig von der durchlöchernten knöchernen Endplatte des Wirbels erhebt kann auf Grund von Degenerationerscheinungen unter der Belastung des täglichen Lebens ebenso wie an den Gefäßnarben in der Knorpelplatte Zwischenwirbelscheibengewebe in das Knochenbälkchenwerk des Wirbelkörpers eindringen. Infolge der Eigenart der mechanischen Verhältnisse (Schmorl) sucht sich das hier vordringende Zwischenwirbelscheibengewebe eine schräg nach der Wirbelkörperaußenfläche verlaufende Richtung (Abb. 278-280). Es entsteht eine Spaltbildung, die ein Kantenstück

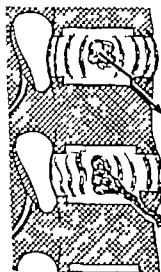


Abb. 278 (links) Schematische Zeichnung der Entstehung einer Wirbelkörperkantenabtrennung. Das Zwischenwirbelscheibengewebe dringt von der Grenze zwischen Knorpelplatte und rückwärtiger Begrenzung der Wirbelkörperendleiste schräg in den Wirbelkörper ein und drückt ein Kantenstück ab.

Abb. 280 (rechts) (Schwach vergrößertes Bild einer Sagittalschnittfläche durch eine Zwischenwirbelscheibe.) In einem Riß zwischen Knorpelplatte und Randleiste ist Zwischenwirbelscheibengewebe vorgedrungen und hat sich in der Richtung nach vorn unten weiter vorgeschoben und ein kafförmiges Stück Spongiosa abgetrennt. Zahlreiche Knorpelverwachsungen in der Umgebung an der Rißstelle. Abriß des Faserringes von der Randleiste.

vom Wirbelkörper abtrennt. In dem Spalt liegt Zwischenwirbelscheibengewebe und an den Rändern können sich Knorpelwucherungsvorgänge (ähnlich wie bei den Knorpelknötchen) oder auch Kallusbildungen einstellen (Abb. 280). *Aschauer* hat die Größe solcher „abgetrennter Wirbelkörperkanten“ gemessen und festgestellt, daß sie höher sind als die regelrechten Randleisten. Meist kommen solche Kantensabtronnungen an den vorderen Teilen der Wirbelkörperoberkanten in der Lendenwirbelsäule und am Kreuzbein vor. Nur selten wurden sie an unteren (kaudalen) Wirbelkörper-



Abb. 281 (Fertilebe Röntgenaufnahme einer Hals- der in der Sagittalebene durchgezogenen Wirbelsäule einer 22-jährigen Frau) Abtrennung der vorderen oberen Kante des 5. Lendenwirbels. Das dreieckige, abgeloste Stück ist durch einen glattrandigen, nach oben zu trichterförmig erweiterten Spalt vom Wirbelkörper getrennt. In dem Spalt befindet sich Bandscheibengewebe.

kanten beobachtet (*Böhm, Viedner, Schmorl* vgl. Abb. 417). *Schmorl* hat gleichartige Kantensabtronnungen auch an den seitlichen Teilen der Wirbelkörperkanten beschrieben. Oft finden sich Kantensabtronnungen an mehreren übereinanderliegenden Lendenwirbeln. *Schmorl* zählte bei 400 Wirbelsäulen 20 Wirbelkantensabtronnungen. Meist haben die Zwischenwirbelscheiben in solchen Fällen Spaltbildungen (*Hammerbeck*) die sich vom Gallertkerengebiet schräg verlaufend, in den Abtrennungsspalt hinein fortsetzen (Abb. 282). *Schajowicz* beschreibt an dieser Stelle einen basophilen Degenerationstreifen.

Das in den schrägen Spalt eingedrungene Fasergewebe der Bandscheibe macht allmählich verschiedene Umbildungsvorgänge durch. Es wird infolge der abnormen Beweglichkeit des abgetrennten Kantensstückes zerrieben, und an den Spaltändern können sich knorpelige Platten ausbilden, so daß eine „Pseudarthrose“ entsteht (*Schmorl*). Die Kantensabtronnungen lassen sich im Röntgenbild gut darstellen (Abb. 281, 283). Im klinisch-röntgenologischen Schrifttum wurden früher derartige dreieckige Knochenschatten an den Wirbelkörpervorderkanten als „persistierende Wirbelkörperepiphysen“ bezeichnet (*Hanson, Janke, Jolles, Meyer und Rodier, Michailow und Tscherepains, Sorrel u. a.*) wegen *Junghans* nach vergleichenden Untersuchungen an Röntgenbildern von Leichenwirbelsäulen Stellung nahm. *Viedner* beschäftigte sich später nochmals mit dem einschlägigen Schrifttum (*Böhmig und Prerad, Janke, Jolles, Reisser u. a.*) und kommt auf Grund mikroskopischer Untersuchungen, genauer Vergleiche der klinisch mitgeteilten Befunde (Größenmessungen, typische Lage usw.) im Einklang mit *Schmorl* und *Junghans* zu einer Ablehnung des Krankheitsbildes der sog. „persistierenden

Wirbelkörperepiphysen“. Auch *Hellstadius, Hertz, Leonarduzzi, Marderberg, Raspe, Salazar* mit *Llandrich* und *Peres, Schulze u. a.* unterstützen den Standpunkt der *Schmorl'schen* Schule. Wahrscheinlich verursacht die Kantensabtrennung selbst keine besonderen Beschwerden. Solche können aber durch die gleichzeitig vorhandenen Störungen im Gefüge der Zwischenwirbelscheiben bedingt sein (Haltlosigkeit infolge Lockerung des Bewegungsegmentes). Zusammenstellung des Schrifttums bei *Leyer*.

4. Die klinische Bedeutung der Veränderungen vom Zwischenwirbelscheibengewebe

Wenn Gewebsteile den Bandscheibenraum verlassen, so bleibt das nicht ohne Bedeutung für die funktionellen Leistungen der Zwischenwirbelscheiben, und es entstehen auch Rückwirkungen auf die anderen Glieder des betroffenen Bewegungsegmentes. Ein größerer Gewebsausritt führt im allgemeinen zu einer Abnahme der Zwischenwirbelsäulenhöhe (Kap. IV B 3) die unter Umständen röntgenologisch sichtbar wird. Es kann aber vorkommen, daß die Zwischenwirbelscheiben durch Aufquellung (ähnlich wie bei der Vorwölbung in osteoporotische Wirbelkörper-

S. 151) ihre normale Höhe zu behalten suchen. Das gelingt nur dann, wenn sich im Bandscheibengewebe keine weiteren Degenerations- und Zermürbungserscheinungen einstellen. In seltenen Fällen und nur bei kleineren Gewebeanstritten hält sich der Rauminhalt zwischen den beiden übereinander liegenden Wirbelkörpern in normaler Größe, wenn einwucherndes Füllgewebe den Gewebsverlust ausgleicht. Dies ist jedoch selten, weil einwucherndes Füllgewebe meist zur Schrumpfung neigt. Für die größte Mehrzahl der Fälle gilt also die Regel, daß der Gewebsanstritt eine Verminderung der Zwischenwirbelscheibenhöhe bedingt, die unter Umständen auch im klinischen Röntgenbild nachweisbar ist.



Abb. 282 (links) (Lichtbild der Sagittalschnittfläche durch die Lendenkreuzbeugegend einer 72-jährigen Frau.) Abtrennung der oberen oberen Wirbelkörperkante des 3. Lendenwirbels mit deutlichem Spalt in der Bandscheibe.

Abb. 283 (rechts). (Röntgenaufnahme des in der vorhergehenden Abbildung dargestellten Präparates.) Verlagerung des abgelösten Kantenstückes.

Die Änderung in der Zwischenwirbelscheibenfunktion, die sich an den Austritt von Bandscheibengewebe anschließt, tritt in zwei gegensätzlichen Formen auf. Einmal kann der durch Gewebsverlust und die damit zusammenhängenden Spaltbildungen entstehende Raum einwucherndes Bindegewebe, Blutgefäße usw. an sich ziehen und damit eine mehr oder weniger feste Verklammerung der übereinanderliegenden Wirbelkörper, also eine Verminderung oder völlige Aufhebung der Beweglichkeit hervorrufen (fibrose Versteifung, Kap. VII C 3), zum anderen ist nach Abstoßung des Bandscheibengewebeanteils ein Fortschreiten der Degenerationsvorgänge mit zunehmender Zermürbung des Zwischenwirbelscheibengewebes, Vergrößerung der Spalt- und Rißbildungen usw. möglich, was eine vermehrte Beweglichkeit zwischen den Wirbelkörpern bedingt und eine Lockerung im Bewegungsegment nach sich zieht.

Die zuerst genannte Bewegungseinschränkung tritt überwiegend nach Einbruch von Bandscheibengewebe in die Wirbelkörper (Schmorle'sche Knötchen im Wirbelkörper) ein, weil aus den in Mitleidenschaft gezogenen Wirbelkörpermarkräumen heraus meist rasch und ausgiebig Fremdgewebe (Blutgefäße, Bindegewebe) in den Zwischenwirbelscheibenraum gelangt. Die Bewegungsfähigkeit der Wirbelsäule leidet besonders bei Jugendlichen, wenn sich infolge der vom besprochenen (S. 30) entwicklungs geschichtlichen Fehlbildungen und auf Grund übermäßiger Belastungen Schmorle'sche Knötchen an den Ausbuchtungen des Gallertkerngebietes — und dadurch Zerstörungen der Wachstumszonen — entwickeln. Über die daraus hervorgehenden Folgezustände für die Wirbelsäule (Adoleszentenkyphose) wird in einem besonderen Abschnitt die Rede sein (Kap. VI A 2). Bei Austritt von Bandscheibengewebe nach dem Periduralraum zu ist eine Ausheilung der Rißbildungen in den

Bandscheiben mit anschließender Bewegungseinschränkung möglich, wie wir bereits erwähnten (S. 172) und wie *Andrus* durch feingewebige Untersuchungen nachwies.

Die zusammen mit einem Bandscheibenvorfall nach hinten immer vorkommenden Spaltbildungen im Faserringgewebe führen nicht nur zu einem Nachlassen in der Festigkeit der normalen Zusammenklammerung der übereinanderliegenden Wirbelkörper sondern bedingen darüber hinaus eine „Lockerung im Bewegungssegment“. Wie eine solche Lockerung unter Umständen ausfallen kann, haben wir vorn beschrieben (S. 172). Meist aber bleibt sie bestehen und ist dann von größter Bedeutung für die Behandlung (*Jungblaus*). Sie kommt nicht nur als Folgeerscheinung des Bandscheibenvorfalles nach hinten vor. Bei allen anderen das Bandscheibengefüge ernstlich zerstörenden Veränderungen stellt sie sich ebenfalls ein. Die nach einer operativen Entfernung des Bandscheibenvorfalles weiter anhaltenden Kreuzschmerzen beruhen oft auf der durch die Operation nicht behobenen Lockerung des Bewegungssegmentes. Das am Schluß angeführte klinische Schrifttum berichtet darüber ausführlich. Manche Operationsverfahren versuchen entweder durch völlige Bandscheibenentfernung oder durch Einlagerung von Knochengewebe, auch durch Eintreibung von Metall- oder Kunststoffnägeln, die vorhandene Lockerung in eine bleibende Versteifung überzuführen (vgl. S. 182). Besonders aus dieser Erwägung heraus sind Operationsverfahren von der Bandscheibe aus empfohlen worden (*Hult-Junge, Lane* und *Moore, Fogel* u. a.).

Zahlreiche Arbeiten von klinischer und auch von pathologisch-anatomischer Seite haben sich mit der Frage beschäftigt, ob Schmerzen durch Verlagerungen von Bandscheibengewebe entstehen können. Sehr schwierig liegt die Klärung von Schmerzzuständen bei *Schmorl'schen Knötchen*, die röntgenologisch in den Wirbelkörpern nachgewiesen sind. *Schmorl*, *Brandes* und *W. Müller* warnen ausdrücklich vor einer Überwertung des Röntgenbefundes. *Dudrick, Gladyshevsky, Mooney, Schneide, Tenoff* u. a. haben jedoch in der Umgebung von Wirbelkörpern mit nachweisbaren *Schmorl'schen Knötchen* Klopfschmerzen, Druckschmerzen, Spontanschmerzen und zum Teil auch schmerzbedingte Wirbelsäulensteifhaltungen mit ausgeprägter Arthrose der kleinen Wirbelgelenke (*Morawa*) beobachtet. *Schwarz* glaubte in den *Schmorl'schen Knötchen* die anatomische Grundlage für die *Insufficiencia vertebrae* suchen zu müssen und *Kümmell* bringt sie in Zusammenhang mit der „*Kümmell'schen Krankheit*“ (S. 112). Im besonderen Maße interessiert den Kliniker die traumatische Entstehung von *Schmorl'schen Knötchen* an den Wirbelkörpern, worüber wir später berichten (S. 208 und Abb. 340).

Die Krankheitszeichen beim Bandscheibenvorfall nach hinten ihre Erkennung und ihre Behandlung haben auf dem Gebiete der Wirbelsäulenerkrankungen das umfangreichste Schrifttum hervorgerufen. Zwar sind viele der anatomisch nachweisbaren Verlagerungen von Bandscheibengewebe nach hinten (hintere *Schmorl'sche Knötchen*) ohne wesentliche klinische Bedeutung. Das gilt besonders für die kleineren in der Sagittalebene selbst oder in der Nähe der Mittellinie liegenden Gewebesverfalle. Wenn es sich aber um größere Vorfälle handelt, oder wenn das gelockerte Bandscheibengewebe mehr seitlich hinten den Bandscheibenraum verläßt, vermehrt sich die Gefahr, daß die Rückenmarkswurzeln den Druck des Vorfallegewebes erleiden müssen. Die vorn (S. 160 ff.) beschriebene Vielgestaltigkeit des Leidens, die von der Verschiebung des gelockerten Bandscheibengewebes im Bandscheibenraum selbst über die Protrusion der Bandscheibe bis zu den verschiedenen Vorfallarten (pendelnd, fixiert, frei, wandernd, usw.) alle Übergänge und die verschiedensten Schweregrade zuläßt, bedingt eine Vielzahl ineinanderfließender Beschwerden des Erkrankten und bringt viele Schwierigkeiten für die röntgenologische und klinische Erkennbarkeit mit sich. Die Störung des inneren Bandscheibengefüges (mit der begleitenden Lockerung im Bewegungssegment) bis zur Protrusion und den beginnenden Vorfallzuständen ist die wesentlichste Ursache für den Hexenschuß (*Lumley*) also für Schmerzzustände, die im Wirbelsäulbereich und seiner engeren Umgebung sitzen. Da beim vollendeten Bandscheibenvorfall der Austritt nach hinten-seitlich in Richtung auf das Zwischenwirbelloch zahlenmäßig überwiegt wie durch anatomische Untersuchungen nachgewiesen wurde (*Lindblom, Lindblom* und *Rexed* u. a.) kommt es infolge des entstehenden Druckes auf die Rückenmarkswurzeln zu einem Ausstrahlsschmerz, der dem betreffenden Wurzelsegment entspricht und der sich als Subokzipitalneuralgie, Brachialgie, Interkostalneuralgie, Ischialgie o. a. äußert. Die neurologischen Untersuchungsbefunde (Reflexstörungen,

Gefühlsausfälle Muskelatrophien Lähmungen Querschnittssymptome usw.) lassen im Zusammenhang mit den Beschwerden auch bei negativem Anfall der Röntgenuntersuchungsverfahren die Wahrscheinlichkeitsdiagnose einer druckbedingten Wurzelschädigung stellen, wobei als Ursache dafür neben dem Bandscheibenvorfall noch viele andere Krankheitszustände differentialdiagnostisch in engere Erwägung gezogen werden müssen. Einengung der Zwischenwirbellöcher (S 143) neurotische Nervenwurzelreizungen, Tuberkulose Tumoren, Knochenzacken an den rückwärtigen Wirbelkörperkanten, Wirbelverschleibungen u. a. In allen Arbeiten, die sich mit dem Bandscheibenvorfall beschäftigen, werden diese Fragen meist wegen ihrer großen Bedeutung eingehend erörtert.

Dabei spielt das von Keegan aufgestellte Schema über die Schmerzausbreitung eine große Rolle bedarf aber gewisser Korrekturen (*Cronmeyer Reichner Taptan und Bayliss*).

In welcher Weise die Vorfalldknoten in Beziehungen zu den Rückenmarkswurzeln treten, veranschaulicht Abb 284. An der IV und V Lendenbandscheibe können große vorgefallene Bandscheibenteile gleichzeitig die beiden vorbeziehenden Wurzeln beeinträchtigen oder in Folge Verschleibungen einmal die eine und dann die andere Wurzel bedrängen und entsprechende Ausfall oder Reizerscheinungen hervorrufen. Im allgemeinen aber berührt der Vorfall nur eine Wurzel (links in Abb 284) die dann von außen her oder (aus dem Winkel zwischen Dorsalseitenrand und Wurzel heraus) von medial her gedrückt und verdrängt wird. Mehr medial sitzende Vorfalldknoten (in Abb 284 an der II. Lendenbandscheibe gerechnet) verursachen unbestimmtere Beschwerden, können alle darüber hinwegziehenden Fasern des Pferdeschweifes beeinträchtigen und bewegen sich auch oft nach der einen oder anderen Seite wodurch ein Seitenwechsel der Beschwerden zustande kommt (vgl. auch Abb 270 und 271). Außer den am Kapitel-schluß aufgeführten und außer den bereits erwähnten Arbeiten sollen noch folgende genannt werden:

Barr Belart Copeman und Ackermann Dula Falconer und Cole Finetachi Finetachi und Kirchmann Friedmann Hadley Hampton und Robinson Hohmann, Hult Jäger und Lehmann Facius Kroll und Reuss Kuhlendahl und Richter Malmros Petts Pui und Haug Ratkke und Heiperts Römer Scheller Schuller Spurling und Grant Star und Fuhrmann Stone Tarlow Voßkuhle und Böger Weber Wilberg Wolman Woodhall und Hays, Hays u. a.

Nachdem früher im wesentlichen die Lendenwirbelsäule als häufigster Sitz von Bandscheibenvorfällen im Blickfeld der Klinik stand, wurde allmählich die Aufmerksamkeit auch auf den Bandscheibenvorfall in der Halswirbelsäule gelenkt. Weil Druckerscheinungen auf die segmentalen Halsmarkswurzeln und auf die Blutgefäße verschiedene Krankheitserscheinungen hervorrufen können, bei denen man früher die Bedeutung mechanischer Ursachen nicht genügend in Erwägung zog: Angina pectoris, präkardiale Schmerzzustände zervikale Hochdruckformen, zervikale Migräne Schulter- und Armschmerzen Perikarthritis humero-capularis Epicondylitis humeri, Durchblutungsstörungen des Gehirns u. a. Als Ursachen für diese und ähnliche Krankheitserscheinungen kommen neben Bandscheibenvorfällen Veränderungen der Unco-vertebral Gelenke (Abb 274)

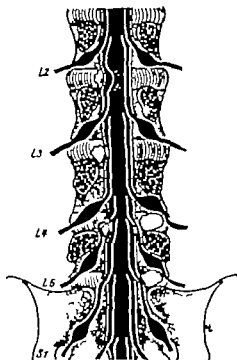


Abb. 284 Beziehungen von Vorfalldknoten der Bandscheiben zu den Rückenmarkswurzeln. Medial liegender Bandscheibenvorfall (L 2) ergibt wenig charakteristische Beschwerden und kann mehrere Wurzeln des Pferdeschweifes beeinträchtigen. Einseitiger Vorfall (L 3 links) bedrängt Wurzel L 4 von außen her. Er kann sich auch im Winkel zwischen Dorsalseitenrand und Wurzelabgang so einziehen, daß er auf zwei Wurzeln gleichzeitig Einfluß hat (L 4 links). Größere seitliche Vorfälle sind in der Lage gleichzeitigen Druck gegen zwei Wurzeln oder erheblichen Druck gegen eine Wurzel auszuüben (L 4 und L 5 rechts).

Kruschek Kötke Kuhlendahl Kuhlendahl und Hensell Kreuz, Kroll und Reiss Laubendahl Mayr
Muschler Pette Reuschner Röderer Schöler Schulte Stimpfl Zehlen u. v. a. (vgl. auch Schrifttum
am Ende des Kapitels)

Die eingehende Beschäftigung mit den Möglichkeiten der konservativen Behandlung
Verfahren hat gezeigt, wie schon im Altertum Ärzte "Einrichtungsbehandlungen" verschiedenster
Wirbelsäulenleiden ausübten (vgl. Kap. VIII A). Viele solche Behandlungsmöglichkeiten gingen in
die Hände von Laienbehandlern, wurden unter unklaren Vorstellungen mit mythischer Geheimnis-
tumor und Sektenwesen umkleidet, fanden aber doch auch wieder Eingang in ärztliche Denkungs-
und Handlungsweisen und sind jetzt unter den verschiedensten Namen wieder weit verbreitet.
Chiropraktik, Osteopathie, Redewissenbehandlung, manuelle Wirbelsäulenthérapie usw. Neben
vielen anderen Bearbeitern haben sich um die Klärung dieser Fragen bemüht Baker Biederman
Cramer Derbolowsky Dreger Gutmann Gutzeit Illi Kayser Man Peper Rettig Rohmann Schrad
und Vosske Sell Sollmann Storck Zuckersäure. Dabei sind nicht nur manuelle Behandlungsverfahren
aufgenommen worden, sondern Streckkorsette, Bewegungsapparate mit rhythmischen Wirbelsäulen-
Dehnungen, Repositionstische, Lagerungstische mit Glisson Zügen und viele andere Möglichkeiten
werden durchgeführt oder finden sich in Erprobung (Ammann Clausen Cyriax, Jackson Jadoski
und Vogel Mielke Neuwirth Rothke, Shenkin Sollmann, Ulrich Waser Weiss und Brumatis Wy-
und Ulrich u. a.). Über die Vielzahl anderer angewandter konservativer Verfahren wie Massage-
gymnastische Übungen, ruhigstellende Stützkorsette verschiedenster Formen und Einspritzungen
(paravertebral, pendular, intravertebral mit Impletol, Novocain, Hydrocortison und vielen andere
Mitteln) sind bereits unzählige Arbeiten vorhanden, von denen nur folgende erwähnt werden sollen:
Armstrong Blumenfeld Ellis, Ewald Galls und Scharf Gamp und Gros Gutzeit, Heiss Jaeger
Kroll Lohmann, Rold Reischauer Rothenberg mit Mandelsohn und Putnam Schukacki.

Vielmehr als es bisher geschehen ist, sollte man sich aber den Fragen der Vorbeugung wirbelsäulenbedingter Beschwerden widmen. Dafür ist es nötig, die durch neuzeitliche Verkehrsmittel bedingten Überlastungen durch stoßartiges Schütteln zu vermeiden (Jungmann) und aus dem Rücken bessere Ausruhemöglichkeiten durch Bau von rückentstützenden Sitzgelegenheiten für Ruhe und Büroarbeit zu gönnen (Akerblom, Blumenfeld). Existiert sicher nicht ganz ohne Bedeutung für die Zunahme der Beschwerden in der Halswirbelsäule mit Nacken-Schulter-Arm-Syndromen, daß in Gegensatz zu früher, wo stehend an einem geneigten Pult gelesen und geschrieben wurde, jetzt die Schreibplatte waagrecht liegt und den Kopf zu einer dauernden Neigung mit Verlagerung des Schwerpunktes gegenüber der tragenden Halswirbelsäule zwingt. Gleichartig ungünstig kann sich die langzeitige Zwangshaltung auswirken, die beim Schreibmaschinenschreiben mit leicht erhöhten Armen bei vorliegender Sitzhöhe und schlechter Rückenstütze eingenommen wird. Da Erfahrung gemäß viele Menschen mit Wirbelsäulenbeschwerden sich auf einer festen Matratze in flacher Lage ohne Kissen viel wohler fühlen als auf welcher nachgiebiger Unterlage, ist auch allen Fragen der Matratzengestaltung in Bezug auf eine Vorbeugung gegenüber Wirbelsäulenschäden gesteigerte Aufmerksamkeit zuzuwenden.

Trotz aller Erfolge der konservativen Behandlungen, die bei geeigneten Krankheitsfällen schon und auch dauerhafte Erfolge bringen können, ist es nicht möglich, ganz auf operative Verfahren zu verzichten. Jedoch geht die allgemeine Ansicht dahin, daß die Operation nur als letztes Glied in der Kette der konservativen Möglichkeiten eingeschaltet werden sollte. Das Schrifttum der letzten Jahre hat geradezu lawinenartig zugenommen und neben den am Kapitelanfang und auch schon in den vorhergehenden Seiten aufgeführten Arbeiten sind noch erwähnenswert: Albreci Blumenfeld Brailsford Decker und Buffal Duran-Obols Ectors Elacker Fineach Hattori Hanahs Junge und Sieters Kane und Lane Kelley mit Lora sowie Bruen und Ghormley Kondo u. Yamada und Ito Kuhlendahl Kuhlendahl und Hensell Penzholz, Scuderi und Kkedroo Seeley u. Hughes und Jankule Sicard Sprung Smar Schlegel Schönbauer Schröder Törndt Herthemer.

Die oben geschilderten Krankheitszustände, die durch Bandscheibenvorfälle nach hinten hervorgerufen werden können, und die vielen, mit diesem Fragenkomplex zusammenhängenden Grenzgebiete und differentiell-diagnostischen Erwägungen haben ein Verlangen aufgeweckt, das endgültig nur durch eine enge Zusammenarbeit von Pathologie und Klinik erforscht werden kann. Bis jetzt erreichen

an der Mayo-Klinik, daß von 10000 Kranken mit Rückenbeschwerden nur 19 v. H. einen operationsbedürftigen Bandscheibenvorfall hatten. Wenn dieser Hundertsatz nur gering erscheint, so sind doch schon viele Tausende von Operationen auf der ganzen Welt durchgeführt worden. Während anfangs große Laminektomien nötig waren, um an das vorgefallene Bandscheibengewebe heranzukommen, verfeinerten sich die Operationsverfahren allmählich, und jetzt ist meist nur noch eine „interlaminae Fensterung“ durch Entfernung des gelben Bandes erforderlich, um an die Stelle des Bandscheibenvorfalles zu gelangen. Um zu einer erfolgreichen kritischen Einstellung gegenüber der operativen Behandlung des Bandscheibenvorfalles zu kommen, ist es in besonderem Maße wichtig, von einer funktionellen Betrachtungsweise auszugehen (Jungklaus). Der Bandscheibenvorfall nach hinten ist nicht allein eine Erkrankung des „Halbgelenkes Zwischenwirbelscheibe“ (Luschka), sondern das gesamte „Bewegungsegment“ (Jungklaus) ist daran beteiligt. Außerdem wirken dabei 2 Symptomenkomplexe zusammen, die beide der Behandlung bedürfen. Wenn vom Operateur der vorgefallene Bandscheibenteil der den Wurselndruck erzeugte entfernt wurde, dann ist zunächst nur das Symptom der Wurselndruck beseitigt. Darüber hinaus bedarf noch die statisch wichtige Lockerung im Bewegungsegment der zusätzlichen Behandlung, die in längerer Ruhigstellung auch in operativer Versteifung, bestehen kann, was von einigen Seiten lebhaft gefordert wird. Arnold mit Rampal und Montagnier, Bruns mit Müller, Cahalan, Cauchois und Lemoine, Cloward, Crawford mit Mitchell und Oranger, Debye mit de Sess und Jernand, Dodge mit Stren und Jones, Ingbrigtzen, M. Lange, Reimers, Späde und Hamlin, Steindler u. a. Die jeweilige Forschungsrichtung hat sich aller dieser Fragestellungen mehr von der einen oder von der anderen Ausgangsbasis ausgehend angenommen, so daß sich sehr unterschiedliche Ansichten im Schrifttum entwickelten. Fragen der klinischen und röntgenologischen Erkennbarkeit der Differentialdiagnose, der echten und falschen Rezidive der mehrfachen Vorfälle der Behandlungserfolge (manche Bearbeiter berichten über mehr als 1000 Operationen) und der Ursachen und Verhinderung von Mißerfolgen sind eingehend und vielfach abgehandelt worden. Das Schrifttum wurde fast unüberschaubar. Außer den im Text bereits erwähnten Bearbeitern sollen noch die folgenden genannt werden: Adams und Coombs, Akjournas, Alajournas und Thurel, Anderson und Westberg, Balcan, Barr, Bedna, Bergsma und Chaillon, Blum, Bradford und Spurling, Brailford, Brin, Brocher, Brässon und Strödel, Caesar, Cech und Sil, Connell, Coplan (resp. Dandy), Delbarron, Deckeret, Buffet, Delmas, Marsal, Dickson, Echols, Falconer mit McGeorge und Begg, Fricke, Friberg, Galland, Grant und Nelson, Gurdjian und Webster, Harmon, Herbert, Hirschman, Hirsch, Hutton und Jung, Kraysenbühl, Kraysenbühl und Klingler, Kraysenbühl und Weber, Kuntz, Lacey, Lacroix, Marble und Bishop, Maurice, Morrier, Morriary, Nische, Nordenfeld, Nörén, Olivecrona, Pampuri, Paulsen, Peet und Echols, Pearynker, Petit, Dutaill, und Pertuisant, Peyton und Simmons, Pira, Popma, Pappen, Ramey und Berglund, Ramey, Robertson und Trecher, Roder, Börg, Sashin, Schnell, Schröder, Skinnars und Hamby, Sicard mit Wells und Petit, Dettmüller, Stender, Stürmer, Tans, Tavernier, Woodhall, Young.

D Degenerationen

1. Chondrois intervertebrales

(Austrocknung, Spaltbildungen, Farbstoffeintragerungen usw.)

Das hervorstechendste Zeichen der Alterung des Bandscheibengewebes ist die Wasserverarmung, die vor allem den Gallertkern betrifft (S. 16). Sie führt nicht nur zu einem mehr und mehr zunehmenden Elastizitätsverlust des Bandscheibengewebes, sondern auch zu Verschleißerscheinungen des Gewebeaufbaus (Verlust der Gelstruktur nach Sykes). Damit leitet die physiologische Abnahme des Wassergehaltes eine große Zahl von Veränderungen in den Zwischenwirbelscheiben ein, denen wir an vielen Stellen dieses Buches begegnen. Wir können sie unter dem Sammelnamen Chondrois intervertebrales zusammenfassen. Da Zusammenwirken der Gewebsaustrocknung mit den täglichen Beanspruchungen und in manchen Fällen auch mit besonderen Überbelastungen (durch Verkrümmungen, durch vermehrte Beanspruchung, durch Änderungen in der Umgebung usw.) ist die Ursache für die Gewebsdegenerationen in der Zwischenwirbelscheibe, denen kein Mensch mit zunehmendem Alter entgeht.

Wieweit solche Veränderungen durch Schäden vorbereitet werden, die infolge Hypoxämie (Büchner) bereits in der Embryonalentwicklung entstehen, ist noch nicht geklärt. Weitere Untersuchungen in dieser Richtung sind anzustreben und können unter Umständen unsere Kenntnisse wesentlich vervollständigen (Kap. I D II B 1 II B 9). Ob sich die Ansicht von *Fadalla* über die hyperergische Ursache der Gallertkernveränderungen wirklich beweisen läßt, ist noch ungeklärt. *Lopfer* meint, daß eine Schrumpfung des elastischen Materials der Zwischenwirbelscheiben eintritt „wenn ein rheumatischer Schaden mittelbar oder unmittelbar die Bandscheibe trifft“. Die wichtige Rolle der Hyaluronklase für den Wasserhaushalt der Zwischenwirbelscheiben (S. 18) bedarf noch weiterer Untersuchungen (*Vaylor* und *Smare Ott*).

Mehr und mehr setzt sich die Überzeugung durch, daß chronische Überlastungsschäden bei den verschiedensten Formen der Zwischenwirbelscheibenveränderungen eine bedeutsame Rolle spielen (*Jungkanns*). Es bedarf aber noch vielfältiger pathologisch-anatomischer Untersuchungen und praktisch klinischer Beobachtungen am Kranken und an Röntgenbildern, ob solche Überlastungen Ursache für Zwischenwirbelscheibenschäden sein können, oder ob sie nur verschlimmernd in den Ablauf der Alterungsvorgänge des Zwischenwirbelscheibengewebes eingreifen (vgl. Kap. V H). Neben besonderen persönlichen oder beruflichen Belastungen spielen die neuzeitlichen Verkehrsmittel (Motorrad, Kraftwagen, Zugmaschinen) mit ihren unkoordinierten Erschütterungen die die Wirbelsäule meist in der Längsachse rüttelnd und schüttelnd treffen, hierfür sicher eine viel ungünstigere Rolle als z. B. das Reiten, bei dem sich der Mensch der Bewegung des Pferdes in jeder Gangart elastisch anzupassen vermag. Auch die Rolle des „Initialtraumas“ (*Jungkanns*, *Schlegel*, *Zahlen*) bedarf noch der näheren Erforschung. Schrifttum: *Baumman*, *Erner*, *Hirsch* und *Vackem*, *von Landemann* und *Kuhlendahl de Séze u. a.* (vgl. Kap. I D 8. 18 S. 167/168, S. 200).



Abb. 253. (Lichtbild der Horizontalschnittfläche durch eine Zwischenwirbelscheibe.) Das allgemeine Schlingung des Faserringes ist noch gut erhalten. Gallertkern und die hinteren Teile des Faserringes zeigen eine schmutzig braune Verfärbung (braune Degeneration).

Die Formen der Zwischenwirbelscheibendegenerationen sind sehr mannigfaltig. Beim Aufschneiden von Zwischenwirbelscheiben älterer Menschen bemerkt man schon mit bloßem Auge das viel trockenere Aussehen. Der Gallertkern, der bei dem Jugendlichen prall-elastisch vorspringt und feucht aussieht, hat diese Eigenschaften verloren. Er springt auf der Schnittfläche nicht mehr vor, erscheint trockener und bisweilen sogar bröckelig und zeigt manchmal Farbveränderungen. Bisweilen ist er leicht gelblich, bisweilen tief braun verfärbt, immer aber nur sehr wenig feucht. Diese braune Degeneration (Abb. 253) ist durch einen Farbstoff bedingt, der nicht mit dem Blutfarbstoff zusammenhängt, denn er gibt keine Eisenreaktion, wie *Schmorl*, *nachales* und *Günz* bestätigen konnten. Die Natur des Farbstoffes ist noch nicht geklärt. Bei *Ochronose* finden sich in den Zwischenwirbelscheiben ausgedehnte Farbstoffeinlagerungen (*Jungkanns*), die gelegentlich gemeinsam mit Verkalkungen auftreten (*Dirbold*).

Im Zusammenhang mit den Austrocknungserscheinungen erweitert sich das zwickelchalenartige Hohlraum-System des Gallertkerns (Abb. 3) zu Spalten, die vom eigentlichen Gallertkern aus in das Gebiet des Faserringes hineinstrahlen. Injektionspräparate und Röntgendarstellungen mit schattengebenden Flüssigkeiten zeigen deutlich solche verzweigte und erweiterte Spalträume (Abb. 254–255), die oft das Gallertkerngebiet wesentlich überschreiten und alle Faserringselemente schräg und quer durchsetzen. Dann kommt es bis zum Einbruch der Spalten in den Periduralraum (Abb. 256). Der Zusammenhang mit dem Bandscheibenvorfall nach hinten wurde bereits erwähnt (Kap. IV C 2, S. 165 ff.). Die Darstellungsmöglichkeiten beim Lebenden durch Füllung der Spalten mit schattengebender Flüssigkeit und anschließender Röntgenuntersuchung sind auf den Seiten 169–172, erwähnt.



Abb. 286. (Lichtbild der Baggitalanschnittfläche einer Lendenbandscheibe an einer alten Frau.) Horizontal verlaufender S förmig geschwungener Riß durch die ganze Bandscheibe mit teilweiser Zerstörung der (nach rechts zu liegenden) Fasern des Randfaserringes.



Abb. 287

Abb. 287 (Lichtbild von horizontalen Schnittflächen durch degenerierte Zwischenwirbelscheiben, die vor dem Aufschneiden mit gefärbter Gelatine injiziert wurden.) Die Spaltstrukturen beschränken sich nicht nur auf den Nukleus, sondern auch im Faserring haben sich Spaltstrukturen mit J-punktionmassen gefüllt. Diese zeigen einen konzentrischen, der Kehrichtung des Faserrings folgenden Verlauf. Die oberen der dargestellten Zwischenwirbelscheiben zeigt dem gegenüber einen vom Gallertkerngebiet nach hinten zu erstreckenden, odonukleusartigen Faserringabschnitt als charakteristischen Riß mit einem Vorfall des Bandscheibengewebes in den Wirbelkanal hinein.

Eine solche innere Zerrüttung des Bandscheibengefüges (Abb. 284, 293) braucht sich aber nicht auf den Gallertkern zu beschränken oder strahlenförmig von ihm den Faserring in Mitleidenschaft zu ziehen sondern der Faserring kann auch von sich aus betroffen sein. Dann liegen die Degenerationsfelder und Auflockerungen meist konzentrisch angeordnet und betreffen im Flächenschnitt halbmond-

förmig oder sichelförmig gestaltete Faserringabschnitte. Man findet auch mondsehefförmige Faserringsequester (Abb. 290).

Bei älteren Menschen bilden sich im Brustbereich nicht allzu selten konzentrische Risse im vorderen Faserringabschnitt, ungefähr entlang dem inneren Rande der knöchernen Wirbelkörpermarginalrille (Abb. 338). Darüber wird ausführlich bei der Behandlung der Alterskyphose gesprochen (Kap. VI A 3). Ob sie rein degenerativer Entstehung sind, oder ob äußere ähnliche Beanspruchungen oder Gewalteinflüsse bei ihrer Entstehung eine wesentliche Rolle spielen, ist noch nicht geklärt.

Bald nach dem Wachstumsabschluß bilden sich nach Übermaß auch Degenerationen in den Knorpelplatten, die als kleine Degenerationsfelder an den früheren Chordadurchtrittstellen beginnen. Hier entstehen — wie wir vorn beschrieben haben (S. 155) — auch Skmorische Knötchen oder es wuchern Blutgefäße oder Knochengewebe von hier aus in die Zwischenwirbelscheiben ein. Die Ansicht Übermaßs, daß diese Veränderungen für den Beginn der Spondylosis deformans verantwortlich seien, besteht nach den neuesten Untersuchungen — über die wir berichten werden (Kap. V) — nicht zu Recht. Wieviel die von Reimers dargestellte Chondrosis dissecans der Knorpelplatten, die bereits in ihren Beziehungen zum Bandscheibenvorfall erwähnt wurde (S. 167) den von Übermaß beschriebenen Degenerationsfeldern gleichzusetzen, ist bedarf der Klärung.

Wenn Bandscheibengewebe der Austrocknung, Auflockerung, Spaltbildung, Sequesterentstehung usw. anbelangt, ist es so, ist eine Aushüllung im Sinne einer Regeneration nicht möglich. Meist verschlimmert sich der Zustand der Gewebeerkrankungen zunehmend. Ein Stillstand kann nur eintreten, wenn das zerstörte Bandscheibengewebe und die aufgetretenen Spaltstrukturen durch Füllgewebe ersetzt werden, wofür schon beim Bandscheibenvorfall gesprochen wurde (S. 179) und was später noch mehr erläutert wird (Kap. IV E).

Die Riß- und Spaltbildungen der Chondrosi intervertebralis lassen sich gelegentlich positiv im Röntgenbild (Abb. 203) als Aufhellungen im Bandscheibenraum (Höfken, Knäuper, Maderatig, Raines, Jägers) mit *Injektio* und *Teizidor* erkennen. [Das darf nicht mit den erweiterten Gallertkernhöhlen bei Fischwirbelbildungen (Abb. 230) verwechselt werden.] Da Kröller bei infektiösen und trauma-



Abb. 208. (Echte Röntgenaufnahme der Wirbelsäule eines 74-jährigen Mannes.) Injektion schattengebender Flüssigkeit in die Zwischenwirbelscheibe. Der Zwischenwirbelscheibenraum ist niedrig und das mit Injektionsflüssigkeit gefüllte Spaltensystem erstreckt sich im gesamten Zwischenwirbelscheibenraum und reicht bis an den Wirbelkanal heran (Chondrose).



Abb. 209. (Röntgenbild und zugehöriges Lichtbild eines Teiles der Lendenwirbelsäule eines 73-jährigen Mannes.) Im oberen Bild Füllung von zwei Lendenbandscheiben durch Einspritzung mit schattengebender Flüssigkeit. Das Lichtbild zeigt einen Bogenstab durch die im Röntgenbild unten dargestellt 4 Lendenbandscheiben. Der Vergleich zwischen Lichtbild und Röntgenbild läßt die Gleichartigkeit des Spaltensystems in der Röntgenfüllung und im Querschnittspräparat erkennen (Chondrose).

Abb. 209. (Röntgenaufnahme der Wirbelsäule eines 71-jährigen Mannes nach Abtragung der Wirbelbögen. Regit bei der Strahlengang.) Injektion einer schattengebenden Flüssigkeit in die Zwischenwirbelscheiben. Im Gegensatz zum Injektionspräparat normaler Wirbelsäulen (Abb. 22–23) sind hier weit verstreut Spalt Räume in der ganzen Zwischenwirbelscheibe bis in die Gegend der Randkisten vorhanden. Auch nach dem großen Handrücken sehen sich mit Injektionsmasse gefüllte Spalt Räume.

tischen Zerstörungen von Zwischenwirbelscheiben keine solchen Gasansammlungen fand glaubt er diese Zeichen differentialdiagnostisch verwerten zu können, was aber als zweifelhaft und unsicher angesehen werden muß. Neben diesen nur selten feststellbaren positiven Röntgenzeichen läßt sich die Chondrosi intervertebralis in ihren leichteren Formen auch kaum sicher durch mittelbare Röntgenbefunde erkennen. Eine Röntgenuntersuchung der Funktion (S. 171) hilft aber bisweilen



Abb. 291 (links). (Seitliches Röntgenbild eines Teiles der Lendenwirbelsäule eines 56-jährigen Mannes.) Füllung der Zwischenwirbelscheiben mit schattengegebender Flüssigkeit durch Einspeisung von vorn her an der Leiche. Die 3. Lendenbandscheibe (Kreuz) zeigt ungefähr regelrecht Zeichnung der gefüllten Gallertkernhöhle. Die 4. Lendenbandscheibe ist stark zerklüftet und ein Teil ihres Inhaltes ist nach rückten Art zu (in dem Wirbelkanal) angefallen (Pfeil), wie man A. stritt der schattengegebenen Flüssigkeit erkennbar ist.

zur Entdeckung geringgradiger Veränderungen (*Jungmann*). Der Höhenverlust des Bandscheibenraumes ist nur gering und die Wirbelkörperbandscheibengrenze hat nur dann röntgenologisch sichtbare Veränderungen, wenn sie im Sinne der Bildung von Schmorischen Knoten am Krankheitsgeschehen beteiligt ist. Je mehr eine Chondrosis intervertebralis jedoch in die noch zu besprechende Osteochondrosis intervertebralis übergeht, um so mehr ist sie im Röntgenbild ersichtbar wie die späteren Abbildungen zeigen (Abb. 299–301).

Die Häufigkeit der verschiedenartigen Bandscheibendegenerationen, die oben erwähnt wurden und in den weiteren Abschnitten besprochen werden, ist im einzelnen schwierig zu erfassen. In den höheren Lebensaltern nehmen diese Veränderungen laufend an Stärke der Ausbildung und Häufigkeit zu wie sich besonders deutlich für die ebenfalls auf degenerative



Abb. 292 (links). (Frontale Röntgenaufnahme der Lendenwirbelsäule eines 82-jährigen Mannes.) 1. Lendenbandscheibe mit schattengegebender Flüssigkeit in der Zwischenwirbelscheibe. Die 1. Lendenbandscheibe hat nicht nur die verengte Spaltlinie, sondern ist auch durch Spaltlinien, die bis an den Wirbelkanal heranreichen, in dem Wirbelkanal hineingefloßen und hat sich zwischen Dura mater und Wirbelkörper ausgebreitet (ähnlich einer „Verdickungsgraphie“).

Abb. 293 (rechts). (Ausschnitt aus der seitlichen Röntgenaufnahme eines 32-jährigen Mannes.) Bei der A. (sahnen mit starker Rückbeugung des Kopfes) klappt in der Nähe des unteren-vorderen Randes des 6. Halswirbelsäulen ein Spaltbildung, die als Auflösung sichtbar wird. Die Röntgenaufnahme in der Normalhaltung der H. 1. (rechts) zeigt diesen Spalt nicht erkennen. In der Nachbarschaft der geschädigten 6. Halswirbelsäule sind zwei andere Bandscheiben am 6. und 7. Halswirbelsäulen.

Bandscheibenschäden zurückgehende Spodiylosis deformans (S. 215) zahlenmäßig belegen läßt. Im Bereich der Lendenwirbelsäule treten Bandscheibenveränderungen in schwereren Formen und häufiger auf als in den übrigen Wirbelsäulenabschnitten. *Friberg* und *Hirsch* fanden in 40–50 v. H. der durchgeesehenen Röntgenbilder vom Lebenden klare Zeichen der Bandscheibendegeneration.



Abb. 204 (links). (Lichtbild eines Horizontalschnittes durch die 3. Lendenbandscheibe eines alten Mannes.) Erhebliche Zermürbung des gesamten Bandscheibengrefuges, besonders im Gallertkernbereich, aber auch in den Fasernanteilen (besonders nach links hinten zu im Bild).

Abb. 205 (rechts). (Lichtbild der Horizontalschnittfläche durch eine Lendenbandscheibe.) Starke Zermürbung des Zwischenwirbelscheibengrefuges, besonders im Gallertkerngebiet. Chondrosis der Zwischenwirbelscheibe.

Die leichten Formen der Bandscheibenverschleißkrankheiten verursachen keine sicher erkennbaren klinischen Krankheitszeichen. Gewisse unbestimmte Beschwerden (Rückenschwäche) die meist als rheumatisch gedeutet werden, oder gelegentliche schmerzbedingte Stiefhaltungen deuten auf Bandscheibenveränderungen hin. Solche Beschwerden müssen aber differentialdiagnostisch sehr genau abgewogen und besonders gegenüber beginnenden Infektionen abgegrenzt werden. Die Beschwerden sind Zeichen der beginnenden Lockerung im Bewegungssegment die wir im Kapitel über den Bandscheibenvorfall nach hinten in ihrer Bedeutung gewürdigt haben (S. 178). Der Wirbelsäulenabschnitt oberhalb von geschädigten Zwischenwirbelscheiben zeigt oft eine typische Geradehaltung (Kap. VI D).

Wenn die beschriebenen Bandscheibenschäden durch allmähliche Alterung und Wasserverarmung eingeleitet werden, können wir von einer „primären Chondrosis intervertebralis“ sprechen. Liegen die eigentlichen Ursachen einer inneren Zerrüttung des Bandscheibengrefuges jedoch außerhalb des Zwischenwirbelsäulenraumes, so erscheint die Bezeichnung als „sekundäre Chondrosis intervertebralis“ angebracht. Diese Form entsteht bei den verschiedensten Krankheitszuständen, durch die eine unrichtige Belastung auf die betroffenen Zwischenwirbelscheiben einwirkt. Das ist zum Beispiel bei manchen Störungen der Festigkeit in den Wirbelbögen (Spodiylosis Kap. II C 3) der Fall, weil die damit verbundene Lockerung im Bewegungssegment schließlich durch die ununterbrochene Fehlbelastung und Schubwirkung die Widerstandsfähigkeit des Bandscheibengewebes zum Erliegen bringt. Auch die unter besondere Krümmungsverhältnisse geratenden Zwischenwirbelscheiben können entsprechende Ermüdungserscheinungen erleiden, als deren Folge Austrocknungen und Rißbildungen entstehen. Wenn durch Erkrankungen im Wirbelkörper gesunder Zwischenwirbelscheibengewebe veranlaßt wird, den Bandscheibenraum zu verengen (Schmorle'sche Knötchen, S. 160) bleibt nie eine sekundäre Chondrosis intervertebralis aus. Sowohl die primäre als auch die sekundäre Chondrosis intervertebralis können allmählich in ihre schwerste Folgeerscheinung, die Osteochondrosis intervertebralis, übergehen, die wir anschließend behandeln. Daß die Chondrosis intervertebralis die Vorkrankung für die „Außstoßung eines Bandscheibens sequens“ (also für einen Bandscheibenvorfall nach hinten) sein kann, ist aus unserer Schilderung dieses Krankheitsbildes (Kap. IV C 2) leicht abzulesen.

2. Zermürbungen (Osteochondrosis intervertebralis)

Sowohl die als Zeichen der Gewebsalterung und -austrocknung anzusehende primäre Chondrosis intervertebralis als auch die verschiedenen Formen der sekundären Chondrosis intervertebralis können hochgradige Formen annehmen. Die innere Zerrüttung des Zwischenwirbelscheibengewebes



Abb. 296. (Lichtbild der Horizontalschnittfläche durch eine Lendenbandscheibe.) Chondrosis der Lendenbandscheibe mit Ausfall des schleimartigen Zwischenwirbelscheibengewebes („freier Gelenkkörper“).

vermag soweit fortzuschreiten, daß eine ausgedehnte Zermürbung mit entsprechender Höhenabnahme des Zwischenwirbelscheibens (S. 162) entsteht, wobei oft eine große Höhlenbildung im Bandscheibenraum auftritt. Die äußersten Schichten des Faserringes bleiben dabei meist besser erhalten und wölben sich bei äußerer Betrachtung der Leichenwirbelsäule wulstartig über die Wirbelkörperaußenfläche vor (*Hildebrandt*). Der neugebildete Hohlraum wird von einem bröckelig-trockenen grauweißen Gewebe umgeben, das den Wirbelkörperaußenflächen aufliegt und die Reste des eingetrockneten und bei den Bewegungen zerriebenen Zwischenwirbelscheibengewebes darstellt (Abb. 294–295). In seltenen Fällen erscheint der Hohlraum im Röntgenbild beim Leben den als Aufhellung (*Mindersteig, Raines*). Manchmal liegen kleine Bröckel oder auch größere nischelförmige oder unregelmäßig geformte Stücke von trockenem Zwischenwirbelscheibengewebe als „freie Gelenkkörper“ in dieser Zersalzböhle (Abb. 296). Die anliegenden Knorpelplatten zeigen auf Schnitten in der Pfeilsahtebene ausgedehnte Degenerationserscheinungen. In sehr schweren Fällen sind sie vollkommen verschwunden. An der Wirbelkörperendfläche sitzen zahlreiche Knorpelwucherungs-herde („arthritische Knorpelknötchen“ Abb. 297) und das angrenzende Knochenbälkchenwerk hat sich sklerotisch verändert (Abb. 298). Der Zwi-



sehenwirbelscheibenraum ist in solchen Fällen stets in seiner Höhe vermindert. Eine makroskopische und mikroskopische Beschreibung dieser Zustände findet sich bei *Hildebrandt*. Die Höhen-

Abb. 297. (Makrophotogramm der Zwischenwirbelscheiben der Lendenwirbelsäule.) Abbildung des Zwischenwirbelscheibengewebes aus dem Bandscheibenraum. Die unregelmäßige Knorpelstruktur ist sehr auffällig. A. der angrenzenden Wirbelkörperfläche unregelmäßig gestaltete Knorpelwucherungen (Osteochondromen).

abnahme und die Verdichtung der angrenzenden Knochenblöcke sind im Röntgenbild gut erkennbar (Abb. 290–301). Schworl bezeichnete diese Zustandsbilder der hochgradigen degenerativen Zwischenwirbelscheibenzerstörung zusammen mit der in zweiter Linie auftretenden Beteiligung der Wirbelkörperendflächen als „Osteochondrosis“.

Hildebrandt hat die Röntgenuntersuchungen Schworls systematisch in bezug auf die Osteochondrosis intervertebralis ausgewertet und fand, daß sie an allen Zwischenwirbelscheiben vorkommen kann. Oft sind nur einige Zwischenwirbelscheiben davon befallen, häufig haben sich aber alle Zwischenwirbelscheiben eines Wirbelsäulenabschnittes (meist Lendenwirbelsäule) in dieser Weise verändert (Abb. 300). Nach den Lendenbandscheiben, von denen wieder die beiden untersten besonders häufig ergriffen sind, folgen in der Häufigkeitsreihe der Osteochondrosis an zweiter Stelle die untersten Halsbandscheiben. Männer sind im allgemeinen in größerer Zahl befallen als Frauen. Sicherlich ist die besondere Beanspruchung (Belastung sowohl wie Beweglichkeit) der Grund für das häufigere Auftreten der Osteochondrosis an den untersten Lenden- und an den Halsbandscheiben. Weiter unten (Kap. IV F 3) wird beschrieben, wie sich dieses Krankheitsbild unter Umständen auch an Bandscheibenverletzungen anschließen kann. Schwere körperliche Arbeit (tagliche Arbeitstraumen)

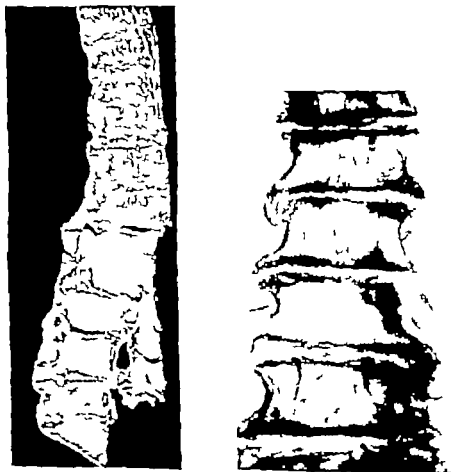


Abb. 293 (links). (Lichtbild der Röntgenaufnahme der Wirbelsäule eines 40-jährigen Mannes.) Teilw. der Wirbelsäule. Hochgradige Zermürbung (= erheblicher Zwischenwirbelscheiben mit Höhenabnahme der Zwischenwirbelscheiben und Abkürzung der angrenzenden Wirbelkörpersegmente, die sich in den unteren der Abbildung der Wirbelsäule auf die gesamte Wirbelsäule erstreckt während in den oberen nur die den Zwischenwirbelscheiben angrenzenden Teile der Wirbelkörper sklerotisch umgeben sind).

Abb. 299 (rechts). (Röntgenaufnahme der Wirbelsäule eines 70-jährigen Mannes nach Abtragung der Wirbelkörperanteile. Röntgenaufnahme der Wirbelsäule mit sehr st. der Höhenabnahme aller Zwischenwirbelscheiben der angrenzenden Wirbelkörpersegmente und Abkürzung an betr. hülltem Halswirbelsäule.

spielt bei der Entstehung dieser Zustände wahrscheinlich eine Rolle. Der konstitutionellen Veranlagung ist aber die größere Bedeutung zuzumessen. Sichere Anhaltspunkte dafür, daß etwa langdauernde schwere Allgemeinerkrankungen die Entstehung oder das Fortschreiten der degenerativen Veränderungen des Zwischenwirbelscheibengewebes begünstigen können, sind bisher aber noch nicht gewonnen. In höheren Lebensaltern werden auch bei Angehörigen der schwer arbeitenden Bevölkerungsklassen mitunter guterhaltene Zwischenwirbelscheiben gefunden. Ebenso beobachtet man aber bei Menschen aus geistigen Berufen, von denen anamnestisch erwiesen ist, daß sie weder

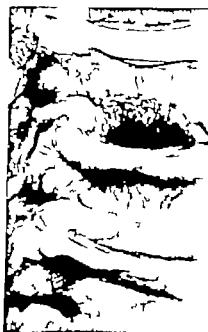


Abb. 300 (links). (Fehlende Röntgenaufnahme derselben Wirbelsäule wie Abbildung vorher.) Deutlichste Höhenabnahme der Zwischenwirbelscheiben mit Sklerose der angrenzenden Spongiosa und Randzackenbildung auch den kleinen Wirbelbögen.

Abb. 301 (rechts). (Fehlende Röntgenaufnahme einer Hälfte der in der Figur 1 oben durchgezogenen Lendenwirbelsäule eines alten Mannes.) Deutlichste Höhenabnahme eines Zwischenwirbelscheibens mit starker Sklerose der angrenzenden Wirbelkörperspongiosa und Randzackenbildung an den Wirbelkörpern. Kleine Randzacken nach dem Wirbelkanal zu an der hinteren Kante des Wirbelkörpers und am Gelenkfortsatz mit Einengung des Zwischenwirbelscheibes.

schwere Arbeit noch anstrengenden Sport leisteten, hochgradige degenerative Veränderungen von Zwischenwirbelscheiben. Bei Assimilationsbecken (Übergangswirbel Kap. II D 5a) stellte *Erdmann* doppelt so häufig eine schwere Osteochondrosis intervertebralis fest als bei normalen Beckenformen. Die stärksten Formen der Osteochondrosis intervertebralis mit Sklerose in der Nachbarschaft der zerrührten Bandscheiben findet man bei *Tabes* der Wirbelsäule (*Alajouanine* und *Thurud Bocci Gold Hoffmann Lecka Lyon Markow Pape Sinschew*). Nach *Bocci* kann eine solche vertebrale Osteoarthropathie ein Anfangszeichen von *Tabes* sein. Infolge der völligen Schmerzlosigkeit sind so hochgradige regelwidrige Bewegungen der Wirbelkörper gegeneinander möglich, daß sich die Sklerose allmählich von den Wirbelendflächen über ganze Wirbelkörper (Abb. 304–309) ausbreitet. *Ehrlich* fand ähnliche Bilder wie bei der *Tabes* auch bei der chronischen Alkaptonurie.

Bei allen Veränderungen, die eine sekundäre Chondrosis intervertebralis (S. 187) hervorgerufen ist, auch die Möglichkeit einer Verschmierung dieses Zustandes bis zur schwersten Osteochondrosis intervertebralis gegeben. Da gilt insbesondere für alle Formen von Wirbelgleiten und Wirbelverschiebungen (Kap. II C 3 und VIII), denn die Verschiebung zwischen 2 Wirbelkörpern ist an die mehr oder weniger starke Zerstörung des Bandscheibengefüges gebunden. Das Krankheits-

bild hat also bei vielen Veränderungen der Wirbelsäule eine große Bedeutung. Im Röntgenschrifttum (*Barony Ki abeck Sakin Szal u. a.*) wird häufig die Bezeichnung „Lumbosakralarthrose“ verwendet, wenn die letzte präsakrale Zwischenwirbelscheibe erkrankt ist.

Eine „Anheilung“ der Bandscheibenzerstörungen ist ebenso wie bei den leichten Formen der Chondrosis intervertebralis (S. 184) auch bei den schwersten Zerrstörungen möglich durch Einlagerung von Fremdstoffen, wodurch im allgemeinen eine Zusammenklammerung der beiden über einanderliegenden Wirbelkörper entsteht (*Hildebrandt Schmoll*). Es handelt sich also um eine Anheilung mit Versteifung (vgl. Kap. IV E).

Außer dem sehr typischen Röntgenbefund (Abb. 299–301) sind mit der Osteochondrosis intervertebralis als der stärksten inneren Zerrüttung des Bandscheibengefüges erblickliche Krankheitserscheinungen verbunden. Die hochgradigen Zerrstörungen des Gallertkerns der Facettenschichten und der Korpelplatten erzeugen zwangsläufig eine unrichtige Beweglichkeit zwischen den beiden beteiligten Wirbelkörpern und damit eine „Lockerung im Bewegungssegment“. Schmerzen bei Bewegungen, schmerzbedingte Steifhaltungen, Geradehaltungen der oberhalb liegenden Wirbelsäulenabschnitte und ähnliche Erscheinungen, die wir bereits an verschiedenen Stellen erwähnten, sind die unausbleiblichen Folgen. Die Höhenabnahme des Bandscheibenraumes bringt außerdem eine Verkleinerung in der heften Weite der zugehörigen Zwischenwirbellocher mit sich, was die entsprechenden Beschwerden verursachen kann (vgl. Bandscheibenvorfall Kap. IV C 2 S. 172 und Kap. III P). Weiteres Schrifttum: *Jud Lindemann* und *Kuhlenhahl Pfleiderer Temoff Williams u. a.*

3. Verkalkungen

189 hat *Luethlin* kreisförmliche Einlagerungen im Gallertkern beschrieben. 1897 berichtet *Reich* über dunkle verwaschene Flecken im Röntgenbild von Zwischenwirbelscheiben, die er auf einen erhöhten Kalkgehalt zurückführt, aber erst 1922 ist im Röntgenbild vom Lebenden eine durch Verkalkung hervorgerufene Verschattung in einer Zwischenwirbelscheibe beschrieben worden (*Calé und Galland*). Genauere anatomische Untersuchungen über Verkalkungen hat erstmalig *Schmoll* angestellt und er fand Ablagerung von kohlensaurem oder phosphorsaurem Kalk in den Zwischenwirbelscheiben (Abb. 302). In ganz seltenen Fällen stellte er bei Gichtkranken auch Ablagerungen von harnsauren Salzen fest. *Schmoll* hat die Verkalkungen (besonders im Gallertkerngebiet) in primäre (degenerative) und sekundäre (z. B. nach Tuberkulose) eingeteilt. Er hält die traumatische Entstehung der degenerativen Verkalkungen nicht für ganz unwahrscheinlich.

In der Folgezeit haben sich Kliniker und Röntgenologen der Erforschung der Bandscheibenverkalkungen angenommen. Manche gaben einem Trauma die Schuld (oder wenigstens die Mitschuld) am Entstehen aller oder gewisser Formen von Verkalkung (*Barony und Polgar Galli Lyon Row und Mentzingen Schapiro u. a.*). Von anderer Seite werden die Bandscheibenverkalkungen für rein degenerative Vorgänge gehalten, die sich unter Umständen an eine lang dauernde Überbelastung anschließen (*Horowitz Israel* und *Pollak Kohlman Kronenberger Vorla Parkecchio Pri exitz*) und auch im Zusammenhang mit einer Spondylarthritis ankylopoetica (Kap. VII C 2) vorkommen (*Erdmann*). Wieder andere Untersucher machen entzündliche Vorgänge dafür verantwortlich und finden bei Bandscheibenverkalkungen im gleichen Bereiche der Wirbelsäule Knochenschmerz, Rötung und Schwellung über den Dornfortsätzen, Bewegungseinschränkung u. a. (*Barony und Polgar de Bernardi Lucan Lyon Fogler*). *Fiedler* möchte die Verkalkung der Bandscheiben nach generalisierter infektiöser Erkrankung als eigenes Krankheitsbild auf 1 von 2 II 11 teilt nach einer Zusammenfassung des Schrifttums die Verkalkungen der Zwischenwirbelscheiben in eine chronisch degenerative und eine entzündlich rheumatische Form ein. Die chronisch-degenerative Form wird häufiger gefunden (meist bei älteren Menschen) und sitzt



Abb. 302. (Lichtbild einer horizontal durchgeschnittenen Brustbandscheibe) Verkalkung im Gallertkern. Heller Kalkraum auf den Zotten.



Abb. 303 (Vertikale Röntgenaufnahme) Ausgedehnte wolkig fleckige Verschattung (Verkalkung) der 3. Lendenbandscheibe im Bereich des Gallertkerngebietes mit ebener zeigefingerartigen Ausläufer nach vorn.



Abb. 304 (Vertikale Röntgenaufnahme einer Hälfte der in der Sagittalebene durchgezogen Brustwirbelsäule einer 55-jährigen Frau) Wolkige zum Teil zwercheibelförmig angeordnete Verschattungen (Kalkherde) in der übereinanderliegenden Zwischenwirbelscheiben im Gallertkerngebiet

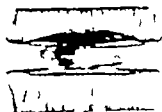


Abb. 305 (links) Röntgenaufnahme der Brustwirbelsäule einer 52-jährigen Frau nach der Kaputtaler Strahleneingung Wolkige fleckige Verschattung (Verkalkung), die das ganze (11) Bandscheibe einnimmt



Abb. 306 (Mitte) Vertikale Röntgenaufnahme derselben Brustwirbelsäule

Abb. 307 (rechts) Vertikale Röntgenaufnahme der 6. Brustbandscheibe einer 50-jährigen Frau, die das Gallertkerngebiet wesentlich öfter als in Abb. 305

bevorzugt in der mittleren Brust- und oberen Lendenwirbelsäule. Die entzündlich-rheumatische Form ist seltener kommt öfter bei Kindern und jugendlichen Menschen vor und sitzt häufiger in den oberen Wirbelkolumnenabschnitten (*Marr Schorr und Adler Silverman u. a.*) Sie kann sich auch wieder zurückbilden, wie Röntgenuntersuchungen zeigen (*Brown Klar Kohlmann, Lyon*). Auf Grund einiger mitgeteilter Befunde scheinen auch Blutungen in die Zwischenwirbelscheiben einer Verkalkung unterliegen zu können (*Rose und Mentzgen*) Gallertkernverkalkung bei Herpes zoster beschreibt *Krieg*.

Verkalkungen kommen nicht nur im Gallertkern vor sondern sitzen noch häufiger als kleine Kalkflecken im Faserring *Rathke* hat das Schmorleche Untersuchungsgerät daraufhin durchgesehen und die Zwischenwirbelscheiben in

Horizontalschnitten untersucht. Bei 71 v. H. aller Wirbeln fanden sich Verkalkungen im Faserring und bei 6,6 v. H. im Gallertkern. In höheren Lebensaltern werden sowohl im Faserring als auch im Gallertkern mehr Verkalkungen gefunden. Die im Alter von 30–50 Jahren untersuchten Wirbeln zeigten 41 v. H. und in späteren Lebensaltern 87 v. H. Gallertkernverkalkungen. Sowohl Kalkteinlagerungen im Faserring als auch im Gallertkern können vereinzelt oder an mehreren Stellen bei einer Wirbelsäule vorkommen. Auch an einer Zwischenwirbelscheibe finden sich bisweilen mehrere in verschiedenen Teilen des Querschnittes unregelmäßig verstreute Kalkteinlagerungen (Abb. 310).

In sagittalen oder horizontalen Durchschnitten von Zwischenwirbelscheiben erscheinen Gallertkernverkalkungen als fein bröckelige weiße Einlagerungen im Spaltwerk der Gallertkernhöhle (Abb. 302) Röntgenaufnahmen solcher Fälle (Abb. 303–306) ergeben fast die gleichen Bilder wie man sie mit Einspritzung schattengegebender Flüssigkeit in die Gallertkernhöhle erhält (Abb. 37–35). Der Kalk hat sich auf den Zotten und in den Buchten der Höhlen festgesetzt. Die Verkalkungen im Faserring, die man am besten auf Horizontalschnitten untersucht sind unregelmäßig im Faserring verteilt (Abb. 310). Meist sitzen sie als Ausfüllungen in kleinen Einsinken oder Nekrosen des Faserringes. Sie können sich

über die ganze Bandscheibe verteilen (Abb. 308, 309). Beziehungen der Verkalkungen zu Blutgefäßverwucherungen und auch Beziehungen zwischen Blutungen in die Gallertkernhöhlen und Verkalkungen sind noch nicht eingehend untersucht.

Die Fragen, wie weit Verkalkungen in den Zwischenwirbelscheiben mit Rückenbeschwerden zusammengebracht werden müssen, sind im klinischen Schrifttum vielfach erörtert, aber noch nicht mit Sicherheit entschieden worden. *Amorosi, Arkhows, Fox, Gendreau* mit *Jatras* und *Dufresne*, *Guliani, Guichard* und *Simon, Morel* und *Roderer, Ostapowicz, Petit, Dutailly, Riedema* und *Keiser*, *Zentlin, Zuppa* und die vorher genannten Bearbeiter.

E. Einlagerungen anderer Gewebearten

1. Fibröses Gewebe

Herdförmige Einlagerungen von fibrösem Gewebe werden in den Zwischenwirbelscheiben häufig beobachtet. *Schmorl* hat solche Herde als erster ausführlich beschrieben. Sie sitzen meist im Gallertkerngebiet. Ihre Ausdehnung läßt sich am besten auf horizontalen Schnittflächen erkennen.

Abb. 304 (links). (Reithische Röntgenaufnahme der Lendenwirbelsäule einer 73-jährigen Frau.) Unregelmäßige wolkige erscheinende große Schattenherde (Verkalkungen) in den drei untersten Lendenband-scheiben, die zum Teil im Gebiet des Kalkkerns, zum Teil im Gebiet des Fasernkerns liegen. An der 4. Lendenband-scheibe ein kleiner verkalkter Bandscheiben- oder Fall nach hinten oben.



Abb. 309 (rechts). (Reithische Röntgenaufnahme einer Hälfte der in der Sagittalebene durchdrungenen Lendenwirbelsäule einer 78-jährigen Frau.) Ausgedehnte, verschiedene große Schattenherde (Verkalkungen) in allen Teilen der Zwischenwirbelscheiben. An der 4. Lendenband-scheibe ragt verkalkter Bandscheibenanteil spinnenförmig in den Wirbelkanal hinein. Hoch gradige Osteoporose.

Abb. 310 (links). (Röntgenaufnahme einer mit den 11 umgebenen Wirbelkörpern horizontal aus der Wirbelsäule herausgenommenen 3. Lendenband-scheibe von einem 82-jährigen Mann.) Zahlreiche fleckige Verschattungen (Verkalkherde) in verschiedenen Teilen der Zwischenwirbelscheibe.

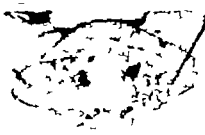


Abb. 311 (rechts). (Leichtbild der Horizontalschnittfläche durch Zwischenwirbelscheibe.) Das Gebiet des Gallertkerns ist mit weißem, dichten, knäuelhaftem Gewebe durchsetzt (fibröser Degeneration des Gallertkerns).



Abb. 302. (Seitliche Röntgenaufnahme) Ausgedehnt wolkenförmige Verschattung (Verkalkung) des 2. Lendenbogens im Bereich des Gallertkerngebietes mit einem selbsterartigen Ausläufer nach vorn.



Abb. 304. (Seitliche Röntgenaufnahme einer Halswirbelsäule einer 58-jährigen Frau.) Wolkenförmige Verschattung (Verkalkung) im Bereich des Gallertkerngebietes.

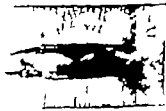
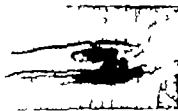
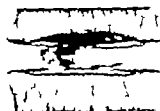


Abb. 305 (links) (Röntgenaufnahme der Brustwirbelsäule einer 53-jährigen Frau nach Abtragung der Wirbelbögen) Sagittaler Strahlengang. Wolkenförmige Verschattung (Verkalkung), die das ganze Gallertgebiet der 10. Brustbogenscheibe einnimmt.

Abb. 306 (Mitte) Seitliche Röntgenaufnahme derselben Brustwirbelsäule wie Abbildung 305, zeigt die Verkalkung der Bandscheibe.

Abb. 307 (rechts). (Seitliche Röntgenaufnahme der 8. Brustbogenscheibe einer 50-jährigen Frau) Verkalkung der Bandscheibe, die das Gallertkerngebiet wesentlich überdeckt.

befördert in der mittleren Brust- und oberen Lendenwirbelsäule. Die entzündlich rheumatische Form ist seltener kommt öfter bei Kindern und jugendlichen Menschen vor und tritt häufiger in den oberen Wirbelsäulenabschnitten (*Mars, Schorr und Adler Silbermann u. a.*) Sie kann sich auch wieder zurückbilden, wie Röntgenuntersuchungen zeigen (*Baron Klar Köhlmann, Lyon*). Auf Grund einiger mitgeteilter Befunde scheinen auch Blutungen in die Zwischenwirbelscheiben einer Verkalkung unterliegen zu können (*Ross und Mentzen*). Gallertkernverkalkung bei Herpes zoster beschreibt *Krieger*.

Verkalkungen kommen nicht nur im Gallertkern vor sondern sitzen noch häufiger als kleine Kalkflecken im Faserring. *Ruttko* hat das Schmorleche Untersuchungsutensil daraufhin durchgesehen und die Zwischenwirbelscheiben in Horizontalschnitten untersucht. Bei 71 v. H. aller Wirbelsäulen fanden sich Verkalkungen im Faserring und bei 6,5 v. H. im Gallertkern. In höheren Lebensaltern werden sowohl im Faserring als auch im Gallertkern mehr Verkalkungen gefunden. Die im Alter von 30–50 Jahren untersuchten Wirbelsäulen zeigten 41 v. H. und in späteren Lebensaltern 87 v. H. Gallertkernverkalkungen. Sowohl Kalkablagerungen im Faserring als auch im Gallertkern können vereinzelt oder an mehreren Stellen bei einer Wirbelsäule vorkommen. Auch an einer Zwischenwirbelscheibe finden sich bisweilen mehrere in verschiedenen Teilen des Flächenschnittes unregelmäßig verstreute Kalkablagerungen (Abb. 310).

In sagittalen oder horizontalen Durchschnitten von Zwischenwirbelscheiben erscheinen Gallertkernverkalkungen als fein brockelige weiße Einlagerungen im Spaltwerk der Gallertkernhöhle (Abb. 302) Röntgenaufnahmen solcher Fälle (Abb. 303–306) ergeben fast die gleichen Bilder wie man sie mit Einspeitzung schattengebender Flüssigkeit in die Gallertkernhöhle erhält (Abb. 33–35). Der Kalk hat sich auf den Zotten und in den Buchten der Höhlen festgesetzt. Die Verkalkungen im Faserring, die man am besten auf Horizontalschnitten untersucht, sind unregelmäßig im Faserring verteilt (Abb. 310). Meist sitzen sie als Ausfüllungen in kleinen Einrisen oder Nekrosen des Faserrings. Sie können sich

über die ganze Bandscheibe verteilen (Abb. 308-309). Beziehungen der Verkalkungen zu Blutgefäßneubildungen und auch Beziehungen zwischen Blutungen in die Gallertkernhöhlen und Verkalkungen sind noch nicht eingehend untersucht.

Die Fragen, wie weit Verkalkungen in den Zwischenwirbelscheiben mit Rückenbeschwerden zusammengebracht werden müssen, sind im klinischen Schrifttum vielfach erörtert, aber noch nicht mit Sicherheit entschieden worden. *Ammon, Ariaborn, Fox, Gendreau, mit Jalras und Dufrane, Guillemin, Guischard und Simon, Morel und Roderer, Ostapowicz, Petit, Duhallia, Rietema und Keizer, Zeilins, Zuppa* und die vorher genannten Bearbeiter.

E. Einlagerungen anderer Gewebearten

1. Fibröses Gewebe

Herdförmige Einlagerungen von fibrösem Gewebe werden in den Zwischenwirbelscheiben häufig beobachtet. *Schworf* hat solche Herde als erster ausführlich beschrieben. Sie sitzen meist im Gallertkerngebiet. Ihre Ausdehnung läßt sich am besten auf horizontalen Schnittflächen erkennen.

Abb. 309 (links). (Röntgen-Röntgenaufnahme der Lendenwirbelsäule einer 73-jährigen Frau.) Unregelmäßige, wolkenartige, verschieden große Schattenherde (Verkalkungen) in den drei untersten Lendenbänderchen, die zum Teil im Gebiet des Nukleus, zum Teil im Gebiet des Faserzuges liegen. An der 4. Lendenbändercheibe ein kleiner, erkalter Bandscheibenvorfall nach hinten-oben.



Abb. 308 (rechts). (Röntgen-Röntgenaufnahme einer Hälfte der in der Sagittalebene durchgesägten Lendenwirbelsäule einer 78-jährigen Frau.) Ausgedehnte, verschieden große Schattenherde (Verkalkungen) in allen Teilen der 2. bis 6. Lendenbänderchen. An der 4. Lendenbändercheibe ragt erkalter Bandscheibenvorfall kappenförmig in den Wirbelkanal hinein. Hochgradige Osteoporose.

Abb. 310 (links). (Röntgenaufnahme einer mit den angrenzenden Wirbelkörpern horizontal aus der Wirbelsäule herausgesägten 3. Lendenbändercheibe von einem 27-jährigen Mann.) Zahlreiche fleckige Verschattungen (sog. Kalkherde) im verschiedenen Teilen der 2. bis 6. Lendenbänderchen.



Abb. 311 (rechts). (Lichtbild der Horizontal-schnittfläche durch Zwischenwirbelscheibe.) Das Gebiet des Gallertkerns ist mit weißem, dichten, knorpelartigem Gewebe durchsetzt (fibröse Degeneration des Gallertkerns).



Abb. 312. (Mikrophotogramm der Sagittalschnittfläche durch eine Zwischenwirbelscheibe.) Umwandlung des Zwischenwirbelscheibengewebes in fibröses Gewebe mit Zwischenlagerungen einzelner Blutgefäße. Knorpelplatten fehlen bis auf einen kleinen Rest links oben im Bild.

aus dem Rückenmarkkanal in die Zwischenwirbelscheiben ein. Wahrscheinlich sind es Schädigungen des Zwischenwirbelscheibengewebes (Auflockerung, kleine Nekrosen) die das Einwuchern der Gefäße und des Bindegewebes veranlassen. Immer geht der fibrösen Umwandlung eine Einsprossung zarter Gefäßblümchen voraus. Manchmal ist das gesamte Zwischenwirbelscheibengewebe bis auf wenige Reste im Bereich der äußersten Faserringschichten durch fibröses Gewebe ersetzt (Abb. 312). Der Zwischenwirbelraum ist dann auffallend niedrig. Dabei können die Knorpelplatten, selbst bei hochgradiger fibröser Umwandlung des gesamten Zwischenwirbelscheibengewebes, gut erhalten bleiben. Das wenig elastische, straffe fibröse Gewebe klammert die beiden Wirbelkörper fast unbeweglich aneinander. Ist dies nur in einer Zwischenwirbelscheibe der Fall, dann hat es keine allzu große Bedeutung für die Lastungs- und Bewegungsfähigkeit der Wirbelsäule. Oft zeigen

(Abb. 311) wo sie als weißlich glänzende, scharfrandig gegen das Zwischenwirbelscheibengewebe abgesetzte Herde von dichtem Gefüge erscheinen. Das fibröse Gewebe besitzt nur eine mangelhafte Elastizität. Auf Schnitten in der Pfeilnahtebene erkennt man schon mit bloßem Auge, oft aber erst bei mikroskopischer Untersuchung, daß das fibröse Gewebe durch feine Spalten der Knorpelplatte aus den anliegenden Markräumen des Wirbelkörpers her eingedrungen ist (Abbildung 316). Dabei werden gelegentlich Schwämme Knötchen als Wegbereiter benutzt (Abb. 315). In manchen Fällen dringt das fibröse Gewebe auch von hinten her



Abb. 313 (links). (Lichtbild der Horizontalschnittfläche durch eine Zwischenwirbelscheibe.) Der Gallertkern ist durch ein von hinten her eingedringenes, gegen die Faserring scharf abgesetztes Gewebe ersetzt. Im frischen Präparat sieht dieses Gewebe dunkelrot aus, und es besteht aus dichtgedrängten Blutgefäßen (Vaskularisation).

Abb. 314 (rechts). Lichtbild mehrerer Horizontalschnittflächen von Zwischenwirbelscheiben aus der Lendenwirbelsäule eines 72-jährigen Mannes. Die ringförmige Schichtung des Faserrings ist nur noch stellenweise erhalten. Die schmalen, bogenförmigen und scharf begrenzten dunklen Felder sind in Verbindung begriffene, mit gefäß- und zellreichem Gewebe ausgefüllte, konzentrische Risse. (Obliterierende Vaskularisation im Faserring.)

aber zahlreiche übereinanderliegende Zwischenwirbelscheiben die gleichen Veränderungen, und man muß von einer fibrösen Versteifung der Wirbelsäule sprechen (Claus, Schworl). Am häufigsten tritt die Einwucherung von Bindegewebe in die Zwischenwirbelscheiben ein, wenn degenerative Zerstörungen vorliegen (Chondrosen). Das Bindegewebe dient als Füllgewebe zur „Anheilung“ der Zermürbungen und Spaltbildungen (S. 184, 191). Im Röntgenbild ist stets eine Abnahme der Zwischenwirbelscheiben nachweisbar (vgl. S. 188, 191).

2. Blutgefäße

Neben den geringen Blutgefäßbildungen, die zusammen mit der Einwucherung von fibrösem Gewebe vorkommen, finden sich häufig Zwischenwirbelscheiben mit ausgedehnten Blutgefäßwucherungen (Vaskularisationen Abb. 313–314). Sie können in der gleichen Weise wie das fibröse Gewebe durch Löcken in den Knorpelplatten oder von hinten her in das Bandscheibengewebe eindringen und sind meist mit einem lockeren Bindegewebe vereinigt (Abb. 315). Die einzelnen Vaskularisationsherde sehen auf den Schnittflächen dunkelrot aus und sind scharf, meist beckenförmig gegen das regelrechte Zwischenwirbelscheibengewebe abgegrenzt (Abbildung 316). In ihrem Bereich ist die regelrechte Schichtung des Bandscheibengewebes aufgehoben. Etwas seltener als im Gallertkerngebiet finden sich herdförmige Gefäßeinwucherungen im Faserring. Sie sind gartlandenartig angeordnet (Abb. 314) und als Anheilungszustände von konzentrischen Rissen im Faserring anzusehen. Im Röntgenbild treten die Vaskularisationen nicht in Erscheinung.

3. Knochengewebe

Die beschriebenen Einwucherungen von Bindegewebe und Blutgefäßen in die Zwischenwirbelscheiben sind häufig von einer Knochenbildung begleitet, die wohl dadurch zu Stande kommt, daß mit dem Bindegewebe auch knochenbildende Zellen einwandern (Abb. 317–319). Größere oder kleine Herde haben meist eine deutliche Spongiaszeichnung und sind im Röntgenbild nicht schwer von Kalkherden zu unterscheiden. Differenzialdiagnostische Schwierigkeiten können aber gegenüber den Randwülsten der Spinalkanaldeformen entstehen, wenn man vernachlässigt, Aufnahmen in mehreren Ebenen anzufertigen (Abb. 318–320).

Die Zwischenwirbelscheiben vollkommen durch eingelegtes Knochengewebe ersetzt sein

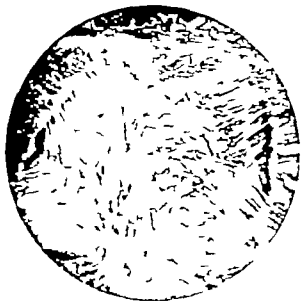


Abb. 313.

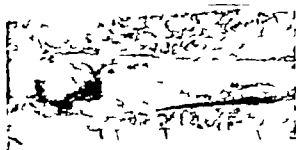


Abb. 314.

Abb. 313 (Mikrophotogramm der Sagittalsektion durch den Gallertkern einer Zwischenwirbelscheibe). Die Gallertkernzone ist durch Einwucherung von zahlreichen Blutgefäßen mit lockeren Bindegewebe ersetzt. Die Vaskularisation dringt von unten her durch ein Knorpelriss ein und durch einen Riss in Verbindung mit den Kollagenmarkfasern.

Abb. 314 (Längsschnitt durch die Bogenbogenscheitel eines Mannes im mittleren Alter). Die Bogenbogenscheitel ist teilweise von Gallertkern aus ersetzt durch knorpeligen Kollagen Gewebe mit Einfluß von zahlreichen Blutgefäßen (Vaskularisation), deren Endknospen faserig aus und unten sichtbar sind.



Abb. 312. (Mikrophotogramm der Sagittalschnittfläche durch eine Zwischenwirbelscheibe) Umwandlung des Zwischenwirbelscheibengewebes in fibröses Gewebe mit Zwischenlagerungen einzelner Blutgefäße. Knorpelplatten fehlen bis auf einen kleinen Rest links oben im Bild.

aus dem Rückenmarkkanal in die Zwischenwirbelscheiben ein. Wahrscheinlich sind es Schädigungen des Zwischenwirbelscheibengewebes (Auflockerung, kleine Nekrosen) die das Einweichen der Gefäße und des Bindegewebes veranlassen. Immer geht der fibrösen Umwandlung eine Einsprossung harter Gefäßblümchen voraus. Manchmal ist das gesamte Zwischenwirbelscheibengewebe bis auf wenige Reste im Bereich der äußersten Faserringschichten durch fibröses Gewebe ersetzt (Abb. 312). Der Zwischenwirbelraum ist dann auffallend niedrig. Dabei können die Knorpelplatten, selbst bei hochgradiger fibröser Umwandlung des gesamten Zwischenwirbelscheibengewebes, gut erhalten bleiben. Das wenig elastische straffe fibröse Gewebe klammert die beiden Wirbelkörper fast unbeweglich aneinander. Ist dies nur in einer Zwischenwirbelscheibe der Fall, dann hat es keine allzu große Bedeutung für die Leistungs- und Bewegfähigkeit der Wirbelsäule. Oft zeigen

(Abb. 311) wo sie als weißlich glänzende scharfrandig gegen das Zwischenwirbelscheibengewebe abgesetzte Herde von dichtem Gefüge erscheinen. Das fibröse Gewebe besitzt nur eine mangelhafte Elastizität. Auf Schnitten in der Pfeilnahtebene erkennt man schon mit bloßem Auge, oft aber erst bei mikroskopischer Untersuchung, daß das fibröse Gewebe durch feine Spalten der Knorpelplatte aus den anliegenden Markräumen des Wirbelkörpers her eingedrungen ist (Abbildung 316). Dabei werden gelegentlich Schmorlsche Knötchen als Wegbereiter benutzt (Abb. 315). In manchen Fällen dringt das fibröse Gewebe auch von hinten her



Abb. 313 (links) Lichtbild der Horizontalschnittfläche durch eine Zwischenwirbelscheibe. Der Gallertkern ist durch ein von hinten her eingedrungenes, gegen den Faserring scharf abgesetztes Gewebe ersetzt. Im frischen Präparat sieht dieses Gewebe dunkelrot aus, und es besteht aus dichtgedrängten Blutgefäßen (Vaskularisation).



Abb. 314 (rechts) Lichtbild mehrerer Horizontalschnittflächen vom Zwischenwirbelscheiben aus der Lendenwirbelsäule eines 72-jährigen Mannes. Die ringförmige Schichtung des Faserrings ist nur noch stellenweise erhalten. Die schmalen, bogenförmigen und scharf begrenzten dunklen Felder sind in Verbindung begriffen mit gelb- und zellreichem Gewebe ausgefüllte, konzentrische Risse (Girlandenförmige Vaskularisation im Faserring).

aber zahlreiche übereinanderliegende Zwischenwirbelscheiben die gleichen Veränderungen, und man muß von einer fibrösen Versteifung der Wirbelsäule sprechen (*Grat., Schmorl*). Am häufigsten tritt die Einwucherung von Bindegewebe in die Zwischenwirbelscheiben ein wenn degenerative Zerstörungen vorliegen (*Chondrosis*). Das Bindegewebe dient als Füllgewebe zur „Ausheilung“ der Zermürkungen und Spaltbildungen (S. 184–191). Im Röntgenbild ist stets eine Abnahme der Zwischenwirbelscheibenhöhe nachweisbar (vgl. S. 186–191).

2. Blutgefäße

Neben den geringen Blutgefäßabbildungen, die zusammen mit der Einwucherung von fibrösem Gewebe vorkommen, finden sich häufig Zwischenwirbelscheiben mit ausgedehnten Blutgefäßwucherungen (Vaskularisationen Abb. 313–314). Sie können in der gleichen Weise wie das fibröse Gewebe durch Lücken in den Knorpelplatten oder von hinten her in das Bandscheibengewebe eindringen und sind meist mit einem lockeren Bindegewebe vereint (Abb. 315). Die einzelnen Vaskularisationsherde sehen auf den Schnittflächen dunkelrot aus und sind scharf meist linsenförmig gegen das regelrechte Zwischenwirbelscheibengewebe abgegrenzt (Abbildung 316). In ihrem Bereich ist die regelrechte Schichtung des Bandscheibengewebes aufgehoben. Etwas seltener als im Gallertkerngebiet finden sich herdförmige Gefäßwucherungen im Faserring. Sie sind gürlandenartig angeordnet (Abb. 314) und als Ausheilungszustände von konzentrischen Rissen im Faserring anzusehen. Im Röntgenbild treten die Vaskularisationen nicht in Erscheinung.

3. Knochengewebe

Die beschriebenen Einwucherungen von Bindegewebe und Blutgefäßen in die Zwischenwirbelscheiben sind häufig von einer Knochenbildung begleitet, die wohl dadurch zustande kommt, daß mit dem Bindegewebe auch knochenbildende Zellen einwandern (Abb. 317–318). Größere solche Herde haben meist eine deutliche Knochensprossung und sind im Röntgenbild nicht schwer von Kalkherden zu unterscheiden. Differentialdiagnostische Schwierigkeiten können aber gegenüber den Randwülsten der Spondylitis deformans entstehen wenn man versucht, Aufnahmen in mehreren Ebenen anzufertigen (Abb. 318–320).

Daß Zwischenwirbelscheiben vollkommen durch kognes Knochengewebe ersetzt sein

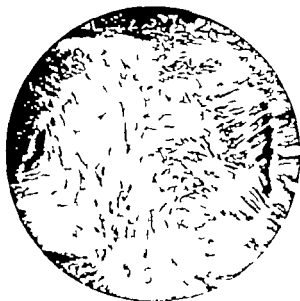


Abb. 313.

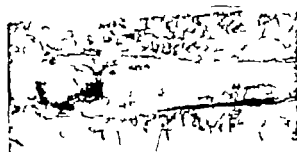


Abb. 316

Abb. 313 (Mikrophotogramm der Kapitalschnittfläche des Gallertkerns einer Zwischenwirbelscheibe). Die Gallertkernwucherung ist durch eine Wucherung von kleinen Blutgefäßen mit lockeren Bindegewebe ersetzt. Das Vaskulärnetz ist dünn, es treten hier durch ein Knorpelstück ein. Auch oben tritt in Verbindung mit den Knochenmarkgefäßen.

Abb. 316 (Längsschnitt durch die Bandscheibe einer Zwischenwirbelscheibe). Die Bandscheibengewebe ist besonders im Gallertkerngebiet ersetzt durch faseriges fibrilläres Gewebe mit einem Haufen von kleinen Blutgefäßen (Vaskulärnetz), deren Einwucherung oben und unten sichtbar ist.

können haben wir bei den Blockwirbelbildungen besprochen, und es wurden auch schon angeborene Synostosen von Wirbelkörpern erwähnt, bei denen sich noch ein kleiner Zwischenwirbelscheibenrest erhalten kann, dessen Vorhandensein im Röntgenbild sichtbar ist (Abb. 46). Meist ist dann die Gegend des Faserringes mit Spongiosa durchsetzt, während in der Mitte des Bandscheibenraumes Gallertkerngewebe liegt.



Abb. 317 (links). (Seitliche Röntgenaufnahmen von flachen, in der Sagittalebene aus der Wirbelsäule eines 64-jährigen Mannes herausgerissenen Scheiben.) Einwucherung kleiner spongioser Knochenzapfen von den Wirbelkörpern her in die Zwischenwirbelscheiben.

Abb. 318 (rechts). (Seitliche Röntgenaufnahme einer Hälfte der in der Sagittalebene durchgesägten Wirbelsäule eines 66-jährigen Mannes.) In dem oberen Zwischenwirbelraum von beiden Wirbelkörpern her kommende höckerige Verschattung mit Spongiosazeichnung. Im unteren Zwischenwirbelraum ähnliche Verschattungen, die von oben her in den Zwischenwirbelraum hineinzuwachsen scheinen. Im oberen handelt es sich um Verknöcherungen, die von den Wirbelkörpern her in den Bereich des Gallertkerns hineinragen, im unteren ber um Projektion von Bandscheiben, die sich von oben seitlich her in den Zwischenwirbelraum hineinprojizieren (vgl. auch Abb. 323).

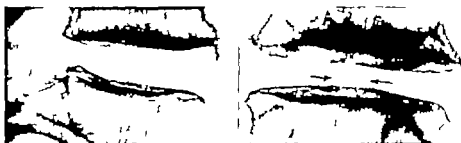


Abb. 319 (links). (Seitliche Röntgenaufnahme der Wirbelsäule eines 70-jährigen Mannes.) Einlagerung eines kleinen Knochenstachels im Faserring der 3. Lendenbandscheibe nahe der Vorderkante des 4. Lendenwirbels. An der unteren Kante des 3. Lendenwirbelkörpers sind von nach seitlich einige Bandscheiben entwickelt.

Abb. 320 (rechts). Röntgenaufnahme desselben Zwischenwirbelschnittes nach Abtragen der Wirbelbögen. Sagittaler Strahlengang.) Die kleine ganz hakenähnliche, im Faserring der Zwischenwirbelscheibe, nahe der Vorderkante des 4. Lendenwirbels liegende Knocheneinlagerung ist durch Pfeile bezeichnet.

Verknöcherungen im Faserring vorn, die die beiden übereinanderliegenden Wirbelkörper fest verbinden sind bei der Besprechung der traumatischen Schädigungen der Wirbelkörperperipherie schon angeführt (Abb. 170–183). Im Abschnitt über die Alterskyphose werden nochmals derartige Vorgänge geschildert (S. 238/239).

Auch bei Ausheilungszuständen und Zerstörungen der Zwischenwirbelscheiben durch entzündliche Vorgänge oder durch Verletzungen kommen mehr oder weniger ausgedehnte Knochenablagerungen im Bandscheibenraum vor (Abb. 335). Auf Schnittflächen finden sich in solchen Fällen oft Reste von Zwischenwirbelscheibengewebe, das in unregelmäßiger Verteilung im früheren Band

können haben wir bei den Blockwirbelbildungen besprochen, und es wurden auch schon angeborene Synostosen von Wirbelkörpern erwähnt bei denen sich noch ein kleiner Zwischenwirbelscheibenrest erhalten kann, dessen Vorhandensein im Röntgenbild sichtbar ist (Abb. 46). Meist ist dann die Gegend des Faserrings mit Spongiosa durchsetzt, während in der Mitte des Bandscheibenraumes Gallertkerngewebe liegt.



Abb. 317 (links). (Seitliche Röntgenaufnahme von flachen, in der Sagittalebene aus der Wirbelsäule eines 64-jährigen Mannes herausragenden Scheiben.) Einwucherung kleiner spongioser Knochenzapfen von den Wirbelkörpern her in das Zwischenwirbelscheiben.

Abb. 318 (rechts). (Seitliche Röntgenaufnahme einer Hälfte der in der Sagittalebene durchgesägten Wirbelsäule eines 66-jährigen Mannes.) In dem oberen Zwischenwirbelscheibenraum auf beiden Wirbelkörpern her kommende höckerartige Verschattung mit Spongiosastruktur. Im unteren Zwischenwirbelscheibenraum ähnliche Verschattungen, die von oben her in den Zwischenwirbelscheibenraum hineinzuragen scheinen. Im oberen handelt es sich um Verknocherungen, die von den Wirbelkörpern her in den Bereich des Gallertkerns hineinragen, im unteren aber um Projektionen von Bandskieten, die sich von oben seitlich her in den Zwischenwirbelscheibenraum hineinprojizieren (vgl. auch Abb. 323).

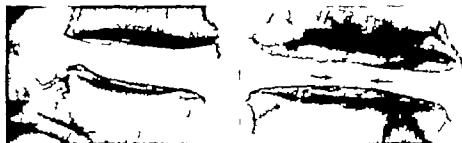


Abb. 319 (links). (Seitliche Röntgenaufnahme der Wirbelsäule eines 70-jährigen Mannes.) Einlagerung eines kleinen Knochenstückes im Faserring des 3. Lendenbändelscheibes, nahe der Vorderkante des 4. Lendenwirbels. An der unteren Kante des 3. Lendenwirbelkörpers sind vorn und seitlich einige Randwulste ent. (siehe).

Abb. 320 (rechts). Röntgenaufnahme desselben Zwischenwirbelscheibens nach Abtragen der Wirbelbögen. Sagittaler Strahlengang.) Die kleine knorpelartige Struktur im Faserring der Zwischenwirbelscheibe nahe der Vorderkante des 4. Lendenwirbels. Begrenzte Knocheninlagerung ist durch Pfeile bezeichnet.

Verknocherungen im Faserring vorn, die die beiden übereinanderliegenden Wirbelkörper fest verbinden, sind bei der Besprechung der traumatischen Schädigungen der Wirbelkörpermarginalien schon angeführt (Abb. 179–183). Im Abschnitt über die Alterskyphose werden nochmals derartige Vorgänge geschildert (S. 239/240).

Auch bei Anschwellungszuständen und Zerstörungen der Zwischenwirbelscheiben durch entzündliche Vorgänge oder durch Verletzungen kommen mehr oder weniger ausgeprägte Knocheninlagerungen im Bandscheibenraum vor (Abb. 335). Auf Schnittflächen finden sich in solchen Fällen oft Reste von Zwischenwirbelscheibengewebe, das in unregelmäßiger Verteilung im früheren Bandscheibenraum liegt.

bar (Abb 322 oberes Knochenstück). Daß sie außerdem neben typischen, von den Wirbelkörpern ausgehenden Zacken der Spondylosis deformans auftreten können, zeigt Abb 319. Durch Aufnahmen in zwei Ebenen vermeidet man Verwechslungen (Abb 323) mit Knochenböckern, die von der Wirbelkörperendfläche ausgehen.

Besondere Aufmerksamkeit verdient das Verhalten dieser kleinen Knocheneinlagerungen in den Faserringen zu den Wirbelkörperendleisten. Aus unseren Beschreibungen und Abbildungen geht hervor, daß diese kleinen Knochenstücke in den äußeren Schichten des Faserrings liegen, sich also zwischen den Endleisten der beiden benachbarten Wirbelkörper ausbilden. In mehreren



Abb. 324. (Schlechte Röntgenaufnahme der Wirbelsäule eines 62-jährigen Mannes.) Bogenförmige Knocheneinlagerung im Faserring der 5. Lendenwirbelscheibe, nahe der Vorderkante des 5. Lendenwirbelkörpers, die in der Projektion als dreieckiges Knochenfeld erscheint; ganz leicht Abrundung der unteren Vorderkante des 5. Lendenwirbels.

Fällen konnten wir durch Maseration die Knochenstücke aus der Zwischenwirbelscheibe herauslösen. Die dadurch freigelegte Wirbelkörperoberfläche wies eine normal entwickelte, regelrecht breite und hohe Endleiste auf. Eine Verknöcherungstörung im Bereiche der Endleiste liegt also nicht vor. In einigen Fällen zeigte die unter einem solchen Knochenstück liegende Endleiste allerdings geringe Abflachung (Abb 324) und gewisse Rauigkeit. Sie war aber trotzdem noch als geschlossener Ring vorhanden. In allen diesen Fällen kann das Knochenstückchen sich nicht auf Grund einer Verknöcherungstörung von der Endleiste abgelöst haben. Wir möchten vielmehr annehmen, daß die Abflachung und Rauigkeit an der Oberfläche der Endleiste ihre Ursache in einem gewissen mechanischen Reiz hat, den das in dem Faserring eingelagerte Knochenstück bei Bewegungen auf die unter ihm liegende Endleiste ausübte. Janker schließt aus dem Vorhandensein der abgerundeten Wirbelkörperkanten unter solchen kleinen Knocheneinlagerungen im Faserring, daß dieses Knochenstück eine infolge Verknöcherungstörung abgelöste Endleiste sein müßte. Diese Ansicht findet in unseren Untersuchungen keine Stütze. Die Abrundung

der vorderen Wirbelkörperkante ist eine Folge des sich bewegenden und auf der Wirbelkörperendleiste reibenden Knochenstückchens.

Ob bei der Bildung dieser kleinen Knocheneinlagerungen im Faserring Traumen eine Rolle spielen, kann nicht sicher entschieden werden. Sie entstehen in kleinen, wahrscheinlich durch Degenerationen bedingten Nekrosen und Spaltbildungen im Lamellenring, die durch Einsprossen von Blutgefäßen oder Bindegewebe und schließlich auch durch Bildung von Knochengewebe ausheilen können (vgl. Kap IV D 1 S 184, 191).

F Traumen

1. Verletzungen der Zwischenwirbelscheiben (ohne Wirbelkörperbruch)

Durch traumatische Schädigungen der Wirbelsäule sind Verletzungen von Zwischenwirbelscheibengewebe möglich, ohne daß einer der beiden anliegenden Wirbelkörper mitverletzt zu sein braucht („isolierte Bandscheibenverletzung“). Das haben unsere pathologisch-anatomischen Reihenuntersuchungen häufig gezeigt. Derartige reine Bandscheibenverletzungen können sich an Wirbelsäulen abspielen, die bei einem Trauma keinerlei Knochenlücke oder Wirbelfluxationen davongetragen haben. Häufiger sieht man aber an Wirbelsäulen mit Wirbelbrüchen Verletzungen von Zwischenwirbelscheiben entfernt vom Wirbelbruch. Dabei können die dem gebrochenen Wirbelkörper anliegenden Zwischenwirbelscheiben völlig unverletzt sein oder auch Mitverletzungen zeigen, wie sie im nächsten Abschnitt geschildert werden. Eine Aufstellung über die verschiedenen Möglichkeiten der Zwischenwirbelscheibenverletzungen gibt Übersicht 8.

ten bereits einen gewissen Übergang zu den Mitverletzungen der Bandscheibe bei Wirbelkörperbrüchen, weil mindestens kleine Einbrüche in der Wirbelkörperpongiosa dabei vorliegen.

In zahlreichen Versuchen an Leichenwirbelsäulen hat Göcke das Verhalten der Zwischenwirbelscheiben bei Verletzungen durch Druck, Schlag, Auseinanderrung, Überbiegung usw. untersucht. Seine im Versuch erzeugten Zustandsbilder entsprechen den Verhältnissen solcher Verletzungen beim Lebenden. Wie *Hirsch* und *Wackensma* durch ihre eingehenden Versuche beweisen konnten, bedarf es aber durchaus nicht immer großer Gewaltwirkungen, um Zwischenwirbelscheibenveränderungen zu erzeugen. Das kann schon durch kleine schnell eintretende Beanspruchungen geschehen (S. 18). Durch diese Versuchsergebnisse ist die Möglichkeit von „Übermüdungsschäden“ für das Zwischenwirbelscheibengewebe bewiesen (S. 163) und die Frage des

Initialtraumas (*Jungblum*) das in der Lage sein kann die langsam zunehmenden chronischen Schäden des Bandscheibengewebes einzuleiten, bedarf von dieser Seite her der weiteren Erforschung.

Wenn schon bei Betrachtung von Wirbelsäulenpräparaten oft die sichere Diagnose einer frischen Bandscheibenverletzung und ihre Abgrenzung von degenerativen Rißbildungen schwierig ist, so bestehen noch viel größere Schwierigkeiten bei der klinischen Diagnose der frischen isolierten Bandscheibenverletzung. Ihre klinische Erkennung ist nur in Ausnahmefällen möglich, da uns das Röntgenbild fast regelmäßig im Stich läßt. Kleinere frische Einrisse haben keinerlei röntgenologisch nachweisbare Zelen. Nur ausgedehnte Querquetschungen mit Austritt von Bandscheibengewebe aus dem Zwischenwirbelraum heraus lassen sich durch Höhenabnahme des Zwischenwirbelsraumes erkennen. Jedoch wird eine sichere Diagnose über die stattgehabte Bandscheibenverletzung nicht allein aus einem sofort nach dem Unfall aufgenommenen Röntgenbild zu stellen sein. In Abständen später aufgenommene Bilder werden erst an Hand der zu beobachtenden Veränderungen, über die anschließend gesprochen wird (S. 203) Rückschlüsse auf die traumatisch entstandene Verminderung der Zwischenwirbelscheibenhöhe zulassen. In seltenen Fällen ist die Diagnose einer schweren Zwischenwirbelscheibenverletzung möglich wenn im unmittelbaren Anschluß an ein Unfallgeschehen Schädigungen des Rückenmarks oder der austretenden Nerven entstehen, ohne daß größere Knochenbrüche oder kleine Knochenabprengungen nach hinten zu nachweisbar sind, und ohne daß eine weder zurückgeglittene Luxation vorgelegen haben kann. Dann ist die Annahme eines frischen traumatischen „Bandscheibenvorfalls nach hinten“ gerechtfertigt, wie verschiedentlich beobachtet wurde (vgl. Kap. IV C 2 S. 168).

Als seltene Präparate bewahrt die *Schmorl'sche* Sammlung Zwischenwirbelscheiben mit starken frischen Blutungen in die Gallertkornhöhle auf. Diese können dann entstehen, wenn krankhafte Gefäßwucherungen (S. 195) durch ein Trauma zerreißen.

Leider läßt sich ein wirklicher Überblick über die Häufigkeit der isolierten Bandscheibenverletzungen und auch der Mitverletzungen von Zwischenwirbelscheibengewebe bei Wirbelkörperbrüchen, Wirbeluxationen und Wirbelbogenbrüchen nicht erlangen. Pathologisch-anatomische Untersuchungen und zur Aufstellung einer derartigen Statistik nicht geeignet da die meisten Wirbelsäulenverletzungen nicht tödlich verlaufen, und weil bei Reibungsuntersuchungen von Wirbelsäulenpräparaten, wie sie im *Schmorl'schen* Institut durchgeführt wurden, meist nur Spätfolgen dieser Verletzungen mit so weitgehenden Überdeckungen durch Altersveränderungen und Degenerationen zu Gesicht kommen, und dann auch meist keine genaue Vorgeschichte zu erhalten ist. Klinische Statistiken können nicht errechnet werden, denn die sichere klinische Erkennbarkeit ist — wie oben ausgeführt — nur in wenigen besonders gelagerten Fällen möglich. Wir können auf Grund unserer Erfahrungen nur sagen, daß die Häufigkeit der traumatischen Bandscheibenverletzung bestimmt sehr viel größer ist als wir klinisch erkennen können und als bisher im allgemeinen angenommen wurde. Besonderer Sorgfalt bedarf daher jede Begutachtungsfrage die mit Wirbelsäulentraumen zusammenhängt, da die Zwischenwirbelscheibenverletzung oft nicht sofort sondern erst an den Folgezuständen erkennbar wird. Weitere Ausführungen und Schrifttum bei *Jungblum* im Handbuch der gesamten Unfallheilkunde 1935 Band 2, S. 320 ff.

2. Verhalten der Zwischenwirbelscheiben bei Wirbelkörperfrakturen, Wirbelbogenfrakturen und Wirbeldislocationen

Nach unserer Übersicht 8 können an Wirbelsäulen mit Wirbelkörperfrakturen an 11 entfernt vom Bruchgelenk Bandscheibenverletzungen vorkommen, die sich dann ganz so verhalten, wie das eben beschrieben wurde. Viel häufiger aber ist eine Mitverletzung der angrenzenden Wirbelkörper angrenzend den Zwischenwirbelscheiben, also Bandscheibenverletzung im Bruchgelenk. Wenn man hier

Abb. 228 (links). (Lichtbild der Sagittalschnittfläche einer Leodenswirbelsäule.) Durchbildet man von 4 Wirbelkörpern (hunkle Verfrakturierung) in Folge eines heftigen Kompressionsbruchs. 1 tiefe Wirbelkörperfraktur, an deren Stelle Zwischenwirbelscheibenverletzung, brennendartig (auf dem Traumat. über Bandscheibenverletzung (Fall)).



Abb. 229 (rechts). (Lichtbild der Sagittalschnittfläche der Leodenswirbelsäule eines 23-jährigen Mannes.) Zentrumsfraktur eines Wirbelkörpers mit Verfall von Zwischenwirbelscheibengewebe an den beiden angrenzenden Zwischenwirbelscheiben. Im darüberliegenden Wirbelkörper kleines Schmelzen des Knochens mit Knochenbildung.



Abb. 230 (links). (Lichtbild der Sagittalschnittfläche der Leodenswirbelsäule einer 23-jährigen Frau.) Kompressionsfraktur des 2. Leodenswirbelkörpers mit Einbruch der benachbarten Zwischenwirbelscheiben, die sich im Wirbelkörper befinden. (Die Fraktur geschah 6 Jahre vor dem Tode.) Das vordere Fragment ist ein Stück nach vorn heraus gedrückt. (Präparat von Herrn Prof. Dr. Gempel.)



Abb. 231 (rechts). Röntgenaufnahme des in der vorhergehenden Abbildung dargestellten Präparates.

ten bereits einen gewissen Übergang zu den Mitverletzungen der Bandscheibe bei Wirbelkörperbrüchen, weil mindestens kleine Einbrüche in der Wirbelkörperspongiosa dabei vorliegen.

In zahlreichen Versuchen an Leichenwirbelsäulen hat Göcke das Verhalten der Zwischenwirbelscheiben bei Verletzungen durch Druck, Schlag Auseinanderzerrung, Überbiegung usw. untersucht. Seine im Versuch erzeugten Zustandsbilder entsprechen den Verhältnissen solcher Verletzungen beim Lebenden. Wie *Hirsch* und *Vockmann* durch ihre eingehenden Versuche beweisen konnten, bedarf es aber durchaus nicht immer großer Gewalteinwirkungen um Zwischenwirbelscheibenveränderungen zu erzeugen. Das kann schon durch kleine schnell eintretende Beanspruchungen geschehen (S. 18). Durch diese Versuchsergebnisse ist die Möglichkeit von Übermüdungsschäden für das Zwischenwirbelscheibengewebe bewiesen (S. 183) und die Frage des „Initialtraumas“ (*Jungklaus*) das in der Lage sein kann, die langsam zunehmenden „chronischen“ Schäden des Bandscheibengewebes einzuleiten, bedarf von dieser Seite her der weiteren Erforschung.

Wenn schon bei Betrachtung von Wirbelsäulenpräparaten oft die sichere Diagnose einer frischen Bandscheibenverletzung und ihre Abgrenzung von degenerativen Rißbildungen schwierig ist, so bestehen noch viel größere Schwierigkeiten bei der klinischen Diagnose der frischen isolierten Bandscheibenverletzung. Ihre klinische Erkennung ist nur in Ausnahmefällen möglich, da uns das Röntgenbild fast regelmäßig im Stich läßt. Kleinere frische Einrisse haben keinerlei röntgenologisch nachweisbare Zeichen. Nur ausgedehnte Zerquetschungen mit Austritt von Bandscheibengewebe aus dem Zwischenwirbelraum heraus lassen sich durch Höhenabnahme des Zwischenwirbelraumes erkennen. Jedoch wird eine sichere Diagnose über die stattgehabte Bandscheibenverletzung nicht allein aus einem sofort nach dem Unfall aufgenommenen Röntgenbild zu stellen sein. In Abständen später aufgenommene Bilder werden erst an Hand der zu beobachtenden Veränderungen, über die anschließend gesprochen wird (S. 203), Rückschlüsse auf die traumatisch entstandene Verminderung der Zwischenwirbelraumhöhe zulassen. In seltenen Fällen ist die Diagnose einer schweren Zwischenwirbelscheibenverletzung möglich, wenn im unmittelbaren Anschluß an ein Unfallgeschehen Schädigungen des Rückenmarks oder der austretenden Nerven entstehen, ohne daß größere Knochenbrüche oder kleine Knochenabspaltungen nach hinten zu nachweisbar sind, und ohne daß eine wieder zurückgeglittene Luxation vorgelegen haben kann. Dann ist die Annahme eines frischen traumatischen „Bandscheibenvorfalls nach hinten“ gerechtfertigt wie verschiedentlich beobachtet wurde (vgl. Kap. IV C 2 S. 188).

Als seltene Präparate bewahrt die *Schmorl'sche* Sammlung Zwischenwirbelscheiben mit starken frischen Blutungen in die Gallertkernhöhle auf. Diese können dann entstehen, wenn krankhafte Gefäßwucherungen (S. 195) durch ein Trauma zerreißen.

Leider läßt sich ein wirklicher Überblick über die Häufigkeit der isolierten Bandscheibenverletzungen und auch der Mitverletzungen von Zwischenwirbelscheibengewebe bei Wirbelkörperbrüchen, Wirbeluxationen und Wirbelbogenbrüchen nicht erbringen. Pathologisch-anatomische Untersuchungen sind zur Aufstellung einer derartigen Statistik nicht geeignet, da die meisten Wirbelsäulenverletzungen nicht tödlich verlaufen, und weil bei Reihenuntersuchungen von Wirbelsäulenpräparaten, wie sie im *Schmorl'schen* Institut durchgeführt wurden, meist nur Spätfolgen dieser Verletzungen mit so weitgehenden Überdeckungen durch Altersveränderungen und Degenerationen zu Gesicht kommen, und dann auch meist keine genaue Vorgeschichte zu erhalten ist. Klinische Statistiken können nicht errechnet werden, denn die sichere klinische Erkennbarkeit ist — wie oben ausgeführt — nur in wenigen, besonders gelagerten Fällen möglich. Wir können auf Grund unserer Erfahrungen nur sagen, daß die Häufigkeit der traumatischen Bandscheibenschädigung bestimmt sehr viel größer ist als wir klinisch erkennen können und als bisher im allgemeinen angenommen wurde. Besonderer Sorgfalt bedarf daher jede Begutachtungsfrage die mit Wirbeläulentraumen zusammenhängt, da die Zwischenwirbelscheibenschädigung oft nicht sofort sondern erst an den Folgezuständen erkennbar wird. Weitere Ausführungen und Schrifttum bei *Jungklaus* im Handbuch der gesamten Unfallheilkunde 1933 Band 2, S. 520 ff.

2. Verhalten der Zuckerkornkettelchen bei Wiebelkörperbrühen, Wiebelbogenbrühen und Wiebelstationen

Nach unserer Überlicht-Schönheit an Wal-Läden mit Wurfkörper abgeben an hundert vom Bruchgebiet B. als Schadenverkettungen erkennen die Behandlung zweifeln weil - keine weiteren wurde Vollständig ist eine Miterkennung rangelte. In Wurfkörper angetreten den Zwischenwal leben als Band schall verletzung im Bereich. Wenn n. bge

[illegible]

(8d 2m 7sek.) (Luft-
ball der Hauptkammer ist
in der Kammer mit In-
nen um jährlings Marmelade)
Zentrumsmessung
nach Wert Differenz mit Ver-
fall) im Zentrum ist
Inhaltung in von den
beim Messen ist
wenn nicht mehr bei
Im darüberliegenden
In Körper können schme-
cken und mit dem
Inhalt

[illegible]

Abd. 221 (recht) Post
1. bei Hauptaufnahme
des in die ordnungsgemäße
Abbildung dargestellten
Präparates





Abb. 332 (links). (Lichtbild der Bessentialschnittfläche der Brustwirbelsäule einer 6-jährigen Frau.) Kompressionsfraktur des 9. Brustwirbelkörpers. Die vordere obere Ecke des 10. Brustwirbelkörpers ist an den 9. unter Zerreißung der 9. Brustbandscheibe hineingepreßt worden. Das verformte Zwischenwirbelscheibengewebe ist fibrös ausgebreitet (vollkommen ungegliedertes, weißes Gewebe). Kleiner unechter Vorfall der 8. Brustbandscheibe an den 9. Brustwirbelkörper nach Zerreißung der oberen Knorpelplatte des 9. Brustwirbelkörpers. Außerdem besteht noch geringe Kompressionsfraktur des 1. Lendenwirbelkörpers mit Vorbohrung der 12. Brustbandscheibe in den Wirbelkörper hinein und etwas nach hinten nach dem Wirbelkanal zu. Ausgedehnte Spaltbildung in der 1. Lendenbandscheibe mit Bildung eines schwach traumatischen Knorpelknötchens.

Abb. 333 (rechts). (Röntgenbild zu Abb. 332.) Die unregelmäßigen Begrenzungen der dem 9. Brustwirbel benachbarten Zwischenwirbelsäulen sehen auf Mitverletzung der Bandscheiben hin. Auch am 1. Lendenwirbel oben sieht man doppelt Begrenzung. Nadel in der 1. Lendenbandscheibe.

Wirbelkörper eingebrochene Deck- und Grundplatten, die sich mit entsprechenden Umrislinien in der Wirbelkörperprojektion abzeichnen (Abb. 334) sind ein sicherer Beweis für die Bandscheibenbeteiligung (Es ergeben sich dabei ähnliche Bilder wie bei den früher besprochenen und abgebildeten Fluchwurzeln und Wirbelkörperzusammenbrüchen bei Osteoporose.) Mit gröberen Zerreißungen des Bandscheibengefüges mit Einbrüchen der Knorpelplatten, und wahrscheinlich auch mit vom Wir-



ringere Formen der Wirbelkörperbrüche (einfache Quetschbrüche) ohne jede Beteiligung der benachbarten Bandscheiben vorkommen, so sind diese doch bei allen gröberen Wirbelverletzungen in der Regel gleichfalls beschädigt. Dabei kommen einfache Einbrüche der Knorpelplatten und des angrenzenden Zwischenwirbelscheibengewebes in die Wirbelkörper hinein vor (Abbildung 328). Bei stärkeren Zertrümmerungsbrüchen kann sich Bandscheibengewebe von beiden anliegenden Zwischenwirbelsäulen her tief in den Bruchspalt einsprengen und im Wirbelkörperinnern berühren (Abb. 329–331). Bei Schußfrakturen werden die vorderen Zwischenwirbelscheibenteile unter Ribbildung zusammen mit dem Knorpelplattenanteil, der dem abgehobenen Wirbelkörperbruchstück aufliegt, mit nach vorn zu verlagert. Solche erheblichen Mitverletzungen der Zwischenwirbelscheiben eines bei Wirbelkörperbrüchen lassen sich im Röntgenbild im allgemeinen gut ablesen, wenn man sorgfältig die Umrislinien und die Höhenverhältnisse des Zwischenwirbelsaumes betrachtet. In jedem Falle besteht Verdacht auf Verletzung von Bandscheibengewebe, wenn Zwischenwirbelsäulen die gebrochenen Wirbelkörper anliegen, deutlich Höhenabnahme eine ausgebuchete Begrenzung oder eine gewisse Abknickung in ihrem Verlauf erkennen lassen (Abb. 332, 333). Türfüßelartig in den Wir-

bildung von Ersatzgewebe also durch Narbenbildung zustande. Immer geht dabei im Verletzungsbereich die Schichtung und der feine Aufbau des Faserringes verloren, und je nach der Ausdehnung der Zerstörung und der Narbenbildung verliert die betroffene Zwischenwirbelscheibe an Funktionalität. Oft wird in die Riß- und Spaltbildungen nicht nur faseriges Bindegewebe mit Blut



Abb. 334 (links). (Seitliche Röntgenaufnahme einer Hälfte der in der Sagittalebene durchgetrennten Lendenwirbelsäule eines 60jährigen Mannes.) Kompressionsfraktur des 3. Lendenwirbels, in den sich die angrenzenden Zwischenwirbelscheiben so weit eingepreßt haben, daß sie sich in der Mittellinie des Wirbelkörpers berühren. Bildung eines ungedehnten überbrückenden Kallus vom 2. bis 4. Lendenwirbelkörper. Einige wolkige Schattenherde (Verkalkungen) in der 3. Lendenbandscheibe, Einengung des Kreuzbinnenraumes.

Abb. 335 (rechts). (Verkleinertes Lichtbild der Sagittalschnittfläche einer Lendenwirbelsäule.) Die dritte Lendenbandscheibe ist in ihrer Höhe vermindert und zum Teil durch Knochengewebe ersetzt infolge einer vor langer Zeit entstandenen traumatischen Zerknirschung.

nach Verletzungen vollkommen wieder herstellen kann. Er beobachtete auch beim Tier das Eindringen von Granulationsgewebe in die Verletzungswunden mit anschließender naher Veränderung und allmählicher Umbildung in Knochengewebe. Zu ähnlichen Ergebnissen kommt Lob bei seinen Tierversuchen, auf die bei Besprechung der Spondylitis deformans traumaticus noch näher eingegangen wird (S. 207–223 ff.).

Nach der Veröffentlichung von Filippé können beim Tier künstlich gesetzte Verletzungen der Zwischenwirbelsäule anatomisch und funktionell vollkommen wieder ausgeglichen werden. Diese Versuchsergebnisse sind aber im Widerspruch mit unseren Erfahrungen aus Menschen und mit den geschilderten Tierversuchen, bedürfen deshalb der neuerlichen Überprüfung.

Im Röntgenbild sind die Ausbesserungsvorgänge des verletzten Bandscheibengewebes zunächst nicht zu sehen. Sie werden aber deutlich, wenn es zur Einlagerung von Kalk oder von Knochengewebe kommt. (Bei der Beurteilung muß stets berücksichtigt werden, daß solche Einlagerungen nicht nur bei Ausbesserungen von Verletzungen, sondern auch nach Degenerationen eintreten können.) Länger dauernde Beobachtungen mit Röntgenaufnahmen in verschiedenen Zeitabständen nach dem Unfall zeigen oft sehr schon die allmählich entstehenden und größer werdenden Knocheneinlagerungen

gefüßten eingebaut, sondern es kommt zu Einlagerungen von Knorpel oder Knochen (Abb. 335) oder auch zu Kalkablagerungen. Dabei besteht große Ähnlichkeit mit den Ausheilungsvorgängen, die sich an degenerative Zerstörungen von Bandscheiben anschließen (S. 191).

Da die normale Zwischenwirbelscheibe eines Erwachsenen gefäßlos ist (S. 14) kann die soeben beschriebene Einlagerung anderer Gewebearten in die traumatisch entstandenen Risse und Spalten nur eintreten, wenn Blutgefäße von außen her in die Zwischenwirbelscheibe einwandern. Dazu sind Mitverletzungen der angrenzenden Spongiosa oder Einrisse der Längsbänder erforderlich. Das muß nicht erst bei dem Trauma geschehen, sondern durch Knorpelknötchenbildungen, die schon vor dem Unfall bestanden haben, kann die Blutgefäßneubildung bereits bestehen oder vorbereitet sein, wodurch die bereits vorhandenen Gefäße bei der Verletzung in Mitleidenschaft gezogen werden und die Wucherung von Granulationsgewebe anregen.

In Tierversuchen die zur Aufklärung der Folgerustände von Zwischenwirbelscheibenverletzungen angestellt wurden, bestätigt Tammann diese eben beschriebenen und vom Menschen bekannten Tatsachen, daß sich weder Gallertkorn- noch Faserringgewebe

einzelnen Zwischenwirbelscheibe sind möglich durch seitliche Röntgenaufnahmen der Wirbel säule im Stehen (unter Umständen mit Sandsackbelastung) und in verschiedenen Bewegungen bei festgehaltenem Becken (Aufnahme bei Vorwärts- und Rückwärtsbeugung), wie von *Kawases* in schönen Bildern nachgewiesen wurde (vgl. „funktionelle Röntgendiagnostik“ S 24 26, 160, 182). Man erkennt dann, daß immer wieder an einer umschriebenen Stelle die regelmäßige Bogenlinie der über einanderliegenden Wirbelkörper durch einen Knick oder durch eine Steifhaltung auf längere Strecke unterbrochen wird. Bleibende Wirbelsäulenverkrümmungen nach Wirbelkörperbrüchen sind oft nicht allein durch zurückbleibende Verunstaltung des gebrochenen Wirbelkörpers selbst bedingt, sondern die Ausheilungszustände im Zwischenwirbelscheibengewebe haben häufig erheblichen Anteil daran.

Das durch manche Wirbelkörperbrüche in das Wirbelkörperinnere hineingepreßte Bandscheibengewebe kann dort einheilen (Abb 330) auch wenn es ganz oder weitgehend von Knochen umgeben ist. Meist wird es aber von Knochengewebe durchwuchert und allmählich bis auf wenige Reste, die den ursprünglichen Aufbau von Bandscheibengewebe beibehalten, vernichtet. Eingehende auf diese Veränderungen besonders gerichtete, feingewebige Untersuchungen fehlen bisher noch.

Unter gewissen Umständen ist als Spätfolge der Mitverletzung einer Bandscheibe beim Wirbelkörperbruch das Krankheitsbild des verspäteten posttraumatischen Wirbelkörperzusammenbruchs (Klumpwellsche Krankheit, S 112) zu beobachten, wie *Löb* hervorhebt. Es kann nämlich der Vorfall von Zwischenwirbelscheibengewebe in das Innere eines gebrochenen Wirbelkörpers die knöcherne Ausheilung verhindern und die Belastungsfähigkeit bis zum allmählich auftretenden völligen Wirbelkörperzusammenbruch herabmindern. Nach unserer Ansicht wird dabei wohl auch die in den Wirbelkörper eindringende Gallertkernflüssigkeit eine wichtige Rolle spielen. Auch noch auf eine andere Möglichkeit des nachträglichen Wirbelkörperzusammenbruchs weist *Löb* hin. Nach seiner Ansicht wird die Tragfähigkeit eines gebrochenen Wirbelkörpers für längere Zeit stark beeinträchtigt, wenn infolge Herauspressens von Zwischenwirbelscheibengewebe nach vorn oder seitlich die lastausgleichende Tätigkeit der Bandscheibe fehlt. Dann kann ein verletzter, aber zunächst normalhochgebliebener Wirbelkörper verspätet zusammenbrechen.

4 Verzögerte und ausbleibende Heilung von Bandscheibenverletzungen und ihre Folgen

Keinerwegs tritt immer die eben beschriebene Ausheilung von Zwischenwirbelscheibenverletzungen ein. Es kann lange Zeit oder für Dauer die Einlagerung von anderen Geweben und die dadurch bedingte Narbenbildung ausbleiben. Dann ergeben sich verheerende Folgen für das Zwischenwirbelscheibengewebe und damit auch für die Physiologie der betroffenen Wirbelsäulengegend. An einer Verletzung der an einen gebrochenen Wirbelkörper angrenzenden Zwischenwirbelscheibe wird sich im allgemeinen eine Blutgefäßeinwucherung mit Narbenbildung im Zwischenwirbelscheibenraum anschließen. Wenn aber eine wirkliche „kollierte Bandscheibenverletzung“ vorliegt und wenn in einem solchen Falle das Zwischenwirbelscheibengewebe noch keine Blutgefäßeinwucherungen besitzt, kann die narbige Ausheilung der Risse oder die Ausfüllung mit Ersatzgewebe völlig ausbleiben. Als Folge entsteht für alle täglichen Belastungen und Bewegungen eine unrichtige Beweglichkeit an der geschädigten Bandscheibe. Bei Zerreißung des Faserringes preßt sich das unter Druck stehende Gallertkerngewebe in den Spalt ein. Hat der Gallertkern durch Rißbildung seinen regelrechten zwielschalenartigen Aufbau und damit auch seinen Quelldruck verloren, so wird er die Abpufferung der Bewegungen nicht mehr ordnungsgemäß durchführen können. In jedem Falle ist eine von der Verletzungswunde her sich ausbreitende Degeneration unausweichliche Folge. (Der enge Zusammenhang zwischen Verletzungsfolgen und Degenerationsercheinungen (S 201) wird bei näherer Betrachtung dieser Sachlage immer deutlicher, aber es sind noch eingehende feingewebige Untersuchungen erforderlich, um die wechselseitige Bedeutung zwischen Trauma und Degeneration im Zwischenwirbelscheibengewebe einer weiteren Klärung zuzuführen.) Wenn also bei einer kollierten Bandscheibenverletzung unter gewissen Voraussetzungen kein Einwuchern von Blutgefäßen erfolgt, wird meistens die traumatische Riß- und Spaltbildung allmählich zunehmen. Austrocknungserscheinungen des Gallertkerns, Zerreißungen von Zwischenwirbelscheibengewebe in der Umgebung des Risses schließen sich an. Eine zunehmende Höhenverminderung des Zwischenwirbelscheibenraums tritt

sant Blutgefäßprossen entwickelt, auch wenn das Granulationsgewebe nicht von außen her durch die Verletzung des Längsbandes eindringt.

5. „Schmorlsche Knötchen“ und Trauma

Aus unserer Schilderung über Vorbedingungen und Entstehungsursachen der Schmorlschen Knötchen in den Wirbelkörpern und im Wirbelkanal (Kap. IV C 1 C 2 C 4) geht hervor, daß sie plötzlich durch traumatische Schädigungen (Abb. 338, 339) oder allmählich auf Grund angeborener Zustände und degenerativer Vorgänge unter Mitwirkung der gewöhnlichen Belastung entstehen



Abb. 338 (links). (Lichtbild der Sagittalsehnittfläche des 2. Lendenwirbels einer 64-jährigen Frau.) Kompressionsfraktur des 2. Lendenwirbels mit Einbruch der 2. Lendenbandelscheibe in denselben und Ausbildung mehrerer Knorpelknötchen. Außerdem ist ein kleiner Bruchtrichter vorn oben abgezeichnet und gleichzeitig der Wirbelkanal etwas eingrenzt.

Abb. 339 (rechts). (Seitliche Röntgenaufnahme der in der Sagittalebene durchgeführten Lendenwirbelsäule eines 64-jährigen Mannes.) An Kompressionsfraktur im oberen Teil der 1. Lendenwirbelsäule mit geringer Kallusbildung und Abdrückung eines vorderen, oberen Fragmentstückes nach vorn. A. Dorsum ist die Deckplatte des Wirbelkörpers geschrumpft und ein wenig in den Wirbelkörper hineingepreßt. An der Bruchstelle der Deckplatte im Gelförkerngebiet hat sich ein Schmorlscher Knötchen gebildet.

können. Das anatomische Zustandsbild zeigt bei frischen Wirbelstülentraumen unter Umständen den Einriß in die Knorpelplatte sowie das in die Markräume des Wirbelkörpers eingepreßte Zwischenwirbel-scheibengewebe mit kleinen Brüchen des Knochenbalkchenwerkes und mit umgebenden Blutungen (Abb. 315, 316). Dann ist die Diagnose eines traumatisch entstandenen Bandscheibenvorfalles „einwandfrei“ zu stellen.

Im Röntgenbild stellen sich solche frischen traumatischen Einbrüche von Zwischenwirbelscheibengewebe in das Balkchenwerk des Wirbelkörpers nur bei gewisser Größe dar und wenn die Deck- oder Grundplatten in den Wirbelkörper hineingedrückt sind. Auch eine manchmal sichtbare Unterbrechung in der Grund- oder Deckplatte deutet auf Einbruch von Zwischenwirbelscheibengewebe hin. Der sichere Nachweis des traumatisch ent-

standenen Schmorlschen Knötchens im Wirbelkörper ist im Röntgenbild im allgemeinen nur in Reihenbildern nach einer Verletzung zu erbringen (Abb. 340), wenn sich in einem Wirbelkörper, der bei der ersten Röntgenaufnahme sofort nach dem Unfall kein Knorpelknötchen enthielt, allmählich die Ausbildung der typischen Knochenschale verfolgen läßt (Halder, Röster). Diese Möglichkeit besteht in einem nachweisbar gebrochenen Wirbelkörper, in einem anderen Wirbelkörper fern eines Wirbelbruchs und auch in Wirbeln, in denen kein Wirbelbruch durch das Trauma aufgetreten ist. Wenn bei einer Späteruntersuchung nach Wirbeltrauma (ohne Vorhandensein einer Röntgenbildserie) anatomisch oder röntgenologisch in einem einwandfrei gebrochenen oder auch in einem nicht gebrochenen Wirbelkörper Schmorlsche Knötchen festzustellen sind, dann ist ihr Zusammenhang mit der früheren Verletzung nicht ohne weiteres gegeben. Die Schmorlschen Knötchen können sich später unabhängig von der Verletzung gebildet oder schon vor der Verletzung bestanden haben. Für die gutachtliche

mit Blutgefäßprotektionen entwickelt, auch wenn das Granulationsgewebe nicht von außen her durch das Mu- verletzung des Längsbandes eindringt.

5. „Schmorleche Knötchen“ und Trauma

Aus unserer Schilderung über Vorbedingungen und Entstehungswachen der *Schmorlechen* Knötchen in den Wirbelkörpern und im Wirbelkanal (Kap. IV C 1 C 2, C 4) geht hervor, daß sie plötzlich durch traumatische Schädigungen (Abb. 338–339) oder allmählich auf Grund angeborener Zustände und degenerativer Vorgänge unter Mitwirkung der gewöhnlichen Belastung entstehen



Abb. 338 (links). (Lichtbild der Sagittalschnittfläche der Lendenwirbelsäule einer 63-jährigen Frau.) Kompressionsfraktur des 2. Lendenwirbels mit Einbruch der 2. Lendenbündelscheibe in denselben und Ausbildung mehrerer Knorpelknötchen. Außerdem ist ein kleines Bruchstück oben bogenförmig und gleichseitig der Wirbelkanaleinsengung eingepreßt.

Abb. 339 (rechts). (Röntgenaufnahme der in der Sagittalebene durchgezogenen Lendenwirbelsäule eines 54-jährigen Mannes.) Alte Kompressionsfraktur im oberen Teil des 1. Lendenwirbels mit geringer Kalzifizierung und Abdrückung eines oberen Fragmentstückes nach vorn. Außerdem ist die Deckplatte des Wirbelkörpers zerbrochen und ein wenig in den Wirbelkörper eingepreßt. An der Bruchstelle der Deckplatte im Gallertkörpergebiet hat sich ein Schmorlecher Knötchen gebildet.

standenen *Schmorlechen* Knötchen im Wirbelkörper ist im Röntgenbild im allgemeinen nur in Reihenbildern nach einer Verletzung zu erbringen (Abb. 340), wenn sich in einem Wirbelkörper der bei der ersten Röntgenaufnahme sofort nach dem Unfall kein Knorpelknötchen enthielt, allmählich die Ausbildung der typischen Knochenwucherungen verfolgen läßt (Häbeler, Röder). Diese Möglichkeit besteht in einem nachweisbar gebrochenen Wirbelkörper in einem anderen Wirbelkörper fern eines Wirbelbruchs und auch in Wirbeln, in denen kein Wirbelbruch durch das Trauma aufgetreten ist. Wenn bei einer Spätkontrolluntersuchung nach Wirbeltrauma (ohne Vorhandensein einer Röntgenbildreihe) anatomisch oder röntgenologisch in einem einwandfrei gebrochenen oder auch in einem nicht gebrochenen Wirbelkörper *Schmorleche* Knötchen festzustellen sind, dann ist ihr Zusammenhang mit der früheren Verletzung nicht ohne weiteres gegeben. Die *Schmorlechen* Knötchen können sich später unabhängig von der Verletzung gebildet oder schon vor der Verletzung bestanden haben. Für die tatsächliche

können. Das anatomische Zustandsbild zeigt bei frühen Wirbelzentrauma unter Umständen den Einbruch in die Knorpelplatte sowie das in die Markräume des Wirbelkörpers eingepreßte Zwischenwirbelscheibengewebe mit kleinen Brüchen des Knochenbalkchenwerkes und mit umgebenden Blutungen (Abb. 315–316). Dann ist die Diagnose eines traumatisch entstandenen „Bandscheibenvorfalles“ einwandfrei zu stellen.

Im Röntgenbild stellen sich solche frühen traumatischen Einbrüche von Zwischenwirbelscheibengewebe in das Balkchenwerk des Wirbelkörpers nur bei gewisser Größe dar und wenn die Deck- oder Grundplatten in den Wirbelkörper hineingedrückt sind. Auch eine manchmal sichtbare Unterbrechung in der Grund- oder Deckplatte deutet auf Einbruch von Zwischenwirbelscheibengewebe hin. Der sichere Nachweis des traumatisch ent-

Die unmittelbare Infektion der Zwischenwirbelscheiben von außen her ist durch diagnostische oder therapeutische Punktionen (S. 124) möglich. 44 derartige Fälle sammelte Bromley mit Craig und Kistel aus dem Schrifttum. Nach Operation eines Bandscheibenvorfalles wurden Infektionen des Bandscheibenrestes mit Übergang auf die benachbarten Wirbelkörper beobachtet. Auch durch Lumbalpunktionen, Paravertebral Injektionen und ähnliche diagnostische oder therapeutische Maßnahmen kann es zu Infektionen von Zwischenwirbelscheiben ebenso kommen wie zu Wirbelkörper Osteomyelitis (vgl. Kap. III K 2 S. 124). Lumbalpunktionen bei bestehender Wirbelkörper oder Bandscheibeninfektion können Ursache für die Verschleppung der Infektion in den Liquorraum mit anschließender tödlicher Meningitis sein (Kwasch und Strotzke).

2. Verhalten der Zwischenwirbelscheiben bei Wirbelkörperinfektionen

Alle einschmelzenden Vorgänge können sich vom Wirbelkörper aus auch auf die Zwischenwirbelscheiben ausbreiten. Dabei geht die Einschmelzung des Zwischenwirbelscheibengewebes verhältnismäßig rasch vor sich wenn erst einmal der Durchbruch durch die widerstandsfähige Knorpelplatte stattgefunden hat. Entzündliche Zwischenwirbelscheibeneinschmelzung kann auch dadurch zustande kommen, daß von den Außenwetten her Eiter in das Bandscheibengewebe eindringt (Abb. 341) wenn sich Senkungsabszesse oder eine Osteoperiostitis oder Spondylitis anterior superficialis (S. 120) unter dem vorderen Längsband ausbilden (Kremer und Wiese Mandelstamm). Dieser Infektionsweg des Zwischenwirbelscheibengewebes ist jedoch



Abb. 341



Abb. 342



Abb. 343



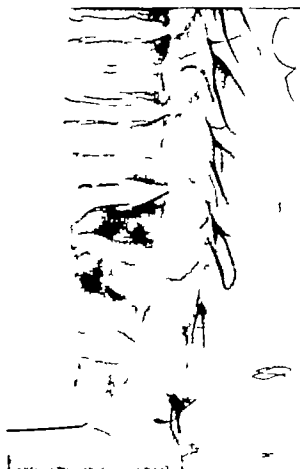
Abb. 344

Abb. 341 (Lichtbild der Wirbelsäule einer 49-jährigen Frau. Ansicht von vorn.) Erhebliche Osteomyelitis der Wirbelsäule. Das vordere Längsband ist durch einen para-vertebralen Abszess abgehoben, und die Bandscheiben sind durch Eindringen des Eiters von vorn her zerstört worden. Man kann in einzelne Zwischenwirbelsäulräume tief eindringen. In diesem Lag. zahlreicher Eiter.

Abb. 342 (Lichtbild der Sagittalschnittfläche der Brustwirbelsäule einer 70-jährigen Frau.) Zwischenwirbelsäulartikulation mit Abszessbildung. Die übrigen Teile der Zwischenwirbelscheibe werden von fibrinösen Gewebe eingenommen.

Abb. 343 (Röntgenaufnahme des in der vorhergehenden Abbildung dargestellten Präparates.) Der Zwischenwirbelsäulraum ist niedrig. Infolge des entzündlichen Reizes hat sich eine geringe Sklerose in der Umgebung des Abszesses ausgebildet.

Abb. 344 (Vertikale Röntgenaufnahme der Wirbelsäule eines 5-jährigen Mädchens.) Tuberkulose im 12. Brust- und 1. Lendenwirbelkörper mit Einschmelzung der zwischenliegenden Bandscheibe. Zusammenbruch des 1. Lendenwirbels. Geringe K. phos. Einengung des Zwischenwirbelscheiben. Reakt. Osteosklerose in der Umgebung des Entzündungsorgans.



ziemlich widerstandsfähige Knorpelplatte liegen leider noch nicht vor

Von klinischer Seite (*Carson, Zander*) wird besonders darauf aufmerksam gemacht daß bei Wirbelsäuleninfektionen die Höhenabnahme einer Zwischenwirbelscheibe (Ausdruck der infektiösen Einschmelzung) häufig im Röntgenbild viel eher gesehen werden kann als der Einschmelzungsherd im Wirbelkörper von dem die Infektion der Bandscheibe ausging

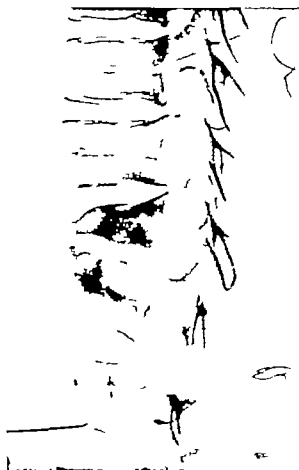
Über das klinische Röntgenbild bei Infektionskrankheiten der Zwischenwirbelscheiben ist ausführlich berichtet worden (*Bonhoure, Madelung, Quincke, Lyon, Puhl, Ellmer, Rodstock, George* und *Leonard, Dowb* und *Badgley* u. a. Besondere Aufmerksamkeit wird auch von klinischer Seite den Wirbelkörperbandscheiben grenzen zugewendet die häufig unregelmäßig gefunden werden. Bisweilen soll auch der Zwischenwirbelscheibenraum bereits bei Beginn der Erkrankung eine verminderte Durchsichtigkeit haben.

Abb. 343. (Röntgenaufnahme des in der obergegebenen Abbildung dargestellten Präparates. Nadel in der 1. Lendenbandscheibe.) In den betreffenden Wirbelkörper mäßig starke Sclerose. Der eingepfanzte Knochenpan und die Drahtnaht sind deutlich zu erkennen.

3. Ausheilungszustände

Besonders interessant sind aber die Zustände, die nach der Ausheilung sicherer infektiöser Erkrankungen der Zwischenwirbelscheiben zurückbleiben. Da die Zwischenwirbelscheiben Wirbelkörpergrenze meist weitgehend durch den von dem Wirbelkörper in das Zwischenwirbelscheibengewebe übergreifenden Entzündungsvorgang zerstört worden ist, wuchert bei der Ausheilung in ausgedehntem Maße fibroses Gewebe in die Zwischenwirbelscheiben ein. Es ergeben sich Endzustände wie wir sie bereits in einem früheren Abschnitt geschildert haben. In einem Falle haben wir bei einer ausheilenden Tuberkulose einen in der Zwischenwirbelscheibe zurückgebliebenen käsigen tuberkulösen Herd (Abb. 344* 345), während die übrigen Teile der Zwischenwirbelscheibe durch dertes Bindegewebe ersetzt waren, und der Zwischenwirbelscheibenraum deutlich eine Höhenabnahme zeigte

Neben der fibrösen Ausheilung kommt es häufig zu Einwucherungen von Knochengewebe (Abb. 346 350) in die zerstörten Zwischenwirbelscheiben so daß sich Endzustände ergeben, die denen bei Traumen ähneln („Blockwirbelbildungen“). Wir hatten dies schon im vorhergehenden Abschnitt betont und möchten hierauf nochmals besonders hinweisen. Die Spätzustände der Zwischenwirbelscheiben lassen nicht in allen Fällen mit vollkommener Sicherheit die Differentialdiagnose zwischen Trauma oder Infektion zu (Abb. 351). Dies gilt in besonderem Maße für die röntgenologische Diagnose wie schon mehrfach erwähnt worden ist (*Bülow, Ellmer, Pinder, Lyon, Rodstock*). Nach Infektion sind, ebenso wie nach Verletzungen, die Ausheilungszustände in den Zwischenwirbelscheiben für die Belastungs- und Bewegungsfähigkeit und für die Form der Wirbelsäule häufig folgenschwerer als Wirbelkörperinfektionen bzw. Verletzungen ohne Beteiligung der Zwischenwirbelscheiben.



ziemlich widerstandsfähige Knorpelplatte liegen leider noch nicht vor.

Von klinischer Seite (*Carson Zanolis*) wird besonders darauf aufmerksam gemacht, daß bei Wirbelsäuleninfektionen die Höhenabnahme einer Zwischenwirbelscheibe (Ausdruck der infektiösen Einschmelzung) häufig im Röntgenbild viel eher gesehen werden kann als der Einschmelzungsherd im Wirbelkörper von dem die Infektion der Bandscheibe ausging.

Über das klinische Röntgenbild bei Infektionskrankheiten der Zwischenwirbelscheiben ist ausführlich berichtet worden (*Bonhôte, Madlung, Quincke, Lyon, Pahl, Ellmer, Rostock, George und Leonard, Doub und Bridgley* u. a.). Besondere Aufmerksamkeit wird auch von klinischer Seite den Wirbelkörperbandscheibengrenzen zugewendet, die häufig unregelmäßig gefunden werden. Blasen sollen auch der Zwischenwirbelscheibe bereits bei Beginn der Erkrankung eine verminderte Durchsichtigkeit haben.

Abb. 348. (Röntgenaufnahme des in der obengestrichenen Abbildung dargestellten Präparates. Nadel in der 1. Lendenbandscheibe.) In dem betreffenden Wirbelkörper mäßig starke Sklerose. Der eingepflanzte Knochenpfeil und die Drahtnadel sind deutlich zu erkennen.

3. Ausheilungszustände

Besonders interessant sind aber die Zustände, die nach der Ausheilung sicherer infektiöser Erkrankungen der Zwischenwirbelscheiben zurückbleiben. Da die Zwischenwirbelscheilen-Wirbelkörpergrenze meist weitgehend durch den von dem Wirbelkörper in das Zwischenwirbelscheibengewebe übergreifenden Entzündungsvorgang zerstört worden ist, wuchert bei der Ausheilung in ausgedehntem Maße fibröses Gewebe in die Zwischenwirbelscheilen ein. Es ergeben sich Endzustände, wie wir sie bereits in einem früheren Abschnitt geschildert haben. In einem Falle haben wir bei einer ausheilenden Tuberkulose einen in der Zwischenwirbelscheibe zurückgebliebenen käsigen tuberkulösen Herd (Abb. 349–353), während die übrigen Teile der Zwischenwirbelscheibe durch dichter Bindegewebe ersetzt waren, und der Zwischenwirbelscheibenraum deutlich eine Höhenabnahme zeigte.

Neben der fibrösen Ausheilung kommt es häufig zu Einwucherungen von Knochengewebe (Abb. 349–351) in die zerstörten Zwischenwirbelscheilen, so daß sich Endzustände ergeben, die denen bei Trauma ähneln („Blockwirbelbildungen“). Wir hatten dies schon im vorhergehenden Abschnitt betont und möchten hierauf nochmals besonders hinweisen. Die Spatzustände der Zwischenwirbelscheilen lassen nicht in allen Fällen mit vollkommener Sicherheit die Differentialdiagnose zwischen Trauma oder Infektion zu (Abb. 351). Dies gilt in besonderem Maße für die röntgenologische Diagnose, wie schon mehrfach erwähnt worden ist (*Bynum, Ellmer, Finkler, Lyon, Rostock*). Nach Infektion sind ebenso wie nach Verletzungen die Ausheilungszustände in den Zwischenwirbelscheilen für die Belastungs- und Bewegungsfähigkeit und für die Form der Wirbelsäule häufig folgenschwerer als Wirbelkörperinfektionen bzw. Verletzungen ohne Beteiligung der Zwischenwirbelscheilen.

H. Tumoren

Primäre Geschwülste oder primäre Ansiedlungen von Geschwulstmetastasen im Bereich des Zwischenwirbelsäulen sind uns noch nicht zu Gesicht gekommen. Übergreifen von Geschwulstmetastasen oder von Geschwülsten aus der Nachbarschaft in den Zwischenwirbelsäulen ist jedoch bisweilen festzustellen (*Vergl. Perotti*). Wenn das Geschwulstgewebe vom Wirbelkörper her eindringt, kann es selbständig die Knorpelplatten zerstören. Häufig benützt eindringendes Geschwulstgewebe aber bereits vorhandene Einrisse oder Einlagerungen von fibrosem Gewebe, Blutgefäßen oder Knochen als Wegbereiter. Auch von vorn her werden die Zwischenwirbelscheiben ebenso wie die Wirbelkörper (S. 130) gelegentlich von Geschwulstgewebe (auch von Aneurysmen, Abb. 216 bis 218) angegriffen.

Häufiger als Einwucherungen von Geschwulstgewebe in den Zwischenwirbelsäulen beobachten wir, daß bei knochenzerstörenden Geschwülsten Gallertkerngewebe infolge seines Ausdehnungsdruckes nach Einreißen der unterhöhlten Knorpelplatten in das nachgiebig gewordene Knochenbalkchenwerk eindringt (Abb. 238) und einen Bandscheibenprolaps verursacht. Wie wir schon schilderten (S. 160) bleibt dabei meist eine Knorpel- oder Knochenwucherung in der Umgebung aus, wodurch ein Nachweis im Röntgenbild nicht gelingt. Nur in Röntgenaufnahmen von dünnen aus solchen Wirbelsäulen herausgedrückten Scheiben haben wir den Einbruch des Zwischenwirbelscheibengewebes in die Geschwulstmetastasen im Wirbelkörper sichtbar machen können. Wir verzichten aber auf die Wiedergabe solcher Bilder, da sie keinen praktischen Wert haben.

V Die Spondylosis deformans

A Allgemeines

Die häufigste und infolge der starken Formveränderungen auffallendste Erkrankung der Wirbelsäule ist die Spondylosis deformans (*Jungblut, Kummel und Kost* II, *Müller u. v. a.*). Über die Entstehungsursachen der ihr eigentümlichen Bandsack- und Bandsackfortbildungen an den Wirbelkörpern sind die verschiedensten Meinungen ausgeführt worden. *Becker* und *Polakovsky* waren die ersten, die auf die Bedeutung der Zwischenwirbelscheiben bei der Entstehung dieser Erkrankung aufmerksam machten. Seitdem ist den Zwischenwirbelscheibenveränderungen die größte Bedeutung zuerkannt worden. Großes Interesse hat die Spondylosis deformans im letzten Jahrzehnt vor allem für Begutachtungsfragen erhalten, da ihr Zusammenhang mit Wirbelsäulenverletzungen und Berufsschädigungen geklärt werden muß. Auch die Abgrenzung der Spondylosis deformans von entzündlichen Leiden ist ausführlich behandelt worden und es hat sich im klinischen Schrifttum die Bezeichnung Spondylosis deformans gegenüber der früheren Spondylitis deformans allgemein durchgesetzt. Damit ist die Abgrenzung von entzündlichen Wirbelsäulenveränderungen (Spondylitis) augenfällig geworden. (Zu beachten ist noch, daß im französischen und italienischen Schrifttum die Bezeichnung Spondylitis traumatica oder Spondylosis traumatica für die Kummelsche Krankheit gebräuchlich sind.) In den folgenden Abschnitten wird auf viele der neueren Arbeiten eingegangen, es ist aber unmöglich, alle Arbeiten des fast unlöslichen Schrifttums über dieses Teilgebiet der Wirbelsäulenforschung zu besprechen oder zu erwähnen.

B. Häufigkeit

Über die Häufigkeit der für die Spondylosis deformans typischen Bandsack- und Bandsackfortbildungen an den Wirbelkörpern enthält das Schrifttum widersprechende Angaben. Die größte pathologisch-anatomische Statistik ist an Hand des Schwabeschen Untersuchungsgutes von *Jungblut* zusammengestellt, indem an 423 fortlaufend hintereinander vorgenommene Wirbelsäulenuntersuchungen die Ausdehnung der Spondylosis deformans an der Brust- und Lendenwirbelsäule sofort nach Herausnahme der Wirbelsäule aus der Leiche durch Betrachten und Abmessen der Wirbelkörpertrichter festgestellt wurde. Dabei zeigte sich ein Unterschied in der Stärke und Häufigkeit der Spondylosis deformans bei beiden Geschlechtern nicht so bedeutend, wie im allgemeinen im Schrifttum angegeben wird (Abb. 33*).

Sehr auffallend ist der starke Anstieg der Häufigkeit bei 50 v. H. bei Männern und Frauen in verschiedenen Lebensaltern (Abb. 33*). Im Alter von 40 Jahren haben bei Frauen 60 und bei Männern fast 50 v. H. der L. vertebrales Erkränkungen einer Spondylosis. Diese ist in einem früheren Original zu II I der 1916 in gleichen Institut im Alter zwischen 40 und 50 Jahren nur bei 15,6 v. H. der Frauen und 21,3 v. H. der Männer eine Spondylosis fand. Allerdings hat II nur die Fälle einer Spondylosis deformans gerechnet, bei denen Bandsackfortbildungen mit bloßem Auge sichtbar waren.

Die erhaltenen pathologisch-anatomischen Statistiken ergeben eine wesentlich höhere Hundertschaft als klinisch und röntgenologisch. Bei 14 klinischen Angaben von *Ginsberg* fand bei nur 16–25–40 v. H. der Ruhrberg'schen Zeichen- und Spornbildungen der Wirbelsäule nach *Gerrit* hatten 87 v. H. der Männer und 40 v. H. der Frauen nach dem 50. Lebensjahre eine röntgenologisch nachweisbare Spondylosis deformans, wie er 14 Nebenbefunde bei 1094 Verren- und Röntgenaufnahmen erhielt. Für die 11 v. H. 181 gerechneten Befunde mit Ausdehnung und Schick aus Röntgenbildern ganz ähnliche Zahlen wie in Abb. 23. Weiter 81 vertebrales bei *der Gierck* und *Kraus*, 10 und *Gierck* im Original zu *Hofe*, der bei seiner Zusammenfassung keine Berücksichtigung seiner Berufsarten beobachten konnte, breitet *Ginsberg* im seiner Arbeit über erhebliche Unterschiede in der Häufigkeit der Spondylosis deformans bei verschiedenen Berufen. Aus seinen 1200 röntgenologisch untersuchten Fällen errechnet er bei den Bergleuten eine besonders Häufigkeit der Spondylosis deformans schweren und mittleren Grades. Bei den Fabrikarbeitern ist die Zahl bereits geringer und noch geringer bei 11 bei den Bandarbeitern eine Spondylosis deformans. Bei den körperlich nicht schweren arbeitenden Berufen fand er die Spondylosis

deformans wesentlich seltener und wenig stark ausgebildet. Die Untersuchungen von Beck bei Profihararbeitern ergaben keine auffallende Häufung von Veränderungen an der H. I. Wirbelstelle. Das gleiche stellt M. A. für die Lendenwirbelstelle fest.

Die beiden G. bläcker geben in unserer Abb. 332 ziemlich gleichlaufende Kurven. Die Häufigkeit der Spondylosis deformans bei den Frauen ist nur wenig hinter der bei Männern zurück. Wie schon ers. ähnt wurde ist der U. unterschied in der Häufigkeit der Spondylosis bei beiden Geschlechtern in der Statistik Heine großer. F. fand für Frauen niedrigere Zahlen als wir. Nachteilig ist die Angabe Bro. u. s., daß Männer doppelt so häufig Spond. lous deformans zeigen als Frauen, nicht zutreffend. Wieviel die von Gantenberg berichtet. geringe Zahl für die H. I. zeigt der Spondylosis deformans bei Frauen und die Angabe Scherrenka. als daß die Spondylosis deformans fast ausschließlich Männer befallt von der zufälligen Zusammensetzung ihres Untersuchungsgutes abhängt soll dahingestellt bleiben. Der Unterschied zwischen den Häufigkeitszahlen in klinisch röntgenologischen und anatomischen Mitteilungen ist im wesentlichen darin begründet, daß manche von den Anatomen deutlich fühlbaren und sichtbaren kleinen R. odrücken im klinischen Röntgenbild nicht erscheinen.

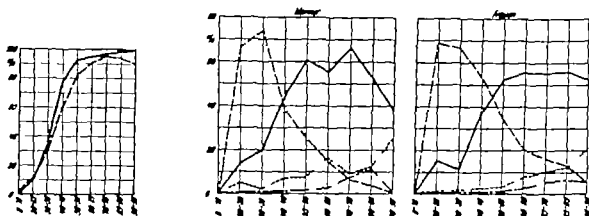


Abb. 332 (links). Die Häufigkeit der Spondylosis deformans bei Männern und Frauen in den verschiedenen Lebensaltern. (Kurveumfänge Darstellung — = Männer — — = Frauen.)

Abb. 333 (rechts). Die Verteilung der Spondylosis deformans auf die Lenden- und Brustwirbelstelle in den einzelnen Lebensjahrsstufen bei Männern und Frauen.

- — — — — gleichmäßiges geringes Bef. Dorsal von LWS und HWS
- - - - - Spond. def. der HWS ohne Mitbeteiligung der LWS
- — — — — starke Spond. def. der LWS mit geringer Beteiligung der HWS
- - - - - LWS und HWS stark befallen.

Die Abb. 333. verdeutlicht noch einige interessante Tatsachen. Bei Männern und Frauen steigt die gestrichelte Linie, daß im jugendlichen Lebensalter die Fälle, die nur an der Brustwirbelstelle spondylitische Zeichenbildungen (f. einen, einen höheren Hundertstel) umfassen als im Alter 50 besonders oft Fälle mit mäßiger Spond. lous deformans der Lendenwirbelstelle gefunden werden. Mit der Spondylosis deformans der Lendenwirbelstelle zusammen mit geringerer der Brustwirbelstelle (punktiert. Linie) und ebenso starke Spondylosis in Brust und Lendenwirbelstelle gleichzeitig (stichpunkt. Linie) lassen ein geringes Anzeichen in den letzten Jahrgängen erkennen, auch bei doch auch in den älteren Jahrgängen gegenüber den leichten Formen (untergeordnete Linie) erhalten. Da wir früher die H. I. Wirbelstelle nicht vollständig als der Leiche herauszunehmen, f. haben uns leider in r. kleinen Nachschriften genauer Angaben über die Spondylosis deformans an dieser Stelle. Wie halb wir die Halswirbelstelle berücksichtigt haben müssen. Außerdem kommt ihr so. vielen Bereichen eine Sonderstellung zu, und es wäre eine für die Klinik wichtige und verdient alle Arbeit der Spond. lous deformans und auch die anderen Veränderungen der H. I. Wirbelstelle (Veränderungen des Atlas mit der Gehörknöchelchen, Epist. bei der Atlas/Gelenk/Kiefer/Festigkeit Krankheit usw.) einer besonderen Untersuchung wertig erhalten.

C. Entstehungsursachen

Nachdem Rokitsky auf das Zusammentreffen von Zwischenwirbelscheibendegenerationen und Randwulstbildungen an den Wirbelkörpern aufmerksam gemacht hatte, schloß R. B. ein. gehend an anatomische Zustandsbild der Spondylosis deformans. Nach seiner Ansicht bedingen Degeneration Vorgänge in den Zwischenwirbelscheiben besonders im Gallertkern (braune Erweichung, Zermürbung usw.) Elastizitätsverlust und damit unphysiologische Zerrungen am Randapparat, die von den Ansatzstellen des Randapparates an den Wirbelkörpern ausgehen.

ausgehende Wucherungen (Randwulste“) nach sich ziehen. Lange Zeit galt diese Erklärung für stichhaltig und für anat. ansehe und klinische Feststellungen wurde sie al. Grunallage hingenommen (H. Muller, E. Bernuth, F. Lang u. v. a.). Bernuth sieht den Beginn der Spandylol deforman im festsessenen Bereich in den ersten Degenerationserscheinungen im Bereich der Knorpelplatten (Ossifikationslücken, Gefäßnarben usw.) und Lang bezeichnet sie al. eine chronische primäre infektiöse Entzündung der Wirbelsäule. Mit besonderem Nachdruck macht er darauf aufmerksam, daß bei Elastizitätsverlust des Zwischenwirbelscheibengewebes sich alle Belastungen und Bewegungen auf den anliegenden Knochen ungenügend und mehr oder minder unverteilt übertragen. Dadurch sollen die an dem Knochen angreifenden Gefäß, Markraum und Knochenbildungen al. Ausdruck der „Spandylitis deformans“ angeregt werden. Wenn man diese Erklärungsversuche folgerichtig weiter denkt, dann muß mit zunehmender Zwischenwirbelscheibenschädigung (also bei hochgradigem Elastizitätsverlust) auch die Spandylol deformans zunehmend stärkere Grade zeigen. Da trifft aber nicht zu. Die größten allgemeinen Randwulstbildungen, also das typische Bild der Spandylol deformans, finden sich meist bei Wirbelsäulen mit nur geringen Zwischenwirbelscheibengenerationen und bei verhältnismäßig gut erhaltenem Gallertkern. Bei hochgradigen Zwischenwirbelscheibenzerrörungen sind im allgemeinen die Randwulstbildungen weniger stark. Dafür überwiegt hier die Kkterose der angrenzenden Wirbelkörperoberfläche (Osteochondrol, S. 189, Abb. 300).

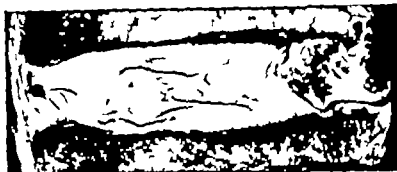


Abb. 274 (Lichtbild der Sagittalschnittfläche einer Zwischenwirbelscheibe bei leichter Vergrößerung). Nach vorn zu (rechts im Bild) allkommener Abfall des Randwulstes, verringert an der knöchernen Wirbelkörperperipherie mit Durchdringung der Fasern zwischen Fasern. Deutliche Verengung der Faserringe im vorderen Anteil mit Vorwärtswand der Bandscheibe nach vorn zu liegen in Ausdrängen gegen das hintere Band. Deutliche Verengung des Längswulsts. Weitere Bilder im Gallertkerngebiet.

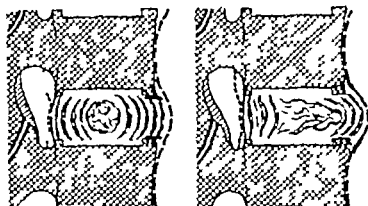


Abb. 252 (Schema über die Entstehung der Spandylol deformans). Durch Abtrennung des Randwulstes von der Wirbelkörperperipherie (Durchtrennung der Sharpey'schen Fasern, rot gezeichnet in der linken Zeichnung) entsteht Lockerung zwischen den Wirbelkörpern, Vorschleichen von Zwischenwirbelscheiben im und nach vorne. Knocherne Randwulstbildung (rot in der rechten Zeichnung) in der Mitte an der durch den Längswulst ab dem Wirbelkörper bleibend (Abb. 252, Abb. 254-255).

Auf Grund dieser Erfahrungstatsachen, die sich in die bisherigen Anschauungen über die Entstehung der Spandylol deformans nicht einordnen lassen, ist Schmoll in den letzten Jahren seiner Forscherstätigkeit diesen Fragen mit besonderem Eifer nachgegangen, und er konnte wichtige Befunde zur Klärung der strittigen Fragen erheben. Nach seinen Untersuchungsergebnissen ist die allgemeine Degeneration des Zwischenwirbelscheibengewebes nicht die Ursache für die Randwulstbildungen. Die Spandylol deformans wird vielmehr von einer typischen Rißbildung im Bereich des Randleistenansatzes eingeleitet (Als Randleistenansatz bezeichnet Schmoll die äußeren Ringwulste des Faserringes, die in die Wirbelkörperperipherie mit Sharpey'schen

Fasern einstrahlen.) Wenn sich Fasern des Randleistenanulus in größerer Ausdehnung von der Randleiste ablösen (Abb. 334–336) fehlt der feste Zusammenhalt zwischen Wirbelkörper und Bandscheibe und unphysiologische Bewegungen treten ein. Die Haltetätigkeit muß dann vom vorderen Längsband übernommen werden, an dessen Ansatzstellen (Abb. 22) sich infolge der



Abb. 234. (Mikrophotogramm eines Sagittalschnittes durch die vordere Teile einer Zwischenwirbelscheibe.) Beginnende Spodylotis deformans. Riß im Randleistenanulus nach schräg oben mit Abtrennung des Bandscheibengewebes vom Knochen. Verlängerung der Zwischenwirbelscheibe nach vorn. Sklerosierung der Spongiosa im Bereich der Wirbelkörperkerne. Kleiner beginnender Randwulst von oben, großer von unten her.

Überbeanspruchung Knochenzacken ausbilden (Abb. 335–336). Infolge seines Ausdehnungsdruckes preßt der Gallertkern, wenn er noch nicht degeneriert ist, das im Randleistenanulus gelöste Zwischenwirbelscheibengewebe nach außen, wodurch eine Vorwölbung bis an das vordere Längsband hervorgerufen wird, die eben falls zu erhöhter Zerrung an dessen Ansatzstellen Anlaß gibt. Wenn infolge Degeneration des Gallertkerns jedoch kein Ausdehnungsdruck vermindert ist, kann die Zerrung am vorderen Längsband nicht so hoch gradig sein.

Die Untersuchungsergebnisse Schmorls haben die grundsätzliche Ansicht von Becks u. a. durchaus bestätigt, nach der die Ursache der Spodylotis deformans nicht im Wirbelkörper sondern in den Zwischenwirbelscheiben liegt. Im Gegensatz zu den bisherigen Annahmen, daß Bandscheibendegenerationen im allgemeinen ihre Ursache sind, hat Schmorl jedoch die Abtrennung des Randleistenanulus von der Wirbelkörper-Randleiste als auslösende Ursache für den Beginn der Spodylotis deformans nachgewiesen. Die Zerstörung des Faserringes an seiner Einstrahlung in die knöchernen Wir-

belkörper-Randleiste muß als eine besonders häufige typische Sonderform der Bandscheibendegeneration an dem Sammelbegriff der Chondros intervertebralis (Kap. IV D 1) aufgefaßt werden. Die Tatsache, die Becks, F. Lang, H. Müller u. a. besonders hervorheben, nämlich daß unrichtige Belastung, falsche Druckverteilung usw. die Ausbildung der Randwülste und das Fortschreiten der Spodylotis deformans verursachen, bleibt trotz der Befunde Schmorls unangewandt. Die Abtrennung des Randleistenanulus allein ohne Belastung und Bewegung der Wirbelsäule ruft keine wesentliche Spodylotis deformans hervor. Dagegen findet man bei Schwerarbeitern (Ganaberg u. a.) eine besonders starke Spodylotis deformans, die als Folge der dauernden Überlastung angesehen wird, wenn als Voraussetzung Ablösungen am Randleistenanulus vorliegen (s. auch Abschnitt über Trauma und Spodylotis deformans, S. 223). Auch das stärkere Befallenwerden der rechten Seite der Brustwirbelsäule gegenüber der linken haben Becks und Simmonds mit der stärkeren Inanspruchnahme infolge der Rechtshändigkeit erklärt. Im Dreesener Untersuchungsgut konnten tatsächlich bei Linkshändern stärkere Randwulstbildungen an der linken Seite der Brustwirbelsäule gefunden werden. Schmorl hat diese auffallende Tatsache der geringen Zackenbildung an der linken Seite der Brustwirbelsäule bei Spodylotis deformans auf die Lage der Aorta zurückgeführt, die er als ein Hilfsorgan der Wirbelsäule bezeichnet. Nach P. J. Andrews Ansicht verhindert der pul-

rungen von Zwischenwirbelscheibengewebe die zum Teil durch Vorfall aus dem Inneren der Zwischenwirbelscheibe zum Teil durch aktive Wucherungen von Zwischenwirbelscheibengewebe entstanden sind (Schmorl)

Es war schon erwähnt worden, daß die Randzacken, die das auffallendste makroskopisch und röntgenologisch sichtbare Zeichen der Spondylosis deformans sind, gar nicht am eigentlichen Rande des ausgebildeten Wirbelkörpers sitzen. Sie entspringen an der Stelle der Wirbelkörperaußenfläche



Abb. 339 (Leitbilder) von zwei Wirbelkörpern in erhebender Richtung von einem 45jährigen M. m. m.) Beginnende Randwulstbildung einer Spondylosis deformans. Man erkennt daß die Randwulst nicht von der leicht erhabenen knöchernen Randleiste sondern etwas tiefer da wo an der Wirbelkörperaußenfläche deren Ursprung nehmen. Die ringförmigen knöchernen Randleisten sind an dem Krankheitsorgane gabelteilig

an der sich während der Wachstumszeit Wirbelkörper und knorpelige Wirbelkörperaußenfläche berühren (Abb 22) Laschka glaubte aus dieser Tatsache die Entstehung der Randwulstbildungen aus Resten der knorpeligen Wirbelkörperaußenfläche schließen zu können. Diese Ansicht ist aber leicht zu widerlegen, denn die Randwulstbildungen bilden sich erst nach dem Wachstumsabschluß wenn hier kein Knorpel mehr vorhanden ist. Die Randwulstbildungen entstehen aus einem anderen Grunde gerade an dieser Stelle hier heßt sich das vordere Längsband, das fest mit der Wirbelkörperaußenfläche verwachsen ist von der Wirbelkörperaußenfläche ab (S. 10 Abb. 22). Es überbrückt dann nur mit wenigen Fasern angeheftet den Teil des Wirbelkörpers, der sich aus der knorpeligen Randleiste gebildet hat ferner die Zwischenwirbelscheibe und die Randleiste des nächsten Wirbelkörpers um auch erst dicht unterhalb der Randleiste wieder an den Wirbelkörper anzuhängen. Die beginnenden Randzacken entwickeln sich gerade an der Stelle an der sich das die Randleiste überbrückende Längsband am Wirbelkörper fest anheftet (Abb. 35—39) weil hier die Zerrungen durch das vorgepreßte Bandscheibengewebe und durch die unphysiologischen Bewegungen wirksam werden. Sehr häufig beobachtet man daß von der Wirbelkörpervorderfläche nach den vorspringenden Randzacken zu kleine erhabene Knochenwülste ziehen, die den vom Ligamentum longitudinale anterius auf die Wirbelkörpervorderfläche ausstrahlenden Bandfasern entsprechen (Abb. 300 364).

Die Randwulstbildungen der Spondylosis deformans können zu eigentümlichen, knorrigten Knochenvorsprüngen auswarten (Abb. 362 364) die in bizarren Formen die Zwischenwirbelscheiben überbrücken und sich außerdem noch weit auf die Wirbelkörper ausdehnen. Dabei entstehen mitunter bei gleichzeitiger starker Atrophie der Wirbelkörper mit Einziehung der Wirbelkörperaußenflächen (taillenförmige Einziehung) zwischen den Randwülsten und den Wirbelkörpern Hohlräume die im Röntgenbild an Zysten erinnern. Hammerbeck beschreibt ausführlich einen eindrucksvollen Fall dieser Art (Abb. 361). Auch W. Müller gibt eine entsprechende Abbildung. In hochgradigen Fällen verwachsen die Randwulste der benachbarten Wirbel miteinander knöchern oder berühren sich mit gelenkartigen Spalten. Zwischen 2 Randwülsten sind gelegentlich Schallknochen (Schmorl und Jander) eingelagert (Abb. 362). Wenn Randwulste vollkommen miteinander verwachsen sind, zeigt sich meist eine geglättete Oberfläche (rückenrußartig) und ein deutlicher Umbau des Knochenbälkchenwerkes (Abb. 366 367). Ott bezeichnet diese Form als Spondylosis hypertrofica. Bei oberflächlicher Betrachtung sind dann Verwechslungen mit der Spondylarthritis ankylopoetica möglich (Abb. 366). Schwierig ist die Diagnose wenn sich neben einer Spondylosis deformans noch eine Spondylarthritis ankylopoetica entwickelt (Abb. 367).

Es muß hier ausdrücklich erwähnt werden, daß an allen Stellen, an denen Wirbelkörper unbeweglich miteinander verwachsen sind (durch fibröse Umwandlungen der Zwischenwirbelscheiben, durch Zwischenwirbelscheibenverknöcherungen usw.), keine Randzacken entstehen. Häufig kann

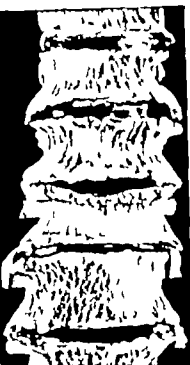


Abb. 204 (Lichtbild der massierten
Lendenwirbelsäule eines 3-jährigen
Mannes, Ansicht von oben) Zahlreiche
größere und kleinere Randzacken
des Wirbelkörpers, besonders an der
hinteren Mittellinie (siehe hierzu Abb.



514, 201



At 11:30,

Abb. 34) (Kritische Röntgenaufnahme einer Hals- der in der Röntgenaufnahme durchdrängten Wirbels eines 63-jährigen Mannes) „Pseudotumor“ (Hirne) in der Wirbelsäule bei hohler Mund- und Nasen-Deformation mit alter bräunlicher und überhöhten Rand- und glänzender Atrophie der Wirbelsäule (außerordentliches Lungen-)

Abl. 302. (Rechtliche) Kienzema fnaheer eines dunnere, in der Rechter Wleue der Hensetwielende eines 70-jährigen Mannes herausgerichtet n Scheitel.) Ho! graufte überwurfsend Handwülde, da kieren Knochen „den Wierd Kienzema.“ Zie kieren den beiden tern Hand wüsten fiesbildung vor dem alderen 7 Jahren abgezogene Metalknochen“ zwischen liegenden Handwüsten

Alte 383. (Reichliche Rheingraufahrt vor H&M) der in der Magistralbahn durch baden'sches Landesversteck eine Althölzer (Mamm) M&M an die Hand über die der vorerwähnte am oberen Ende der Wirtelkugelverlebung entfernt liegen der Stelle gegeben, als bei ziemlich weit über die Wirtelkugelverlebung er belien, so daß die er nach folgenden beim Schatten in dem Z. leben. (Reichliche Rheingraufahrt vor H&M)



AN 267

Abb. 364 (Detailbild der un-
verleierten Halswirbel bei
einem 70-jährigen Mann).
Ansicht von oben. Die hoch-
gradige Bandscheibensch-
mächtigkeit ist durch die
große, die zum Teil das 2. J-
schichtenoberflächen über-
decken, mit dickem, auch
in die Wirbelkörper fort-
setzenden lateralen (hellen)
Bändern erkennbar.



Aids 344

rungen von Zwischenwirbelscheibengewebe die zum Teil durch Vorfall aus dem Inneren der Zwischenwirbelscheibe zum Teil durch aktive Wucherungen von Zwischenwirbelscheibengewebe entstanden sind (Schmorl).

Es war schon erwähnt worden, daß die Randsackchen, die das auffallendste makroskopisch und röntgenologisch sichtbare Zeichen der Spondylitis deformans sind, gar nicht am eigentlichen Rande des ausgebildeten Wirbelkörpers sitzen. Sie entspringen an der Stelle der Wirbelkörperaußenfläche

an der sich während der Wachstumszeit Wirbelkörper und knorpelige Wirbelkörpermandleiste berühren (Abb 22). *Lucas* glaubte aus dieser Tatsache die Entstehung der Randwulstbildungen aus Resten der knorpeligen Wirbelkörpermandleisten schließen zu können. Diese Ansicht ist aber leicht zu widerlegen, denn die Randwülste bilden sich erst nach dem Wachstumsabschluß wenn hier kein Knorpel mehr vorhanden ist. Die Randwulstbildungen entstehen aus einem anderen Grunde gerade an dieser Stelle hier hebt sich das vordere Längsband, das fest mit der Wirbelkörperaußenfläche verwachsen ist, von der Wirbelkörperaußenfläche ab (S 10 Abb 22). Es überbrückt dann, nur mit wenigen Fasern angeheftet den Teil des Wirbelkörpers, der sich aus der knorpeligen Randleiste gebildet hat, ferner die Zwischenwirbelscheibe und die Randleiste des nächsten Wirbelkörpers um sich erst dicht unterhalb der Randleiste wieder an den Wirbelkörper anzuheften. Die beginnenden Randsackchen entwickeln sich gerade an der Stelle, an der sich das die Randleiste überbrückende Längsband am Wirbelkörper fest anheftet (Abb 357–359) weil hier die Zerrungen durch das vorgepreßte Bandscheibengewebe und durch die unphysiologischen Bewegungen wirksam werden. Sehr häufig beobachtet man daß von der Wirbelkörpervorderfläche nach den vorspringenden Randsackchen zu kleine erhabene Knochenwülste stehen, die den vom Ligamentum longitudinale anterius auf die Wirbelkörpervorderfläche austrahlenden Bandfasern entsprechen (Abb 360 364).

Die Randwulstbildungen der Spondylitis deformans können zu eigentümlichen, knorrigen Knochenvorsprüngen ausarten (Abb 362 364) die in bizarren Formen die Zwischenwirbelsäume überbrücken und sich außerdem noch weit auf die Wirbelkörper ausdehnen. Dabei entstehen mitunter bei gleichzeitiger starker Atrophie der Wirbelkörper mit Einsziehung der Wirbelkörperaußenflächen (tallenförmige Einsziehung) zwischen den Randwülsten und den Wirbelkörpern Hohlräume, die im Röntgenbild an Zysten erinnern. *Hanserbeck* beschreibt ausführlich einen eindrucksvollen Fall dieser Art (Abb 351). Auch *W. Müller* gibt eine entsprechende Abbildung. In hochgradigen Fällen verwachsen die Randwülste der benachbarten Wirbel miteinander knöchern oder berühren sich mit gelenkartigen Spalten. Zwischen 2 Randwülsten sind gelegentlich Schalkknochen (Schmorl *Niederer*) eingelagert (Abb 362). Wenn Randwülste vollkommen miteinander verwachsen sind, zeigt sich meist eine geglättete Oberfläche (ruckergußartig) und ein deutlicher Umbau des Knochen balkenwerkens (Abb 365 367). *Ol* bezeichnet diese Form als Spondylitis hyperostotica. Bei oberflächlicher Betrachtung sind dann Verwechslungen mit der Spondylarthritis ankylopoetica möglich (Abb 366). Schwierig ist die Diagnose, wenn sich neben einer Spondylitis deformans noch eine Spondylarthritis ankylopoetica entwickelt (Abb 367).

Es muß hier ausdrücklich erwähnt werden, daß an allen Stellen, an denen Wirbelkörper unbeweglich miteinander verwachsen sind (durch fibrose Umwandlungen der Zwischenwirbelscheiben durch Zwischenwirbelscheibenverknöcherungen usw.), keine Randsackchen entstehen. Häufig kann



Abb 359 (Lichtbilder von zwei Wirbelkörpern in verschiedener Richtung von einem 45jährigen Manne.) Beginnende Randwulstbildung einer Spondylitis deformans. Man erkennt, daß die Randwulst nicht von der leicht erhabenen knöchernen Randleiste, sondern etwas tiefer davon an der Wirbelkörperaußenfläche ihren Ursprung nehmen. Die ringförmigen knöchernen Randleisten sind an dem Krankheitsvorgang unbeteiligt.



Abb. 361



Abb. 362

Abb. 360 (Lichtbild der mazzerten Lendenwirbelsäule eines 73-jährigen Mannes. Ansicht von oben.) Zahlreiche größere und kleinere Randschalen

des Wirbelkörpers, an die sich an der Wirbelkörperoberfläche bei deutlich erhöhter Knochendichte (erkranzte Randzüge des oberen Längsbandes) anlagern.

Abb. 361 (Röntgenaufnahme einer HWS) der in der Kapselkapsel durchgeführten Wirbelsäule eines 69-jährigen (Ma. neu.) Femoralen (Pfeil!) in den Wirbelkörper bei hochgradiger Myelom-koll. deformations mit Überbrückenden und verbleibenden Randulaten und gleichzeitiger Atrophie der Wirbelkörper (taulenförmige Einzieh. aus)

Abb. 362 (Röntgenaufnahme einer HWS) der in der Kapselkapsel durchgeführten Wirbelsäule eines 69-jährigen Mannes bei ungedrungenen (Pfeil!) Hochgradige verbleibende Randulaten ausgedehnten Knochenschalen (Pfeil!) Zwischen den beiden unteren Randulaten „Gelenkbildung“ Vor dem obersten Zwischenwirbelsäule „Gelenkbildung“ zwischen beginnenden Randulaten.

Abb. 363 (Röntgenaufnahme einer HWS) der in der Kapselkapsel durchgeführten Wirbelsäule eines 62-jährigen Mannes. Mäßig starke Randulaten die an einer oder an mehreren Wirbelkörpernrand entfernt liegen den 8. bis 9. gehen, sich aber ziemlich weit über die Wirbelkörperoberfläche erheben, so daß die vertikal beginnenden Schichten in den Zwischenwirbelsäule in hineinprojizieren



Abb. 364

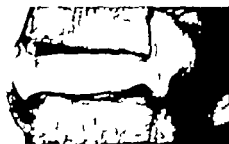


Abb. 365

Abb. 364 (Lichtbild der mazzerten Halswirbelsäule eines 70-jährigen Mannes. Ansicht von oben.) Hochgradige Randulaten (Pfeil!) gen, die zum Teil die Zwischenwirbelsäulen überbrücken, mit denen, sich auf die Wirbelkörper fortsetzenden lattenartigen Bändererhöbungen.

rungen von Zwischenwirbelscheibengewebe die zum Teil durch Vorfall aus dem Inneren der Zwischenwirbelscheibe zum Teil durch aktive Wucherungen von Zwischenwirbelscheibengewebe entstanden sind (Schmorl)

Es war schon erwähnt worden daß die Randzacken, die das auffallendste makroskopisch und röntgenologisch sichtbare Zeichen der Spondylois deformans sind, gar nicht am eigentlichen Rande des ausgebildeten Wirbelkörpers sitzen. Sie entspringen an der Stelle der Wirbelkörperaußenfläche,



Abb. 339 (Lichtbilder von zwei Wirbelkörpern in verschiedener Richtung von einem 48jährigen Manne) Beginnend Randwulstbildung einer Spondylois deformans. Man erkennt, daß die Randwulst nicht an der leicht erhabenen knöchernen Randleiste sondern etwas tiefer davon an der Wirbelkörperaußenfläche ihren Ursprung nehmen. Die ringförmigen knöchernen Randleisten sind an dem Krankheitsvorgang unbeteiligt

an der sich während der Wachstumszeit Wirbelkörper und knorpelige Wirbelkörperlängste berühren (Abb 337). Luschka glaubte aus dieser Tatsache die Entstehung der Randwulstbildungen aus Resten der knorpeligen Wirbelkörperlängste schließen zu können. Diese Ansicht ist aber leicht zu widerlegen, denn die Randwulste bilden sich erst nach dem Wachstumsabschluß, wenn hier kein Knorpel mehr vorhanden ist. Die Randwulstbildungen entstehen aus einem anderen Grunde gerade an dieser Stelle hier hebt sich das vordere Längsband, das fest mit der Wirbelkörperaußenfläche verwachsen ist, von der Wirbelkörperaußenfläche ab (S. 10 Abb 22). Es überbrückt dann, nur mit wenigen Fasern angeheftet den Teil des Wirbelkörpers, der sich aus der knorpeligen Randleiste gebildet hat, ferner die Zwischenwirbelscheibe und die Randleiste des nächsten Wirbelkörpers um sich erst dicht unterhalb der Randleiste wieder an den Wirbelkörper anzuhängen. Die beginnenden Randzacken entwickeln sich gerade an der Stelle an der sich das die Randleiste überbrückende Längsband am Wirbelkörper fest anheftet (Abb 357–359) weil hier die Zerrungen durch das vorgepreßte Bandscheibengewebe und durch die unphysiologischen Bewegungen wirksam werden. Sehr häufig beobachtet man daß von der Wirbelkörpervorderfläche nach den vorspringenden Randzacken zu kleine erhabene Knochenwulste stehen, die den vom Ligamentum longitudinale anterius auf die Wirbelkörpervorderfläche ausstrahlenden Bandfasern entsprechen (Abb 360 364)

Die Randwulstbildungen der Spondylois deformans können zu eigentümlichen, knorrigen Knochenvorsprüngen auswarten (Abb 362, 364) die in bizarren Formen die Zwischenwirbelräume überbrücken und sich außerdem noch weit auf die Wirbelkörper ausdehnen. Dabei entstehen mitunter bei gleichzeitiger starker Atrophie der Wirbelkörper mit Einziehung der Wirbelkörperaußenflächen (taillenförmige Einziehung) zwischen den Randwulsten und den Wirbelkörpern Hohlraum, die im Röntgenbild an Zysten erinnern. Hammerbeck beschreibt ausführlich einen eindrucksvollen Fall dieser Art (Abb 361). Auch H. Müller gibt eine entsprechende Abbildung. In hochgradigen Fällen verwachsen die Randwulste der benachbarten Wirbel miteinander knöchern oder berühren sich mit gelenkartigen Spalten. Zwischen 2 Randwulsten sind gelegentlich Schaltknochen (Schmorl, Viebauer) eingelagert (Abb 362). Wenn Randwulste vollkommen miteinander verwachsen sind, zeigt sich meist eine geglättete Oberfläche (zuckergußartig) und ein deutlicher Umbau des Knochenbälkchenwerkes (Abb. 366 367). Oft bezeichnet diese Form als Spondylitis hyperostotica. Bei oberflächlicher Betrachtung sind dann Verwechslungen mit der Spondylarthritis ankylopoetica möglich (Abb 366). Schwierig ist die Diagnose, wenn sich neben einer Spondylois deformans noch eine Spondylarthritis ankylopoetica entwickelt (Abb 367)

Es muß hier ausdrücklich erwähnt werden, daß an allen Stellen, an denen Wirbelkörper unbeweglich miteinander verwachsen sind (durch fibrose Umwandlungen der Zwischenwirbelscheiben, durch Zwischenwirbelscheibenverknöcherungen usw.), keine Randzacken entstehen. Häufig kann



Abb. 300 (Lichtbild der isolierten Lendenwirbelsäule eines 23-jährigen Mannes, Ansicht von oben.) Zahlreiche größere und kleinere Randrücken des Wirbelkörpers, an der Seite an der Wirbelkörperoberfläche liegend, deutlich erkennbare Knochenleisten (erkennbar als Randzüge des oberen Längsbandes) anliegen.



Abb. 301



Abb. 302

Abb. 301 (Röntgenaufnahme einer Hälfte der in der Sagittalebene durchgesägten Lendenwirbelsäule eines 69-jährigen Mannes.) „Pseudogelenk“ (Pfeile!) in den Wirbelkörpern bei hochgradiger Kypose sowie deformierte mit überbrückenden und überhängenden Rand ulsten und gleichzeitiger Atrophie der Wirbelkörper (tüllenformige Einsenkung g).

Abb. 302 (Röntgenaufnahme einer Hälfte der in der Sagittalebene durchgesägten Lendenwirbelsäule eines 62-jährigen Mannes, herausgesägten Schelle.) Hochgradige überbrückende Rand ulsten dichten Knochen in den Wirbelkörpern. Zwischen den beiden oberen Rand ulsten Gelenkbildung. Vor dem obersten Zwischenwirbelsäule „Reibknochen“ zwischen benachbarten Rand ulsten.

Abb. 303 (Röntgenaufnahme einer Hälfte der in der Sagittalebene durchgesägten Lendenwirbelsäule eines 82-jährigen Mannes.) Mäßig starke Rand ulsten die an einer etwas vom eigentlichen Wirbelkörperrand entfernt liegen den Stelle ausgehen, sich aber ziemlich weit über die Wirbelkörperoberfläche erheben, so daß die seitlich liegenden oberen Schichten in den Zwischenwirbelsäule im Bereich der Gelenke.

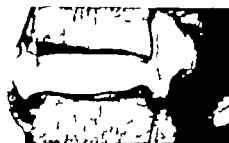


Abb. 304

Abb. 304 (Lichtbild der isolierten Lendenwirbelsäule eines 70-jährigen Mannes, Ansicht von oben.) Hochgradige Rand ulstenbildungen die zum Teil die Zwischenwirbelsäule betreffen mit dicken, tiefen die Wirbelkörper fortsetzenden leistenartigen Bändern erkennbar.



Abb. 305

man röntgenologisch verfolgen, wie Bandsacken, die sich infolge abnormer Bewegungsmöglichkeit zunächst gebildet hatten (z. B. bei Adoleszentenkyphose, Alterskyphose) allmählich wieder verschwinden, wenn eine Versteifung zwischen den Wirbelkörpern eingetreten ist und keine Zerrungen und Reibungen am Bandsapparat mehr vorkommen. (Abb. 363)

Die Beteiligung der Halswirbelsäule bei der Spondylose deformans (Abb. 364) zeigt einige Besonderheiten (*Krüllendahl und Kuwert*). *Schnitzers* errechnete bei 40 v. H. aller Menschen Bandsacken an der Halswirbelsäule, was also den vorn mitgeteilten Durchschnittswerten an der Brust- und Lendenwirbelsäule entspricht. *Barsony A. Fischer Grashay Kienböck*, *Ober* haben sich mit der

Röntgendarstellung der Spondylose deformans im Bereiche der Halswirbelsäule beschäftigt. Es scheint an der Halswirbelsäule öfter vorzukommen, und es ist mit großer Wahrscheinlichkeit nachgewiesen worden, daß Bandsackenbildungen Beschwerden infolge Einengung der Zwischenwirbellocher und Druck auf die austretenden Nerven verursachen (*Goette, Löw, Morton, Ryden*).



Abb. 363 (links). (Lichtbild der Sagittalschnittfläche einer mazerierten Wirbelsäule eines älteren Menschen.) Überbrückende Bandsackbildungen an allen Wirbelkörpern. Umbau der Knochenballenstruktur in den Wirbelkörpern.



Abb. 366 (Mitte). (Lichtbild der mazerierten Wirbelsäule einer 76-jährigen Frau, Ansicht von vorn.) Bandsackbildungen an zahlreichen Wirbelkörpern, im mittleren Brustteil rechts, im Lendenteil links. Die beiden kragen geglättete, ruckergußartige Oberfläche.



Abb. 367 (rechts). (Lichtbild der mazerierten Wirbelsäule eines älteren Menschen, Ansicht von der Seite.) Ausgedehnte Spondylose deformans mit überbrückenden, fest verknöcherten Bandsackbildungen deren Oberfläche geglättet (ruckergußartig) ist. Die gleichartige Überknöcherung der Rippen-Wirbel-Gelenke deutet auf eine hinzugekommene Spondylarthritide ankylopoietica hin.

n a.) Oft rufen auch Randwulstbildungen an den Hemiarthrosen-Intervertebrales laterales (Unco-vertebral Gelenk) die bereits *Luschna* an der Halswirbelsäule beschrieben hat beträchtliche klinische Beschwerden hervor (*Kronthal Grundr. Tierger.*) bei denen auch Beziehungen zum Bandscheiben vorfall v. liegen (S. 170). Es fehlen aber noch anatomische Untersuchungen darüber, ob die Arthrosi deformans in diesen Halsgelenken ursächlich durch Zwischenwirbelscheibenveränderungen bedingt wird. Einige Untersucher berichten über Knochenzacken an der Halswirbelsäule, die Schluckbeschwerden oder Fährung der Trachea verursachen (*Falk Holmgren* und *Hellmer Kitz* r. *Liedt Spitzberger Werk*).

Durch Versuche an Tieren (Zerstörung von Zwischenwirbelscheiben, Alkion von Randleisten usw.) konnten Randzacken erzeugt werden (vgl. S. 207), die der menschlichen Spondylitis deformans sehr ähneln (*Kw* und *Compere Led. Schuder Tammann*). Auch bei Han-tieren kommen Randzacken der Wirbelsäule vor, über die eingehende anatomische Berichte allerdings fehlen.

Untersuchungen über die Zeit, in der sich Randwulste ausbilden oder vergrößern können, fehlen noch in größerem Maße. *Heinrich* und *Siddr* erwähnen als kürzeste Ausbldungszeit deutlicher Randwulste 11½ Jahre. Nach Wirbelsäulentraumen sind aber beginnende Randwulste einwandfrei schon in der 4–8 Woche beobachtet worden (*Ellmer Fenster Hausmann Led. Jäger Virella*). Diese Feststellungen sind in Rückst auf die traumatische Spondylitis deformans (S. 200) wichtig. Für die allgemeine Spondylitis deformans wird eine Angabe über die Zeit zwischen Beginn der Bandscheibenveränderungen (Alkion des Randlitenanalu) und Ausbildung der ersten Anzeichen von Randwulstbildung nicht zu erlangen sein. Die Zeit, die bei der allgemeinen Spondylitis deformans zwischen den ersten im Röntgenbild sichtbaren Randzacken und deren wesentlicher Vergrößerung bis zur Überdeckung des ganzen Zwischenwirbelsaumes vergeht, ist verschieden, da die Verschlimmerung der Randwulstbildungen wesentlich von der Größe der ursprünglichen Zwischenwirbelscheibenveränderung und von deren durch weitere Belastung oder Überlastung bedingtem Fortschreiten abhängig ist.

Ob die Randzacken Schmerzen auslösen, ist noch nicht geklärt. *Rick* hält dies für möglich, da *Lund* an zahlreiche Schmerznervenendigungen in den Ligamenten gefunden hat, in denen sich die Randzacken bilden. Wie schwierig es ist, die Spondylitis deformans als klinisches Krankheitsbild zu werten, versucht *Müllers-St. phan* nachzuweisen.

E. Randwulste anderer Entstehung

An der Wirbelsäule werden gewisse Randwulstbildungen beobachtet, die sich nicht ganz an das oben geschilderte Schema halten, die in besondere nicht von der Stelle ausgehen, an der das knorpelne Randleiste mit dem Wirbelkörper zusammenstößt, sondern von der Randleiste selbst ihren Ursprung nehmen. Solche Randwulste können nicht auf Zerrungen am vorderen Längsband zurückgeführt werden, da dieses nicht von der Randleiste entspringt. Derartige Bildungen werden vielmehr beobachtet, wenn infolge Zwischenwirbelscheibenschwundes die gegenüberliegenden Wirbelkörperrandleisten unmittelbar aufeinander reiben. Dann entstehen an der Randleiste selbst als Folge der Reibungen kleine Knochenüberwucherungen, was besonders häufig bei der Alterskyphose vorkommt. Ähnliche Zackenbildungen an der Wirbelkörperkante entstehen auch bei Tabes der Wirbelsäule (*Abb. 293*), weil hier ebenfalls infolge ausgedehnten Schwundes und starker Zermürbung der Zwischenwirbelscheiben die benachbarten Wirbelkörperoberflächen aufeinander reiben (*Stadel*). Besonderer Beachtung bedürfen die Randwulste an Processus uncinatus der Halswirbelkörper (*S. 10 Abb. 274*).

Die bekannten Zackenbildungen bei Spondylitis infectiosa (Typhus, Tuberkulose usw.) die schon oft im Schrifttum beschrieben sind (*Hawthorn Puhl Hummel Ulrich u. a.*) haben nichts mit der eigentlichen Spondylitis deformans zu tun. Es muß eingehenden mikroskopischen Untersuchungen vorbehalten bleiben, festzustellen, ob solche Zackenbildungen als Folge der infektiösen Bandscheibenzerstörung und dadurch bedingten abnormen Bewegungen und Randzerrungen aufzufassen sind, oder ob sie durch den Reiz der Entzündungsvorgänge am knorpelbildenden Gewebe entstehen. Jedenfalls wird man gut tun, diese Zackenbildungen an den Wirbelkörpern nach Entzündungen vom Krankheitsbilde der Spondylitis deformans abzutrennen.

F Randwülste im Wirbelkanal

Es ist überaus auffallend und wird doch im Schrifttum nicht immer genügend betont, daß selbst bei hochgradigsten Randwulstbildungen an den vorderen und seitlichen Wirbelkörperkanten Zackenbildungen an den rückwärtigen Kanten der Wirbelkörper also im Wirbelkanal nur selten und dann nur in geringer Größe entstehen. Diese auffallende Tatsache erklärt sich durch das Verhalten des hinteren Längsbandes, das nur mit ganz verdünnten dünnen Fasern am Wirbelkörper selbst ansetzt während es mit seinen Hauptfasern an der Zwischenwirbelscheibe angeheftet ist. Es überbrückt die leicht nach innen eingezogenen Hinterflächen der Wirbelkörper. Ungewöhnliche Zerrungen, die wir als Ursache für die Randwulstbildungen ansehen, können also durch das hintere Längsband an den rückwärtigen Kanten der Wirbelkörper nicht verursacht werden.

Gelegentlich kommen aber kleine leistenartige oder knopfartige Knochenvorsprünge an den rückwärtigen Wirbelkörperkanten (also an der Vorderwand des Wirbelkanals) zur Beobachtung die in guten seitlichen Röntgenbildern ebenfalls zu sehen sind (Abb. 272, 273). Bei der Differentialdiagnose über die Ursachen der Isthialgie und Brachialgie (S. 169) spielen sie oft eine Rolle. Sie können neben einem gleichzeitig vorhandenen Bandscheibenvorfall nach hinten (oder auch ohne einen solchen) Druck gegen die austretenden Nervenwurzeln hervorrufen. Bawellen sind Knochenleisten an den hinteren Wirbelkörperkanten quer von einer Seite des Wirbelkanals bis zur anderen entwickelt (Gefahr der doppelseitigen Nervendruckerscheinungen!). Auch einzelne knopfartige Vorsprünge haben wir in den anatomischen Präparaten gesehen. Ursachen für solche „hinteren knöchernen Randwülste“ sind zweifellos Bandscheibenschäden, Bandscheibenlockerungen mit ihrer unrichtigen Beweglichkeit und dadurch hervorgerufene Zerrungen der an der Wirbelkante ansetzenden äußeren Faserringschichten führen wahrscheinlich zu derartigen Wucherungen. Bei volligem Bandscheibenchwund (Osteochondrosis Kap. IV D 2) entstehen die rückwärtigen Randwülste durch die Reizung der aufeinanderreibenden Knochenränder. Dieses Ereignis ist an der letzten präsakralen Lendenbandscheibe häufiger als an den anderen, weil hier infolge der nach rückwärts zugespitzten Keilform des Zwischenwirbelsraumes schon bei geringen Bandscheibenschädigungen die rückwärtigen Wirbelkörperkanten in Berührung kommen (Abb. 232, 233, 272). Weiterhin finden sich an der Vorderwand des Wirbelkanals gelegentlich noch Knochenauflagerungen durch Verknöcherung von hinteren Schmorlschen Knötchen (S. 164 Abb. 266, 267). In das übliche Krankheitsbild der Spondylosis deformans dürfen die Verknöcherungen an den hinteren Wirbelkörperkanten aber nicht einbezogen werden, da sie besondere Entstehungsursachen voraussetzen. Es ist deshalb fraglich, ob überhaupt von spinalen Erscheinungen bei Spondylosis deformans gesprochen werden kann, wie das gelegentlich im Schrifttum geschieht (Braus, Jungblut, Kienböck, Krübe, v. Reul u.).

Knochenzacken an der Rückwand des Wirbelkanals wurden in unseren Reibenuntersuchungen öfter beobachtet (Abb. 220—222). Sie gehen von den kleinen Gelenken oder vom Ligamentum flavum aus. Ob dadurch Druckerscheinungen auf das Rückenmark oder die austretenden Nervenwurzeln möglich sind, konnten wir nicht entscheiden. Es ist aber schwer darüber ein sicheres Urteil zu gewinnen. Weitere klinische Erfahrungen müssen gesammelt und anatomisch nachgeprüft werden.

G Differentialdiagnose

Im Schrifttum wird berichtet daß die Abgrenzung der Spondylosis deformans gegenüber der Spondylarthritidis ankylopoetica (Strumpell, Marie, Bechterew) nicht immer leicht sei. Für die beginnenden Fälle mag dies zutreffen (Aßmann, Schenkels) ausgebildete Fälle von Spondylarthritidis ankylopoetica sind aber charakteristisch und mit den Randwulstbildungen der Spondylosis deformans weder im Röntgenbild noch im makroskopisch pathologischen Präparat zu verwechseln. Bei der Besprechung der Wirbelsäulenversteifungen wird daher auf die differentialdiagnostischen Fragen eingegangen (S. 255ff.).

Manchmal findet man bei ausgedehnter Spondylosis deformans an einzelnen oder an einer größeren Zahl übereinanderliegender Wirbel Randwülste mit verhältnismäßig glatter Oberfläche, die den Zwischenwirbelsraum genau so überbrücken wie die bei langs bestehender Spondylarthritidis ankylopoetica zur Entwicklung kommenden, meist nur mäßig vorspringenden Verknöcherungen des Längs-

hendes. Wenn hier differentialdiagnostische Schwierigkeiten auftreten, kann eine genaue Betrachtung der kleinen Wirbelgelenke und der Rippen-Wirbel-Gelenke weiterhelfen, die bei der Spondylarthrosis ankylosierten fast regelmäßig ergriffen sind (Abb. 30, 40). Die glatten Randwulstbildungen treten hier, wenn überhöhte Randwülste zu einer völligen Versteifung führen, dann glatten sich die zunächst unregelmäßigen Knochenwucherungen, ebenso wie nach Festigung einer Fraktur die überschüssigen unregelmäßigen Kallusbildungen durch Abbau und Umformung eine geglättete Oberfläche erhalten. Solche regelmäßigen glatten Randwulstbildungen haben schon Polakowsky und Hensel mit einer erstarrten Gussmaß verglichen.

Hier und da sind im Schrifttum Hinweise auf den Zusammenhang zwischen Spondylois deformans und Arthrosi deformans enthalten. Da wie Heiss gezeigt hat, ist bei allen älteren Menschen Veränderungen im Sinne einer Arthrosi deformans (Knochenläsionen, kleine und größere Randwulstbildungen) an den größeren Körpergelenken, besonders am Kniegelenk, gefunden worden. Ist es natürlich schwer, Unterschiede oder Zusammenhänge zwischen der Spondylois und der Arthrosi objektiv festzustellen. Für unsere Untersuchungen ist besonders der Zusammenhang zwischen der Arthrosi deformans der kleinen Wirbelgelenke und der Spondylois deformans von Bedeutung. Für hier lediglich so viel gesagt, daß wir sowohl Wirbelsäulen mit hochgradiger Spondylois deformans und geringer Arthrosi der kleinen Gelenke, als auch solche mit ausgeprägter Arthrosi der kleinen Wirbelgelenke und nur unbedeutenden Randwulstbildungen an den Wirbelkörperanten beobachteten. Sicherlich bestehen zwischen den beiden Krankheiten bildern Beziehungen, weil beide den Abnutzungs- und Alterskrankheiten zugerechnet werden können. Die mechanischen Bedingungen, denen die Wirbelkörperbandscheibenreihe und die Wirbelbogenreihe unterliegen, sind aber sehr verschiedenartig. Dadurch ist eine unterschiedlich starke Ausbildung der Spondylois deformans und der Arthrosi der kleinen Gelenke möglich. Andererseits wiederum beeinflussen sich die beiden Veränderungen gegenseitig, indem hochgradige Ausbildung der einen Krankheit Veränderungen für die mechanischen Entstehungsursachen der anderen hervorruft. Eine hochgradig versteifte Spondylois deformans führt z. B. zu einer Ruhigstellung auch in der Wirbelbogenreihe, was aber nicht ohne Bedeutung für eine Arthrosi deformans der kleinen Wirbelgelenke ist und umgekehrt. Es wird weiteren eingehenden Untersuchungen vorbehalten bleiben müssen, die Beziehungen zwischen den beiden im gleichen Bewegungssegment liegenden Krankheitsbildern zu klären.

II Spondylois deformans und Trauma

Das Schrifttum enthält über die Beziehungen zwischen Trauma und Spondylois deformans viele Auseinandersetzungen. Es handelt sich dabei hauptsächlich um die Klärung von drei verschiedenen Fragen. Gilt es eine Spondylois deformans traumatica ohne Wirbelbruch, kommt im Zusammenhang mit dem Wirbelbruch eine Spondylois deformans traumatica vor, kann eine bestehende allgemeine Spondylois deformans durch ein Trauma verschlimmert werden? Über diese Fragen sind gegensätzliche Meinungen in großer Schärfe verfochten worden. Die endgültigen Antworten liegen auch heute noch nicht in vollbefriedigender Weise vor, obwohl sich die Begutachtungstätigkeit gerade damit recht häufig befassen muß. Besonders deutlich zeigt es sich hier, daß weder der pathologische Anatom, noch der Kliniker oder Röntgenologe allein die endgültige Entscheidung geben kann. Nur in der Zusammenarbeit werden wir weiterkommen, wobei es dem Röntgenologen möglich ist, Ausbildungs- und Rückbildungsvorgänge an den Randwülsten in Reihenuntersuchungen zu verfolgen.

Eine Spondylois deformans traumatica ohne Wirbelbruch liegt durchaus im Bereich der Möglichkeit. Bandscheibenverletzungen im Tierversuch von Lob-Schröder u. a. haben das bewiesen, soweit die Ergebnisse des Tierversuches unter Berücksichtigung des abweichenden anatomischen Baues an der Wirbelkörperbandscheibengrenze und des jugendlichen Alters der Tiere überhaupt auf die menschliche Pathologie übertragen werden dürfen. Auch beim Menschen können durch ein entsprechend geartetes Trauma Rückbildungen am Rande des Anulus entstehen, an die sich die Entwicklung von Randwülsten in den benachbarten Wirbelkörpern anschließt. Bei der Röntgenuntersuchung solcher Unfallverletzter wird am Unfalltage keinerlei Veränderung festzustellen sein, während sich nach 4–8 Wochen die Randwulstbildungen im Beginn zeigen. Häufig

tritt an der entsprechenden Zwischenwirbelscheibe allmählich noch eine Höhenverminderung ein. Die Ausdehnung einer derartigen Spondylosis deformans traumatica ohne Wirbelbruch ist im allgemeinen auf einen oder wenige benachbarte Zwischenwirbelsäume begrenzt (*Spondylosis deformans traumatica circumscripta*) sie kann aber auch an verschiedenen, getrennt voneinander liegenden Wirbelsäulenteilen auftreten, ebenso wie mehrfach getrennt voneinander liegende Wirbelkörperbrüche (S 102) nicht selten sind. Eine allgemeine sich über die ganze Länge der Wirbelsäule ausdehnende Spondylosis deformans die sich nach einem Wirbelsäulentrauma bei einer vorher nachweislich gesunden Wirbelsäule (Röntgenbild ohne Befund am Unfalltage!) gebildet hat, ist bisher noch nicht mit Sicherheit festgestellt worden. Das ist aber auch kaum zu erwarten, denn eine traumatische Einwirkung die so an der Wirbelsäule angreift daß an allen Zwischenwirbelscheiben die bisher gesunden Fasern des Randleistenannulus durchreißen, ist kaum vorstellbar. Ein Schlag gegen den Rücken, Fall auf den Rücken, Zusammenknicken nach vorn, oder ein Überbleiben nach hinten werden immer nur in einem örtlich begrenzten Wirbelsäulenteil zu entsprechenden Zwischenwirbelscheibenschädigungen führen. Jedenfalls muß bei jeder ausgedehnten Spondylosis deformans, die sich nach einem Unfallereignis entwickelt, auch an die Möglichkeit gedacht werden, daß schon erheblich degenerative Vorveränderungen am Faserring bestanden haben. Nach der bisher nachgewiesenen raschen Bildung von Randzacken sollte man eine Spondylosis deformans nur dann als unfallbedingt anerkennen, wenn sie sich bei einer vorher nachweisbaren gesunden Wirbelsäule innerhalb des ersten Halbjahres nach dem Unfallereignis mit deutlichen Randwulstbildungen zeigt. Jeder Einzelfall bedarf einer strengen Kritik.

Eine Spondylosis deformans traumatica im Zusammenhang mit einem Wirbelbruch kann ebenso, wie ohne Wirbelbruch, dann eintreten, wenn am gebrochenen Wirbelkörper und in seiner Nachbarschaft die Fasern des Randleistenannulus in entsprechender Weise mitverletzt werden. Auch diese Form der traumatischen Spondylosis deformans wird im allgemeinen eine umschriebene sein („Im Bruchgebiet“). Ihre Bildung tritt nach den neueren Untersuchungen von Röntgenreihen ebenfalls in den ersten Monaten nach der Verletzung ein (*Heublein*). Schwierig bleibt allerdings die Abgrenzung gegenüber einem Bruchkallus und einer Verkrümmung des abgetrennten oder durch blutigen Längsbandes. Manche Bearbeiter wollen bei Randzackenbildungen in der Umgebung von Wirbelbrüchen überhaupt nur von Bruchkallus sprechen (*Gaucke* u. a.). Diese Ansicht scheint aber zu einseitig und berücksichtigt die neuesten Kenntnisse über die Zwischenwirbelscheibenverletzungen nicht genügend. In manchen Fällen muß auch noch an die Möglichkeit einer Spangen- oder Zackenbildung im Sinne mechanischer Abstützung bei in Verkrümmungs- oder Ablenkungstellung heilenden Wirbelbrüchen gedacht werden. Bei aufmerksamer Durchmusterung von Röntgenbildern wird oft etwas entfernt von einem Wirbelbruch mit Randzackenbildungen eine umschriebene traumatische Spondylosis deformans ohne Wirbelbruch infolge Faserringverletzung gefunden (*Heublein*). Solche Vorkommnisse beweisen den Zusammenhang zwischen Wirbelsäulentrauma und Spondylosis deformans, wenn bei der Röntgenaufnahme am Unfalltage sicherlich keine Zacken vorhanden waren. Es ist noch nicht genügend geklärt, wieweit die verschiedenen Behandlungsmaßnahmen der Wirbelbrüche (S 101) die Bildung von Randzacken verhindern oder begünstigen.

Wenn in den Jahren nach einem Wirbelbruch allmählich eine allgemeine Spondylosis deformans eintritt dann ist sie bisweilen als Folge des Wirbelbruches gedeutet worden mit der Behauptung, die zurückgebliebene Wirbelsäulenverkrümmung und Teilversteifung im Bruchbereich habe die mechanischen Bedingungen so einschneidend verändert, daß allmähliche Abtrennungen des Randleistenannulus aller Zwischenwirbelscheiben die Folge waren („statische Spondylose“ nach *Ruge*). Eine solch he Einstellung scheint aber sehr bedenklich und ist durch die Erfahrungen nicht gerechtfertigt, denn mit zunehmendem Alter ist die Spondylosis deformans als Alterskrankheit bei fast allen Menschen vorhanden (*Jungmann*). Die Anerkennung einer allmählich nach Wirbelbruch auftretenden allgemeinen Spondylosis deformans als Unfallfolge ist nur in ganz seltenen Ausnahmefällen bei jungen Menschen möglich, wenn eine erhebliche Verkrümmung zurückgeblieben ist, und wenn die Spondylosis deformans sich einwandfrei vom Bruchgebiet nach oben und unten in verhältnismäßig kurzer Zeit ausbreitet. Die allermeisten Wirbelbrüche haben aber nach auch jahrelang bestehenden Verkrümmungen kaum jemals eine auffallende allgemeine Spondylosis deformans im Gefolge.

Die Möglichkeit einer Verschlimmerung einer allgemeinen Spondylois deformans durch ein Trauma ist nicht vom Leichter zu weisen. Ein Trauma, das eine spondylotisch veränderte Wirbelsäule trifft, wird mit oder ohne Eintreten eines Wirbelsbruchs — zur weiteren Lockerung des geschädigten Lössringes, zum Vordrängen des Zwischenwirbelscheibengewebes zur Änderung der Belastungsverteilung durch Schmerzhaltung und zu ähnlichen, die vorhandene Spindel-, Ischias- und Tarsus-Veränderung beeinflussen werden. Auswirkungen führen können. Die Schwierigkeiten der gutachtlichen Beurteilung sind hier allerdings noch größer. Zur Anerkennung des Unfallzusammenhanges gehört der Nachweis einer nach Trauma rasch fort schreitenden Vergrößerung der im Röntgenbild sichtbaren Knochenzacken. Dabei ist aber die Schwere der Vorerkrankung zu berücksichtigen, und die Verschlimmerung geht zweifellos nach einiger Zeit (etwa $\frac{1}{2}$ –1 Jahr in den schicklich maßigen Ablauf über. (In dem Beobachtungsgut von Loh konnte unter 20 Wirbelsäulenverletzungen die objektive Verschlimmerung einer allgemeinen Spondylois deformans in 10 v H nachgewiesen werden.)

Ebenso wie durch einmalige traumatische Einwirkungen kann die Spondylois deformans durch Überlastungen wie bei gleichem Leben und Beruf notwendigsten mit sich bringen erheblich ungünstig beeinflusst werden (Hult). Der Nachweis darüber ist niemals mit Sicherheit zu führen, und die Anerkennung einer Spondylois deformans als Berufskrankheit für gewisse Berufe wie *Bau- und Transport* vorschlagen kann, obwohl nach den heute geltenden deutschen Bestimmungen nicht ausgesprochen werden, obwohl sich *Röntgen* sehr dafür einsetzt. Eine besondere Beteiligung der Halswirbelsäule bei jungen Sportlern fand *Burke, Baumel, Beck, Mainz* u. a. können auf Grund ausgeführter Untersuchungen eine Wirbelsäulenschädigung durch Treibarbeit ab.

Eine dauernde Überlastung als Ursache für eine Spondylois deformans ist bei Störungen im Bereiche des Beckens und der Beine möglich. Muskellähmungen, Beinmüdigkeiten, Beinverkürzungen, schiefgeheilte Beckenbrüche, Beinamputationen mit und ohne Prothese und ähnliches. Bei solchen Veränderungen kann eine langjährige Schiefstellung des Beckens zur Lumbalkollose, damit zu einseitiger Dauerbelastung der im Beckenbereich liegenden Bandscheiben und zu entsprechenden Veränderungen mit anschließenden Bandscheibenveränderungen an den Wirbelkörpern führen (S. I 210). Wenn die zugrunde liegende Störung (z. B. Amputation, Nervenlähmung u. a.) unfallbedingt ist, dann muß auch die Spondylois deformans als mittelbare Unfallfolge aufgefaßt und entsprechend gutachtlich beurteilt werden. Den Nachweis der Lumbalkollose mit Spondylois deformans bei Beinamputierten führen *Jay* und *Isidorowicz, Arens* faßt die Verbiegung der Lendenwirbelsäule und die durch bedingte spondylotische Veränderungen als Kompensationsfolge der Schwerpunktverlagerung bei Beinamputierten auf und meint, daß mit der üblichen Einschätzung einer Erminderung von 50–60 v H diese Wirbelsäulenveränderungen mit eingeschlossen sind. Trotzdem ist die gutachtliche Beurteilung schwierig, da die Spondylois deformans mit zunehmendem Alter fast alle Menschen ergreift (S. 216). Es dürfte vorteilhaft sein, bei entsprechenden Kranken (z. B. unfallbedingten Amputationen oder Beinverkürzungen) von vornherein Röntgenaufnahmen der Lendenwirbelsäule herzustellen, die dann zum Vergleich über die Entwicklung einer Spondylois deformans dienen. Allein bei Schaffung solcher Vorbedingungen wird es möglich sein, eine schicklich maßig und altersbedingte von einer belastungsbedingten Spondylois deformans abzugrenzen. Besonders große Schwierigkeiten bereitet die Klärung des oft behaupteten Zusammenhangs zwischen Spondylois deformans und Wehrdienstbeschädigung (*Jungmann, Slank u. a.*)

Beispielen sind in Röntgenbildern und anatomischen Präparaten „Bruchlinien“ in Wirbelkörpern, Lenden oder in Längsbandverknöcherungen (*Schröder*) beobachtet worden. Ob es sich dabei aber tatsächlich um traumatisch entstandene Bruchlinien, Schaltknochen (Abb. 30.) oder „Umbauzone“ handelt, ist noch nicht geklärt (zur Vertik).

Au ähnliche Arbeiten *Gangel, Gurtz, Haumann, Hellmer, Loh, Ruge, Schröder*.

Weiteres Schrifttum: *Baummann, Beck, Baume, Boos, Brandis, Burkhardt, Ellmer, Ewald, F. H. Fischer, Heller, Heine, Humm, Jäger, Jentzer, Mau, Milko, Nodas, Nodak, Pels-Levend, Plate, Sched, Schmieden, Segre, Stemann, Ullrich, Wagners u. a.*

VI Die Verkrümmungen der Wirbelsäule

A. Kyphosen

1. Angeborene Kyphosen

Eine große Zahl von Fehlbildungen der Wirbelsäule geht mit kyphotischen Verkrümmungen der Wirbelsäule einher, die teilweise bereits im Embryonalleben deutlich entwickelt sind, oder sich erst durch allmähliche weitere Umformung der mißbildeten Wirbelkörper bei zunehmender Belastung nach der Geburt ausbilden. Das letzte gilt besonders für die *Wirbelkörperfuge in Pfeilnaht* (Abb 47—49) den bestehenbleibenden Chordakanal (Abb 50, 51) und bei fehlender Wirbelkörperverknöcherung. Da bei den Wirbelsäulenfehlbildungen (Kap II) die angeborenen Kyphosen jeweils bereits besprochen sind, kann hier auf weitere Ausführungen verzichtet werden.

2. Adoleszentenkyphose

Die Kyphoseform der Heranwachsenden, die „Adoleszentenkyphose“ nimmt im Schrifttum einen sehr breiten Raum ein. Zuerst hat *Scheuermann* auf diese Kyphoseform nachdrücklich hingewiesen. Auf seitlichen Röntgenbildern junger Leute konnte er nachweisen, daß die in den verkrümmten Abschnitten der Wirbelsäule liegenden Wirbelkörper vorn bedeutend niedriger sind als hinten (Keilwirbelbildungen). Im Beginn der Erkrankung fand er auch noch Unregelmäßigkeiten in der Schattenzeichnung der sog. *Wirbelkörperperipherie* (*Wirbelkörperperipherie*) und eine uncharakteristische Umgrenzung des Wirbelkörpers, die er auf krankhafte Veränderungen im Bereich der Wachstumslinien zwischen dem Wirbelkörper und der Epiphyse bezieht. Er hatte keine Gelegenheit, anatomische Untersuchungen anzustellen. Nach dem Röntgenbild kommt er aber zu der Ansicht, daß die Adoleszentenkyphose der von *Perthes* und *Calé* unter dem Namen *Osteochondritis discaus* beschriebenen Krankheit nahesteht. Auch *Mau* hat sich eingehend mit der Entstehung der Adoleszentenkyphose beschäftigt und bestätigt im wesentlichen die *Scheuermann'schen* Befunde. Er hält es für wahrscheinlich, daß die Ursache der Kyphosenbildung bei Jugendlichen eine Nekrose der Wirbelkörperperipherie ist, wie er sie experimentell an Rattenschwänzen erzeugen konnte. Die von *Scheuermann* beschriebenen röntgenologisch nachweisbaren Veränderungen sind von verschiedenen Seiten bestätigt worden (*Edelstein, Harrenstein, Hanson, Kohle, Mau* u. a.) aber über die Entstehungsursache und das zugrunde liegende anatomische Bild herrschte lange Zeit Unklarheit, und viele Streitfragen darüber sind heute noch nicht zur Ruhe gekommen. Besonders eingehend ist die Frage behandelt worden, ob und inwieweit bei der Adoleszentenkyphose Veränderungen der knöchernen Rauten und ihrer Ausbildung vorkommen, und ob diese Veränderungen Ursache für die Wirbelsäulenverkrümmung sind. Das Krankheitsbild wird im französischen Schrifttum als „*épiphyse vertébrales*“ bezeichnet und es wird auf schmerzhaft Zustände (*épiphyse vertébrales douloureuses*) beim Beginn der Erkrankung aufmerksam gemacht (*Delahaye, Gourdou, Mayer, Mocquot* und *Baumann, Rocher* und *Rowell* u. a.). *Eckhardt* bezeichnet die Adoleszentenkyphose als „*Osteochondritis deformans juvenilis dorsalis*“ und *Osten-Sacken* führt die Erkrankung auf eine endochondrale Ossifikationsstörung zurück, und *Domati* hält mangelhafte Verkalkungsvorgänge für die Ursache der Adoleszentenkyphose. Es sind auch noch andere Ursachen in Erwägung gezogen worden (*Mocquot* und *Baumann* abgeschwächte Osteomyelitis, *Freytag* Tuberkulose *Mutschlecker* MIB-Verhältnis zwischen Wachstumsschnelligkeit der Wirbelsäule und des Brustbeins u. a.)

Nachdem durch *Schmorl's* Untersuchungen die Aufmerksamkeit auf die „*Knorpelknötchen*“ in den Wirbelkörpern gelenkt worden war, fiel es zuerst *W. Müller* und auch *Harrenstein* auf, daß solche Knorpelknötchen häufig bei Adoleszentenkyphosen im Bereiche der kyphotischen Ver-

krümmung zu finden. Im 4. Knorpel weist hat in w. Herten Untersuchen den Zusammenhang zwischen Knorpelknüttellungen und Adoleszentenkyphose geklärt. Die Adoleszentenkyphose entwickelt sich in höherem Alter im Maß der Jüngendlichkeit. Die bereits angelegte Ausbuchtungen der Zwischenwirbelscheiben im Bereich des Gallertkerns haben (Abb. 268, 269, 270) wie weiter vorn besprochen ist (S. 270). Da innerhalb der Ausbuchtungen die Knorpelplatten dünner sind, als der Regel entspricht, besteht hier eine Stelle besonders geringer Widerstandsfähigkeit. Wenn junge Leute mit solchen, wenig widerstandsfähigen Wirbelsäulen während der 2. Wachstumszeit (bis nach dem 1. Lebensjahr) schwere Arbeiten leisten müssen, werden sie einen die Wirbelsäule stark



Abb. 268 (Links) Bild einer sagittalen Mittelfläche durch die Brustbandwirbelsäule in schwacher Vergrößerung. A. Ausbuchtungen des Gallertkerns gelichtet nach oben und unten zu in die Wirbelsäule mit Einströmen in Gallertkerne. B. und Verwerfung der Faserungsrichtungen (vgl. Abb. 269, 269).



Abb. 269 (Vergrößerung des mittleren Abschnittes des Bildes vorher). Die Änderungen am Aufbau des Gallertkerns und auch Veränderungen der Knorpelplatten, besonders nach unten zu im Hohlraum deutlich zu erkennen. Nach unten zu in der Ausbuchtung etwas nach links im Hohlraum ist die beginnende schalenförmige Knochenbildung gut zu sehen.

Abb. 270 (unten links) (Links) Bild der sagittalen Mittelfläche durch die Brustbandwirbelsäule eines 17-jährigen Jungen mit Adoleszentenkyphose. A. Ausbuchtungen der Zwischenwirbelscheiben am Gallertkern gelichtet nach oben und unten. B. der Mittelschichtaufnahme und der nach unten zu in der Wirbelsäule der Knorpelplatten an der Zwischenwirbelsäule (im Hohlraum) oben und unten spärlicher in die Wirbelsäule einströmen. C. der Faserung und die Knorpelplatten. D. der unteren Randlinie beginnende Knochenbildung.

Abb. 271 (unten rechts) (Links) Bild der sagittalen Mittelfläche durch die Brustbandwirbelsäule eines 17-jährigen Jungen mit Adoleszentenkyphose. Die Knorpelplatten sind im Hohlraum an der Wirbelsäule unterhalb der Anwesenheit der Zwischenwirbelscheiben. B. in die Wirbelsäule einströmen in die Faserung ist der Knorpelkörper am das ordnende Bandscheiben.



Abb. 270 und 271 (Legenden siehe oben).

belastenden Sport treiben, oder ihre Wirbelsäule starken Erschütterungen ausgesetzt ist (Motorrad fahren usw.), kann es an den dünnen Knorpelplatten zu Einrissen und zu Austritt von Zwischenwirbelscheibengewebe in die angrenzende Wirbelkörperspongiosa kommen (Abb. 370–372). Bisweilen beschränkt sich die Zerstörung der Knorpelplatte aber nicht allein auf das Gellertkerngebiet sondern es erfaßt bei schweren Schädigungen oder bei ausgedehnteren solchen Fehlbildungen auch die angrenzenden Teile der Knorpelplatte (Abb. 373) und es entstehen ausgedehnte Veränderungen



Abb. 372. (Lichtbild der Sagittalschnittfläche durch Brustbandscheibe eines 28-jährigen Mannes mit Adoleszentenkyphose.) Unterbrechung der unteren und der oberen Knorpelplatte mit Vorfall von Zwischenwirbelscheibengewebe und — besonders unten — Bildung großer tra. benartiger Knorpelwucherungen. Die knöchernen Randleisten an den Vorderkanten der Wirbelkörper (rechts im Bild) sind unverändert



Abb. 373 (links). Lichtbild der Sagittalschnittfläche durch Brustbandscheibe bei Adoleszentenkyphose.) Zerstörung der Knorpelplatten an mehreren Stellen oben und unten mit Vorfall von Zwischenwirbelscheibengewebe und Bildung reaktiver Knorpelwucherungen und Spongiosaverdichtungen um das vorgefallene Bandscheibengewebe. Die knöchernen Randleisten an den vorderen Wirbelkörperkanten (links im Bild) sind unverändert. Das Zwischenwirbelscheibengewebe zu einem großen Teil fibrös umgewandelt.

Abb. 374 (rechts). Schematische Zeichnung eines Wirbelsäule-Sagittalschnittes über die Entstehung der Adoleszenten Kyphose. Häufig sind anlagenmäßig bedingt Einbuchtungen der Wirbelkörper Grundplatten und Deckplatten (Abb. 59) Ursache für Bandscheibenrisse und anschließende Wachstumsstörungen an der Wirbelkörper Bandscheiben-Grenze. Im allgemeinen bleibt die Wirbelkörperendleiste unberührt (Abb. 377/378).

an den Wirbelkörperendplatten (Abb. 376) Die bei jugendlichen Kyphosen häufig sichtbaren und im vorhergehenden Absatz erwähnten angeborenen Einbuchtungen der Grund und Deckplatten der Wirbelkörper hat *Liadmann* veranlaßt, Beziehungen solcher Kyphosen, die er als „infantile Kyphosen“ bezeichnet, zur *Dysostosis enchondralis* zu suchen.

Laederer hat in seinen Untersuchungen auf die Bedeutung mikroskopisch feiner „Nekrosen“ in der knorpeligen Schlußplatte hingewiesen, die er als „abortive Ossifikationskerne“ bezeichnet und die wohl den *Schmorl'schen* Ossifikationslücken entsprechen (8/15). An solchen Stellen sah *Laederer* bei juveniler Kyphose „Hernien des Pulpakerns“ also „*Schmorl'sche* Knötchen“ und er glaubt, daß derartige Ossifikationskerne noch viel häufiger Ursache für kleine Bandscheibenprolapsen bei Adoleszentenkyphose sein können als die Blutgefäßdurchtrittsstellen, weil sich die Blutgefäße erst in späteren Jahren zurückbilden. Diese Ansicht ergänzt auf das glücklichste die *Schmorl'schen* Forschungs-

bildung hervorgerufen und in Endzuständen meist völlig versteifte Kyphose. Die Zwischenwirbelscheiben sind unregelmäßig nach oben und unten zu begrenzt und die Knorpelplatten weitgehend zerstört (Abb 370). Auch eine „Jumbale Form“ bei der nur die oberen Lendenwirbelkörper erkrankt sind (Abb 370) ist bekannt (*Lasert u. a.*)

Auch in späteren Lebensaltern läßt sich auf Sägeschnitten in der Pfeilnahtebene (Abb 380, 383) und in Röntgenbildern (Abb 381–383) der typische Befund erheben und die Diagnose der Ado-



Abb. 377 (links) (Ausschnitt aus seitlicher Röntgenaufnahme der unteren Brustwirbelsäule eines 16-jährigen Junglings.) Typische Adoleszentenkyphose mit erheblichen Unregelmäßigkeiten an der Wirbelkörperbandscheibengrenze und mit tiefen Einbrüchen von Zwischenwirbelscheibengewebe besonders im vorderen Drittel bei erhaltenen knöchernen Wirbelkörperperipherieeilen.

Abb. 378 (rechts) (Tomogramm des gleichen Wirbelsäulenabschnittes wie Abb. 377.) Die Bandscheibeneinbrüche sind noch deutlicher sichtbar.

leszentenkyphose meist zweifelsfrei stellen. Die starken Knochenschalen, die sich um die Knorpelknötchen ausbilden, verschwinden allerdings mit zunehmendem Alter, wenn die Zwischenwirbelscheiben durch fibrose Einwucherungen unelastisch geworden sind und dadurch der Druckkreis auf das in die Wirbelkörper vorgefallene Zwischenwirbelscheibengewebe aufhört. Dies hat man auch in Röntgenreihenuntersuchungen festgestellt (*Mau*). Im Verlauf von Adoleszentenkyphosen können sich infolge der abnormen Zerrungen und Druckverhältnisse an den vorderen Wirbelkörperkanten kleine spondylotische Zacken ausbilden. Diese erfahren eine Rückbildung, wenn eine völlige Fibrose des geschädigten Zwischenwirbelscheibengewebes und damit eine Versteifung eingetreten ist, ähnlich wie wir dies von der Alterskyphose (S. 210) und der Spondylitis deformans (S. 220) kennen. Im klinischen Röntgenbild lassen sich die Zacken an den Vorderkanten der Kollwirbel ebenfalls darstellen (*Boerema, Reißner u. a.*). Wie *Buckofsky* in einzelnen Fällen feststellte, kann es bei der endgültigen Ausheilung der juvenilen Kyphose zu Synostosen der vorderen Wirbelkörperteile kommen.

Im allgemeinen entwickelt sich die Kyphose langsam. Nur bei solchen jungen Menschen, die sehr schwere Aktivitäten in gewöhnlicher Stellung (Tragen schwerer Lasten) betreiben müssen, nimmt die Verkrümmung rascher zu und erreicht eine stärkere Ausbuchtung. Mitunter läßt sich der Beginn der Verkrümmung auch auf eine einmalige Leistung einer besonders schweren körperlichen Arbeit



Abb. 279 (links): (Querschnitt aus dem ventralen Bogenbild der Lendenwirbelsäule eines 1-jährigen Jungens.) Deutliche Adäquatenkyplose mit sehr deutlichen am Zwischenwirbelscheitengewebe den oberen Wirbeln zugeordnet, besonders am Lenden wirbelscheit. Bei Wachsen mit jungen bei erhaltenen Knochenmarken Handlungen.

Abb. 280 (rechts): (Lateralbild der Röntgenaufnahme der Brustwirbelsäule eines 55-jährigen Mannes.) Deutliche ausgeprägte Kyplose auf der am Kieferbildung (Adoleszentenkyphose). Mehrere Zwischenwirbelscheiten, die den Kiefer bilden, sind in schräger Lage (bei sehr ungleichmäßiger Höhe und Ausbuchtung) in die Wirbelsäule hinein (schwarze Kiefer).

zurückführen, wie Scheuemann ausdrücklich hervorhebt. In diesem Falle sind wahrscheinlich bei bestehender Anlage (besondere Minderwertigkeit der Knorpelplatte) durch eine einmalige Überlastung mehrere vorgeschädigte Knorpelplatten gleichzeitig eingerissen. Dadurch ist dem Eindringen größerer Massen von Gallertkerngewebe in die Wirbelkörper Vorschub geleistet und rasches Entstehen einer Kyphose eingeleitet worden.

In Röntgenbildern von Lebenden (und von verschiedenen Seiten bei der Ausbildung von Adoleszentenkyphose Unregelmäßigkeiten in der Verknöcherung der Wirbelkörpermarginalien beschrieben

bildung hervorgerufen und in Endzuständen meist völlig versteifte Kyphose. Die Zwischenwirbelscheiben sind unregelmäßig nach oben und unten zu begrenzt und die Knorpelplatten weitgehend zerstört (Abb. 370). Auch eine „lumbale Form“ bei der nur die oberen Lendenwirbelkörper erkrankt sind (Abb. 370) ist bekannt (Lewert u. a.).

Auch in späteren Lebensaltern läßt sich auf Sägeschnitten in der Pfeilnahtebene (Abb. 380, 383) und in Röntgenbildern (Abb. 381, 382, 384) der typische Befund erheben und die Diagnose der Ado-



Abb. 377 (links). (Ausschnitt aus seitlicher Röntgenaufnahme der unteren Brustwirbelsäule eines 16-jährigen Jünglings.) Typische Adoleszentenkyphose mit erheblichen Unregelmäßigkeiten an der Wirbelkörperbandscheibengrenze und mit tiefen Einbrüchen von Zwischenwirbelscheibengewebe besonders im vorderen Drittel bei erhaltenen knöchernen Wirbelkörperansatzstellen.

Abb. 378 (rechts). (Tomogramm des gleichen Wirbelsäulenabschnittes wie Abb. 377.) Die Bandscheibeneinbrüche sind noch deutlicher sichtbar.

leszentenkyphose meist zweifelsfrei stellen. Die starken Knochenschalen, die sich um die Knorpelknötchen ausbilden, verschwinden allerdings mit zunehmendem Alter, wenn die Zwischenwirbelscheiben durch fibröse Einwucherungen unelastisch geworden sind und dadurch der Druckreiz auf das in die Wirbelkörper vorgefallene Zwischenwirbelscheibengewebe aufhört. Dies hat man auch in Röntgenreihenuntersuchungen festgestellt (Mau). Im Verlauf von Adoleszentenkyphosen können sich infolge der abnormen Zerrungen und Druckverhältnisse an den vorderen Wirbelkörperkanten kleine spondylotische Zacken ausbilden. Diese erfahren eine Rückbildung, wenn eine völlige Fibrose des geschädigten Zwischenwirbelscheibengewebes und damit eine Versteifung eingetreten ist, ähnlich wie wir dies von der Alterskyphose (S. 240) und der Spondylotische deformans (S. 220) kennen. Im klinischen Röntgenbild lassen sich die Zacken an den Vorderkanten der Keilwirbel ebenfalls darstellen (Boerema, Reisser u. a.). Wie Bloch/Seiberger in einzelnen Fällen feststellte, kann es bei der endgültigen Aushheilung der juvenilen Kyphose zu Synostosen der vorderen Wirbelkörper teile kommen.

Im allgemeinen entwickeln sich die Kyphosen langsam. Nur bei solchen jungen Menschen, die sehr schwere Arbeiten in gebückter Stellung (Tragen schwerer Lasten) leisten müssen, nimmt die Verkrümmung rascher zu und erreicht eine stärkere Ausbildung. Mitunter läßt sich der Beginn der Verkrümmung auch auf eine einmalige Leistung einer besonders schweren körperlichen Arbeit



Abb. 279 (links). (Ansicht von dem seitlichen Röntgenbild der Lendenwirbelsäule eines 17-jährigen Junglings.) Lebhafte Adoleszentenkyphose mit tiefen Einbrüchen von Zwischenwirbelscheitengewebe in den vorderen Wirbelkörpern, besonders in 2. Lendenwirbelkörper und Wachstumsstörungen bei erhaltenen knöchernen Randleisten.

Abb. 280 (rechts). (Lichtbild der Sagittalschnittfläche der Brustwirbelsäule eines 88-jährigen Mannes.) Deutlich ausgesprochene Kyphose infolge von Keilwirbelbildung (Adoleszentenkyphose). Mehrere Zwischenwirbelscheiben, die den Keilwirbeln anliegen, sind unregelmäßig begrenzt und zeigen ungleiche Höhe und Ausbuchtungen in die Wirbelkörper hinein (Schmorlsche Knötchen).

zurückführen wie *Scherrmann* ausdrücklich hervorhebt. In diesem Falle sind wahrscheinlich bei bestehender Anlage (besondere Minderwertigkeit der Knorpelplatte) durch eine einmalige Überlastung mehrere vorbeschädigte Knorpelplatten gleichzeitig eingerissen. Dadurch ist dem Eindringen größerer Massen von Gallertkerngewebe in die Wirbelkörper Vorhub geleistet und rasches Entstehen einer Kyphose eingeleitet worden.

In Röntgenbildern von Lebenden sind von verschiedenen Seiten bei der Ausbildung von Adoleszentenkyphose Unregelmäßigkeiten in der Verknöcherung der Wirbelkörpermarginalien beschrieben

wurden (*Lyon und Marum Max Scherermann u v s*) die auch zu der Bezeichnung „Epiphysitis“ Anlaß gegeben haben (S 228). Es ist durchaus denkbar, daß infolge des vermehrten Druckes auf den vorderen Wirbelkörperteilen, der zu den beschriebenen Keilwirbelbildungen Anlaß gibt, auch gewisse Störungen in der Verknöcherung der Randleisten auftreten. *Schmorl* konnte aber niemals

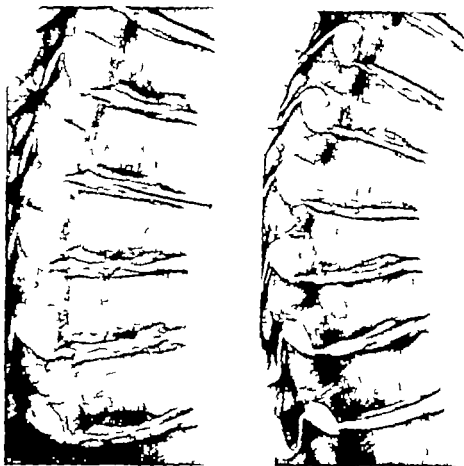


Abb. 351 (rechts). Seitliche Röntgenaufnahme einer Hälfte der in der Sagittalebene durchgesägten Brustwirbelsäule eines 20-jährigen Mannes.) Mehrere mäßig stark keilförmige Wirbelkörper mit unregelmäßiger Begrenzung nach den Zwischenwirbelscheiben zu. Niedrige Zwischenwirbelscheiben. Typische Adoleszentenkyphose auf Grund zahlreicher Ausbuchtungen des Zwischenwirbelscheibengewebes (*Schmorl'sche Knötchen*). Kleine Randzacken an einigen Wirbelkörpern.

Abb. 343 (links). Seitliche Röntgenaufnahme einer Hälft der in der Sagittalebene durchgesägten Wirbelsäule eines 48-jährigen Mannes.) Geringe kyphotische Verbiegung der Brustwirbelsäule bei fast Keilwirbelbildung mehrerer übereinanderliegender Wirbelkörper mit unregelmäßiger Begrenzung nach den Zwischenwirbelscheiben zu, die außerdem niedriger sind als die übrigen. (Endzustand einer in der Jugend erworbenen Adoleszentenkyphose mit *Schmorl'schen Knötchen*.)

Veränderungen im Sinne von entzündlichen Vorgängen oder Nekrosen in den Randleisten finden. Seitliche Röntgenbilder (Abb 377) und Röntgenschnittaufnahmen (Abb 378) beim Lebenden zeigen gut vorhandene knöcherne Randleisten bei hochgradigen frischen Fällen von Adoleszentenkyphose (*Sowm*). Auch bei älteren Menschen mit abgeheilten und versteiften Adoleszentenkyphosen sind stets die Randleisten ausgebildet gewesen. *Scherermann* hat sich immer wieder auf den Standpunkt gestellt, daß die unstilllichen Veränderungen im „*Limbus vertebralis*“ (Randleiste) sitzen, und daß nur hin und wieder eine Adoleszentenkyphose als Folge von *Schmorl'schen Knötchen*

auftritt solange aber noch eingehende mikroskopische Untersuchungen über das Verhalten der Randkanten und ihrer Umgebung bei beginnender Adoleszentenkyphose fehlen wird sich die Frage nicht restlos klären lassen Auch die Frage wie weit bei der Entstehung von Adoleszentenkyphosen endokrine Störungen (*Müll r*) Minderwertigkeit der Wirbelknochen (*Schede*) Osteoporose

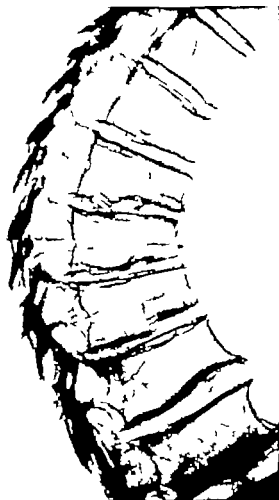


Abb. 243 (links). (Lebttbild der Sagittalschnittfläche der Wirbelsäule eines 54-jährigen Mannes.) Auffallend starke kyphotische Verbiegung der unteren Brustwirbelsäule mit keilförmigen Wirbelkörpern und unregelmäßigen Begrenzungen der Zwischenwirbelsäulen im kyphotischen Teil mit ausgedehnter dunkler Verfärbung des Zwischenwirbelsäulengewebes (Vaskularisation und bräunliche Degeneration) und teilweise fibroser Umwandlung desselben (auffallend weiße umgeklärte Stellen)

Abb. 244 (rechts). (Röntgenbild einer Hälfte der in der Sagittalebene durchsehten Wirbelsäule eines 54-jährigen Mannes.) Endzustand einer Adoleszentenkyphose. Keilförmige Wirbelkörper und niedrige, unregelmäßig nach den Wirbelkörpern an begrenzte Zwischenwirbelsäulen-Randkantenbildung an einigen Wirbelkörpern, zum T II überbreitend

(*Lyon und Marrow*) oder ähnliche Allgemeinerkrankungen eine Rolle spielen, ist noch nicht spruchreif. *Wolf* konnte feststellen, daß bei Adoleszentenkyphose der Phosphatspiegel im Blut unverändert ist, also keine Rachitis vorliegt.

Bei stark ausgeprägter Adoleszentenkyphose sind Rückenmarksschädigungen beobachtet worden, die wahrscheinlich auf die Bildung von hinteren Knorpelknoten (*S 162*) zurückgeführt werden müssen (*Blum*). Durch Myelographie mit schattengebender Flüssigkeit oder auch mit Luft konnte *Landgreen* Einengungen des Wirbelkanals auf dem Höhepunkt des Kyphosenschritts nachweisen. Den Periduralraum fand er oberhalb der Kyphose erweitert.

Weiteres Schrifttum: *Albanus van Assen, Boerema, Brocher, Burdick und Wüsch, Collé, Charmant, Eckhardt, Eichelbaum, Grub, Häfner, Hanson, Hetzer, Ihlenfeld, Lotze, Landemann, Manens, Marcer, Meschke, Overgaard, Schildbach, Schlegel, Schmid, Schmidt, Schutznacht, Stein und v. Zahn, Wölfer*

3. Die Alterskyphose

Die Alterskyphose hat im Gegensatz zur Adoleszentenkyphose die in der unteren Brustwirbelsäule ihren Krümmungsscheitel zeigt, ihren Sitz in der mittleren Brustwirbelsäule an der Stelle der normalen kyphotischen Brustwirbelsäulenausbiegung und beruht auf typischen Veränderungen der Zwischenwirbelscheiben (*Schmorl*) während im allgemeinen die Wirbelkörper dabei keine wesentlichen Form- oder Festigkeitsveränderungen erleiden. Es soll hier eingeschaltet werden, daß die jetzt

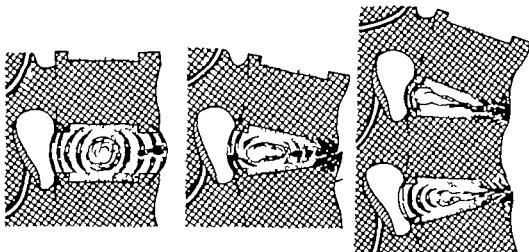


Abb. 383. Schematische Zeichnung der Entstehung der Alterskyphose. Nach einer Zermürbung der vorderen Teile des Randfaserringes (Abb. 386) kommt es zur Höhenverminderung in den vorderen Teilen des Zwischenwirbelaumes, zu Druck und Reibung der vorderen Kanten der übereinander liegenden Wirbelkörper mit Sklerosierung und schließlich Verkalkierung (Abb. 388–393).



Abb. 386 (rechts). (Lichtbild horizontal aufgeschalteter Zwischenwirbelscheiben von zwei älteren Menschen.) In der oberen ist außer einer Spaltbildung im Gallertkern eine bröcklige Nekrose der vorderen Teile des Faserringes sichtbar. In der unteren besteht ein etwas unregelmäßig begrenzter, klaffender stielähnlicher Spalt im Faserring. In der Tiefe des Spaltes ist das knöchernen Schlußblatt des angrenzenden Wirbelkörpers sichtbar.

Abb. 387 (links). (Mikrophotogramm eines Sagittalschnittes durch eine Zwischenwirbelscheibe und die angrenzenden Wirbelkörperteile (vordere Hälfte.) Beginnende Alterskyphose. Entrochierung von Blutgefäßen, abtrocknendem Gewebe und spongösem Knochen in der Zwischenwirbelscheibe am hinteren Rande der knöchernen Randlinie.

zu besprechende Alterskyphose nicht mit der osteoporotischen Kyphose zu tun hat, die sich bei allen Formen der Osteoporose findet und meist auch ihren Krümmungsscheitel an der Stelle der normalen Brustwirbelsäulenkrümmung hat (Abb. 116). Sie entsteht jedoch durch Zusammenrücken der nachgiebig gewordenen osteoporotischen Wirbelkörper zu Keilwirbeln und nicht durch Zwischenwirbelscheibenveränderungen. Weiter vorn hatten wir bereits auf den im Alter zunehmenden Druck hingewiesen, der infolge der Erschlaffung gewisser Bänder und Muskelgruppen auf den vorderen Wirbelkörper und Zwischenwirbelscheibenabschnitten im Brustteil lastet. Dieser Druck ist wie wir ausführten, die Ursache für die Entstehung der keilförmigen Wirbelzusammenrücke bei der Osteoporose. Fehlt jedoch eine stärkere Osteoporose, dann können bei älteren Menschen die widerstandsfähigen



Abb. 388. (Lichtbild der Sagittalschnittfläche der Brustwirbelsäule eines älteren Mannes.) Alterskyphose im Erststadium. Die oberen drei abgebildeten Zwischenwirbelscheibenabschnitte sind von Spongiosa durchsetzt. Die drei unteren der im Bilde sichtbaren Zwischenwirbelscheiben sind von dichter Zwischenwirbelscheibenmasse. In den vorderen Abschnitten brüchig nekrotisch, und die Spongiosa in der Umgebung verdichtet. An den Wirbelkörperkanten kleine Randzacken.

vorderen Ranten der Wirbelkörper (die Randleisten mit ihrer dichten und festen Knochenoberfläche) da Bandscheibengewebe so stark zusammenrücken, daß es degenerativen Veränderungen unterliegt (Abb. 386). Zunächst bilden sich Risse im Zwischenwirbelscheibengewebe aus, die in den vorderen Bandscheibenabschnitten konzentrisch entlang dem hinteren Rande der Wirbelkörper parallel verlaufen (Abb. 387). Solche Risse können spaltförmig sein, sehr oft beobachten wir sie aber schiffelförmig mit frischen und älteren Blutungen in ihren Hohlräumen. Die Rißbildungen erfahren schließlich eine Organisation durch Einwucherung von Binde-

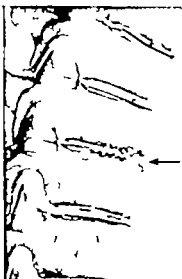
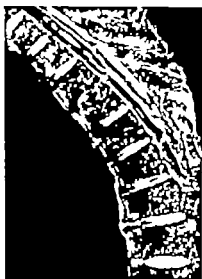


Abb. 389 (links). (Lichtbild der Sagittalschnittfläche der Brustwirbelsäule einer 85-jährigen Frau.) Mäßig ausgebildete Alterskyphose. Die Zwischenwirbelsäule vorn niedrig und zum Teil spongioswert. Eine Zwischenwirbelscheibe ist im vorderen Drittel mit fibrosen Gewebe durchsetzt.

Abb. 390. (Röntgenaufnahme einer Hälfte der in der Sagittalebene durchgezogenen Brustwirbelsäule einer 75-jährigen Frau.) Beginnende Alterskyphose. Einwucherung von Knochengewebe in die vorderen Abschnitte der 8. Brustbandscheibe (Pfeil) von beiden anliegenden Wirbelkörpern her. Geringe Randzackenbildung.

gewebe mit Blutgefäßen und durch Knochenbildung. Nach und nach wird der ganze vordere Abschnitt der Zwischenwirbelscheiben zwischen den Wirbelkörperendleisten spongiöser, wodurch die beiden benachbarten Wirbelkörper vorn eine ineinanderlaufende Spongiosazeichnung erhalten, in der im Endzustand keinerlei Reste von Zwischenwirbelscheibengewebe mehr nachzuweisen sind. In den übrigen Teilen bleibt die Zwischenwirbelscheibe unversehrt (Abb 388, 389)

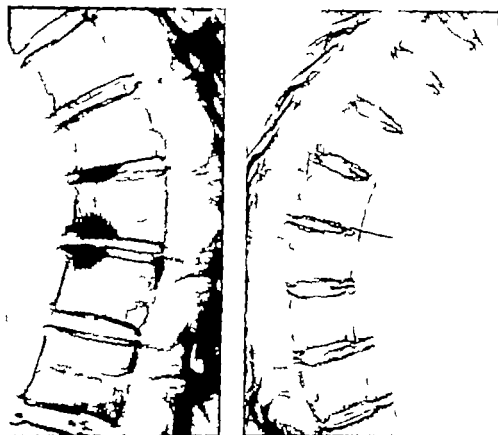


Abb 391 (links). (Seitliche Röntgenaufnahme einer Hälfte der in der Sagittalebene durchgezogenen Brustwirbelsäule einer 63jährigen Frau.) Alterskyphose im Entstehen. Niedrige vordere Zwischenwirbelscheibenabschnitte mit Sklerose der angrenzenden Spongiosa. Einwucherung von Knochengewebe, kleine Bandscheiben.

Abb 392 (recht). (Seitliche Röntgenaufnahme einer Hälfte der in der Sagittalebene durchgezogenen Brustwirbelsäule einer 83jährigen Frau. Nadel in der 8. Brustbandscheibe.) Verstärkte Alterskyphose mit Verknöcherung der vorderen Abschnitte mehrerer übereinanderliegender Zwischenwirbelscheiben.

Der geschilderte vermehrte Druck auf die vorderen Zwischenwirbelscheibenteile ruft aber oft nicht nur konzentrische Rißbildungen hervor, sondern er führt häufig zu völliger Zermürbung und Nekrose des vorn zwischen den Endleisten liegenden Zwischenwirbelscheibengewebes. Im anatomischen Präparat sieht dann das Zwischenwirbelscheibengewebe, soweit es zwischen den Wirbelkörperendleisten liegt, trocken und dunkelgelb aus. Der Zwischenwirbelscheibenraum ist im Bereich der Gelbfärbung — also vorn — wesentlich niedriger und verjüngt sich keilförmig. Diese Bandscheibennekrosen bedingen eine abnorme Beweglichkeit und infolge mangelnder Federung eine Reibung der anliegenden Wirbelkörperendleisten aufeinander, was eine Sklerosierung der Spongiosa in den sich berührenden Abschnitten zur Folge hat (Abb 388, 391–393). Im weiteren Verlauf wuchern auch in diese ausgedehnten Nekrosen Bindegewebe und schließlich spongiöser Knochen ein, so daß sich der gleiche Endzustand entwickelt wie nach den oben beschriebenen konzentrischen Einwirkungen in das Bandscheibengewebe am hinteren Rande der Wirbelkörperendleiste (Abb 390–392, 393)

gewebe mit Blutgefäßen und durch Knochenbildung. Nach und nach wird der ganze vordere Abschnitt der Zwischenwirbelscheiben zwischen den Wirbelkörperandleisten spongiosiert, wodurch die beiden benachbarten Wirbelkörper vorn eine ineinanderlaufende Spongiosazeichnung erhalten, in der im Endzustand keinerlei Reste von Zwischenwirbelscheibengewebe mehr nachzuweisen sind. In den übrigen Teilen bleibt die Zwischenwirbelscheibe unverändert (Abb. 338–339).

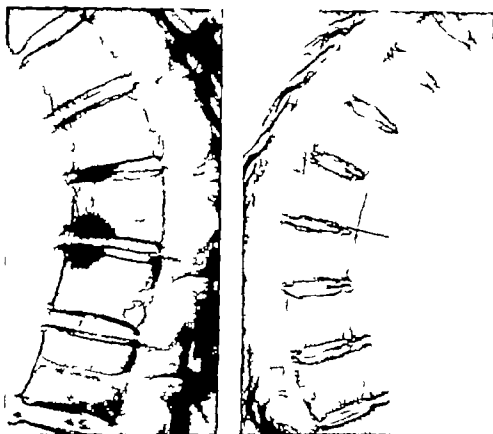


Abb. 391 (links). (Seitliche Röntgenaufnahme einer Hälfte der in der Sagittalebene durchstrahlten Brustwirbelsäule einer 63-jährigen Frau.) Alterskyphose am Entstehen. Niedrige vordere Zwischenwirbelscheibenabschnitte mit Sklerose der angrenzenden Spongiosa. Einwucherung von Knochengewebe. Kleine Randzacken.

Abb. 392 (rechts). (Seitliche Röntgenaufnahme einer Hälfte der in der Sagittalebene durchstrahlten Brustwirbelsäule einer 83-jährigen Frau. Nadel in der 6. Brustbandscheibe.) Vereinfachte Alterskyphose mit Verknöcherung der vorderen Abschnitte mehrerer übereinanderliegender Zwischenwirbelscheiben.

Der geschilderte vermehrte Druck auf die vorderen Zwischenwirbelscheibenteile ruft aber oft nicht nur konzentrische Ribbildungen hervor, sondern er führt häufig zu völliger Zermürbung und Nekrose des vorn zwischen den Randleisten begrenzten Zwischenwirbelscheibengewebes. Im anatomischen Präparat sieht dann das Zwischenwirbelscheibengewebe soweit es zwischen den Wirbelkörperandleisten liegt trocken und dunkelgelb aus. Der Zwischenwirbelraum ist im Bereich der Gelbfärbung — also vorn — wesentlich niedriger und verjüngt sich keilförmig. Diese Bandscheibennekrosen bedingen eine abnorme Beweglichkeit und infolge mangelnder Federung eine Reibung der anliegenden Wirbelkörperandleisten aufeinander, was eine Sklerosierung der Spongiosa in den leh berührenden Abschnitten zur Folge hat (Abb. 388, 391–393). Im weiteren Verlauf wuchern auch in diese ausgedehnten Nekrosen Bindegewebe und schließlich spongiöser Knochen ein, so daß sich der gleiche Endzustand entwickelt wie nach den oben beschriebenen konzentrischen Eintritten in das Bandscheibengewebe am hinteren Rande der Wirbelkörperandleiste (Abb. 390–392, 393).

Diese Vorgänge besonders die Höhenabnahme im vorderen Drittel des Zwischenwirbels, die Sklerosierung in den angrenzenden Wirbelkörpern und die Verknöcherung im vorderen Drittel des Zwischenwirbels sind im Röntgenbild gut zu erkennen

(Abb. 390–393) wie *Jungblum* an Röntgenbildern von Leichenwirbelsäulen nachgewiesen hat und *Alajouanine* und *Mauric* am Lebenden bestätigten. Die Veränderungen in den Zwischenwirbelscheiben schreiten in der Brustwirbelsäule von oben nach unten zu fort (Abb. 388, 393). Während die höher gelegenen Zwischenwirbelscheiben bereits vorn verknöchert sind, zeigen tiefergelegene erst die Anfangszustände (Höhenabnahme vorn usw.). So bildet sich allmählich eine immer stärker werdende kyphotische Verbiegung des betreffenden Wirbelsäulenabschnittes aus (Abb. 393).

Aus unseren Abbildungen ist ohne weiteres zu ersehen, wie infolge der beschriebenen Vorgänge eine Höhenabnahme im vorderen Teil des Zwischenwirbels entsteht. Wenn mehrere übereinanderliegende Zwischenwirbelscheiben die gleichen Veränderungen zeigen, stellt sich eine beträchtliche Zunahme der normalen Kyphose der oberen Brustwirbelsäule ein, ohne daß eine wesentliche Keilwirbelbildung dazu nötig ist, wie wir sie bei der Ausbildung der reinen osteoporotischen Kyphose gesehen haben.

Wir beobachteten die typische Alterskyphose der eben beschriebenen Art bereits gegen Ende des 5. Lebensjahrzehntes. Meist kommt sie allerdings erst in höheren Altersstufen zur Beobachtung. Es handelt sich aber nicht um Endzustände von Adoleszentenkyphosen, denen ganz andere Veränderungen der Zwischenwirbelscheiben, Wirbelkörpergrenzen zugrunde liegen (S. 228), die mit den eben besprochenen Befunden weder im anatomischen noch im röntgenologischen Bilde verwechselt werden können. Der Unterschied zwischen beiden Erkrankungen ist so deutlich, daß sowohl im pathologischen Präparat als auch im Röntgenbild vom Lebenden festgestellt werden kann, wenn sich neben der Adoleszentenkyphose im späteren Leben noch eine typische Alterskyphose entwickelt hat. Außerdem sitzt die Kyphose der Jugendlichen die größte Krümmung im unteren Brustteil oder am Übergang zur Lendenwirbelsäule, während wir bei der typischen Alterskyphose den Scheitel der Krümmung stets in der mittleren Brustwirbelsäule an der Stelle der normalen kyphotischen Aus-

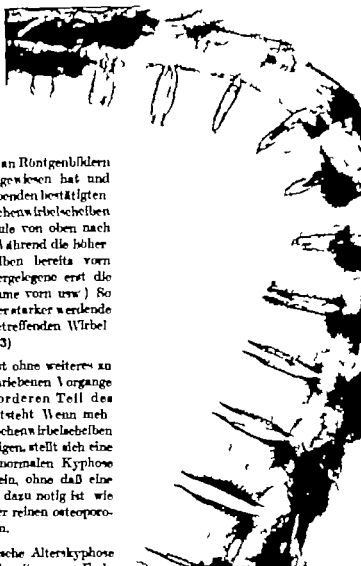


Abb. 392. (Kontliche Röntgenaufnahme der Brustwirbelsäule durchgezogene Brustwirbelsäule 67-jährige Frau.) Vollkommen vorstellbar hohe Alterskyphose. Vier Zwischenwirbelscheiben in ihren vorderen Abschnitten vollkommen gone in den erhaltenen mittleren und zentralen Zwischenwirbelscheibenanteilen liegen mit Kalkablagerungen. Die nächst tieferen Zwischenwirbelscheiben vorn niedrig mit Einwucherung v. chondroide und Verdichtung der angrenzenden Kalkablagerungen. Die an den höher liegenden (vielen und erstellten) Zwischenwirbelscheiben wieder beginnend sind.

Die Verknöcherungen der vorderen Bandscheibentelle die den Endzustand der zur Alterskyphose führenden Veränderungen darstellen, haben eine vollkommene Versteifung der betroffenen Bewegungselemente und damit des kyphotisch gekrümmten Wirbelsäulenabschnittes zur Folge. Sowie die Verknöcherung erfolgt ist, werden die Spongiosaverdichtungen wieder abgebaut, die sich während der Zeit gebildet hatten, als infolge der Nekrose im vorderen Bandscheibenteil außergewöhnliche Bewegungen und Reibungen vorhanden waren. Röntgenaufnahmen lassen dies deutlich erkennen (Abb. 392, 393). Auch kleine Zacken, die sich an den sich berührenden vorderen Wirbelkörperkanten manchmal bilden, werden nach Vollendung der knöchernen Versteifung wieder abgebaut, und es entsteht schließlich eine geglättete Vorderfläche der Wirbelkörper (Abb. 392, 393). Die Spongiosablöcher durchziehen im Endzustand von Wirbel zu Wirbel den verknöcherten vorderen Bandscheibenteil, bis haben sich in ihrer Richtung und in ihrem Aufbau den veränderten Druckverhältnissen angepaßt.

Trotz dieser im Bereich der Kyphose liegenden versteifenden Verknöcherung ist eine Verwechslung des Krankheitsbildes mit der noch zu besprechenden Spondylarthritis ankylopoetica (Kap. VII C 2) kaum möglich. Vor allem zeigt ein Vergleich der kleinen Gelenke, daß diese bei der Alterskyphose einen freien Gelenkspalt haben, während sie bei der Spondylarthritis ankylopoetica verknöchert sind.

Die oben beschriebenen Formen der Alterskyphose haben auch nichts mit dem Krankheitsbild der Spondylosis deformans zu tun. Die Randwülste und Randzacken, die wir bei dieser Erkrankung antreffen, und die bisweilen als überbrückende Randwülste zwei benachbarte Wirbelkörper mit einander verklammern, nehmen ihren Ursprung an der Wirbelkörperaußenfläche und sind sowohl im anatomischen als auch im röntgenologischen Bild von den oben betrachteten Veränderungen bei Alterskyphosen deutlich zu unterscheiden.

Wie vorn bereits betont wurde, hängt die Entstehung der typischen Alterskyphose davon ab, daß keine starke Osteoporose vorhanden ist, weil in diesem Falle eher durch Bildung von Kellwirbeln eine osteoporotische Kyphose entsteht. Wir haben aber zahlreiche Fälle beobachtet, in denen die beiden Kyphosearten der alten Leute (osteoporotische Kyphose durch Kellwirbel und typische Alterskyphose durch Zwischenwirbelscheibenveränderungen vorn) sich vereinigen (Abb. 394). Die Entstehung geht so vor sich, daß sich zu einer bestehenden oder in Bildung begriffenen Alterskyphose noch eine Osteoporose hinzugesellt. Dies kann für die Diagnostik verwirrende Bilder geben. Besonders eigentümlich sind die Fälle, die unserer Abb. 394 ähneln, und die wir nicht selten auf dem Sektionstisch sehen. Hier hat sich in der mittleren und oberen Brustwirbelsäule eine typische Alterskyphose mit Verknöcherung der vorderen Bandscheibenanteile ausgebildet. Infolge einer noch hinzugekommenen Osteoporose sind einige der tiefergelegenen Brustwirbel zu Kellwirbeln zusammengesunken. Auffallenderweise zeigen die durch die Verknöcherung der oberen Bandscheiben verschmolzenen Wirbel keine Keilform. Sie sind durch die Verknöcherung zu einem großen Blockwirbel vereinigt worden, der obwohl auch in ihm beträchtliche Osteoporose besteht, durch seine Größe widerstandsfähiger gegen ein Zusammensinken ist als ein einziger Wirbel. Sicherlich haben diese Wirbelvereinigungen auch die Belastungs- und Biegeverhältnisse der Brustwirbelsäule bedeutend verändert, was wiederum einen Zusammenbruch der darunter liegenden osteoporotisch gewordenen Wirbelkörper begünstigte.

4. Kyphosen durch Traumen, Infektionen und Tumoren

Bei Wirbelsäulenverbiegungen, die nach Traumen zurückbleiben, handelt es sich im allgemeinen um Gibbusbildungen und nur selten um bogenförmig ausgebildete Kyphosen. Diese Gibbusbildungen sind immer deutlich von den mehr bogenförmigen Verkrümmungen bei der typischen Alters- und Adoleszentenkyphose abzugrenzen (*Hump!*) auch wenn ihr Krümmungsscheitel zufällig einmal an den für diese Kyphoseabzugen typischen Stellen sitzt. Viel schwieriger ist die Abgrenzung der spitzwinkligen Kyphosen durch Trauma gegenüber den infolge von Wirbelkörperinfektion entstandenen. Die äußere Form der Wirbelsäulenverkrümmung kann bei beiden Entstehungsarten gleich sein, und



Abb. 394 (links). (Seitliche Röntgenaufnahme einer Hals- und Brustwirbelsäule einer 83-jährigen Frau.) Vereinigung von Alters- und osteoporotischer Kyphose. Im oberen Teil typische Alterskyphose mit Verknöcherung der Bandscheiben, im unteren Teil des Bildes keilförmige Wirbelzusammenbrüche und beginnende Fickwirbelbildungen infolge von Osteoporose.



Abb. 395 (rechts). (Lichtbild der marinierten Brustwirbelsäule einer 69-jährigen Frau. Ansicht von der Front.) An einigen Wirbelkörpern deutliche knöcherne Bandscheibenbildungen. An den fest verknöcherten Zwischenwirbelscheiben sind die Bandscheiben bereits zurückgebildet.

Abb. 396 (rechts). (Lichtbild der marinierten Brustwirbelsäule einer 69-jährigen Frau. Ansicht von der Front.) An einigen Wirbelkörpern deutliche knöcherne Bandscheibenbildungen. An den fest verknöcherten Zwischenwirbelscheiben sind die Bandscheiben bereits zurückgebildet.

Wie wir weiter vorn bereits ausführen, wird auch die nähere Betrachtung des zusammengebrochenen Wirbelkörpers die Differentialdiagnose zwischen traumatischem oder infektiösem Wirbelzusammenbruch nicht ermöglichen.

Häufiger als die spitzwinklige posttraumatische Kyphoseform kommen nach Traumen bogenförmige dem Rundrücken der Jugendlichen oder der alten Leute mehr ähnelnde Wirbelsäulenverbiegungen vor. Allein aus dem Röntgenbild ist eine sichere Differentialdiagnose schwer zu stellen. Die Anamnese wird stets von ausschlaggebender Bedeutung sein. Von einem Sammlungspräparat (Abb. 393-397) konnten wir nachträglich, da eine Begutachtung wegen Kriegsdienstbeschädigung vorzunehmen war, eine traumatisch entstandene differentialdiagnostisch recht schwierige Kyphoseform aus der einwandfreien Anamnese ableiten. Der Verstorbene war im Alter von etwa 38 Jahren beim Zusammenbruch eines Unterstandes verschüttet worden.

und hatte längere Zeit in vollkommen nach vorn zusammengebeugter Stellung mit der Last des nachdrückenden Erdreiches auf dem Rücken verharren müssen, ehe er ausgegraben werden konnte. Nach längerer Bettlagerigkeit zeigte sich eine bogenförmig kyphotische fast völlig versteifte Verkrümmung der Wirbelsäule im unteren Brustteil während bei dem Verletzten vorher normale

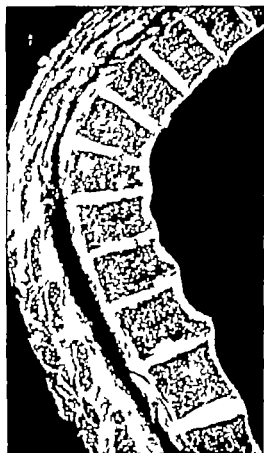


Abb. 396 (links). (Lichtbild der Sagittalschnittfläche der Wirbelsäule eines 49-jährigen Mannes.) Auffallende, ziemlich spitzwinklige Kyphose nach Trauma (Verschüttung im 1. Weltkrieg). Keilwirbelbildung, Veränderung mehrerer Zwischenwirbelscheiben durch Einwucherung von Knochengewebe.



Abb. 397 (rechts). (Seitliches Röntgenbild zu dem Lichtbild, oberer Nadel in der 6. Brustbandenscheibe.) Keilwirbel und Einlagerung von Knochengewebe in den Zwischenwirbelscheiben. Der 10. Brustwirbel ist an der Grenze des oberen und mittleren Drittels zusammengezeichnet. Er zeigt hier etwas Sklerose (alter Frakturkallus).

Krümmungsverhältnisse der Wirbelsäule bestanden hatten. Etwa 12 Jahre nach der Verschiebung starb der Betreffende. Das Wirbelsäulenpräparat (Abb. 396) zeigt eine deutlich bogenförmige Kyphose mit Keilwirbelbildungen und Knocheneinlagerungen an der Grenze zwischen vorderem und mittlerem Drittel in mehreren Brustbandenscheiben. Wahrscheinlich hat an diesen Stellen eine Durchquetschung der Zwischenwirbelscheiben stattgefunden. Auch das Röntgenbild (Abb. 397) läßt die Knocheneinlagerungen gut erkennen und zeigt gleichzeitig in den vorderen Abschnitten der Keilwirbel unregelmäßige Begrenzungen der Berührungsf lächen zwischen Wirbelkörper und Bandscheiben. Beim ersten Blick liegt der Verdacht einer Adoleszentenkyphose nahe. Bei genauerer Betrachtung ist sie jedoch auszuschließen, denn es fehlen die typischen Knorpelknötchen an der Zwischenwirbelscheiben-Wirbelkörpergrenze, die wir bei Adoleszentenkyphosen nie vermissen. Außerdem gibt die Anamnese die Erklärung über die Entstehungursache ab.

Entsprechend der weiter vorn erwähnten Tatsache, daß recht häufig mehrere entfernt voneinander liegende Frakturen an einer Wirbelsäule auftreten, sind auch manchmal in einer Wirbelsäule deutlich zwei getrennte kyphotische Verbiegungen zu beobachten. Dann ist das zwischen den beiden zusammengebrochenen Wirbelkörpern liegende Wirbelkörperstück meist auffallend gerade (Abb. 40^o 403).

Auch die Luxationen und Luxationsfrakturen können bleibende Kyphosen hervorrufen, wenn sie in entsprechender Stellung zur Ausheilung kommen (Abb. 107).

Daß Wirbelzusammenbrüche, die durch einschmelzende Infektionsvorgänge entstanden sind, mehr oder weniger hochgradige Kyphosen zur Folge haben können, sei nur der Vollständigkeit halber an dieser Stelle nochmals erwähnt. Bei der Besprechung der Wirbelkörperinfektionen haben wir auf diese Folgezustände aufmerksam gemacht (Kap. III K). Kyphosen dieser Entstehungsart können an den verschiedensten Stellen der Wirbelsäule ihren Krümmungsscheitel haben. Auffallend ist bei den Kyphosen nach Wirbelkörperinfektionen, besonders bei Wirbelabszessabszessen die stark winkelige Abbiegung (Cibbus, Pottcher Buckel), da meist mehrere Wirbelkörper und die dazwischenliegenden Bandscheiben von der Infektion befallen werden und zusammensinken (Abb. 246). Bei der Ausheilung ergeben sich im Scheitel der Kyphose die schon beschriebenen „Blockwirbel“ (Abb. 189).

Primäre Wirbeltumoren und auch Geschwulstmetastasen rufen bisweilen umschriebene spitzwinkelige oder seltener bogenförmige Kyphosen hervor (Abb. 201, 208, 209). Häufig ist dies bei Myelomen. Auch größere Wirbelhamangiome können Wirbelkörperzusammenbrüche zur Folge haben (Bailey und Bucy, *Junghans, Mairgast* u. a.). Bei knochenzerstörenden Geschwulstmetastasen entwickeln sich die kyphotischen Verkrümmungen im allgemeinen allmählich durch langsames Zusammensinken des Knochengerstes. Kleinere oder größere traumatische Einwirkungen können bei derartigen Vorerkrankungen plötzliche Zusammenbrüche herbeiführen (unter Umständen sogar mit sofortiger Querschnittslähmung). Wenn an verschiedenen Wirbelabschnitten durch Geschwülste oder Geschwulstmetastasen Wirbelzusammenbrüche auftreten und sich mehrere Kyphosen ausbilden, dann ist das Zwischenstück, ebenso wie bei mehrfachen Wirbelbrüchen, meist gerade aufgerichtet.

Tumoren im Wirbelkanal können bei Kindern typische Veränderungen am wachsenden Wirbelkörper und Wirbelabszessen hervorrufen, wie *Olsson* beschreibt.

5. Kyphosen anderer Entstehung

Alle allgemeinen Knochenerkrankungen, die eine gewisse Nachgiebigkeit und Weichheit des Knochenbälkchenwerkes der Wirbelsäule herbeiführen (Osteoporose, Hungerosteopathie, Osteodystrophien u. a.) gehen mit kyphotischen Verkrümmungen einher (Kap. III B). Dabei handelt es sich meist um eine Zunahme der gewöhnlichen Brustkrümmung infolge von Kollwirbelbildung. Darüber hinaus sind aber bei zahlreichen Erkrankungen Wirbelabszessenkyphosen beschrieben worden, deren Entstehungsursachen und deren genaueres anatomisches Bild noch nicht völlig geklärt sind, da sie meist nur als Nebenebefunde angesehen wurden. Hier liegt noch ein weites Betätigungsfeld für Reihenuntersuchungen. Besonders muß dabei geklärt werden, ob die Kyphoseformen, die bei den noch aufzuzählenden Krankheiten beobachtet werden, sich nach ihrem anatomischen Bilde einer der bekannten Kyphoseformen einordnen lassen oder ob sie eigene Krankheitsbilder darstellen.

Muscklechner hat bei zahlreichen Krankheitsbildern Kyphosen beschrieben. Als Entstehungsursache für Kyphose bei Akromegalie, encephaloidem Hochwuchs (*Koch, Wagenheil*) und endokrinem Riesenwuchs führt er den Wachstumsüberschuß an den Wirbelkörpern gegen über dem Brustbein an. *W. Müller* glaubt demgegenüber, daß die bei diesen Erkrankungen auftretenden Kyphosen im Bilde der Adoleszentenkyphose (*Schmorl'sche Knötchen* usw.) erscheinen. *Albee* ist der gleichen Ansicht. Kyphosen findet man bei starker Kurzsichtigkeit beim *Habitus athenicus*, bei Friedreichscher Ataxie und bei Syringomyelie (*Muscklechner*). Auch bei der epidemischen Enzephalitis besteht stets eine kyphotische Haltung.

Bei der Spondylarthritis ankylopoetica über die wir noch genauer zu sprechen haben (Kap VII C 2) beobachtet man stets eine bogenförmige kyphotische Verbiegung der gesamten Wirbelsäule mit vollkommener Versteifung. Die Ursache dieser Kyphose ist unklar. Vielleicht ist die Kyphose eine Entlastungs- und Schonungshaltung bei entzündlichen Vorgängen in den kleinen Gelenken. Durch die Versteifung bei der Ausheilung der Entzündungsvorgänge wird diese Haltung fixiert.

Bei der Neurofibromatose sollen nach den Untersuchungen von *Michaelis* ebenfalls typische Wirbelsäulenveränderungen vorkommen, die er als „Kyphose mit geringer skoliotischer Komponente“ bezeichnet haben möchte. Er hat zahlreiche Fälle aus dem Schrifttum zusammengestellt und einige Fälle genauer besprochen. *Jentschura* schildert ebenfalls die Häufigkeit der Wirbelsäulenverbiegungen bei Neurofibromatosis *Recklinghausen* und gibt eine Übersicht über das Schrifttum. Dabei legt er aber mehr Wert auf die skoliotischen Verbiegungen und erwähnt als deren Ursachen Dysregulationen im endokrinen System, pluriglanduläre Störungen und eine vererbte Minderwertigkeit der mesodermalen Wirbelsäulenanlage.

Im Tierversuch hat *Haas* durch Verletzung der Wachstumszellen im Bereich der Knorpelplatten Kyphosen und auch Skoliosen erzeugt. Es ist ihm außerdem gelungen, solche Verkrümmungen dadurch zu verhüten, daß kurz danach eine Spanversteifung der zugehörigen Dornfortsätze vorgenommen wurde. Weitere ähnliche Versuche mit eingehenden feingewebigen Untersuchungen können sicherlich noch weitere Klärung der verwinkelten Vorgänge bringen.

B Lordosen

Durch Haltungsfehler und auch durch krankhafte Vorgänge können die regelrechten lordotischen Krümmungen im Bereiche der Halswirbelsäule und Lendenwirbelsäule Änderungen erfahren, die bisweilen von beträchtlicher Bedeutung für die Statik der Wirbelsäule sind und mit groben, anatomisch nachweisbaren Veränderungen der betreffenden Wirbelsäulenabschnitte einhergehen.

Verstärkung der gewöhnlichen lordotischen Haltung der Hals- und Lendenwirbelsäule kommen als ausgleichende Gegenkrümmungen bei starken Gibbusbildungen und Kyphosen vor. Wenn sich Gibbusbildungen der Brustwirbelsäule während des Wachstumsalters ausbilden (z. B. bei Tuberkulose) tritt regelmäßig eine ausgleichende Höhenzunahme der Lendenwirbelkörper ein („Längwirbel“ Abb. 189) die im Bereiche der verstärkten Lendenlordose liegen (*Benazzi W. Müller*). Auffallende Lordosen der Lendenwirbelsäule treten nach *Mutschlechner* bei Chondrodystrophie und bei der progressiven Muskelatrophie auf. Dornfortsatzspalten sind bisweilen Grund für Lordosen (*Felber und Sternberg*). Verstärkte Lordosen im Bereiche der Halswirbelsäule rufen oft Speiseröhrenverengungen hervor. *Knopff* fand dies bei kyphoskoliotischen und posttraumatischen Lordosen der Halswirbelsäule. *Wilde* beschreibt eine besondere Form der infektionsbedingten fixierten Lendenlordose.

Bei sehr ausgeprägten Lordosen berühren sich die breiten Dornfortsätze der Lendenwirbelsäule, und es kommt zu Gelenkbildungen zwischen den Dornfortsätzen und oft zur Entwicklung großer Bandscheiben an diesen neugebildeten Gelenken (*Bassirup*sche Krankheit).

Abflachung der Lendenlordose (vgl. Kap. VI D) kommt zusammen mit der Aufkippung des Beckens bei Spondylolisthese vor. (Die bei ausgeprägten Spondylolisthesen sichtbaren Stufenbildungen in der Lendenwirbelsäule sollen nicht als Lordose bezeichnet werden.) Verringerungen der Lordosen werden auch bei Wirbelverwachsungen nach hinten oft beobachtet. Abflachungen oder völlige Geradstreckungen der Lendenlordose weisen auf Bandscheibenschäden hin. Bei Osteochondroma intervertebrale bei Bandscheibenvorfall nach hinten, bei Blockwirbelbildung nach Trauma oder Infektion und bei ähnlichen Ursachen kommen sie vor und sind für den Untersucher ein wichtiges Leitzeichen zur Fehldiagnose nach radiologisch feststellbaren Veränderungen in der Höhe der Zwischenwirbelsäule und der Form der Bewegungselemente im Lendenwirbelbereich. Sie stellen sich regelmäßig nach Laminektomie ein.

C. Skoliosen

1. Vorbemerkungen

Im allgemeinen werden die seitlichen Verkrümmungen der Wirbelsäule die Skoliosen, als die häufigsten Wirbelsäulenverkrümmungen aufgefaßt. Diese Angaben entstammen klinischen Statistiken und rühren wahrscheinlich daher, daß die Skoliosträger besonders Jugendliche häufiger zum Arzt kommen, während die zahllosen alten Menschen mit mehr oder weniger hochgradigen, rein kyphotischen Verbiegungen den Arzt seltener dieser Verkrümmungen wegen aufsuchen. Nach unseren anatomischen Reihenuntersuchungen sind die kyphotischen Verkrümmungen an der Wirbelsäule weitaus häufiger als die Skoliosen. Da alle ausgeprägteren Formen von Skoliosen stets mit Torsionen und Rotationen der Wirbelkörper einhergehen und sehr oft auch Kyphoskoliosen bestehen, stößt die anatomische Analyse dieser Erkrankungen auf viel größere Schwierigkeiten als die Untersuchung von reinen Kyphosen. Das umfangreiche Schrifttum über dieses Teilgebiet der Wirbelsäulenforschung zeigt schon die Schwierigkeit der damit zusammenhängenden Fragen. An dieser Stelle ist es erwähnenswert, daß Schwarz seine systematischen Wirbelsäulenuntersuchungen in Dresden in der Absicht, der Skolioseentstehung näherzukommen, in Angriff genommen hat. Im Verlaufe dieser anfänglichen Untersuchungen wurden die anderen zahlreichen ungelösten Fragen aufgedeckt, die die normale und pathologische Anatomie der Wirbelsäulen in sich barg, und die dabei an 10000 untersuchten Wirbelsäulen erzielten Forschungsergebnisse sind nur als Umwege zur Erforschung der Skoliose anzusehen. Es muß jedoch eingestanden werden, daß wir wirklich wesentliche Kenntnisse, die die Lösung des Skolioseproblems bedeuten könnten, nicht gewonnen haben, obwohl während dieser Zeit eine große Anzahl von Skoliosen untersucht und viele davon auch in der Sammlung aufgestellt werden konnten.

2. Angeborene Skoliosen

Daß der angeborene „Hemispondylus“ (einseitiger Halbwirbel, S. 32) Ursache für eine Skoliose sein kann, war schon den älteren Anatomen bekannt (*Rokitansky*). Da in den Abschnitten über die Wirbelsäulenfehlbildungen (Kap. II) an den entsprechenden Stellen bereits auf die begleitenden Skoliosen hingewiesen worden ist, kann hier auf die Aufzählung aller zu Skoliosen führenden angeborenen Veränderungen (seitlich entwickelte Halbwirbel, hemimetamere Segmentverschiebungen usw.) verzichtet werden. Je nach dem Sitz der ursächlichen Fehlbildung kommen angeborene Skoliosen in allen Wirbelsäulenteilen vor (Abb. 50, 103–108). Über die Erblichkeit der Skoliose verdanken wir *Faber* ausgedehnte Untersuchungen.

3. Erworbene Skoliosen

Obwohl kyphotische Wirbelsäulenverbiegungen nach unseren Untersuchungen viel häufiger sind als Skoliosen, ist doch über die Skoliose ein viel umfangreicheres, besonders klinisches Schrifttum entstanden, weil auch bei geringgradigen Skoliosen die Beschwerden größer sind, und die fehlerhafte Körperhaltung viel mehr ins Auge springt als bei Kyphosen. Über die zahlreichen Erklärungsversuche zur Skolioseentstehung muß das entsprechende Schrifttum nachgelesen werden. Es ist hier nicht der Platz, auf alle diese Fragen einzugehen. In den neuesten Erklärungsversuchen werden Wachstumsverschiedenheiten zwischen der Wirbelkörper und der Wirbelbogenreihe angenommen (*Heuser*) und *Erlacker* macht darauf aufmerksam, daß bei Wasserzunahme in den Gallertkernen die Wirbelbogenreihe relativ zu kurz gegenüber der Wirbelkörperbandelscheibenreihe wird, wodurch Skoliosen verursacht werden können.

Bei manchen Skoliosen zeigt das pathologisch-anatomische Zustandsbild Veränderungen der Wirbelkörper als Ursache der Wirbelsäulenverkrümmung (seitlich zugespitzte Keilwirbel mit Torsion und Rotation). Die Zwischenwirbelscheiben haben dabei nur begleitende Veränderungen. Sie sind auf der Bogenaußenseite hoch, auf der Innenseite niedrig, und der Gallertkern liegt stets nach der Bogenaußenseite verschoben. Auffallende Schäden des Zwischenwirbelscheibengewebes lassen sich bei beginnenden Skoliosen Jugendlicher weder makro- noch mikroskopisch erkennen.

Die Wirbelkörper-Randleiste ist meist in regelrechter Höhe und Breite entwickelt. Nur selten finden sich geringe Änderungen der Wirbelkörper-Randleisten, die auch sonst bei älteren Menschen mit Osteoporose manchmal beobachtet werden. Bisher fehlen noch eingehende Reihenuntersuchungen darüber, aber es kann schon jetzt gesagt werden, daß Randleistenveränderungen wahrscheinlich nicht Ursache der Skoliosen sind.

Landermann (auch *Roederer* und *d'Insignano*) vertritt die Ansicht, daß die Adoleszentenkoliose in der gleichen Weise entsteht wie *Schwori* für die Adoleszentenkyphose (S. 228) beschrieben hat. Danach ist Austritt von Zwischenwirbelscheibengewebe in die Wirbelkörper (Band-scheibenhernien) mit allen Folgezuständen (Knorpelknötchen usw.) die Ursache für die in der Jugend entstehenden Skoliosen. *Schwori* hat diese Möglichkeit auf Grund der Dresdener Untersuchungen scharf abgelehnt. Die Klärung dieser Frage bleibt weiteren anatomischen Forschungen vorbehalten.

Neben den durch Knochenveränderungen hervorgerufenen seitlichen Wirbelsäulenverkrümmungen konnten wir Skoliosen beobachten, bei denen sich an der Bogeninnenseite an einer oder mehreren im Krümmungswinkel liegenden Zwischenwirbelscheiben in den seitlichen Teilen die gleichen Veränderungen zeigen, wie sie bei der Alterskyphose in den vorderen Zwischenwirbelscheibenteilen vorkommen (S. 236 Abb. 383–390). Die an der Bogeninnenseite liegenden seitlichen Zwischenwirbelscheibenteile sind vermischt nekrotisch, zum Teil mit fibrösem Gewebe durchsetzt, und die angrenzenden Wirbelkörper zeigen Verdichtungen des Knochenbälkchenwerkes. Es ist noch ungeklärt, ob diese Veränderungen sich infolge der seit langem bestehenden Skoliose allmählich erst in zweiter Linie entwickelt haben, oder ob infolge von dauernder Wirbelsäulenschiefhaltung (Muskelerkrankung, unzureichende Arbeitshaltung usw.) die Zwischenwirbelscheibenveränderungen in erster Linie eintraten (S. 164 oben) und die skoliotischen Verbiegungen allmählich nach sich zogen. Die sog. Adoleszentenkoliose (*Hausser-Länge*) oder Lehrlingskoliose (*Schwarz*) die durch einseitiges Tragen schwerer Lasten entstehen können, lassen an die letzte Erklärung denken. (Vgl. Skoliosen durch Überlastung bei Amputierten, S. 227.)

Nach *Reck* hat der an der Bogeninnenseite von Skoliosen oft im Röntgenbild sichtbare Paravertebral Schatten eine ursächliche Bedeutung für die Skoliosenbildung. Der Paravertebral Schatten entsteht durch Entzündungsvorgänge (Rheumatismus!) in der mediastinalen Pleura. Infolge der Schmerzen kommt es zunächst zu einer Haltungskoliose, die nach längerer Dauer einseitige Wachstumshemmung an den Wirbelkörpern jugendlicher Menschen und damit eine bleibende Skoliose hervorruft. Zur Stützung seiner Ansicht schildert *Reck* auch anatomische Untersuchungsergebnisse.

Ein häufiges und anatomisch gut umrissenes Krankheitsbild mit seitlichen Verbiegungen der Wirbelsäule ist die „skoliotische Lumbosakralarthrose“ (*Kiesböck*). Bei tiefstehender Lendenkoliose wird die letzte präsakrale Zwischenwirbelscheibe an der Seite, an der die Bogenaußenseite der Lumbalkoliose auf dem Kreuzbein aufsteht, stark vermischt und die angrenzenden Knochenanteile zeigen sklerotische Verdichtungen. Bei diesen Fällen bestehen starke klinische Beschwerden. Die Veränderungen der letzten Zwischenwirbelscheibe sind aber nicht Ursache der Verkrümmung, sondern lediglich Folge der seitlichen Belastung (vgl. S. 164, 217–227).

Von verschiedenen Seiten sind zahlreiche außerhalb der Wirbelsäule selbst liegende Erkrankungen für die Entstehung bestimmter Skoliosenformen verantwortlich gemacht worden: Muskelkontrakturen (*Jakob-Marchesi*), Muskeldystrophien (*M. Lange*), Zwerchfellklüppelungen (*H. rrasiers*) seitlich an die Wirbelsäule angrenzende Geschwülste (*Fraser*), Schmerzzustände durch Ischias (*Strümpell*) oder Plattfüße (*Reisenberg* und *Eylin*), Empfindungsstörungen (*Rothschild*), Nervenverletzungen (*Grues* und *Wiesing*). Folgezustände, wie Thoraxkonstruktionen u. d. Symptomenkomplexe, die in der Jugend ansetzt werden, führen durch einseitige Wachstumsbehinderung zu Skoliosen (*Moser*). *Moser* erzeugt Skoliosen durch einseitige Zerstörung der Wachstumszonen des Wirbelkörpers bei Tieren. Bei der Neurofibromatose entstehen besonders schwer Kyphoskoliosen (*Jentschura-Rüttig* u. a.), aber die wir bereits auf S. 44 besprochenen *Rauermass* und *Vismara* beschreiben das häufige Vorkommen von Skoliosen bei Verkrümmungen (angeborene Skoliosen), und *Br. monod* hat am Tier auch derartige Wirbelsäulenverkrümmungen erzeugen können. *Grunel* erklärt jedoch das Vorkommen von Skoliosen bei Nervenkrankungen lediglich als Zufallsbefund. Ziemlich häufig bei Gallenblaserkrankungen häufig eine dextrokostale Skoliose, die erst nach Schmerzreflex zurückführt. Für alle diese Skoliosen fehlt noch die eingehende pathologisch-anatomische Nachprüfung. Mit Skoliosen können auch noch seitliche Wachstumsbehinderungen verbunden sein (Abb. 418). Sie können allerdings nur sehr selten beobachtet werden, und die besten Beobachtungen ist in sehr hochgradiger Weise bei der Beschreibung der Wachstumsstörungen werden wir darauf zurückkommen (S. 267).

Wie unsere Abbildungen zeigen (Abb. 398–400) entwickeln sich auf der Bogeninnenseite der Ekholmen Randwülste und Randzacken. Dies hängt zweifellos mit den Bandscheiben Veränderungen zusammen, die wir weiter vorn besprochen und die stets auf der Bogeninnenseite ihren



Abb. 398 (links). (Lichtbild der makrovergr. Brustwirbelsäule einer 62-jährigen Frau. Ansicht von vorn.) Geringe Konkavex Ekholme mit nach rechts zugespitzten Karkwirbeln. An der Bogeninnenseite mäßig stark ausgebildet Randwulst.

Abb. 399 (rechts). (Lichtbild der makrovergr. Brustwirbelsäule eines älteren Mannes. Ansicht von vorn.) Geringe Konkavex Ekholme der Brustwirbelsäule mit schalenförmigen, überbrückenden Randwülsten an der Bogeninnenseite (links). Die Gegenkrümmung der Lendenwirbelsäule zeigt ebenfalls Randwulst an der Bogeninnenseite (rechts).

Sitz haben. Die Randwülste vergrößern sich, solange noch Bewegungen möglich sind. Wenn der verkrümmte Wirbelsäulen Abschnitt aber schließlich durch überbrückende Randwülste versteift werden diese ganz ähnlich wie bei der Alterskyphose wieder abgebaut und geglättet (Abb. 400). Die Ekholmen stellen niemals reine seitliche Abknüpfungen dar sondern es besteht immer eine gewisse Verdrehung, die auch aus der Lage des hinteren Längsbandes deutlich zu erkennen ist (Abb. 401).

Die Wirbelkörperendoste ist mit sich geringe Änderungen der Wirbel-Osteoporose manchmal beobachtet darüber aber es kann schon jetzt nicht Ursache der Skoliosen sind.

Lindemann (auch Roderer und) der gleichen Weise entsteht wie Danach ist Austritt von Zwischenwirbelscheiben) mit allen Folgen entstehenden Skoliosen. Schmorl ' seinerzeit abgelehnt Die Klärung behalten.

Neben den durch Knochenumformen konnten wir Skoliosen in mehreren im Krümmungswesen die gleichen Veränderungen zeigen Scheibenteilen vorkommen (Scheiben Zwischenwirbelscheiben setzt und die angrenzenden Wirbel Es ist noch ungeklärt, ob dies allmählich erst in zweiter Linie schiefe Haltung (Muskelerschläffung Scheibenveränderungen in erst allmählich nach sich ziehen. D (Schanz) die durch einseitige Klärung denken. (Vgl. Skoliosen

Nach Reske hat der an der Wirbel Schatten eine Ursache entsteht durch Entzündung Schmerzen kommt es zum Fortschreiten an den Wirbeln hervorruft Zur Stützung der

Ein häufiges und anatomisches Merkmal der Wirbelsäule ist die „Skoliose“ Skoliose wird die letzte Phase der Lumbalskoliose auf der zeigen sklerotische Verdickungen Veränderungen der letzten sondern lediglich Folge der

Von verschiedenen Arten Skoliose bestimmter Skoliose Muskelschwächen (M. Latissimus) (Frank) Schuppen (Schupp) (Reck) (Kotom) u. a. Später erstet zu Skoliosen (M. lat.) Nebenbei Tieren. Bei der Neurofibromatose die wir bereits auf Skoliosen bei Nervenkrankheiten Krümmungen erzeugen lediglich 1. 2. 3. Befund auf Schmerzreflex kurz prüfen Mit Skoliosen k. allerdings nur erhalten der Wirbel erkrankung

haltung) vor. Sie sind oft nur beim Lebenden vorhanden und lassen sich dann auch nur bei aufrechter Körperhaltung (seitliche Röntgenaufnahmen im Stehen) nachweisen. Andere Geradehaltungen können infolge ihrer Versteifung auch nach der Herausnahme der Wirbelsäule aus der Leiche noch

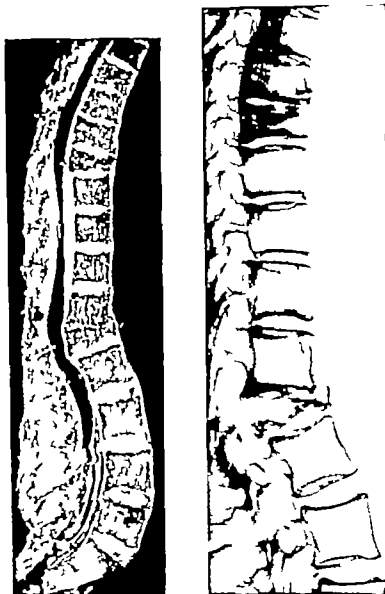


Abb. 402 (links) (Lichtbild der Sagittalschnittfläche der Wirbelsäule einer 53-jährigen Frau.) Alt-Kompressionsfrakturen im 8. Brust- und 1. Lendenwirbelkörper mit Kallusbildungen. Da zwischen den gebrochenen Wirbelkörpern liegende Wirbelsäulenstück ist auffallend gerade während die Wirbelsäule nach oben und nach unten an beiden gebrochenen Wirbelkörpern leicht winklig gebogen ist.

Abb. 403 (rechts) (Seitliche Röntgenaufnahme des in der obengestellten Abbildung dargestellten Präparates.) Auffallende Geradehaltung der Wirbelsäule zwischen den beiden gebrochenen Wirbelkörpern. Außerdem fallen die Verknocherungen der an die gebrochenen Wirbelkörper angrenzenden Zwischenwirbelscheiben auf.

festgestellt werden. Besonders häufig zeigen Wirbelsäulen oberhalb einer zermurkten Zwischenwirbelscheibe eine Aufhebung der regelrechten Krümmung als deutliche Geradehaltung über eine größere Strecke (*Gantz*) die als Ausgleichhaltung zur Vermeidung einer Wirbelkörperverchiebung anzusehen ist (vgl. Kap. VI B). Auch bei der Wirbelkörperverchiebung nach hinten (*Jungkanns*)

Ist eine Geradehaltung der oberhalb liegenden Wirbel säulensegmente immer vorhanden. Mit dem echten Wirbelgleiten (Spondylolisthese) ist vereinigt mit einer Aufklüppung des Beckens, stets eine Abflachung der regelrechten Lendenlordose vergesellschaftet. Eine Geradehaltung der Lendenwirbelsäule wird fast immer festgestellt, wenn sich in Lendenwirbelkörpern mehrere größere Schmorle'sche Knötchen finden. Es bestehen dann meist auch Schmerzen wie von klinischer Seite beobachtet wurde. Bei mehrfachen, entfernt voneinander liegenden Wirbelkörperbrüchen findet sich sehr häufig im zwischenliegenden Wirbelsäulensegment eine Geradehaltung (Abb. 402-403). Das kann auch zwischen zwei voneinander entfernt liegenden entzündlichen Einschnürrheiden (Tuberkulose) vorkommen. Die Beobachtung derartiger Aufklüppungen der regelrechten Wirbelsäulenkrümmungen ist wichtig, denn fast immer gehen diese Veränderungen mit Schmerzzuständen einher. Im anatomischen Schrifttum sind die Geradehaltungen im Bereich der Wirbelsäule noch nicht genügend beobachtet worden, und auch von seiten der Kliniker und Röntgenologen verdienen sie größere Aufmerksamkeit.

E. Lenden Kreuzbein Winkel

1 Winkel des Promontoriums und Lenden-Kreuzbein Winkel

Den Winkelverhältnissen am Übergang der Lendenwirbelsäule zum Kreuzbein ist besonders im Hinblick auf Erkrankungen und Unfallfolgen erhöhte Aufmerksamkeit geschenkt worden, und man hat einen „abnormen Lenden Kreuzbein Winkel“ für Kreuzschmerzen verantwortlich gemacht. Sowohl in den üblichen Lehrbüchern als auch in neueren Arbeiten über dieses Sondergebiet finden sich jedoch widersprechende Angaben über die Größe des „Lenden Kreuzbein Winkels“ („Lumbosakralwinkel“) da ganz verschiedene Winkel diesen Namen tragen. Letzter werden auch die beiden verschiedenen Winkel oft miteinander verglichen, ohne die Verschiedenartigkeit der abgelesenen Winkel zu berücksichtigen (Abb. 404).

Es ist also für unsere folgenden Ausführungen zunächst nötig, über diesen Punkt Klarheit zu schaffen. Man kann den Winkel zwischen dem 5. Lendenwirbel und dem 1. Sakralwirbel — den ist der „Lenden Kreuzbein Winkel“ — einmal dadurch bestimmen, daß man den nach hinten offenen Winkel mißt, den die Vorderflächen dieser beiden Wirbel miteinander bilden. In unserer Zeichnung (Abb. 404) ist dies durch die beiden tangential an die Vorderflächen angelegten Hilfslinien DE und FF dargestellt. Oder man mißt den ebenfalls nach hinten offenen stumpfen Winkel den die verlängerten Achsen (AB und BC) der beiden Wirbelkörper miteinander bilden. Un allen Zweifeln aus dem Wege zu gehen, möchten wir die erste Messungsweise den „Winkel des Promontoriums“ nennen, da die zur Messung benutzten Vorderflächen im Promontorium zusammenstoßen. Dagegen soll der Name „Lenden Kreuzbein Winkel“ oder „Lumbosakralwinkel“ nur für den Winkel beibehalten werden, den die beiden Achsen miteinander bilden (Jungheuer).

Abb. 404 (Verkleinerte Färbung einer seitlichen Röntgenaufnahme der Lendenkreuzbeinengegend.) ABO = Lendenkreuzbein Winkel, DDE = Winkel des Promontoriums.

Über den Winkel des Promontoriums finden sich im Schrifttum zahlreiche Angaben. Brown gibt in einer Zeichnung über die Beckenöffnung die beiden Grenzwerte 120° und 137° an. Pick errechnet dieselben Zahlen als Grenzwert bei Messungen an Hakenkörperpräparaten und erwähnt daneben, daß Humphry 120° und Chapoy für das mittlere Lebensalter 104° und für Greise 94° als Durchschnittswert gefunden hätten. Im Lehrbuch von Rander Knudsen wird nur kurz berichtet, daß der Winkel des Promontoriums fast ein rechter sein soll.

Die Messungen des „Lenden Kreuzbein Winkels“ sind erst in letzter Zeit besonders von seiten der Kliniker an Röntgenbildern unternommen worden. So fanden Dubous und Grasse in ihren Röntgenbildmessungen bei 40 Kranken mit einer 17% Häufigkeit des „Lumbosakralwinkels“ zwischen 40° und 150° . Bei 40 Messungen an durchgezogenen Wirbelsäulen fanden sie 13° bis 184° und der Gesamtwert errechnet. Bei dieser Messungen lag nahe bei 150° . Nach ihren Angaben hatten die meisten der Kranken mit einem Lumbosakralwinkel unter 145° Rückenschmerzen, es gab allerdings auch 4 Fälle ohne. Bei 10 Messungen mit einem Lumbosakralwinkel von 100° bis 130° nach den Messungen von Hyman lag der

normale Lenden Kreuzbein Winkel 132° bei ihrer Schwankungsbreite von 115° – 160° . Die von Wyrns auf dieser Messungen beruhend als Überbestimmung mit Bronze kann der Winkel nicht genau zu sein da den Winkel des Promontoriums (120° – 135°) gemessen hat während Wyrns auch urteilend betont daß er Lumbosakralwinkel den Neigungswinkel zwischen den vertikalen Achsen des 5. Lendenwirbels und des 1. Kreuzwirbels versteht.

Im Schrifttum sind auch noch andere Winkel als Lenden Kreuzbein Winkel berechnet worden wofür Verwirrung weiter entsteht wird. Wyrns nennt den Winkel zwischen einer Horizontalen und der Oberfl. Kreuzbein Lumbosakral Winkel, während er Leck in den Lumbosakralwinkel findet indem er den Winkel des 5. Kreuzwirbels mit der mittleren Fluchtlinie der beiden ersten Kreuzbeinwirbel bildet. Heller wendet sich den Verwirrlichkeiten in der Nennungsgang hin und schließt sich ebenso wie J. M. Berry unserer Bezeichnung (Abb. 404) an da sie die einfachste die besten Vergleichsmöglichkeit bietet.

Um diesen klinischen Messungen ein größeres anatomisches Untersuchungsgut an die Seite zu zu können, sind am Dresdener Institut Messungen in größerer Anzahl vorgenommen worden, die anderweitig unter Befürsichtigung an führlicher Zahlenübersichten bereits berichtet wurde (S. 404). Zur Beantwortung der Frage nach der gewöhnlichen Größe des Lenden Kreuzbein Winkels Untersuchungen jugendlicher Wirbelsäulen ausschlaggebend (Übersicht 9). In unserer nicht zeigt der Vergleich dieser Zahlen mit den bei Erwachsenen (über 25 Jahren) gefundenen Werten, daß keine wesentlichen Unterschiede zu finden waren. (Untersuchungen über die Verhältnisse am Promontorium in der Fetalzeit hat Ciella durchgeführt.)

2. Ursachen der Winkelverschiedenheiten

Bei der aus vielen Einzelteilen zusammengesetzten Wirbelsäule können für Winkelveränderungen an der Lenden Kreuzbein Gegend viele Ursachen verantwortlich gemacht werden. Zunächst der Bau der Wirbelsäule selbst von dem die Winkelverhältnisse in hohem Grade abhängig sind. Der 5. Lendenwirbel hat keine rechteckige Sagittalschnittfläche sondern diese ist fast immer keilförmig und zwar vorn höher als hinten.

Doch in größerem Maße als die Wirbelsäule bestimmen die Zwischenwirbelscheiben die Verhältnisse der Wirbelsäule. Zunächst kann schon die Höhe der Bandscheibe bei verschiedenen Menschen erhebliche Unterschiede aufweisen. Es ist jedoch nicht einfach, genaue Maßzahlen anzugeben. In unserem Material ergab die Messung an frischen Präparaten, daß bei jugendlichen 5. Lendenbandscheibe vorn um durchschnittlich 6 mm höher ist als hinten, während bei Erwachsenen der durchschnittliche Höhenunterschied zwischen Vorder- und Hinterfläche der 5. Lendenbandscheibe knapp 7 mm beträgt.

Messungen des nach vorn offenen spitzen Winkels, den die Oberfläche des Kreuzbeins und Unterfläche des 5. Lendenwirbels miteinander bilden ergaben in Röntgenbildern für jugendliche Werte zwischen 10° und 27° (durchschnittlich 17°) und bei Erwachsenen Werte zwischen 6° und (durchschnittlich 10°). Wyrns fand 10 – 40° während J. M. Berry 10° als Durchschnittswert des Winkel der 5. Lendenbandscheibe angegeben hat.

Die Höhen- und Winkelverhältnisse der 5. Lendenbandscheibe hängen im wesentlichen von anatomischen Beschaffenheit ab. Normale regelrecht elastische 5. Lendenbandscheiben fanden bei unseren Untersuchungen über das normale jugendliche Alter der Wirbelsäule hinaus – jenseits des 25. Lebensjahres – meist noch bis Ende der 30er Jahre vereinzelt auch noch in höherem Alter. Im allgemeinen stellen sich aber an einzelnen Zwischenwirbelscheiben, selten an allen, dem 40. Lebensjahre mehr oder minder ausgedehnte Veränderungen ein die wir weiter unten ausführlich geschildert haben: braune Degeneration, Zerkaserung, fibröse Umwandlung, spongiöse Vaskularisation, Verkalkungen. Hinzu kommen bei Osteoporose Austritt von Zwischenwirbelscheibengewebe in die Umgebung usw. Gerade die am meisten belastete 5. Lendenbandscheibe außerdem noch am Übergange der beweglichen Lendenwirbelsäule zu dem starren Kreuzbein und aus diesem Grunde besonders stark in Anspruch genommen wird, ist diejenige die die größten Veränderungen zeigt.

Trotz allem ergibt die Berechnung der Durchschnittswerte für die einzelnen Winkel (Übersicht 9) keine wesentlichen Unterschiede der Durchschnittswerte zwischen den Wirbelsäulen jugendlicher und älterer Menschen. Nur die Schwankungsbreite ist bei Erwachsenen um einige Winkel-

Übersicht 9:

Die Tabelle enthält Werte für den Winkel des Promontoriums und den Lendenkreuzbeinwinkel bei 155 Untersuchungen. (Die äußersten Grenzwerte sind in Klammern beige-farbig)

1	2	3	4	5
Winkel	Männer		Frauen	
	bis 25 Jahre	über 25 Jahre	bis 25 Jahre	über 25 Jahre
	Winkelgrade			
Winkel des Promontoriums	130 (121—150)	129 (112—151)	130 (115—153)	130 (118—156)
	129 (112—151)		130 (115—156)	
	129 (112—150)			
Lendenkreuzbeinwinkel	140 (130—156)	143 (122—157)	142 (129—153)	146 (124—164)
	142 (122—157)		144 (124—164)	
	143 (122—164)			

großer als bei Jugendlihen. Auffallend ist weiterhin, daß sich keine wesentlichen Unterschiede zwischen den Geschlechtern feststellen lassen.

Vergleicht man die Zahlen unserer Übersicht 9 mit denen anderer Untersucher dann ergibt sich, daß der Durchschnittswert für den Lendenkreuzbein Winkel (143°) ungefähr in der Mitte zwischen den von *Robinson* und *Grinn* (150°) und *Wynn* (135°) angegebenen Werten steht während der Winkel des Promontoriums einen wesentlich höheren Durchschnittswert (129°) zeigt als *Rauber* *Kopeck* (90°) *Chapry* (108°) und *Humphry* (120°) angeben, aber ungefähr mit den Angaben von *Fick* und *Bruss* übereinstimmt. Zwischen dem Lendenkreuzbein Winkel und dem Winkel des Promontoriums besteht ein Unterschied von durchschnittlich 14°

3. Kreuzschmerzen und Winkelverschiedenheiten

Besonderes Interesse haben Berichte über Kreuzschmerzen die mit Veränderungen der Winkelverhältnisse in der Lendenkreuzbein Gegend verbunden sind. Eingangs hatten wir bereits erwähnt daß *Robinson* und *Grinn* einen „abnormalen Lumbosakralwinkel“ für Schmerzen verantwortlich machen. *Brailford* gibt auch eine mit Schmerzen verbundene Verminderung des Lendenkreuzbein Winkels an. Seiner Ansicht nach kann eine solche Verminderung der Winkelgröße eintreten, wenn durch mehrfache Traumen Bänderzerreißungen im Bereich des Lendenkreuzbein Gelenkes stattfinden. In seiner Arbeit werden außerdem noch Untersuchungen von *Heras* erwähnt, der bei 68 v. H. seiner 488 Fälle mit Kreuzbeinschmerzen eine „Verrenkung“ und einen kleinen Lendenkreuzbein-Winkel beobachtete. *Goldthwait* hat aus seinen Erfahrungen heraus zwei besonders zu Kreuzschmerzen neigende Typen aufgestellt. Dem ersten Typ gehören große plattische Menschen mit langer Wirbelsäule an die eine verstärkte Lendenlordose, einen kleinen Lendenkreuzbein Winkel und eng zusammenstehende Dornfortsätze haben. Der zweite Typ setzt sich aus kurzen, dicken Menschen zusammen. Nach *Brailford* soll bei Schwerarbeitern der Lendenkreuzbein Winkel meist niedriger sein. Diese Angabe bedarf jedoch eingehender Nachuntersuchungen.

Da man auch davon gesprochen hat daß bei Unfallbegutachtungen Kreuzschmerzen auf einen ungewöhnlichen Lendenkreuzbein Winkel zurückgeführt werden können, wenn kein anderer Befund zu erheben ist erscheint es wichtig der Frage nachzugehen, ob überhaupt ein ungewöhnlicher Lendenkreuzbein Winkel als eigenes Krankheitsbild besteht und wie ein solcher sieher nachzuweisen ist.

Bei unseren Fällen ist jedenfalls kein ungewöhnlicher Lenden Kreuzbein Winkel vorhanden denn selbst bei älteren Leuten mit ausgedehnten Veränderungen der Knochen und Bandscheiben fallen alle Winkelwerte ungefähr in die Schwankungsbreite normaler jugendlicher Wirbelsäulen. Ob bei einigen unserer Fälle größere Traumen auf die Wirbelsäule eingewirkt haben konnte leider nicht nachgeprüft werden. Die Belastungen des Berufes und des täglichen Lebens scheinen jedenfalls keine aus dem gewöhnlichen Schwankungsbereich der Winkelwerte herausfallende Veränderungen hervorzurufen.

4 Klinische Diagnose

Die einzige Möglichkeit einen ungewöhnlichen Lenden Kreuzbein Winkel zu diagnostizieren, besteht nur dann wenn zufällig ein Vergleichsröntgenbild von früher her vorliegt. Ist kein solches Vergleichsröntgenbild zu beschaffen dann können vielleicht ganz ausgesprochen aus dem Rahmen der Schwankungsbreite bei jugendlichen Wirbelsäulen herausfallende Winkelwerte als krankhaft bezeichnet werden. Die Zahlen aber die *Robinson* und *Grumm* als pathologisch und mit Schmerzen verbunden angeben (Winkel unter 147°) sind nach den aus der Übersicht 9 ersichtlichen Zahlen nicht als ungewöhnlich zu bezeichnen, denn sie liegen nahe am Durchschnittswert (143°).

Zur weiteren Klärung dieser Frage sind ausgedehnte Untersuchungen am Lebenden nötig wie sie *Hellner* in kleinem Maßstabe ausgeführt hat. Er konnte dabei unsere anatomischen Befunde bestätigen. Untersuchungen wie sie *Müller* und *Zwerg* am aufrechtstehenden Menschen über Neigungsverhältnisse zwischen Becken und Wirbelsäule anstellten, sollten an einem größeren Zahlengut von klinischer Seite nachgeholt werden.

5. Winkelveränderungen bei Spondylolisthese und Sacrum acutum

Da sich bei Spondylolisthese (S. 41) häufig Winkelveränderungen am Übergange von der Lendenwirbelsäule zum Kreuzbein finden, haben wir bei 17 Fällen von Spondylolisthese des 5. Lendenwinkels die Wirbelverhältnisse aus seitlichen Röntgenbildern genau berechnet. Dabei ergab sich als Durchschnittszahl für den Lenden Kreuzbein-Winkel $162,2^\circ$ (Schwankungsbreite $128-166^\circ$) und für den Winkel des Promontoriums $140,1^\circ$ (Schwankungsbreite $116-163^\circ$). Bei unseren Fällen von Spondylolisthese des 5. Lendenwinkels liegen also die Durchschnittswerte für den Lenden Kreuzbein Winkel um ungefähr 10° höher als die von uns berechneten Durchschnittswerte bei älteren Menschen (Übersicht 9). Dies ist der deutliche Ausdruck für die bei echten Spondylolisthesen eintretende „Aufkippung des Kreuzbeins“.

Unter dem Namen Präspndylolisthese wurde von *Whitman* ein Krankheitsbild beschrieben, das mit einem sehr kleinen Lenden Kreuzbein Winkel vergesellschaftet ist. Auch *Wegener* und *Wagen* glauben, daß Fälle mit einer stark keilförmigen 5. Lendenbandscheibe und einem sehr kleinen Lenden Kreuzbein Winkel (90°) zur Ausbildung einer Spondylolisthese neigen, und nennen diesen Zustand ebenfalls Präspndylolisthese. Es kommen zweifellos derartige niedrige Werte für den Lenden-Kreuzbein Winkel vor. Scherb hat solche Fälle als Sacrum acutum bezeichnet. Wir möchten uns dieser Benennung anschließen. Da wir kaum annehmen können, daß der kleine Lenden Kreuzbein-Winkel eine Spondylolisthese nach sich ziehen kann, ist die Bezeichnung Präspndylolisthese nicht gerechtfertigt. Sie trägt nur Verwirrung in das ohnehin schon wenig übersichtliche Gebiet der Erkrankungen in der Lenden Kreuzbein Gegend.

VII. Die krankhaften Veränderungen der Wirbelsäulenbeweglichkeit

A. Allgemeines

Im Abschnitt über die Wirbelsäule als Ganzes (S. 22) wurden die regelrechten Winkelgrade der Bewegungen an den verschiedenen Wirbelsäulenteilen besprochen und darauf hingewiesen, daß die klinisch-röntgenologisch meßbaren Bewegungsmöglichkeiten geringer sind als die von anatomischer Seite gegebenen. Die Angaben wirklich genauer Winkelgrade für krankhafte Veränderungen der Wirbelsäulenbeweglichkeit stoßen auf noch größere Schwierigkeiten. Für den Kliniker sind die Beobachtungen über Unrichtigkeiten der Wirbelsäulenbewegungen von ebenso großem Wert wie die genaue Erfassung der Krümmungsverhältnisse der Wirbelsäule. Dabei müssen nicht nur die Bewegungen in der Pfeilhauptrichtung sondern auch die seitlichen Bewegungen und die Drehmöglichkeiten Berücksichtigung finden. Im allgemeinen wird die klinische Untersuchung nie die wirkliche anatomische Bewegungsmöglichkeit erkennen lassen, da Schmerz oder entzündungsbedingte Steifhaltungen infolge Muskelzusammenziehungen die Untersuchung erschweren. In solchen Fällen ist eine Untersuchung in Narkose heranzuziehen (z. B. zum Anschluß einer vorgetäuschten Steifhaltung der Wirbelsäule) um die Bewegungsmöglichkeit oder Unmöglichkeit sicher zu erkennen (S. 200 fibrose Versteifung!).

B Ungewöhnliche Beweglichkeit

Bei der klinischen Prüfung der Wirbelsäulenbeweglichkeit spielt eine krankhaft ungewöhnliche Bewegungsfreiheit kaum eine Rolle, da die vorliegenden Weichteil- oder Rippenhemmungen die durch die krankhafte Veränderung bedingte anatomisch mögliche Bewegung nicht in vollem Umfange zulassen. In den meisten Fällen von anatomisch möglichem krankhaftem Bewegungsübermaß verhindern die begleitenden Schmerzen nicht nur die Durchführung übergroßer Bewegungen, sondern die schmerzhaften Muskelzusammenziehungen versteifen sogar noch den befallenen Wirbelsäulenteil wie oben schon angedeutet. Bei aus der Leiche herausgenommenen Wirbelsäulen können wir allerdings öfters ungewöhnlich hochgradige Bewegungen ausführen. So zeichnen sich fast alle frischen Wirbelfrakturen, wenn es sich nicht um sehr fest ineinandergekittete Kompressionsfrakturen handelt, durch eine ungewöhnliche Beweglichkeit im Bereiche des gebrochenen Wirbelkörpers aus. Auch bei Fällen von *Spina litis infectiosa* (besonders Tuberkulose) mit großen Einsackungs-herden und bei Tumoreinsackungen konnten wir eine recht ausgeprägte ungewöhnliche Bewegungsfreiheit an umschriebener Stelle beobachten. *Mogus* hat am Lebenden bei ausgedehnten Wirbelkörperbrüchen in seinem großen Krankgut nie übermäßige Beweglichkeit festgestellt.

Ob bei Schlangenmenschen mit übergroßer Wirbelsäulenbeweglichkeit das zusätzliche Bewegungsmaß hauptsächlich in den Wirbelbogengelenken oder in den Zwischenwirbelscheiben sitzt ist uns nicht bekannt. Bei der Leichenöffnung eines solchen Menschen müßte die Wirbelsäule genau untersucht werden, um die Frage zu klären, ob das große Bewegungsmaß durch primär krankhafte Veränderungen in den Zwischenwirbelscheiben, Wirbelgelenken und bandern bedingt ist oder ob diese Wirbelsäulenteile durch die erzwungenen Bewegungen verändert sind, und insoweit Nervenstörungen (Gefühlstumpfungen) die übermäßigen Bewegungen zulassen.

Im anatomischen Präparat lassen eine Chondrose der Bandscheiben (Zermürbungen, Rißbildungen usw.) oder Bandscheibenverwachsungen durch Infektionen u. a. ungewöhnliche Bewegungs- ausmaße sowohl für Bewegungen nach den verschiedenen Richtungen als auch für Verdrehungen in der Längsachse oder seitliche Verschiebungen zu. Da ist besonders gut möglich, wenn gleichzeitig

auch andere Teile des Bewegungsegmentes (Kap I J) z. B. die kleinen Wirbelgelenke gelockert sind. Bei der Untersuchung am lebenden Menschen werden sich derartige unrichtige Bewegungsmöglichkeiten allerdings nicht ausführen lassen. Hier wird im Gegenteil die durch die anatomischen Verhältnisse an sich gegebene Lockerung eine schmerzbedingte Steifhaltung des betroffenen Wirbelsäulenabschnittes mit sich bringen und manchmal wird die anfängliche Lockerung in Form eines Selbstheilungsvorganges des Körpers in eine Versteifung ausmünden (zum Teil knöchern Versteifung oder auch fibröse Versteifung). Es ist dann nur möglich auf Grund gewisser Röntgenzeichen und auch unter Berücksichtigung der besonderen Schmerzangaben auf die Lockerung im Bewegungsegment zu schließen und die entsprechenden Schlüsse für die Behandlung zu ziehen.

C. Versteifungen

1. Knöcherne Versteifungen

Häufig erleidet die Wirbelsäule Versteifungen durch außerhalb liegende krankhafte Veränderungen (Muskelversteifungen und Verknöcherungen, Zwischenrippenverknöcherungen u. d.) auf die wir jedoch hier nicht eingehen wollen.

Die häufigsten Versteifungen, die wir an Wirbelsäulen sehen, sind durch Knochenbildungen hervorgerufen die im Gefolge der verschiedensten Krankheitszustände entstehen. Am häufigsten führen die Randwulstbildungen bei der Spondylosis deformans zu „knöchernen Versteifungen“ indem sich die Randwülste benachbarter Wirbelkörper miteinander vereinigen. Dies kann zwischen zwei und mehreren oder auch zwischen allen Wirbelkörpern einer Wirbelsäule vorkommen. Daß sich die zunächst unter dem Bewegungsreiz in unregelmäßig wulstigen Formen aus dem Wirbelkörper herauswachsenden Randwülste nach erfolgter Versteifung infolge einer umformenden Resorption allmählich abglätten und einem kleinen oder größeren Teile der Wirbelsäulenaußenfläche ein „zuckergußähnliches Aussehen“ (Rokitsky-Wenzel) verleihen, haben wir bereits erwähnt (Kap V G). Die Unterschiede in der Beanspruchung der Wirbelsäule bei einzelnen Menschen und der Grad des Leidens kann die allerverschiedensten Zustände zur Folge haben. Doch sind diese Bilder so allgemein bekannt daß wir uns nicht weiter damit beschäftigen wollen.

Versteifungen unbeschriebener Wirbelsäulenabschnitte sind auf Grund zahlreicher Ursachen zu beobachten. Wir haben bereits berichtet daß ausheilende Infektionen an den befallenen Wirbelkörpern mitunter randwulstähnliche Bildungen hervorrufen, die häufig auch einen Zwischenraum überbrücken und dann miteinander verschmelzend, eine knöcherne Versteifung zur Folge haben können.

Nicht immer müssen es Randwülste sein, die zwei oder mehrere Wirbel unbeweglich aneinander klammern. Nach Zerstörung der Zwischenwirbelscheiben (durch Infektionen, Traumen, Degenerationsvorgänge) kann in diese selbst von den Wirbelkörperoberflächen her spongiöser Knochen einwachsen (Abb. 227 317 334 335 340 350) und dadurch im Bereiche der betroffenen Zwischenwirbelscheiben eine Versteifung der Wirbelsäule hervorrufen. Der spongiöse Knochen ist röntgenologisch im Zwischenwirbelsraum gut zu sehen und kann bei Aufnahmen in mehreren Ebenen oder stereoskopischen Aufnahmen nicht mit Randwülsten verwechselt werden.

Bei der Alterskyphose ergibt sich stets als Endzustand eine Versteifung im Bereich der kyphotischen Brustwirbelsäule. Wir haben ausführlich geschildert (Kap VI A 3) daß die Ursache dieser Versteifung Einwucherungen von Knochengewebe in die zerfällten und nekrotischen vorderen Zwischenwirbelscheibenteile sind. Das von den benachbarten Wirbelkörpern in das Zwischenwirbelscheibengewebe eindringende Knochengewebe vereinigt sich schließlich, und Röntgenaufnahmen lassen deutlich erkennen, wie die Spongiosazeichnung der beiden anliegenden Wirbelkörper im vorderen Teile des Zwischenwirbelsraumes ohne Unterbrechung ineinander übergeht (Abb. 302 303).

Besonders kommen Versteifungen von Wirbelsäulenteilen (besonders Brustwirbelsäule) dadurch zustande daß die Ligamenta flava (Abb. 221) oder die Ligamenta interspinalia verknöchern. Dies ergibt nicht immer eine völlige Versteifung sondern meist nur eine mehr oder weniger beträchtliche Bewegungseinschränkung. Jedoch treten nur selten derartige Bandverknöcherungen für sich allein auf. Meist sind sie Begleiterscheinungen bei knöchernen Versteifungen aus anderen Ursachen.

Wir sehen sie häufig bei der Alter-kyphose und bei der Spondylosis deformans. Es scheint als ob diese Bänder immer dann Verkürzungen anheimfallen, wenn durch anderweitige Versteifung im zugehörigen Bewegungssegment eine Bewegung unfähigkeit bedingt ist (Die Bänderverkürzungen bei Spondylarthritis ankylopoetica beschäftigen uns im nächsten Abschnitt.)

Weitere Bewegungseinschränkungen, die bis zur völligen Versteifung führen können, werden durch Randwulstbildungen an den kleinen Wirbelgelenken hervorgerufen (Abb. 220). Die Arthrosis deformans der Wirbelbogengelenke als deren sichtbare Auswirkungen diese Randwülste anzusehen sind, ist ebenso wie die Spondylosis deformans ein häufiges Altersleiden. Dabei ist es aber auffällig daß die Hochgradigkeit dieser beiden verschiedenen Veränderungen nur selten gleich ist. Meist sind die Randwulstbildungen an der einen (Wirbelkörper) oder anderen Stelle (kleine Gelenke) stärker ausgeprägt (S. 143). Die Arthrosis der Wirbelbogengelenke zeigt an einer Wirbelsäule genau so verschiedenartiges Befallensein und Freisein verschiedener Wirbelsäulenabschnitte oder besonders hochgradige einseitige Ausbildung wie wir dies auch bei der Spondylosis deformans finden. Am häufigsten und stärksten sind aber meist die beweglichsten Teile der Wirbelsäule (Hals- und Lendenteil) befallen. Auch für die Arthrosis der Wirbelbogengelenke ist noch nicht restlos geklärt welcher Gesetzmäßigkeit diese Verschiedenheiten unterliegen, wieweit sie von Beanspruchungen, kleineren Traumen u. v. abhängen, und in welchem Ausmaße und unter welchen Umständen sie Schmerzen bereiten können. Es werden ausgedehnte Untersuchungen angestellt werden müssen, bis hierüber nur einigermaßen Klarheit erreicht ist (Die Pseudospondylolithese die in sehr engem Zusammenhang mit Änderungen der Wirbelbogengelenke im Sinne einer Arthrosis deformans steht wird später in einem besonderen Abschnitt besprochen, Kap. VIII C.)

Angeborene knöcherne Versteifungen durch Verschmelzung einzelner Wirbel oder größerer Wirbelsäulenteile (Blockwirbel) sind vorn ausführlich geschildert (S. 29 Abb. 44–46). Auch die mit Wirbelwulstbildungen und Segmentverschiebungen einhergehenden knöchernen Wirbelsäulenversteifungen haben im Kapitel über die Fehlbildungen eine genaue Besprechung erfahren (S. 67).

2. Die Spondylarthritis ankylopoetica

Früher wurde die Spondylarthritis ankylopoetica (die „Spondylo-rhizomélie“ der Franzosen) als ein eigenes Leiden der Wirbelsäule aufgefaßt und der *Bechterew* Typ (ohne Beteiligung anderer Gelenke) vom *Strümpell-Marian* Typ (mit Beteiligung anderer Gelenke) abgegrenzt. Der Name „Bechterewsche Krankheit“ sollte ganz fallen gelassen werden, da *Bechterew* etwas anderes beschrieben hat (*Ochlecker Ott Pütz*). Nach *Bruckley* wurde das Krankheitsbild bereits 1700 von *Comar* dargestellt. Nach *Klinge* ist die Spondylarthritis ankylopoetica als rheumatische Entzündung der Wirbelbogengelenke aufzufassen, und viele haben sich diesem Urteil angeschlossen, nachdem schon vorher vielfach der Verdacht geäußert wurde daß ein durch Erkältungskrankheiten, durch fokale Infektionen, durch Gonorrhöe u. a. hervorgerufenenes rheumatisches Leiden vorliegen könnte (*Benson* und *Biselli*, *Bacilly*, *Ehrlich*, *Federachmidt*, *A. Fischer*, *Hähnle*, *Koch*, *Krankhauser*, *Krebs*, *Kron*, *r. Laikhorst*, *Wachler*, *Schank* u. v. a.). Eine begleitende Iritis wird oft dabei gefunden (*Hähnle*, *Tempelbar*, *Teuchendorf*, *E. Volhard*). Die Blutsenkungsgeschwindigkeit ist in akuten Fällen beschleunigt (*Crowth*, *A. Fischer*, *Günz*, *Hähnle*). Von verschiedenen Untersuchern wird jedoch auch den Epithelkörperchen eine wesentliche Rolle bei der Entstehung des Leidens zugesprochen. Ihre Entfernung oder ihre Ausschaltung durch Blutgefäßunterbindung (nach *Lérick*) soll in vielen Fällen schon Heilung oder wenigstens Besserung der Beschwerden und der begleitenden Stoffwechselstörungen (verzügerte Blutzuckerregulation, erhöhter Blutkalkgehalt) gebracht haben (*Appel*, *Chassagnon*, *Crowth*, *Fraxon* und *Chippel*, *Hoffmeister*, *Jassinski*, *Mallet-Guy*). Toxische Schädigungen durch Blei u. v. sind ebenfalls als Entstehungsursache bezeichnet worden (*Wertheimann* und *Rafelson*). Nach vielen Angaben spielt das Trauma eine gewisse Rolle und es wurden Erhaltungskrankheiten häufig als Ursache angeschuldigt (*Ehrlich*, *E. Fra*, *Leit*, *Grillner*, *Heiligensthal*, *H. Hermann*, *Jord* u. v.). Fast nimmt ein Virus (Chlamydozoon oculo-genitale) als Krankheitsursache an. Auf eine gewisse erbliche Veranlagung zur Entstehung des Leidens wird von verschiedenen Seiten aufmerksam gemacht (*Inschutz*, *Boni*, *Ehrlich*, *Fischer* und *Leit*, *Geilinger*, *Jacobs* und *Rose*).

Magna Lesy Niliu a) und nach allen bisherigen Untersuchungen erkranken weit mehr Männer als Frauen an einer Spondylarthritis ankylopoetica (*Benazzi Bizzanti Kroner W. Müller F. Volhard u.a.*)

E. Volhard tritt für die Bedeutung des Fokus in der Prostata bei der Entstehung einer Spondylarthritis ankylopoetica ein. „Es handelt sich bei der Spondylarthritis ankylopoetica um eine kontinuierlich von der Prostata über den Lymphweg auf steigende Entzündung des Bindegewebes von Becken und Wirbelsäule. In der überwiegenden Mehrzahl der Fälle fand er eine Gonorrhöe in der Vorgeschichte. Andere

Prostataherde (durch Typhus, Ruhr u. a.) können auch verantwortlich sein. Die Ansichten E. Volhards blieben aber nicht ohne Widerspruch. *Domag*, *Simpson* und *Stern* sind ähnlich wie E. Volhard, glaubt *Romanns* den Ursprung der Entzündung im Becken suchen zu müssen (Genitale Harnorgane Enddarm). Er hält deshalb alle bisherigen Bezeichnungen dieser Krankheit für unrichtig und schlägt vor *Pelviopondylitis ossificans*. Ähnliche Gedankengänge äußert *Ravelli*, da er bei der Osteoperitis pubis, die nach Entzündungen im Beckenraum entsteht (wie auch *Black* nachweisen konnte) gleichartige Knochenveränderungen fand. Demgegenüber lehnt *Jacob* Rheumatismus oder Gonorrhöe als Ursache der Spondylarthritis ankylopoetica ab und nimmt unter ausführlicher Schilderung eines Falles von Sklerodermie eine „Sklerodystrophie an. Eine endogene oder endokrine



Abb. 403 (links) (Lichtbild der massierten Wirbelsäule eines 60-jährigen Mannes. Ansicht von links.) Spondylarthritis ankylopoetica. Glatt Verknöcherung des ganzen vorderen Längsbandes ohne Randzackenbildung. Verknöcherung der Rippenwirbelgelenke und der kleinen Wirbelgelenke



Abb. 406 (rechts) (Ansicht der Sagittalschnittfläche der gleichen Wirbelsäule wie Abbildung vorher.) Deutliche dicke Verknöcherung des ganzen vorderen Längsbandes ohne jede Randzackenbildung. Hochgradige Osteoporose. Spongiose Verknöcherung sämtlicher Zwischenwirbelscheiben. Verknöcherung der Wirbelbogen-gelenke und der gelben Bänder

bedingte Störung glaubt *Steffens* für die Entstehung der Spondylarthritis ankylopoetica verantwortlich machen zu müssen. Eine infektiös-entzündliche Ätiologie läßt er nicht gelten.

Pitres lehnt eine rheumatische Entstehung ab, weist aber darauf hin, daß Konstitution und hormonelle Einflüsse eine wesentliche Bedeutung haben. *Aufdermauer* hält die Spondylarthritis ankylopoetica auf Grund pathologisch-anatomischer Befunde für ein entzündliches Leiden, das zum Formenkreis des Rheumatismus gehört. Mit *Boss* und vielen anderen neuen Untersuchern betont er jedoch, daß die Ursache noch unklar bleibt. Nach *Boss* besteht durch Erbgebundenheit und konst-

totale Verankerung eine latente Krankheitsbereitschaft zu der als auslösende Ursache in manchen Fällen eine „Stress-Wirkung“ kommt Als Stress wurde beobachtet schwere Allgemeinkrankheiten, Infektionskrankheiten, Mangelernährung, Vitaminmangel, Übermüdung, Erkältung usw., aber auch starke seelische Einflüsse

Die Spondylarthrits ankylopoetica ist in fortgeschrittenen Fällen (Abb. 403–406) im anatomischen Bild durch eine vollkommen knöcherne Versteifung der ganzen Wirbelsäule gekennzeichnet

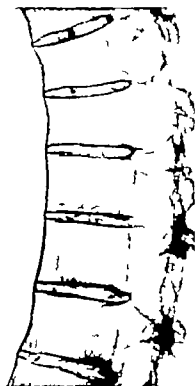


Abb. 407 (links). (Seitliche Röntgenaufnahme einer Hälfte der in der Sagittalebene durchstrahlten Wirbelsäule eines 71-jährigen Mannes.) Spondylarthrits ankylopoetica. Vollkommene Verknöcherung der kleinen Wirbelgelenke und des vorderen Längsbandes. Niedrige Zwischenwirbelsäulen mit Einlagerungen spongiösen Knochens.



Abb. 408 (rechts). (Röntgenaufnahme der Lendenwirbelsäule eines 80-jährigen Mannes.) Bambusstabform der Wirbelsäule bei Spondylarthrits ankylopoetica. A: Auffällige Verknöcherung des Bandsapparates der Dorsifortia. B: Auffällige Verknöcherung der Kreuz- und Beckenbeine.

der entzündlichen, allmählich eintretenden Gelenkversteifung (Gütz, Klinge M Lange Stern). Der Gelenkspalt ist durch fibroses wahrscheinlich von den kapselansätzigen eindringendes Gewebe verlegt man findet Rundzelleninfiltrate und Knorpelreste der Gelenkflächen. (Die Ansicht von Krawitz daß es sich bei der Spondylarthrits ankylopoetica um eine „eigentliche Form der sero-exsudativen Gelenktuberkulose“ handelt erscheint nicht genügend begründet.) Allmählich stellt sich eine vollständige Verknöcherung von enchondralem Typ ein (Aufermann Worm). Auffallenderweise konnte Gütz bei feingewebigen Untersuchungen an den verknöcherten Längsbändern keine Entzündungszeichen nachweisen. Ob diese ausgedehnten Verknöcherungen des gesamten Bandsapparates der Wirbelsäule (Abb. 408) nur infolge der Untätigkeit eintreten nachdem die kleinen Gelenke versteift sind, oder ob doch zeitweilig Entzündungsherde an den Längsbändern sitzen und die knöcherne Versteifung der kleinen Gelenke und der Längsbänder gleichzeitig durch das gleiche Krankheitsgeschehen eintreten, muß noch geklärt werden. Auch die Rippenwirbelgelenke (Abb. 367) und die ihnen zugehörigen Bänder beteiligen sich an den Verknöche-

Die Verknöcherung des gesamten vorderen Längsbandes und auch fast aller übrigen Wirbelsäulenbänder (Ligamenta flava, Interspinalia usw.) verwandelt die Wirbelsäule in einen unbiegsamen, einem Röhrenknochen ähnelnden knöchernen Stab. Die kleinen Wirbelgelenke sind durchgehend verknöchert, es ist an ihnen kein Gelenkspalt mehr nachzuweisen, wie auch aus Röntgenaufnahmen hervorgeht. Stets zeigt die Wirbelsäule eine mäßig ausgeprägte Verstärkung der normalen Brustkyphose. Im Endzustand des Leidens sind die Zwischenwirbelscheiben, die anfangs noch gut erhalten sein können, reichlich mit spongiösem Knochengewebe durchsetzt das von der Band-

scheiben Wirbelkörper Grenze her eindringt, wobei zuerst die äußeren Faserringe (Randleistenannulus) verknöchern. Die Wirbelkörper selbst zeigen einen beträchtlichen Schwund der Knochenbalkchen, während sich in Folge der Verknöcherungen des Längsbandes eine sehr dicke die ganze Wirbelsäulenaußenseite überziehende „Kortikalis“ gebildet hat (Abb. 403–407). Deshalb liegt der Vergleich der Wirbelsäule mit einem „Bambusstab“ oder einer „flamischen Säule“ nahe (Abb. 408).

Mikroskopische Untersuchungen haben die schon von klinischer Seite ausgesprochene Annahme des Beginns der Spondylarthrits ankylopoetica in den kleinen Wirbelgelenken bestätigt. Hier finden sich alle Formen

rungsvorgängen, und dadurch tritt allmählich eine Unbeweglichkeit des Brustkorbes bei der Atmung ein. Die stets vorhandene Verknöcherung der Kreuz Darmbein Fuge die als ein Frühzeichen anzu sehen ist (Abb. 408) wurde vorn bereits erwähnt (S. 149).

Auf ein „destruktives Stadium“ das nach seiner Ansicht bisher der Aufmerksamkeit entging und am Beginn der Erkrankung steht weist *Romana* hin. In diesem Anfangszustand dringt in den Knochen eine entzündliche Zerstörung (Erosion) von den Außenseiten der Wirbelkörper Wirbel fortsätze und Zwischenwirbelscheibe her ein, die er auch in Röntgen bildern vom Lebenden darstellt. Frühdanach beginnt Verkalkung und Verknöcherung. Diese Verlauf-form beobachtet er nicht nur an den Wirbeln, sondern auch am Kreuz Darmbein Gelenk, Schambeinfuge usw. Eingehende Schilderung pathologisch-anatomischer Befunde veröffentlicht *Sudermann*. *Humm* hat im Räume zwischen Wirbelkörper und hinterem Längsband Rundzelleninfiltrate gefunden, und er glaubt „daß ein chronisch-entzündlicher Prozeß in der Synovialis und im lockeren paravertebralen Bindegewebe zu einer vegetativ neuronalen Umsteuerung des trophischen Gleichgewichtes in den Vertebralesystemen führt die eine Öffnung der morphogenetisch gesetzten Grenzen der Ossifikation zur Folge hat“.

Die Spondylarthrit ankylopoetica galt früher als selten, wird aber jetzt im Röntgenbild vom Lebenden häufiger gefunden, so daß in den letzten Jahren klinische Arbeiten mit einer großen Zahl von Fällen erscheinen konnten (*Ehrlich Fischer und Lantz u. a.*). Im Dresdener Untersuchungsgut (etwa 10000 Wirbelsäulen) fanden wir 6–8 sichere Fälle dieser Erkrankung. Wahrscheinlich sind jedoch einige beginnende Fälle entgangen. *Beckmann* zählte bei Durchsicht einer großen Röntgenbildersammlung 2 v. H. Nach *Krebs* verhält sich die Häufigkeit zwischen Spondyloids deformans und Spondylarthrit ankylopoetica wie 10 : 1.

Daß bei der Erwägung der differentialdiagnostischen Möglichkeiten bei der Spond. loids deformans noch eine ganze Reihe anderer Krankheiten in Frage kommen, sei kurz erwähnt. Darüber ist in zahlreichen klinischen Arbeiten eingehend berichtet worden (*Beckmann, Ehrlich, Engelen, Pfäfer u. a.*). Die starken Schmerzen, die meist mit der Entstehung einer Spondylarthrit ankylopoetica verbunden sind geben oft Anlaß an andere Krankheitszustände zu denken, die außerhalb der Wirbelsäule liegen. Besonders häufig hat diese Möglichkeiten zufällig zusammengestellt (unter anderen Ösophagusangina pectoris, Lungen- und Rippenfellkrankungen, Gichtschmerzen bei Tbc., Erkrankungen der Bauchhöhlenorgane).

Eine der Spondylarthrit ankylopoetica nahestehende Knochenkrankung wird von *Königkeid und Meisels* geschildert. Bei dieser *hyperostosis phosphenica* ist außerdem eine röntgenologisch gut sichtbare allgemeine Knochenvermehrung neben einem Zurückbleiben der Knochen im Längswachstum, und die Wirbelkörpermarginalien bleiben auffallend lange vom Wirbelkörper getrennt. Anatomische Untersuchungen über dieses Krankheitsbild liegen nicht vor. Deshalb kann eine völlige Klärung und Einordnung noch nicht getroffen werden.

Aus dem neueren Schrifttum sind folgende Arbeiten, die sich besonders mit der Geschichte und Behandlung der Spondylarthrit ankylopoetica beschäftigen, zu erwähnen *Aalrik Arnold, Bemann, Dresler, Edström, Elitz, Engelen, Fritz, Gold, de Gaetano, Gräber, Hart, Iselin, Krebs, Luz, Murro, Veergard, Venmann, Rastzja, Salvatori, Seppa, Szwed, Steffens, Stürzen, Teodor, Wolff*. Über Operationen zur Wiederherstellung einer aufrechten Wirbelsäulenhaltung berichtet *Cerniansky*.

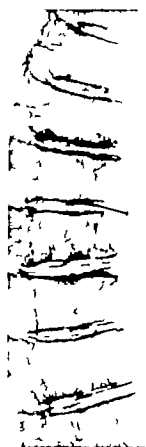


Abb. 409 (Seltliche Röntgenaufnahme einer Hälfte der in der Sagittalebene durchgezogenen Brustwirbelsäule eines 76-jährigen Mannes. Nadel in der 6. Brustbanderhöhe.) Auffallend niedrige Zwischenwirbelscheiben. Geringe Verschattung der Wirbelkörper in der Nachbarschaft der Zwischenwirbelscheiben, die zum Teil durch kleine Randwulste zum Teil durch Sklerose der Wirbelkörperperipherie selbst hervorgerufen ist. Im Präparat sind alle Zwischenwirbelsäulen in ganzer Ausdehnung mit einem dichten, fibrösen Gewebe ausgefüllt, und die Wirbelsäule ist fast ganz unbeweglich. Es handelt sich um eine „fibröse Versteifung“ der Wirbelsäule.

tutionelle Verankerung eine latente Krankheitsbereitschaft, zu der als auslösende Ursache in manchen Fällen eine „Stress-Wirkung“ kommt. Als Stress wurde beobachtet: schwere Allgemeinkrankheiten, Infektionskrankheiten, Mangelernährung, Vitaminmangel, Übermüdung, Erkältung usw., aber auch starke seelische Einflüsse.

Die Spondylarthritidis ankylopoetica ist in fortgeschrittenen Fällen (Abb. 405–406) im anatomischen Bild durch eine vollkommen knöcherne Versteifung der ganzen Wirbelsäule gekennzeichnet.



Abb. 407 (links). (Seitliche Röntgenaufnahme einer Hälfte der in der Bogenstabilebene durchstrahlten Wirbelsäule eines 71-jährigen Mannes.) Spondylarthritidis ankylopoetica. Vollkommene Verknöcherung der kleinen Wirbelgelenke und des vorderen Längsbandes. Niedrige Zwischenwirbelräume mit Einlagerungen spongiösen Knochens.



Abb. 405 (rechts). (Röntgenaufnahme der Lendenwirbelsäule eines 50-jährigen Mannes.) Bambusstabform der Wirbelsäule bei Spondylarthritidis ankylopoetica. Auffallende Verknöcherung des Bandapparates der Dorsifortsätze. Verknöcherung der Kreuzbein-Darmbein-Fuge.

der entzündlichen, allmählich eintretenden Gelenkversteifung (Coulter). Der Gelenkspalt ist durch Narbenes wahrscheinlich von den knöchernen Gewebe verlegt; man findet Rundzelleninfiltrate und Knorpelreste. (Die Ansicht von Kunkin, daß es sich bei der Spondylarthritidis um eine eigentümliche Form der sero-exsudativen Gelenktuberkulose handelt, ist genügend begründet.) Allmählich stellt sich eine vollkommene Verknöcherung ein. (Aufmerksamer Hinweis!) Auffallenderweise konnte Günter bei feingeweblichen Untersuchungen der verknöcherten Längsbänder keine Entzündungszeichen nachweisen. Obwohl die Verknöcherungen des gesamten Bandapparates der Wirbelsäule (Abb. 408) nur in späteren Stadien eintreten, nachdem die kleinen Gelenke versteift sind, oder ob doch zeitweilig auch an den Längsbändern sitzen und die knöcherne Versteifung der kleinen Gelenke und gleichzeitig durch das gleiche Krankheitsgeschehen eintreten, muß noch geklärt werden, ob die Rippenwirbelgelenke (Abb. 367) und die ihnen zugehörigen Bänder betreffen. Ich an-

Die Verknöcherung des gesamten vorderen Längsbandes und auch fast aller übrigen Wirbelsäulenbänder (Ligamenta flava interspinalia usw.) verwandelt die Wirbelsäule in einen unbeweglichen, einem Röhrenknochen ähnelnden knöchernen Stab. Die kleinen Wirbelgelenke sind durchgehend verknöchert. Ist an ihnen kein Gelenkspalt mehr nachzuweisen, wie auch Röntgenaufnahmen hervorgeht. Stets zeigt die Wirbelsäule eine mäßig ausgeprägte Verstärkung der normalen Lordose. Im Endzustand des Leidens sind die Zwischenwirbelscheiben, die anfangs noch gut erhalten sein können, aber mit spongiösem Knochengewebe durchsetzt, das von den

Wirbelkörpern her eindringt, wobei zur Verstärkung Faserringschicht (Intervertebralanulus) verknöchert. Die Wirbelkörper selbst, die beträchtlichen Schwerebelastungen auszuhalten, sind infolge der Verknöcherung des Längsbandes ein zusammenhängendes Ganzes, das die ganze Wirbelsäule überzieht. Hier hat (Abb. 409) liegt der Vergleich der Wirbelsäule mit einem oder einer Kette. (Abb. 410) Mikroskopische Untersuchungen klinischer Annahmen der Spondylarthritidis bei kleinen Wirbeln. Hier (Abb. 411)

VIII Wirbelverschiebungen und Wirbelgleiten

A Allgemeines

Außer dem echten Wirbelgleiten, der Spondylolisthese (Abb 67—70) die bei den Wirbelnulen fehlbildungen ausführlich besprochen ist (S 43) und den Wirbelluxationen (S 118) gibt es noch andere Formen von Verschiebungen zwischen Wirbelkörpern. Bisher ist diesen Formen nur geringe Beachtung geschenkt worden und sie galten als große Seltenheiten. Da alle Verschiebungen zwischen einzelnen Wirbelkörpern Änderungen der Wirbelsäulenstatik bedingen, haben sie großes klinisches Interesse. Außerdem gehen sie stets mit Veränderungen des Zwischenwirbelscheibengewebes einher denn ebenso wie sich bei bestehender Spondylolyse nur unter gleichzeitiger Zermürbung und Lockerung des Zwischenwirbelscheibengewebes ein echtes Wirbelgleiten ausbilden kann (S 48) sind auch Wirbelverschiebungen nur bei begleitenden Veränderungen der zwischen den gegeneinander verschobenen Wirbelkörpern liegenden Zwischenwirbelscheiben möglich. Oft bilden diese Veränderungen die Ursache der Wirbelverschiebungen wie wir noch besprechen werden. Das „Bewegungsegment“ (Kap. I J) in dem sich die Verschiebung abspielt ist immer in allen seinen Teilen in Mitleidenschaft gezogen.

Um die wenig einheitliche und zum Teil verwirrende Namengebung etwas übersichtlicher zu gestalten, sollen mit Wirbelgleiten (Spondylolisthese) nur die Fälle bezeichnet werden, bei denen die Ursache des Gleitens ein Spalt oder eine Veränderung im Zwischengelenkstück ist. Vom echten Wirbelgleiten wird nur dann gesprochen, wenn ein angeborener Spalt im Zwischengelenkstück (Spondylolyse) vorliegt (Kap. II C 3). „Wirbelverschiebung“ heißt dagegen daß sich Wirbel gegenseitig verschoben haben, ohne daß umwälzliche Veränderungen im Zwischengelenkstück vorliegen. Bei genauer Röntgenuntersuchungstechnik wird es im allgemeinen möglich sein, diese verschiedenen Formen von Wirbelverschiebungen auseinanderzuhalten, und es ist anzuraten, daß sich die Namengebung mit der oben gegebenen Unterscheidung der einzelnen Wirbelverschiebungsformen auch im Röntgenschrifttum einbürgert. Die Zuhilfenahme von Schrägaufnahmen und von Schichtaufnahmen wird häufig die Deutung erleichtern.

Von seiten nichtärztlicher Chiropraktoren wird als Ursache vieler Rückenbeschwerden und wirbelsäulebedingter Krankheitszustände eine Wirbelverschiebung angenommen und als „Subluxation“ bezeichnet. Im medizinischen Sprachgebrauch kann man von einer Luxation oder Subluxation aber nur dann sprechen wenn das betreffende Gelenk eine Stellung einnimmt, die nicht mehr im Rahmen des regelrechten Bewegungsausmaßes liegt, sondern es überschritten hat. Bleibt ein Gelenk aber im Rahmen seiner physiologischen Bewegungsmöglichkeit plötzlich fest verklemmt stehen — wie bei der Meniskus Einklemmung im Kniegelenk — dann kann man von Gelenkblockierung oder fixierter Gelenkverstellung nicht aber von Subluxation sprechen. Daß solche Gelenkblockierungen auch im Bereich der Wirbelsäulengelenke (Wirbelbogengelenke Zwischenwirbelscheibengelenke Lenden Kreuzbein Gelenke) eintreten und durch gewisse Maßnahmen (Streckungen, Einrenkungen, Lockerungsbewegungen usw.) wieder beweglich werden können oder sich von selbst lösen, wird trotz vieler gegenteiliger Ansichten heute von ärztlicher Seite mehr und mehr anerkannt. Viele Ärzte bedenken sich entsprechender Handgriffe und Verfahren (Kap. III J 4 IV C 4 S 181) die in vergangenen Jahrzehnten fast ausschließlich Laienbehandlern (Chiropraktoren, Osteopathen) vorbehalten blieben, obwohl sie früher auch gelegentlich schon von ärztlicher Seite empfohlen wurden (z. B. Handgriffe von Nagels). Sie waren auch in den Volksmedizinern und Schulmedizinern älterer Völker bekannt (Acroneus u. a.). Aus dem neuen deutschen ärztlichen Schrifttum sind u. a. folgende Namen zu nennen: Budermann, A. Cramer, Derbolavsky, Gultmann, Gutzit, von Roques, Sell, Sollmann, Zuckerschwerdt.

B Wirbelgleiten (Spondylolisthese) durch nichtangeborene Veränderungen im Zwischengelenkstück

Außer dem „echten Wirbelgleiten“ für das als unerläßliche Voraussetzung eine angeborene Fugenbildung im Zwischengelenkstück (Spondylolyse) angesehen werden muß (Kap II C 3) kommen Spondylolisthese vor bei denen andere Veränderungen im Zwischengelenkstück das Abgleiten des Wirbelkörpers (mit Bogenwurzeln, zugehörigen oberen Gelenkfortsätzen und der ganzen darüberliegenden Wirbelsäule) verursacht haben. Zum Beispiel kann ein asymmetrischer Bruch (Fraktur der *Portio Interarticularis*) zu einer Lockerung an dieser Stelle und anschließend unter zunehmender Zermürbung der Zwischenwirbelscheibe zum Vordränggleiten Veranlassung geben (*Böhler George* und *Leonard Hellner Hermanson Holfelder Lutz Meyer Burgdorff Mjaskotzsch Perlman* und *Hansen Reißner Rypor Schanz Scheid* und *Mallacke*). Die gutachtliche Beurteilung der

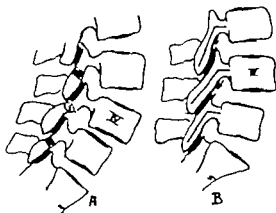


Abb. 410. (Halbesonstische Paaren seitlicher Röntgenbilder der Lendenkreuzbeinregion.) A: Echte Spondylolisthese des 4. Lendenwirbels mit Fuge im Zwischengelenkstück (horizontal schraffiert). B: Pseudospondylolisthese des 4. Lendenwirbels. Dessen unterer Gelenkfortsatz ist etwas flacher gestellt als die übrigen. Flachstellung des Spalttes des kleinen Gelenkes zwischen 4. und 5. Lendenwirbel (Pfeil!). Vergrößerung des Winkels zwischen Bogenwurzeln und unterem Gelenkfortsatz, wie die eingezeichneten Achsen erkennen lassen. In das 4. Lendenwirbelsattelstück ragt eine kleine Zacke vom oberen Gelenkfortsatz des 5. Lendenwirbels aus hinein, und der Winkel zwischen diesem und der zugehörigen Bogenwurzel ist verkleinert.

Abb. 411 (rechts). (Seitliche Röntgenaufnahme einer Hälfte der in der Sagittalebene durchgezogenen Lendenkreuzbeinregion einer 70-jährigen Frau.) Pseudospondylolisthese des 4. Lendenwirbels. Gelenkspalt des kleinen Gelenkes zwischen 4. und 5. Lendenwirbel gegenüber dem darüberliegenden (eingezeichnet. Links!) deutlich flacher gestellt. Der Winkel zwischen Bogenwurzel und Achse des unteren Gelenkfortsatzes beim 4. Lendenwirbel wesentlich größer als beim darüberliegenden. 4. Lendenwirbelkörper um 1,0 cm nach vorn gerückt. Höhenabnahme der unter ihm liegenden Bandscheibe geringe Randwulstbühnungen (keine Spalt im Zwischengelenkstück).

Frage, ob ein echter Bruch im Zwischengelenkstück vorliegt oder ob durch die Gewaltwirkung eine vorhandene Spondylolyse getroffen und verschlimmert wurde, ist stets recht schwierig oft unmöglich (*Bachmann Brocher Francillon*). Es ist fraglich, ob eine spindelartige Knochenverdickung des Zwischengelenkstückes Hinweis auf eine Frakturheilung ist, wie *Hadley* annimmt. Als sehr seltene Vorkommnisse sind auch Infektionsherde oder Geschwulstmetastasen in den Zwischengelenkstücken die Ursache für ein Vordränggleiten im Sinne einer Spondylolisthese gewesen (*Abraham Follmer Reißer Sisjasky*). Es fehlen allerdings noch anatomisch untersuchte Präparate, die diese bisher nur in Röntgenbildern vom Lebenden gestellten Diagnosen mit Sicherheit bestätigen. Die erheblichen Auseinandersetzungen, die im Schrifttum über die Frage entstanden sind, ob die Spaltbildung im Zwischengelenkstück als allmählich entstehende Umbauzone aufzufassen ist, wurden im Kapitel II C 3 geschildert.

C. Wirbelschiebung nach vorn (Pseudospondylolisthese)

Eine besondere Art von Wirbelschiebungen nach vorn, die bei oberflächlicher Betrachtung sagittaler Sägeschnitte der Wirbelsäule leicht als beginnende Spondylolisthese angesehen werden kann, deren Ursache aber nicht in einer Spaltbildung oder in Veränderungen im Zwischengelenkstück beruht, wurde 1931 von *Jungblum* an Hand von 14 Fällen beschrieben und als Pseudospondylolisthese bezeichnet. Die dabei vorliegenden Veränderungen sind in Abb. 410 schematisch dar-

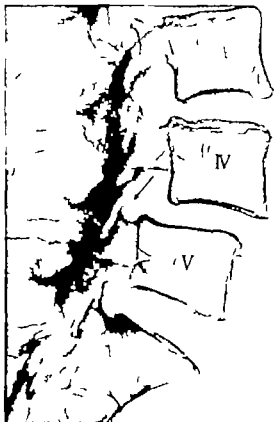


Abb. 412 (links). Lichtbild der Sagittalschnittfläche des in der Sagittalebene durchgesägten Lendenkreuzbogensgrad einer 72-jährigen Frau.) Pseudospondylolisthese des 4. Lendenwirbels. Das Bild entspricht den Verhältnissen des Röntgenbildes der Abbildung. Besonders deutlich ist die in das Zwischenwirbelloch hineinragende Zacke des Gelenkfortsatzes zu sehen.

Abb. 413 (rechts). Vertikale Röntgenaufnahme einer Hälfte der in der Sagittalebene durchgesägten Lendenkreuzbogensgrade einer 56-jährigen Frau.) Pseudospondylolisthese des 4. Lendenwirbels.

gestellt. Bei der echten Spondylolisthese ist die Fuge im Zwischengelenkstück des 4. Lendenwirbels die Ursache für das Vorgehen, während bei der Pseudospondylolisthese das Zwischengelenkstück unverändert ist. Dafür ist hier aber am 4. Lendenwirbel der Winkel zwischen Bogenwurzel und Achse des unteren Gelenkfortsatzes bedeutend größer als an den benachbarten Wirbeln. Gleichzeitig besteht eine Verkleinerung des Winkels am Übergang von der Bogenwurzel zum oberen Gelenkfortsatz am 5. Lendenwirbel. Außerdem ist der Gelenkspalt des kleinen Gelenkes zwischen 4. und 5. Lendenwirbel etwas flacher gestellt (der eingezeichnete Pfeil gibt ungefähr die Richtung an). Röntgenaufnahmen und Lichtbilder solcher Fälle (Abb. 412–413) lassen die gleichen Veränderungen erkennen, wie wir sie in der schematischen Skizze dargestellt haben.

Besonders auffallende Veränderungen bekommt man aber zu Gesicht, wenn man einen solchen pseudospondylolisthetischen Lendenwirbel aus dem Zusammenhang mit den anderen Wirbeln völlig heraushebt. In diesen Fällen zeigen die Gelenkflächen der unteren Gelenkfortsätze des abgleitenden

B Wirbelgleiten (Spondylolisthese) durch nichtangeborene Veränderungen im Zwischengelenkstück

Außer dem echten Wirbelgleiten für das als unerlässliche Voraussetzung eine angeborene Fugenbildung im Zwischengelenkstück (Spondylolyse) angesehen werden muß (Kap. II C 3) kommen Spondylolisthesen vor bei denen andere Veränderungen im Zwischengelenkstück das Abgleiten des Wirbelkörpers (mit Bogenwurzeln, zugehörigen oberen Gelenkfortsätzen und der ganzen darüberliegenden Wirbelsäule) verursacht haben. Zum Beispiel kann ein asymmetrischer Bruch (Fraktur der Portio interarticularis) zu einer Lockerung an dieser Stelle und anschließend unter zunehmender Zermürbung der Zwischenwirbel schiebe zum Vorwärtsgleiten Veranlassung geben (Böhler George und Leonard Hellner Hermanson Holfelder Lutz, Meyer Burdorf, Mikotich Perlman und Hayes Reisser Ryzoe Schanz, Scheid und Malluche). Die gutachtliche Beurteilung der

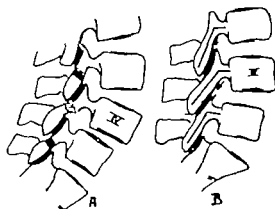


Abb. 410 (Halbschematische Pausen seitlicher Röntgenbilder der Lendenkreuzbeinregion) A. Echte Spondylolisthese des 4. Lendenwirbels mit Fuge im Zwischengelenkstück (horizontal schraffiert). B. Pseudospondylolisthese des 4. Lendenwirbels. Dessen unterer Gelenkfortsatz ist etwa flacher gestellt als die übrigen. Flachet Böng des Spalt) des kleinen Gelenkes zwischen 4. und 5. Lendenwirbel (Pfeil!). Vergrößerung des Winkels zwischen Bogenwurzeln und unterem Gelenkfortsatz, was die eingezeichneten Achsen erkennen lassen. In der 4. Lendenwirbelhöhe ragt eine kleine Zacke am oberen Gelenkfortsatz des 5. Lendenwirbels nach hinten, und der Winkel zwischen diesem und der zugehörigen Bogenwurzel ist verkleinert.

Abb. 411 (rechts) (Seitliche Röntgenaufnahme einer Hälfte der in der Begitt lebende durchgezogene Lendenkreuzbeinregion einer 70-jährigen Frau) Pseudospondylolisthese des 4. Lendenwirbels. Gelenkfortsatz des kleinen Gelenkes zwischen 4. und 5. Lendenwirbel gegenüber dem darüberliegenden (eingezeichnet Linien!) deutlich flacher gest. Der Winkel zwischen Bogenwurzeln und Achse des unteren Gelenkfortsatzes beim 4. Lendenwirbel wesentlich größer als beim darüberliegenden 5. Lendenwirbelkörper um 1,0 cm nach vorn gerückt. Höhenabnahme der unter ihm liegenden Bandscheibe, geringe Randwulstbildungen (kein Spalt im Zwischenwirbelgelenkstück!).

Frage ob ein echter Bruch im Zwischengelenkstück vorliegt oder ob durch die Gewaltwirkung eine vorhandene Spondylolyse getroffen und verschlummert wurde, ist stets recht schwierig oft unmöglich (Bachmann Brocher Francillon). Es ist fraglich, ob eine spindelartige Knochenverdickung des Zwischengelenkstüches Hinweis auf eine Frakturheilung ist wie Hadley annimmt. Als sehr seltene Vorkommnisse sind auch Infektionsherde oder Geschwulstmetastasen in den Zwischengelenkstücken die Ursache für ein Vorwärtsgleiten im Sinne einer Spondylolisthese gewesen (Abraham Pollmer Reißner Siefsky). Es fehlen allerdings noch anatomisch untersuchte Präparate die diese bisher nur in Röntgenbildern vom Lebenden gestellten Diagnosen mit Sicherheit bestätigen. Die erheblichen Auseinandersetzungen die im Schrifttum über die Frage entstanden sind ob die Spaltbildung im Zwischengelenkstück als allmählich entstehende Umbauzone aufzufassen sind, wurden im Kapitel II C 3 geschildert.

C. Wirbelverschlebung nach vorn (Pseudospondylolisthese)

Eine besondere Art von Wirbelverschlebung nach vorn, die bei oberflächlicher Betrachtung sagittaler Sageschnitte der Wirbelsäule leicht als beginnende Spondylolisthese angesehen werden kann, deren Ursache aber nicht in einer Spaltbildung oder in Veränderungen im Zwischengelenkstück beruht, wurde 1931 von Jungknecht an Hand von 14 Fällen beschrieben und als Pseudospondylolisthese bezeichnet. Die dabei vorliegenden Veränderungen sind in Abb. 410 schematisch dar-



Abb. 412 (links) (Lichtbild der Sagittalschnittfläche der in der Sagittalebene durchgezogenen Lendenkreuzbeinregion einer 72-jährigen Frau.) Pseudospondylolisthese des 4. Lendenwirbels. Das Bild entspricht dem Verhältnissen des Röntgenbildes der Abbildung. Oberhalb ist die in der Zwischenwirbelloch hinausragende Zacke des Gelenkfortsatzes zu sehen.

Abb. 413 (rechts) (Rechtliche Röntgenaufnahme einer Hälfte der in der Sagittalebene durchgezogenen Lendenkreuzbeinregion einer 56-jährigen Frau.) Pseudospondylolisthese des 4. Lendenwirbels.

gestellt. Bei der echten Spondylolisthese ist die Fuge im Zwischengelenkstück des 4. Lendenwirbels die Ursache für das Vorklappen, während bei der Pseudospondylolisthese das Zwischengelenkstück unverändert ist. Dafür ist hier aber am 4. Lendenwirbel der Winkel zwischen Bogenwurzel und Achse des unteren Gelenkfortsatzes bedeutend größer als an den benachbarten Wirbeln. Gleichzeitig besteht eine Verdickung des Winkels am Übergang von der Bogenwurzel zum oberen Gelenkfortsatz am 5. Lendenwirbel. Außerdem ist der Gelenkspalt des kleinen Gelenkes zwischen 4. und 5. Lendenwirbel etwas flacher gestellt (der eingekreiste Pfeil gibt ungefähr die Richtung an). Röntgenaufnahmen und Lichtbilder solcher Fälle (Abb. 412–413) lassen die gleichen Veränderungen erkennen, wie wir sie in der schematischen Skizze dargestellt haben.

Besonders auffallende Veränderungen bekommt man aber zu Gesicht, wenn man einen solchen pseudospondylolisthetischen Lendenwirbel aus dem Zusammenhang mit den anderen Wirbeln völlig herausklist. In diesen Fällen zeigen die Gelenkflächen der unteren Gelenkfortsätze des abgelenkten

Wirbels eine starke Arthrosis deformans mit Schiffsflächen, freiliegender Spongiosa und starken Randulkbildungen. Die gleichen Veränderungen sieht man auch an den Gelenkflächen der oberen Gelenkfortsätze des unter dem pseudospondylolisthetischen Wirbel gelegenen Wirbels. Die Wirbelbogengelenke der anderen benachbarten Wirbel lassen Veränderungen in dieser Hochgradigkeit nie erkennen. Die unter dem abgleitenden Wirbelkörper liegende Zwischenwirbelscheibe ist in der gleichen Art verändert (Zerntrübung mit Sklerose der angrenzenden Wirbelkörperflächen), wie dies bei den echten Spondylolisthesen der Fall ist (Chondrosis intervertebralis). Auch kleine Randzacken an den Wirbelkörperkanten werden beobachtet. Das betroffene Bewegungsegment (Kap. I J) zeigt ganz charakteristische Veränderungen seiner Form, und Röntgenaufnahmen lassen erkennen, wie alle Aufbauteile des Bewegungsegmentes in Mitleidenschaft gezogen sind.

Neben der geringen Verschiebung eines Lendenwirbelkörpers und die Kennzeichen der Pseudospondylolisthese Schiefstellung und Arthrosis deformans der entsprechenden Wirbelbogengelenke. Ob die Schiefstellung als angeborene Fehlbildung aufzufassen ist oder ob die Entwicklung der Arthrosis deformans die Schiefstellung durch Abschleif erst hervorruft, bedarf noch der Klärung. Die Veränderungen der Zwischenwirbelscheibe sind erst in zweiter Linie als Folge der veränderten Gelenkstellung und der unrichtigen Belastung und Beweglichkeit entstanden. Es ist auch noch nicht geklärt, wie weit die Schiefstellung der Wirbelbogengelenke zu Luxationen zwischen den betreffenden Wirbelkörpern Veranlassung geben kann. Andeutungen über diese Möglichkeit finden sich jedoch im Schrifttum. *Chiras Goldknecht* u. a. Die Übersicht (S. 47) enthält die im Dredener Institut beobachteten Fälle von Pseudospondylolisthese. Das Alter schwankt zwischen 56 und 87 Jahren. Auffallend ist die starke Beteiligung des 4. Lendenwirbels und das Vorwiegen des weiblichen Geschlechts. (An der echten Spondylolisthese ist überwiegend der 5. Lendenwirbel beteiligt, und das weibliche Geschlecht nimmt keine so überragende Sonderstellung ein wie bei der Pseudospondylolisthese.) Die Pseudospondylolisthese wird auch im klinischen Schrifttum behandelt. *Adrian de Caveland* und *Eufinger Friedl*, *Hadley Hallgrimson*, *Jonsson Macnab*, *Meyer Burdorff*, *W. Müller Potter* und *Vorcross Reißner Römler Sonnenachern Stewart Vilason* und *Casademont* u. v. a.

D. Wirbelverschiebungen nach hinten

Bei Betrachtung sagittaler Sägefalten von Wirbelsäulen oder seitlicher Wirbelsäulenrontgenbilder findet man bisweilen eine Verschiebung von Wirbelkörpern nach hinten zu. Die dadurch entstehende Stufenbildung läßt sich besonders schon erkennen, wenn man die nach dem Wirbelkanal zu liegenden Wirbelkörperkanten betrachtet, weil hier die Lagebeziehungen nicht durch Randulke verschleiert werden. Derartige Wirbelverschiebungen nach hinten wurden bisher meist an der oberen Lendenwirbelsäule beobachtet, und zwar im Dredener Untersuchungsgut 8mal am 3. und 1mal am 1. Lendenwirbel (*Jungheims*). Im Bereiche eines Zwischenwirbelsaumes hat sich eine leichte bayonettartige Verschiebung der ganzen darüberliegenden Wirbelsäule nach hinten zu gegenüber dem unteren Wirbelsäulenabschnitt eingestellt (Abb. 414). Der betreffende Zwischenwirbelraum ist dabei stets niedrig, das Zwischenwirbelscheibengewebe fast vollkommen zerntrübt, und die angrenzenden Wirbelkörperanteile zeigen verdichtetes Knochenbalkchenwerk. Die Veränderungen der Zwischenwirbelscheibe sind also die gleichen wie bei der Spondylolisthese, der Pseudospondylolisthese und bei starken Zwischenwirbelscheibenzerstörungen (Osteochondrosis, Kap. IV D 2). Maßige Randzackenbildungen an den Wirbelkörperkanten, besonders vorn, fehlen nie (Abb. 415).

Spaltbildungen oder Veränderungen im Knochenaufbau der Wirbelbögen kommen als Ursache von Wirbelverschiebungen nach hinten nicht in Frage. Aber der untere Gelenkfortsatz des nach hinten zu verschobenen Lendenwirbels ragt ein Stück nach unten über die Gelenkfläche des oberen Gelenkfortsatzes des nachfolgenden Wirbels heraus (Abb. 415, Pfeile). Neben dieser charakteristischen Veränderung in der Form des betroffenen Bewegungsegmentes findet sich in dem über der Verschiebung liegenden Wirbelsäulenteil eine auffallende Geradhaltung (*Günst*).

Bei der Wirbelverschiebung nach hinten besteht also Höhenabnahme eines Zwischenwirbelsaumes mit gleichzeitiger Verschiebung der Gelenkflächen der zugehörigen Wirbelbogengelenke nach unten zu. Da die Wirbelbogengelenke in der oberen Lendenwirbel-

Die Wirbelverschleibungen nach hinten sind auch schon Gegenstand klinischer Forschungen gewesen. Sie können erhebliche Beschwerden hervorrufen und an mehreren übereinanderliegenden Zwischenwirbelräumen treppenförmig vorkommen (Abb. 417). Bei sorgfältiger Betrachtung vom seitlichen Röntgenbildern der Lendenwirbelsäule werden sie in zunehmender Häufigkeit gefunden.



Abb. 416 (Seitliche Röntgenaufnahme einer Hälfte der in der Sagittalebene durchgelegten Lendenwirbelsäule einer 72-jährigen Frau.) Niedrige 2. Lendenabendscheiße mit mäßig starker Sclerose der angrenzenden Spongiosa und bogenförmiger Einbochtung der Oberfläche des 2. Lendenwirbels. Geringe Verschiebung des 2. Lendenwirbels nach hinten mit kleiner Randacke nach dem Wirbelkanal zu. (W. wahrscheinlich traumatischer Einbruch der oberen Deckplatte des 2. Lendenwirbelkörpers.)

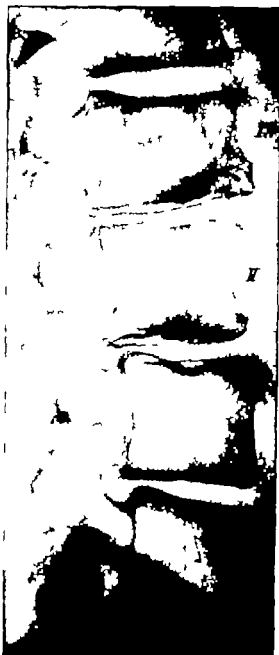


Abb. 417 (rechts). Seitliche Röntgenaufnahme der Lendenwirbelsäule vom Lebenden (31-jähriger Mann). Am 1. Lendenwirbelkörper (I) Unregelmäßigkeiten der Grundplatte um vorderen Drittel durch Einbruch von Bandscheibengewebe mit Abdruckung eines vorderen Kantenstückes (Kap. IV C 3) und beträchtliche Höhenminderung des Zwischenwirbels. Die anderen Zwischenwirbelsäulen der Lendenwirbelsäule sind ebenfalls sehr stark an der Höhe ermindert. Teilweise sind an den Grund- und Deckplatten der Lendenwirbelkörper schmerzhafte Knotchen sichtbar. Der 2., 3. und 4. Lendenwirbelkörper ist jeweils treppenförmig gegenüber dem nachst. tiefer gelegenen nach hinten zu verschoben, und die Spalten der kleinen Wirbelgelenke klaffen etwas (hohe Beweglichkeit mit Verschiebung im Bewegungssegment).

Die Kranken halten stets den betroffenen Wirbelsäulensegment durch Muskelverkrampfung völlig steif, um die schmerzserzeugende Lockerung der befallenen Bewegungssegmente auszugleichen. Dabei sind meist die Seitenbewegungen verhältnismäßig gut möglich, während das Bücken nach vorn nur vorsichtig und unter großen Schmerzen in geringem Umfange ausgeführt werden kann. Das

Neigen des Körpers nach rückwärts verursacht eine Verstärkung des treppenförmigen Abgleitens der einzelnen Wirbelkörper nach hinten zu und ruft so heftige Schmerzen hervor, daß es kaum ausgeführt werden kann. Diese Steifhaltung hat bei dem Kranken von dem die Abb. 417 stammt, jahrelang zu der festerhaften Thymose Spinalarthrit. ankylosatica (Kap. VII C 2) geführt, obwohl die richtige Deutung der Röntgenbilder einen solchen Irrtum ausschließt. Eine Verwechslung mit einer fibrosen Versteifung der Zwischenwirbelstellen (Kap. VII C 3) kann bei genauer körperlicher und röntgenologischer Untersuchung ebenfalls vermieden werden.

Als Traubzeichen für Spinaltuberkulose hat *Hogelstamm* Wirbelverschiebungen nach hinten beobachtet, noch ehe sich die zerstörenden tuberkulösen Veränderungen am Wirbelkörper selbst zeigen. *Bracke* beschreibt Verschiebungen des letzten präsakralen Wirbels nach hinten bei Zerreißung des vorderen Halteapparates. Er hat darüber Versuche an der Leiche angestellt. *Hackethal* fand bei einem Krankengut von 17 Wirbelschäden infolge einer Verschiebung des gebrochenen Wirbels nach hinten zu. Außerdem bestand bei 20 v. H. noch zusätzlich eine Verschiebung des nachfolgenden Wirbels nach rückwärts.

Nach der Schrifttum: *Bracke Die Wirbelsäule*, *Johann Lorenz Moenke*, *H. Müller Die Wirbelsäule*, *Hubert Smith Die Wirbelsäule*, *H. Heindrich und Kretzky Zerklein*.

E. Wirbelverschiebungen nach der Seite („Drehgleiten“)

Wirbelverschiebungen nach der Seite sind selten (Abb. 418). Sie wurden bei *Tabe* gefunden (*Jungken*). In hier die Wirbelsäulenveränderungen stark zerstörenden Charakter haben und die eigenartigsten Verdrehungen und Stellungsänderungen von Wirbelkörpern nach sich ziehen können, die durch Veränderungen der Zwischenwirbelscheiben der Knochen eintreten (*Brentländer*).

Daß durch schwere Wirbelknochenverletzungen seitliche Verschiebungen größeren Ausmaßes (bis zu Wirbelkörperbreite) vorkommen, ist weiter vorn (S. 107) besprochen worden (Abb. 160).

Horack hat an einer Röntgenbilderserie von 1800 Wirbelknochenaufnahmen nur 11 Fälle mit seitlicher Wirbelverschiebung gefunden. Dabei stellte er sie am häufigsten an der Halswirbelsäule und dann am Brustlendenübergang fest. Die Verschiebung kann schon bei Menschen im mittlerem Lebensalter eintreten und entsteht nachdem zunächst langsam die Zwischenwirbelscheibe zerstört worden ist, zuweilen plötzlich unter Schmerzen. — Eine besondere Bedeutung haben seitliche Verschiebungen von Wirbeln bei Skoliose im Bereiche der Lendenwirbelsäule (Abb. 418–419). *Jungken* hat dies an Präparaten der *Schmorl'schen* Sammlung beschrieben. Die Verschiebung nach der Seite kann dabei beträchtlich sein. Die Zwischenwirbelscheibe ist an der Stelle der Verschiebung immer zerstört und der Zwischenwirbelsraum niedrig (Chondros und Osteochondros intervertebralis). Auch Bandsackern bilden sich oft dabei aus. *H. Müller*



Abb. 418. (Lichtbild der massierten Wirbelsäule eines 53-jährigen Mannes. Ansicht von vorn.) Sakrallumbale Übergangsform des letzten präsakralen Wirbels mit halbkreisförmiger Verformung seines Querfortsatzes mit dem Kreuzbein verflochten. — Linkseitige Sakralisation. Betrachtliche linksseitige Skoliose der Lenden und unteren Brustwirbelsäule mit seitlicher Verschiebung des 3. Lendenwirbelkörpers (Drehgleiten). Geringe rechtsseitige Gegenkrümmung im Brustteil.



Abb. 419. (Röntgenaufnahme des in der vorhergehenden Abbildung dargestellten Präparates vor der Maximalrotation. Sagittaler Strahlengang.) Verschiebung des 2. Lendenwirbels nach der Seit („Drehgleiten“).

bezeichnet die seitlichen Wirbelverschiebungen bei Skoliosen als „Drehgleiten“ und konnte nachweisen, daß der Wirbelkörper nach seitlich abgedreht wird, weil die kleinen Gelenke seitliche Drehbewegungen zulassen. Stets bestehen in diesen Fällen beträchtliche Beschwerden (*Holmann Im hduar Lindemann, W. Müller Nitsch*). Das Drehgleiten tritt auch bei Skoliosen, die schon seit der Jugend bestehen, erst in höheren Lebensaltern auf. *Reinhardt* behauptet, daß Drehgleiten bei angeborenen Skoliosen nicht vorkommt. Traumatische Einflüsse spielen bei der Entstehung keine wesentliche Rolle. Das wird besonders auch von *Lindemann* betont. Hier ist noch mit Nachdruck darauf hinzuweisen, daß die Bezeichnung dieser Fälle als Spondylolisthese vermieden werden sollte. Dies geschieht aber im klinischen Schrifttum (*Fenkner u. a.*) häufig, wodurch leider eine klare Namengebung verfehlt wird.

IV Die Lendenkreuzbein Gegend

Schon in der entomologische Darstellung der Lendenkreuzbein Gegend unter Zuhilfenahme besonderer Lagerung und in ihrem Seitenbild besser möglich ist (*Hilmar Hartwig Meyer Burgdorff* *Seit. Harnrua*) hat diese entwicklungs geschichtlich noch nicht zur Ruhe gekommene Gegend (*Leil*) mit ihren verschiedenen Vertiefungen ein besonderes klinisches Interesse gewonnen. Vor allem gilt es, die früher unklare Diagnose Kreuzschmerzen auf sichere Befunde zurückzuführen und verschiedene Krankheitsbilder aus der Sammelgruppe der lumbosakralen Beschwerden abzugrenzen (*Bdromy Cuschnier Cypark Leeman Nordmann v. d. Od. Sack u. Tietz* *u. v. a.*). Die Arbeit bei dem zurückliegenden Lendenkreuzbein Teiles der Wirbelsäule auf erhebliche Schwierigkeiten. Die Darstellung mit den mannigfaltigen Überschneidungen der verschiedenen sich überschneidenden Gebilde die eigenartige Stellung des Lendenwirbel (*Brailford Kyr Burgdorff Sched*) mit seiner Verspannung im Beckenring (*Frdmann*) und die vielen Stellungenverschiedenheiten der kleinen Wirbelchen (*Caldwell v. Lachum*) verleiht die Übersichtlichkeit. Wenn *Bakart* von der gesamten Wirbelsäule meint, daß sie ebenso individuell ist wie das Gesicht jedes einzelnen Menschen, so trifft dies in besonderem Maße für die Lendenkreuzbein Gegend zu. *O. P. Thy* fand bei 40 v. H. aller Menschen schwere Veränderungen in der Lendenkreuzbein Gegend. Nach den Untersuchungen von *Lugh* zeigen sogar 8 v. H. der Menschen Veränderungen am Übergang zum Kreuz. In Er sagt allerdings hinzu, daß nur die wenigsten davon Beschwerden haben. *P. Klesch* fand bei 30 v. H. der Menschen mit Kreuzschmerzen Veränderungen des Lendenwirbel. Bei der Nachprüfung von 100 Röntgenbildern der unteren Wirbelsäulenabschnitte konnte *H. v.* nur in 38 v. H. normale Verhältnisse entdecken. Nach *Hilde* in klagen 89 v. H. aller in den Ambulatorien Rußland behandelten Kranken über Kreuzschmerzen.

Wenn man sich bei daran erinnert, daß gerade der Übergang von der Lendenwirbelsäule zum Kreuzbein von der aus vielen beweglich untereinander verbundenen Einzelteilen bestehenden Wirbelsäule zu dem fest im Beckenring verankerten und den Wirbelsäulenbewegungen gewissermaßen als Basis dienenden Kreuzbein die Hauptachse ist, um die alle größeren Körperbewegungen und in erster Linie die Bewegungen bei schwerer körperlicher Arbeit ausgeführt werden, und wenn man sich weiterhin immer vor Augen hält, wie neben den Bewegungen auch die senkrecht zur Wirbelsäule wirkenden Belastungen in der letzten Lendenbogenscheibe und deren Nachbarschaft zusammengefaßt wirken und hier abgefedert werden müssen, dann erklärt sich zwangsläufig die Möglichkeit eines häufigen Versagens oder häufiger Beschädigungen und allmählicher Abnutzungen in dieser Gegend. Die Möglichkeit des Auftretens von Beschwerden gerade an dieser Stelle wird noch wesentlich dadurch erhöht, daß die Lendenkreuzbein Gegend auch in besonderer Häufigkeit entwicklungs geschichtliche Bifurkationen aufweist.

In zahlreichen der vorstehenden Abschnitte dieses Buches sind pathologisch-anatomische Grundlagen für die verschiedenen Formen von Kreuzschmerzen beschrieben worden. Dazu gehören die Abschnitte über die Schmorl'schen Knötchen im Wirbelkanal (Bandscheibenvorfall) über den Lendenkreuzbein Winkel und die Kreuz Darmbein Fuge über die häufig am Lendenkreuzbein Übergang vorkommenden Wirbelbogenfugen, über die Variationen (Übergangswirbel) und viele andere. Darüber hinaus treten Kreuzschmerzen sehr oft bei Veränderungen auf, die höher in der Wirbelsäule sitzen und lediglich durch Belastungsänderungen statische Schmerzen am Übergang von der beweglichen Wirbelsäule zum fest stehenden Kreuzbein hervorrufen (z. B. bei Wirbelsäulenkrümmungen bei Wirbelauchen mit Gibbuslücken). Wieweit dabei in erster Linie das letzte sakrale Zwischenwirbelscheibe mit ihren zahlreichen Veränderungen (Höhenabnahme Osteochondrose usw.) beteiligt ist, läßt sich aus verschiedenen Abschnitten entnehmen, und darüber wurde geschlossen, sich zu ausweitend berichtet (*Jungkanns*). Eine zusammengefaßte Darstellung

und Foerster Berlin: Julius Springer 1936. — Apft H. Tubuläre Sklerose des Skeletts, Virchows Arch. path. Anat. 203, 216 (1940). — Appel Angeführt nach Plücker — A n W: Arthrode deformans an den Beugegelenken und Spinal kosta deformans der Lendenwirbelsäule bei Bräunspitzentum. H. Unfallheilk. u., 25 (1936). — A gu H R. La radiografia de la columna vertebral. Ref. Zbl. Chir. 1937 835. — A kn y J. Über eine vereinfachte Methode der Röntgenaufnahme der oberen Halswirbel (zugleich ein Beitrag zur Spina bifida des Atlas). Röntgenpraxis 1931 913. — A l bo s: Un nouveau cas de calcification du nucleus pulposus. Ref. Zbl. Radiol. 12, 101 (1932). — Arn t r o n g J. Modern treatment of lumbar disc lesions. Medical Press 1942, 332. — Arn ud M. A propos d'un kyste dactyloïde du rachis. (Étude anatomo-pathologique et histologique d'une compression vertébrale par un kyste de l'espace épidual.) Bull. Soc. nat. chir. P. ris 69 46 (1934). — A n a n d M. mit R mp l und M at g n l r. Bericht ts. koloma de 100 greiften vertebrales selon la technique de Bosworth. Presse méd. 6., 1577 (1934). — Arndt J. Spondylitis typhosa im Röntgenbild. Röntgenpraxis 1930, 1040. — Arn ld H. Zur Frühgeschichte der chronischen Wirbelsäulenerkrankung. Klin. Woch. 1937 II 1940; Kritische zu den vertebrales Deutungen Melmorh unter dem Blickwinkel des „Konostomies nachaden“. Z. Orthop. 6 186 (1936). — A n ld R. Die Lendenwirbelsäule des Bergmannes unter Tage. Z. Rheumaforsch. 12, 0 (1933). — A n ld Jr J. Clinical manifestations of spondyloarthrosis (spond kosta) of the cervical spine. Ann. Surg. 141 872 (1933). — A n g E. Anatomischer Beitrag zur neurologischen Diagnostik des Bandscheibenvorfalles. Münch. med. Woch. 1933, 6., — Asai T. Supplementary X Ray Studies on the Spinal Column (On vertebral and dorsal height ratio, curv. and central and dorsal interspace ratio curv. of the spine) Report 2. Nippon Act. Radiol. Vol. II 19 1; Report 3. Nippon Act. Radiol. Vol. II 1932; Statistical studies on spinal slipping formation especially relationships with straight posture. Nippon Act. Radiol. 1., 19 (1933); The relations between the straight posture of the spine and the breast ptosis processes. Nippon Act. Radiol. 12, 38 (1933). — A bu E. Spond kosta. Ref. Zbl. Chir. 1937 901; J. Amer. Med. Ass. 88, 5 5 (1937). — A sch n P E. Über Frakturen der Wirbelsäule. Ref. Zbl. Chir. 1937 930. — A b n Angeführt nach Ruge — A k a y M. Cushing'sche Krankheit. Schweiz. med. Jb. 107 (1932). — A k v a. Coll n. An unusual case of cervical spina bifida. Lancet 1933 I 76. — A sen J van Angborne K phose Art. hir Brand. (Stockh.) 6 14 (1930); K phose adolescentium (Schreuermannsche Krankheit). Ned. tsehr. geneesk. 1932, 4 — 102 (Holland.). — A sm n n H. Beiträge zur osteoklastischen Anämie. Hist. path. Anat. 41 (1907) Klinische Einleitung der chronischen Osteoklastenkrankungen. Fortschr. Röntgenstr. 23 301 (1925); Lymphatische Leukämie mit diffuser Osteoklastose. Ref. Klin. Woch. 1931 919. Zur osteoklastischen Anämie und Leukämie unter Hinweis auf die Arbeit von Tschendoff und Nussbaum. Dtsch. Arch. klin. Med. 184 Bd. 2, Heft 93—97 (1919) Krankheiten der Bewegungsorgane. Springer. Ver. OHG Berlin. Göttingen Heidelberg 1919 — Aub n l R. Cure chirurgicale en temps du mal de Pott dorsal de l'enfant ec. béte rachidien. Presse méd. 1932, 1006. — Auf d r m n M. Die pathologische Anatomie der Spondylitis ankylopoetica. Document rheumatologique N., 1933. — A v l n W. Zwei Fälle von Totalisationsfraktur der Wirbelsäule mit großer Dislokation, bei ohne Verletzung des Rückenmarkes. Acta. chir. Scand. (Stockh.) 68, 203 (1931). — Axel r d L. Wirbelsäulenerkrankungen beim Pt rkrampf. Nor. chir. arch. 48, 183—191 (1941) (Rosenach). — A x h sen Angeführt nach Zerngaly.

B k H. Untersuchungen über die Osteochondrosis cervicalis. Fortschr. Röntgenstr. 6., 48. (1933). — B t r u p Ch. On the spinous processes of the lumbar vertebrae and the soft tissues between them, as on pathological changes in that region. Acta radiol. (Stockh.) 14 32 (1933); Proc. spin. art. lumh. and einige andere dieser legende Gelenkbildungen mit pathologischen Prozessen in dieser Region. Fortschr. Röntgenstr. 48 430 (1933); Le Lumbago et les affections radiologiques des pophyses épineuses des vertèbres lombaires de la Ire vertèbre sacrée et des parties interépineuses. J. radiol. 19 78 (1934). — B b l i t P r e t Les disques intervertébraux et la radiologie. Rev. méd. France rom. 1934 N. 2. — B b l i t L. Die atrophischen Osteopathien — Les ostéopathies atrophiques (J. radiol. Electrol. Tome 29 333 (1934)). — B b e n J. Zur Diagnostik und operativen Technik der Entfernung der hinteren Schmorleichen Anknipfel bei bei Kompression des Rückenmarkes. Ref. Zörgen. Chir. 74, 513 (1934). — B b t s h i a n P t w n Geschlossene Verletzungen der Wirbelsäule und ihre Behandlung. Ref. Zbl. Chir. 1937 2931. — B b m a A. Ein Beitrag zur Spondylitis ankylopoetica. Fortschr. Röntgenstr. 41, 300 (1930). — B b m n n R. Spondylitis ankylopoetica und Unfall. Zbl. Chir. 1933, 934. — Bad J. Amalgam des 5. Lendenwirbels nach hinten. Ref. Zörgen. Chir. 70 662 (1933); Ref. Zbl. Radiol. 4 442 (1933). — B a k W. Wirbelfraktur bei Tetanus. Beitr. klin. Chir. 128, 333 (1927). — B a k A. Kritische Betrachtungen zur Genese und Behandlung des Bandscheibensprolapses. Zehr. Rheumaforsch. 10, 209—218 (1931); Zur Reduktionsbehandlung der Wirbelsäule. Medizinische 1934 310; Kritische Stellungnahme zur Chiropraktik. Medizinische 1934 1878. — B a b Über die infektiösen und tumorbedingten Erkrankungen der Wirbelsäule. Verh. Dtsch. Röntgen-Ges. 23, 27 (1931). — B a l l y P u. Bu r P. Ca erous Hematoma of the vertebrae. J. Amer. Med. Ass. 92, 1748 (Mai 1929). — B k A. Verletzung der Zwischenwirbelscheibe durch Lumbalpunktion. Brit. Journ. Surg. 81 N. 126, 353 (1946). — B k l. Mandamler og ut skingsnotaber hivres den. Bergen J. W. Erdes 1933. — B k k S. X Röntgenologische Beobachtungen über die Bewegungen der Wirbelsäule. Act. radiol. Supplementum XIII, Stockholm 1931; Spondylosis ossificans hysteroidea localisata. Fortschr. Röntgenstr. 33, 411 (1934). Ref. Zörgen. Chir. 81 66 (1937). — B l d n Angeführt nach Jacobs. — Bald m u. Bruch eines Halswirbels mit schwerer Rückenmarkverletzung durch leichtes Trauma. Münch. med. Woch. 1931 436. — B l t h a s A. Eintrige Spondylitis und Trauma. Mehr Unfallheilk. 77 113 (1934). — B n w r t h A. Zur Lehre von der „Isthma“. Ärtl. Woch. 41 (1909); Zur Ätiologie und Pathogenese der „Isthma“. Ärtl. Woch. 27/94 (1910) Zur Lehre von der „Isthma“ (Teil II). Ärtl. Woch. 1931 639; Zur Lehre on der „Isthma“ (Schluß). Ärtl. Woch. 1931 563. — B a d n An-

gnostik des Beckenringes. Hippokrates 1845, 332; Lehrbuch der Chiropraktik der Wirbelsäule Haug, Ulm 1945; Funktionelle Merkmale statischer Störungen im Röntgenbild der Wirbelsäule Wierbels, in Forsch. u. Praxis 1 73 (1944). — C m H Zur Differentialdiagnose der Erkrankungen im Lumbosakralbereich unter besonderer Berücksichtigung des Bandscheibenvorfalles. Med. Klin. 1946 469—471; Beitrag zur Kontrastfüllung des Periduralraumes mit 33 ölgem viskosem Per Ahrold M du b den Sakralkanal, insbesondere zur Darstellung von Bandscheiben im Kreuzkreuzbereich. Dtsch. med. Wochr 1950 769. — C awf d mit Jlt b ll und G ng Surgical Treatment of low back Pain with Radioactive Radiation. Arch. Surg 59 724—730 (1949). — C l p E. Ge schädigt Zwischenwirbelscheiben, Frühdiagnose und Behandlung. Lancet C311 452 (1945). — C estl L. Klinische Bemerkungen und Untersuchungen über den Stoffwechsel bei Spondylitis rhomboides. Ref. Zong ges. Chir 60 812 (1933). — C ows G und M ldoon P Thoracic hordomas Thoma (London) 8, 403 (1931). — C t hff Id und Schult Fractures and dislocations of the spine. Amer J R g. 3 219—226 (1948). — Chr dow kl Angeführt nach Jak. — Cuny J Ein Fall von Kumpalischer Krankheit. Ref. Fortschr. Röntgen 40 331 (1929). — Cu at R. Über Wirbelsäulenfrakturen. Ref. Zong ges. Chir 33, 367 (1931). — C rs b m H Klinik und Pathologie der Lumbosakralregion. Zbl. Chir 1831 2325; Zur Diagnose und Therapie der Verletzung. Münch. med. Wochr 1922, 1785. — Cu t a j P mit Cl k W und H nd n Ch Vertebrae fractures resulting from prolonged corticosis and corticotropin therapy J Amer Med. Assoc 136, 46 (1944). — Cu b w j u M Planmäßige Untersuchungen der Wirbelsäule bei Industriearbeitern. J Amer Med. Ass. 92, 701 (1929). — D cu l nd E. und Fuffing H. Zur Klinik, Pathogenese und Ätiologie der Pseudospondylitis osteoarthr. Arch. orthop. Chir 43 107 (1932). — C v iax J Drs. Leçons London 1932.

D bl B Fracture de l'os de la colonne vertébrale chez un lanceur de disque. Act. orthop. Recond 1 243 (1930). — D blin D und M Ca ty C Chordoma A study f 59 cases. Cancer (N Y) 5, 1170 (1932). — Dal T Unusual forms of f mutal osteochondrodystrophie Acta radiol. (Stockh.) 12, 337 (1931). — D ndj Angeführt nach R. hoven. — D nd W Recent advances in the treatment of ruptured (lumbar) lateral vertebral disks. Ann. Surg. 118, 639 (1943); Treatment of Spondylolisthesis. J Amer Med. Ass. 127 137 (1943). — D b et M l l Muth pl Frakturen der Querfortsätze der Lendenwirbel. Ref. Fortschr. Röntgen 40 331 (1929). — D is Angeführt nach Böhler. — D vi on nd B lse Myeloma and its neural complications. Arch. Surg (Am.) 33, 013 (1937). — D bey mit d 86 und J m nd Traumatism des lombo-sacralen pa la grande encastrée Sem h/p. (Paris) 1952, 183—189. — D bunn H. Lumbalgien Bern 1944, 1 Aufl. — Doh h L. Die Reipferkrankheit und ihre Behandlung. Dtsch. med. Wochr 1928 II (1927). — D k P Traitement des lésions traumatiques de la colonne cervicale Zisch Unfallschad. u. Berufskrankh. 1944 193. — De k P et Buffat J Les lésions chroniques de la colonne vertébrale thromos et hernies dorsales. Hol t. ur act 17 167 (1950). — D ek mit F hg l dows H ke und Met g Entzündungsstörungen am lumbosacralen Übergang Fortsch. Röntgen 54 47 (1936). — De k Fraktur des 6. Brustwirbels. Ref. Zbl. Chir 1931 1604. — D ourt G lit et Guill min Schmerzhaft Osteoporose der Wirbelsäule als „frühste“ Form der Osteomalazie und ihre Behandlung mit bestrahltem Ergosterin. Ref. Zbl. Radiol. 13, 775 (1932). — D t Angewandte Wirbelsäule Chir. med. Wochr 1901 1508. — D f say Angeführt nach Meyer Burgdorff. — D l h h ve A. Signes radiologiques de l'épiphysie vertébrale douloureuse des adolescents. J Radiol. 13, 843 (1931). — D lb m u Mo l K bn Angeführt nach W Müller. — D l f M Spondylitis l. sections nach Malara. Ref. Zbl. Chir 1924, 3908. — D lu n Met was im Halswirbel, an einem Tumor der Chondrosen herrührend. Ref. Zbl. Radiol. 23, 636 (1936). — D nk W Der Echinokokkus der Wirbelsäule unter dem Bilde eines Rückenmarkstumors. Wern. med. Wochr 1929 512. — D n k K Sakraler Zugang für die Operation des Wirbelgürtels. Med. Wochr 1931 180. — D nk H Über den Grad des Weichteilschadens bei der Vertebra plana. Calv. Chir 1924, 335. — D bl w kr U. Zur Theorie der Chiropraktik. Neurochir. 1934 26; Beckenringzähl. — chiropraktisch gesehen Hippokrates 1845, 310. — D g n Angeführt nach Hage. — D nt J Ein Fall von Abbruch eines Querfortsatzes eines Halswirbels. R f Zbl. Chir 1929 1978. — D t l und H m m l Beitrag zur Differentialdiagnose der Spondylitis unter besondere Berücksichtigung des Röntgenbildes. Arch. orthop. U. fall Chir 43 373—396 (1931). — D ut k P Ein l. einer Totalquerfraktur (Extremisfraktur) des 3. Lendenwirbels. Dtsch. Zentr. Chir 40 778 (1933); Zur Behandlung von Wirbelverletzungen mit Querschnittsläsion. Zbl. Chir 1936, 11. — D t b L Osteomyelitis Wern. klin. Wochr 1925 II 990. — D ut b n D C Myelom der Wirbelsäule und Unfall. Wochr. Unf. lth. 24, 506 (1931). — D f F F Echinococcose vertébrale son processus pathogénique et ses lésions. Ref. Zong ges. Chir 48, 30 (1929). — D k W Radiokollaboration der Wirbelknochen. Med. klin. Chir 184 326 (1938). — D l k w and Eddy Fractures of the lower be k Surg. Clin N Amer 16 1001 (1928). — D k n k l Industrial injuries of the be l Occup. Med. 2, 57 (1947). — D b ld O Ochrosom und Unfall. Dtsch. Zentr. Chir 45 63 (1937). — D n r H Über den mechanischen bedingten Kopf-tumoren. Münch. Med. Wochr 1932, 3313. — D Bl f Ein Beitrag zur Symptomatik der Zong ges. Chir 31 264 (1929). — D th m L Atrophische Hypophyse auf der Grundlage einer doppelt n. taoren und I pntrospindylus (P tt) mit a. gebliebener segmentärer Differenzierung der Neuralbogen und Spinalbildungen der Dornfortsätze Fortsch. Röntgen 65 1 17—23 (1947); Zur formalen Genese der frontalen Wirbelkörperexpansion und des zentralen und dorsalen Halswirbel Fortsch. Röntgen 65 2 34—62 (1943); Die Frühdiagnose der Wirbelkörper Fortsch. Röntgen 65, 2, 63—68 (1943); Die Bedeutung der röntgenologischen Wirbelkörperbeurteilung zentralen und dorsalen Halswirbelsäule und die partielle Degeneration der Wirbelkörper Fort. Röntgen 65 2, 126 146 (1943); Die Agnosie der Lumbalen Wirbelknochenbeurteilung und ihre Verknüpfung an den Missbildungen des hinteren Körperendes. Fortsch. Röntgen 60 2/4 144 (1944). — D l t b H. Die Schmorl'sche Knorpelknoten der Wirbelsäule. Münch. med. Wochr 1931 1331; Klinische Beobachtungen

H. Über brennige Wirbelsäulenversteifungen. *Klin. Woch.* 1927 664. — Eichenholtz S. und Mayo V.: Homogeneous bone graft in spine fusions for tuberculous. *J. Bone Surg.* 37 A, 317 (1935). — El khoff: Zur Therapie der Spina haída. *Zbl. Chir.* 1931, 3141. — Eichel M. P.: Zur Kenntnis des Spondylolithese. *Zbl. Chir.* 1934, 535. — E hle P.: Zur Diagnose der Spina haída anterior. *Fortschr. Röntgenstr.* 34, 776 (1927). — Eigle: Angeführt nach Ireland. — El elbe G. A. u. Gold E.: Über eine ungewöhnliche Form von Wirbelbruch. *Dtsch. Zentr. Chir.* 232, 19 (1931); Das paravertebrale, intramedulläre Hämatom bei Wirbelbrüchen. *Dtsch. Zentr. Chir.* 232, 329 (1931). — Eiselberg: Angeführt nach Schloffer. — Eil r u. Haas: Angeführt nach W. Maier. — Fk ab ry C. and Le C eq: Treatment of cervical spine dislocation. *Surg. Clin. N. Amer.* 13, 1315 (1933). — Eille R.: Das orthopädische Problem der Nucleus-pulposus Hernie. *Chirurg.* 1932, 55. — Eil rmann: Angeführt nach Ruge. — Eilms G.: Beiträge zur Röntgendiagnostik der Wirbelsäule. *Chirurg.* 1930, 306; Rückenmarksschädigungen durch Erkrankungen von Zwischenwirbelscheiben. *Chirurg.* J. 805 (1932); Zur Beurteilung von Wirbelsäulenversteifungen. (Über sekundäre Spondylitis deformans.) *Chirurg.* 5, 47 (1933). — Eilms G.: Ein Fall von „Kippel Feils Syndrom“. *Ref. Zbl. Chir.* 1931 427. — Eilms G.: Diagnose und Lokalisation von Rückenmarkstumoren. *Arch. Neur. (Amer.)* 22, 949 (1929). — Eilms: Lehrsitzungskypose. *Zentr. orthop. Chir.* 32. — Eimling R.: Die Gelenkdielen der Wirbelsäule (eine mögliche Erklärung wirbelsäulenabhängiger Schmerzstände). *H. Unfallheilk.* 49, 142 (1933). — Enderlein: Angeführt nach Ruge. — Engel S.: Zur Therapie der chronischen Wirbelsäulenversteifung. *Fortschr. Med.* 1928, 333. — Engelsen G.: Die Behandlung der durch Schwangerschaft bedingten Kreuzschmerzen mit Kalk Vegetol. *Dtsch. Med. Woch.* 1933, 60. — Engelhardt: Beurteilung von Wirbelkörperverformungen. *Med. Klin.* 1930, 1340. — Engländer O.: Über spaltförmige Defekte bzw. vermalende Knorpelfugen im vorderen Atlasbogen. *Fortschr. Röntgenstr.* 49 (1934). — Englund F.: Einige Fälle von schwerer Osteoporose. *Ref. Zbl. Chir.* 1930 1233. — Eppl S.: Das Chordom im Bereiche der Halswirbelsäule. *Zbl. Chir.* 1947 1159. — Epstein J.: The syndrome of herniation of the lower thoracic intervertebral discs. *J. Neurosurg.* 11 523 (1934). — Epstein S.: Meningoencephalomyelitis. *Ref. Zbl. Chir.* 1929 1977. — Erb K. u. M nt g C.: Ein Beitrag zur Differenzialdiagnose entzündlicher Wirbelsäulenkrankungen. *Fortschr. Röntgenstr.* 1 463 (1949). — Erb H.: Infektspondylitis als Folge von Lokal anästhesie. *Dtsch. med. Woch.* 1919, 10. — E b n: Angeführt nach Ruge. — E dheim J.: Über Wirbelsäulenveränderungen bei Akromegalie. *Virchow. Arch. path. Anat.* 251 197 (1931); Die pathologisch-anatomischen Grundlagen der hypophysären Skelettveränderungen (Zwergwuchs, Typus Frühlich, Akromegalie, Riesenwuchs). *Fortschr. Röntgenstr.* 32, 234 (1933); Genese der Pagetschen Knochenkrankung. *Beitr. path. Anat.* 90, 1 (1933). — Erdle F.: Rheumatische Kreuzschmerzen als Unfallfolgen. *Mösch. Unfallheilk.* 33, 183 (1936). — E dmann H.: Die Knochenaufnahme des letzten Bandscheibenraumes. *Chirurg.* 1931 68; Zur Kreuzschmerzdiagnostik bei Lungentuberkulose. *Tuberkulosestr.* 1933, 418; Endogene Ursachen bei der Wirbelsäulen Osteochondrose des Lendenbogens. *Ref. Orthop. u. Unf. Chir.* 15, 415 (1933); Zum Thema Calcineal Intervall bezieht. *Fortschr. Röntgenstr.* 1932, 357; Die Verspannung der Wirbelsäulenwirbelsäule im Beckenring. *Wirbelsäule u. Forschg. u. Prax.* 1 81 (1934). — E l b Ph.: Über Gitterbildung nach Tetanus. *Zentr. orthop. Chir.* 40, 351; Neue Gesichtspunkt zum Skolioseproblem. *Verh. Dtsch. orthop. Ges.* 25, Kongr. 223 (1931); Angeführt nach Gocke; Nochmals zur Skolioseentstehung. *Zentr. orthop. Chir.* 38, 344 (1933); Direkte Kontrastdarstellung des Nucleus pulposus, zugleich ein Beitrag zur Pathologie der Bandscheibe. *Zentr. Orthop.* 30, 40–57 (1949); Zur Anatomie des Kreuzschmerzes. *Arch. prakt. Med.* 5, 5; Die Ischialgie und ihre Beziehungen zur Diskushernie. *Wien. klin. Woch.* 1931 163; X-rayography. *J. Bone Surg.* 34-B, 704 (1952); Chirurgische Behandlung der Kreuzschmerzen. *Parasch.-Beih.* 5; Zur konservativen Behandlung der Spondylolyse und Spondylolisthese. *Wien. klin. Woch.* 1934, 647. — E l b R.: Zur Anatomie des Kreuzschmerzes. *Parasch.-Beih.* 5. — E n t u. R.: Über traumatische und pathologische Querfortsatzbrüche der Lendenwirbelsäule. *Dtsch. Zentr. Chir.* 237 840 (1932). — E n: Hydrocephalus occipitalis, Spina haída mit koordinierten Wirbelmissbildungen. *Arch. klin. Chir.* 171 445 (1932); Frühzeitige Röntgendiagnose bei der akuten Wirbelsteomyelitis. (Paravertebrale Schattenscheiden). *Dtsch. Zentr. Chir.* 229 615 (1933). — E t t r e E.: Wirbelbrüche mit Gitterbildung. *Ref. Woch. Unfallheilk.* 34, 548 (1931); Künstlich erzeugte Wirbelbrüche. *Ref. Chir.* 3, 939 (1931); Experimentelle Untersuchungen über Frakturen der Wirbelsäule. *Ref. Zbl. Radiol.* 18, 686 (1933); Die chirurgische Behandlung der Sakralluxation des 5. Lendenwirbels. *Ref. Z. orthop. Chir.* 78, 29 (1934). — E w l d: Spondylitis deformans und Unfall. *Munch. med. Woch.* 1929 829; Lumbago, Ischias und Nucleus pulposus Hernia. *Dtsch. med. Woch.* 5, 64 (1949); Behandlung der Ischias. *Ther. Woch.* 1933, 209. — E x n G.: Die Halswirbelsäule. Pathologie und Klinik. Thieme-Verlag 1934.

F b A.: Untersuchungen über die Erhältlichkeit der Kniekapsel. *Arch. orthop. Chir.* 36, 217 (1936). — Falco r and Col.: Sensory disturbances occurring in scoliosis due to intervertebral disc protrusions. *J. Neurol.* 194 72. — F l n mit M G org u. B gg: Ursache und Mechanismus der Symptomentstehung bei Ischias und Kreuzschmerz. *J. Neurol.* 11 13 (1944); Chirurgie des lumbalen Zwischenwirbelscheibenverfalls. *Brit. J. Surg.* 23, 225 (1946). — F l d n G.: Klinische und röntgenologische Untersuchungen über Spondylolisthesis und Spondylolisthese. *Ref. Zbl. Chir.* 1929 3115; Brustwirbelfraktur Lendenkollektomie und Konstruktion einer unteren Extremität als Komplikation des Wundstarrkrampfes. *Ref. Z. orthop. Chir.* 70, 103 (1933). — F l d n u. G i n l i: Klinisch statische Betrachtungen über 190 Wirbelsäulenbrüche. *Ref. Z. orthop. Chir.* 1 249 (1932). — F l a l A.: Spondylolisthesis oder Spondylitis traumatica (Kummell Verneilsche Krankheit). *Ref. Z. orthop. Chir.* 78 30 (1935). — F l k: Angeführt nach Feller und Sternberg. — F a b e a u f: Angeführt nach Le Douarin. — F m H.: Arteriovascular processes in the human spine. *Amer. J. Roentgenol.* 26, 743 (1936). — F k J.: Über einen Fall von Luxation des 5. Halswirbels. *Ref. Z. orthop. Chir.* 60, 36 (1932). — F a Ch.: Paralysis of cervical vertebrae. *Ann.*

- Farg 95, 934 (1932). — F ulw it F: Über Streckungsbruch der Wirbelsäule mit Zerreißung von Aort und Vena cava inferior. *J. allg. Med.* 88, 112 (1933). — F r h m i d t D: Röntgenbild der Vertebra plana Calvé und seine Deutung. *Röntgenpraxis* 1933, 801; Über rheumatische Versteifung der Wirbelsäule. *Bruns. Beitr. klin. Chir.* 162, 330 (1933). — F i g l H: Luxation des 4. Brustwirbels sub partu mit schwerer Lähmung. *Monatsschr. Kinderheilk.* 49, 150 (1930). — F e l l: Angeführt nach W. Müller. — F i n e m: Angeführt nach Müll. — F i l x W: Die Wirkung bedeutender rippenplastischer Eingriffe auf die Skoliose. *Zschr. Orthop.* 88, 3, 446 (1933). — F e l l A. u. S t e n b g H: Zur Kenntnis der Fehlbildungen der Wirbelsäule I. Wirbelkörperverwachsung und ihre formale Genese. *Virehows Arch. path. Anat.* 270, 813 (1930); Über vollständigen und halbseitigen Mangel an Wirbelkörpern. *Virehows Arch. path. Anat.* 274, 363 (1930); Über den vollständigen Mangel der unteren Wirbelsäulenabschnitte und seine Bedeutung für die formale Genese der Defektbildungen des hinteren Körperendes. *Virehows Arch. path. Anat.* 270, 819 (1931); Die anatomischen Grundlagen des Kumpheles. (Klippel-Feilches Syndrom). *Virehows Arch. path. Anat.* 273, 112 (1932); Über Fehlbildungen der Wirbelkörper bei Spaltbildungen des Zentralnervensystems und ihre formale Genese. *Zschr. Anat.* 163, 609 (1932); Über Sirenenbildung. *Frankf. Zschr. Path.* 47, 97 (1934). — F i t t e n H. u. K u b l e n d h l H: Die Blasenfunktionsstörungen bei Querschnittsleidungen und ihre Behandlung. *Chirurg.* 1936, 448. — F e n k r: Seitliches Abgeben der Wirbelsäule und Trauma. *Arch. klin. Chir.* 181, 473 (1930); Beitrag zur Frage der Skoliose und ihrer operativen Behandlung. *Arch. klin. Chir.* 189, 13* (1932). — F e r g u s o n W: Some observations on the circulation in foetal and infant spines. *J. Bone Surg.* 32, A, 640 (1930). — F e n k l a W: Über neurologische Symptome bei Mißbildungen der Wirbelsäule. *Nervenzentr.* 5, 237 (1932). — F i b l g: Angeführt nach Kaufmann. — F i k R: Handb. d. Anat. und Med. d. Gelenke. Jena 1911. — F i d l e J: Über eine generalisierte infektiöse Erkrankung der Bandscheiben mit sekundärer Calcinosis intervertebralis generalisata. *Fortschr. Röntgenstr.* 79, 181 (1933). — F i l l i p p i A: Die Heilung der Zwerchbrellebeule nach künstlicher Herausziehung des Nucleus pulposus im Tierversuch. *Ref. Zschr. ges. Chir.* 4, 146 (1933). — F i n k v: Die Enderfolge der Behandlung der Wirbeltuberkulose. *Zschr. orthop. Chir.* 60, Beil. H., 343 (1934). — F i n d J: The healing process in tuberculous spondylitis: a histopathologic case study. *Surgery* 62, 663 (1936). — F i n h l G: Patologia E Clinica Dell'Ernia Posteriore Del Disco Intervertebrale. Firenze 1933, Edizioni Scientifiche Istituto Ortopedico Toscana. — F i n h l G u. K i r c h m i r H: Die klinischen Syndrome der „humanen Discus Hernien“ in ihren anatomischen Beziehungen. *Zschr. Orthop.* 80, 444–464 (1931); Ricerche Anatomiche Ed Istologiche Sulla Calcificazione Della V. Vertebra Lombare Di Chirurgia Degli Organi Di Movimento I. 1931. — F i o r t i n i A: Osteodystrophia localizzata del rachide. *Ref. Zschr. ges. Chir.* 58, 212 (1932). — F i s c h e d i k O: Die Röntgenbilduntersuchung von Atlas und Epistropheus beim Gesunden. *Wirbelsäule in Forsch. u. Praxis* 1, 63 (1936). — F i b l b: Über Anomalien des Knochen-systems, insbesondere des Extremitätenskeletts. *Anat. Heft* 40, H. 10, 1 (1910). — F i h e r u. F n t: Über das Alter von Bandsacken und Spangen an den Wirbelsäulen. *Masch. Unfallch.* 43, 39 (1933). — F i s c h e u. V o n t s: Klinik der Spondylarthritidis ankylopoietica. *Monatsschr. Med. Chir.* 1932, 554. — F i e b e u. Z i e l: Pathologie des Angioma. *Erg. Path.* 10, 815 (1906). — F i h e A: Begutachtung rheumatischer Erkrankungen. Rheumaprobleme. Bd. 2, Leipzig, Georg Thieme (1931); Beiträge zur Klinik der „rheumatischen“ Erkrankungen. *Zschr. klin. Med.* 11, 443 (1931); Rheumatismus und Grenzgebiet. *Fachbucher f. Ärzte* Bd. 15, Berlin, Julius Springer (1933). — F i h A. W: Fibrose Wirbelsäulenversteifung. *Ref. Zbl. Chir.* 1939, 1932. Über die gutartige Beurteilung von Schäden der Wirbelsäule. *Zbl. Chir.* 1930, 1202; Die Osteodystrophia Paget ihre Beziehungen zu Unfällen. *Zbl. Chir.* 1931, 1766; Über fibrose „röntgennegative“ Wirbelsäulenversteifung. *Masch. Unfallch.* 39, 73 (1932); Osteomyelitis und Trauma. *Handbuch ges. Unfallch.* 2. Aufl. 1935, 400. — F i s c h E: Das Vererbung von Wirbelsäulenversteifungen beim Menschen (nach Untersuchungen von Dr. K. Kahane). *Ref. Zbl. Radiol.* 11, 516 (1931). — F i h K: Neue Methoden zur Darstellung von Bandscheibenveränderungen bei Lumbago und Ischias. *Schweiz. med. Woch.* 1949, 213. — F i s c h F: Angiome der Wirbelsäule. *Mitt. Ges. inn. Med. Wien* 33, 46 (1934). — F i s c h T h b: In: Angeführt nach Freund. — F i t t e r W o l f m n n u. A d o n: Acrocyrcogryphodromia. *Arch. Neurol.* 83, 253 (1935). — F i o d h P: Wirbelfrakturen bei Elektroschock. *Sord. psychiatr. Med. Hb.* 8, 169 (1949). — F i h A: Über einen besonderen Fall von Verkalkung einer Zwischenwirbelscheibe. *Ref. Zbl. Radiol.* 17, 833 (1934). — F i g g i W: A case of congenital short neck showing the Klippel-Feil syndrome. *Ref. Zschr. ges. Chir.* 75, 293 (1934). — F i l m B: Über eine seltene Genese der Spondylolisthese. *Med. Woch.* 1947, 366; Wirbelfrakturen bei Tetanuskrankung. *Zbl. Chir.* 1942, 411. — F r e i E: Sen. Operative Behandlung der schmerzhaften Spondylarthrose mit Knochenplastik. *Zschr. Unfallmed.* III, 1930. — F o t o n P: Mehrfache Brüche der Querfortsätze der Lendenwirbelsäule. *Ref. Zschr. ges. Chir.* 61, 360 (1933). — F e n k l F: Über chronisch ankylosierende Wirbelsäulenversteifung. *Fortschr. Röntgenstr.* 7, 62 (1904) und 11, 171 (1907). — F a n k l K: Über Frakturen der Lendenwirbelsäule unter der Fehldiagnose „Nierenquetschung“. *Ref. Zbl. Chir.* 1929, 3065; Zur Frage der isolierten Frakturen der Lendenwirbelsäule. *Arch. klin. Chir.* 189, 213 (1932). — F a n c s c h H: U. Das Intervertebrale artikuläre System der Wirbelsäule und seine Funktionen. *Ref. Zbl. Radiol.* 14, 528 (1934). — F a n n A: Spondylolisthese und Unfall. *Schweiz. Med. Woch.* 1930, 1236; Spondylolisthese und Spondylolisthese bei Jugendlichen. *Med. Woch.* 1933, 431. — F a n g a h m P: Die Frühstadien der Osteitis (Osteodystrophia) fibrosa. *Dtsch. Zschr. Chir.* 200, 464 (1937); Hämangiome bei Wirbelfrakturen. *Zbl. Chir.* 1934, 2261; Syphilis der Knochen. *Jadassons Hdb. H. u. u. Geschlechtskrankh.* 1, 3, 169, Berlin (1924). — F a n k l Ch: Aspiration biopsy of the spine. *J. Bone Surg.* 35-A, 69 (1934). — F a n H: Hirnabszessen. *Frankf. Zschr. Path.* 33, 7 (1930). — F a n J: Halbwirbelsäulen (Säulen). *Arch. Labor. Prax.* 6, 174 (1933). — F a n J: Trauma und Wirbelsäulen-tuberkulose. *Med. Woch.* 1941, 809; Die Hange Spondylitis und ihre Folgeerscheinungen. *Chirurg.* 1948, 199. — F a n E: The behavior of the intervertebral disc in certain spine lesions. *Radiology* 22, 19 (1934). — F a n B: Kyphosis adolescentium. *J. Bone*

- congénitale Rev orthop. 3^e 306-309 (1933); Reflexion sur la technique et les résultats de 4 ostéotomies vertébrales. Rev de Chl 73, 33 (1934) — H. b. t. M. Reizler der Diskusdornen. Mem. Acad. chir 73, 90 (1947) — H. v. l. n. i. Angeführt nach Bradford. — H. l. n. K. Über Fehldiagnosen bei Spondylitis unter Berücksichtigung typischen Fettes der Diskusartbildung und der Spondylitis lateralis. Fortsch. Röntgenstr 31 3 1 (1933). — H. l. n. u. h. o. b. Ergebnisse konservativer Behandlung der Spondylitis lateralis. Bruns. Beibl. klin. Chir 102, 83 (1935) — H. o. g. W. Zur Morphologie und Pathologie des Ligamentum flavum. Frankf. Zeitsch. Path 1919 30 — H. o. b. W. Vertebra plana. Cah. 1. Syndrom. Schweiz. med. Woch. 1917 137 — H. F. Erg. Chir 10 (1918) — H. t. l. W. Adoleszentenkyphose. Diss. Königsberg 1933; Untersuchungen über Kyphosen Adoleszenten. Bruns. Beibl. klin. Chir 100 13 (1934) — H. u. b. l. n. W. Spondylous deformities post-traumatica im Röntgenbild. Arch. klin. Chir 206, 96 (1934) — H. u. P. Die physiologische und akute Verbiegung der Wirbelsäule. Zeitsch. orthop. Chir 32, 312. — H. u. r. G. The so-called hour-glass tumors of the spine. Arch. Surg 14, 933 (1929) — H. u. r. J. Interessanter Entstehungsmechanismus eines Wirbelbruchs und Bemerkungen über die Behandlung schwerer Wirbelbrüche der Wirbelsäule. Röntgenpraxis 8, 291 (1934); Das Wirbelrohr. Aufbau, Funktion und Bruchform. Arch. orthop. Unfallchir 25, 330 (1933). — H. u. s. e. E. Elterndorn der Wirbelsäule. Zbl. Chir 1931 1274-1279 — H. u. b. r. n. d. H. Zur Leukämie der kindlichen Wirbelsäule. Fortsch. Röntgenstr 72, 710 (1930). — H. u. b. n. d. A. Über Osteochondrome im Bereich der Wirbelsäule. Fortsch. Röntgenstr 4 551 (1933); Bedeutung der Osteochondrome der Wirbelsäule in der Gynäkologie. Geburtsh. u. Frauenheilk. 10 740 (1930) Krebserkrankungen infolge Osteochondroms der Wirbelsäule; Zeitsch. Arztl. Fortbild. 41 177 (1930). — H. u. A. Die Fontanellen lambdocraniale und ihre Verhältnisse zur Spina bifida occulta. Arch. klin. Chir 119 409 (1922). — H. u. R. Über einen Fall von ventraler Wirbelspalst. Röntgenpraxis 13, 113 (1943). — H. u. r. h. Ch. Studies on the mechanism of low back pain. Act. orthop. Scand. 90 461-474 (1931) — H. u. b. C. u. Schajowicz F. Studies on structural changes in the lumbar annulus fibrosus. Acta orthop. Scand. 22, 184 (1933). — H. u. b. C. u. N. h. m. s. A. New observations on the mechanical behavior of lumbar discs. Acta orthop. Scand. 22, 234 (1934). — H. u. b. M. Spondylolisthese. Zbl. Chir 1930 1732. — H. u. b. R. Zur Frage der Sakralisation. Fortsch. Röntgenstr 44, 13 (1931). — H. u. b. h. e. l. d. Angeführt nach Jacobs. — H. o. f. f. k. n. Der röntgenologische Nachweis von Spaltbildungen in Zwischenwirbeln. Zbl. Chir 1931 718. — H. o. b. n. e. Ch. Spondylitis ankylopoetica. Berthier. Arch. orthop. Chir 33, 777 (1933). — H. o. n. k. E. Bemerkungen zu dem Aufsatz von H. Obermuth in Zbl. Gynäk. 1930 Zbl. Gynäk. 1931 903. — H. o. r. n. n. J. Ein Fall von akuter Osteomyelitis des Atlas. Zbl. Chir 1931 1379 — H. o. s. e. l. y. Angeführt nach Jaki. — H. o. f. f. m. a. n. V. Verlauf der wichtigsten Knochen- und Gelenkerkrankungen im Röntgenbild. Berlin 1931 — H. o. f. f. m. a. n. W. Häufung von Dornfortsatzabszessen bei Schmetterleiden. Zbl. Gewerbehyg. IV F 12, 179 (1933) — H. o. f. f. m. i. s. t. W. Epithelkörperchentumore bei Ostitis fibrosa. Zbl. Chir 1931 3326; Epithelkörperchenentfernung bei Spondylarthritis ankylopoetica. Monat. med. Woch. 1933 I, 491 — H. o. f. f. m. a. n. Operative Behandlung der Duktusstenose. Zbl. Chir 1914 849. — H. o. f. m. n. a. A. Zur chirurgischen Behandlung des Nucleus-pulposus-Prolapsus. Zbl. Chir 1911 33; Die Bedeutung der Röntgendiagnostik für die operative Behandlung des Bandscheibenprolapsus. Fortsch. Röntgenstr 73, 442 (1930). — H. o. h. m. a. n. G. Über das Urreiben an Kreuzschmerzen. Münch. med. Woch. 1931 120; Rückgratverkrümmungen. N. dtsh. Klin. 9 478 (1932); Statistisch-mechanische Veränderungen als Ursache lumbalischer Erkrankungen. Zur Diagnose und Therapie. Zbl. inn. Med. 1933, 113; Über Verbiegung von Wirbeln. Spondylous Spondylolisthesis, Wirbelverschiebung nach hinten. Dreiecken bei Lendenkolleose. Zeitsch. Arztl. Fortbild. 1934, 816; Die Sakralisation des 5. Lendenwirbels. Zeitsch. Arztl. Fortbild. 1934, 669; Zur Differentialdiagnose der Spondylitis lateralis. Med. Klin. 23, 1117 (1937) — H. o. l. d. e. r. H. Münch. med. Woch. 1929 46, 1944; Kasuistisches aus der Röntgenphotographie der Wirbelsäule. Zbl. Chir 1930 53; Über Begutachtung von Wirbelbrüchen. Röntgenpraxis 1930 863; Einige seltene Wirbelkrankungen mit besonderer Berücksichtigung der Röntgendiagnostik. Zbl. Chir 1930 3181 — H. o. l. d. u. r. n. A. Allgemeine Knochen- und Gelenkleiden. (Mit Ausnahme der Arthritis deformans, Tuberkulose, Osteomyelitis sowie der Geschwülste.) Handh. Arztl. Begutacht. 1 450 (1931). — H. o. l. t. b. R. Typische Anomalien an dem 5. Hals- und 4. Lendenwirbel. Fortsch. Röntgenstr 42, Kongr. 60 (1930) — H. o. l. m. H. Über Wirbelstummen. Dtsch. Zeitsch. Chir 204, 46 (1928). — H. o. l. m. a. n. H. l. m. Fall von Spondylous deformans in der Halswirbelsäule mit Einbiegung der Ösophagus- und Trachealwand. Ref. Zbl. Radiol. 21 267 (1933). — H. o. l. t. O. Hemangioma of the cervical vertebra with fracture and compression myelomelic. Acta radiol. (Stockh.) 23 423 (1942). — H. o. l. m. n. E. n. F. l. von Quersum im Körper des Epistropheus. Arch. Ohr Nas. Kehlk. 130, 48 (1931). — H. o. p. f. M. Mikeman Syndrom. Radiol. chir 9 74 (1940). — H. o. t. l. n. P. Kasuistischer Beitrag zur Verkalzung des Nucleus pulposus der Lumbosacralwirbelsäule. Fortsch. Röntgenstr 23, 713 (1937). — H. o. n. a. Beitrag zur Diagnose der Spondylitis sacra. Röntgenpraxis 4 31 (1932). — H. o. f. d. J. Kummell disease. Lancet 1926 I, 249 — H. u. b. Röntgenologische study of sacrococcygeal chordoma. Radiology 29 101 (1936) — H. u. b. E. Spondylolisthesis als Unfallfolge. Woch. Unfallchir 301 (1931) — H. u. d. o. O. Fractures and dislocations of the cervical spine. J. Bone & Jt 1 224 (1933). — H. u. k. H. Über Anomalien der Lendenwirbelsäule insbesondere die verschobenen Formen der Lendenkurve. Arch. klin. Chir 102, 84 (1930); Ein Fall von asymmetrischer Spondylitis der Lendenwirbelsäule. Arch. orthop. Chir 29 1 4 (1930); Über eine seltene Lendenwirbelsäulenveränderung. Zbl. Chir 1930, 2nd. — H. u. l. r. G. Die Pathogenese und neurologische Bedeutung des Halsrippensyndroms. Diss. Münch. 1930 — H. u. t. C. Die Fernwirkung im Röntgenbild des menschlichen Thorax. Leipzig 1945; — H. u. l. L. Retroperitoneal Desferriation in Low back pain and Resection. Act. orthop. Scand. XX 34 — 348 (1951); Die Munkfors Enostation. Acta orthop. Scand. Suppl. 18 (1944) Cervical, Dorsal and Lumbar Spinal Syndromes. Acta orthop. Scand. 17 (1951). — H. u. l. e. n. Ein Fall von Effenbergwirbel bei Lymphogranulomatose. Act. radiol. (Stockh.) 4 — 4 — Humph. y. Angeführt nach Fick. — H. u. t. D. H. Parathyroidism. Generalized osteitis fibrosa with multiple osteo-

Arch. klin. Chir. 160 321 (1937); Mitbeteiligung der Wirbelkörper bei Erkrankungen der Zwischenwirbelscheiben; Arch. klin. Chir. 172, 5 (1932); Die anatomischen Besonderheiten des 5. Lendenwirbel und der letzten Lendenhalswirbel; Arch. orthop. Chir. 23, 260 (1933); Die neuesten und praktisch wichtigsten Ergebnisse der Wirbelstrahlenforschung. Zb. inn. Med. 1933, 49; Der anatomische Bau und die krankhaften Veränderungen der Wirbelkörper (epiphyseal) während des Wachstumsalters. La Cure mariale 1933, 18; Dorsale Halswirbel als Ursache für angeborene Kyphosen. Röntgenpraxis 1933 561; Die Verletzungen der Wirbelsäule. Chir. 6 18 (1934); Erkrankungen der Wirbelsäule. Chirurg 6, 55 (1934); Lendenkreuzbelenne und Becken. Chirurg 6, 123 (1934); Die Zwischenwirbelscheiben. Chirurg 6, 13 (1934); Die entwicklungsgeschichtlichen Grundlagen der angeborenen Kyphosen. Ref. Zbl. Chir. 1935, 2907; Verletzungen der Wirbelsäule. Med. Welt 1934 I 500; Offene Fragen aus dem Gebiet der Wirbelstrahlenforschung und der Wirbelstrahlenförmigkeiten. Zentr. Anat. 106, 623 (1936); Zusammenkommen von angeborenen Spaltbildungen im Kreuzbein und im Dornfortsatz des gleichen Wirbels. Arch. orthop. Chir. 37 123 (1936); Die Förmigkeiten der Wirbelkörper. Arch. orthop. Chir. 38, 1 (1937); Eine seltene Hefepalierkrankung der Haut mit Epithelwucherungen (Mastomykose. Ochratische Krankheit). Virehos. Arch. path. Anat. 299 767 (1937); La signification linica de los discos intervertebrales y sus alteraciones. Rev. med. 1937 17; Klinische Bedeutung der Nebenknorpelkerne an Dornfortsätzen der Lendenwirbelsäule. Röntgenpraxis 10 571 (1939); Die Pathologie der Wirbelsäule. Handb. d. spez. pathol. Anatomie u. Histologie 17, 4. Berlin 1939; Die Frühförmigkeiten der Wirbelkörper (Bemerkungen zu Schmitz und Tondury in Fortsch. Röntgenpraxis 66, 133 (1942); Fortsch. Röntgenpraxis 64, 70 (1943); Bandscheibenprolaps. Zbl. Chir. 1914, 633; Die funktionelle Pathologie der Zwischenwirbelscheiben als Grundlage für klinische Betrachtungen (Kongress-Referat). Arch. klin. Chir. 46 393 (1931); Aussage über Bandscheibenprolaps. Arch. klin. Chir. 46 118 (1931); Die Verletzungen der Zwischenwirbelscheiben und ihre Folgen. Mehr Unfallh. 44, 97 (1931); Spinal lathrosis deformans als Kriegsdienstbeschädigung? Med. Welt 1941 291; Hexenschuß im Rücken (Lumbago) und Ausstrahlweizen in Arm und Bein (Brachialgie. Tschalgie). Aestrl. Forsch. 1931 393; Pathologisch-anatomische Grundlagen für die Röntgenstrahlendiagnostik der Wirbelsäulenleiden. Therap. woch. 1932, 272; Die funktionelle Röntgenstrahlendiagnostik der Halswirbelsäule. Fortsch. Röntgenpraxis 78, 591 (1932); Operative Behandlung der Ausstrahlweizen erzeugenden Ursachen an den rückenartigen Wirbelkörperkanten. Zbl. Chir. 1932, 1283; Bandscheibenprolaps und Trauma. Aestrl. Prax. 1932, N 31; Gibt es eine posttraumatische Osteoporose (Knochen Dystrophie) an der Wirbelsäule? H. st. z. Unfallheilk. 44, 91 (1933); Il Segmento Mobile Della Colonna Vertebrale. Ed. II. Acc. Riforma Pratica. Archivio. (Patti) V 103 (1934); Rebenmannsche Krankheit. Dtsch. Med. Woch. 1934 48; Rheumaprobleme an der Wirbelsäule. Monatsh. Aestrl. Fortbild. N 1934; Die anatomischen Grundlagen für die Erkennung der Chondroid und Osteochondroid Intervertebrale im Röntgenbild. Acta Radiol. Suppl. 116, 26 (1934); Wirbelsäulenleiden und Benennung von Kraftförmigkeiten. Zbl. Verkehrs-Med. 1935, 106; Ergebnisse der Wirbelstrahlenforschung in ihrer Auswirkung. (Röntgenologie und praktische Medizin. Medizinische 1935, 513; Zervikale Migräne. Aestrl. Prax. N 22 1935; Wirbelsäule im Handbuch der Gesamten Unfallheilkunde 2. Aufl. 1935, Band 1. Ferdinand Lohs Verlag Stuttgart; Röntgenkunde und Klinik. orthopädischer Krankheitslehre. 4. (1935); Behandlung und Prognose eines Osteochondroms des 4. LWK. Medizinische 1936, 1218; Modern und Wirbelsäule. Medizinische 1936, 1018. — J. u. G. Vertikalknack der Halswirbelsäule. Zbl. Chir. 1936, 1334. — Jvanov u. Rot. mel. Knochenleiden und Varietäten der Gelenkfortsätze der Lendenwirbel. Ref. Zerg. prax. Chir. 40 103 (1936).

K. O. Schulter und Armaerschmerzen, deren Ursachen und Behandlung. Med. Klin. 1936, 1549. — Kallin. L. Osteomyelitis et brotus pneumococcalis. Ref. Zbl. Radiol. 13, 75 (1937). — K. H. II. Die Mittel der Halswirbelsäule insbesondere die sog. Klippel-Feil'sche Anomalie. Arch. orthop. Chir. 29 440 (1930); Zur Klassifizierung von Wirbelsäulenabnormalitäten. Arch. orthop. Chir. 31 287 (1932). — Kameth II. u. R. nh. d. K. Der ungleiche Asymmetriezustand. Ein wichtiges Symptom der Entwicklungsstörung. Fortsch. Röntgenpraxis 43, 330 (1935). — K. m. k. h. Zur Behandlung der posttraumatischen Kyphosen. Zbl. Chir. 1931 433. — Kan. Ch. u. L. M. The diagnosis and management of herniated disks. Med. Clin. N. Amer. 29 1463 (1935). — K. m. t. W. Über schwere meist einseitige Verletzungen der Wirbelsäule. Bruns. Mitt. klin. Chir. 100, 444 (1934). — K. p. m. r. Angeföhrt nach Mehlhaff. — K. It. ky. II. Grundriss der Wirbelsäulenbehandlung. Arch. klin. Chir. 190, 649 (1937). — K. ow. t. Angeföhrt nach Schaffer. — K. t. J. Zur Pathogenese der Spindylitis tuberculosa. Klin. Woch. 106, 435—440 (1933); Knochentuberkulose operativ tuberkulose Heilbehandlung der Spindylitis tuberculosa. Langenbeck. Arch. klin. Chir. 49 303—313 (1931); Die operative tuberkulotische Heilbehandlung der Tuberkulose. Spindylitis nach Kauter. Münch. med. Woch. 1932, 1277—1291; Moderne Behandlung der Knochen und Gelenktuberkulosen. Med. 1932, N 15; Neue Spindylitis-Therapie im Knochentuberkulose. Aestrl. Prax. 40 63 (1937). Die Knochen tuberkulose über Erkennung und Behandlung. Monatsh. Aestrl. Fortbild. 1936, 444. — K. t. K. Über Röntgenbefunde am Kreuzbeinbein. Bruns. Mitt. klin. Chir. 163, 19 (1936). — K. R. Spindylitis tuberculosa der Halswirbelsäule. Arch. orthop. Unfall Chir. 46, 204 (1934). — K. ufm. m. F. Leukioch der spindylitis tuberculosa. Anatomie. Berlin. Leipzig 1935. — K. y. P. Chiropraktik. Med. Klin. 1931 1106. — K. m. k. II. Spina lathrosis anterior mit Myelom. Knochentub. Prax. 19 215—220 (1931). — K. J. Neurosurgical interpretation of Dermatomyositis with Herniation of the Lumbar Intervertebral Disk. J. Bone Joint 21 224 (1944); Herniation der Nervenwurzeln zu Anomalien des lumbalen und zervikalen T. der Wirbelsäule. Arch. Surg. 68, 46 (1917); Dermatomyositis mit Herniation of the Lumbar Intervertebral Disk. J. Bone Joint 21 224 (1944); Diagnosis of herniation of lumbar intervertebral disks by neurologic means. J. Amer. Med. Ass. 128 884 (1944); Relations of bony root to abnormalities of lumbar and cervical portions of the spine. Arch. Surg. 68, 46 (1917). — K. h. II. Die Myelographie mit Röntgenstrahlung. Therap. woch. 1932, 272.

- stellung des Bandscheibenvorfalles. Dtsch. med. Wschr. 1919 700. — Kähler H. u. K. I. bek. J.: Vergleichende Betrachtung der Erfolge bei konservativer und operativer Behandlung der Ischias. V. med. Wch. 1920, 1010–1012. — Kolbel F. u. Mall F.: Handbuch der Entwicklungsgeschichte des Menschen. Leipzig 1910. Bd. 1. — Koll E.: Spondylolisthesis des 1. Kreuzbelenwirbels. Chirurg 9, 216 (1937). — Koll G.: Kapselzerreißung an Wirbelgelenken und ihre Bedeutung. Frankfurter Zschr. Pathol. 64, 531 (1933); Die Bedeutung der Veränderungen an den kleinen Wirbelgelenken als Ursache des lokalen Rückenschmerzes. 1. Auswertung. Z. Orthop. 83, 219 (1933); 2. Auswertung der histologischen Befunde. Z. Orthop. 83, 517 (1933). — Koll P.: Zur tomographischen Röntgendiagnostik der Spondylitis. Chirurg 1941 18; Illustro lumbale Wirbelbandscheibenschädigung als Folge des Wehrdienstes oder der Kriegesfangenschaft. Med. Wschr. 1941, 756. — Koll y. J. mit Vo. I. D., sowie Ayl. u. H. und Othm. y. R.: Multiple operations for protruded lumbar intervertebral disk. Proc. Staff Meet. Mayo Clin. 29, 846 (1934). — Kraml. r. H.: Vorderer Bandscheibenvorfall der Halswirbelsäule. a) traumatischer Grundzüge. Mschr. Unfallh. 43, 194 (1938). — Krenn: Angeführt nach Puhl. — Krenn B.: Dysphagia caused by exostoses of the cervical spine. Gastroenterology 16, 592–593 (1930). — K. y. I.: Intervertebral disk lesions in children and adolescents. J. Bone Surg. 22 A, 97 (1930). — K. ye and Comp.: The normal and pathological physiology of the nucleus pulposus of the intervertebral disk. J. Bone Surg. 14, 897 (1932). 2. — K. y. k. u. Meisel: Über hypertrophische Osteodermose. Zschr. orthop. Chir. 43, 80 (1931). — Klenböck u. S. ghy: Ein Fall von Ostitis deformans Paget. Röntgenpraxis 1932, 694. — Klenböck R.: Über Kreuzschmerzen bei versteckter Skoliose. Arch. orthop. Unfallchir. 24, 809 (1930); Die Krankheiten der Wirbelsäule im Röntgenbild. Wien. klin. Wschr. 1931 232; Degeneriert Wirbelsäulenerkrankungen. Berlin 1935 (Urban & Schwarzenberg). — Kill. n.: Angeführt nach Neugebauer. — Killing P. u. Mohring W.: Wie reagieren beim Cervicalsyndrom Herz und Kreislauf auf die Extension der Halswirbelsäule? Med. Klin. 1934, 171. — Kimm. I.: Über einen Fall von Spondylitis sphyliatica. Fortschr. Röntgenstr. 37, 67 (1932). — Angeführt nach W. Müller. — Kins. I. H.: Ostitis fibrosa der Wirbelsäule. Arch. klin. Chir. 10, 106 (1932). — Kir. hh. ff. H.: Das lange Becken. Thieme-Stuttgart 1919. — K. ll. k. R.: Frakturen der Lendenquerfortsätze. Ann. chir. gynaeec. Fern. 34, 76 (1940). — K. j. ll. nd. P.: Exempla puerperum et fractura columnae. Ref. Zschr. Chir. 11, 84 (1940). — K. la.: Ansprache über Wirbelsäule. Verh. Dtsch. Röntgen Ges. 23, 50 (1931); Spondylolisthese und Spandylolisthese. Verh. Dtsch. Röntgen Ges. 1931 310. — Klar. M.: Blockwirbelbildung“ als Folgeerscheinung der Chondritis intervertebralis infectiosa. Röntgenpraxis 3, 206 (1933). — K. l. b. Angeführt nach Feller u. Sternberg. — Klein. H.: Acute Osteomyelitis of the vertebrae. Arch. Surg. 26, 169 (1933). — K. l. m. b. g. 8.: Unilateral subluxation of the lumbosacral joint. J. Bone Surg. 14, 344 (1932); Spandylolisthese of the vertebrae. J. Bone Surg. 16, 441 (1934). — K. l. in. O.: Die Bedeutung des Kreuzbelenwirbelscheibenvorfalles (Diskushernia) für die Frauenheilkunde. Zbl. Gynäk. 23, 881 (1933); Knechtelton douloureuse oder Diskushernia? Zbl. Gynäk. 1943, 1094. — K. l. in. r. G.: System im Kreuzbein. (Spina bifida sacralis incompleta anterior et posterior.) Beitr. path. Anat. 68, 407 (1931). — K. l. n. b. u. E.: Ein Fall von Spandylolisthese. Fortschr. Röntgenstr. 27, 333 (1929). — K. l. g. Angeführt nach M. Lange. — Killing P.: Die rheumatischen Erkrankungen der Knochen und Gelenke und der Rheumatismus. Hdb. pathol. Anat. 9, 3 (1934) (Berlin, J. Springer). — K. lo. K.: Zur funktionellen mykographischen Darstellung. Bruns. Beih. klin. Chir. 140, 1, 91 (1933); Akute Querschnittssyndrome bei Tumoren der Wirbelsäule. Münch. med. Wschr. 1933, 721. — K. l. Angeführt nach Lyon. — Klot. M.: Fluorabbildung bei Spondylitis. Arch. Kinderh. 1933 117. — K. n. pp.: Hemivertebra lumbalis. Ned. tsehr. geneesk. 1933, 1833. — Knutson P.: Epidurale Kontrastfüllung des Lumbosakralkanals bei Diskusprolaps (Parsabrad). Acta radiol. 22, 664 (1941); The m. b. lity associated with disk degeneration in the lumbar spine. Acta radiol. 23, 593 (1944). — Koch. C.: Zur Frühdiagnose der Spandylarthritis ankylopoetica. Fortschr. Röntgenstr. 33, 418 (1930). — K. h. W.: Über die räumlich räumliche Konstruktions der Skopren. Jena 1931 angeführt nach Wagemell. — Koch. Angeführt nach Jäkl. — K. o. h. Th.: Die Verletzungen der Wirbelsäule zugleich 1. Beitrag zur Physiologie des menschlichen Rückenmarkes. Mitt. Grenzgeb. Med. u. Chir. 1, 415 (1906). — K. oh. J.: Über akute Rückgratserkrankungen. Arch. orthop. Chir. 24, 93 (1937); Beitrag zur Chondrodystrophie und Chondromatose. Zbl. Chir. 1931 858. — Köb. k. H.: Der harte lumbale Bandscheibenvorfall. Dtsch. med. Wschr. 1917 356. — Kohl. A.: Grenzen des Normales und Anfangs des Pathologischen im Röntgenbild. Leipzig 1934, 8. — K. ll. k. Angeführt nach Schäfer. — K. ll. k. A.: Entwicklungsgeschichte des Menschen. Leipzig 1879. — Koepch. a. A.: Über das gehäufte Auftreten der sog. Schütterkrankheit bei Erdarbeitern. Dtsch. med. Wschr. 1933 II, 1271. — Koepch. h. u. Bau.: Die Schütterkrankheit in medizinischen und arbeitstechnischen Untersuchungen nebst Vorschlägen zur Verhütung. Leipzig 1937. — Köve. 8.: Primäres Fving Sarkom der Wirbelsäule. Schweiz. med. Wschr. 1914, 348. — K. sm. aa. 8.: Beitrag zur frühen Diagnostik der Spandylitis tuberculosa. Arch. orthop. Unfallchir. 20, 308 (1931); Spandylitis tuberculosa, der Verlauf und der Therapieausgang auf Grund eigener und anderer Daten. Arch. Unfallchir. 34, 333 (1937). — Köhl. an. G.: Über Kalkknöcherungen in den 2. rezenten Wirbelsäulen und ihre klinische Bedeutung. Münch. med. Wschr. 1938, 2111; A. Ansprache über Wirbelsäule. Verh. Dtsch. Röntgen Ges. 23, 48 (1931). — Koll. n. Angeführt nach W. Müller. — K. im. Angeführt nach Feller u. Sternberg. — K. nd. F. mit y. m. d. K. u. Ito T. P.: Thymoma and treatment of radicular arthralgia. Arch. J. p. Chir. XXIII, 293 (1934). — K. p. t. J.: Ein schwerer Fall von Spandylolisthese. Arch. orthop. Unfallchir. 21, 808 (1934); Zschr. orthop. Chir. 71, 161 (1933). — K. pyl. w. u. Run. w. Angeführt nach W. Müller. — K. rff. H.: Darmtumor in einer Wirbelsäule als Ursache einer unvollständigen neuromatischen Verbindung. Verh. Arch. path. Anat. 290, 190 (1937). — Kort. b. n. A.: Rheumatisches Knochensarkom unter dem Bild des eines Ruckentumors im Bereich des Halsmarkes. Zbl. Chir. 1930 418. — K. n. Wirbelsäule. Spaltenmaße. J. Lendenwirbel (Kreuzbelenwirbel). Röntgenpraxis 1933, 340. — K. o. 4. A.: Die mikrodiagnostische Spaltenmaße. Röntgenpraxis 743 (1933). The lumbo-sacral roentgenogram as a control of the result of operation

- after humero-cervical protrusion. Acta med. 42*—430 (1931); S. luxation and deformation of the cervical popliteal joint. Act. radiol. (Stockh.) 43, 1 (1933); Kephalaria Subluxations artic. cervicales. Fortsch. Röntgenstr. 14 (1934). — K. lb. K. Die Myokompression bei Spondylitis deformans. Ref. Zbl. Chir. 1929 1979 — Krat. H. H. K. Behandlung der zervikalen Osteochondrose. Zbl. Chir. 1934, 303. — Krauß P. (Reibelsfraktur oder Luxation?) Zbl. Chir. 1932, 173. — Kr. h. 1896 M. Spondylarthritis ankylopoetica und Iritis. Klin. Monatsbl. Augenheilk. 19* 722 (1936). — Kräyenbühl H. Diagnose und chirurgische Therapie der lumbalen Diskushernien. H. et. chir. acta 17 734 (1930). — K. s. n. b. h. Klinger: Diagnose und Differentialdiagnose der lumbalen Diskushernien. Verh. Dtsch. Ges. Inn. Med. 53, Kongr. Wiesbaden 1919. — K. y. n. b. h. W. be. Ergebnisse und Kritisches der operativen Behandlung der lumbalen Diskushernien. Ärtzt. Monatsbl. (Köln). 1919, 90. — K. y. n. b. h. W. and. J. Über lumbale und zervikale Diskushernien. Documenta rheumatologica Geiger I. — Kreyb. W. Zur Frage der sog. rheumatischen Erkrankungen der Wirbelsäule. Dtsch. med. Wochr. 1930 1. 6 u. 7; Klinik der sog. rheumatischen Wirbelsäulenerkrankungen. Rheumaprobleme 2, 103 (1931); Die Bechterewsche Krankheit und ihre Behandlung. Med. Welt 1930, 81. — K. m. r. W. u. Wie. O. Die Tumor des Knochens und Gelenks. Berlin 1930. — K. u. Angeführt nach W. Müller; Die Arthritis der Zwischenwirbelsäule. Ihre röntgenologische Darstellung und klinische Bewertung. Zbl. Chir. 1930, 1003. — K. u. Differentialdiagnose und orthopädische Therapie des Rücken- und Kreuzschmerzes. Praxiswache 1932, 102. — K. z. H. Über Osteomalazie der Wirbelsäule. Zeitschr. orthop. Chir. 51 463 (1920). — K. leg. r. L. sa. Spondylitis bei Bangreben Abortseher. Ref. Zerg. Chir. 51 229 (1930). — K. r. g. k. H. Herpes Zoster nach Nucleus pulposus-Verkalkung im gleichen Segmentbereich. Zeitschr. H. u. Geschl. 1931 II 3. — K. r. i. f. o. f. o. d. m. H. p. t. u. r. e. v. e. r. t. e. b. r. a. l. d. i. s. i. n. t. h. e. c. e. r. v. i. c. a. l. r. e. g. i. o. n. (20 cases). Arch. Surg. 51 45* (1917). — K. r. ö. k. r. P. S. h. i. t. a. r. e. H. b. l. a. k. u. n. g. e. n. i. n. d. e. n. H. a. n. d. s. c. h. e. i.ß. e. n. d. e. r. W. i. r. b. e. l. s.ä. u. l. e. Fortsch. Röntgenstr. 5, 1 (1919). — K. o. g. d. h. u. T. g. n. Die „Unco-vertebrale Gelenke“ und die „Arthritis deformans unco-vertebralis“. Act. radiol. I 231 (1910). — K. H. F. Konvertive Therapie bei Bandscheibenprolaps und Ischias. Ther. Grenz. 1931 290. — K. o. l. l. u. R. S. Der thorakale Bandscheibenprolaps. Dtsch. med. Wochr. 1931 800. — K. r. o. l. l. u. R. e. i. s. s. Zum Ischias-Bandscheibenprolaps Problem. Klin. Wochr. 1930, 239. — K. r. o. n. e. n. b. e. r. g. F. Calcineum Intervertebrale. Röntgenpraxis 1929 295. — K. r. o. n. Über Spondylarthritis ankylopoetica. Dtsch. med. Wochr. 1932 I, 732. — K. r. a. b. e. r. g. Zur Ätiologie und Therapie der paralytischen Skolose. Zbl. Chir. 1931 863. — K. u. k. k. W. Lumbospondylomalazie der Wirbelsäule. Röntgenpraxis 1931 190. — K. u. k. o. L. u. R. i. t. t. k. H. Über eine eigenartige tödliche Komplikation einer degenerativen Bandscheibenerkrankung. Wien. Z. Verren. heilk. 3 473 (1932). — K. u. h. n. K. Die Vererbung der Variationen der menschlichen Wirbelsäule. Zeitschr. Morph. Anthropol. 80, 1 (1933). — K. u. m. H. u. K. t. Krankheits röntgenologische Zufälligkeiten. Ann. d. d. W. i. r. b. e. l. s.ä. u. l. e. b. i. N. e. r. e. u. e. r. e. b. e. r. e. i. c. h. e. n. a. u. f. n. a. h. m. i. n. g. i. n. g. m. i. t. d. e. r. R. e. g. e. n. e. r. a. t. i. o. n. n. a. c. h. U. n. f.ä. l. l. e. n. Zbl. Chir. 1931 1133. — K. u. m. H. u. K. t. H. Der heutige Standpunkt der posttraumatischen Wirbelsäulenerkrankung („Kummellebende Krankheit“) Arch. orthop. Chir. 9, 471 (1929); Die posttraumatische Wirbelsäulenerkrankung sog. kummellebende Krankheit. Ref. Zbl. Chir. 1929, 2408. — K. u. n. I. W. Zur Unfallüberwachung des lumbalen Nucleus pulposus-Prolaps. Dtsch. Ges. Wes. 1933, 216. — K. u. t. t. n. Angehörige Ausbildung der Brust- und Lendenwirbelsäule. Zbl. Chir. 1929 401; Spondylolisthesis lumbosacralis. Zbl. Chir. 1929 404; Angeführt nach H. o. — K. u. f. f. a. t. h. W. Ein Beitrag zu den Anomalien des Halswirbels beim angeborenen Reifeblut. Chirurg. 743 (1933). — K. u. b. l. n. d. a. h. H. Nucleus-pulposus-Hernie und Ischias. Ärtzt. Wochr. 1917 916; Zur Diagnostik des Nucleus pulposus-Prolaps. Dtsch. med. Wochr. 11 (1918); Nucleus pulposus-Prolaps. Zbl. Chir. 1919, 610; Über die Beziehungen zwischen anatomischer und funktioneller Läsion der lumbalen Kreuzwirbelsäule. ad den klinischen Erscheinungsbildern der Kreuzschmerzen und Ischialgien. Ärtzt. Wochr. 1934 42; Die operative Behandlung der Wurzelkompressionsneurose. Arch. klin. Chir. 97 303 (1931); Beitrag zu dem Grundlagen der Pathogenese und Therapie des Kreuzschmerzes. Ther. W. H. 18/19 1931/32; Monoradikuläre Kompression und osteogene Konstriktion cervikaler Nervenwurzeln. Langenb. Arch. u. Dtsch. Z. Chir. 770, 146 (1933); Mechanische Genese von Neuralgien. Die cervikalen Vertebrae. Thoma Verlag Stuttgart 1935; Rheumatische oder degenerativ. Zwischenwirbelscheibenschädigung? Zur Diskussion am die Ischias. Med. Wochr. 1930 94; Grundlagen und Indikationen zur operativen Behandlung in der Wirbelsäulenchirurgie. Wirbelsäule. Forsch. u. Pract. 1 90 (1934). — K. u. h. l. a. d. h. H. u. N. i. c. h. t. H. Morphologie und funktionelle Pathologie der Lendenwirbelsäule (unter Berücksichtigung klinischer Beobachtungen). Langenb. Arch. u. Dtsch. Z. Chir. 770, 519 (1935). — K. u. h. l. a. d. h. H. u. N. i. c. h. t. V. Der mediane Massenprolaps der Lendenbasswirbelsäule mit Handkompression. Dtsch. Med. Wochr. 1933, 22. — K. u. h. l. a. d. h. H. u. N. i. c. h. t. V. Röntgenologisch klinische Studien zur Pathologie der Halswirbelsäule. Die Medizinische 1931 419. — K. u. h. l. a. d. h. H. u. N. i. c. h. t. V. Die chronische Rückenmarkschädigung spinale Ursprungs. Langenb. Arch. u. Dtsch. Z. Chir. 770, 94 (1936). — K. u. h. l. n. k. m. p. f. f. Über die Behandlung der Verrenkungen des Atlas. Fortsch. Therap. 11 13 (1931). — K. u. h. n. a. n. F. Die Extremstehung der Osteochondritis cervicallis. Med. Klin. 1931 103. Die intervertebrale Nidation einer Fingergelenksaffektion. Med. Klin. 1931 397; Erkrankungen der Halswirbelsäule und ihre Verletzungen. Med. Klin. 1932, 122. — K. u. h. n. A. F. Fall von Spondylitis typica. Röntgenpraxis 1932, 71. — K. h. n. J. Development changes in the cervical articular facets. Radiology 23, 474 (1933). — K. l. o. n. k. J. Pyogenic osteomyelitis of the spine. Am. J. Pathol. and discussion of 107 cases. J. Bone Joint Surg. 1 343 (1936). — K. l. u. w. k. W. n. k. L. a. d. a. h. (Malt.) Fever spinalitis. Report of case due to Streptococcus lactogenus bovis. noty surgically treated. Ref. Zerg. Chir. 81 42 (1937). — K. u. n. r. i. W. H. K. u. r. i. d. H. k. l. u. n. g. e. n. i. n. d. e. n. H. W. M. m. t. e. i. n. e. m. B. e. i. t. r. a. g. z. u. K. l. a. g. I. f. d. e. i. c. h. e. n. K. r. a. n. k. h. e. i. t. Ärtzt. Wochr. 1935 9.2. — K. u. B. r. e. u. e. r. e. l. l. a. f. r. a. k. u. m. L. e. h. m. u. n. g. d. e. r. r. e. c. h. t. e. n. u. n. d. d. e. r. l. i. n. k. e. n. H. e. l. e. n. Zbl. Chir. 1935, 1979; Der Verlauf der Zwischenwirbelsäule bei der Diagnostik und chirurgischen Behandlung. Chirurgia 1931 20 21. — K. r.

u. Böhl: Wirbelbrüche mit Rückenmarkverletzung. Zbl. Chir. 1933, 1939 — Kuntz F: Über Spaltbildungen der hinteren Wirbelbögen. Diss. Königsberg 1931 — Kuntz F: Zur Histopathologie der posttraumatischen (Hämmyelomen) Wirbelerkrankung. Arch. orthop. Chir. 34 18 (1932).

L. b. t. A. u. Courvoisier: Osteoporose bei Eurythymus. Helv. et med. acta 1 473—479 (1930) — Labbe A. u. Schupp H. A.: Osteoporosebehandlung mit Sexualhormonen. Schweiz. med. Woch. 1931 992. — L. kum v. H.: Die lumbosacral region. J. Amer. Med. Ass. 82, 1109 (1924). — Leed r. r. R.: Diejenige Degeneration der Zwischenwirbelscheibe (Beitrag zur Pathogenese der Schwermannschen Krankheit) Schweiz. Zentr. Path. 11 890 (1945) — L. se k. M.: Über Halbwirbelbrüche. Dtsch. Zentr. Chir. 226, 329 (1932) — Lafitte G. o.: Les Maladies osseuses de l'intoxication chronique par le Cadmium. Presse méd. 191^e I, 309 — L. gr. t. Bolal: L'ostéomyélite des vertèbres épiphyseuses. Rev. orthop. 10 311 (1923) — Lamy et Weilmann: Les osseux vertébraux. Rev. orthop. 23, 11 (1936). — Lan et G. d.: Osteoporose und Osteomalazien der Wirbelsäule beim Erwachsenen. Ref. Zentr. Chir. 9 103 (1939) — Lan: Angeführt nach Harrerstein. Fractures des apophyses transverses. Ref. Zbl. Chir. 1934, 579 — L. ndoff G. A.: Vertebral fractures in insured and uninsured patients. Acta orthop. scand. Suppl. XIII — Landoldt F.: Beitrag zur Kenntnis der Entwicklung der Zwischenwirbelscheibe und ihres Inhalts. Diss. Zürich 194 — L. ndw. H.: Der Longitudinale Faktor in der Genese der Spondylitis deformans. Zentr. Orthop. 61 243 (1936). — L. ne and M. or: Transpositionaler Zugang zur Zwischenwirbelscheibe im Bereich der Lendenwirbelsäule. Ann. Surg. 1st 537 (1948). — L. ng F.: Seltene Spaltbildungen an den Gelenkfortsätzen der Lendenwirbelsäule. Mähr. Unfallh. 43, 899 (1936). — L. ng F. J.: Über die chronische deformierende Entzündung der Wirbelsäule (Spondylitis deformans). Wien. klin. Woch. 1931 I, 360; Arthritis deformans und Spondylitis deformans. Henke-Labarch. Handb. path. Anat. 9 2 (1934) Zur Frage der Degeneration von Wirbelsäulenverletzungen. Dtsch. Zentr. Chir. 244 779 (1933). — L. ng W.: Spondylitis und Niere. Beitr. klin. Tuberkulose 111 467 (1934); Die unspezifischen Spondylitiden, insbesondere die chronische Osteomyelitis purulenta und ihre Differentialdiagnose gegenüber der Wirbeltuberkulose. Langenb. Arch. u. Dtsch. Z. Chir. 281 37 (1933). — L. ng F.: Verbiegungen der Wirbelsäule „Spitzky Lange Orthopädie im Kindesalter“ Leipzig 1930 2. Aufl. (F. C. W. Vogel) — L. ng M.: Ein Schallbeispiel von einer Adoleszentenkluse, die unter dem Einfluß von oft sehr widerholtem einseitigem Schwerttragen entstanden ist. Zentr. orthop. Chir. 48, 517 (1937); Die Orthopädie des Jahres 1930. Münch. med. Woch. 1931 1613; Orthopädie und Neurologie. Fortsch. Neurol. 2, 406 (1931); Fehldiagnosen bei der Degeneration eines Wirbelbruchs. Münch. med. Woch. 1932 I, 1076; Veränderungen an den kleinen Wirbelgelenken als Ursache rheumatischer Schmerzen. Verh. 28. Kongr. Dtsch. orthop. Ges.; Die Wirbelgelenke. Stuttgart Ferdinand Enke 1934; Wie or 2. erw. Aufl.; Erkrankungen der Wirbelsäule. Handb. Neurol. v. Bumke u. Forster (1936); Die Beurteilung von Rumpferkrankungen als Versorgungswissen. Med. Klin. 1931 764—768 und 765—769; Grundlagen der Beurteilung von Wirbelsäulenverletzungen und -erkrankungen. Mähr. Unfallh. 1931 II, 41; Die Spondylolisthesia. Med. Klin. 1936, 804; Die verstellenden Wirbelsäulenoperationen, ihr Anwendungsgebiet und ihre Technik. Chirurg 1946, 412. — Langendo G.: Über Spondylolisthesia bei Kindern und Jugendlichen. Z. Orthop. 83, 849 (1932). — Langenschild F.: Coincidence of scoliosis and paraplegia. Act. chir. scand. 103, 189 (1933). — Langhof J.: Zur Differentialdiagnose von Blockbildungen der Wirbelsäule. Zbl. Chir. 1934, 1939 — L. ng worthy M.: Dislocations of the cervical vertebrae. J. Amer. Med. Ass. 91 66 u. 9* (1930). — L. p. y. e.: Formes douloureuses d'ostéoporose rachidienne et du bassin. Bull. Soc. radiol. méd. France 91 153 (1932) — L. b. et Po.: Zwei Fälle von Wirbelmyelophagomatose. Ref. Zentr. Chir. 39 20 (1932). — Latjet M.: Un cas d'osteopetia de la colonne vertébrale. Ann. anat. path. 32, 749 (1936) — Latt n.: Beitrag zur Kenntnis der Querfortsatzfrakturen. Fortsch. Med. 1936, 30 — Laubenthal F.: Ischias und Bandscheibenverfall. Klin. Woch. 1919, 111 — Laub H.: Idiopathische extreme osteoporosis especially of the spinal column and thoracic cage with collapse of front of lower. Rheumat. Dis. 127 (1948). — Laube u. R. mm.: Über röntgenologische Veränderungen an der Wirbelsäule ohne klinischen Befund. Dtsch. Zentr. Chir. 914 329 (1929) — Lau n. G. M.: P. Les scolioses. Atlas de Radiol. clin. 1—4 oder Presse méd. 1934 u. 90 — L. u. b. g.: Angeführt nach W. Müller — L. u. bu g. W.: Über 2 Fälle von familiärer generalisierter Osteoklerose. Dtsch. Zentr. Chir. 230 306 (1931). — Lau n. J.: Lateral dislocation of the vertebra. Report of three cases. J. Bone Surg. 14 347 (1932) — L. u. A.: Die Knochenform der Xanthomatose. Fortsch. Röntgenstr. 45, 892 (1932) — L. J.: Osteomyelitis of the vertebrae with report of two cases simulating pyodermitis bacca. Amer. J. Surg. 15, 82 (1932) — Le l. r. q.: Spättuberkulose der Wirbelsäule nach Verletzung. Ref. Zentr. Chir. 61 161 (1933) Zur Behandlung der Brüche der Brust- und Lendenwirbel in Hyperlordose. Ref. Zentr. Chir. 73, 479 (1937) — L. dd. G.: Processus styloides der Lendenwirbelsäule. Ref. Zentr. Chir. 1 264 (1937). — Led n. J.: Exostosen im Rückgrat. Ref. Zentr. Chir. 81 479 (1934). — Lefort u. Ing l. n.: Rekrumation und Krümmungen. Ref. Zbl. Chir. 1931 420 — L. g. W. H.: Die Kantenabtragung an den Wirbelkörpern eine klinische Bedeutung. Arch. orthop. Unfall-Chir. 47 189 (1933) — L. hm. n. F. H.: Die Heilwirbelbildung bei der kongenitalen Skoliose. Frankf. Zentr. Path. 31 489 (1925). — Lehm n. E.: Verkalkung des Ligamentum transversum. Dtsch. Zentr. Chir. 232, 674 (1931); Spina brida und obere H. m. n. g. g. Zentr. wrol. Chir. 83, 406 (1931). — L. kmann G.: Chondromatous ossification of the Wirbelsäule mit sekundärer Retenulo-Retikulum. Fortsch. Röntgenstr. 4 94 (1931). — Lehn i.: Stromaklerose. Beitr. path. Anat. 46, 468 (1909). — Lehn b. A.: Über seitliche Wirbelaufnahmen bei Spondylitis tuberculosa. Fortsch. Röntgenstr. 2 643 (1919/21). — Leu du G.: Über teilweise Ablösung des oberen Randes der Wirbelkörper. Ref. Zbl. Radiol. 23, 488 (1934). — Leuk R.: Zur Differentialdiagnose zwischen der angeborenen und erworbenen Synostose der Halbwirbel. Röntgenprax. 30 (1935) — L. n. K.: Über die Osteomyelitis der Wirbelsäule. Brauns

- Hess, klin. Chir 133, 223 (1932). — Léo G.: Sacralisation de la 5 vertèbre lombaire. Névralgie du nerf lombaire. Réaction osseuse. Guérison. Ref. Zbl. Chir 1929 1969. — Lévi A.: Etudes sur les affections de la colonne vertébrale. Masson & Cie. Paris 1926. — Lévi B. R.: Sur la nature de la maladie de Kummell. Ref. Zbl. Chir 1931 421; Zur Kummellschen Krankheit. Ref. Chir 1932, 79. — Lévi B. et Jung: Mécanisme de l'effacement du disque intervertébral dans certaines maladies du rachis. Presse méd. 1931 461. — Leers u. May: 1. Wirbelbrüche und ihre Behandlung. Arch. klin. Chir 190, 523 (1937). — L. über Angelfuhr nach W. Müller. — L. über H.: Die Arthritis deformans der kleinen Wirbelsäule. Zentr. Orthop. 63 4 (1936). — Levy u. J.: Classification des „aplasia bilida“. Paris méd. 1931 II, 243. — Levy W.: Beitrag zu den Frakturen der Querfortsätze der Halswirbelsäule, der Rippen und des Os cuboideum. Dtsch. Zentr. Chir 233, 8. (1931). — Low, L.: Angelfuhr nach H. Liner. — Lowey: Angelfuhr nach Bornke; Mechanismus der Zwischenwirbelrheismenfälle. Burg. Gyn. Obstet. 84, 392 (1919). — L. x.: Angelfuhr nach Radt. — Li h. e.: 1. Sarkom der Wirbelsäule bei einem Säugling. Ref. Zentr. Chir 91 (1931). — Liechti A.: Die Röntgen-diagnostik der Wirbelsäule und ihre Grundlagen. Springer. Wien 1919, 2. Aufl. — Li k. E.: Über die Epiphyse-erweiterung im Wachstumsalter. Arch. klin. Chir 119, 329 (1922); Anatomische Studie über lumbale Zwischenwirbelrheismenprotrusionen und Zwischenwirbelbrüche in die Foramina intervertebralia hinein. Acta radiol. (Stockholm) 22, 711 (1941). — Protrusions of disk and nerve compression in the lumbar region. Acta radiol. 3, 195 (1944); Complication of myelography by bleed. Acta radiol. 4, 110 (1947); Diagnostic puncture of intervertebral disks in relation. Acta orthop. Scand. 17, 23 (1948, 3). — Dacography of dissecting transverse ruptures of intervertebral discs in the lumbar region. Act. radiol. 30, 13—16 (1951); Technique and results of diagnostic disc puncture and injection (dacography) in the lumbar region. Acta orthop. Scand. 20, 315—326 (1951); Technique and result in myelography and disc puncture. Acta radiol. 81, 323—330 (1950); Backache and its relation to Rupture of the Intervertebral Disk. Radiology 1951 710—719; Experimental Ruptures of Intervertebral discs in Rat. Telle. J. Bone Surg 31-A, 123—129 (1952). — Lindblom K. and Hultqvist G.: Absorption of protruded disc tissue. J. Bone Surg 22 A, 347—360 (1950). — Lindblom and R. ed.: Die Verletzung spinaler Nerven bei dorsolateralen Bandscheibenverfällen. J. Neurosurg 3, 413 (1949). — Lindemann u. Butt: 111 Osteogenese imperfecta und hypophysäre Störungen. Zentr. Orthop. 4, 102 (1919). — Lindemann u. K. H. Lindahl H.: Die Erkrankungen der Wirbelsäule. Stuttgart 1943. — Lindemann u. R.: Zur Kasuistik der angeborenen Kyphosen. Arch. orthop. Chir 30, 57 (1931). — Bandscheibenveränderungen unklarer Ursache an jugendlichen Wirbelsäulen. Zentr. orthop. Chir 33, 261, H. 281 (1932); Wert und Bedeutung der Röntgenuntersuchung für die klinische Beurteilung der Wirbelsäule. Verlaufsverlauf. Dtsch. Zentr. Chir 22, 234 (1932); Die lumbale Kyphose im Adoleszentenalter. Zbl. Chir 1933, 832; Die Drehgleiten bei Skoliose. Arch. orthop. Chir 31, 801 (1931); Entstehung der Adoleszentenkolose. Zentr. orthop. Chir 32, 141 (1935); Bandscheibenveränderung bei juvenilen Kyphosen. Zentr. Orthop. 64, 143 (1936). — Lindemann u. K. H.: Über eine eigenartige Form der Wirbelsäulenkyphose im Adoleszentenalter. Röntgenexzess 1931, 267; Rundrücken und Adoleszentenkyphose. Zentr. orthop. Chir 30, 76 (1931); Über die Osteoporose der Wirbelsäule unklarer Ursache (Fischersche Krankheit). Arch. orthop. Unfallchir 44, 403—411 (1911); Ergebnisse der Frühbehandlung multipler Skolosen. Zentr. Orthop. 61, 35—36 (1931); Die Bewertung des Trauma für die Pathogenese des Torsionsgleitens bei Skoliose. Arch. orthop. Unfall Chir 4, 631 (1935); Über Chondromatosen und deren Beziehung zur juvenilen Kyphose. Verhandl. d. Dtsch. Orthop. Gesellschaft 4., Kongress 1934. Verlag Ferdinand Enke. Stuttgart 1935; Beitrag zur Pathogenese juveniler Röntgenveränderungen. Z. Orthop. 86, 340 (1951). — Lindemann u. R.: Probleme des Bandscheibenprolaps. Acta chir. Scand. 94, 297 (1919). — Lindemann u. R.: Skelettveränderungen bei Rückenmarkstumoren. Verh. anat. 10, 230 (1937); Myelographische Veränderungen bei jugendlicher Kyphose. Acta radiol. 22, 467 (1941). — Lindemann u. R.: Étude sur la diagnostic de la spondylarthrite. kyphos type. (A. propos d'un fait observé) Made pécure de l'affection. Acta med. Scand. 72, 76 (1931). — Lindemann u. R.: Vertebral hemangioma with compression of the spinal cord. Acta radiol. (Stockh.) 22, 460 (1951). — Lindemann u. R.: Vertebral plasma cell. Act. orthop. Scand. 6, 204 (1937). — Link A.: Beitrag zur Kenntnis der meningealen Chorda dorsalis. Anat. Hefte 42 (1910). — Lippman A.: Hämorrhagische et spondylitisartige traumatische Prozesse. Presse méd. 1931 31. — Litt u. F.: Beitrag zur Kenntnis der periduralen Gewebshülle der Wirbelsäule (Hämnomen). Hämomen = 3, 1035 (1932); Über Hämorrhagien an den Querfortsätzen der Wirbelsäule. Hämomen = 4, 1039 (1932). — Litman u. R.: Primary hemangioma of the third lumbar vertebra. Case report. Amer. J. Roentgenol. 23, 241 (1932). — Litman u. R.: Hämorrhagien der Wirbelsäule. Dtsch. Zentr. Chir 22, 319 (1932). — Lob A.: Spinalis deformans. Zbl. Chir 81, 1072 (1934); Die Zusammenhänge zwischen den Verletzungen der Bandscheiben und der Spinalis deformans im Tierversuch. I. Mitt. Dtsch. Zentr. Chir 22, 319 (1932); II. Mitt. Dtsch. Zentr. Chir 212, 243 (1934); Die Verletzungen der Bandscheiben in der Wirbelsäule unter besonderer Berücksichtigung der Frage der traumatischen Spinalis deformans. I. Teil (Tierversuche). Dtsch. Zentr. Chir 21, 452 (1937); Die Beurteilung des traumatischen Bandscheibenverfalls in der sozialen Unfallversicherung. Dtsch. med. W. Nr. 1959 129; Was muß der praktische Arzt von Wirbelsäule, seiner Behandlung und von der Heilung nach Unfall? Therap. woch. 1941, 10 11. Fehlerproben und Irrtumsmöglichkeiten in der Diagnostik. Unfall ersterer. Mehr. Inf. Med. 1941 196. Die Wirbelsäulenverletzungen. Monatsschr. Anat. Fort.

bildg Nr 51938. — Lob n F Herkinderende Osteomyelitis in den Querfortsätzen des 4 Lendenwirbels. *Monch. med. Wochr* 1933 II 1622. — Lohr W Die Vertebra plana osteoporotica (Cahé). *Chirurg* 5, 569 (1933). — Löss bl d L Über Dornfortsatzfraktur durch Mischlung. Insbesondere über sog. Schleuderbruch. *Acta chir Fenn* 73 243 (1933). — Low A. Zur Therapie und Pathogenese des Ischias. *Med. Klin.* 1933 I 184; Zur Symptomatologie der Spinalarthrose zugleich ein Beitrag zur Pathogenese der Neuralgie. *Med. Klin.* 1933 I 870. — Löw : Angeführt nach Behäfer — Loew nb g u. W hns Über Wirbelarthropathie und Amyotrophie bei Tumor dorsalis. *Fortschr Röntgenstr* 30 492 (1929). — Löw n tein K. Knorpelknüppeln mit Rückenmarkverletzung. *Arch. klin. Chir* 162, 101 (1930). Lohmüller W Zur Frage angeborener Wirbelanomalien und primärer angeborener Skoliose. *Dtsch. Ztschr. Chir* 44, 714 (1934). — Lomb d et Le G d l l l Angeführt nach Lechtli. — Lombard P et al lal C Spondylitis transitoria. *Rev. orthop.* 22, 669 (1933). — Loo Über die Oedemationsstörungen bei Kretinismus. *Verh. Dtsch. path. Ges.* 1929 — Lo n o C. Frühzeitige Laminektomie wegen Wirbelfraktur mit Verletzung und Lähmung durch Kompression der Medulla. Ausgang in Heilung. *Ref. Ztschr. Chir* 54, 691 (1933). — Lo n n H Chorda dorsalis im Röntgenbild. *Anat. Anz.* 73, 113 (1931); Bildungsveränderung am 3. Lendenwirbel. *Röntgenprax.* 1933, 634. — Lova and Wal h Zwischenwirbelscheibenverfall. *J. Amer. Med. Ass.* 111 396 (1934). — Lowman C. Role of fluorimbar barium in low back strain. *Ref. Zbl. Chir* 1937 843. — Lu a E. Läsion einer Zwischenwirbelscheibe durch gonorrhoeische Infektion. *Ref. Ztschr. Chir* 66, 433 (1934). — Luc h a O Zwei Fälle von Epitrophosphatfraktur ohne Störungen seitens des Nervensystems. *Ref. Zbl. Chir* 1932, 48. — Ludloff K Verletzungen der Lendenwirbelsäule und des Kreuzbeins. *Fortschr. Röntgenstr.* 9 173 (1906); Angeführt nach Ruge — Ludw g E. Zur Begutachtung der Wirbelquerfortsatzfrakturen. *Mech. Unf. Hk.* 4* 449 (1935); Über isolierte Frakturen der Dorn- und Querfortsätze der Wirbelsäule. *Mech. Unfallh.* 43 293 (1936). — Lökk P Das Kreuzbein und die Lumbosakralregion. *Arch. klin. Chir* 163, 707 (1931). — Lud n M Mikromache Krankheit Schweiz. med. Wochr 1911 II 84. — Luhn n H. Behandlung von Ischialgien und Lumbago mit epidermalen Injektionen. *Med. Klin.* 1934 9039. — Luth G Zur praktischen Bedeutung der Spina bifida sacralis anterior. *Zbl. Chir* 1937 13. — L n d A. Die Rachschwost. Über einen Fall von „güßförmiger Hyperostose“ der Wirbelsäule mit Zeichen von starkem Hirndruck und meningealer Hamorrhagie. *Ref. Zbl. Radiol.* 41 28 (1936). — Luschek H Die Halbwirbelsäule des menschlichen Körpers. Berlin 1939. — Lu hka H Die Läsionen des menschlichen Wirbelsäulens. Tübingen 1940. — Lux A. Über die Wesen und Therapie der Spondylarthritiden. *Wien. klin. Wochr* 1937 1774. — Lyon n M. Zum Krankheitsbild der Wirbelkörperperipherie. *Fortschr. Röntgenstr.* 41 498 (1931). — Lyon E. Die Krankheiten der Zwischenwirbelscheiben. *Arch. orthop. Chir* 26, 93 (1934). Über Kalkknötchen in der Zwischenwirbelscheibe. *Fortschr. Röntgenstr.* 39 76 (1929); Über Brüche von Epiphysen der Lendenwirbelkörper im Jugendalter. *Fortschr. Röntgenstr.* 34, 376 (1928); Das Verhalten der Bandscheiben bei typischer Spondylitis. *Fortschr. Röntgenstr.* 40 635 (1929); Beiträge zur Klinik der Bandscheibenveränderung und Verknöcherung. *Arch. orthop. Chir* 24, 717 (1930); Über horizontale Verdichtungen in den Wirbelkörpern. *Fortschr. Röntgenstr.* 44, 802 (1932); Multiple Myelome und Wirbelsäule. *Fortschr. Röntgenstr.* 46, 174 (1932); Primäre angeborene Lipoidstoffwechselstörungen und Wirbelsäule. *Arch. orthop. Chir* 22, 341 (1932); Kalkablagerungen in der Zwischenwirbelscheibe im Kindesalter. *Ztschr. Kinderh.* 53 870 (1932); Spondylosis deformans. Arthrosis deformans der kleinen Wirbelsäule und Nervensystem. *Fortschr. Röntgenstr.* 49, 46 (1933); Leukämie und Wirbelsäule. *Acta radiol. (Stockholm)* 2* 506 (1936).

M bry R. Chordoma. A study of 180 cases. *Amer. J. Cancer* 25, 501 (1933). — Ma kh E. Teilweise und vollständige Verrenkungen und Brüche der Halswirbelsäule und ihre Spätergebnisse. *Dtsch. Ztschr. Chir* 41 893 (1933). — Ma n b J. Spondylolisthesis with an intact neural arch — the so-called Pseudo-Spondylolisthesis. *J. Bone Jt. Surg.* 32 B, 323 (1930). — M delung Angeführt nach Puhl. — M gn ntl Les fractures de l'apophyse odontoloide de l'axis. *Rev. chir* 36, H 1 (1931). — Magnus Levy Angeführt nach A. Fischer — M gn n G. Die Erkrankungen der Wirbelsäule. *Erg. Med.* 14 497 (1930); Trauma und Wirbelsäule. *Mech. Unfallh.* 1931 31; Die Behandlung und Begutachtung des Wirbelbruchs. *Arch. orthop. Chir* 29 277 (1931); Die Frage der Erwerbsunfähigkeit nach Wirbelsäulenverletzungen. *Verh. Dtsch. Röntgen-Ges.* 23, 36 (1931). Indikation. Kontraindikation in der Frakturbehandlung. *Chirurg* 6, 390 (1933); Spätfolgen und Anpassungen traumatischer Läsionen der Wirbelsäule. *Ref. Ztschr. Chir* 61 333 (1933). Über Dornfortsatzbrüche. *Mech. Unfallh.* 1933, 199. — M g son P Reasons for lack of positive Roentgen findings in cases of low back pain. *Fortschr. Röntgenstr.* 35, 943 (1927). — M nt G Gibt es Schädigungen der Wirbelsäule durch Preßluft-erzeugerarbeit? Heft 2. Unfallheft 11 184 (1933). — M n H Die operative Behandlung der durch einen Nucleus-pulposus-Prolaps bedingten Ischias. *Med. Wochr* 1 107 (1947). — Mak w kv L. Untersuchungen über den Wasserhaushalt des Gelenkknorpels und der Bandscheiben und seine Beziehungen zur Arthrose und Spondylosis deformans. *Arztl. Forsch.* 191 77. — M k v t K. Über das Wirbelgelenk, Lipom und -osteom. *Verh. Arch. path. Anat.* 63, 259 (1927); Die praktische klinische Bedeutung des Wirbelgelenks. *Arch. klin. Chir* 163, 663 (1934). — M l m on P. Radiologic study of the development of the spine and pathologic changes of the intervertebral disc. *Radiology* 23, 19 (1933). — M l g gn Angeführt nach Brack. — M l g a u. M gn Lumbosakral Osteomyelitis unter dem klinischen Bild einer Diskitis. *Mem. Acad. chir* 73, 30 (1949). — M ll t Ouy P Akute Staphylokokkenosteomyelitis der Körper der ersten beiden Lendenwirbel. Gutartige bandscheibenähnliche Form beim Erwachsenen. *Ref. Zbl. Radiol.* 13, 114 (1933). — Régnat de dix neuf résections de fractures du rachis dorsolumbaire selon la technique de la fracture résectée et fracture spongieuse. *Lyon chir* 33, 606 (1934); Zwei Fälle von ankylosierender Gelenkversteifung der Wirbelsäule behandelt durch einseitige Entfernung der Nebenschilddrüsen. *Ref. Ztschr. Chir* 79 123 (1936). Les traitements des fractures du rachis. *Paris. Masson & Co* 1934. —

bild Nr 51934. — Lob n T Rezidivierende Osteomyelitis in den Querfortsätzen des 4. Lendenwirbels. Münch med. Wochr 1933 II 1622. — Lohr W: Die Vertebra plana osteomyelitis (Cl 4). Chirurrg a. 369 (1933). — Lö n b l d L: Über Dornfortsatzfraktur durch Muskelzug insbesondere über sog. Rehlenderbruch. Act chir Scand 73 443 (1933). — Löw A: Zur Therapie und Pathogenese des Iachias. Med. Klin. 1933 I, 146; Zur Symptomatologie der Spondylarthrose zugleich ein Beitrag zur Pathogenese der Neuralgie. Med. Klin. 1937 I 870. — Löw: Angeführt nach Schaeffer — Löw n b r g u. Wehm: Über Wirbelarthropathie und Amiotrophie bei Talus dorsalis. Fortschr Röntgenstr 29 491 (1929). — Löw n tein K: Knorpelknochen mit Rückenmarkverletzung. Arch. klin. Chir 102, 101 (1930). Lohmüll r W: Zur Frage angeborener Wirbelanomalie und primärer angeborener Skoliose. Dtsch. Zchr Chir 94, 714 (1934). — Lomb d et Le G f isel: Angeführt nach Liecht. — Lombard P et H al C: Facolithéris transitoire. Rev orthop. 22, 609 (1933). — Loo r i: Über die Ossifikationsstörungen bei Aretismus. Verh. Dtsch. path. Ges. 1929. — Lo nso C: Frühzeitige Laminektomie wegen Wirbelfraktur mit Verletzung und Lähmung durch Kompression der M dulla. Ausgang in Heilung. Ref. Z. org. ges. Chir 24, 681 (1932). — Lo sen H: Chorda dorsalis im Röntgenbild. Anat. Anz. 73, 113 (1931); Bildungsveränderung am 5. Lendenwirbel. Röntgenpraxis 1933, 636. — Love and W h b Z: Iachiaswirbelverfall. J Amer Med. Ass. 111 306 (1938). — Lowm n C: Role of Nidolambr bekannt in low back strain. Ref. Zbl. Chir 1937 845. — Lu a E: Läsion einer Zwischenwirbelscheibe durch pneumotische Infektion. Ref. Z. org. ges. Chir 68 425 (1934). — Lu ch e O: Zwei Fälle von Epistropheusfraktur ohne Störungen seitens des Nervensystems. Ref. Zbl. Chir 1923, 48. — Ludloff K: Verletzungen der Lendenwirbelsäule und des Kreuzbeins. Fortschr Röntgenstr 9 175 (1904); Angeführt nach Ruge. — Ludwig E: Zur Begutachtung der Wirbelkörperfortsatzfrakturen. Mehr Unfallh. 4, 449 (1935); Über isoliert Frakturen der Dorn- und Querfortsätze der Wirbelsäule. Mehr Unfallh. 42, 293 (1936). — Lubk P: Das Kreuzbein und die Lumbosakralgegend. Arch. klin. Chir 163, 707 (1931). — Ludin M: Milkmannsche Krankheit. Schweiz. med. Wochr 1911 II 46. — Lübm n H: Behandlung von Iachias und Lumbago mit epiduralen Injektionen. Med. Klin. 1933 409. — Luth O: Zur praktischen Bedeutung der Rippa bilda sacralis anterior. Zbl. Chir 1937 15. — L del A: Die Rachiostose. Über einen Fall von „großförmiger Hyperostose“ der Wirbelsäule mit Zeichen von starkem Hirndruck und meningealer Hämorrhagie. Ref. Zbl. Radiol. 4, 25 (1936). — Luschek H: Die Halbwirbelsäule des menschlichen Körpers. Berlin 1948. — Lu hka H: Die Nerven des menschlichen Wirbelkanals. Tabellen 1940. — Lux A: Über das Wesen und Therapie der Spondylarthrit. Wien. klin. Wochr 1937 1774. — Ly a n A: M r m m Krankheiten der Wirbelkörperpyrophys. Fortschr Röntgenstr 41 494 (1931). — Lyon E: Die krankhaften der Zwischenwirbelscheiben. Arch. orthop. Chir 96, 293 (1928); Über Kalkknötchen in der Zwischenwirbelscheibe. Fortschr Röntgenstr 39 78 (1929); Über Brüche von Epiphysen der Lendenwirbelkörper im Jugendalter. Fortschr Röntgenstr 34, 376 (1928); Das Verhalten der Bandscheiben bei typischer Spondylitis. Fortschr Röntgenstr 40, 635 (1929); Beiträge zur Klinik der Bandscheibenverkalkung und Verköcherung. Arch. orthop. Chir 94, 717 (1930); Über horizontale Verdichtungen in den Wirbelkörpern. Fortschr Röntgenstr 45 682 (1932); Multiple Myelome und Wirbelsäule. Fortschr Röntgenstr 46, 174 (1932); Primäre angeborene Lipoidstoffwechselerkrankungen und Wirbelsäule. Arch. orthop. Chir 32, 341 (1932); Kalkablagerungen in der Zwischenwirbelscheibe im Kindesalter. Zchr Kinderh. 53, 870 (1932); Spondylitis deformans. Arthralgie deformans der kleinen Wirbelgelenke und Nervengewebe. Fortschr Röntgenstr 48, 46 (1933); Leukämie und Wirbelsäule. Acta radiol (Stockholm) 27 506 (1936).

M b r e y R: Chordoma. A study of 140 cases. Amer J Cancer 53, 601 (1933). — M kh E: Teilweise und vollständige Verrenkungen und Brüche der Halswirbelsäule und ihre Spätergebnisse. Dtsch. Zchr Chir 241 693 (1933). — M n b J: Spondylolisthesis with an intact neural arch — the so-called Pseudo-Spondylolisthesis. J Bone Jerg. 30 II, 323 (1930). — M del: Angeführt nach Puhl. — M gantl: Les fractures de l'apophyse odontode de l'axe. Rev chir 50, H 1 (1931). — M gnu L y: Angeführt nach A. Fischer — M gnu G: Die Erkrankungen der Wirbelsäule. Erg. Med. 14 497 (1930); Trauma und Wirbelsäule. Mehr Unfallh. 1931 31; Die Behandlung und Begutachtung des Wirbelschusses. Arch. orthop. Chir 29 277 (1931); Die Frage der Zweierbeinverletzung nach Wirbelsäulenverletzungen. Verh. Dtsch. Röntgen Ges. 23, 36 (1931); Indikation, Kontraindikation in der Frakturbehandlung. Chirurrg 5, 290 (1933); Spinalfisteln und Ausprägungen traumatischer Läsionen der Wirbelsäule. Ref. Z. org. ges. Chir 61 355 (1933); Über Dornfortsatzbrüche. Mehr Unfallh. 1933, 109. — M s P: Reasons for lack of positive Roentgen findings in cases of low back pain. Fortschr Röntgenstr 25 682 (1927). — M nt G: Gibt es Beschädigungen der Wirbelsäule durch Prellfälle verkürzter Arbeit? II ff. z. Unfallh. 41 134 (1933). — M j H: Die operative Behandlung der durch einen Nucleus-pulposus-Präparat bedingten Lähm. Med. Rdsch. 1 107 (1947). — M kow ky L: Untersuchungen über den Wasserhaushalt des Gelenkknorpels und der Bandscheiben und seine Beziehungen zur Arthrose und Spondylitis deformans. Arzt. Forsch. 191 77. — M kry o t k.: Über das Wirbelganglion, Lipom und -osteom. Virchows Arch. path. Anat. 266, 230 (1927). — M r: Das praktische klinische Bedeutung des Wirbelganglions. Arch. klin. Chir 143, 663 (1929). — M l m n P: Radiologie study of the development of the spine and pathological changes of the latervent head. Radiology 23, 84 (1932). — M l g n: Angeführt nach Brack. — M l g n: Die Nidolambr (Osteomyelitis) tritt unter dem klinischen Bild einer Diskitis. Mémo. Acad. chir 73, 30 (1949). — M l l t G r P: Akute Ht physikalischer Osteomyelitis der Körper der ersten beiden Lendenwirbel. Gutartige bandchenbrennende Form leidet Erbsenbrennen. Ref. Zbl. Radiol. 18, 114 (1932); Résultat de dix-neuf réductions de fractures du rachis dorsolumbaires prises la technique de Bohler. Fractures récentes et fractures anciennes. Lyon chir 33, 616 (1936); Zwei Fälle von ankylosierender Gelenkentzündung der Wirbelsäule, behandelt durch einseitige Entfernung der Nebenschädelknochen. Ref. Z. org. ges. Chir 79 193 (1936). — Le traitement non opératoire des fractures du rachis. Paris. Masson & Co 1934. —

- Über Vertebralesymptome. Thesen. Stuttgart 1935. — M a r t H. Spondylolithe und Unfall. Arch. orthop. Chir. 29, 109 (1930); Untersuchungen z. Ätiologie der Spondylolithese. Zbl. Chir. 1930, 4819. — M i v. M. La cyphose dorsale chez les adolescents. Mon. substratum anatomicum. Ref. Z. org. Chir. 61, 445 (1933). — M e r t J. et al. H. Über die Stellung der Beckenknorpel zur F. getriebenen Knochenerkrankung. Fortsch. Röntgenstr. 4, 493 (1930); Die cystische Knochenmarkkrankung und erworbene andere Typen von general. vert. Sklerotikern im Röntgenbild. Röntgenpr. 1930, 604; Die erworbenen Assimilationsformen des L. Lendenwirbels im Röntgenbild und die pathogenetische Bedeutung der einseitigen gelenkigen Sekundärisation. Fortsch. Röntgenstr. 41, 363 (1931); Die erworbenen Sekundärisationformen des L. Lendenwirbels in ihren Beziehungen zu Knochenschmerzen. Beitr. klin. Chir. 133, 12 (1931). — M a. B u. G. ff. H. Spondylolithese und Unfall. Arch. orthop. Chir. 29, 109 (1930). Der L. Lendenwirbel. Chirurg 1930, 1. Klinik und Pathologie der Lumbosakralregion. Zbl. Chir. 1931, 517; Untersuchungen über die Wirbelgelenke. Leipzig 1931. Untersuchungen zur Ätiologie des Wirbelgelenks. Beitr. klin. Chir. 141, 340 (1931); Spondylolithese. Zbl. Chir. 1931, 1137; Örtlich konstitutionell bedingte Wirbelgelenkerkrankungen. Verh. Deutsch. Röntgen Ges. 23, 11 (1931). Traumatisch statische Veränderungen der Lumbosakralregion und ihre röntgenologische Erfassung. Zbl. Gynäk. 1932, 4796; Über die Veränderungen der Bandscheiben beim Wirbelgelenk. Zsch. orthop. Chir. 62, 120 (1933); Die Bedeutung der präsenilen Bandscheibe f. die Spondylolithese. Dtsch. Zsch. Chir. 234, 173 (1933). Frontale Wirbelgelenke. Zbl. Chir. 1933, 406. — M a. B u. G. ff. H. K l. G. l. h. Hemmungsstörungen im Ablauf der Wirbelabsorbierung. Arch. klin. Chir. 14, 20 (1933). — M. r. G. H. M. C. O. S. of the vertebral column. J. Bone Surg. 1, 177 (1931). — M. r. G. W. 1. Angeführt nach Hoge. — M. r. G. H. M. C. O. S. of the vertebral column. Ref. Med. Unfallk. 1931, 334. Spondylolithese. Morg. Gyn. Obstet. 34, 371 (1932); Diagnose und röntgenologische evidence in spondylolithese. Radiology 40, 108 (1933). — M. r. F. Diagnostik und Operation der Wirbelabsorbierung. Chirurg 10, 44 (1933). — M. A. C. l. e. b. e. Vertebra plana (infantile Pseudospindel). Fortsch. Röntgenstr. 4, 475 (1930). — M. b. l. L. Über Wirbelabsorbierungen bei Neurofibromatose. Beitr. klin. Chir. 130, 574 (1930); Wirbelabsorbierung und Fortsch. orthop. Chir. 33, 477 (1932). Osteosklerose (Paget) und Osteitis fibrosa (Recklinghausen). Erg. Chir. 20, 341 (1933). — M. b. l. w. B. Z. Röntgenradiagnostik der Spondylolithese und Spondylolithe. Ref. Zbl. Chir. 1933, 2960. — M. b. l. w. u. Tech. rep. 14. Über die Wirbelabsorbierungen und deren Röntgenbild. Fortsch. Röntgenstr. 4, 1001 (1930). — M. b. l. G. Spondylolith traumatische. Ref. Z. org. Chir. 30, 13 (1931). — M. b. l. M. l. et. R. o. e. w. Les traumatismes formés du rach. Paris 1933 (Mason & Co.). — M. h. t. D. mit 8 mon. t. J. u. d. a. R. La lombalgie. Act. orthop. belg. 19, 45 (1933). — M. d. l. t. n. and T. e. a. h. er. Angeführt nach Almona und Petit. Dtsch. Zsch. Chir. 1933, 2960. — M. l. e. h. H. R. u. e. n. e. l. g. e. w. u. l. v. e. der Dornfortsätze. Amer. J. Cancer 41, 343 (1934); Ref. Zbl. Radiol. 19, 24 (1933). — M. l. k. W. Spondylitis deformans. Ref. Med. Unfallk. 3, 546 (1931); Die Frage der Entschädigung bei Spondylitis deformans. Ref. Z. org. Chir. 61, 342 (1933). — M. l. l. A. R. a. m. o. n. e. d. b. l. n. osteomyelitis of the spine. Brit. Med. J. 4933, 194 (1934). — M. l. G. A. r. r. o. r. d. e. d. H. a. m. e. med. Jg. 8, 1 (1930). — M. l. n. e. u. L. o. w. n. d. o. f. L. o. w. b. a. c. k. pain. Ref. Med. Unfallk. 1931, 331. — M. l. w. a. r. t. and G. r. o. u. t. Veränderungen der Zwischenwirbelscheiben nach Lumbalgie. Lancet 1936 II, 163. — M. n. t. Angeführt nach Schaeffer. — M. n. t. C. Lehrbuch der Entwicklungsgeschichte der Menschen. Leipzig 1931. — M. t. h. e. l. l. G. The significance of lumbosacral transverse processes. Br. J. Surg. 41, 147 (1936). — M. t. b. l. J. Vertebral Osteochondritis. Arch. Surg. 53, 544 (1932). Surgical treatment of affections of the lumbosacral and sacroiliac joint. Surg. Gyn. Obstet. 4, 33 (1933). — M. t. and A. y. e. Herniation or rupture of the intervertebral disk into the spinal canal. A report of 3 cases. Ref. Z. org. Chir. 76, 328 (1935). — M. j. a. k. t. o. n. h. 8. Zur Diagnose und konservativen Behandlung der Spondylolithese. Ref. Z. org. Chir. 60, 615 (1933). — M. o. c. H. Low back pain and trauma. Amer. J. Surg. 51, 779 (1941). — M. q. u. o. t. a. B. a. u. m. an Epiphyseal vertebrale. Ref. Z. org. Chir. 57, 670 (1932). — M. o. f. a. t. B. Enlargement of the intervertebral disc associated with decalcification of the vertebral body. Amer. J. Bone Surg. 15, 679 (1933); Pathologic fracture of the spine with disorders of calcium metabolism. Arch. Surg. 24, 1093 (1934). — M. o. h. i. n. g. W. E. K. O. and G. l. e. a. s. t. e. s. t. Verhandl. Deutsch. Orthop. Ges. Ende Stuttgart 1934; Die Bedeutung der Bandscheiben degenerations und der von ihr abhängigen Krankheitsbilder. Fortsch. Med. 1935, 503. Diagnose und Behandlung der Epicondylitis humeri. Fortsch. Med. 1934, 15. — M. l. W. The surgical treatment of progressive idiopathic and congenital kyphoscoliosis by arrest of growth with the aid of plates on the costal ends of the vertebral column and fusion of the spinal processes. Arch. sur. med. 7, 63 (1935). — M. o. l. n. u. G. Ein schweres Ergussgelenk nach dem Abbruch mehrerer Querfortsätze im Bereich des Lendenwirbels. Zbl. Chir. 1931, 1401. — M. n. t. H. Fracture des apophyses transversae der articularis lumbares. Ref. Z. org. Chir. 61, 444 (1933). — M. l. M. n. t. A. u. t. o. d. a. n. l. G. Trattamento chirurgico della scoliosi. Arch. Ital. Chir. 79, 472 (1932). — M. y. A. Hernia of the nucleus pulposus. Brit. J. Radiol. 46 (1934); Intervertebral disc changes. Ref. J. Radiol. 10, 389 (1937); Das Lendenmark in Relation z. Pann. Brit. J. Radiol. 19, 153-157 (1945). — M. W. i. a. k. e. l. m. a. n. and R. o. h. C. h. a. r. Asymptomatic vertebral fractures in epilepsy. J. Nerv. Ment. Dis. (Amer.) 91, 305 (1941). — M. o. s. H. Ein Fall von endogener Fettsucht mit hochgradiger Osteoporose. Verh. orthop. path. Anat. 229, 247 (1931). — M. o. A. L. Zerstörung der Zwischenwirbelscheibe bei Wirbelstielbrüchen. Ref. Z. org. Chir. 61, 70 (1933); Pathogenetische Betrachtungen über den anatomischen Befund in einem Fall von Lumbosakraler Apophysitis. Ref. Z. org. Chir. 4, 697 (1933). — M. o. d. j. J. Überlastungserschäden der Arme bei Kindern. Zbl. Chir. 1934, 194. — M. o. l. u. R. o. e. r. e. Une nouvelle observation du nucleus pulposus calcifié. Ref. Zbl. Radiol. 13, 114 (1932). — M. g. n. t. n. v. Periarthritis humeroscapularis. Die cervikalen Vertebralesymptome. Thesen. Stuttgart 1935. — M. o. M. u. B. H. L. Considerazioni sulla frattura solita del lumbi. Arch. di Orthop. 64, 1048 (1935). — M. o. t. W. Morbus Menière ohne Vestibulärbeteiligung oder

- Laten Vertebralsymptome. Thieme Stuttgart 1933 — M v H: Spondylolithese und Unfall. Arch. orthop. Chir. 29 100 (1930); Untersuchungen zur Ätiologie der Spondylolithese. Zbl. Chir. 1930, 4619 — M y e M: La espina dorsale des adolescents, son substratum anatomique. R. f. Zörgg. Chir. 61 443 (1933). — M y e B t l H: Über die Stellung der Recklinghausenschen zur Pagetschen Knochenkrankung. Fortschr. Röntgenstr. 4, 493 (1930); Die systemische Knochenmarkskarzinome und verschiedene andere Typen von generalisierter Metastasen im Röntgenbild. Röntgenpraxis 1930, 604; Die verschiedenen Ausdehnungsformen des 3. Lendenwirbels im Röntgenbild und die pathogenetische Bedeutung der einseitig gelenkigen Sakralisation. Fortschr. Röntgenstr. 41 263 (1931); Die verschiedenen Sakralisationsformen des 3. Lendenwirbels in ihren Beziehungen zu Kreuzschmerzen. Beitr. klin. Chir. 133, 1 (1931) — M y B u g d o f f H: Spondylolithese und Unfall. Arch. orthop. Chir. 29 109 (1930); Der 3. Lendenwirbel. Chirurg 1930 1; Klinik und Pathologie der Lumbosakralregion. Zbl. Chir. 1931 317; Untersuchungen über das Wirbelgleiten. Leipzig 1931; Untersuchungen zur Ätiologie des Wirbelgleitens. Beitr. klin. Chir. 131 236 (1931) Spondylolithese. Zbl. Chir. 1931 1137; Orthopädisch bedingte Wirbelsäulenveränderungen. Verh. Dtsch. Röntgen Ges. 23 11 (1931); Traumatisch statische Veränderungen der Lumbosakralregion und ihre röntgenologische Erfassung. Zbl. Gynäk. 1932, 2796; Über die Veränderungen der Handwirbeln beim Wirbelgleiten. Zentr. orthop. Chir. 62, 120 (1933); Die Bedeutung der präkolumären Bandscheiben für die Spondylolithese. Dtsch. Zentr. Chir. 4, 173 (1933) Frontale Wirbelspalten. Zbl. Chir. 1933, 406. — M v e B u r g d o f f u. K l o G r i h: Hemmungsbildungen im Ablauf der Wirbelstabilisierung. Arch. klin. Chir. 13, 220 (1933). — M y e and G l l M y c o f: of the vertebral column. J Bone Surg 1 817 (1933). — M y e u W l l r: Angeführt nach R g e — M y d n g H: Spondylolithese. Ref. Med. Unfallth. 1931 334; Spondylolithese. Surg. Gyn. Obstet. 54 371 (1932) Diagnosis and roentgenologic evidence in spondylolithesis. Radiology 20 105 (1933). — M o w F: Diagnostik und Operation der Wirbelhämmungen. Chirurg 10 44 (1933). — M a l A: Cal cale Vertebra plana (infantile Pseudospodylitis). Fortschr. Röntgenstr. 3 473 (1933) — M h l L: Über Wirbelsäulenveränderungen bei Neurofibromatose. Beitr. klin. Chir. 130 84 (1930); Wirbelsäule und Aortenaneurysma. Zentr. orthop. Chir. 53, 277 (1931); Ostia deformans (Paget) und Ostia fibrosa (v. Recklinghausen). Erg. Chir. 60, 381 (1933) — M h l o w k f B: Zur Röntgenradiagnostik der Spondylolithese und Spondylolyse. Ref. Zbl. Chir. 1937, 2360 — M h l o w u. Tsch. puln: Über die Wirbelkörperinseln und deren Röntgenbild. Fortschr. Röntgenstr. 40 1061 (1939). — M i c h l G: Spondylit traumatica. R. f. Zörgg. Chir. 58, 153 (1931) — M h l M u t l e t R u s u x: Les traumatismes fermés du rachis. Paris 1933 (Masson & Co) — M h o t t D m t 8 m o n t J u d n u x R: La lombalgie. Act. orthop. belg. 10 45 (1933) — M i d d l t o n and T h: Angeführt nach Alayanos und Peth Dattails. — M i k u l a: Angeführt nach R g e. — M i l l h H: Riesenzellgeschwulst der Dornfortsätze. Amer. J. Cancer 21 303 (1934); Ref. Zbl. Radiol. 10 342 (1935) — M i l k o W: Spondylitis deformans. Ref. Med. Unfallth. 29, 446 (1931); Die Frage der Entschädigung bei Spondylitis deformans. Ref. Zörgg. Chir. 61 362 (1933) — M i l l r A: Salmonella dublin osteomyelitis of the spine. Brit. Med. J. 4855 194 (1934) — M l a G: Sarcoma del Sacro. Riforma med. Jg 8, 1 (1926) — M i l n u. L w n d f: Low back pain. Ref. Med. Unfallth. 1931 331 — M i l w a t and G o s t: Veränderungen der Zwischenwirbelscheiben nach Lumbalpunktion. Lancet 1936 II 183. — M i n o t: Angeführt nach Schaffer — M i n t C: Lehrbuch der Entwicklungsgeschichte der Menschen. Leipzig 1934 — M i t h l l G: The significance of lumbosacral transitional vertebrae. Brit. J. Surg. 4 147 (1933). — M i t h l l J: Vertebral Osteochondritis. Arch. Surg. 23, 544 (1933); Surgical treatment of affections of the lumbosacral and sacroiliac joint. Surg. Gyn. Obstet. 4 33 (1934) — M i t and A y e: Herniation or rupture of the intervertebral disk into the spinal canal. A report of 34 cases. Ref. Zörgg. Chir. 6, 326 (1933). — M j k t o t a l h F: Zur Diagnose und konservativen Behandlung der Spondylolithese. Ref. Zörgg. Chir. 60 613 (1933). — M o e k H: Low back pain and trauma. Amer. J. Surg. 51 778 (1941) — M o e q u o t u. B u m n n: Epiphyse artériale. Ref. Zörgg. Chir. 5 620 (1933). — M f f t B: Enlargement of the intervertebral disc associated with decalcification of the vertebral body. New J Bone Surg. 15, 679 (1933); Pathologic fracture of the spine with disorders of calcium metabolism. Arch. Surg. 68, 1093 (1934) — M h i n g W: EKG und Östrogen. Verhandl. Dtsch. Orthop. Ges. Enke Stuttgart 1936; Die Bedeutung der Bandscheibendegeneration und der von ihr abhängigen Krankheitsbilder. Fortschr. Med. 1933, 593; Ätiologie und Behandlung der Spondylitis lumborum. Fortschr. Med. 1938, 15 — M l w: The surgical treatment of progressive idiopathic and congenital kyphoscoliosis by arrest of growth with the aid of staples on the concave side of the vertebral column and fusion of the spinal processes. Arch. chir. neerl. 63 (1933). — M l n u. G: Ein seltenes Ereignis nach dem Abbruch mehrerer Querfortsätze im Bereich der Lendenwirbelsäule. Zbl. Chir. 1934, 1401 — M n t t R: Fracture des processus transverses des vertèbres lombaires. Ref. Zörgg. Chir. 61 446 (1933). — d l M n t A u. T d n l G: Trattamento chirurgico della scoliosi. Arch. Ital. Chir. 79 47 (1933). — M n e y A: Hernia of the nucleus pulposus. Brit. J. Radiol. 46 (1934); Intervertebral disc changes. Brit. J. Radiol. 10, 348 (1937); Disc Lesions in Relation to Pain. Brit. J. Radiol. 14, 153-157 (1943) — M o W i n k l m a n and R o h C h: Asymptomatic vertebral fractures in epileptic. J. Nerv. Ment. Dis. (Amer.) 94 302 (1941) — M o o s e H: Ein Fall von endogener Fettsucht mit hochgradiger Osteoporose. Virchow. Arch. path. Anat. 229, 247 (1921) — M o s a L: Zerstörung der Zwischenwirbelscheiben bei Wirbelsäulenbrüchen. Ref. Zörgg. Chir. 61 70 (1933); Pathogenetische Betrachtungen über den anatomischen Befund in einem Fall von Lähmung infolge Apophysenarthrit. Ref. Zörgg. Chir. 4 697 (1933) — M d j J: Überlastungsschäden der Arme bei Kindern. Zbl. Chir. 1934, 1304 — M o l u. R o e d: Un nouveau type de lésion du nucleus pulposus calcifié. Ref. Zbl. Radiol. 13, 114 (1932). — M o g n t n v: Perniciöse hinterhornkapularische. Die ersten beiden Verlebenssymptome. Thieme Stuttgart 1933 — M o M u R l l L: Considerazioni sulla frattura isolata del vertebra. Arch. di Orthop. 8, 1048 (1933) — M o t W: Morbus Menière ohne Vestibularbeteiligung oder

orthop. Chir u. Traumatologie 1918. — N. hol. nd. 8h fl. tt. Nicht. — angest. almonie Epiphyse an den
unteren Lendenwirbelsäulenfortsätzen. Ref. Z. orthop. Chir. 60, 21 (1934). — N. la. I. Beitrag zur Frage
des traumatischen Spindylol. deformans. Zbl. Chir. 1935, 901. — N. i. Pittagora A. Ein Fall
von Wirbelsäulenbruch mit Kniegelenkhem. h. symptomkomplex. Ref. Zbl. Chir. 1937, 1940. — N. die ch.
angeführt nach Ruge. — N. da. F. Zur Kenntnis der normalen und pathologischen Anatomie der
Wirbelsäulenfortsätze. Fortsch. Röntgenr. 48, 6-8 (1937). — Behnkenk. in den Zeitschriften
des Fortsch. Röntgenr. 4, 0 (1933). — N. hu. H. Beitrag zur Untersuchung des angeborenen Kell.
abst. Diss. Münster (Westf.) 1935. — N. m. n. u. P. k. Angef. h. nach Lyon. — N. sen. H.
Die traumatische Verletzbarkeit der Rücken. Zbl. Chir. 1933, 4073. — N. leon. Angef. h. nach
Weil. — N. l. on. H. Die Frage der traumatischen Lumbago nach dem M. lateral der Reclen. erhebnungs-
sach. Ref. Z. orthop. Chir. u. 307 (193). — Reclim. f. die Behandlung der traumatischen Lumbago. Ref.
Z. orthop. Chir. 61, 503 (1935). — N. i. f. f. Über die tomographische Darstellung von Wirbelsäulen. Zentr.
Orthop. 50, 47-53 (1931). — N. it. f. f. Drehgleiten der nachscholotischen Wirbelsäule. Arch. orthop. Chir.
28, 86 (1931); Ictus, Varius pulvis. Hernie und präheale Überflutung (Precl). Chirurg. 90, 414 (1919). —
X. f. f. Epithelbildungen an den Gelenkfortsätzen der Lendenwirbelsäule. Arch. klin. Chir. 191, 703 (1935). —
Vordmann O. Die Kreuzschmerzen als Symptom. kurgreicher. Lähmungen. Med. Klin. 1930, 873. —
X. f. f. Angef. h. nach Rovekamp. — N. la. G. Ictus und Diskushernie. klinische und chirurgische
Gesichtspunkte. Erg. inn. Med. u. F. 2, 84-240 (1931). — N. o. k. C. Hernuspondylus sagittalis. Ref. Z. orthop. Chir.
62, 478 (1933). — Beiträge zur angeborenen Kniekose durch H. l. r. Ref. Z. orthop. Chir. 60, 385 (1933). —
N. o. k. J. Z. e. Fälle von Spindylol. e. Zbl. G. nak. 1935, 302. — N. u. b. u. m. J. Querfortsatzfraktur
der Lendenwirbelsäule. Zbl. Chir. 1931, 304. — N. u. o. l. T. f. a. Studio radiologico sull'osteofascia della colonna
vertebrale nel feto umano. Ann. radiol. 9 (1933).

Obere O. Ober Spondylitis deformans der Halswirbelsäule. Dtsch. Zschr. Chir. 416, 666 (1936). — Obr. Gon. Spondylitis rhizomus. Wsch. Hef. Zbl. Chir. 1944 4933. — Od. A. Wirbelkörperkompressionen durch Tetanus. Zschr. Orthop. 48 233—237 (1931). — Od. I. G. John on O. A case of cervical spondylarthritis. Acta orthopaedica. Acta orthop. Scand. 2, 30* (1931). — Od. n. O. Three cases of anomaly of the bodies of the vertebrae in the cervical region. Acta radiol. (Stockh.) 12, 69 (1934). — Od. Sky. J. Zur Kasuistik der Spondylitis ankylopoetica. Röntgenpraxis 1931 544; über die Verkalkung des Ligamentum longitudinale. Arch. orthop. Chir. 31 316 (1932). — O. hl. k. F. Über die chronische Form der Osteomyelitis insbesondere der Wirbelsäule. Beitr. klin. Chir. 131 1 (1923). Eine weitgehende Zerstörung des Kreuzbeins durch ein Fibrom, ohne wesentliche Nervenveränderungen. Zschr. Nervenzbl. 11 331 (1931). Ein Wirbelbruch mit zunehmenden Lähmungen als Anzeichenfall früh operiert. Zbl. Chir. 1932, 1474; Über Klinik und Unfallbegünstigung der chronischen Osteomyelitis der Wirbelsäule. Chirurgia 4 473 (1932); Anregung zur Vereinfachung und Vereinfachung von harten Wirbelabschnitten. Chirurgia 1933 440—444. Osteodystrophia fibrosa generalisata (Recklinghausen) und Niere. Chirurgia 1934, 272—290; Beitrag zur Entstehung des Knochenschwund Syndroms. Medizinische 3., 1673 (1933). — O. k. Bronchomeningitis. Beitr. path. Anat. 40 48 (1910). — Ott. n. G. v. Zwei angeborene Wirbelkörperveränderungen. Röntgenpraxis 1932, 969; Die Erkennung der Wirbelbogenfraktur im Röntgenbild. Dtsch. Zschr. Chir. 411 471 (1933). — Ol. ag. Die Knochenanomalien des lumbosakralen Segmentes. Ref. Zbl. Radiol. 23, 3 (1936). — Ol. o. H. The operative procedure in intervertebral disk protrusions. Acta radiol. (Stockholm) 22, 742 (1931). — Oli. u. B.avo. La maladie Kummell comme accident de travail. Ref. Zbl. Radiol. 14 699 (1933). — Ol. n. O. Röntgendiagnostische points of view on spinal tumours in children. Acta radiol. (Stockh.) 29 260 (1948). Über eine Spaltenbildung in den Bogenwurzeln des 2. Lendenwirbels. Acta radiol. (Stockh.) 30, 44 (1948). — Oppenb. m. Angerfahrt nach Thoma. — Oppenb. m. A. Dancers affecting the intervertebral foramina. Radiology 24, 582 (1937). — Oppelkoff. E. Osteomyelitis des 2. und 3. Halswirbels nach Adenotomie. Zschr. Hals-Nas.-Ohr. h. 35, 325 (1934). — O. l. H. Die Marmorierkrankheit. Zbl. Radiol. 11 508 (1931). — O. th. O. Da Chordom und seine differentialdiagnostische Bedeutung. Chirurgia 4, 91 (1930); Spondylolisthesis kein Geburtsdefekt. Röntgenpraxis 4, 206 (1936). — O. good. Angerfahrt nach Rump. — O. t. pow. O. Calcaneus intervertebralis. Zbl. Chir. 76, 535—540 (1931). — O. ten. S. ck. n. E. d. Zur Lumbagofrage. Ref. Zbl. Chir. 187* 1888. Über osteochondropathische Kyphosen bei Jugendlichen und Kindern. Ref. Zbl. Chir. 1924, 1463; Über vordere Wirbelspalten. Ref. Zerg. ges. Chir. 74, 190 (1930). — Ott. A. Rückbildung einer Spondylitis lumbosa nach Therapie. Klin. Med. (Wien) 5, 193—203 (1930). — Ott. Th. Unsere Erfahrungen über die Entstehung und den Verlauf der isolierten Querfortsatzfrakturen der Lendenwirbelsäule. Beitr. klin. Chir. 144 605 (1932); Frakturen der Wirbelsäule. Bruns Beitr. klin. Chir. 14 342 (1920). Pathologisch-histologische Untersuchungen der Lendenwirbelsäule eines wegen Bandscheibenhernie operierten Patienten. Z. Orthop. 57 378 (1936). Quellungsversuche mit operativ entferntem Bandscheibengewebe. Z. Orthop. 54, 577 (1934). — Ott. v. Über die Spondylolisthesis peristotica. Behsch. med. Wschr. 1933 794. — Ott. E. Spondylitis posttraumatica s. Dms. Münster 1937. — Otto. E. Wirbelverletzung und goldenes Sport beiseite. Röntgenpraxis 1933, 648. — Otton. H. P. Röntgenbild eines Hämangioms des 11. Brustwirbels. Ref. Zbl. Radiol. 23, 646 (1936). — Ov. tom. and Ov. al. y. Congenital fusion of the spine. J. Bone Surg. 16, 970 (1934). — O. w. n. H. v. and Gu. d. n. Chordoma dorsalis of the cervical spine. Ref. Zbl. Radiol. 12 683 (1932).

P 104 h A Ein Beitrag zur Erblichkeit der Marmorierkrankheit. Röntgenpraxis 14 (1933) —
 P 104 k Angeführt nach Schmidt-Pal g P Lokalisation des Fehlers und Lins in der Wirbelsäule. Ref. Zeitschr.
 Chir. 9, 104. — P 104 m Angeführt nach J. rothy — Palt in i O Spondylodystrophia alsterische Radicul

geteilt bedingt Hörstörungen. Nachr. Ohren heilk. Wien 1933, 17; Das cervikale Sympathiesyndrom unter besonderer Berücksichtigung der Hör- und Gleichgewichtstörungen. Langenbecks Arch. u. Dtsch. Z. Chir. 278, 141 (1933); Das cervikale Sympathiesyndrom und seine praktische Bedeutung. Zechr. Laryngologie usw. 1933, 70. — M rqu i: Angeführt nach W. Müller — Mo i y E.: Surgical lesions simulating the lumbar disk syndrome. West J. Surg. 59, 643—647 (1931). — Mort n E.: Umachriebene hypertrophische Veränderungen der Halswirbelsäule mit Druck auf das Rückenmark. J. Bone Surg. 18, 893 (1936). — Mosberg G.: Beiträge zur Spondylolisthese. Ref. Zbl. Radiol. 20 236 (1933). — Moschitta G.: Beitrag zur Kenntnis der kummelischen Krankheit. Ref. Zerg. Chir. 60, 36 (1932). — Mossenthal: Angeborene Kyphose. Die Bedeutung seitlicher Röntgenaufnahmen der Wirbelsäule zur Erkennung von Veränderungen an derselben. Zechr. orthop. Chir. 53, 111 (1930); Die Bedeutung der seitlichen Wirbelsäulenaufnahmen für die Erkennung von Erkrankungen und Verletzungen. Chirurg 1930 314. — M e: Angeführt nach W. Müller — Moser H.: Totale Wirbelresektion. Behandlung der Wirbelabszesse. Mod. Chirurgie 1 E 3 (1933); Experimentelle Untersuchungen zur Frage der Entwicklung und Beeinflussung der angeborenen Skoliosen. Wien. klin. Wochr. 1934, 230. — Mouhet A. et Rodier C.: Le spondylolisthese. Rev. orthop. 1927 461; Le spondylolisthese. Presse méd. 1931 569. — Mull r Ch.: Zur Entwicklung des menschlichen Brustkorbes. Morph. Jb. 33, 261 (1906). — Mull r Ein Fall von angeborener Mißbildung am linken Querfortsatz des 5. Lendenwirbels, fälschlich als Wirbelbruch begutachtet. Anat. Nachr. erstigt 1911, Nr 4. — Mull r J H.: Ein Fall von Aplasie des Sakrums. Röntgenpraxis 1936, 106. — Mull H.: Klinische und röntgenologische Beobachtungen beim cervikalen Syndrom. Med. Klin. 1933, 1263. — Mull r Johanna: Die Operation der Skoliosen. Diss. Leipzig 1933. — Müller W.: Das röntgenologische Bild u. die klinische Bedeutung d. sog. Knochengelenken der Wirbelsäule. Beitr. klin. Chir. 143, 191 (1927); Röntgenologische Untersuchungen in der Lumbosakralgegend. Zbl. Chir. 1930, 223; Über die Hemmung der Epiphyseverknöcherung unter dem Einfluß abnormer Belastung. Arch. klin. Chir. 162, 464 (1930); Zwei Fälle von Wirbelblockbildungen. Klin. Wochr. 1930 2483; Wirbelverwachsungen nach der Seite. Verb. Dtsch. Röntgen-Ges. 23, 43 (1931); Beobachtungen zum Gebiet der Wirbelsäulenabnormitäten. Zbl. Chir. 1931 2533; Spaltbildungen an Gelenk- und Dornfortsätzen der Wirbelsäule auf der Basis von Umbauungen. Fortsch. Röntgenr. 44, 644 (1931); Spontane seitliche Wirbelgelenkverwachsungen. (Da Drehgleiten von Lendenwirbeln bei Skoliosen der älteren Leute.) Zechr. orthop. Chir. 55, 231 (1931); Pathologische Physiologie der Wirbelsäule. Leipzig 1932 (Joh. Ambrosius Barth); Weitere Beiträge aus dem Gebiete der Knochengelenken. Dtsch. Zechr. Chir. 233, 440 (1932); Pathologisch-anatomische Grundlagen zur Insuffizienz vertebrae 28. Kongr. Dtsch. orthop. Ges.; Umbauungen an den Dornfortsätzen kypnotischer Wirbelsäule aus Ursache von Schmerzen. Fortsch. Röntgenr. 49 639 (1933); Weitere Beobachtungen über das Drehgleiten an skoliotischen Lendenwirbelsäulen älterer Leute und seine Bedeutung für die Unfallbegutachtung. Arch. orthop. Chir. 23, H. 1 (1933); Die Diagnose der funktionellen Wirbelsäulenstörungen. Dtsch. med. Wochr. 1930 I 813; Die Formen des Ausmittelsbeckens und seine Bedeutung für die isolierte Osteochondrose der letzten Lenden-Bandsehne. Diss. Frankfurt/M. 1931. — Müller W. u. H. t a r W.: Familiäre generalisierte Osteochondritis dissecans zahlreicher Gelenke und der Wirbelsäule. Dtsch. Zechr. Chir. 211 795 (1932). — Müller H. t p b n n H.: Zum Krankheitswert der Spondylolisthese. Orthopädie 1935, 190. — Müller W. u. Z w g H.: Röntgenologisch-metrische Untersuchungen über Form und Stellung des Kreuzbeins mit Beobachtungen über die Entstehung der Spondylolisthese. Beitr. klin. Chir. 149 155 (1929). — Mun W.: Seltsame Frakturen der beiden oberen Halswirbel. Diss. Freiburg i. Br. 1933. — Mull W.: Kompressionsfraktur der Lendenwirbelsäule durch geringfügiges Trauma. Ref. Zbl. Chir. 1927 439. — Munro: Angeführt nach Gold. — Munro J.: Die Behandlung der Spondylarthrit. ankylositica mit Haxeton-Senarthritis. Monch. med. Wochr. 1931 102. — Murphy J.: Lumbar intervertebral disc protrusion contralateral: the side of symptoms and signs. Amer. J. Röntgenol. 61 77 (1919). — Musgrove: Persistence of the notochord in the human subject. J. Anat. Physiol. 25. — Muth m n n A.: Über einen seltenen Fall von Gefäßgeschwulst der Wirbelsäule. Virchows Arch. path. Anat. 172, 343 (1903). — Muth hl bn A.: Seltenere und weniger beachtete Ursachen für die Entstehung von Hitzegutverkrümmung. Zechr. orthop. Chir. 44, 133 (1927). — Mutschle: Die konservative Behandlung des schweren veralteten, kummelischen Bandscheibenprolapses. Therap. wochr. 1935, 458. — Müller M.: Über eine äußerst seltene Anomalie der Querfortsätze zweier Lendenwirbel. Ref. Zerg. Chir. 63 473 (1934).

N hl J.: Focal infection in spondylitis deformans. Arch. Surg. 20, 159 (1920). — Nagel: Angeführt nach W. Müller; Beitr. klin. Chir. 99 125 (1910). — Nagy G.: Über Giftpilzbildung bei Tetanus. Zechr. klin. Med. 140 434 (1934). — Nath m W.: Hyperphosphorämie unter dem Bilde eines Hirnstammwirbels. Röntgenpraxis 1931 994. — Naylor A. u. Sm D.: Fluid content of the nucleus pulposus: a factor in the disk syndrome. Brit. Med. J. 443, 973 (1932). — N L.: Chondrom der Wirbelsäule. Ref. Zerg. Chir. 60, 438 (1933). — N ff G.: Eine neue Methode der Wirbelsäulenentlastung. Langenbecks Arch. u. Dtsch. Z. Chir. 279 228 (1934). — Nugb e f F.: Zur Knochengelenkverwachsung der spondylolisthetischen Becken. Halle Dorpat 1942; Das acute Bruchtrauma spondylolisthetischer Becken. Arch. Gynäk. 83, 373 (1939); Zur Kasuistik des sog. spondylolisthetischen Beckens. Arch. Gynäk. 19 441 (1932); Ätiologie der sog. Spondylolisthese. Arch. Gynäk. 20, 123 (1937). — N g h m G.: Isoliert Abfraktur eines Halswirbelsdornfortsatzes durch indirekte Gewalt. Monch. med. Wochr. 1931 1259. — N um n H.: Behandlung der Spondylarthritiden rheumatischer und anderer Krankheitserregungen mit Chelonen. Wien. med. Wochr. 1931 II 1406. — N t d t: Wirbelgelenkverwachsungen. Klin. Wochr. 1932 I 744. — N n rth E.: Neurologic Complications of Osteoarthritis of the Cervical Spine. N. Y. Med. J. 101 333 (1934); Management of Spasms by Vertical Traction by means of Mechanical Table. Journ. of Rheumatism (London) 1934 Vol 10 No. 1. — N ebe Geyr L. L.: Spondylolisthesis, its causes and effect. Ann. Roy. Coll. Surg. 18, 305 (1937). — N h H.: Wirbelbrüche mit Lähmung. Verhandl. Internat. Kongr. f.

orthop. Chir. u. Traumatologie 1934 — Vi hol and Rhiff it Nichtvereinigt enorme Epiphysen a
 usteren Lendenwirbelgelenkfortsätzen. Ref. Zörg-gra Chir 68, 21 (1934) — Vie la L. Beitrag zur
 der traumatischen Spondylol deformans. Zbl. Chir 1934, 901 — Nicolini R. u. Pitt gal A. Ein
 von Wirbelsäulenbruch mit Kummellehern Symptomenkomplex. Ref. Zbl. Chir 1934, 1970. — Ved
 Angerföhrt nach Ruge — Vi din F Zur Kenntn i der normalen und pathologischen Anatomie
 Wirbelkörperveränderungen. Fortschr Röntgenr 46 8-8 (1932); Schallknochen in den Zwischenwirbel
 bra. Fortschr Röntgenr 4 70 (1932) — Vi ha H: Beitrag zur Entstehung des angeborenen
 Wirbels. Diss. Münster (Westf.) 1934. — Viem nn u. Peki Angerföhrt nach Lyon. — Ve n
 Die diagnostische Verwertbarkeit der Ruckenschmerzen. Zbl. Chir 1933, 2972. — Vi on i Angerföhrt
 Well. — Vi on n H. Die Frage der i umatischen Lumbago nach dem Material der Reicherversicher
 anstalt. Ref. Zörg-gra Chir 5 207 (1932); Richtlinien für die Behandlung der traumatischen Lumbago
 Zörg-gra Chir 61 543 (1932) — Vi l H. Über die tomographische Darstellung von Wirbeldysplasien. i
 Orthop. 80 227-232 (1931). — Vi t h P Drehigkeiten der nicht-dysplastischen Wirbelsäule. Arch. orthop.
 28, 86 (1932); Isthmus, Nucleus pulposus-Hernie und prälokale Überfüllung (Prodi). Chirurg 70 414 (194
 Völl r P Spaltbildungen an den Gelenkfortsätzen der Lendenwirbelsäule. Arch. klin. Chir 191 703 (192
 V d m m O Die Kreuzschmerzen" als Symptom chirurgischer Erkrankungen. Med. Klin. 1930 5
 Vi i n i Angerföhrt nach Rö kamp. — Vorlän O Isthmus und Diskushernie Klinische und chirurg
 Gesichtspunkte. Erg. inn. Med. u. F 2, 264-280 (1931) — Vorak C. Hemispondylia sagittalis. Ref. Zörg
 Chir 63, 478 (1933); Beiträge zur angeborenen Skoliose durch Halbwirbel. Ref. Zörg-gra Chir 60 338 (193
 V r k J: Zwei Fälle on Spondylolisthesis. Zbl. Gynäk. 1924, 302. — Vusbaum J: Querfortsatzfr
 oder Lendenrippe. Zbl. Chir 1921 3074 — Vuvoli Tat i Studio radiologico sull ossificazione della co
 vertebrale nel fet emano. Ann. radiol. 9 (1932).

Über O Über „Spondylol deformans“ der Halswirbelsäule. Dtsch. Zsch. Chir 16, 666 (1936) — Ob
 Spondylitis rhizomyelica. Ref. Zbl. Chir 1934, 2930 — Ode A. Wirbelkörperkompressionen durch Tet
 Zsch. Orthop. 88, 223-237 (1931). — Od lb g John n O A case of cervical spondylarthritia after
 mictetoma. Acta orthop. Scand. 2, 302 (1931) — Odén O Three cases of anomaly of the bodies of the vert
 in the cervical region. Acta radiol. (Stockh.) 15, 69 (1934). — Od sky J Zur Kasuistik der Spondylolithia n
 postica. Röntgenpraxis 1931 544; Über die Verknöcherung des Ligamentum intervertebrale. Arch. orthop. Chir 31
 (1932). — O hl ek F Über die chronische Form der Osteomyelitis insbesondere der Wirbelsäule. Zbl.
 Chir 124 1 (1925); Eine weitgehende Zerstörung des Kreuzbeins durch ein Fibrom, ohne wesentliche Ye
 ausfallerscheinungen. Zsch. Nervenk. 11 231 (1931); Ein Wirbelbruch mit einseitigen Lähmungen
 Ausnahmefall früh operiert. Zbl. Chir 1932, 1274; Über Klinik und Unfallbegutachtung der chronischen C
 myelitis der Wirbelsäule. Chirurg 4 473 (1932); Anregung zur Vereinfachung und Vereinheitlichung von h
 herfahrmannungen. Chirurg 1933 440-444; Osteodystrophia fibrosa generalisata (v Recklinghausen) und
 Chirurg 1934, 272-280; Beitrag zur Entstehung des Nadelkissen Syndroma. Medizinische W., 1673 (193
 O hm Strömungsvergiftung. Zeit path. Anat 49 248 (1910) — Oetting n E. v Zwei angeb
 Wirbelsäulenveränderungen. Röntgenpraxis 1932, 949; Die Erkennung der Wirbelbogenfraktur im Röntgen
 Dtsch. Zsch. Chir 211 471 (1932) — Ol age Die kinesiologischen des lumbosakralen Segmentes.
 Zbl. Radiol. 22, 3 (1936). — Oliv aa H The operative procedure in the intervertebral disk protus
 Act. radiol. (Stockholm) 22 743 (1941) — Oll u B av i La maladie humérale comme sander
 tes au. Ref. Zbl. Radiol. 14 599 (1933). — Ol son O Röntgendignostik polst of few on spinal tumor
 children. Acta radiol. (Stockh.) 9 280 (1918); Über eine Spaltenbildung in den Bogenwurzeln des 2. Le
 wirbels. Acta radiol. (Stockh.) 20, 244 (1918). — Oppenb m Angerföhrt nach Thoma. — Opp nh im r
 Diseases affecting the intervertebral foramina. Radiology 28 543 (1937). — Opp kofe E. Osteomyelitis
 2. und 3 Halswirbel nach Adenotomie. Zsch. Hals-Nas.-Ohrh. 33, 225 (1934). — Orsi H. Die Marmorier
 krankheit. Zbl. Radiol. 11 506 (1931). — Orth O i Das Chordom und seine differentialdiagnostische Bedeutung
 Chirurg 2, 91 (1930); Spondylolisthesis beim Geburtshindernis. Röntgenpraxis 8, 906 (1934). — O g od J
 föhrt nach Ruge. — O tap w u G Calcinos intervertebrale. Zbl. Chir 78, 536-540 (1931). — O t n O
 E. v d. Zur Lumbagofrage. Ref. Zbl. Chir 1934, 1388; Über osteochondropathische Kyphosen bei Jugendli
 und Kindern. Ref. Zbl. Chir 1934 1463; Über vordere Wirbelgelenke. Ref. Zörg-gra Chir 70, 180 (1934
 Ott A. Rückbildung einer Spondylitis lica nach Therapie. Klin. Med. (Wien) 5, 195-202 (1930). — Ott
 Unsere Erfahrungen über die Entstehung und den Verlauf der isolierten Querfortsatzfrakturen der Lendenwi
 belsäule. Zeit. klin. Chir 144 603 (1934); Frakturen der Wirbelkörper. Bruns. Zeit. klin. Chir 14 343 (11
 Pathologisch-histologische Untersuchungen der Lendenwirbelsäule eines wegen Bandscheibenhernie opera
 tierten Z. Orthop. 87 378 (1936) Quellenversuche mit operativ entfernten Bandscheibenhernien. Z. Ort
 84, 577 (1934). — Ott v Über die Spondylolisthesis peristotica. Schweiz. med. Wschr 1932, 790 — Ott E. 8
 dylitis posttraumatica. Diss. Münster 1917 — Otto E. Wirbel erkrankung und goldene Spinalleichen. H
 rtenpraxis 1932, 604 — Otton H P Röntgenbild eines Hämangioms des 11 Brustwirbels. Ref. Zbl. H
 22, 494 (1935). — Ov t n and Gho ml i Congenital fusion of the spine J Bone Surg. 16, 929 (1934)
 Ow n H rs y and Gu d j n Chordoma dorsalis of the cervical spine. Ref. Zbl. Radiol. 12, 645 (1932)

P r t b A Ein Beitrag zur Erblichkeit der Marmorierkrankheit. Röntgenpraxis 14 (193
 P g t Angerföhrt nach Schmidt P l g P Lokalisation des Fibrosus nuchalis in der Wirbelsäule. Ref. Zörg
 Chir 6 104 — P lm Angerföhrt nach Jarowich — P lt 181 O Spondylolisthese als Ursache Ha

- Alex. med. II N. 8, 4 203 (1937); Die halbostrische Spondylodystrophie. Ref. Zbl. Radiol. 27 616 (1935). — Palt. n. r. M.; Wirbelberkulos mit mehrfachen Herden. Ref. Zbl. Radiol. 20 533 (1935). — P. m. r. H.; Ein Fall von Vertebra plana (Calvé). Ref. Zbl. Chir. 1929, 3116. — Pampus F.; Generalisierte Osteomyelitis der Wirbelsäule. Chirurg. 1936 203. — P. p. R.; Über die Differentialdiagnose tabischer Wirbelveränderungen. Fortsch. Röntgenstr. 29 1066 (1929). — P. q. G.; Halbwirbelstele und Herz. Die cervicalen Vertebralesyndrome. Thieme Stuttgart 1934. — P. d. G. B. k. l. P.; Zur Pathogenese und Differentialdiagnose des Schulters Hand. N. med. Dtsch. Med. Woch. 1933, 1417. — P. r. e. v.; La roentgenotherapie nell'emangioma vertebrale. Radioterap. III, N. 8, 909 (1942). — P. o. v.; Angeführt nach Jacobl. — Part. h. C.; Über die gutartigen Riesenzelltumoren der Wirbelsäule unter Berücksichtigung eines eignen Falles. Dtsch. 1933, Rostock. — Partsch F.; Beitrag zum Krankheitsbild der kongenitalen Halbwirbelsynostose (Kurzhafe). Arch. orthop. Chir. 24 199 (1927). — P. a. i.; Die chirurgisch wichtigen Verletzungen nach Erkrankungen des Brustkorbes. Arch. klin. Chir. 166, 61 (1931); Zu normalen und pathologischen Anatomie und zur Pathologie des Brustkorbes. Beih. path. Anat. 87 839 (1931). — P. a. b. r. M.; Beitrag zur Kenntnis der Kompressionsbrüche der Wirbelkörper hinsichtlich der Diagnose, Behandlung und bleibender Erwerbsminderung. Mehr Unfallheilk. 53 90 (1933). — P. a. h. l. G.; Leukämische Knochenveränderungen. Klin. Woch. 18, 1430 (1934). — Pat. s. o. m.; Angeführt nach W. Müller. — P. r. a. l. G.; Zerstörungsvorgängen am Skelett im Verlauf leukämischer Erkrankungen. Beih. path. Anat. 68, 643 (1931). — P. u. F.; Fusions cervical vertebrae. J. Anat. 60, 228 (1934). — P. u. f. f. e. s. s.; Les symptômes neurologiques de la tuberculose des disques intervertebraux. Semaine Méd. 1932, 2204. — Pavlik A.; Ursachen und Behandlung der Wirbelerschlebung. Ref. Z. org. ges. Chir. 79 193 (1936). — P. a. i. r. k. J.; Fraktur der Querfortsätze der Lumbalwirbel. Ref. Zbl. Chir. 1929, 2030. — P. e. t. a. n. d. E. h. o. l.; Herniation of the nucleus pulposus. (A case of compression of the spinal cord.) Arch. Neu. Path. 22, 924 (1934). — P. n. y. b. a. c. k. J.; Die chirurgische Behandlung der Ischias. Arch. klin. Chir. 66 483 (1931). — P. a. m. a. n. J.; Zur Lehre der Spinalomegalie. (Diffuse Kapillär-endothelwucherung in Milz und Leber mit Kavernombildung in Milz, Leber und Wirbelkörper.) Frankf. Ztschr. Path. 14, 11 (1916). — P. n. h. l. H.; Indikation, Technik und Erfolge der operativen und konservativen Behandlung des Lumbago-Ischiasyndroms. Langenbecks Arch. u. Dtsch. Z. Chir. 261 150 (1935). — P. e. r. i. n. i. F.; Diskusherne bei Reumapathien. Z. Orthop. 82, 110 (1932). — P. r. e. y. O.; Contrast Medium Examination Of the Intervertebral Discs Of The Lower Lumbar Spine. Acta orthop. scand. 90, 227 (1931). — P. i. J.; Transosseal anterior discography examination. J. Internat. Coll. Surg. 22, 76 (1934). — P. i. m. a. n. R. and H. w. e. L.; Cervical spondylolisthesis. J. Bone Surg. 33-A, 1012-1013 (1931). — P. e. m. n. E.; On haemangiomas in the spinal column. Acta chir. Scand. (Stockh.) 61, 91 (1926). — P. i. t. i. D.; Die Röntgenzeichen der Anstellungsorgänge bei der Wirbelberkulos. Ref. Zbl. Radiol. 23, 490 (1935). — P. t. i. F.; Sul rapporto fra artrosi cervicali e disfunzione motora del farnge. Radiol. med. 34, 309 (1933). — P. r. u. i. A.; Sul trattamento conservativo della tuberculose osteoarticolare fistolizzata. Arch. orthop. 64 113-117 (1931). — P. e. o. t. et H. b. i. a. n. t. z.; Les malformations congénitales de la colonne vertébrale et les scolioses consécutives. Rev. méd. Suisse rom., Juli 1933. Ref. Zbl. Chir. 1933, 2704. — Petit D. t. i. l. l. i. et P. t. m. t.; Auswahl der besten Operationsmethode bei Ischias durch Diskusherne aus Untersuchungen von Spätergebnissen. Mém. Acad. chir. 73, 396 (1947). — Pétouard Ch.; Etude anatomique et clinique du cancer secondaire du rachis. Ref. Zbl. Chir. 1937 827. — P. t. i. d. i. P.; Ein Fall von Kummel'scher Krankheit. Ref. Fortsch. Röntgenstr. 40, 231 (1929). — P. t. i. e. H.; Über ein typisches Wurzelsyndrom bei Kompressionsfraktur des 2. Lendenwirbels. Ref. Zbl. Chir. 1929, 543; Das Ischiasyndrom unter besonderer Berücksichtigung des Diskusprolapses. Med. Klin. 1919, 23; Rheumatische Erkrankungen des Nervensystems unter besonderer Berücksichtigung des Diskusprolapses. Repert. Jb. Anat. Fortb. 1940 Band I. — P. u. g. n. s.; La spondylite traumaticque. Ref. Z. org. ges. Chir. 55, 183 (1931). — P. e. y. n. a. u. d. B. i. m. m. s.; Zwischen Hirnschichtenhernien. 90 F. d. Arch. Surg. 33, 271 (1947). — P. f. i. d. r. H.; Bau und Altersveränderungen der Wirbelsäule. Dtsch. T. bungen 1938. — P. h. m. i. t. r. D.; Effect of phosphorus on bone. J. Amer. Med. Ass. 70 1737 (1931). — Philipp E.; Röntgenologische Darstellung von Knochenkrankungen beim Lungenkarzinom. ad. h. Verlauf. Zbl. Gynäk. 1932, 45; Röntgenologische und anatomische Untersuchungen zum Kapitel des Kreuzschmerzes mit besonderer Berücksichtigung der Sakralisation. Ztschr. Geburtsh. 102, 223 (1932). — P. h. i. p. J.; The importance of examination of the spine in the presence of intrathoracic or abdominal pain. Ref. Zbl. Chir. 1929 1974. — P. H.; Die osteochondrotischen Veränderungen der Wirbelsäule und die operative Behandlung dieser Foklen. Chirurg. 1934, 92; Indikationsstellung zur operativen Behandlung bei Wirbelsäulekompression durch Osteochondrose. Zbl. Chir. 1946, 1739. — P. a. h. u. A.; T. o. s. s. i. W.; Diagnose und Therapie servikal-Handgelenkschmerzen. Dtsch. Med. Woch. 1933, 1189. — P. H. H. g. W.; Fehlbildungen der Rückenmarkshüllen im Lumbosakralbereich mit Wurzelschmerzen. Langenbecks Arch. u. Dtsch. Z. Chir. 261 84 (1935). — P. i. h. o. C.; Über der Wirbelkörper durch einen Lymphdrüsentumor (Lymphosarkom). Zbl. Radiol. 23, 496 (1935). — P. i. n. n. o.; Neuralgie infolge Verletzungen am lumbosakralen Teil der Wirbelsäule. Ref. Zbl. Chir. 1929 551. — P. h. l. A.; Anatomische und röntgenologische Studien über die Intervertebralsäule der Halswirbelsäule. Fortsch. Röntgenstr. 53, 629 (1935). — P. i. k. A.; Angeführt nach Lyon. — P. k. h. A.; Auffällende Entwicklung der Querfortsätze des 2. Halswirbels. Fortsch. Röntgenstr. 79 H. 6 (1935). — P. i. t. M.; Contribution à l'étude du spondylolisthésis. Ref. Zbl. Neur. 49 67 (1929). — P. i. l. k. t. A.; Die Halbwirbelstele als Krankheitsfaktor. Dtsch. Med. Woch. 1931 909. — P. t. k. a. n. d. P. h. n. t.; Darm-Kreuzschmerzen. Eine Untersuchung der Beweglichkeit des Kreuzbeins. J. Bone Surg. 13 343 (1934). — P. i. a. p. H.; Horizontale Aufbildungen in den Wirbelkörpern. Röntgenpraxis 1930 1122; Spondylit Ankylosica. Nordw. d. Ges. Innere Med. Kongressbericht 4. Tagung 1933. — P. l. a. n. t. H.; Zur Differentialdiagnose des posttraumatischen sekundären Wirbelkörperzerfallsbruchs und der Spondylitis vertebralis. Zbl. Chir. 1933, 1.30. — P. i. t. F.; Über die Anlagendauer der Spondylitis deformans. Fortsch. Röntgenstr. 18, 316 (1910/11). — P. i. m. a. K.; Zur Lokali-

- ation der Spondylarthralia deformans. *Zachr orthop. Chir* 53, 245 (1930). — Plus k r Totale Ankylose der Wirbelsäule (Bechterewtyp). *Ref. Zbl. Chir* 1930, 1031. — Podkamina kl \ N: Die ferment ti e Theorie der Entstehung von Arthritis und Spondylitis deformans. *Arch. klin. Chir* I 1 592 (1933); Röntgendiagnostik der Erkrankungen der Zwischenwirbelscheiben. *Arch. klin. Chir* 182, 35 (1933). — P gly n C. w. K l n R. Über intersegmentäre Diskushernien. *Z. orthop.* 81 561 (1932). — Pok rny L.: Wirbelsäulenveränderungen nach Tetanus. *Rheumatismus* 9 813 (1927). — Pol ler: Angeführt nach Fleck. — Polgar P.: Über intercaruelle Wirbelscheibenhernien. *Fortschr. Röntgenstr.* 40, 792 (1928); Zur Röntgensymptomatologie der juvenilen Osteochondritis dorsalis. *Fortschr. Röntgenstr.* 41, 813 (1930); Über Platwirbel (Platyspondylie Praevale Osteoporose). *Röntgenpraxis* 1931 246; Osteoporotische Wirbelerkrankung. *Fortschr. Röntgenstr.* 46, 204 (1937). — P rné et Ma t: Fixation des 5. Halswirbels nach vorn einschließlich des darüberliegenden Halswirbelabschnittes. Teilweise Kompression des 6. Halswirbels. *Ref. Zbl. Radiol.* 19, 188 (1933). — Poram r: Angeführt nach Gerth. — P rné A.: Valutazione critica del risul ti eliaci di osteolisi vertebrale, eseguite per sindrome dolorosa del tratto dorso lombare. *Arch. di Orthop.* 67 94 (1934). — Pool J.: The cervical disc syndrome: differential diagnosis and management based on twenty-six operated cases. *Bull. New York Acad. Med.* 99 47 (1933). — Popov \ Chronische Kreuzschmerzen als Folge von Nucleus-pulposus-Hernien. *Ref. Dtsch. Gesd. wsa.* 1948, 781. — P pp n 400 cases of herniated intervertebral disk. \ *England J. Med.* 232 11 (1943). — Porg s: Angeführt nach W. Müller. — Port l: Angeführt nach Lerehka. — P rmann A.: Wirbelsäulenveränderungen nach Tetanus. *Dtsch. Ztsch.* 1937. — Po satl A.: Röntgenbild des Wirbelsäulengrannuloms. *Ref. Zbl. Radiol.* 23, 493 (1936). — P tt H. u. No ero J.: Spondylolisthesis without isthmus defect. *Radiology* 63, 678 (1934). — P yana L.: La vertebra-plana. Localisation rachidienne du granulome éosinophilique. *Rev. Chir. orthopéd.* 40 5 (1934). — P rné A.: Beitrag zur Kenntnis der Echinokokken der Wirbelsäule. *Ref. Z. org. ges. Chir* 2, 107 (1933). — Prade Andr.: Beitrag zur Kenntnis der Entwicklung der Chorda dorsalis beim Menschen. *Rev. suisse zool.* 1913, 598; Die frühembryonale Entwicklung der menschlichen Zwischenwirbelscheibe. *Acta anat. (Schweiz)* 1917 69; Die Entwicklung der Zwischenwirbelscheibe beim menschlichen Keimling. *Acta anat. (Schweiz)* 1918 116. — Prate I.: Wirbelsäulenveränderung bei Brucellosis. *Ref. Z. org. ges. Chir* 80, 105 (1935). — P soh H.: Ischiasyndrom und periphere Durchblutungsstörung. *Med. Klin.* 1934 1319. — P i b tko u. M. kwin: Lokale Spondylitiden. *Ref. Z. org. ges. Chir* 69 74 (1923). — Pri Gint O.: Ungewöhnliche Ursache von Kreuzschmerzen bei einem Kind (Spondylolisthesis). *Med. Klin.* 1940 500; *Arch. orthop. Unf. II Chir* 48, 563 (1934). — Pr bst J.: Gewebekorrelationen in der Fetalentwicklung der Wirbelsäule. *Akademie der Wissenschaften und der Literatur. Jb.* 1942 (Mainz); Anatomisch histologische Untersuchungen über röntgenologisch nachweisbare Defekte (Spaltbildungen) fetaler Wirbelkörper im Zusammenhang mit Entwicklungsstörungen der Chorda dorsalis unter besonderer Berücksichtigung der Gewebekorrelation. *Morph. Jb.* 92, 4 u. 470 (1932). — P ok w ky: Angeführt nach Radt. — P ou t R.: A propos de la spondylit traumatique. *Ref. Z. org. ges. Chir* 36 153 (1931). — Pu kh uer: Angeführt nach Zerngulya. — Pusch l: Angeführt nach W. Müller. — Pusch l A.: Wirbelfrakturen nach leichtem Trauma und ihre Röntgendiagnostik. *Arch. klin. Chir* 142, 78 (1926). — Pu h l J.: Der Wassergehalt normaler und degenerierter Zwischenwirbelscheiben. *Reiz. path. Anat.* 84, 123 (1930). — Pugh: Angeführt nach Brailford. — Puhl H.: Über Spondylitis infectiosa. *Dtsch. Ztsch.* 1930, 172 (1930). — Puky F.: Die Rolle des Intervertebralen F. verknorpeltes bei Deformitäten der Wirbelsäule. *Ref. Z. org. ges. Chir* 91 453 (1937). — Pu h G.: Zur Frage der Wirbelkörperkompression durch Tetanus. *Zachr. orthop. Chir* 49, 446 (1927). — Puts har W.: Über Knorpelmasse in den Wirbelkörpern. *Verh. Dtsch. path. Ges.* 1927; Über Gefäßgeschwülste in der Wirbelsäule. *Zachr. Anat. Forsch.* I 403 (1929). — Putti \ Artritis intervertebrale e trauma. *Arch. antrop. crim.* 30 (Suppl.); Aspetti clinici, della degenerazione del disco intervertebrale. *Bologna* 19 1 (1933); Lombarthrit solitaria vertebrale. *Bologna* 1936. — Putti W.: Die angeborenen Deformaten der Wirbelsäule. *Fortschr. Röntgenstr.* 14 243 (1909/10); Les sclérotiques vertébrales. *Bruceles-med.* 22, 8 (1930); Spondylarthritis und Trauma. *Ref. Zbl. Chir* 1931 759; Klinische Betrachtungen über die Degeneration der Zwischenwirbelscheiben. *Ref. Z. org. ges. Chir* 64, 273 (1934). — Pusch V.: Vallole ha contatto nel vertebre nel sacro umano. *Boll. Soc. em-rom. chir.* Vol. 2 F I 1928; Costole cervicali aneurisma della succlaria. *Boll. Soc. em-rom. chir.* Vol. 2 F II 1936. — Putti u. Sc glietti: Technico dell'epidurotomia nella sacralizzazione della quinta vertebra lombare. *Ref. Zbl. Radiol.* 13, 633 (1932). — Puttini E.: Enchondrom des Querfortsatzes des ersten Lendenwirbels. *Ref. Zbl. Chir* 1928, 3007. — Put u F.: Über die Wirbelsäulenbrüche ohne Behinderung des Heranwachsenden. *Ref. Z. org. ges. Chir* 62, 33 (1933). — Pusepp L.: Zwei Fälle von Enchondromen der Lendenwirbelsäule mit Gefäßkrämpfen der Füße. Chirurgische Abtragung und völlige Heilung. *Ref. Z. org. ges. Chir* 71 446 (1923). — Pytel u. R j v \: Die Klippel Feilens Krankheit. *Ref. Z. org. ges. Chir* 53, 329 (1931).

Qu intan P.: Fractures of the transverse processes for the lumbar vertebrae. *Arch. Surg.* 19 969 (1919). — Qu v in, de A.: A propos de la spondylit traumatique. *Congr. franc. Chir* 29 Reun. Paris 1930. — Quin k: Angeführt nach Lj. os.

R f and H gland: Result of operations for lumbar protruded intervertebral disc. *J. Neurosurg.* 6, 160 (1941). — R bl C.: Fur und wider das Stützband der Wirbelsäule. *Klin. Woch.* 1927 1230. — R d v C.: Über spinale Erbsen bei Arthritis deformans der Wirbelsäule. *Klin. Woch.* 1927 1230. — R dt P.: Chronische Osteomyelitis der Wirbelsäule und des Kreuzbeins Mitt. Grenzgeb. *Med. Chir* 41 349 (1917/18). — R d l u A.: Ein seltener Fall von vollständiger Missbildung der Wirbelsäule ohne funktionelle Störungen. *Ref. Z. org. ges. Chir* 61 560 (1933). — R ne J.: Intervertebral disc hernies (vacuum intervertebral disc). *Amer. J. Roentgenol.* 70 944 (1932). — R l v and Hunt: Chronic posttraumatic headache and the syndrome of cervical disc lesions.

- Ribbert: Haverhom eines Brustwirbelskörpers mit multiplem Haverhomen der Leber. *Dtsch. med. Wochr.* 1912, 390. — Ricard et Glard: Angeführt nach Boenk. — Richards and Singleton: Giant cell tumors of the spine. *Radiologie* 30, 43 (1933). — Riordan: Die bruchlose Spondylitis. *Fortschr. Röntgenstr.* 73, 333 (1930). — Rintama L. u. A. J.: Calcinosia intervertebralis. *Ref. Zbl. Chir.* 1929 3116. — Rissler L.: Kompressionsfraktur. With report of roentgenologically proved case. *Amer. J. Roentgenol.* 23, 749 (1931). — Rissler und L. M. Quas: Multiple Pott'sche Osteomyelitis. *Ref. Zbl. Radiol.* 15, 439 (1933). — Rissler und L. M. Quas: Multiple Lokalisationen an der Wirbelsäule. *Ref. Zbl. Radiol.* 15, 339 (1933). — Ritter U.: Fehldiagnosen und Gefahren der Perikardiotomie. *Fortschr. Röntgenstr.* 73 339 (1931). — Rix and Geschickel: Tumor of the spine with consideration of Ewing's a review. *Arch. Surg.* 38, 699 (1928). — Roaf R.: Retrospodyloarthrosis: a cause of paraplegia. *Lancet* 1933, 123. — Robb G. O.: Spinal deformity following tetanus and its relation to juvenile Kyphosis. *J. Bone Surg.* 19 603 (1937). — Robert A.: Congenital bence of the odontoid process resulting in dislocation of the atlas on the axis. *J. Bone Surg.* 15, 938 (1933). — Robertson and P. Her: Herniation of Nucleus pulposus. Refinement in operative technique. *Surgery (Amer.)* 18 68 (1945). — Robertson: Angeführt nach Ruge. — Robinson and G. Imm: The sacrovertebral angle: its measurement and the clinical significance of its variations. *Arch. Chicago* 11 911 (1923). — Robinson Stone Jr. and Elliot H.: Cervical rips. *West J. Surg.* 42, 293 (1931). — Rowell: Angeführt nach Martin. — Roche B.: The pathology of neutral-arch defects. *J. Bone Surg.* 31 A, 529 (1949). — Robb H.: Kyste hydatique du rachis. *Rev. orthop.* 1929 128; Spondylolithese. *Ref. Zbl. Chir.* 1931 470; La spondylite traumatique ou maladie de Kummell. *Veracul. Ref. Zerg. ges. Chir.* 46, 154 (1931). — Rohd H. et Roudil: Spondylolithesis et kordose essentielle. *Ref. Zerg. ges. Chir.* 4 694 (1920); Contribution à l'étude des malformations du sacrocoecygia. *Bordeaux chir.* 4 315 (1931). Hernies nucléaires et épiphysaires vertébrales dans la cyphose des adolescents. *Bull. Soc. radiol. méd. France* 20 235 (1932). — Rodd F.: Die neurologischen Syndrome bei lumbalen und cervikalen Bandscheibenerkrankungen. „Musterschmidt“ Verlag Göttingen 1931. — Rodd F. et Glard: La spondylite; ses causes et ses conséquences. *Presse méd.* 1933 II, 1830. — Roederer et B. Intign: Die röntgenologischen Veränderungen der beginnenden Skoliose. *Ref. Zbl. Radiol.* 22, 434 (1936). — Röhm K.: Zur neurologischen Diagnostik des Bandscheibenvorfalles. *Dtsch. med. Wochr.* 1932, 814—815. — Röhm H.: Über knöchernen Veränderungen im Lumbosacralabschnitt der Wirbelsäule und ihre röntgenologische Darstellung. Ein Beitrag zur Pathologie und Diagnostik der Kreuzschmerzen. *Arch. orthop. Unfall-Chir.* 44 633—644 (1931); Zur konservativen Behandlung des lumbalen Bandscheibenvorfalles. *Therap. wochs.* 1932 456. — Röhm K.: Grenzformen der Entzündung. *Klin. Wochr.* 1931 I, 769. — Rövekamp Th.: Die Verkalkung der Zwischenwirbelscheiben und ihre klinische Bedeutung. *Röntgenpraxis* 1930 104; Einseitige Sakralisation der gesamten Lendenwirbelsäule. *Röntgenpraxis* 7 H. 8 (1933). — Rövig G.: Rupture of lumbar disks with intraspinal protrusion of the nucleus pulposus. *Acta chir. Scand.* 99 175 (1949). — Rogg H.: La spondylite métastocécigie (Spondylitis beim Maltzfeber). *Ref. Zbl. Chir.* 1927 87. — Rohde: Mehrere Röntgenbefunde an der oberen Wirbelsäule und ihre Abgrenzung gegen Verletzungsfolgen. *Arch. Klin. Chir.* 148 123 (1934). — Rohm K.: Fluorographie. *Erg. inn. Med.* 57 822 (1939). — Rohb H. A.: Die Bedeutung des 5. Lendenwirbels. *Munch. med. Wochr.* 1929, 692. — Rohrlin H. O.: Primäres Sarkom der Wirbelsäule. *Röntgenpraxis* 1931 208; Statistik über Tumoren des Rückenmarkes. *Arch. Klin. Chir.* 148 123 (1934). — Rohm K.: Erfahrungen über drei Jahre Chiropraktik. *Arzt. Prax.* Nr. 4 v. 13. 10 55. — Roith O.: Die Beobachtung der Blutung bei Lumbektomie wegen des ernsten Angioms der Wirbel. *Zbl. Chir.* 1931 3078. — Rokhlin R. N. bach wa et Ma kowa St. G. nowa: La cyphose des adolescents. *Recherches pathologiques J. radiol.* 20, 246 (1936). — Rokk A. ky C.: Lehrb. d. pathol. Anatomie. Wien 1934. — Rollston and F. nk u.: Angeführt nach W. Müller. — Romau R.: Pelvo-spondylitis ossificans in the male. *Act. med. scand.* (Stockh.) 143, Suppl. 288 1932, 8, 368. — Romau R. u. Ydén S. (1937): Diskography in ankylosing spondylitis. *Acta radiol. scand.* 34, 431 (1932). — Ron y R.: Zustände im Bereich des unteren Teiles der Wirbelsäule. *Arch. Surg.* 53, 87 (1947). — R. of P.: Innervation of anulus fibrosus and posterior longitudinal ligament. *Arch. Neurol. Psychiatr.* 44 100 (1940). — R. of P.: Spinal cord and Gr. n. n. Angeführt nach Köhke. *Dtsch. med. Wochr.* 194 356. — R.: Angeführt nach W. Müller. — R. O. G. u. M. t. g. m.: Schattengebende Herde in der Wirbelbandscheibe. *Chirurg.* 1939 19; Knorpelnoten im Wirbelkörper und Trauma. *Chirurg.* 2, 418 (1930). — R. abe g. E.: Die erschwerenden Formen der menschlichen Wirbelsäule und ihre Bedeutung. O. Fischer, Jena 1928. — R. abe g. E.: Angeführt nach Radt. — Roh R.: Vertebrae in Hodgkin disease. *Radiology* 26, 434 (1936). — R. let E.: Contribution à l'étude de la Vertebra plana osteoporotica. *Radiol. clin.* (Bav.) 14, 371 (1919). — R. l. Angeführt nach Martin. — R. l. de Sacralisation de la 5. lombaire. *Chir. org. movim.* 1918. — R. toek P.: Das Verhalten der Zwischenwirbelscheibe bei Wirbelfraktur und Wirbelberkuloze. *Dtsch. Zschr. Chir.* 112, 201 (1928); Röntgenologische Differentialdiagnose der Folgezustände erschwerender Erkrankungen und Frakturen der Wirbelsäule. *J. p. dtsch. Zschr. Wiss. u. Techn.* 1929 H. 12; Die traumatischen Erkrankungen der Wirbelsäule. *Bruns Beitr. Klin. Chir.* 159 313 (1934). — R. t. abe g. J.: Die chirurgische Anatomie der spongösen Substanz der Wirbelkörper und des Pathogenes der Wirbelsäuleneosomyelitis. *Ref. Zbl. Chir.* 1927 1918. — Roth abe g. S. mut M. nd l. hn. H. u. P. tn m. T.: The effect of lig. traction on ruptured intervertebral discs. *Surg. ect.* 96, 564 (1932). — Ro o a M. hl a Z.: Ein Fall Lumbosacraler Wirbelsäulenerkrankungen (Plat. spondylitis nach Pott). *Ref. Zerg. ges. Chir.* 4 245 (1932). — R. b. sch. a. A.: Über den Processus lateralis der Lendenwirbel und spez. über den Proc. styloides (im Röntgenbild). *Fortschr. Röntgenstr.* 4 163 (1933). — R. b. nt n. M.: Multiple myeloma in 15 year old boy. *N. Y. Med. J.* 44 191 (1941). — Ru k. t. F.: Die normale Entwicklung des Knochensterns im Röntgenbild. *Radiol. Prakt.* 13 Leipzig 1931. — Rutt A.: Die Skoliose bei der Neurofibromatose. *Hecklgraben (NII)*

und die Bedeutung des Unfalles für diese Krankheitsbild. Arch. orthop. Unfall-Chir. 46, 633 (1934). — Rug E.: Die geschlossenen Verletzungen der Wirbelsäule. Erg. Chir. 26 (1933); Die Wirbelsäule in der Unfall heilkunde. Mehr. Unfallh. 14, 1934 (Berlin). — Ruggie I. F.: Osteitis fibrosa cystica lokalisiert der Lendenwirbel säule. Ref. Z. orthop. Chir. 69, 240 (1934). — Ruggie: Angeführt nach W. Müller — Rein u. A.: Über Spondy lokolithe. Dtsch. Kölligsberg 1932. — Rummel H.: Über eine seltene auch roentgenologisch bemerkenswerte Ursache von Kreuzschmerz. (Spangenbildung nach Spondylitis typhosa.) Fortsch. Röntgenstr. 24, 348 (1929). — Rummel H. dt.: Über 78 Fälle von Spondylitis tuberculosa aus den Jahren 1907–1927. Arch. klin. Chir. 160, 771 (1930). — Ry hlik A.: Hypophose nach Tetanus. Ref. Z. orthop. Chir. 68, 197 (1934). — Rydén A.: Zwei Fälle von Spondylkolithen. Ref. Zbl. Chir. 1931, 428; Spondylitis deformans of the cervical spine as a cause of so called brachial neuralgia and other neuralgiform pains. Acta orthop. Scand. 3, 49 (1934). — Ryzow J.: Varianten, Anomalien und Deformationen der Wirbelsäule. Ref. Z. orthop. Chir. 59, 543 (1932).

Saban A. mit Bick I. W. u. Moe J.: Über die Osteo-Osteome der Wirbelsäule. Amer. J. Surg. 91, 840 (1930). — Sabin G.: Some interesting fracture of the spine. N. England J. Med. 205, 1031 (1931). — S h A.: Angeführt nach Merklin. — Saker O.: Röntgenologische Darstellungsmethoden und Indikationen der hinteren Band scheibenprolapsen. Nervenzentr. 20 (1930); Zur Genese des Halswirbelsäulenprolapses und der Behandlung des gestielten Anteils mit Hydrarg. Nervenzentr. 1931, 333; Schädeltrauma und Halswirbelsäule. Dtsch. Med. Woch. 1934, 847. — Salotti: Angeführt nach Ruggie. — S litykow S.: Über das Angiom der Wirbelsäule. Verh. Dtsch. path. Ges. 370 (1909). — S lvat I. G.: Beitrag zur Kenntnis der Dauererfolge nach Sympathektomie bei kylo-derivierender Spondylarthrose. Ref. Zbl. Radiol. 23, 497 (1935). — S nd hl C.: Über indirekte Frakturen an den Proc. spinosi der unteren Hals- und oberen Brustwirbelsäule. Acta chir. Scand. 64, 171 (1931); Beitrag zur Kenntnis des allgemeinen Vorkommens des Hämangioms in der Wirbelsäule. Acta chir. Scand. 63, 63 (1931). — S ndhe g L.: Atlas und Axis. Hippokrates-Stuttgart 1935. — S nd r D.: Die Wichtigkeit der Schicht- und Aufnahmeanalyse zur Darstellung von Veränderungen der obersten Halswirbel. Röntg. Blätter 70 (1934). — Sand f t.: Angeführt nach W. Müller. — S ndström O.: Multiple Spondylitis bei Febris undulans Bang. Act. radiol. (Stockh.) 18, 33 (1937). — Sant J.: Giant cell tumor of the spine. Ref. Zbl. Chir. 1930, 2763. — S u h nka V. u. Ch obj a F.: Nucleographie (Dikographie) der Zwischenwirbelscheiben der Lenden wirbelsäule. Chirurgie, Moskau 1934, 253. — S hin D.: Intervertebral disk extension into the vertebral bodies and the spinal canal. Arch. Surg. 22, 537 (1931); Ref. Z. orthop. Chir. 58, 539 (1932); Relation of pathologic changes of the intervertebral discs to pain in the lower part of back. Arch. Surg. 22, 932 (1936). — Savas M.: Scoliosis congenita par hemiplegia de la dermoche vertèbres lombaires. Ref. Z. orthop. Chir. 68, 637 (1934). — S l A.: Lumbago arthritis lumbosacralis. Wien. klin. Woch. 1935 II, 1131. — Scaglietti O.: Indicazione linche alla cura chirurgica delle sacralizzazioni dolorose della vertebrae. considerazioni sul risultato. La Chirurgia 18 V (1933). — S ha bt kn lde H.: Der hintere Bandscheibenprolaps in seinen klinischen Auswirkungen. Fortsch. Röntgenstr. 31, 107 (1936). — S hbf V.: Die Genese der Osteoporose. Allg. path. Ber. 1931 II, 8. — S h ff J.: Die Rückenweft der Säuglinge nach der Geburt nebst Bemerkungen über den Bau und Verknöcherung der Wirbel. Sitzb. Ber. Akad. Wiss. Abt. 3, 409 (1910); Bemerkungen über die feineren Vorgänge bei der Verknöcherung der Wirbel. Sitzb. Ber. Wiss. Abt. 3, 443 (1910); Lehrbuch der Histologie und Histogenese. Leipzig 1922. — S h Jowl F.: Contributo alla struttura microscopica alla patologia del dischi intervertebrali nel giovane. Chir. org. moriva. 21 Fasc. I (1938 = XVII). — S han A.: Die Lehre von den statischen Inaktivitätskrankheiten mit besonderer Berücksichtigung der Inaktivitäts vertebrae. F. Enke Stuttgart 1921; Zur Kenntnis der Spondylitis de formans. Zentr. orthop. Chir. 53, 42; Wirbelsäule und Aorta. Zentr. orthop. Chir. 53 (1930); Zur Beurteilung und Be handlung des Wirbelbruchs. Arch. klin. Chir. 163, 292 (1930); Wirbelsäule und Bauch. Zbl. Chir. 1930, 1098; Der Bauch als Hülforgan der Wirbelsäule. Zur Prophylaxe der Inaktivitäts vertebrae traumatica. Arch. Chir. 29, 245 (1931); Spondylitis deformans. Arthritis deformans und Schmerzen. Münch. med. Woch. 1930 I, 94. — S h pl A. G.: Klinische und röntgenologische Beiträge zum Studium der Veränderungen des Durae Intervertebralis. Ref. Z. orthop. Chir. 69, 638 (1934). — Beharal h.: Wirbelbrüche und Tetanus. — S h d f F.: Der 5. Lenden wirbel im Röntgenbild. Fortsch. Röntgenstr. 1, 333 (1911); Die Hypophose vom klinischen Standpunkt. Münch. med. Woch. 1930, 1871; Die Frühbehandlung der Skoliose. Zentr. orthop. Chir. 58, 569 (1932); Zur Operation der Skoliose. Arch. klin. Chir. 172, 773 (1933). — S h ldt R.: Die Schickel aufgerichteter Wirbelkörper. Mehr. Un fallh. 23, 140 (1930); Zur Technik der Wirbelfrakturbehandlung. Untersuchungen über die Bedeutung des Einflusses des Axialdruckes. Langenbeck. Arch. klin. Chir. 289, 300 (1931); Über das Schickel aufgerichteter Wirbel frakturen. Mehr. Unfallh. 1930, 140. — S h dt R. u. Prin F.: Behandlung der Impressionsfraktur der Wir belkörper. Chirurg 1931, 110. — S h ll H.: Zur Diagnose des lumbalen Drucks-Prolapses. Dtsch. med. Woch. 1930, 49.

49: Kritische Bemerkungen zur Klinik des lumbalen Drucks-Prolapses und verwandter Krankheitsbilder. Dtsch. med. Woch. 1930, 364. — S h B. R.: Zur Indikation und Technik der Albee-Quervainchen Operation. Schweiz. med. Woch. 1931, 33; Operative Hedung on Skibowen mit lumbosakralen Mit. ihrer Ursache. Verh. Dtsch. orth. Ges. 18, 469; Spondylolithe (Spondylolithen) annehmen, sacrum acutum, sacrum crassum, regio lumbosacralis als häufige Ursache für Kreuzschmerzen. Zentr. orthop. Chir. 50, 304 (1929); Spondylitis anterior superficialis. Schweiz. Zentr. T. heil. 4 (1917). — S h re L.: Beitrag zur Kasuistik der Wirbelangiome mit Kompression des Rückenmarkes. Beitr. path. Anat. 20, 321 (1933). — S h re h w ky S.: Die Bedeutung der Röntgenunter suchung für die Erkennung beginnender deformierender Prozesse an der Wirbelsäule. Z. physikal. Therap., Bilder Kluszh. 25, II, 4. — S h rti n.: Über die häufigsten Anomalien der Hirsnbasis. Hirsnbasis. Fortsch. Röntgenstr. 24, II, 3 (1929). — S h r f.: Die klinische Bedeutung des präkranialen Überganges eines Glieds auf der Spina basalis, der beiden häufigsten kranio-basalen Anomalien am Sakral-schädelabchnitt. Bruns. Woch. 1935, 329 (1935).

- Sch w e m m e n H.: Kyphosis dorsalis juvenilis. *Zachr. orthop. Chir.* 41 305 (1911); Zur Röntgen-symptomatologie der juvenilen Osteochondritis dors. Fortsch. Röntgenst. 44 233 (1931); Die Intervertebralseiben. *Ref. Chir. orthop.* 62, 516 (1933); Röntgenologische studies of the origin and development of juvenile kyphosis, together with some investigations concerning the vertebral spine in man and in animals. *Arch. orthop. Scand.* 6, 161 (1934); Kyphosis juvenilis (Schwermann Krankheit). *Fortachr. Röntgenst.* 43, H. 1 (1934). - S h i d t E.: Beitrag zur Oestifikation der Wirbelsäule Langenbeck. *Arch. u. Dtsch. Z. Chir.* 260 41 (1933). - S h i d t M.: Ein Fall von Spondylitis lumbica. *Dtsch. Köln* 1931 - Schliebl M. Querfortsatz brüche der Wirbel. *Ref. Zbl. Chir.* 1931 439 - Schiffa. Angeführt nach W. Müller - Schilbach J. Die Entwicklung der juvenilen Kyphose. *Zbl. Chir.* 1937 906. - Schiller u. Alt. hult: Erfahrungen über Wirbeltuberkulose. *Röntgenpraxis* 1933, 481 - Schlagint D. Randzacken der Halswirbelsäule. *Arch. orthop. Chir.* 22, 336 (1933). - Schlin H. Fortschritt in der Röntgendiagnostik der Wirbelsäule. *Wien. klin. Woch.* 1935 I, 321 - Schlin B. n. h. u. Friedl. Lehrbuch der Röntgendiagnostik. Leipzig 1932. - S h i n u. U. hling r. Zur Diagnose Differentialdiagnose Prognose und Therapie der primären Geschwülste und Zysten des Knochensystems. *Erg. med. Strahlenforsch.* 5, 344 (1931). - S h i n h. t. k. l. Zur Behandlung der Wirbelfrakturen. *Zbl. Chir.* 1931 538; Zur Wiederaufrichtung frakturierter Wirbelkörper. *Zbl. Chir.* 1934 706 - S h i n g e n h. u. F.: Über Wirbelkörperwund. (*Osteomyelitis*) Beitr. path. Anat. 66 (1920). - Schlayer: Über chronische Wirbelsäulenerkrankung. *Fortachr. Röntgenst.* 10 261 (1906). - S h i g l. K.: Die biologische Bedeutung der jugendlichen Kyphosen. *Med. Klin.* 1933, 917; Über Wert und Wertlosigkeit der Behandlung von Adoleszentenkyphosen. *Arch. orthop. Chir.* 43, 660 (1933); Das kumbale Syndrom. *Med. Klin.* 1934 1929; Zur Ätiologie der Dyskopathien. *Med. Klin.* 1934, 1159; Die praktische Bedeutung der Funktionsdiagnostik der Wirbelsäule im Röntgenbild. *Med. Klin.* 1936, 1563. - Schling. Angeführt nach Thoma. - Schloffer H. Luxationen der Wirbelsäule. *Ref. Zbl. Chir.* 1931 1845; Erfahrungen über Relaminektomien. *Med. Klin.* 1933 II, 1633. - S h l u t. K.: Infektspondylitis nach paravertebraler Infiltration. *Fortachr. Röntgenst.* 82, 357 (1935); Über Spondylolisthese der Halswirbelsäule. *Med. Klin.* 1936, 1018; Wirbelverachlung in der Lendenregion. *Wirbel. in Forsch. u. Prax.* 1 107 (1934); Über Fibiluretektionen von Röntgenbildern der Wirbelsäule. *Brunn Beitr. klin. Chir.* 191 237 (1933). - Sehm. Jewitsch. Zur Frage der Spondylolysis. *Zachr. orthop. Chir.* 35, 378 (1931). - S h m i d. P. Zur Entstehung der Adoleszentenkyphose. *Dtsch. Med. Woch.* 1919 7961 - Schmidt: Grundlegendes über die Skoliose und ihre Behandlung. *Verh. Dtsch. Orthop. Ges.* 1934 195 und 232. - S h m i d. P. Zur Entstehung der Adoleszentenkyphose. *Dtsch. Med. Woch.* 1919 793. - Schmidt P.: Ein Beitrag zur Osteodystrophie generalisata (v. Recklinghausen.) *Röntgenpraxis* 1922, 59; Über Verletzungen der vorderen Wirbelkörperanten. *Zachr. orthop. Chir.* 40, 596 (1933). - S h m i d. M. B. Rachitis und Osteomalazie. *Handb. path. Anat. u. Histol.* Bd. 9 I Berlin 1929 - S h m i d. M. H. Über progressive Wirbelsäule und Virchow's Arch. path. Anat. 57, 373 (1929). - S h m i d. n. V. Die operationelle Chirurgie der Wirbelsäule. *Arch. klin. Chir.* 102, 368 (1930); Trauma und Wirbelsäule. *Munch. med. Woch.* 1930 1991; Bericht über das Hauptvortrag des Chirurgenkongress 1930. II Chirurgie der Wirbelsäule. *Munch. Unfallk.* 1931, Beih. 8. Über die Versteifungsoperationen nach Hohl-Albee an der Halswirbelsäule. *Arch. klin. Chir.* 170 89 (1932). - S h m i d. n. u. M. h. l.: Erfahrungen bei der Begutachtung von Wirbelbrüchen. *Chirurg.* 1931 I - S h m i d. a. u. R. l. an.: Wirbelsäule und Unfall. *Ver. bl. path. Anat.* 45 (1933). - Schmincke A. Zur Sektionstechnik der Wirbelsäule. *Zbl. Path.* 47 177 (1930). - S h m i n. k. e. u. S. a. n. t. o.: Zur normalen und pathologischen Anatomie der Halswirbelsäule. *Zbl. Pathol.* 53, 369 (1932). - Schmitt H. Ernährungszustand im Knochen des Erwachsenen. *Med. Klin.* 1931 II, 113; Periostreaktion als einigmal anfängliches Zeichen einer akuten Wirbelosteomyelitis. *Fortachr. Röntgenst.* 71 106 (1949). - S h m i t. H. u. W. l. P.: Die Schilperkrankheit bei Jugendlichen. *Langenbeck. Arch. klin. Chir.* 263, 333 (1931). - Schmorl G. Über die an den Wirbelbandscheiben vorkommenden Ausdehnungs- und Zerfallsvorgänge und die dadurch an ihnen und der Wirbelsäule hervorgerufenen Veränderungen. *Verh. Dtsch. path. Ges.* 22. Tag. 250; Zur Kenntnis der Ostitis fibrosa. *Verh. Dtsch. path. Ges.* 1926; Die pathologische Anatomie der Wirbelsäule. *Verh. 21. Kongr. Dtsch. orthop. Ges.* 1927; Über Chondrost. im den Wirbelkörpern. *Zbl. Chir.* 1928, 2305; Über bisher nur wenig beachtete Eigentümlichkeiten auswachsender und kindlicher Wirbel. *Arch. klin. Chir.* 150 420 (1928); Zur Kenntnis der Wirbelkörperprephyse und der an ihr vorkommenden Verletzungen. *Arch. klin. Chir.* 153, 35 (1928); Über Knorpelknötchen an den Wirbelbandscheiben. *Fortachr. Röntgenst.* 34, 263 (1928); Verkalkung der Bandscheiben der Wirbelsäule. *nebst Bemerkungen über das Verhalten der Bandscheiben bei infektiöser Spondylitis.* *Fortachr. Röntgenst.* 39 10 (1929); Zur pathologischen Anatomie der Wirbelsäule. *Klin. Woch.* 1929 1243; Bemerkung zu der Arbeit von Brack über Wirbelbandscheiben. *Virchow. Arch. path. Anat.* 274 80 (1929); Über Knorpelknötchen an der Hinterfläche der Wirbelbandscheiben. *Fortachr. Röntgenst.* 39 629 (1929); Die Pathogenese der juvenilen Kyphose. *Fortachr. Röntgenst.* 41 339 (1930); Über abnorme Färbungen der Knochensubstanz. *Virchow's Arch. path. Anat.* 273, 13 (1930); Zur Sektionstechnik der Wirbelsäule. *Zbl. allg. Path.* 49, 7 (1930); Zur Kenntnis der Ostitis deformans Paget. *Verh. Dtsch. path. Ges.* 1930; Über die pathologische Anatomie der Wirbelbandscheiben. *Brunn Beitr. klin. Chir.* 151 360 (1931); Beiträge zur pathologischen Anatomie der Wirbelbandscheiben und ihre Beziehungen zu den Wirbelkörpern. *Arch. orthop. Chir.* 29 369 (1931); Zur Kenntnis der Ostitis deformans Paget. *Fortachr. Röntgenst.* 43, 202 (1931); Bemerkungen zu der Arbeit von Max zur Frage der Pathogenese bzw. der pathologischen Anatomie der Adoleszentenkyphose. *Zachr. orthop. Chir.* 53, 774 (1931); Zur Technik der Knochenuntersuchung. *Bemerkungen zur Diagnose der Ostitis deformans Paget, Ostitis fibrosa v. Recklinghausen und Osteoporose.* *Beit. path. Anat.* 67 585 (1931); Kyphosis adolescentum. *Bemerkungen zu der gleichnamigen Arbeit von Boersma.* *Arch. klin. Chir.* 184, 806 (1932); Beitrag zur Kenntnis der Spondylolisthese. *Dtsch. Zehr. Chir.* 237 422 (1932); Über Verletzungen am Bandscheibengewebe und ihre Folgen. *Arch. klin. Chir.* 17., 210 (1932); Zur pathologischen Anatomie der Lendenbandscheiben. *Klin. Woch.* 1932 II, 1369 - S h m i. J. Jung

der operation. Surg. (St. Louis) 25 4 1 (1934) - 8 g. G.: Posttypische Spinal Läs. Ref. Z. orth. Chir. 60 112 (1933); Posttraumatische Arthritiden der Wirbelsäule. Ref. Zbl. R. diol. 14 112 (1933). - 8 g. M.: Formen der osseären Dislokation lokalisiert alle vertebrae lombales et lumbales. Radiol. Sci. med. II 7 4 133 (1937). - Rehr E.: Die Bedeutung des Faserbündels und der Knochentransplantation für die Behandlung der kranken Wirbelsäule. Zbl. Chir. 1932, 71 - 8 f. f. G. P. Pathologische Anatomie der Wirbelsäule. Orthopädie 1933, 61 - 8 f. f. u. Schmidt K. b. l. Zu Entstehungsweise der Spindyllose deformans. Arch. orthop. Chir. 22, 30 (1933). - Reil H.: Betrachtungen zur Osteoporose der Wirbelsäule. Zugleich ein Beitrag zur Frage der Hangerostopathie. Arch. Woch. 1930 73 - 8 l. l. u. P. l. o. p. h. i. e. Wiederherstellung der knöchernen Struktur und Form des 6. und 7. Halswirbels nach starker Atrophie und Zusammenbruch. J. Bone Surg. 14 417 (1932). - Reil K.: Chiropraktik. Arch. Fortbild. 1941 17 und Verh. Dtsch. Orthop. Ges. 1939 40 Kongress. - 8 l. l. l. G.: Wirbelsäulenosteoarthritis. Ref. Z. orth. Chir. 63 622 (1932) - Rembo Bundt Ein Fall von akuter Spinal Läsion mit epiduraler Abszess. Act. Hyg. 64, 197 (1931) - Remm Extreme Bandscheibenverwachsung in der Wirbelsäule; ein Beitrag zur Frage der Entstehung der Adhäsionsankylose. Verh. Dtsch. Orthop. Ges. 1932, 41 Kongress. - 8 m. e. R.: Selbstige Ruptur der zentralen Zwischenwirbelscheiben. Amer. J. Surg. 3, 137 (1918). - 8 n. a. t. E.: Chondroma li. roentgen diagnostic speed and it response to roentgen therapy. Amer. J. Roentgenol. 69 612 (1932). - Seppä T.: Über chronische Versteifungen der Wirbelsäule. Ref. Z. orth. Chir. 61 363 (1932) - 8 k. H. n. e. m. Familiäres Vorkommen von Halsrippen in Verbindung mit anderen Unregelmäßigkeiten der Wirbelsäule. Act. chir. Scand. 76, 351 (1933). - 8 g. y.: Eine seltene Mißbildung (Rehnmetzgerform) des 2. Lumbalwirbels. Ein Beitrag zur Frage der Entstehung der Wirbelsäule. Fortschr. Röntgenstr. 20, 353 (1927). - 8 A.: Beobachtungen über Folgen von Verletzungen der Wirbelsäule. Ref. Z. orth. Chir. 61 102 (1932). - 8 y. R.: Nucleographie bei vorderen Prolapsen der Intervertebralen. Z. Orthop. 83, 291 (1934). - d. 8. 8. B.: Les accidents de la déformation structurale du disque. Semaine Hép. 1933, 2567 - d. 8. 8. u. D. J. l. Röntgenologische Untersuchungen der Dynamik der Halswirbelsäule in der Kapitalebene. Rev. rhumat. 18 (1931) 3: 111 - d. 8. 8. u. D. J. l. A. und Abd. Inoué M.: Vertébrales posttraumatiques. Rev. Rhumat. 10 329 (1933). - d. 8. 8. u. D. J. l. J. Abord chirurgical direct des foyers posttraumatiques. Act. orthop. belg. 424 (1933); Nouvelle Orientation Du Traitement Du Mal De Pott. De L. Adh. Paris. Masson et Co 1936. - d. 8. 8. u. D. J. l. Retrolithesis. Sem. Hép. (Paris) 1930, 409 - 8 g. l. l. e. r. M.: Zur Röntgendiagnostik der Wirbelverletzungen besonders vor Ausbildung eines nachweisbaren Gibbus. Mitt. Grenzgeb. Med. Chir. 31 826 (1919) - 8 h. n. k. h. N.: Motorized Intermittent Traction For Treatment Of Herniated Cervical Disk. Amer. J. Surg. 1941 1067 - Shinnors and Hamby: Protruded lumbar Intervertebral disc result following surgical and non-surgical therapy. J. Neurosurg. 6, 430 (1949). - 8 h. o. r. L.: On osteo-arthritis in the dorsal intervertebral joints. A study in morbid anatomy. Brit. J. Surg. 22 833 (1935). - 8 i. d. A.: Angeführt nach W. Müller - 8 i. d. A.: Les causes des échecs dans le traitement opératoire des hernies discales. Presse méd. 1931 1223. - 8 i. d. A. u. 8 u. u. C.: La hernie discale est-elle f. variée par la croissance? Presse méd. 1935 527 - 8 i. d. A. u. G. a. d. y.: Les fractures des apophyses articulaires lombales. J. de Chir. 1 409 (1933). - 8 i. d. e. l. t. i. e. t. P. t. i. d. a. l. l. i. Wahl der Operationsmethode der Diskushernie nach dem Spätergebnis beurteilt. Mem. Acad. chir. 7, 304 (1947) - 8 i. l. l. i. n. G.: Eine sehr seltene angeborene Anomalie des 2. Lumbalwirbels. Ref. Zbl. Chir. 1931 434 - 8 i. o. k. Angeführt nach W. Müller - 8 i. o. k. Erfahrungen mit der diagnostischen Discographie beim Bandscheibenvorfall. Dtsch. Ges. Weh. 1932, 1845 - 8 i. o. k. M.: Zur Behandlung der Kompensationsstellung des Rückenmarks bei schwerer Skoliose. Chir. 2 65 (1930). - 8 i. o. k. M.: Zur Begutachtung der höheren Bandscheibenprolapsen der Wirbelsäule. Mch. Unfallch. 13, 809 (1936). - 8 i. o. k. M.: Calibration of the intervertebral disk in childhood. Radiology 22, 801 (1934) - 8 i. o. k. M.: Spindylolysis. Act. orthop. Scand. 1 42 (1930). - 8 i. l. i. J.: Troubles trophiques étiologiques succédant à des fractures rachidiennes méconnues. Ref. Z. orth. Chir. 56, 153 (1931) - 8 m. n. M.: Über die Röntgenanatomie der Wirbelsäule und die Röntgendiagnostik am Wirbelverletten. Fortschr. Röntgenstr. 14, 323 (1909) - 8 i. n. n. W.: Osteofibrose generalisata. Zschr. orthop. Chir. 23, 100 (1931); Die Verknöcherung des Ligamentum m. lumbale. Act. hyg. 64, 767 (1930); Der Lumbago in der Unfallbegutachtung. Zschr. orthop. Chir. 56, 642 (1932). - 8 i. n. n. B.: Röntgendiagnostik der Wirbelsäule. Aufl. Jena 1931 - 8 m. p. o. n. d. 8 t. v. n. n.: 100 Fälle von Spindylolysis ankylopoetica. Brit. Med. J. 1398, 214 (1949). - 8 n. k. v. l. e. N.: Über die Ätiologie der Wirbelsäule. Ref. Z. orth. Chir. 30, 446 (1930). - 8 n. d. i. n. g. L.: A contribution to the diagnosis of the cervical column. Ref. Zbl. Chir. 1927 439 - 8 n. g. u. n. Angeführt nach Lyon. - 8 i. e. f. k. y. M.: Spindylolyses and conditions resembling it. Act. orthop. Scand. 4 234 (1932) - 8 t. t. W.: Schipperfraktur. Med. Klin. 1914 443. - 8 v. n. A.: Angeführt nach Lange - 8 l. k. Behandlung der Morbus Bechterew. Arch. Anat. 1931 22. - 8 l. k. A.: Spindylarthrosis deformans als Kriegsdienstbeschädigung? Med. Welt 1931 291 - 8 m. t. r. E.: Malformation congenitale du rachis. Ref. Zbl. Chir. 1947 1918. - 8 m. b. n. i. h.: Wirbelhaemangiom. Ref. Zbl. Radiol. 22, 110 (1934). - 8 m. w. A.: Zur Frage der operativen Fixation der Wirbelsäule bei Spindylolysis. Zbl. Chir. 1947 324. - 8 m. t. h. N.: The intervertebral discs. Brit. J. Surg. 18, 338 (1931). - 8 n. p. p. e. u. B.: Die Rückenkrankheiten und Nebenschädigungen. Arch. klin. Med. 1 371 (1931). - 8 n. i. d. M.: Un cas de maladie de Kummel. Verh. orthop. 20 319 (1933) - 8 o. l. d. A.: Die Beziehungen der Tuberkulose der Wirbel und Hüftgelenkerkrankungen. Ref. Zbl. Chir. 1924, 2579 - 8 l. g. A.: Angeführt nach La Doble - 8 l. i. n. A.: Mikro-Traumen der Wirbelsäule. Dtsch. Med. Woch. 1932, 19 - 8 o. l. e. k. und Wirbelsäule. Zbl. Chir. 1933, 810; Die autonome Bewegungsarbeit der Wirbelsäule. Münch. Med. Woch. 1931 162; Systematik einer statischen Wirbelsäulendiagnostik und einer geistigen konservativen Wirbelsäulentherapie. Neurochir. 1933 270. Röntgen-Ganz-aufnahme der Wirbelsäule. Münch. Med. Woch. 1933, 1263; Diskussionsbeitrag zur Wurt l. neurochirurgischen Wirbelsäule. Forsch. u. Praxis 1 1 (1934) - 8 l. m. o. W.: 18 cases with posterior spinal

- of the lumbar vertebrae. Amer. J. Med. Sc. 214, 163 (1947). — Komme R.: Einseitige Atlaskluxation nach vorn ohne Bruch des Zahnfortsatzes. Chirurg 3, 459 (1933); Über Dornfortsatzabrisse. Mehr. Unfallh. 44, 84 (1937). — Konnen b in A.: Die Wirbelbrüche beim Elektroschock. Klin. Wochr. 1931 498; Spondylolysis — Spondylolisthesis — Pseudospondylolisthesis — Präspandylolisthesis. Arch. orthop. Unfallchir. 46, 588 (1934). — K r g F.: Der 3. Lendenwirbel. Eine anatomisch-röntgenologische Studie. Arch. orthop. Chir. 82, 72 (1932). — Kottl E.: Effondrements post-traumatiques de la colonne vertébrale. Fractures fractes (type Verneuil). Bull. Soc. nat. chir. Paris 61, 634 (1935). — K r r e l L.: Legrand L. mbling u. Vab et Zwei Fälle von Extrem-lungenmangel der Driol und der Brustwirbelkörper. Ref. Zbl. Radiol. 23, 184 (1936). — K u l G r o s u. Irving: Myographie mit Pantopag in der Diagnostik der Hernien der Zwischenwirbelscheiben. Amer. J. Roentgenol. 33, 319 (1943). — K o u q u e L.: fou d e e t T r i s Angeführt nach W. Müller — Spades S. u. H. mlin H. Interpharyngeal fusion for the treatment of herniated intervertebral discs. Ann. Surg. 186, 962 (1932). — K p m E.: Zur Repositionsbehandlung der Wirbelfrakturabrisse. Zbl. Chir. 1935, 663. — K p i t h: Angeführt nach W. Müller — Spill U.: Multiples Myelom, Spondylarthritide deformans und senile Osteoporose an der Wirbelnale Fortschr. Röntgenstr. 42, 191 (1930). — K p i t n b e r g e r O.: Arthritische Randschneckenbildungen an der Halswirbelsäule als Ursache von Schleichbeschwerden. Röntgenpraxis 8, 159 (1936). — K r u n g B.: Pathophysiologie der Zwischenwirbelscheibe. Zbl. Chir. 1936, 1730. — K r u n g H.: Spondylitis, Spondylolisthesis, Spondylolisthesis bei knöcherner Erkrankung. Dtsch. Zechr. Chir. 219, 633 (1934); Klinische Beiträge zum Fragekreis der Ischialgie. Langenbecks Arch. u. Dtsch. Z. Chir. 774, 7 (1934). — K r u n g u. O. a t h a m: Gespenst Zwi-schenwirbelscheibe in der unteren Lumbalregion. Amer. J. Surg. 73, 140 (1948). — K r u n g u. S. o v i l l: Lateral ruptor of the cervical disk. Surg. Gyn. Obstet. 78, 350 (1944). — K r u n g u. S. o v i l l: Bockalmesser. Zbl. Chir. 1944, 330. — K r u n g u. S. o v i l l: Wirbelverletzungen. Zbl. Chir. 1927 23. — K r u n g u. S. o v i l l: Über Dornfortsatzabrisse der unteren Hals- und der oberen Brustwirbelkörper. Mehr. Unfallh. 33, 176 (1936). — K r u n g u. S. o v i l l: Über Behandlungsergebnisse des Lumbago-Ischiasyndroms. Chirurg 1936, 433. — K r u n g u. S. o v i l l: Über die Wirbelsäule. Ref. Zbl. Chir. 1931 181 (1931). — K r u n g u. S. o v i l l: Über Wirbelsäuleveränderungen bei Rückenmarkstumoren im Röntgenbild. Zechr. Neurol. 151, 663 (1934). — K r u n g u. S. o v i l l: Ist der Bechterew eine Spondylarthritis? Dtsch. med. Wochr. 1933, 1438. — K r u n g u. S. o v i l l: Über die Arthrose der Dorsalkrallen. Röntgenpraxis 8, 518 (1936). — K r u n g u. S. o v i l l: Über die Pathogenese, Frühdiagnose und Prophylaxe des Morbus Scheuermann. Dtsch. Med. Wochr. 1936, 200. — K r u n g u. S. o v i l l: Die Zwischenwirbelscheibe und der Nervenfortsatz. Zechr. med. Wochr. 1931 1038—1039. — K r u n g u. S. o v i l l: Knorpelknoten. Verh. Dtsch. Röntgen Ges. 31 (1930); Aussprache über Wirbelsäule. Verh. Dtsch. Röntgen-Ges. 22, 63 (1931); Über Knorpelknoten der Wirbelsäule am Lebenden. Med. Klin. 1931 1376. — K r u n g u. S. o v i l l: R. Osteochondrom in the cervical spine. Radiology 61, 415 (1935). — K r u n g u. S. o v i l l: Spondylitis deformans und Unfall. Ref. Chir. 3, 929 (1931). — K r u n g u. S. o v i l l: Über die Verletzung der Wirbelsäule beim Lastenträger. Zechr. med. Wochr. 1929 72. — K r u n g u. S. o v i l l: Die Behandlung der Ischias sowie der Ischialgie beim Bandscheibenprolaps durch präkraniale Nervenüberleitung nach Pendl. Zbl. Chir. 1919 833. — K r u n g u. S. o v i l l: Zur Frage der Spondylolisthesis und Präspandylolisthesis. Ref. Zentr. Chir. 50, 390 (1930). — K r u n g u. S. o v i l l: Defekte und Entwicklungsstörungen des kaudalen Wirbel-säulenabschnittes. Arch. orthop. Chir. 80, 20 (1931); Angeborene Gibbus. Ref. Zbl. Chir. 1931 1894. — K r u n g u. S. o v i l l: Über Röntgenbefunde bei Osteomyelitis der Wirbelsäule und Spondylitis infectiosa. Fortschr. Röntgenstr. 49, 41. — Die angeborene Kypbose und der angeborene Gibbus. Ihre anatomischen Grundlagen und ihre for-male Genese. Arch. orthop. Chir. 81, 463 (1932); Über Wirbelsäulenosteomyelitis und Spondylitis infectiosa. Wlen. klin. Wochr. 1931 1 492. — K r u n g u. S. o v i l l: A.: Klinik und Therapie des Wirbelhämatangioma. Helvet. med. acta 18, 574 (1949). — K r u n g u. S. o v i l l: J.: Spondylolisthesis with special reference to the industrial case. Ref. Zentr. Chir. 55 567 (1931). — K r u n g u. S. o v i l l: J.: Vorkommen der Spondylitis an der Wirbelsäule der Ekdinon. Ref. Mehr. Unfallh. 1933, 45; Spondylolisthesis without separate neural arch (Pseudospondylolisthesis of Jung-hanne). J. Bone Surg. 1 640 (1933). — K r u n g u. S. o v i l l: H.: Fraktur der Halswirbelsäule bei Spondylarthritide ankylopo-etica (Bechterew). Zbl. Chir. 1933, 994; Vererbbarkeit der Osteomyelitis. Zbl. Chir. 1933, 634. — K r u n g u. S. o v i l l: Klinik und Pathologie der Lumbosakralregion. Zbl. Chir. 1931 2331. — K r u n g u. S. o v i l l: Angeführt nach M. Lange. — K r u n g u. S. o v i l l: A.: u. K. h.: Verkennung des Ischias-Syndroms. Med. Klin. 1917 248. — K r u n g u. S. o v i l l: A.: Die Bedeutung der Ischias beim Nucleus-pulposus-Hernie als Ursache des Kreuzschmerzes und der Ischias. Verh. Dtsch. Orthop. Ges. 34 Kongr. 1917; Der Prolaps des Nucleus pulposus als Ursache der Ischias. Ärtl. Forschg. 191 300; Die Ischias als chirurgisches Problem. Verrennart 191 432; Die Bedeutung der Zwischenwirbelscheibe für die Entstehung Ischias. Verh. Dtsch. Orthop. Ges. 34 Kongr. 1917; Die Operation des lumbalen, lateralen Nucleus pulposus-Prolapses unter besonderer Berücksichtigung der interlaminaeren Fensterung nach Loe. Chirurg 1919 397; Zum Problem der sagittalen Längsbrüche der Halswirbelsäule. Chirurg 1919 473; Bandscheibenprolaps und Unfall. Zbl. Chir. 1920 1877; Sagittale Längsbrüche der Halswirbelsäule. Chirurg 20 473 (1949). — K r u n g u. S. o v i l l: Die Röntgenaufnahme in der Diagnostik des lumbalen Bandscheibenprolapses. Chirurg 1933, 120. — K r u n g u. S. o v i l l: F.: Über Wirbelfrakturen und Luxationen. Diss. Leipzig 1931. — K r u n g u. S. o v i l l: K. h.: Anatomische Grundlagen für Ischias-schmerzen im Abdominal Kreuzschmerz Lendenwirbelsäule Fortschr. Röntgenstr. 43, Kongr. 11, 51 (1933); Bandscheibenoperation oder Chiropraktik? Med. Klin. 1934 763. — K r u n g u. S. o v i l l: P.: Über einen Fall von Ektodermokollus der Wirbelsäule. Ref. Zentr. Chir. 74 411 (1933). — K r u n g u. S. o v i l l: L.: Indirekter Halswirbelsäulenbruch. Mehr. Unfallh. 3, 126 (1931); Wirbelsäulenbruch und seine Beziehungen zu Lues und Anämie. Ref. klin. Chir. 153, 235 (1931). — K r u n g u. S. o v i l l: E.: A propos d'un cas de spondylolisthesis. Rev. orthop. 22, 233 (1933). — K r u n g u. S. o v i l l: A.: Pathogenese Anatomie der tuberkulösen Spondylitis Erwachsener im Zusammenhang mit den Besonderheiten der Hautostruktur der Wirbelsäule. Ref. Zentr. Chir. 73, 430 (1933); Veränderungen der Zwischenwirbelscheiben bei tuberkulöser Spondylitis. Ref. Zentr. Chir. 73, 430 (1933). — K r u n g u. S. o v i l l: A.: Lehrbuch d. spez.

Pathologie und Therapie d. inn. Krankheiten. Leipzig 1922. — Stuk R: Spondylarthralgia tabica und Unfall. Arch. orthop. Chir. 44 20 (1931). — Stuk R F: (Bemerkungen zu Hartung.) Technisches zur Röntgenaufnahme des Lenden Kreuzbeinwinkels. Zbl. Chir. 1031 1320. — Stupnicki A: Tot le Aplasia der Lendenwirbelsäule bei einem Neugeborenen. Geburtsh. u. Frauenh. 12, 30 (1932); Beitrag zum Krankheitsbild der Vertebra plana. Chir. Z. Orthop. 81 453 (1931). — Stum V: Über Platyspondylie und begleitende neurologische Erscheinungen. Ref. Z. orthop. Chir. 4 35. (1923). — Sucher J: Ein Fall von Spondylitis nach Typhus abdominalis. Klin. med. (russ.) 9 643 (1931). — Sumat W: Über Spondylolithese. Ref. Z. orthop. Chir. 57 245 (1932). — Sus H u. Pfeiff H: Periarthritis humero-escapularis und Epicondylitis humeri bei Osteochondroma der Halswirbelsäule. Dtsch. Gesundheits. 1932, 911. — Suga Y: Über einen Fehlbildungsfall der Wirbelsäule. Ref. Zbl. Radiol. 22, 413 (1932). — Sunita: Angeführt nach W. Müller. — Sundt H: Vertebra plana. Chir. Acta chir. Scand. 78, 801 (1933). — Sunna M: Chronic osteomyelitis of the spine. Acta radiol. (Stockh.) 14, 43 (1933). — Sarr O: Experiences in Surgical Treatment of Lumbar Disk Herniation. Acta chir. Scand. 109 97 (1935). — Swobod W: Ursachen des Zwergwuchses und seine Behandlungsmöglichkeiten. Monatsh. Anat. Fortbild. 1934, 238. — Sylén R: On the biology of nucleus pulposus. Acta orthop. Scand. 90 275 (1931). — Svolki: Angeführt nach W. Müller.

Tbb and Tak: Actinomycosis of the spine. Amer. J. Roentgenol. 29 628 (1933). — Talli d W: La Spondylarthralgie. Chir. L'Enf. et Et. Adolescent. Act. orthop. Scand. 24 115 (1934). — Talli F: Epimorpha. dione dolorosa d. una vertebra lombare. Ref. Z. orthop. Chir. 54 353 (1931). — Tamini L: Epimorpha. dione. Ref. Zbl. Chir. 1929 378. — Tamman H: Die Wundheilung im Bereich der Zwischenwirbelsäule. Arch. klin. Chir. 177 120 (1933); Über die Wundheilung im Bereich der Zwischenwirbelsäule. Arch. orthop. Chir. 34 256 (1934). — Tane J: Behandlung des Bandscheibenvorfalles mit Alkoholinjektion. Ref. Z. orthop. Chir. 118, 339 (1931). — Tala V. Valdivia O: Die Wirbelsäulenverwundungen bei Maltafieber. Ref. Z. orthop. Chir. 60, 274 (1932); Zur infektiösen Ätiologie der Spondylarthrose. Ref. Zbl. Radiol. 15, 35 (1933). — Tpt J u. B. yulk m. F: Discordances anatomico-cliniques au cours de certaines scolioses par hernie discale. Presse méd. 1935, 1384. — Talow J: Perineurale System der Sakralwurzeln. Eine beherrschende Ursache des Ischiaschmerzes. J. Amer. Med. Ass. 139, 40 (1948). — Tullit: Heilungsvorgänge bei Ostia fibrosa generalisata. Dtsch. med. Woch. 1930, 2058. — Tavn L: Luxations de la colonne vertébrale à déplacement progressif. Leur traitement par la greffe intervertébrale. Rev. orthop. 18, 562 (1931); Schmerzzustände im Bereich der Proc. spinosi. Lyon. Chir. 44 533 (1949). — Tavernier et Maal: La diagnostic entre la platyspondylie congénitale et le tassement traumatique des corps vertébraux. Ref. Zbl. Chir. 1930 2807. — Tihert G: Kasuistischer Beitrag zu den Ischias im vorderen Atlasbogen auftretenden Spalten. Zbl. Chir. 1930, 216. — Tmpaar H: Spondylolisthesis. Ref. Z. orthop. Chir. 79 283 (1938). — Tnff St: Ischiasyndrom bei Verletzung der Zwischenwirbelsäule. Ref. Z. orthop. Chir. 67 112 (1934); Die Degeneration der Zwischenwirbelsäule. R. Z. orthop. Chir. 67 113 (1934); Fall von Hernia interapophyseal der Zwischenwirbelsäule. Ref. Z. orthop. Chir. 68, 436 (1934); Ischiasyndrom bei Verletzung der Zwischenwirbelsäule. Ref. Z. orthop. Chir. 67 112 (1934). — Tschndof J: Intus rheumaticus und Spondylarthrit. ankylopoetica. Dtsch. med. Woch. 1933 II 1878. — Ttt N: Lymphogranulomatose der Wirbelsäule. Frankf. Zentr. Path. 1932, 845. — Thil K: Die Auswirkung von partiellen Chordaeffekten bei Triton Alpinus. Beitrag zur Entwicklungsmechanik der Wirbelsäule. Roux Arch. Entwicklungsmech. 141 476 (1960); Die Entstehung der Densitization bei der Röntgen-Darstellung. J. J. hraber. Schweiz. Ges. Vererbungsforsh. XXVI, 450 (1951); Beitrag zur Analyse von Wirbelkörperfehlbildungen. Experiment. Genetik und Entwicklung. J. menschl. Vererbung u. Konstr. Lehre 31 271 (1953). — Thell K. u. Gluk hn Wals h. N. The morphological effects and the development of the fused vertebrae in the mouse. Anat. Rec. 1936, 83. — Thilut F: Ist Bandscheibenvorfall Ursache oder Folge der Ischias? Paris méd. 1918, 33 417. — Thma E: Die Zwischenwirbelsäule im Röntgenbild, ihre normale und pathologische Anatomie. Zentr. orthop. Chir. 83, 115 (1931). — Thm C: Über einen gewichtstuberikulösen Gelenk. pads 6, 507 (1928). — Thomsen: Über Neoloma Ischias. Zentr. orthop. Chir. 69 Beil. H 83 (1934). — Thndik: Angeführt nach Ruge. — Thw W: Spondylitis luetica. Ref. Z. orthop. Chir. 69 273 (1932). — Timmer mp H: Die primäre Symptomatik der Halswirbelsäule (Klippel-Feilches Syndrom) und ihre Deutung. Diss. Münster 1932. — Tippit G: Erkrankungen des Hio-Sacralgelenkes. Med. Press 1919 312. — Tit A: Partielle Querschnittläsionen nach frischen Wirbelbrüchen. Chir. 1931 329-363. — Twa Th: Kontrastdarstellung des Pseudotumors. Chir. 1931 247. — Tndu y G: Beitrag zur Kenntnis der kleinen Wirbelsäule. Zentr. Anat. 110, 568 (1940); Zur Entwicklung funktioneller Strukturen im Bereich der Zwischenwirbelsäule. Schweiz. med. Woch. 191 643; Die Bedeutung der Chorda dorsalis für die Entwicklung der Wirbelsäule. Arch. f. Vererb. Forsch. Kon. u. Rassenhyg. 4 227 (1919); Zur Entwicklungsphysiologie und Genetik der Wirbelsäule. Mitt. Naturforsch. Ges. Bern 6. Band; Neuere Ergebnisse über die Entwicklungsphysiologie der Wirbelsäule. Arch. orthop. Chir. 43 313 (1932); Über das Densitization beim Dack. L. Z. Orthop. 43 184 (1933); Le Développement de la Vertébrale. Rev. Chir. Orthop. 29 583 (1933); Anatomische Betrachtungen zur Entwicklung des Lendenwirbelsäulen Kreuzbeinbogens mit besonderer Berücksichtigung der Spondylolithese. H. Unfallheilk. H 49, 124 (1933); Zur Anatomie und Entwicklungsmechanik der Wirbelsäule mit besonderer Berücksichtigung der Altersveränderungen der Bandscheibe. Schweiz. med. Woch. 1933, 825. — Tönn W: Operativ. Erfahrungen. Die evolutionäre Vertebralmyelomene. Thome Verlag Stuttgart 1933. — Tönn W u. G. I. b. H: Zur Spondylitis lokalisierte der Lendenwirbelsäule. Zbl. Neurochir. 1931 321. — Töpf D: Kenntnis der Wirbelsäule. Frankf. Zentr. Path. 28, 237 (1928). — To m. T: Post-operative Recurrence of Lumbar Disc Herniation. Acta

stykloides der Wirbel. Zbl. Chir. 1931 1310; Über Brüche der Wirbeldornfortsätze. Med. Klin. 1933 II 1303; Bandscheibenerkrankungen in Berufskrankheiten. Dtsch. Ges. Wes. 1933, 1485 — V. Ikon. J.: Über Ruptur der Zwischenwirbelscheiben und Entstehung der sog. Schmorlechen Knötchen. Ref. Zerg. ges. Chir. 63, 710 (1933) — V. Ikon. W.: Über kongenitale vollständige Synostose der Wirbelsäule in Verbindung mit Wachstumsanomalien der Extremitätenknochen. Mitt. Grenzgeb. Med. Chir. 16, 61 (1906). — Voßchult u. B. G. Anatomische und funktionelle Untersuchungen über den Bandscheibenprolaps. Arch. klin. Chir. 663 329 (1930). — Vuklich H.: Die Behandlung der Verrenkungsbrüche der Brust-Lendenwirbelsäulengrenze mit Verhakung der Gelenkfortsätze. Arch. orthop. Unfall-Chir. 4 188 (1933).

W. Ier. F.: Infektion durch Paratyphus A mit Spondylitis. Ref. Zerg. ges. Chir. 76, 160 (1926). — W. d. T. Über Spondylolisthesis. Ref. Zerg. ges. Chir. 54, 687 (1931) — Waech. E.: Über Abrißfrakturen an den Dornfortsätzen der Wirbelsäule. Fortsch. Röntgenstr. 3., 61 (1933); Köden Wirbelbrüche nach Möhler reponiert worden? Chirur. 19 445 (1934); Zur Kenntnis der sog. polyostischen Ostitis fibrosa (Osteodystrophia deformans juvenilis Chlenger). Chirurg. 1919 537; Zur Kenntnis der Osteodystrophia fibrosa generalisata (v. Recklinghausen). Zbl. Chir. 1930, 804; Zur postoperativen Osteoporostitis (Ostitis) pubis. Radiol. eh. (Schweiz) 23, 15 (1936) — W. gner. G.: Zur Pathologie einiger Verletzungsformen der Wirbelsäule. Ref. Zbl. Chir. 1929 579. — W. g. n. e. l. Chirurische Erkrankungen. Ztschr. Morph. Anthropol. 22 (1933). — W. gner. W.: Über Frakturen durch Muskelzug. Arch. klin. Chir. 11 503 (1933) — W. gon. r. G.: Ostitis fibrosa bei metastatischem Knochenkrebs. Arch. klin. Chir. 161 671 — Wahren. H.: Über Ischiaskoliosen und ähnliche Zustände. Acta orthop. Scand. 1 183 (1930); Achondroplasia atypica. Act. orthop. Scand. 2, 87 (1931); Herne des Nucleus pulposus bei einem 12-jährigen Kinde. Acta orthop. Scand. 10, 486 (1939) — Waldrich. H. A. u. Korotky. P.: Dislokation des 8. Lendenwirbels dorswärts. Röntgenpraxis 1930, 663. — W. In. t. a. W.: Zur Behandlung der Wirbelkörperbrüche. Ref. Zerg. ges. Chir. 60, 28. (1934) — W. Id. y.: Angeführt nach Wimmers. — W. Ik. L.: Diagnose lumbal disk puncture. Arch. Surg. 64, 232 (1933). — W. Ilg. n. G.: Über die Spondylolisthese. Acta orthop. Scand. 4 1 (1933). — W. It. V.: Keitlicher Wirbelbruch. Ref. Münch. med. Wochr. 1927 299; Klippel-Feilsche Krankheit. Zbl. Chir. 1929 547; Angeborene Wirbelmissbildungen. Arch. klin. Chir. 162, 61 (1930). — Wal. Angeführt nach Kinzel. — Wanke. Angeführt nach Kinzel; Skalenus-Syndrom, Osteochondrodysplasie und Pannarthrit. humeroscapularis. Beilageheft d. Zschr. Orthop. 80, 87 (1931) — W. nk. R.: Lumbago und Beulenmyelom. Arch. orthop. Unfallchir. 28, 136 (1937); Skalenus-Syndrom und Hals-Brust-Übergangswirbel. Arch. klin. Chir. 159 514 (1937). — W. nk. R. u. Bae. E.: Operative Behandlung der schweren Occipital Neuralgien. Chirurg. 1933 306. — W. Is. W.: Lumbal dro bernation. Act. ch. Scand. 140 (1934). — W. a. n. Studien zur Pathologie des Lumbosakralgebietes. Mehr Unfallch. 4 121 (1929); Der 3. Lendenwirbel. Arch. orthop. Chir. 23, 279 (1933). — W. haw. D.: Dislocation of the cervical vertebrae. Ann. Surg. 89 4 0 (1934) — W. t. man. Bemerkungen zu den Aufgaben der Orthopädie und der Therapie der Kreuzschmerzen der Frau. Ther. Wochr. 1932, 119 — W. t. mann. H.: Die Hypophyse adenomata und die Notwendigkeit ihrer Erkennung in der Unfallbegutachtung. Arch. orthop. Chir. 4 179 (1927). — Web. Angeführt nach Jacob. — W. be. E.: Zur konservativen Behandlung der Wurzelkompressions-syndrome. Langenbecks Arch. u. Dtsch. Z. Chir. 6, 438 (1933). — Webe. G.: Konservative oder chirurgische Ischiasbehandlung? Praxis (Schweiz) 150, 483; Lumbale Diskushernien. Zschr. Rheumaforsch. 9 223 (1930). — Webe. W.: Angeführt nach W. Müller; Klinisches Bild und operative Behandlung der kranken eitrigen Wirbelabszesse. Langenbecks Arch. u. Dtsch. Z. Chir. 678, 495 (1934); Begutachtung der Cervikal-syndrome. Die zervikalen Vertebralesymptome. Thieme Stuttgart 1933. — W. g. m. E.: Über einige schwere Wirbelsäulenerkrankungen mit vorübergehendem Trauma unter besonderer Berücksichtigung ihrer Diagnose. Mehr Unfallch. 1926, 217; Spondylolisthesis. Münch. med. Wochr. 1927 209; Spondylolisthesis und Prä-spondylolisthesis. Arch. orthop. Chir. 26, 73 (1930); Unblutige Reposition einer Luxationsfraktur des 12. Brustwirbels. Dtsch. Zschr. Chir. 234 824 (1931); Über die Lymphogranulomatose der Wirbelsäule. Virchow. Arch. path. Anat. 240 346 (1933) — W. l. Spondylolisthesis. Zbl. Chir. 1927 1251 — W. l. P.: Generalisiertes Platyspondylie. Verh. Dtsch. orthop. Ges. 1929, 193; Spondylolisthesis und Trauma. Münch. med. Wochr. 1931 347 — W. l. R.: Spondylolisthesis. Zbl. Chir. 1930, 2850; Ungewöhnlicher Fall von Wirbelsäulenmissbildung mit Zwerchfell der Wirbelsäule. Arch. klin. Chir. 159 100 (1932); Die Lechia-Skoliose. Med. Klin. 1933, 1129 — W. l. A. u. All. I.: B. Spondylitis ankylopoetica (Bechterew) bei Kindern. Dtsch. med. Wochr. 1930 2034. — W. l. et. d. m.: L'hypertranspiration douloureuse lombosacree. Etude clinique et thérapeutique. Press. Méd. 1934 II 1919 — W. l. J. u. Bru. t. F.: Die Behandlung lumbaler Dyschismen im ventralen Durchgang. Arch. orthop. Unfall Chir. 4 612 (1933) — W. B. M.: Wirbelbruch infolge Stoßes des fahrenden Autos. Med. Klin. 1931 127 — W. B. O.: Über die Anatomie der Übergangswirbel an der Grenze von Lendenwirbelsäule und Kreuzbein und ihre klinische Bedeutung. Zschr. Anat. 82, 533 (1930). — W. ng. A.: Über eine seltene Entzündungsanomalie des Halses (Klippel-Feil-Syndrom). Arch. Gynäk. 150 773 (1933). — W. n. I. C.: Über die Krankheiten am Hückgrat. Hamburg 1925 — W. l. O.: Die Sakralisation des 5. Lendenwirbels und ihre klinische Bedeutung. Arch. klin. Chir. 154, 493 (1937). — W. pl. W. u. Kl. G.: Über die Anatomie und Pathologie der Foramina intervertebralia der menschlichen Lendenwirbelsäule. Bruns. Beitr. klin. Chir. 146, 222 (1933) — W. nek. Id. B.: Über einen Fall von Wirbelmissbildungen. Keilwirbel, Apertalwirbel. Acta radiol. 14 775 (1937). — W. n. S.: Spontaneous ather dislocation. Acta orthop. Scand. 25 22 (1935). — W. n. S. Am. Angeführt nach Jacobs. — W. nl. M.: Die Osteomalacie. Georg Thieme Stuttgart 1911. — W. th. m. P.: Probleme eitrigen des harnigen Knochens. Hög. 1933, 1243. — W. th. m. n. u. R. nl. I. a.: Über Apertische Knochenerkrankungen bei Kompression des Rückenmarks durch ein mit Verlauf von Spondylitis

ankylopoetica verknöchertes hinteres Schmorleches Knoten. *Zachr. Neurol.* 142, 200 (1932). — Westermann: Angeführt nach Ruge; Erkennung und Behandlung der akuten Osteomyelitis der Wirbelsäule. *Therap. wochens.* 1932, 278. — W i t t Spondylitis oder Variationsform des 5 Zwischenwirbelschenkels? Unfallfolge? *Machr. Unf. u. Hk.* 43, 49 (1936). — Whitman A. Observations upon an anatomic variation of the lumbosacral joint. *Ref. Zörgg.* Chir. 30, 301 (1923). — Whitman and Lewis: *J. Bone Surg.* 18, 587 (1934). — Wib g O Rückenwehmerzen in ihren Beziehungen zur Nervenversorgung der Zwischenwirbelscheiben. (Back pain in relation to the nerve supply of the intervertebral disc) *Acta orthop. Scand.* 19, 211 (1949). Deutsch: Schweiz. med. Woch. 1949, 184. — W i m A.: Über Spondylolisthese im Röntgenbild. *Arch. orthop. Chir.* 1., 287 (1913). — Wienbeck Endgürtelische Osteomyelitis. *Virchow. Arch. path. Anat.* 289, 767 (1912). — W i r z j w k i J Über angeborene knöcherne Veränderungen der Wirbelsäule. *Zachr. orthop. Chir.* 50, 603 (1929). — W i O Operativ Entfernung eines Keilwirbels bei angeborener Kyphoskoliose. *Münster. L. Woch. Med.* 1937 — Wildbol E. Über einen Fall von malignem Chordom des Sakrums. *Zbl. Chir.* 1931, 2878. — Wilde R. Ein weiterer Beitrag zum Symptomenkomplex der fixierten Lendenlordose. *Z. Orthop.* 82, 420 (1933). — W i l d h g a. h. i. Zwei Fälle von Wirbelganglion. *Dtsch. Hamburg.* 1938. — W i l l P Reaction of Dorsal vertebrae in congenital scoliosis. *J. Bone Surg.* 22-A, 181 (1931). — Wilhelm Angeführt nach Ruge. — Wilhelm R. Über Spondylolisthese bzw. Präspandylolisthese. *Arch. orthop. Chir.* 24, 169 (1927). Der Kreuzschmerz. *Erg. Chir.* 29, 196 (1923). Über Frühbehandlung der Skoliose eine dringliche Forderung. *Z. Orthop.* 86, 221 (1933). — Wilke J Fluorine osteo-kerosis. *Brit. J. Radiol.* 13, 213 (1940). — W i k i n M. The treatment of tuberculous of the spine by evacuation of the paravertebral masses and curettage of the vertebral bodies. *J. Bone Surg.* 8^B, 322 (1935). — W i l d Def rest and Nichols a Giant cell tumor of the cervical spine. *Amer. Surg.* 10⁷, 293 (1933). — Williams L The later development of the notochord. *Amer. J. Anat.* 8 (1906). — Williams P Reduced lumbosacral joint space. *J. Amer. Med. Ass.* 99, 1677 (1932). Lesions of the lumbosacral spine etc. *J. Bone Surg.* 19, 690 (1937). — W i l l h Wirbelsäulenverkrümmungen bei angeborenen Wirbelmissbildungen. *Arch. klin. Chir.* 162, 60 (1930). — W i l l Th. The lumbosacral vertebral column in man, its etiology of form and function. *Amer. J. Anat.* 22, 93 (1924). Backache from vertebral anomaly. *Gyn. Obstetr.* 23, 638 (1924). The separat neural arch. *J. Bone Surg.* 13, 709 (1931). *J. Bone Surg.* 14, 707 (1932). Sacro-ligamentous Arthritis. *Ref. Zbl. Chir.* 1934, 3004. — W i l l E. Zur Vertebra plana. *Zbl. Chir.* 1924, 1130. — Wilson J Diskprolaps nach Lumbalpunktion. *Brit. Med. J.* 1919 II, 1234. — W i l a and Staub Operative indications in trauma of the low back. *Amer. J. Surg.* 4, 270 (1947). — W i n t e t i m O Über Querfortsatzfrakturen. *Schweiz. Zachr. Unfallmed.* 28, 57 (1934). — W i n g O Über Knorpelknoten in der Columna. *Acta path. Scand. Suppl.* III (1930). — W i s l H Spondylitis postscarlatinosa. *Helvet. paediat. acta* 2, 271 (1947). — W i t A Praktische Erfahrungen mit der Nucleographie. *Zachr. Orthop.* 88, 57 (1950). Das Kontrastbild der Degeneration des Discus intervertebralis einschließend der Spondylitis deformans. *Z. Orthop.* 88, 232 (1934). — W i l f r H Kyphosis dorsalis adolescentium. (Osteochondritis deformans juvenilis). *Beitr. klin. Chir.* 124, 223 (1931). — W o r d n J v n Echinosklerose der Wirbelsäule. *Ref. Zbl. Chir.* 1924, 2037. — W i f J Zur Ätiologie der Kyphosis adolescentium. *Zachr. orthop. Chir.* 49, 139 (1927). — W i f f O Spondylolisthese und Unfall. *Zachr. orthop. Chir.* 61, 123 (1934). Zur Diagnose und Heurteilung der sog. Bechterew'schen Erkrankung. *Zachr. orthop. Chir.* 62, 123 (1933). — Wolff F i n A. Zwei Fälle von Bechterew Strümpflicher Erkrankung als Kriegsdienstbeschädigung. *Ref. Münch. med. Woch.* 1931, 128. — W i l e n b e g Angeborene Kyphose. *Herbert Leitfaden der Röntgenologie* R. 169 Berlin 1922. — Wolke n. u. M y d i n g Spontane hyperämische Luxation des Atlas. *Ref. Zörgg.* Chir. 69, 461 (1934). — Wolman L Cramp in cases of prolapsed intervertebral disc. *J. Neurol.* 12, 31 (1949). — W o d h l l B u. H y J The well leg raising test of F. Jernstam in the diagnosis of ruptured lumbar intervertebral disc. *J. Bone Surg.* 22 A, 780 (1930). — W o r i n g e Angeführt nach W i l l e r — W o y t k O Über einen eigenartigen hyperostotischen umschrieben an der Lendenwirbelsäule lokalisierten Knochenprolifer. Mikrohistochem. (Läuf) der Lendenwirbelsäule. *Dtsch. Zachr. Chir.* 229, 363 (1933). Über Spätveränderungen bei der Osteodystrophia deformans der Wirbelsäule. *Arch. klin. Chir.* 128, Kongr. Ber. 122 (1936). — W r e d n H. Dysplasien des unteren Wirbelsäulenabschnittes, ihre Folgen und Behandlung. *Ref. Zörgg.* Chir. 60, 331 (1932). Die Kyphoskoliosen und Komplikationen seitens des Nervensystems. *Ref. Zörgg.* Chir. 2, 564 (1937). — W u n d l k H Spondylolisthese und Sportunfallbegutachtung. *Arch. u. Sport* 1., 1 (1936). — W u r m H Zur pathologischen Anatomie und Pathologie der entzündlichen Wirbelsäulenversteifung (Bechterew Marie Strumpf). *Z. Rheumaforsch.* 14, 237 (1935). — W u r n i g P Zur Kenntnis der Luxationsfrakturen am Dens. *plastischer. Arch. orthop. Unfall-Chir.* 4⁷, 50 (1933). — W u t n n Blockhaltungsverformung der Lendenwirbelsäule. *Dtsch. Zachr. Chir.* 231, 43 (1931). — W y H Contractural recurrent herniated disks. *Arch. Surg.* 68, 274 (1930). — W y n n W Die Bedeutung der Handeiche für Differenzialdiagnose bei traumatischen, entzündlichen und kongenitalen Wirbelerkrankungen. *Beitr. klin. Chir.* 112, 322. — W y A. Zur Röntgenagnostik der Spondylolyse. *Schweiz. med. Woch.* 1940, 1237. — W y Th u. U i f h R Festigkeituntersuchungen an gerollt Extraktionsbehandlung der Lendenwirbelsäule unter Berücksichtigung des Handeicheffektes. *Naturforsch. Ges. Zürich* 10 (1914) 3/4.

Y m d k Supplemental study upon the pathogenesis of low back pain Hasselström. *Arch. J. p. Chir.* XXIII, 291 (1934). — Y k m Y Experiments of anterior vertebral fusion for Spondylolisthese and cystitis of osseous methods. *Arch. J. p. Med.* XIII, 413 (1934). — Y u n g R. Protrusion of intervertebral disc. *Proc. Roy. Soc. Med.* 40, 223 (1947). — Y M. Spondylitis generalis et osteoporosis localis. *Rev. orthop.* 22, 6, 3 (1931).

- Zad k J u. Sommerf Id: Das klinische und hämatologische Krankheitsbild der metastatischen Knochengeschwülste. *Klin. Wochr* 1930, 2245. — Záb K.: Myelom im kindlichen Alter. *Virchows Arch. path. Anat.* 293, 310 (1932). — Zador G: Osteogene imperfecta tarda. *Acta radiol. (Stockholm)* 21 53 (1940). — Z n tti S.: Erkrankungen der Gallenblase und Verkrümmungen der Wirbelsäule. *Ref. Zbl. Radiol.* 10 188 (1935). — Zanoli R.: Die Osteomyelitis der Wirbelsäule. *Ref. Z. org. ges. Chir* 51 328 (1930); Über die chirurgische Behandlung der Apophysengelenkentzündung der Wirbelsäule nach Pott. *Ref. Z. org. ges. Chir* 78, 883 (1934). — Z renab F.: Ein Fall von wahrhefälicher Entartung einer Zwischenwirbelscheibe. *Ref. Z. org. ges. Chir* 78, 265 (1934). — Zavaday J.: Kompression des Rückenmarks infolge Hypertrophie der distalen Dorsal- und der Lendenwirbel. *Ref. Z. org. ges. Chir* 55 673 (1931). — Zeitlin A.: Verkalkungen der Zwischenwirbelscheiben und ihre klinische Bedeutung. *Ref. Z. org. ges. Chir* 1 423 (1935). — Zemguly J.: Krebsmetastasen im Knochenystem mit besonderer Berücksichtigung der Wirbelsäule und der Osteophytosis carcinomatosa. *Zachr. Krebsforsch.* 34 266 (1931). — Z no L u. Camé O.: Kompression der Cauda durch einen Tumor der Intervertebralscheibe. *Ref. Z. org. ges. Chir* 51 836 (1930). — Z mm E.: Über Dornfortsatzbrüche. *Hrsg. Beitr. klin. Chir* 102 273 (1935). — Zilk.: Ein Fall von Halswirbelsäulenluxation durch Pfählung. *Zbl. Chir* 1031, 964. — Ziaff B.: Klinische Beobachtungen einiger Zwischenwirbelscheiben-Veränderungen. Hinteres Knorpelknötchen (Eecondrom) am Lebenden röntgenologisch diagnostiziert. *Acta neuropath. eston.* 15/16, 429 (1934). — Zohlen E.: Diskushernie. *Zbl. Chir* 1919, 649. — Zohlen E.: Initialtrauma des Bandscheibenschadens — „Verheben“. *Chirurg* 1934 103. — Z illiger W.: Wirbeldornfortsatzabritt. *Fortschr. Röntgenstr.* 31 18 (1932). — Z lotu hin A.: Die Blutversorgung der menschlichen Wirbelsäule. *Ref. Z. org. ges. Chir* 56, 339 (1931). — Zsábók Z. mit S. mogyl B. und Fu ka S.: Beiträge zur Entstehung der intraspinalen Diskushernien. *Zbl. Chir* 1932, 1614. — Zubkov und Aronov.: Ein Fall von angeborener Wirbelsäulenmißbildung (Platyspondylie). *Ref. Z. org. ges. Chir* 4 532 (1933). — Zuckermann W.: Isolierte Frakturen der lumbalen Wirbelkörperfortsätze. *Ref. Z. org. ges. Chir* 60 272 (1932). — Zuckermann W.: Wirbelkompression bei Tetanus. *Ref. Zbl. Chir* 1923, 949. — Zuckermann W.: Anatomie der Wirbelveränderungen nach Wundstarrkrampf. *Dtsch. Zachr. Chir* 229, 637 (1933). — Zuckermann W.: Chiropraktik und Schulmedizin. *Ärzt. Prax.* 7 40 (1933); Möglichkeiten und Gefahren bei der Anwendung manuelle Verfahren. *Monatsk. Ärzt. Fortbild.* 1934 175; Die akut Blockierung von Halswirbelgelenken. *Med. Klin.* 1936, 806 u. 819. — Zuk h W. dt L. mit Ensming sowie Bied mann F u. Zettel W.: Wirbelgelenk und Bandscheibe. Stuttgart 1936 Hippokrates Verlag. — Zul h J.: Genese der neurologischen Symptome. Die cervikalen Vertebralesymptome. Thieme Stuttgart 1934. — Zupp A.: Die Verkalkung des Intervertebralen Pulpakerns. *Arch. radiol.* 10 30 (1934). — Zweg H.: Über Wirbelerschütterungen im Bereiche des Kreuzbeins, speziell im Zusammenhang mit der Beckenstauung. *Verh. Dtsch. Röntgen Ges.* 23, 44 (1931).

Stichwort Verzeichnis

- Abortus** 122
Abwärt paravertebraler 120
 — Benkenge 103, 120 1 5, 149
Abwärtsbitten 136
Abwärtspasse 93
Abwärtsorgan 4
Adenom, Hypophysen oder
 Lappes 94
Adoleszentenphase 39 40, 115,
 162, 177 233ff 236, 239 242,
 43
 — Ausheilung der 232
 — Diagnose der 23
 — Entwicklung der 226
 — und Knorpelknotenbildung 229
 — erreicht 232, 234
Adoleszentenkolik 243, 46
Adrenopause 7
Akromegale 94
 — Kypose bei 43
Akromioklavikuläre 123, 124, 139
Ältere Schenkelgelenke Krankheit a.
 Marmorierkrankheit
Älterliche Syndrom 91
Ältere Hüftgelenke 97
Alkaptonurie orthonotische 180
Ältere phase 76, 142, 133, 167 184
 196 223, 232, 236ff, 246, 47
 253, 256
 Einleitung der 240
 — typische 229
 durch Zusammenarbeiten
 erkrankungen 240
Ältere phase 72, 78, 81 83
 schenkelgelenke 140
Amputiert Kollaps durch Über-
 lastung bei 246
Amoklose allgemeine 132
Amoklose 132
Anämie perniziöse, langdauernde
 97
Anämie 97
 mit Kollaps 97 134
Anämie 14
 Anämie der Wirbelsäule durch
 140
 — Aorten 140
Angina 123
Angina periton 179 2 9
Angina Wirbel 124ff 145
Angione größere 129
Angiomatose 130
Analy kardiologische a. Fawcett
 Aorta, Zerreißung der 104
Aortenaneurysma 140
Apophyse 13
 — knochen 11
 — knochen erwachsene 117
Apophyse 118
Appendix 123
Arteria vertebralis 11
Arterio nutritiva 2
Arthrose der Kreuz Darmhals Fuge
 149
 — Lumbosakral 87 191 246
Arthral deformans 82, 142, 144
 223, 264
 — und Spinalis deformans 223
 — der Wirbelbogengelenke 143 243,
 256, 264 263
Arbeitshaltung ungewöhnliche
 Kollaps durch 146
Arbeitsplatz 220
Arbeitsvermögen 189
Aerarius medullae spinalis 22
Asoma 24
Assimilation 30
Assimilations 63 190
Atlas 90, 87
 — und Hinterhauptbein 17
 — Körper des 24
 — Wirbelbogen des 11
Atlas 57
Atlasbogen 37
 — Dorsiflexion 41 4
 — hinterer 117
Atlas 104
Atmung 123
Atrophie des Knochengerüsts 118
Verletzungen orgänge bei Hand-
 lern erkrankungen 123ff
Verletzungen nach Hand-
 erkrankungen 212
Ältere 85
Besondere Krankheit 141 44
Banden 94 236
Banden der Wirbelsäule 19ff
Banden gelbe 1, 26
 — röhre der 184
Banden gelbe Verwachsungen der
 144 145
 — kleinere 19
 — Verwachsung der — Bands-
 stabform 94 236
Banden der Wirbelsäule 19
Banden (a. a. Zusammen-
 schieben) 13ff
Banden 137 46
 — vordere 174
Banden 1, 180 10
 — Ergebnisse nach 174
Banden (prolaps) 93,
 154ff 161 14, 223, 230, 231
 260
 — erst Abbildung des Welt-
 tums 163
 — nationale Erscheinungsformen
 des 163
 — Anpassung des Vorfalles
 174
 — Ausheilung des 172
 — Beschwerden beim 174
 — beim Dackel 167
 — Differentialdiagnose des 169
 172
 — eingeklemmter 164
 — Erscheinungen des 165
 — Erscheinungen schmerz 165
 — exzentrisch gelegener 174
 — fixierter 164, 173
 — erkrankende Formen 165
 — freier 166
 — in der Halswirbelsäule 179
 — — — traumatisch entstandener
 174
 — H. fixiert des 162
 — Häufigkeit bei Chondrodystrophie
 167
 — Heilungen orgänge 174
 — nach Banden 16 ff 160 2 244
 — — — Formen des 161
 — — — Krankheitszeichen bei 174
 — Intradermal 160
 — klinische Bedeutung des 172
 — klinisches Bild 173
 — klinische Formen des 160
 Krankheitszustände durch 181
 nach Lumbalpunktion 169
 Negativbild des 171

- Bandscheibenvorfall operative Behandlung 167 169
 — predehnder 166, 173
 — posttraumatischer 169
 — Röntgenzeichen 171
 — Schmerzerecheinungen bei 172
 — Nichtbarmachung des 171
 — traumatische Ursache 169, 169
 168
 — Vergrößerung des 167
 — Verkleinerung des Vorfalles 174
 — volldehnter 17
 — wandernder 166
 — Zusammenhang mit Dornfortsatzbrüchen 118
 — — — Wehrdienst 169
 Bep.-Infektion 123
 Biedersteiner Erkrankung 83
 Bismarck'sche Displase des 87
 Bismarck'sche Displase des 87
 Bismarck'sche Displase des 87
 Bismarck'sche Displase des 87
 Becken-Asymmetrie 83, 190
 — Aufsprung des 190
 — Entzündung im 237
 — Raumverhältnisse des 28
 — Scheitelform des 237
 — Tragfähigkeit des 23
 Beckengelenke hormonal bedingt
 Lockerungen der 270
 Beckenmarken Mitverletzung bei
 Kreuzbarmbrüchen 110
 Beckenring 149
 — Lockerung des 148
 — Verspannung im 269
 Beckenrumpfaufbau, Verschiebung der
 149
 Beckenverbildung 24
 Begriffsstärken 22, 101 102, 103,
 149 169, 206, 213, 232, 262, 270
 — eigen Wehrdienstbeurteilung
 261
 Bismarck'sche Displase des 87
 — bei Kreuzbarmbrüchen 47
 Behandlung bei Fehlbildungen 28
 — Instabilität 120
 — Reduktion 181
 Belastungsanspruch des Bandscheibensystems 164
 Berufskrankheit Spondylitis deformans 127
 Berufsschädigungen 218
 Beweglichkeit der Wirbelsäule 24,
 234ff
 — Bewegung in den einzelnen Wirbelsäulenabschnitten 23
 Bewegungsegment 24ff 23, 26, 48,
 119 14., 148, 180 133 172, 182,
 223, 240, 244 23 236, 261 104
 — Aufbau des 152, 164
 — Bewegungsmöglichkeiten des 173
 — Lockerung im 163, 17 176, 177
 178, 182, 187 233, 266
 — Versteifung des 103
 Bewegungsmöglichkeiten an der Wirbelsäule 23
 Bismarck'sche Displase des 87
 Bismarck'sche Displase des 87
 Blockierung der Beweglichkeit 149
 — der Kopfgelecke 16
 Blockierung des 20 30 33 5., 14., 143,
 147 196, 107 212, 40 43, 244
 236
 — angeborene 29ff 1 1 142 152
 Blutgefäße 29 23, 121 193
 — male 14
 — Durchtrittsstellen der 230
 — in den Zwischenwirbelsäulen 14
 Blutgefäßverengung Fehlen der
 24
 Blutgefäßversorgung Fehlen der —
 einer Wirbelsäulenabschnitt 2
 Blutgefäßverengung erhöhter 236
 — bei Marmorknochenkrankheit 93
 Blutkrankheiten mit Knochenveränderungen 97
 — Osteoporose bei 97
 — Osteopathie bei 96ff
 — Osteoporose bei 96
 Blutungen in die Gallertkernhöhle
 182, 200
 Blutversorgung der Wirbelsäule 2
 Blutkreisregulation, verzögert
 236
 Bogen Wirbelsäulen
 Brachialgie 178
 Bronchialkrebstumoren 133
 Bronchitis 123
 Brüche s. Frakturen
 — Brustwirbelsäule 103
 — Dornfortsätze 117 118
 — Epistropheus 109
 — Ermüdungs- 43, 112 117
 — G lenkförmtig 117
 — Kompressions- 103 105, 254
 — Kreuzbein 110
 — Längs- 108
 — Quer 74 104
 — Querfortsatz 118
 — Querschnitt- 103, 104, 105, 111 117
 — Randkanten 113
 — Schleuder 117
 Brüche Kehlkopf 107
 — Kehlkopf 107
 — Spontan- 111
 — Kieferknochen 110
 — Verrenkungen 107 108, 109
 — Wirbel 101ff 147
 — Wirbelbogen 116, 117
 — Wirbelgelecke 116
 — Wirbelkörper 102ff
 — Wirbelkörperkanten 113, 115
 — Wirbelkörperzusammenstoß 77 80
 91 93 93 94, 112 113, 116, 124
 127 129 133 134 140 102 106,
 209 237 243
 — Überstreckungs- 104
 — Zusammenstoßungs- 103
 Brustkorb 23
 Brustkorbbreiteverengungen 23
 Brustkyphose 111
 — normale 76, 89
 Brustwirbel, rippentragende 38
 Brustwirbelgelecke 39
 Brustwirbelkörperbrüche 103
 Brustwirbelsäule Dornfortsatzspalten der 42
 — Kyphose der 22
 Bismarck'sche Displase des 87
 Canals intervertebralis 10
 Carcinom 43
 Chondrosarkom 24 26, 119 149 181
 261
 Chlamydomonas oculogenitalis 230
 Cholesterin-Speicherung 93
 Chondrodystrophie 93, 44
 — Häufung an Bandscheibenvorfällen bei 187
 Chondrom 132, 169
 Chondrophysio 14
 Chondrosarcom 193
 — im Zwischenwirbelsäulenabschnitt 167
 — drosselnd der Knorpelplatten 167
 169, 184
 — intervertebralis 15., 182ff 186,
 109 218, 164 267
 — — positiv Röntgenzeichen der
 183
 — — primäre 187
 — — sekundäre 187 190
 Chorda dorsalis 14, 28, 29 40 133
 — — Fehlbildungen der 28, 39
 — — Rest der 14 28, 35
 — — Rückbildungsvorgänge 28
 39
 — — Spaltung der 31
 Chordaverwachsung, intervertebralis
 14 16, 16

- Foramen transversarium 39
 Foramina intervertebralia 20
 — a. a. Zwischenwirbelloch
 Fortsätze der Wirbelbögen 19
 Fortsatz, Nabel 11
 Fraktur a. a. Brüche
 — Ermüdungs- 113, 117
 — pathologische m. Papet Wirbelkörper 84
 — der Portio interarticularis 262
 Fractura cum distractione 108, 118
 Frakturkallus 87
 Friedrichsche At. le. Kyphose bei 243
 Frühossifikation der Wirbel 98
 Fuge, Dornfortsatz- 41
 — Kreuz Darmbein 148 259 269
 — seitliche Wirbelbogen- 43
 — Spondylole- 44
 Fugenbildungen zwischen Wirbelbogen und Körper 81
 — in der Wirbelbogenwurzel 51
 Funktionsprüfung der Wirbelsäule 98
 Furunkulose 122
 Gallenstein, Wirbelosteoporosen bei langdauernden 81
 Gallertkern der Zwischenwirbelscheibe 14 15, 16 22, 23, 25, 26, 29 40, 176
 — akromioclaviculärer 186
 — Ausbuchtungen im Gebiet des 181 177
 — Ausdehnungsdruck des 74 8, 157
 — — veränderter 182
 — Austrocknungserscheinungen des 90
 — Chondrozyten im 16
 — Elastizität des 231
 — Farbänderungen des 152
 — Grundlage des 28
 — Lage des 16
 — Sprengkraft des 18 22
 — Veränderungen des — hyperergische Ursache 183
 — Verkalkung des 170 192
 — W.eraufnahmefähigkeit des 23
 — Wassergehalt des 18
 — Wasserverarmung im 187
 — Wasserrücknahme an 245
 Gallertkerndruck, Mikr. des 181
 Gallertkernflüssigkeit 908
 — Ph. Ionenkonzentration in der 219
 Gallertkerngrenz bei 187
 — degenerativ. Veränderungen des 166
 Gallertkernhöhlen, Ausläufer der 166
 — Blutungen in die 193, 200
 — erweitert 183
 — hintere Recessus der 189
 — Kontraktilität in der 172
 — Spaltwerk der 192
 — syphilitische Erweiterung 131
 Gallertkernhöhlenräume 18, 183
 Ganglien, sympathische 180
 Ganglioseum 141
 Ganztaufnahmen der Wirbelsäule 22
 Gasser-Zellen 92
 Geburtsdiße 28
 Gefäßdurchtrittsstellen 4 46
 Gefäßbisprowung 5
 Gefäßkanäle 2, 74
 Gefäßkanalen 14 217
 Gelenke, kleine 11ff., 12, 22, 23 23 98 57 84 90 107 116, 117 124 141ff., 163 201 202, 224 225, 231 233, 238, 269
 — Kopf 11 23, 25, 119 180, 261
 — Lenden Kreuzbein 981
 — Rippen Wirbel 117 258
 — Uncovertebral 11 148, 170, 171 172, 223
 — — Veränderungen der 179
 — Wirbelbogen 11ff., 12, 13 21 59 109 118 119 141ff., 254, 261 284, 285
 Gelenkblockierung 261
 Gelenkflächen, Verschiebung der 264
 Gelenkfortsätze 12, 52
 — Apophysen an den Spitzen der 13
 — Dysplasie der 45
 — Flächen der 53
 — obere 43
 — — Nebenknochenkerne an den 56
 — Periostr. der 142
 — Stellungänderungen der 142
 — untere 43, 263
 Gelenkfortsatzbrüche 117
 — selbständige 117
 Gelenkfortsatzspitzen 26
 — knöchern erwachsene Apophysen 117
 — Nebenknochenkerne an den 55
 Gelenkfortsatzverdickung 123
 Gelenkkapseln, Verkalkungen der 56
 Gelenkkapselschmerzen 142
 Gelenkkörper 24
 — jugendlicher 169
 Gelenkkörper freie 14, 188
 Gelenkspalt 13
 Gelenkt. berikulose seros-exsudative 15
 Gelenk erst Bang fixiert 261
 Gelenkzwischenbänder, derblau- rige 13
 Gel-Struktur 182
 Geradehaltungen 187 248ff., 264
 Gesamtwirbelsäule 56, 59 61
 Geschwülste a. Tumoren
 Gewaltwirkungen 78, 81 126, 132, 160, 168, 184 200
 — Bedeutung für Bandscheiben-schäden 168
 — echt 81
 — plötzliche 168
 Gewebverminderungsschaden 168
 Gewebeschäden, traumatisch ent- standene 166
 Gifffos 34, 83, 104 112, 121 125, 240, 242, 44 200
 — angeborener 32
 — bleibender 143
 Gitter Gel-System, dreidimensiona- les 16
 Gliedmaßen, Belastungen der 24
 Gliedmaßen dystrophie 91
 Gonorrhöe 122, 254, 257
 Gorilla 9
 Granulom, primäres eosinophiles 86
 Grippe 123
 Grundplatte der Wirbelkörper 2, 10
 Habitus asthenicus, hypoboe bei 243
 Hamangi endothel Sarkom 123
 Hämangiom 43
 Halsache Spalten 20
 Halsgelenk Zwischenwirbelscheibe 24, 25, 182
 Halsgelenke 150
 Halswirbel 31
 — dorsale (rückwärts liegende) 24, 25 26, 228
 — einseitige 22, 32, 245
 — — knöchern 33
 — durch hemimetamere Segment- verschiebung 33
 — ventrale (bauchwärts liegende) 23, 26
 Halswirbeln 57 58, 70
 Halswirbel, rippentragende 57
 Halswirbelkörper 11
 — Processus uncinatus der 223
 Halswirbel luxationen 104
 Halswirbelsäule Bandscheiben or- fall in der 179
 — — traumatisch entstandener der 174
 — Beschaffenheit an der 181
 — Bogenfortsatz der 69
 — Dornfortsatzspalten der 41

- Halswirbelsäule Lenden der 22
 — Segmentanlage der 57
 — bei Sportlern 27
 — tragende 181
 — Unvollständigkeiten der 170
 171 17
 Haltungskolikow 18, 246
 Harnleitersteine 118
 Hemiarthrose Intervertebralis
 lateralis 11 223
 Hemispondylia sagittalis 23
 Hemispondylus 43
 — posterior 23
 Hemmungsverzögerung bei der Reg-
 mentierung 30
 Herpes zoster Gallertkern entkal-
 kung bei 192
 Heubner-Herterische Erkrankung 83
 Herzenschlag a. Lumbago
 Histiocytosis osseus 42
 Hinterhauptbrunn 57 69
 Hochdruck, zervikaler 179
 Hochwuchs, exzessiver Kypchow
 bei 243
 Hormon, antiosteoporotisches 72, 81
 — N 72
 — Nebennierenrinde 72
 — Nitrogen 72
 — Ovarial 72
 — R 72 73, 81
 — Rugar 72
 — Testikel 72
 Hormonbehandlung 81
 — bei Osteoporose 72
 Hormonkurven 81
 Hormonüberdosierung 81
 Hüftgelenkerkrankungen 63
 Hungerosteomalazie 83
 Hungerostropathie 83, 1 1 43
 H. atrophica 18 183
 Hydrocephalus cerebri 68
 H. perikalyne 83
 H. peritonaei, Soma 84
 — general 84
 Hypertrophie der grauen Bänder 169
 H. perith. rector, Osteoporose bei 83
 H. phosphatase 84
 H. pophyren, überlappende Adenom
 84
 H. y. rector 14 20, 183
 K. rung der Chondrocyten
 bei 29
 K. rumpus 3
 K. rumpus, intervertebralis inferior 21
 K. rumpus 21
 K. rumpus 11 11
 der Wirbelsäule 1195
 Infektionen der Zwischenwirbel-
 scheiben 190 4095
 Infektionsherde 262
 Infuenza 123
 Infektionen 77
 Initialtrauma 169, 183, 400
 Infiltrationsbehandlung 120
 Inoffizientia, erethische 178
 Interkostalrune 178
 Intermediärknorpel 12
 Intervertebralkanäle 20
 Intervertebralregion 29
 Involutionsosteoporose 72
 Ischialgie 178, 246
 Ischialgie Symptome 174
 J. H. Lichterstein Krankheit 91
 Kadmiumvergiftung 83
 Kaderische Krankheit (s. a. Plasmoc-
 ytom) 98
 Kalkus 107 117 223
 — endostaler 103
 — Mark 103
 — periostaler 106
 Kalkbildung, Störung der 113
 — nach Wirbelfraktur 147
 — bei Wirbelkörpergürtelschmerz
 103
 Kalziumresorptionstörung 83
 Kalziumstoff, eckel 71
 Kanten a. Wirbelkörperkanten
 Karkul 123
 Kaskin-Beil Krankheit 84
 Kaskalgie 148
 Keryn-Schema 179
 Keilwirbel 76, 78, 81 83, 93, 94, 116,
 123, 228, 231 232 240 42, 243
 243, 248
 angeborener halbseitiger 33
 Keil, Wirbelbildung osteoporotische
 77
 Kerau Rumpfung 83
 Kerkische Erkrankung 90
 Kittlinien 85
 Klippel-Feil Syndrom 5., 88, 89 70
 16
 Knochen, kalkiger 103
 L. myelogrammatoblaste im 94
 — Paget 85
 Kalk 113 230
 Knochenatrophie 715 73, 81 91
 allgemeine, schmerzhaft 80
 Knochenauflagerungen, sklerotische
 94
 Knochenbälkchenwerk, Umbau des
 123
 — Widerstandsfähigkeit des 89
 Knochenbälkchenwerk, Zusammen-
 bruch des 103, 112
 Knochenbälkchenzeichnung, Auf-
 bildung der 96
 — grobstrahlige 83
 Knochenbau, Änderungen des 83
 Knochenbildung, Hemmung der
 periostalen 96
 Knochenbrüchigkeit 94 96
 Knochen dystrophie, Sinterische 91
 92, 112
 Knochenfestigkeit krankhaft herab-
 gesetzt 111
 Knochenkarie 123
 Knochenkernanlage 38
 Knochenkerne endochondrale 43
 — sklerotische 93
 — wurfelförmige 33
 Knochenhaut 136
 — sklerotische 101
 Knochenmark 73, 100
 Knochenmarkentzündung, eitrige
 123
 Knochenmarkreaktionen 73
 Knochenmatrix 81
 Knochennekrose septische 94
 Knochenresorption, lokale 94
 Knochen tuberkulose 1195
 Knochen, erkrankter, bei Blut-
 krankheiten 97
 Knochenwachstum, überhöhtes
 130
 Knochenzeichnung v. benartige 120
 Knochenzyklen, jugendliche 90, 91
 Knöchel, Schenkel 28, 73, 123
 143, 1515, 184 187 104
 230, 234 243, 250, 268
 — — Häufigkeit der 181
 — — hinter 178, 199 124
 — — posttraumatische 207
 — — Schmerzauslöser bei 178
 — — und Trauma 100, 208, 209
 — — im Wirbelsäule 1815
 — — im Wirbelkörper 177
 Knorpel, Intermediär 12
 — Z sehen 12
 Knorpelanlage 14
 Knorpelknötchen 181 178, 228
 — rithische 181 188
 — biteres, eckel, biteres 184
 Knorpelknötchenbildung 231
 — und Adhärenz alkyphose 229
 Knorpelknötchenentwicklung bei
 Tieren 180
 Knoch. l. d. 14 1 21, 20 3.
 116 187 173, 184, 191
 — Chondro. d. 187
 164 184

- Knochenplatten, Degenerationen in den 184
— Lösung der 113, 116, *03
— Minderwertigkeit der *33
— Rißbildungen in den 158 *08
— Spalten der 184
— sternförmiger Riss in den 200
— widerstandsfähige 210
— Zerstückung der 203
—, Zerstörung der *30
Knochenläsungen 142, 223
Knochenwachstumsherde 161
Knochenwachstumsvorgänge 1 6
Knochenwachstumszone 15
Knochenzellherde 161
Kollisionsfraktur 1 4
Kompressionsfrakturen *34
Konstitutionstyp 22
Kopfgelenke 11 22, *6, 119, 180
—, Rückenmark der *61
Kopfschmerzen 119
Krankheitsbehandlung für Psychosen 111
Krankheit *Alters-Schädelerg*
— a. Mammoknochenkrankheit
— Basilarische 141 44
— Basilarische 83
— Beckenrische *34
— Burgersche 97
— Cushingische 84
—, — Osteoporose bei 73
—, Fischschiel- 83
—, Griescherische 93
—, Heubner-Herterische 83
— J. H. Lichtscheitersche 91
— Kallersche (s. a. Plasmocytom) 84
—, Knoch. Beck. 84
— Kienboische 86
— Koppelsche 32, 68, 69 *0 216
— Küsselsche 80 11., 113, 124 178, 206, 209 215
— — fibrocartilaginäre Form 207
— Küsselsche 83
— Paget a. Osteodystrophia deformans
— Brüll-Spinaerische a. Osteodystrophia fibrosa generalisata
— Schäffer-Christiansche 83
Krebstumoren 131
— knochenmetastatische 100 132
— im Röntgenbild 123
Krebstumoren 81
Kreuzbein 80, 87 176, 246
— Aufklappung des 109 233
— Ausbildung des 132
— Fortsatzen des 34
Kreuzbein, Gestalt des —
— Heraustrreten aus dem 89
— Oberfläche des 231
— Verschmelzung der Wirbelkörper des 31
Kreuzbeinanomalien 34
Kreuzbeinbrüche 110
Kreuzbeinfortsätze 83
— Fugenbildung 42
Kreuzbeinflügel, hochst. bender 87
Kreuzbeinergend, Spina bifida anterior 32
Kreuzbeinmangel, halbseitiger 34
Kreuzbeinverwachsung 13 59 83, 86, 94
Kreuzbeinverwachsung Ausbildung der 67
Kreuzbein-Steißbein-Grenze Übergangswirbel a der 87
Kreuzbeinwirbel, Querfortsätze der 13
Kreuzbeinzyklen 3 43
Kreuz Darmbein Fuge 149 230 *69
— Arthrose der 149
— Verknöcherung der 230
Kreuzschmerzen 22, 26, 269
— Begutachtungsfragen bei 47
— differentialdiagnostische Erwägungen über 149
— Formen von 308
— statische 270
— und Verschiedenheiten des Lenden Kreuzbein Winkel 23
Krummungserhaltung normale 24
Kryolith Osteoklasten 100
Küsselsche Krankheit 80 112, 113 134 178, 206, *07 *09 215
— — fibrocartilaginäre Form 207
Kurzhaile 80
Kypthose 6, 83, 84 143, 235ff. 244
— Adoleszenten- 39 40 113, 162, 177 235ff., 236 239 242, 43
— — Ausheilung der 233
— — Diagnose der 23.
— — Entstehung der 28
— — und Knochenbildung 229
— — vererbt 232, 234
— bei Akromegalie 243
— Alters- 76, 143, 183, 187 184 194, 223, 232, 235ff., 248, 24 233, 236
— — Endzustand der 240
— — typische 239
— — durch Zwischenwirbel scheibenveränderungen 240
— — angeborene 22, 34 33 28
— der Brustwirbelsäule 2
Kypthose bei rachitoidem Wachstum und endokrinen Wachstum 243
— infantile 230
— jugendliche (s. a. Adoleszenten kypthose) *30 233
— bei verschiedenen Krankheitszuständen 243, 244
— osteoporotische 77 237 239 240
— posttraumatische 240ff.
— — Formen der 241
— Tot 1 83
— vererbt 143, 232
— nach Wirbelkörperinfektionen 43
— zunehmende 36
Kypthoskollase 1 2, 243
— Herrschaden bei 24
Lähmungen 179
— Querschnitts- 69 83, 108, 157 169, 243
Längsbänder der Wirbelsäule 14
Längsband, hinteres 18 39 163, 184, 234, 247
— Mikroskizierungen des 207
— Verknöcherungen, Bruchlinien in 227
— vorderes 18 39, 91 120 174 203 218
— — Verknöcherung des gesamten 238
Langbrüche sagittale 104
Lamellenring a. Faserring
Lamektomie 110 130 18., 244
Langwirbel 121 244
Lendenbandscheibe, 5., Winkel der 231
Lendengelenkstellung doppelte 59
Lenden-Kreuzbein-Gegend 269, 2 0
Lenden-Kreuzbein-Gelenk Blockierung der 261
Lenden Kreuzbein Übergang 32 56, 61 84
— Dornfortsatzfugen 42
— Verknüpfungsbrüche am 109
Lenden-Kreuzbein-Winkel 21 *2 230ff. 269
— bismore 240 2. 233
— — klinische Diagnose 33
— Messungen des 230
— Ursachen der Verschiedenheiten 231
— Veränderungen des 231
— — bei Spondylolisthese 13
— Verschiedenheiten des, und Kreuzschmerzen 2 2

- Neurofibromatose 91 44
 — Wirbelkollumverdrängung bei 244
 Nierenerkrankungen, chronische 83
 Nierenleiden, Akutformen bei 246
 Nierensteine 118
 Nitrogenhormon 72
 Nucleoporphyrin 1 — 1 4
 Nucleus pulposus (s. a. Gallertkern)
 14
 Nucleus-pulposus-Prolaps 167
 Ochronose 183
 Ödem, tropisches 180
 Okzipitalgegend, Spheno- 133
 Okzipitalnervulgie 259
 Okzipitalwirbel, Manifestation des 87
 Operationen bei Bandscheibenvorfall
 167 180
 Orang Utan 9
 Organe blutbildende 100
 Ossidation, hypertrophische 30
 Ossifikationsderme, abortive 230
 Ossifikationsknoten 15, 184 217 230
 Ossifikationsstörung, endochondrale
 228
 Ostitis condensans 94
 Ostitis condensans RH 149
 Osteoarthritis 94
 — hypertrophische pulmonale 94
 — vertebrale 190
 Osteoarthritis proc. spin. 141
 Osteoblasten 72
 — Aktivitätsänderung der 73, 81
 83
 Osteochondritis 96
 Osteochondritis deformans juvenilis
 dorn 228
 Osteochondritis dissecans 228
 Osteochondrom 131 132
 Osteochondropathia multiplex 93
 Osteochondrosen 83, 217 224, 254, 260
 Osteochondros der Bandscheiben
 148, 207
 — intervertebrale 153, 184, 184 ff.,
 244 265, 267
 Osteodystrophia carcinomatosa 129
 Osteodystrophia deformans (Paget)
 84 ff., 88, 91 101 145, 151 152
 — — Ätiologie 87
 — — Gewebeschaffen der 85
 — — pathologische Frakturen bei 80
 — — roentgenologische Differential-
 diagnose 83
 Osteodystrophia fibrosa generalisata
 (Reckl. nephrosen) 8 —, 83 84 87 ff.,
 91 139, 151
 Osteodystrophia fibrosa localisata 90,
 91
 Osteodystrophiegruppe 84 ff., 213
 Osteogenese imperfecta 93 96
 — — congenita 93
 — — i rda 93
 Osteoid, kalkarmes 8
 Osteoklasten 131
 Osteoklasten 72
 Osteoklastenaktivität, gesteigert 83
 Osteolyse bei Blutkrankheiten 97
 — bei Lymphogranulomatose 98
 Osteomalacie 81 8 —, 83, 131
 — forme fruste der 81
 — Hunger 83
 — virile 83
 Osteon 131 132
 — der Wirbelbögen 13*
 Osteomyelitis 123 ff.
 — abgeschwächt 228
 — generalisierte 124
 — Wirbelkörper 101 123
 Osteomyeloiderose 96, 97
 — endangiotische 97
 Osteopathen 181 281
 Osteopathia condensans disseminata
 94
 — hyperostotica monomelica 94
 Osteopathie bei Blutkrankheiten 96 ff.
 — Hunger 83
 — renale 83
 — seltene porotische 83, 84
 Osteoporostitis 210
 — gummosa 126
 — pubis 257
 — tuberculosa 190
 Osteophytoma carcinomatosa 136
 145
 Osteoporphyrin 94 131
 Osteoporose 71 ff., 86, 91 93, 131
 225, 237 240 243, 246, 251
 — Alters- 73 ff., 78, 81 83
 — — schmerzlos 80
 — Entstehung der 73
 — bei Eumacholismus 73
 — Beckige 91
 — generalisierte 97
 — Hormonbehandlung 73
 — hormonelle 73
 — bei Hypertyreosen 83
 — Inaktivitäts- 73
 — Involution- 73
 — bei Jugendleuten 81
 — durch Miasmen 81
 — bei Morbus Cushing 73
 — bei Ovarienrese 73
 — postmenopausale 73, 81
 — primäre 80, 81 83
 — — schmerzhaft 80 81
 — senile 73 ff. 78 81 83
 Osteoporose Verwechselung mit Wir-
 belquerfrakturen 74
 — der Wirbelkörper 8
 Osteopathy, rosis 83
 Osteosis eburnea monomelica 94
 Osteosklerose 94 96, 97 100, 133
 — Kryolith- 100
 — bei Lymphogranulomatose 99
 — Phosphor 100
 — Strontium 100
 — toxische 100
 — tubuläre 97
 — bei Vergiftungen 100
 Ostia, chronische 87
 — condensans generalisata 94
 — deformans a. Osteodystrophia
 deformans
 — fibrosa 84 91
 — marginale 90
 — rarezierende 123
 Ovarienrese Osteoporose bei 73
 Ovarialhormone 72
 Pachydermia, Hyperostosis general-
 ista mit 94
 Pagetische Erkrankung a. Osteody-
 strophia deformans
 Paratyphus 123
 Paravertebralabszesse 124
 Paravertebral Injektion, Band-
 scheibeninfektion durch 10
 Paravertebralschatten 248
 — verbreiteter 120, 133
 Pathologie der Funktion 26
 Pelviopodilitis ossificans 237
 Periarthritis humeroscapularis 179
 Perichondrium 11
 Perichordalseptum 37
 Perichordalzyllinder 39
 Periduralraum 120 177 183, 235
 — Bandscheibengewebe im 173
 Periduralgraphie 171
 Pericostitis albuginea 123
 Perist. Kallusbildung 100
 Periostitis 123
 Periostitis bei Adolventen
 kyphose 225
 Phosphor-Osteosklerose 100
 Plasmoeytom 94 100
 Plattwirbel 69 98, 100
 Platyspondylia generalisata 81 93
 Pneumonie 123
 Focke 123
 Polyzysthämie 97
 Portio interarticularis a. Zwischen-
 gelenkfortsatz 43
 Pothner Buckel 43

- Präpondylolisthese 133
 Prästabilisiert Wirbelsäulenbeschädigung durch 227
 Processus accessorius 53
 — functus 11
 — mamillaris 12, 33
 — myeloides 53
 — ancinatus 11 133
 Prolaps des Nucleus pulposus 167
 Promontorium, Winkel des 210 133, 133
 Prost 1a, Fokus in der 137
 Prost takaribonomet stauen 133
 Protruso oder Prolaps der Bandscheibe(s. a. Bandscheibenvorfall) 163 170
 Pseudarthrose 109 113
 Pseudoklunkle 97
 Pseudokristallisation 66, 67
 Pseudospondylitis, infantile 96
 Pseudospondylolisthese 50, 142, 146 236, 263
 Pseudotuberkulose 123
 Pnithosen, Krampfbehandlung bei 111
 Querfraktur 74 106
 Querfortsätze 1., 23 5., 54
 — Fehlbildungen der 53
 — gelenkig verbundene eines Übergangs arbeits 53
 — der Lendenwirbel 50
 Rippenrudiment an den 66
 Veränderungen der 84
 Verdrösterung aller 84
 Vergrößerungen der 53
 Querfortsatzfraktur 118
 Querschnittsförderung 88, 93 109, 127 43
 — Läsion 164
 Querschnittsmuskel 179
 Querschnittsfraktur Wirbelsäule 103 104 105 111 117
 — — Begleiters heutung der 105
 Rachitis 81 82, 233
 renale 82
 Randleisten (s. Wirbelkörperveränderungen) 8 4
 abgelenkt 184
 gewöhnliche 8
 Kanten der 182
 knöchern 8, 7 14 15, 19 76, 184, 184
 knorpeliger 8
 traumatische Beschädigungen der 196
 Veränderungen in den 31
 Randleisten, Verletzungen der 112, 113
 — Verschmelzung der 7
 Randleistenanlage knorpelige 5, 6
 Randleistenanulus 217 218, 239
 — Abtrennung des 18
 — Fasern des 218, 226
 — Lockerung des 19 223
 — Rissbildungen am 217 223
 Randleistenbrüche 113
 Randleistenentzündung Abriß des 203
 Randleistenring, knöcherner 8, 116
 Randleistenverknöcherungen 6
 Randwulste 217
 — Ausbildungs- und Rückbildungsvorgänge an dem 23
 — hintere knöchern 224
 — und Randzacken bei Kriolose 247
 — überbrückende 83, 247
 — im Wirbelkanal 224
 Randwulstbildungen 126, 220, 133, 264
 — glatte 225
 — Ursachen für die 217
 — Verschlimmerung der 223
 — und Zwischenwirbelscheiben degenerationen 216
 Randwulstverwachsungen, knöchern 126
 Randzacken, beginnende 220
 — knöchern 203
 — an den Unkovertebral Gelenken der Halswirbelsäule 170 171 172
 Randzackenverwachsungen, knöchern 142
 Reel spinosacrale Erkrankung a. Ostrodystrophia fibrosa
 Reduktionsbehandlung 181
 Reflexstörungen 178
 Repositionstechnik 181
 Retikulovaskomatose 100
 — gewirbelmäßige 94
 Rheumatismus 137
 Rheumatische, endokriner Kypnose bei 43
 Riesenzelltumoren 81 132 133
 Rippenanlagen 97
 Rippenanomalie 57
 Rippenrudiment vergrößert 62
 — als Querfortsatz 84
 Rippenverwachsungen 33
 Rippenverwachsungen 46
 Rippen-Wirbel-Gelenke 117 239
 Röntgenaufnahmen postoperativer Wirbelkörper 31
 — der Wirbelsäule im Rücken 206
 — in verschiedenen Zuständen 204
 Röntgenbefund Überbewertung des 178
 Röntgenbestrahlung von Tumoren 101
 Röntgenbild, Beurteilung des 26
 — Darstellung der Kopfgeleite 26
 — Darstellung der Spondylolysis deformans 222
 — Darstellung der Wirbelsäule 26
 — Darstellungsmöglichkeit der normalen Zwischenwirbelscheiben im 14
 — Deutung des 26, 267
 — — der Spondylolysis deformans 219
 — Halswirbelsäule im 30
 — bei Infektionen der Zwischenwirbelscheiben 212
 — Kantenabtrennungen im 178
 — Kribbelnswachen im 133
 Röntgendignostik, klinische 171
 Röntgenmessung 23
 Röntgenprojektion bei 21 / Page 83
 Röntgenröhrenuntersuchung 222
 Röntgentechnik 118
 — verbessert 160
 Röntgenuntersuchung, anweichende bei Wirbelsäulenverletzungen 102
 — des Bandscheibenvorfalls nach hinten 170
 —, funktionelle 24 26, 171 183, 206
 — Unfallverletzter 203, 223
 — der Wirbelsäulenfunktion 160
 — bei Wirbelschiebungen 261
 Röntgenziehen, positiv der Chondrodis intervertebralis 183
 — milderbare des Bandscheibenvorfalls 171
 Rot 123
 Rückenmark 22, 24, 24 88
 — Blutversorgung des 48
 — Druckveränderungen auf das 129 130 224 246
 — Mitverletzung bei Bogenbrüchen 104, 117
 — — bei Verrenkungsbrüchen des Füllstrophus 106
 — — bei Wirbelfrakturen und Verrenkungen 110
 — operativ Verletzung des 244
 Rückenmarkverwachsungen 120, 133
 Rückenmarkfehlbildungen 40
 Rückenmarksgewirbel 18
 Rückenmarkshäut Ausbuchtungen der 32
 — Fehlbildungen der 180
 Rückenmarkskanal 123, 194
 — Erweiterung in dem 133
 — Weite des 178

Rückenmarkläsionen 132
 Rückenmarkschädigung 96, 104, 120
 133, 200, 233
 — bei Bandscheibenvorfall 163
 — schwere 105
 Rückenmarkstumor extramedullärer
 169
 Rückenmarkswurzeln *0, 172, 1 4
 178, 179
 — Ausstrahlungsschmerz der 173
 — Selbstheilung der Schmerzen 173
 Ruhr 237
 Rumpfgewicht 4
 Rumpfmuskulatur 22
 Rundzellenmarken, gefäßreiches 132
 Sacrum acutum 233
 Sakralisation 39 60 61 146, 172
 — einseitige 64
 — Häufigkeit 61 62
 — mit Kreuzschmerzen 63
 — Pseudo- 66, 67
 — bei verschiedenen Rassen 63
 Sakrum s. a. Kreuzbein
 — konsolidierter Vorbau des 49
 Salmonele 123
 Sanduhrgehirn 140 141 145,
 147 169
 Sarkom, Ewing- 132
 — Hämangioendothel- 132
 — primäres 132
 — Riesenzell 132, 133
 — Rundzell 132
 — Wirbel 91 101 136
 Scleromayndrom 68
 Schädeltrauma 119
 Schädelschichten 116, 220
 Schambeinfuge 239
 Schiefhals 123
 Schicht, plattellige 4
 Schichtaufnahmen 11 1., 22, 24 26,
 117 120 123 181 234 *61
 Schieferhals 70
 Schilddrüsenkrebsmetastasen 133
 Schuppenkrankheit 117
 Schlaganfallursachen 43 54
 Schleuderbruch 117
 Schilddrüsen 142
 Schlußplatte (a. Wirbelkörper
 schlußplatte), durchbohrte 8
 knöchernes 8 15 73 137
 — knorpelige 4 7 18 181 184 203,
 *09
 — verdoppelt 10
 Schmerz, h. perikranische 160
 — schädelische 160
 — Kreuz 22, 26, 47 149 232, *69
 270

Schmerzleitungsbahnen *0
 Schmetterlingswirbel 31
 Schmorle'sche Knötchen 39 73, 123,
 144, 154ff., 184 187 194 230,
 234 243, 250 *68
 — — Häufigkeit der 161
 — — histere 178 199 224
 — — posttraumatische 207
 — — Schmorle'sche Knötchen bei 178
 — — und Trauma 160 209, 209
 — — im Wirbelkanal 182ff.
 — — im Wirbelkörper 177
 Schußbrüche der Wirbelkörper 107
 Schäfer-Christiansche Krankheit 93
 Schulterblatthochstand 70
 Schultergürtel 24
 Segmentierung, ausbleibende 30
 — Hemmungsvorgänge bei der 30
 Segmentablenkung, horizontale 29
 Segmentverschiebungen 236
 — hemilaminäre 33, 68 245
 — — Halbwirbel durch 33
 Segmentverschiebungen 33
 Seitenablenkung, physiologische 22
 Senkungsbasis 120 149
 — spondyliischer 103
 — tuberkulöser 125
 Sequenter Bandscheiben 166, 172,
 174 187
 — tuberkulöse 7
 Sexualhormone 73
 Sklerose F. v. 13, 24 48, 218
 S-Hormon, kortikogenes 72, 84
 Schiefhals 11
 Sirenenbildung 34
 Sirenenbildung 34
 Sklerodystrophie 237
 Skoliose 36, 47 66, 142, 154 43ff.
 — Adoleszenten- 245, 248
 — angeborene 33, 64 245, 268
 — Dreiecks- bei 267 269
 — Entwicklungstheorie 122,
 248
 — Erblichkeit der 245
 — erworbene 243ff.
 — Haltung- 46
 — — und Spondylolisthese 219
 — juvenile 245
 — bei verschiedenen Krankheitszu-
 ständen 46
 — Lumbal 227 246
 — nephrotische 246
 — ph. ologische 22
 — Randwulst und Randzacken bei
 47
 — spondyliische 104
 — durch Überlastung bei Anpa-
 tieren 246

Skoliose Ursachen von 174 246
 Skolioseursache 227
 Spaltbildung, angeborene 43, 117
 — im Zwischenwirbelscheiben-
 gewebe 11
 Spalten, H. A. sche 30
 Spannfäden 13
 Spinalversteifung 51 122, 14., 244
 46
 Spino-Osteomyelitis 133
 Spina bifida 4., 66
 — anterior 32
 — des Atlas 16
 — incompleta 32, 43
 — occulta 42
 — posterior 41
 Spinalganglion 26
 Spondylarthritis ankylopoetica 14.,
 144 145, 149 181 220 224
 223, 240 244 246ff., 267
 — Beginn der 38
 — Behandlung der 239
 — destruktives Stadium 239
 — Entstehungsursachen 236, 237
 — — Häufigkeit der 239
 Spondylitis, akut 97
 — anterior superficiell- 120 210
 — beginnende 96
 — deformans 215
 — infektio 101 119 123ff., 223, 234
 — — Ausheilung der 123
 — — bei Neugeborenen 124
 — — und Trauma 126
 — posttraumatische Kausell 9
 — syphilitische 126
 — — Ausheilung einer 196
 — traumatische 112, 215
 — tuberkulöse 119
 — typhöse 11
 Spondyl-Nachschmerz ap. armalis
 142
 Spondylolisthese 180
 Spondylolisthese 28 43, 45, 47 149,
 153 180 230 261 262, 264 268
 — Bandscheibenveränderungen bei
 49
 — Behandlung der 50
 — erst 109 261 262 263
 — Pseudo- 50 142 149 263
 — starke 49
 — traumatische 50, 117
 — Veränderungen des Lenden-
 Kreuzwinkels bei 33
 — Verwachsung durch Trauma
 50
 Spondylolyse 187 *61 26
 — doppelseitige 46

- Übergangsribel 33, 36, 37 39 190
269
- Bedeutung für Beckenformen 83
- einseitige unsymmetrische 64
- der Kreuzbein-Rißbein
- Grenze H. 67
- kumboskiale 50ff
- — Erscheinungsbild der 63
- — erworbene 66, 67
- — Klinik der 6
- — Verteilung der 61
- gelenkig verknüpfte Querfortsätze 63
- schmerzhaftende 66
- Überlastungen, Spondylosis deformans durch 227
- Überlastungsrunden 117
- bei Amputierten 48
- chronische 183
- Überstreckungsbrüche der Wirbelsäule 104
- Umbrücken 118, 227
- entstehende 262
- Uncovertebralgelenke 11 148, 223
- Veränderungen der 179
- der Halswirbelsäule, Bandscheiben an den 170 171 172
- Unfall 117 169 204 209
- Unfallbegutachtung 252, 270
- Unfallfolge Spondylosis deformans als 226, 227
- Unfallverletzte, Röntgenuntersuchung der 203 225
- Unfallszusammenhang, Anerkennung des 209 217
- Urogenitalapparat angeborene Veränderungen des 29
- Urogenital 27 29
- Umbildung der 33
- Variationen der Wirbelsäule 50ff.
- kopfwärts gerichtete 56
- stüßwärts gerichtet 56
- Vererbbarkeit der 56
- Varizellen im Wirbelsäule 160
- Vaskularisation 193
- Vergiftung, Fluor 100
- Vergiftungen, 63
- Kadmium- 100
- Kryptolith- 100
- Osteosklerose bei 100
- Phosphor 100
- Strontium 100
- Verkalkungen 101ff.
- degenerativ 191
- Verknöcherung der Wirbelbogen 11
- Verknöcherungsvergange im Wirbelkörper 1
- Verletzungen der Bandscheiben 113
- der Wirbelbogenreihe 116ff
- der Wirbelkörper 101ff
- der Zwischenwirbelscheiben 108ff
- Verrenkungsbrüche 107 108
- des Epistropheus 109
- am Lendenkreuzbein bergang 109
- verschobene 107
- Verschleißkrankheiten des Zwischenwirbelscheibenganges 160, 167
- Versteifungen 224, 335ff.
- fibröse 234, 235, 290
- knöchernen 33, 36
- — angeborene 236
- operative 14
- Vertebra plana Calvé 111
- — osteonecrotica 96
- Vertebral Syndrome cervikale 180
- Vertebralwirbelkörper 39
- Vitamin 81
- Vitaminmangel 36
- Vitaminstörungen 83
- Vorfall s. a. Bandscheibenvorfall
- Vorfallknoten, Anpassung des 174
- Verkleinerung des 174
- Vorfallkrankheit Heilung der 174
- Vorgänge allergische 167
- Wachstum, Abschluß des 2, 4 13, 16 33, 122 167
- Ansetzen des 30
- Wachstumsalter 33
- Wachstumshormon 32
- Wachstumsknorpel, persistierender 161
- Wachstumsknorpelreicht 22
- Wachstumshöhe 116, 161
- Anlage der 30
- endochondrale 14
- Wachstumszeit 220
- Wachstumszone 231
- Wasseraufnahmevermögen des Gallertkernes 18, 23
- Wasserresorption des Bandscheibengewebes 183
- Wehrdienstbeschädigung 219
- Begutachtung wegen 41
- Spondylosis deformans und 227
- Winkel am Lenden Kreuzbein Übergang 22
- des Promontoriums 230 1., 33
- Wirbel, Altersbestimmung von 4
- Block 29 30, 33, 52, 142, 143, 14 198, 207 21., 240, 43, 244 236
- Wirbel Ellenbein 83 94 100 101 121 123, 131 133
- Ernährungsstörungen des er letzten 113
- Frisch- 76, 83, 89, 93, 100, 183 202
- Flach- 83, 96
- Frakturifikation der 28
- Kallusbildungen in 106
- Keil 76, 78, 81 83, 92, 94, 116, 123, 229 231 232, 240, 242, 243, 245 48
- Lang 121 244
- lumbalisierter 83
- osteomalaktischer 83
- osteosklerotischer 101
- Platt 94 100
- praxakraler 86
- letzter praxakraler 59 267
- Schmetterlings- 31
- spondyloplastischer 48
- Übergangs- 56, 190 200
- Verknöcherung einzelner 236
- Wirbelangiom 128
- Formen des 130
- Wirbelanlage völliges Fehlen der 34
- Wirbelbogen 11ff 27 31
- Anknüpfung durch Gebeulst 139, 140
- des Atlas 11
- Dysplasie 45, 142
- Fehlen des 63
- Formänderungen 57
- Hypoplasie des 45
- Mitverletzung der 109
- Osteoporose der 80
- Spaltbildungen an den 40
- Verdickung der 129
- Verknöcherungen von 32
- Tuberkulose der 121
- Verknöcherung der 11
- Zwischenwirbelscheibe des 45
- Wirbelbogenbrüche 116, 117 203
- horizontale 117
- Mitverletzung bei Wirbelkörperbrüchen 117
- und Rückenmarksverletzung 109
- selbständige 117
- symmetrische 45
- Wirbelbogenepiphyse 2, 1., 31
- Wirbelbogenfortsätze 11ff., 19 23, 27
- Apophysen an den Spitzen der 13
- Fehlbildungen der 31
- Wirbelknochenkerne der 53
- Osteom elitä der 124
- Wirbelbogenfugen 269

- Wirbelbogengelenke (s. a. Wirbelgelenke kleine) 118f. 1., 1, 39 141ff. *44
- Arthros deformans der 36, 264 *43
- Anwendung der 118
- Blockierungen der 261
- Gelenkfortsätze in den 143
- Gelenkkapsel der 12
- Menisci in den 13
- Mitbeteiligung bei Wirbelverrenkungen 109
- Resektion der 142
- traumatische Entzündung der 34
- Schiefstellung der *44
- Tuberkulose in den 143
- Verrenkungen der 118 119
- Wirbelbogenhälften, knorpelige 41
- Fibulardrang der 40, 41
- Tuberkulose der 121
- Verletzungen der 118ff
- Wirbelbogengelenke 122
- Wirbelbogengröße *4, 2, 3
- Wirbelbogenspalten 40
- weiche 43
- Wirbelbogenwurzel 1., 21 34 33, 36
- Einschmelzungsvorgänge an der 142
- Fibulardrang in der 31
- Wirbelbrüche 83, 142, 268
- alt 106
- irrtümliche Diagnose eines 2
- nach Drehbewegungen 111
- bei schwerer Epilepsie 111
- Formen der 101 103
- Häufigkeit der 101
- Heilung von 103, 106, 107
- Kallusbildung nach 147
- durch Muskelkrampf 90, 111
- dreh Muskelzug 111
- Prognose der 110
- Randzackenbildung in der Umgebung von 226
- Spontane Deformation traumatisch mit 26
- nach leichten Traumen 110
- und Wirbelnubelung 103
- unrichtig behandelt 113
- Wirbelkrankung, posttraumatische 11., 113
- Wirbelgelenke 116
- Wirbelgelenke kleine (s. a. Wirbelbogengelenke) 118f. 1., *2, 23, *4, 37 64 80 107 117 1., 4, 141ff., 163, 224 231 *43
- Wirbelgelenke kleine Arthros deformans der 148, 153
- Luxationen der 116, *01 203
- Schleichtaufnahmetechnik 23
- Spontane Deformation der 143
- Versteifung der 14
- Wirbelgewicht 4
- Wirbelgleiten a. Spontallithese
- Wirbelhälften, Selbständigkeit der 87
- Wirbelherd, operative Ausarbeitung 122
- Probenpunktion des 190
- Wirbelkanal 4 24, 34 103, 144 169
- Angiomas des 129
- Echinokokkusbildung im 127
- Einengung des 34 35, 86, 93, 136, 172, 223
- Erschütterungen des 141
- Geschwulst des 140
- Hinterwand des 144
- Knochenbrüche an der Rückwand des 224
- Längsverformung des 19
- Randwulste im 224
- Raumverformung des 23
- Schmelzende Knochen im 162ff.
- Tumoren im 43
- beim Übergangswirbel 63
- Verkleinerung des 66
- Vorderwand des 224
- Wirbelkanalwand, knöcherne 20
- Wirbelkanalbruch, ventraler 113
- Wirbelknochen 73
- Wirbelkörper 1ff. 27
- Abarten der 267
- Achsenrichtung der 76
- Ausnagung durch Geschwulst 139 140
- Auffüllung des 129
- Brüche mehrerer 102
- Drehung der 47
- Einbohrungen in die 151
- Einschmelzungsherd im 21
- eingefüllte *9
- Entwicklung der *4
- Fettmarkherde im 122
- Formen der 1 101 103
- Fröhlichform der 103
- gripelartige 28, 31 36
- Gestalt der 22
- gesteilt 23
- Größenzunahme der 2
- Hals 11
- Hinterflächen der 224
- Höhe der 2 35 96
- Höhe der oberen und hinteren 22
- Wirbelkörper Höhen und Breiten wachstum *4
- Höhenzunahme der 1..
- Jugendliche 4
- Kallusbildung im 104
- des Kreuzbeins, Verwachstum der 31
- Längswachstum 5
- Markraum des 194
- Osteomyelitis 101 210
- Osteoporose der *8 176
- Perioost des 106
- Projektion der 1
- Querbrüche durch 103
- Randwulstbildungen an den 213
- Rotation der 243
- Rückfläche des 164 174
- Schlussplatte des 7 18 73 76, 190 173, *07
- Schnittbrüche 107
- senkrecht gestreckte 26
- Synostosen der 106
- Torsion und Rotation der 43
- Tragfähigkeit eines gebrochenen *06
- treppenförmiges Abgleiten von *47
- Tuberkulose 119
- Umformung mibakterieller 228
- unterentwickelter 23
- Verkleinerung, fehlende 34 *44
- Verletzungen 101ff.
- Verwachsungen zwischen 249 *416.
- Versteifung zwischen den *41
- Viertel 28
- Verkleinerung der 148
- Wachstumsstörungen der 31
- — — — — 46
- Wachstumsstörungen an den 116
- Zusammenrückungsbruch 103
- zusammengeklüfft 83
- ventral eingedellt 76, 181
- Wirbelkörperanlage 32, 23
- fehlende 31
- knorpelige 31
- Wirbelkörperanzahl 174
- Wirbelkörperanzahlverhältnisse 8, 9 14 12 *23
- Wirbelkörperanzahlverhältnisse 18, 1 24, 30 31 34 71 14., 45
- Entwicklungsstörungen der 20
- Fehlbildungen der 9
- Verkleinerung an der 1
- Wirbelkörperbrüche 206
- aufgerichtet 103
- Beurteilung der *03
- Formen der *04

- Wirbelbogengelenke (s. a. Wirbelgelenke kleine) 11ff., 12, 21 59 141ff., 244
- Arthrosis deformans der 236 264 265
- Auslenkung der 118
- Blockierungen der 291
- Gelenkentzündungen in den 143
- Gelenkkapsel der 13
- Menisci in den 13
- Mitbeteiligung bei Wirbelverrenkungen 100
- Resektion der 142
- rheumatische Entzündung der 56
- Schiefstellung der 264
- Tuberkulose in den 143
- Verrenkungen der 118, 119
- Wirbelbogenhälfen, knorpelige 41
- Fehlbildungen der 40, 41
- Tuberkulose der 121
- Verletzungen der 116ff.
- Wirbelbogengelenke 122
- Wirbelbogenreihe 28 223
- Wirbelbogenspalten 40
- schiefe 43
- Wirbelbogenwurzel 12, 21 34 35, 36
- Einschnürungsvorgänge an der 14
- Fehlbildungen in der 31
- Wirbelbrüche 83, 143, 299
- alt 106
- artikuläre Diagnose eines 2
- nach Drehbewegungen 111
- bei schwerer Fraktur 111
- Formen der 101 103
- Häufigkeit der 101
- Heilung — on 103, 106, 107
- Kallusbildung nach 147
- durch Muskelkrampf 96, 111
- durch Muskelzug 111
- Prognose der 110
- Randsackbildungen in der Umgebung — on 226
- Spondylosa deformans traumata mit 226
- nach leichten Traumen 110
- und Wirbelüberknochen 103
- unzeitig behandelt 113
- Wirbelkrankung posttraumatische 112, 113
- Wirbelgelenkbrüche 116
- Wirbelgelenke kleine (s. a. Wirbelbogengelenke) 11ff. 1., 22, 23, 26, 37 84 90, 107 117 124 141ff. 163, 224 231 233, 239 265
- Wirbelgelenke kleine Arthrosis deformans der 148 225
- — Luxationen der 116 201 203
- — Schicht aufnahmetechnik 23
- — Spondylosa deformans der 143
- — Versteifung der 142
- Wirbelgewicht 24
- Wirbelgleiten s. Spondylolisthese
- Wirbelhälften, Selbständigkeit der 57
- Wirbelherd, operative Ausrottung 122
- Probepunktion des 120
- Wirbelkanal 24, 26, 34, 103, 144 168
- Angiogenewebe im 129
- Echinokokkzysten im 137
- Einengung des 34 36, 66, 93, 136, 172, 223
- Erweiterungen des 141
- Geschwulstteil im 140
- Hinterwand des 144
- Knochenstacheln an der Rückwand des 234
- Längswand des 19
- Randwulst im 224
- Raumfülle des 23
- Schmerzhafte Knötchen im 161ff.
- Tumoren im 243
- beim Übergang in Wirbel 43
- Verkleinerung des 46
- Vorderwand des 224
- Wirbelkanalwand, knöcherne 20
- Wirbelkantenbruch, ventraler 113
- Wirbelknochen 73
- Wirbelkörper 1ff., 27
- Abgleiten der 267
- Achsenrichtung der 76
- Anheftung durch Geschwulst 139 140
- Aufbildung des 128
- Brüche mehrerer 103
- Drehung der 47
- Einbauelemente in die 181
- Einschnürungsphänomen im 212
- endgültige 29
- Entwicklung der 28
- Fettmarkherde in 132
- Formen der 1 101 103
- Frachtkopfform der 103
- gepaltene 28, 31 36
- Gestalt der 22
- geteilt 23
- Größenzunahme der 2
- Hals- 11
- Hinterflächen der 224
- Höhe der 2 35 96
- Höhe der — oderen und hinteren 22
- Wirbelkörper Höhen und Breitenwachstum 22
- Höhenzunahme der 122
- jugendliche 4
- Kallusbildung im 104
- das Kreuzbein, Verschmelzung der 31
- Längenwachstum 5
- Markraum des 194
- Osteomyelitis 101 210
- Osteoporose der 78 176
- Perist des 106
- Projektion der 1
- Querbrüche durch 106
- Randwulstbildungen an den 215
- Rotation der 245
- Rückfläche des 164 174
- Schlußplatte des 7 18 73, 76, 120 173 207
- Schrägbrüche 107
- senkrecht gespaltene 28
- Synostosen der 196
- Torsion und Rotation der 45
- Tragfähigkeit eines gebrochenen 206
- treppenförmiges Abgleiten — on 267
- Tuberkulose 119
- Umformung mißbildeter 228
- unentwickelter 23
- Verknöcherung, fehlende 34 226
- Verletzungen 101ff.
- Verschiebungen zwischen 249 261ff.
- Versteifung zwischen den 223
- Viertel 38
- Vorgleiten der 148
- Wachstumsbehinderungen der 31
- — einseitige 246
- Wachstumsstörungen an den 118
- Zusammendrückungsbruch 103
- zusammengedrückt 63
- zentral eingedellte 76, 151
- Wirbelkörperanlage 32, 33
- fehlende 34
- knorpelige 34
- Wirbelkörperaußenfläche 174
- Wirbelkörperband scheitersgrenze 8, 9 14 212, 223
- Wirbelkörperbandescheitersgrenze 18, 24, 28, 30 31 34 71 142, 245
- Entwicklungslinien der 29
- Fehlbildungen der 28
- Verknöcherung an der 1
- Wirbelkörperbrüche 206
- aufgerichtet 103
- Beurteilung der 203
- Formen der 202

- Wirbelkörperbrüche gesunder Wir-
 bel 110
 — Heilungsvorgänge nach 103 106
 — Mitverletzungen der Wirbelbogen
 117
 — im Röntgenbild 203
 — Trummernervose eines *09
 — Zwischenwirbelscheiben bei 201
 Wirbelkörperdeckplatte 3
 Wirbelkörperendflächen 39 113
 Wirbelkörperendplatten 220
 Wirbelkörperepiphyse 8, 224
 — Nekrose der 224
 — persistierende 1 8
 — rudimentäre 8
 Wirbelkörperform, ursprüngliche
 101
 — Wiederherstellung der 103
 Wirbelkörperfuge 228
 — frontale 27 33
 — sagittale 31 32
 Wirbelkörpergrundplatte 3
 — Eindrückungen der 40
 Wirbelkörperhöhlte, fehlende Blut-
 ernährung einer 22
 Wirbelkörperhöhlen, fehlende 28
 32
 Wirbelkörperhöhe, vordere 23
 — Wiederherstellung der regel-
 rechten 98
 Wirbelkörperinfarkte 123
 Wirbelkörperinfektionen 119ff
 — Kyphose nach 243
 — Zwischenwirbelscheiben bei 210
 Wirbelkörperkanten, hintere 47
 — Abtrennungen von 112, 113,
 174ff, 178
 — — im Röntgenbild 178
 — Knochen Schatten nahe den 197
 — rückwärtige 169
 — — Zackenbildungen an den 172,
 224
 Wirbelkörperkantenbruch 113, 203
 Wirbelkörperknochenkerne 81
 — beim Xerogeborenen 2
 Wirbelkörpermark, Blutungen um
 129
 Wirbelkörpernekrosen 125
 Wirbelkörperoberfläche 24
 — bei M. Peyer 83
 Wirbelkörperquerbrüche 74 109
 Wirbelkörperquerfraktur 24
 Wirbelkörperquetschbrüche 103,
 104 117
 — Begleiterkrankung der 103
 — durch Muskelkrampf 111
 Wirbelkörperquer Knochenschäden
 an den 160, 170, 207
 Wirbelkörperrandleiste (s. a. Rand-
 leiste) 8 9 14 78, 93, 198, 228,
 48
 — knöcherner 4 13, 94 173
 — knorpelige 5, 20
 — ringförmige 8
 — Veränderungen der 216
 — Verknöcherung der 223
 — Zertrennungen der 113
 Wirbelkörperrandzacken, Bruch-
 linien in 227
 Wirbelkörperreihe s. Wirbelkörper-
 Bandscheiben-Reihe
 Wirbelkörperanschlußplatten (s. a.
 Schlußplatten) 78, 120, 173, 207
 — knöcherner 15, 73
 Wirbelkörperpalpbildungen, hoch-
 gradige 31
 — frontale 28
 Wirbelkörperpfeil teilweise
 sagittale 38
 Wirbelkörperpongiose 10, 164
 — Einbrüche in die 200
 Wirbelkörpervergrößerung 94
 Wirbelkörperverknöcherung, un-
 vollständige 24 228
 Wirbelkörperverkrümmung,
 fehlende 24
 Wirbelkörperverschiebung 48, 261ff.
 Wirbelkörperzahl, endgültige 20
 Wirbelkörperzusammenbrüche 93,
 98 99, 118, 124 127 129 133
 134, 160 202, 243
 — allmähliche 17
 — knollförmige 227
 — posttraumatische 80 206, *09
 — verspätet 91 112, 113
 Wirbelkompressionsbrüche
 schwere 103
 Wirbelloch 12
 Wirbelluxation 108, 117 *03, 261
 — Folgeerscheinung von 108 109
 — Zwischenwirbelscheiben bei 201
 Wirbelmarknekrose 129
 Wirbelmark 113
 Wirbelostomyelitis 123
 — Abszess bei 123
 — akut 126
 Wirbelquerfrakturen, 74 108
 Wirbelreaktion, totale 123
 Wirbelrücken Alterskrankheit der 143
 — Anknüpfung durch Ankyrosen
 140
 — durch Geschwülste 128
 — Aufbauteile der 24
 — Bandapparat 19ff
 — Belastung der 24 73
 — Belastungsfähigkeit der 22, 129
 Wirbelrücken Belastungsfähigkeit
 nach Wirbelbrüchen 107 109
 — berufliche Schädigungen der 101
 — Bewegungen der 19 23
 — Filmaufnahmen der 23
 — Bewegungseinschränkung der 96
 — Bewegungsfähigkeit der 22, 24
 23 143, 150
 — Blutversorgung der 2
 — Entwicklungsgeschichte der 1 23
 — Entwicklungstufen der 23
 — des Erwachsenen 22ff.
 — Fehlbildungen der *7ff.
 — — zusammengefaßt 67ff
 — Form der 130
 — — Erhaltung der regelrechten
 23 3
 — Funktion 23, 23, 14
 — — Pathologie der 26
 — — Röntgenuntersuchung der *6,
 150
 — funktionelle Beanspruchung 75,
 78
 — Funktionsprüfung der 26
 — al. Games 22, 26, 71
 — Gesamtbewertung der 23
 — Infektionen der 119ff.
 — — — typhöse 209
 — als Krankheitsfaktor 180
 — Längswachstum der 23
 — Leist. unfähigkeit der 13, 130
 — bei Lymphogranulomatose 98
 — Minderwertigkeit der 233
 — Röntgenaufnahme im Stehen 206
 — Statik der 23, 244
 — — Änderung der 261
 — — und Haltung der 149
 — Zweck an der 91
 — Syphilis der 126
 — T. bei der 126, 190
 — traumatische Schädigungen der
 184
 — Tumoren der 128ff.
 — Überstreckungsbrüche 109
 — fortschreitende Umgestaltung der
 68
 — Verdrehbarkeit der 4
 — Verkrümmungen der 90 118
 228ff.
 — — Änderungen der 71
 — — bleibende 206
 — — krankhaft 9
 — — regelrecht. Aufhebung der
 243, 249
 — — Ursache der 243
 — — Verhältnisse der 24
 — Verrenkungsbrüche 117
 — Abtöte Verletzung der 193

- Wirbelsäule Wachstum der 187.
 — Wachstumschluß 2, 4, 12, 14
 16 33, 122, 167
 — Wachstumschwindigkeit der 228
 — Weiterrückbildung der 145
 — Zusammenhängen 113
 Wirbelsäulenabschnitte, Aplanie
 größerer 24
 — Verwachsung größerer 30
 — Wachstumschwindigkeit der 25
 Wirbelsäulensche Abweichungen
 der 150
 Wirbelsäulenanlage 29
 — gestreckt 29
 — mesodermale 244
 Wirbelsäulenbänder 165
 Wirbelsäulenbeweglichkeit 154ff.
 — ungewöhnliche 234 — 35
 Wirbelsäulenbewegungen, Unrichtig-
 keiten der 254
 Wirbelsäulenbiegung, A-förmige 4
 Wirbelsäulenblutgefäße 29
 Wirbelsäulen-Gemischtfasern 23
 Wirbelsäulengelenke Blockierungen
 der 261
 Wirbelsäulenkrümmungen 14
 — normale 34
 — Veränderung der 80
 Wirbelsäulenlänge geringe 83
 Wirbelsäulen Längsbänder 14
 Wirbelsäulenlenden, Einrichtungs-
 handlungen verschiedener 161
 Wirbelsäulenmißbildungen, ausge-
 dehnt 32
 Wirbelsäulenmuskulatur 24
 Wirbelsäulenverwachsung durch Pro-
 duktion 227
 Wirbelsäulenverwachsung, schwerbe-
 dingt 178, 187 191 267
 Wirbelsäulenverwachsung, stumpfe 124
 Wirbelsäulenverwachsungen (s. Vari-
 anten) 24ff.
 Wirbelsäulenverwachsungen s. a.
 Knochenverwachsungen 11ff.
 Wirbelsäulenverwachsungen 122
 — kyphotische 45
 Wirbelsäulenverwachsungen, Ab-
 schluß der 5.
 Wirbelsäulenverwachsungen 101 ff.,
 112, 108, 223
 — Drüsenbildung durch 167
 — Lähmungsverwachsungen nach
 110
 — Verwachsung der Rückenmark-
 weiche bei 102
 — Episternierung nach 109
 Wirbelsäulenverwachsungen s. a. Ver-
 wachsungen
 Wirbelsäulenverwachsung manuelle 181
 Wirbelsäulenverwachsungen, angebore-
 ner 93
 Wirbelsäulen 91 101 126
 Wirbelsäulen 87
 Wirbelsäulen, Formen der 78
 — osteoporotischer 103
 Wirbelsäulen (s. a. Bewegungs-
 segment) 22, 27
 Wirbelsäule 27
 Wirbelsäulen 49
 Wirbelsäulen Lagebeziehungen der 1
 Wirbelsäulen verlauf 24
 Wirbelsäulenverwachsungen 118ff.
 — Anordnungsverhältnisse bei 121 122
 — röntgenologische Beschreibungen
 der 120
 — und Wirbelsäule 103
 Wirbelsäulen (s. a. Tumoren)
 primäre 143
 Wirbelsäule 11
 Wirbelsäulen (s. a. Variationen)
 145
 Wirbelsäulenverwachsungen, gewaltbe-
 dingt 33
 Wirbelsäulenverwachsung 31
 Wirbelsäulenverwachsung, intervertebrale
 144
 Wirbelsäulenverwachsungen 119
 — Formen der 101
 — reise 108
 Wirbelsäulenverwachsungen (s. a. Spontane)
 145 153 179 190 244
 246, 261ff.
 — nach hinten 244ff.
 — nach der Seite 267 268
 — seitliche bei Nöckern 267 268
 — nach vorn 263, 264
 Wirbelsäulenverwachsung 30
 — angeborene 24
 Wirbelsäule 30
 — Verwachsung der 36
 Wirbelsäulenverwachsungen 51
 Wirbelsäulenverwachsung Heilung der 174
 — Symptome der 182
 Wirbelsäulenverwachsungen, Verwachsungen 143
 — Selbstheilung der 173
 Wirbelsäulenverwachsungen Anordnungsverhältnisse
 an 178
 Wirbelsäulenverwachsungen 93
 — generalisiert 93
 Wirbelsäulenverwachsungen, Episternierung,
 fehlender 34
 Wirbelsäulenverwachsungen, Fehlbildungen
 im Bereich der 31
 Wirbelsäulenverwachsungen 103
 Wirbelsäulenverwachsungen 71
 Wirbelsäulenverwachsungen 103
 Wirbelsäulenverwachsungen 94
 Wirbelsäulenverwachsungen 46
 Wirbelsäulenverwachsungen, chondrodystrophische 63
 Wirbelsäulenverwachsungen 93
 —, hydropathische 96
 —, runder 83
 Wirbelsäulenverwachsungen 23, 43 43, 48
 262
 —, Brüche im 117 262
 — Fugenbildung im 262
 — Schädigung des 45
 — Schleimhautverwachsungen 23
 Wirbelsäulenverwachsungen 43, 48
 — einseitige 4
 — Darstellung der 47
 — Faserzüge der 49
 Wirbelsäulenverwachsungen 2, 12, 51 52 82
 Wirbelsäulenverwachsungen 82
 Wirbelsäulenverwachsungen —
 röhrenförmige 143
 Wirbelsäulenverwachsungen 11 205 23 26
 65, 143ff.
 — Abbiegung eines 147
 — Einwirkung des 19 60, 92, 143
 173, 179 222
 — Eingangsverwachsungen des 20
 — Form und Inhalt des 22, 26
 — Formänderungen des 143
 — Gliedmaßenverwachsungen für die Gefäße
 in den 149
 — Größe des 26, 162
 — Größenverwachsungen 172
 — Knochenverwachsungen des 143, 172
 — Knochenverwachsungen des 21
 — präskriales 146
 — Raumverwachsungen in den 149
 — Röhrenverwachsungen in den 169
 — Schleimhautverwachsungen 23
 — Vergrößerung des 174
 — Verkleinerung des 174
 — Verwachsung des 174
 Wirbelsäulenverwachsungen 16 76, 85
 — Auflösungen im 161 182
 — Ausbreitung des 154
 — operative Ausbreitung des 109
 — Formverwachsungen des 203
 — Höhenverwachsungen des 170, 146,
 182ff., 178, 188 193 206, 108,
 207 311 229 264 265
 — Höhenverwachsungen 147
 — Höhenverwachsungen des 21
 — Höhenverwachsungen des 2, 13, 151
 18.
 — Höhenverwachsungen im 169
 — Inhalt des 152
 — Kollumverwachsungen des 221 221

- Zwischenwirbelsäule** Knocheneinlagerungen im 193, 194, 19
- Verknöcherung im 206
 - Tumoren und Tumormetastasen im 214
 - Überbrückung des ganzen 223
 - Verknöcherung im 229
- Zwischenwirbelscheiben** (s. a. Bandscheiben) 13 ff., 23, 27, 31, 89, 113, *61
- Alterskyphose durch Veränderungen der 240
 - Ausbuchtung der 24, 29, 40, 100, 229
 - Blutgefäße in den 174
 - Blutgefäßwucherungen in 193
 - breit 13
 - Chondrose der 167, 224
 - Ursachen der 167
 - Degenerationen der 86, 1*6, 142, 182 ff.
 - — braune 183
 - — Formen der 183
 - — Häufigkeit der 188
 - — und Randwulstbildungen 216
 - — auf rheumatischer Grundlage 219
 - — Sonderform der 218
 - degenerative Veränderungen 167
 - diagnostische Funktion der 168
 - Differentialdiagnose zwischen Trauma und Infektion 212
 - Differenzierung 29
 - Einnehmung der 1*6
 - Elastizitätszustand der 74
 - embryonale 14
 - Entwicklungsstörungen 29
 - Ernährung der 18
 - fibröses Gewebe in 193, 194, 212
 - fibröse Umwandlung der 220
 - Flächerschnitt durch 167
 - Frontalschnitt durch 18
 - funktionelle Leistungen der 174
 - Funktionsänderung 177
 - Gallertkern der (s. a. Gallertkern) 14, 15, 16
 - Gefäßversorgung der 14
 - Gestalt der 22, 150
 - Gestalt und Funktion der 18
 - Halbgelenk 24, 23, 182
 - Hauptfaserzüge der 224
 - Höhe der 183, 231
 - Höhenabnahme der 31, 66
 - hohe 181, 182
 - Infektionen der 120, 209 ff.
 - Infektionen, Ausbuchtungen 215
 - — primäre 209, 211
- Zwischenwirbelscheiben, Infektionen** eines Hestes nach Operation 10
- — Röntgenbild bei 212
 - Knochenschwämme in 88
 - Knochenwucherungen in 193
 - Lockerungen im Gefüge 163, 224
 - Mitbeteiligung bei Wirbelbogenentzündungen 119
 - — bei Wirbelbruch 107
 - Mitverletzung Spaltfolge einer *06
 - nekrotische vordere Teile der 3
 - Nervenversorgung der 18
 - niedrige 13 ff.
 - normale im Röntgenbild 14
 - Normalformen 131
 - Osteochondrose der 142, 146
 - Perichondrium der 14
 - präskrale 46, 269
 - Protrusion (Prolaps) der (s. a. Bandscheibenvorfall) 163
 - Rest der 31
 - Rißbildung des Gefüges 166
 - Störungen im Gefüge der 178
 - Tuberkulose in 1
 - Veränderungen in den *6, 224
 - — krankhafte, an den 150 ff.
 - — bei Spondylolisthese 49
 - — traumatische 103
 - Verformungen der 153
 - Verkalkungen der 191 ff.
 - — posttraumatische 191
 - Verknöcherungen der 220
 - — der vorderen Teile 240
 - Verletzungen der 189 ff.
 - — unheilbare Heilung 206, 207
 - — Ausheilungsvorgänge der 203 ff.
 - — — im Röntgenbild 204, 205
 - — — im Bruchgebiet *01
 - — Diagnose einer frischen 200
 - — Folgezustände der 203
 - — Hohlet 107, 195, 199, 204, 207
 - — — Häufigkeit der 200
 - — — im Tierversuch 200
 - — — Vererbung einer *01
 - Verschieblichkeitsformen der 167
 - Versteifung der 267
 - Vorbuchtungen der 73, 6, 151
 - Vorfall der — a. Bandscheibenvorfall
 - Vorpressung der 219
 - Vorstüßung der Rückwand 165
 - Wasserhaushalt der 18, 132
 - — Wasserhaushalt der 182, 183
 - bei Wirbelkörperfrakturen *01
 - *02, 203
- Zwischenwirbelscheiben Wirbelkörpergrenze** 42
- bei Wirbelkörperinfektionen 210
 - Zerrnührung der 223, *6
 - — größerer Abschnitte der 167
 - Zerreißungen 107
 - Innere Zerrnührung des Gefüges 184
 - Zerstörung der 190, 196, *23, 233
 - — degenerative *04
 - — traumatische 14
 - — durch Infektionen 134
- Zwischenwirbelscheibenabschnitt** Leistungsbeanspruchung der 16
- Zwischenwirbelscheibengefäß, axiales** 133
- Zwischenwirbelscheibengewebe** 31, 121
- Alterungsvorgänge des 163
 - Ausheilungsvorgänge im *06
 - Austritt von 18., 231, 46, 231
 - Belastungsanspruch des 163
 - Blutgefäßwucherung in das *09
 - chronische Schäden des *00
 - Degeneration des 182 ff.
 - Diffusionsernährung des 167
 - Einriß in das 49
 - Elastizitätsverlust des 182
 - Fibrin des 232
 - fibröse Umwandlung des 260
 - Funktion des 163
 - Herauspressen von *06
 - Infektionen des 203
 - Lockerung des 261
 - Mitverletzung von *00, *01
 - Nekrose des 224
 - Quellungszustand des 18
 - Rest von 224
 - Risse im 227
 - Spaltbildungen um 11, 172
 - Störungen des 169
 - Trauma und Degeneration um *06
 - traumatische Elastriche an 209
 - — Einspreizung des 263
 - — Schädigung des 203
 - — Übermüdungswunden des 261
 - Verlagerung von 39, 103, 154 ff., 16
 - — klinische Bedeutung der 176 ff.
 - — nach vorn und seitlich 174 ff.
 - — von Teilen des 163
 - Verschieblichkeitsformen des 153, 166, 167
 - Vorfall des (s. a. Bandscheibenvorfall) 154, 161, 173
 - Wasseraufnahmevermögen des 18

Zwischenwirbelscheibengewebe

- Wassererwartung des 182
- Widerstandsfähigkeit des 18 187
- aktive Wucherungen von 220
- Wucherungsvorgänge im 181
- Zernüßung des 177 264 265
- Zerstörung von 206
- Innere Zernüßung des 188

Zwischenwirbelscheibenpräparat

- Versuche mit 18
- Zwischenwirbelscheibenrückwand 22, 26
- Zwischenwirbelscheibenschaden, Erklärung des 167
- Ursachen für den 160

Zwischenwirbelscheibensequester

- 166, 167 172, 174 187
- Ausstoßung eines 187
- Zwischenwirbelscheibenteil, vordere Verknöcherung des 115
- Zwischenwirbelgalt 13
- Zysten im Kreuzbein 43

Die Occipito-Cervical Gegend

Line diagnostisch pathogenetische Studie

Von Prof. Dr. J. E. W. BROCHER Genf

1953. X, 145 Seiten, 91 Abbildungen in 183 Einzeldarstellungen.

1 Tabelle Lox. 8° Ganzleinen DM 48.—

[74. Ergänzungsband der Fortschritt auf dem Gebiet der Röntgenstrahlen
Voraussetzung für Abonnenten der Zeitschrift DM 43,20)

Vorzugspreis für Abonnenten der Zeitschrift DM 43,20)

Die Wirbelverschiebung in der Lendengegend

Von Prof. Dr. J. E. W. BROCHER, Genf

— erweitert neubearbeitet Auflage 1936. V, 150 Seiten, 142 Abbildungen.

Lex-8th Gankleiden DDI 30.40

Röntgendiagnostik des Hüftgelenks

Von Prof. Dr. R. GLAUNER

und Doz. Dr. med. habil. W. MARQUARDT Stuttgart

1934. VIII 169 Seiten, 195 Abbildungen in 293 Einzeldarstellungen

Lex. 89 Cambridge DM 47 —

(77 Ergänzungsband der „Fortschritte auf dem Gebiet der Röntgenstrahlen“
Vorreisurteil für Abonnenten der Zeitschrift DM 51.20)

Vormerkung für Abonnenten der Zeitschrift DM 51,20)

Die Wirbelkultentuberkulose und ihre Differentialdiagnose

Von Prof. Dr. J. E. W. BROOKE, Genf

1933. VII 272 Seiten 376 Abbildungen Lex.-8° Ganzleinen DM 78 —

(68. Ergänzungsband der Fortschritt auf dem Gebiet der Röntgenstrahlen
Vorrangpreis für Abonnenten der Zeitschrift DM 70,00)

Vorzugspreis für Abonnenten der Zeitschrift DM 70,00

Die Wirbelsäulenverletzungen und ihre Ausbesserung

Pathologische Anatomie HNO, Röntgendiagnostik, Begutachtungs- und
Zusammenhangsfragen

Zusammenhangsfragen

Von Prof. Dr. A. LOB, Sanderbusch/Oldenburg

2., vermehrt und neugestaltete Auflage 1954. VII, 972 Seiten, 149 Abbildungen
in 340 Einzelexemplar Diagrammen und 16 Tabellen, Lex.-8° Ganzleinen DM 78 —

ca 340 Einserklarteungen und 18 Tabellen, Lex.-8° Ganzleinen DM 78 —

(6) Erklärungsband der Fortschritt auf dem Gebiet der Röntgenstrahlen
Vortragspreis für Abonnenten der Zeitschrift DM 70,20)

Vorzugspreis für Abonnenten der Zeitschrift DM 70,20

Die Röntgenbildanalyse

Eine röntgendiagnostische Anleitung für Studierende und Ärzte

Von Prof. Dr. E. BAUPE †

2. Auflage neu bearbeitet von Prof. Dr. W. TESCHENDORF Köln

1936. VII, 253 Seiten, 328 Abbildungen in 412 Einzeldarstellungen,

4 Ganzleinen DM 49.50

Röntgendiagnostik

Ergebnisse 195—1936

Herausgegeben von Prof. Dr. H. R. SCHINZ, Zürich, Prof. Dr. R. GLAUBER, Stuttgart,

Prof. Dr. E. UEHLINGER, Zürich

1937. Etwa 600 Seiten, etwa 600 Abbildungen, Lex.-8° Halbleder et a 140.—

(Erscheint Februar 1937)

Lehrbuch der Röntgendiagnostik

Von Prof. Dr. H. R. SCHINZ, Zürich, Prof. Dr. W. E. BAENSCH, Washington D. C.,

Dr. E. FRIEDL, Zürich, Prof. Dr. E. UEHLINGER, Zürich

5. völlig neu bearbeitet und vermehrt Auflage, 1932.

CLXX, 3906 Seiten, 4780 Abbildungen, 103 meist zweifarbige T. f. u. s. a.

Lex.-8° 4 Halbleder Bände DM 744.—

(Das Werk wird nur komplett gefertigt.)

A. KÖHLER / E. A. ZIMMER

Grenzen des Normalen und Anfänge des Pathologischen

im Röntgenbilde des Skelettes

10. A. fage neu bearbeitet und weitergeführt von Prof. Dr. E. A. ZIMMER, Bern

1934. XVI 54 Seiten, 1282 Abbildungen, Lex.-8° Ganzleinen DM 94.—

Lehrbuch der röntgenologischen Differentialdiagnostik

Von Prof. Dr. W. TESCHENDORF Köln

Band I: Erkrankungen der Brustorgane

4., verbesserte A. fage. Erscheint Sommer 1937

Band II: Erkrankungen der Bauchorgane

2., vi. beworte und wesentlich erweitert Auflage 1934 VIII, 1037 Seiten, 1610 Abbildungen,

Lex.-8° Ganzleinen DM 184.—

Röntgenologische Differentialdiagnose der Knochenkrankungen

Von Prof. Dr. H. HELLNER und Dr. H. POPPE, Göttingen

Unter Mitwirkung von I. Lohstötter, Göttingen

1936. VIII, 904 Seiten, 518 Abbildungen in 842 Einzeldarstellungen,

4 Halbleder DM 270.—

GEORG THIEME VERLAG STUTTGART

